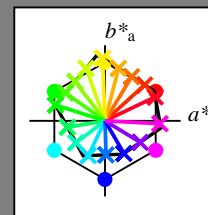


Ein und Ausgabe:
Farbmetrisches Drucker-Reflektiv-System ORS19_96a
Daten für jede Farbe:

u^*_e und Nummer $Nr.$ = 00 .. 15
Elementar-Bunttontext:
 $u^*_e = 16$ Bunttoene $r00j, r25j, ..., b75r$
Kontrastreduzierungsfaktor:
 $c_R = 1.0$

ORS19_96a; adaptierte CIELAB-Daten

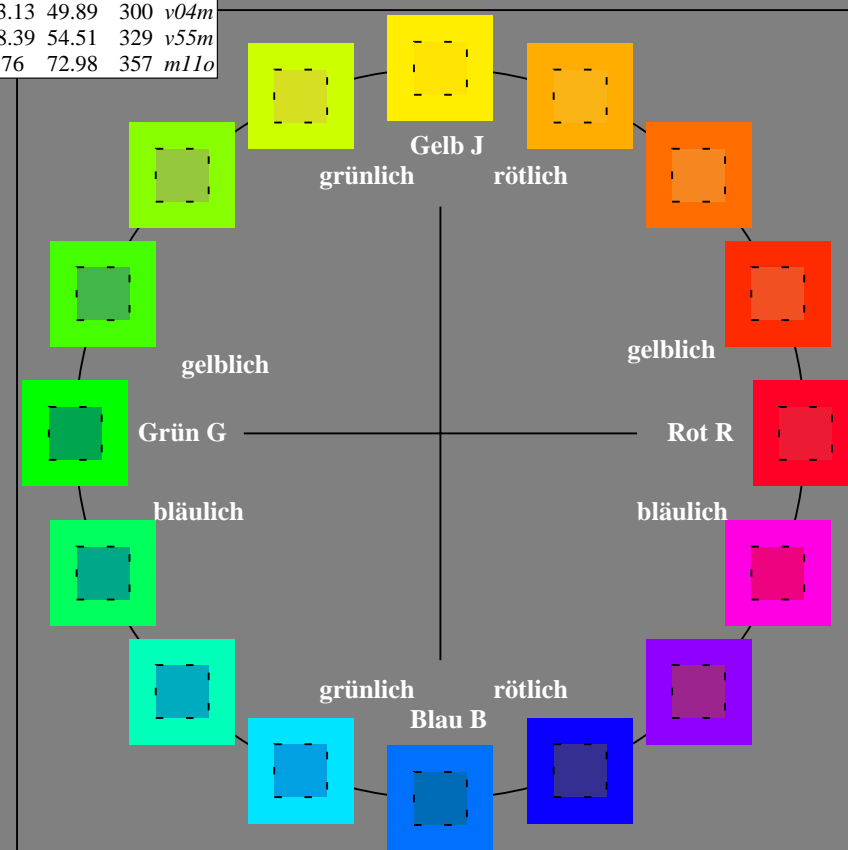
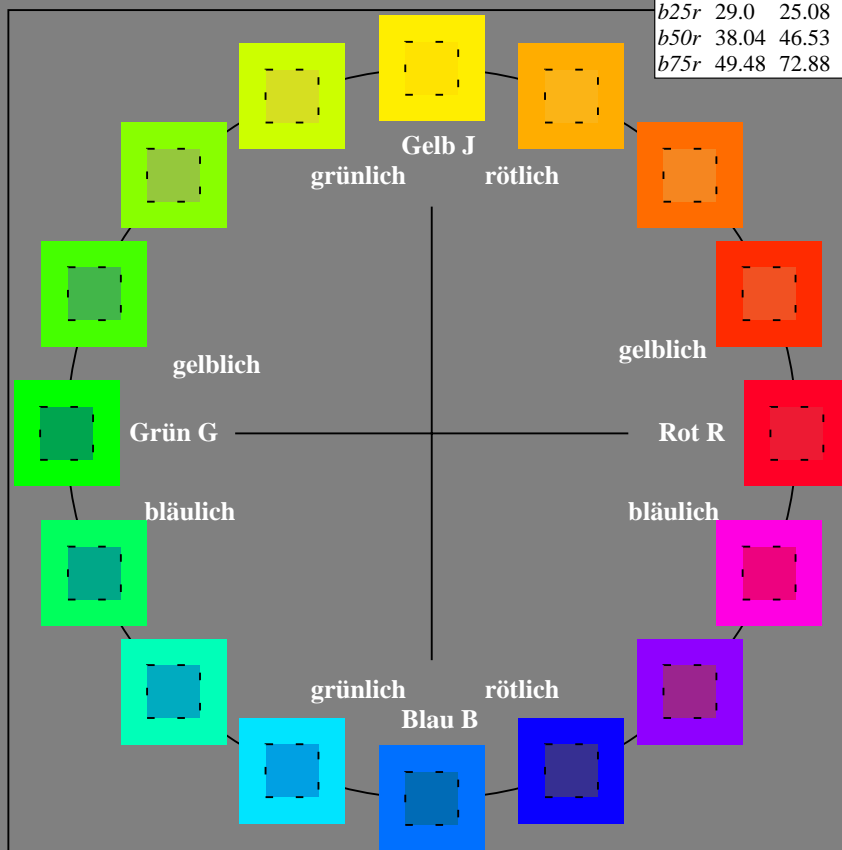
u^*_e	$L^*=L^*_a$	a^*_a	b^*_a	$C^*_{ab,a}$	$h^*_{ab,a}$	u^*_d
$r00j$	48.88	66.47	31.67	73.63	25	$m84o$
$r25j$	55.85	52.39	47.48	70.7	42	$o17y$
$r50j$	65.45	35.22	58.37	68.17	59	$o42y$
$r75j$	75.19	17.82	69.41	71.66	76	$o67y$
$j00g$	87.03	-3.35	82.83	82.9	92	$o92y$
$j25g$	80.72	-25.01	69.5	73.86	110	$y20l$
$j50g$	70.64	-39.54	51.97	65.3	127	$y46l$
$j75g$	61.93	-52.1	36.83	63.8	145	$y72l$
$g00b$	52.8	-65.28	20.93	68.56	162	$y99l$
$g25b$	55.7	-49.58	-8.39	50.28	190	$l36c$
$g50b$	57.82	-38.4	-28.92	48.07	217	$l72c$
$g75b$	55.5	-22.05	-45.95	50.97	244	$c11v$
$b00r$	41.6	1.37	-45.01	45.03	272	$c56v$
$b25r$	29.0	25.08	-43.13	49.89	300	$v04m$
$b50r$	38.04	46.53	-28.39	54.51	329	$v55m$
$b75r$	49.48	72.88	-3.76	72.98	357	$m11o$



%Umfang
 $u^*_{rel} = 89$
%Regularität
 $g^*_{H,rel} = 72$
 $g^*_{C,rel} = 57$

ORS19_96a; adaptierte CIELAB-Daten

Name	$L^*=L^*_a$	a^*_a	b^*_a	$C^*_{ab,a}$	$h^*_{ab,a}$
O_{Ma}	48.75	65.07	39.43	76.08	31
Y_{Ma}	90.92	-10.29	87.24	87.85	97
L_{Ma}	52.69	-65.44	20.75	68.65	162
C_{Ma}	59.61	-28.98	-46.22	54.56	238
V_{Ma}	28.39	23.63	-44.13	50.06	298
M_{Ma}	49.58	73.93	-9.56	74.55	353
N_{Ma}	18.89	0.0	0.0	0.0	0
W_{Ma}	96.9	0.0	0.0	0.0	0
R_{CIE}	39.92	58.74	27.99	65.07	25
J_{CIE}	81.26	-2.89	71.56	71.62	92
G_{CIE}	52.23	-42.42	13.6	44.55	162
B_{CIE}	30.57	1.41	-46.47	46.49	272



Ein und Ausgabe: Farbmetrisches Drucker-Reflektiv-System ORS19_96a für relativen CIELAB-Buntton $h^* = lab^*h^* = h_{ab}/360 = 0.071$

Daten für jede Farbe:

lab^*ch^* und lab^*icu^*

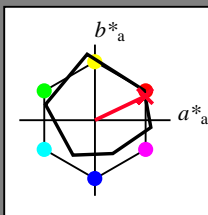
Bunttontexte:

$u^*_e = r00j$ $u^*_d = m84o$

Kontrastreduzierungsfaktor:

$c_R = 1.0$

Dreiecks-Helligkeit i^*



ORS19_96a; adaptierte CIELAB-Daten

u^*_e	$L^*=L^*_a$	a^*_a	b^*_a	$C^*_{ab,a}$	$h^*_{ab,a}$
O _{Ma}	48.75	65.07	39.43	76.08	31
Y _{Ma}	90.92	-10.29	87.24	87.85	97
L _{Ma}	52.69	-65.44	20.75	68.65	162
C _{Ma}	59.61	-28.98	-46.22	54.56	238
V _{Ma}	28.39	23.63	-44.13	50.06	298
M _{Ma}	49.58	73.93	-9.56	74.55	353
N _{Ma}	18.89	0.0	0.0	0.0	0
W _{Ma}	96.9	0.0	0.0	0.0	0
R _{Ma}	39.92	58.74	27.99	65.07	25
J _{Ma}	81.26	-2.89	71.56	71.62	92
G _{Ma}	52.23	-42.42	13.6	44.55	162
B _{Ma}	30.57	1.41	-46.47	46.49	272

Daten für Maximalfarbe (Ma):

$LAB^*LAB^*_{Ma}$: 49 66 32

$LAB^*LCH^*_{Ma}$: 49 74 25

$lab^*rgb^*_{Ma}$: 1.0 0.0 0.0

$lab^*olv^*_{Ma}$: 1.0 0.0 0.15

Dreiecks-Helligkeit i^*

%Umfang

$u^*_{rel} = 89$

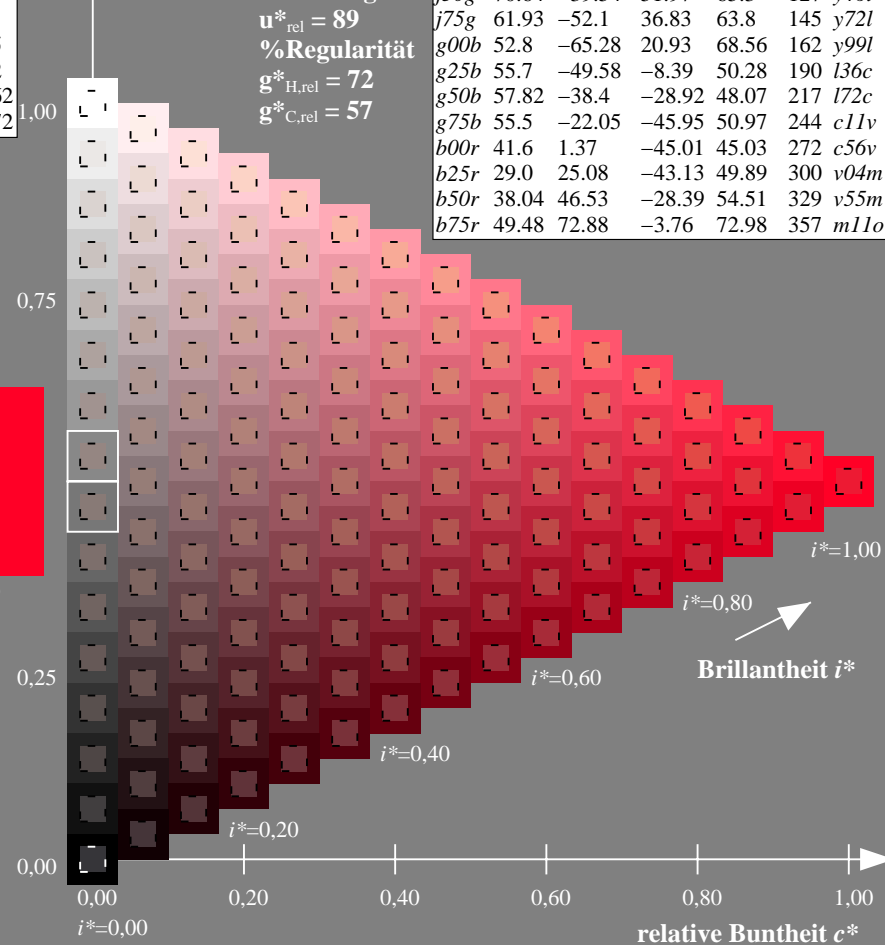
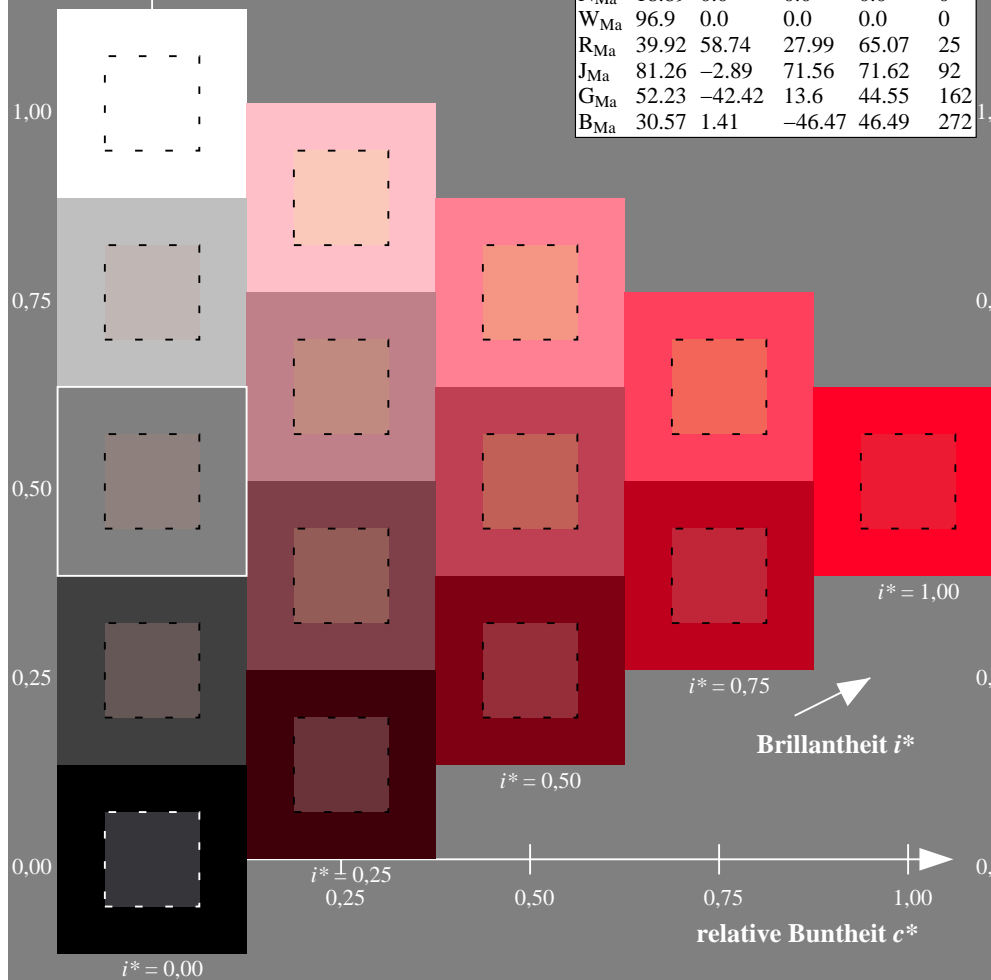
%Regularität

$g^*_{H,rel} = 72$

$g^*_{C,rel} = 57$

ORS19_96a; adaptierte CIELAB-Daten

u^*_e	$L^*=L^*_a$	a^*_a	b^*_a	$C^*_{ab,a}$	$h^*_{ab,a}$	u^*_d
r00j	48.88	66.47	31.67	73.63	25	m84o
r25j	55.85	52.39	47.48	70.7	42	o17y
r50j	65.45	35.22	58.37	68.17	59	o42y
r75j	75.19	17.82	69.41	71.66	76	o67y
j00g	87.03	-3.35	82.83	82.9	92	o92y
j25g	80.72	-25.01	69.5	73.86	110	y20l
j50g	70.64	-39.54	51.97	65.3	127	y46l
j75g	61.93	-52.1	36.83	63.8	145	y72l
g00b	52.8	-65.28	20.93	68.56	162	y99l
g25b	55.7	-49.58	-8.39	50.28	190	l36c
g50b	57.82	-38.4	-28.92	48.07	217	l72c
g75b	55.5	-22.05	-45.95	50.97	244	c11v
b00r	41.6	1.37	-45.01	45.03	272	c56v
b25r	29.0	25.08	-43.13	49.89	300	v04m
b50r	38.04	46.53	-28.39	54.51	329	v55m
b75r	49.48	72.88	-3.76	72.98	357	m11o



Ein und Ausgabe: Farbmetrisches Drucker-Reflektiv-System ORS19_96a für relativen CIELAB-Buntton $h^* = lab^*h^* = h_{ab}/360 = 0.117$

Daten für jede Farbe:

lab^*ch^* und lab^*icu^*

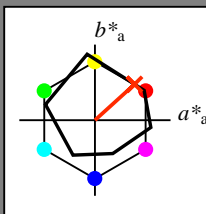
Bunttontexte:

$u^*_e = r25j$ $u^*_d = o17y$

Kontrastreduzierungsfaktor:

$c_R = 1.0$

Dreiecks-Helligkeit i^*



ORS19_96a; adaptierte CIELAB-Daten

u^*_e	$L^*=L^*_a$	a^*_a	b^*_a	$C^*_{ab,a}$	$h^*_{ab,a}$
O _{Ma}	48.75	65.07	39.43	76.08	31
Y _{Ma}	90.92	-10.29	87.24	87.85	97
L _{Ma}	52.69	-65.44	20.75	68.65	162
C _{Ma}	59.61	-28.98	-46.22	54.56	238
V _{Ma}	28.39	23.63	-44.13	50.06	298
M _{Ma}	49.58	73.93	-9.56	74.55	353
N _{Ma}	18.89	0.0	0.0	0.0	0
W _{Ma}	96.9	0.0	0.0	0.0	0
R _{Ma}	39.92	58.74	27.99	65.07	25
J _{Ma}	81.26	-2.89	71.56	71.62	92
G _{Ma}	52.23	-42.42	13.6	44.55	162
B _{Ma}	30.57	1.41	-46.47	46.49	272

Daten für Maximalfarbe (Ma):

$LAB^*LAB^*_{Ma}$: 56 52 47

$LAB^*LCH^*_{Ma}$: 56 71 42

$lab^*rgb^*_{Ma}$: 1.0 0.25 0.0

$lab^*olv^*_{Ma}$: 1.0 0.17 0.0

Dreiecks-Helligkeit i^*

%Umfang

$u^*_{rel} = 89$

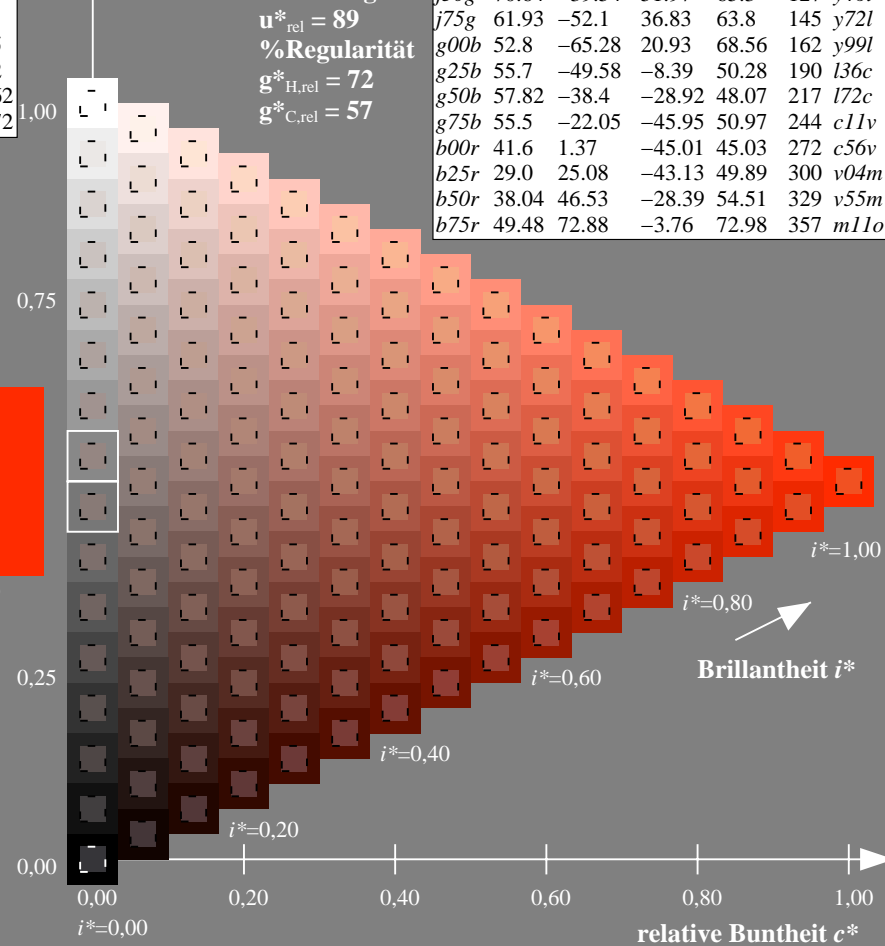
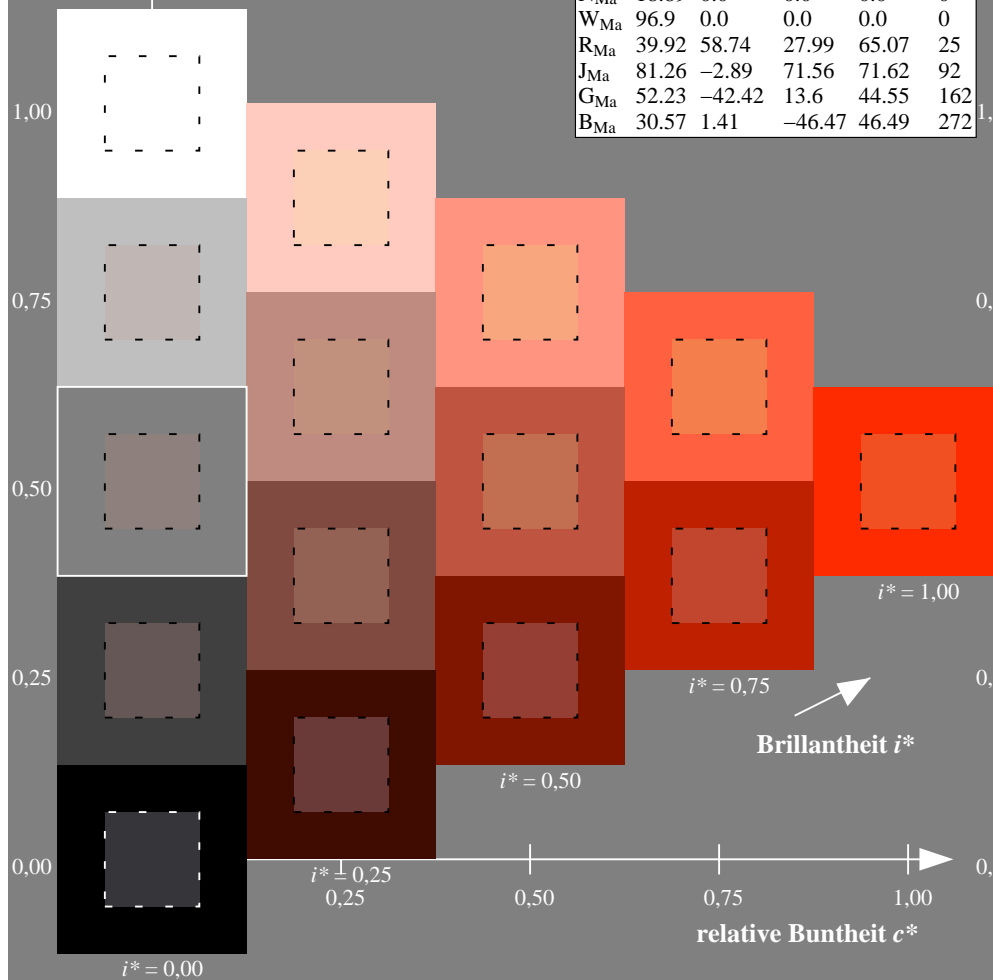
%Regularität

$g^*_{H,rel} = 72$

$g^*_{C,rel} = 57$

ORS19_96a; adaptierte CIELAB-Daten

u^*_e	$L^*=L^*_a$	a^*_a	b^*_a	$C^*_{ab,a}$	$h^*_{ab,a}$	u^*_d
r00j	48.88	66.47	31.67	73.63	25	m84o
r25j	55.85	52.39	47.48	70.7	42	o17y
r50j	65.45	35.22	58.37	68.17	59	o42y
r75j	75.19	17.82	69.41	71.66	76	o67y
j00g	87.03	-3.35	82.83	82.9	92	o92y
j25g	80.72	-25.01	69.5	73.86	110	y20l
j50g	70.64	-39.54	51.97	65.3	127	y46l
j75g	61.93	-52.1	36.83	63.8	145	y72l
g00b	52.8	-65.28	20.93	68.56	162	y99l
g25b	55.7	-49.58	-8.39	50.28	190	l36c
g50b	57.82	-38.4	-28.92	48.07	217	l72c
g75b	55.5	-22.05	-45.95	50.97	244	c11v
b00r	41.6	1.37	-45.01	45.03	272	c56v
b25r	29.0	25.08	-43.13	49.89	300	v04m
b50r	38.04	46.53	-28.39	54.51	329	v55m
b75r	49.48	72.88	-3.76	72.98	357	m11o



Ein und Ausgabe: Farbmetrisches Drucker-Reflektiv-System ORS19_96a für relativen CIELAB-Buntton $h^* = lab^*h^* = h_{ab}/360 = 0.164$

Daten für jede Farbe:

lab^*ch^* und lab^*icu^*

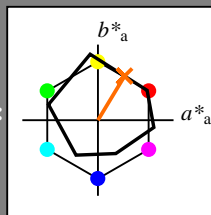
Bunttontexte:

$u^*_e = r50j$ $u^*_d = o42y$

Kontrastreduzierungsfaktor:

$c_R = 1.0$

Dreiecks-Helligkeit i^*



ORS19_96a; adaptierte CIELAB-Daten

	u^*_e	$L^*=L^*_a$	a^*_a	b^*_a	$C^*_{ab,a}$	$h^*_{ab,a}$
O _{Ma}	48.75	65.07	39.43	76.08	31	
Y _{Ma}	90.92	-10.29	87.24	87.85	97	
L _{Ma}	52.69	-65.44	20.75	68.65	162	
C _{Ma}	59.61	-28.98	-46.22	54.56	238	
V _{Ma}	28.39	23.63	-44.13	50.06	298	
M _{Ma}	49.58	73.93	-9.56	74.55	353	
N _{Ma}	18.89	0.0	0.0	0.0	0	
W _{Ma}	96.9	0.0	0.0	0.0	0	
R _{Ma}	39.92	58.74	27.99	65.07	25	
J _{Ma}	81.26	-2.89	71.56	71.62	92	
G _{Ma}	52.23	-42.42	13.6	44.55	162	
B _{Ma}	30.57	1.41	-46.47	46.49	272	

Daten für Maximalfarbe (Ma):

$LAB^*LAB^*_{Ma}$: 65 35 58

$LAB^*LCH^*_{Ma}$: 65 68 58

$lab^*rgb^*_{Ma}$: 1.0 0.5 0.0

$lab^*olv^*_{Ma}$: 1.0 0.42 0.0

Dreiecks-Helligkeit i^*

%Umfang

$u^*_{rel} = 89$

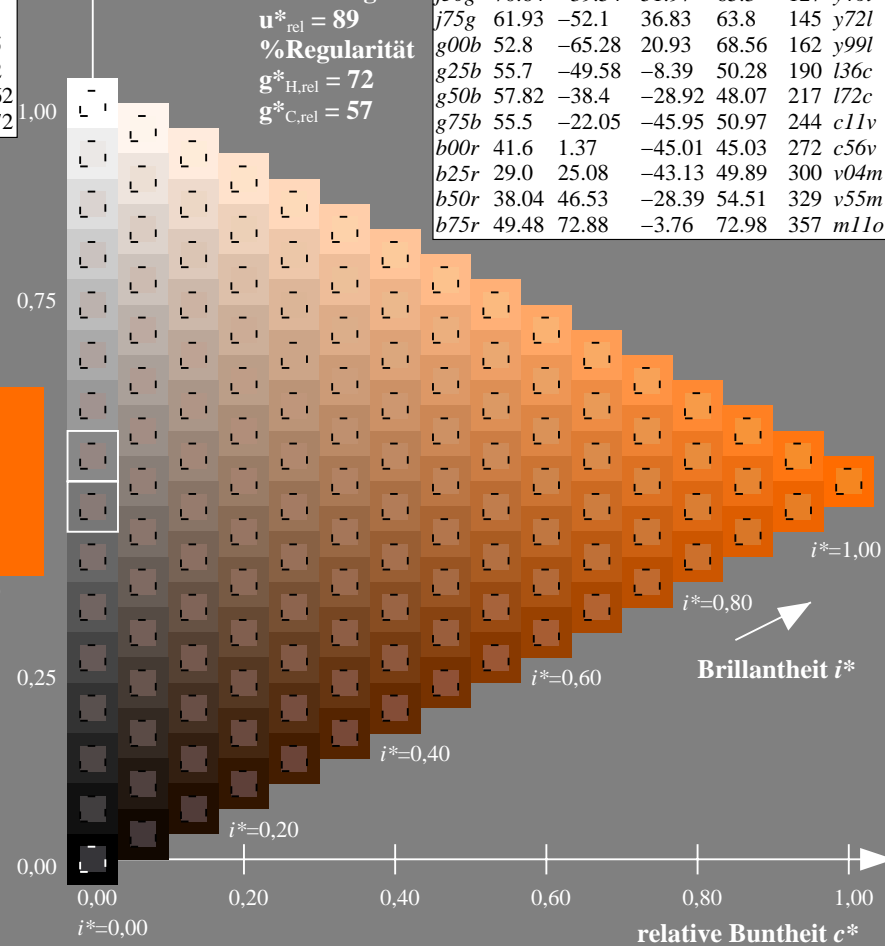
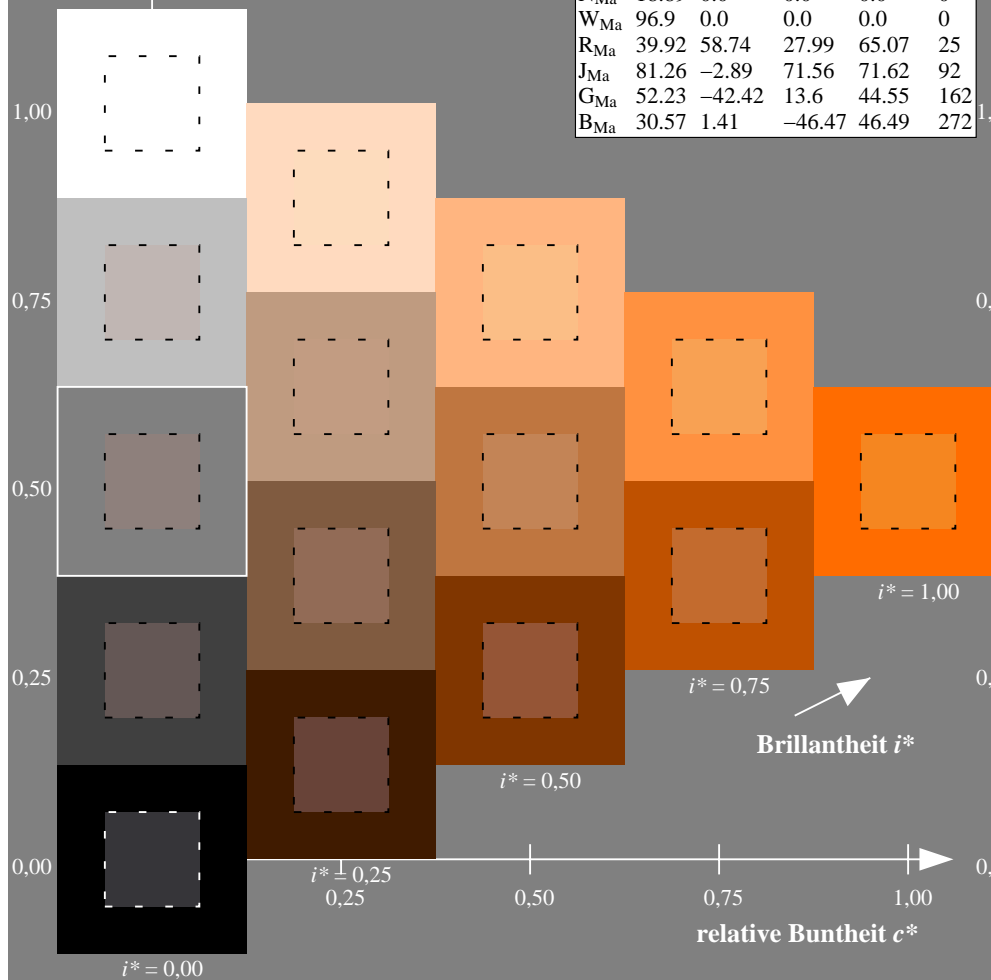
%Regularität

$g^*_{H,rel} = 72$

$g^*_{C,rel} = 57$

ORS19_96a; adaptierte CIELAB-Daten

	u^*_e	$L^*=L^*_a$	a^*_a	b^*_a	$C^*_{ab,a}$	$h^*_{ab,a}$	u^*_d
r00j	48.88	66.47	31.67	73.63	25	m84o	
r25j	55.85	52.39	47.48	70.7	42	o17y	
r50j	65.45	35.22	58.37	68.17	59	o42y	
r75j	75.19	17.82	69.41	71.66	76	o67y	
j00g	87.03	-3.35	82.83	82.9	92	o92y	
j25g	80.72	-25.01	69.5	73.86	110	y20l	
j50g	70.64	-39.54	51.97	65.3	127	y46l	
j75g	61.93	-52.1	36.83	63.8	145	y72l	
g00b	52.8	-65.28	20.93	68.56	162	y99l	
g25b	55.7	-49.58	-8.39	50.28	190	l36c	
g50b	57.82	-38.4	-28.92	48.07	217	l72c	
g75b	55.5	-22.05	-45.95	50.97	244	c11v	
b00r	41.6	1.37	-45.01	45.03	272	c56v	
b25r	29.0	25.08	-43.13	49.89	300	v04m	
b50r	38.04	46.53	-28.39	54.51	329	v55m	
b75r	49.48	72.88	-3.76	72.98	357	m11o	



Ein und Ausgabe: Farbmimetrisches Drucker-Reflektiv-System ORS19_96a für relativen CIELAB-Buntton $h^* = lab^*h^* = h_{ab}/360 = 0.21$

Daten für jede Farbe:

lab^*ch^* und lab^*icu^*

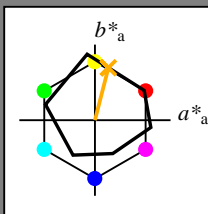
Bunttontexte:

$u^*_e = r75j$ $u^*_d = o67y$

Kontrastreduzierungsfaktor:

$c_R = 1.0$

Dreiecks-Helligkeit i^*



ORS19_96a; adaptierte CIELAB-Daten

u^*_e	$L^*=L^*_a$	a^*_a	b^*_a	$C^*_{ab,a}$	$h^*_{ab,a}$
O _{Ma}	48.75	65.07	39.43	76.08	31
Y _{Ma}	90.92	-10.29	87.24	87.85	97
L _{Ma}	52.69	-65.44	20.75	68.65	162
C _{Ma}	59.61	-28.98	-46.22	54.56	238
V _{Ma}	28.39	23.63	-44.13	50.06	298
M _{Ma}	49.58	73.93	-9.56	74.55	353
N _{Ma}	18.89	0.0	0.0	0.0	0
W _{Ma}	96.9	0.0	0.0	0.0	0
R _{Ma}	39.92	58.74	27.99	65.07	25
J _{Ma}	81.26	-2.89	71.56	71.62	92
G _{Ma}	52.23	-42.42	13.6	44.55	162
B _{Ma}	30.57	1.41	-46.47	46.49	272

Daten für Maximalfarbe (Ma):

$LAB^*LAB^*_{Ma}$: 75 18 69

$LAB^*LCH^*_{Ma}$: 75 72 75

$lab^*rgb^*_{Ma}$: 1.0 0.75 0.0

$lab^*olv^*_{Ma}$: 1.0 0.68 0.0

Dreiecks-Helligkeit i^*

%Umfang

$u^*_{rel} = 89$

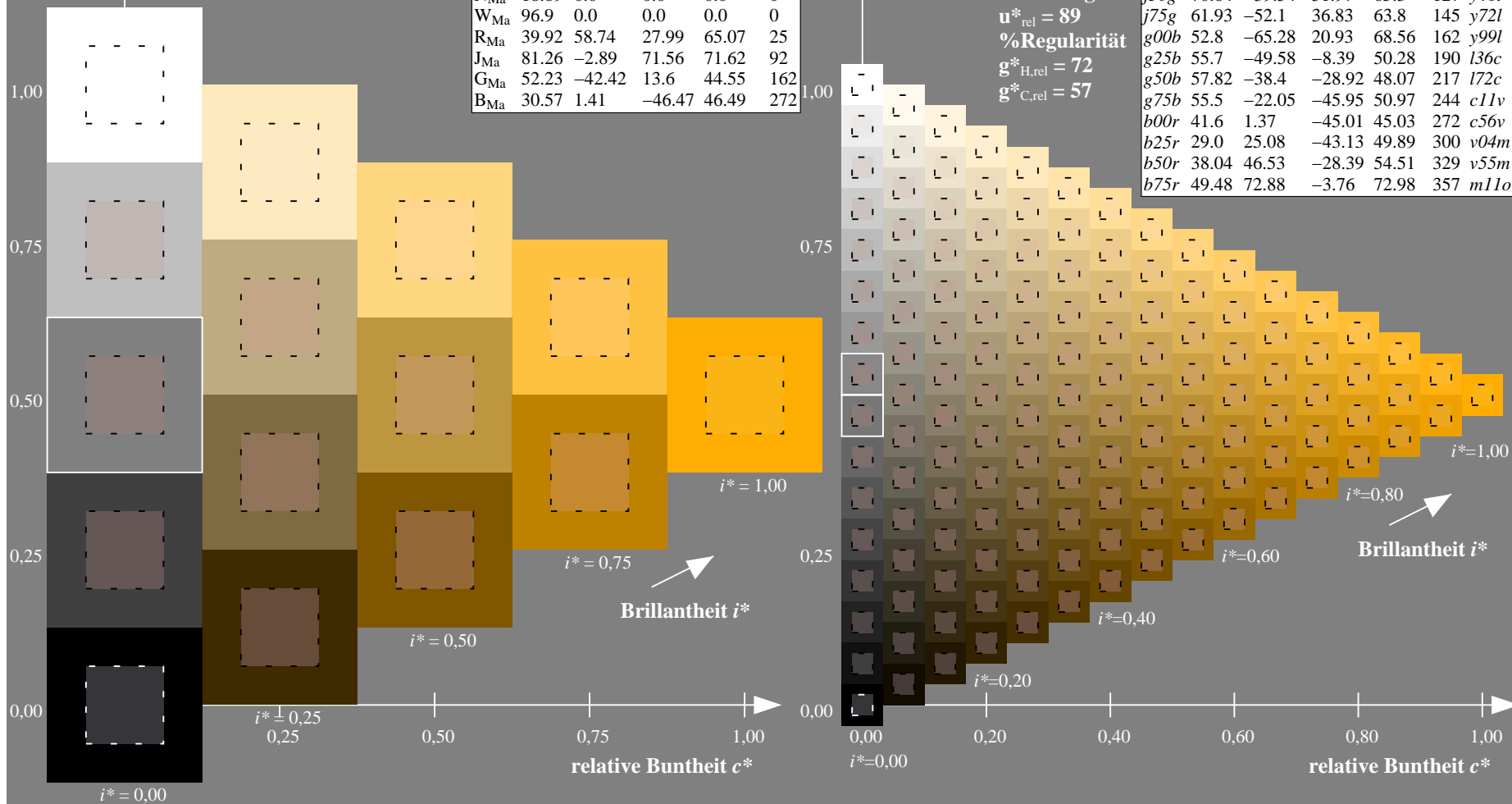
%Regularität

$g^*_{H,rel} = 72$

$g^*_{C,rel} = 57$

ORS19_96a; adaptierte CIELAB-Daten

u^*_e	$L^*=L^*_a$	a^*_a	b^*_a	$C^*_{ab,a}$	$h^*_{ab,a}$	u^*_d
r00j	48.88	66.47	31.67	73.63	25	m84o
r25j	55.85	52.39	47.48	70.7	42	o17y
r50j	65.45	35.22	58.37	68.17	59	o42y
r75j	75.19	17.82	69.41	71.66	76	o67y
j00g	87.03	-3.35	82.83	82.9	92	o92y
j25g	80.72	-25.01	69.5	73.86	110	y20l
j50g	70.64	-39.54	51.97	65.3	127	y46l
j75g	61.93	-52.1	36.83	63.8	145	y72l
g00b	52.8	-65.28	20.93	68.56	162	y99l
g25b	55.7	-49.58	-8.39	50.28	190	l36c
g50b	57.82	-38.4	-28.92	48.07	217	l72c
g75b	55.5	-22.05	-45.95	50.97	244	c11v
b00r	41.6	1.37	-45.01	45.03	272	c56v
b25r	29.0	25.08	-43.13	49.89	300	v04m
b50r	38.04	46.53	-28.39	54.51	329	v55m
b75r	49.48	72.88	-3.76	72.98	357	m11o



Ein und Ausgabe: Farbmetrisches Drucker-Reflektiv-System ORS19_96a für relativen CIELAB-Buntton $h^* = lab^*h^* = h_{ab}/360 = 0.256$

Daten für jede Farbe:

lab^*ch^* und lab^*icu^*

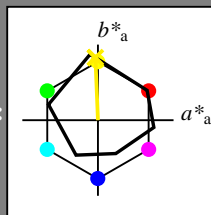
Bunttontexte:

$u^*_e = j00g$ $u^*_d = o92y$

Kontrastreduzierungsfaktor:

$c_R = 1.0$

Dreiecks-Helligkeit i^*



ORS19_96a; adaptierte CIELAB-Daten

u^*_e	$L^*=L^*_a$	a^*_a	b^*_a	$C^*_{ab,a}$	$h^*_{ab,a}$
O _{Ma}	48.75	65.07	39.43	76.08	31
Y _{Ma}	90.92	-10.29	87.24	87.85	97
L _{Ma}	52.69	-65.44	20.75	68.65	162
C _{Ma}	59.61	-28.98	-46.22	54.56	238
V _{Ma}	28.39	23.63	-44.13	50.06	298
M _{Ma}	49.58	73.93	-9.56	74.55	353
N _{Ma}	18.89	0.0	0.0	0.0	0
W _{Ma}	96.9	0.0	0.0	0.0	0
R _{Ma}	39.92	58.74	27.99	65.07	25
J _{Ma}	81.26	-2.89	71.56	71.62	92
G _{Ma}	52.23	-42.42	13.6	44.55	162
B _{Ma}	30.57	1.41	-46.47	46.49	272

Daten für Maximalfarbe (Ma):

$LAB^*LAB^*_{Ma}$: 87 -3 83

$LAB^*LCH^*_{Ma}$: 87 83 92

$lab^*rgb^*_{Ma}$: 1.0 1.0 0.0

$lab^*olv^*_{Ma}$: 1.0 0.93 0.0

Dreiecks-Helligkeit i^*

%Umfang

$u^*_{rel} = 89$

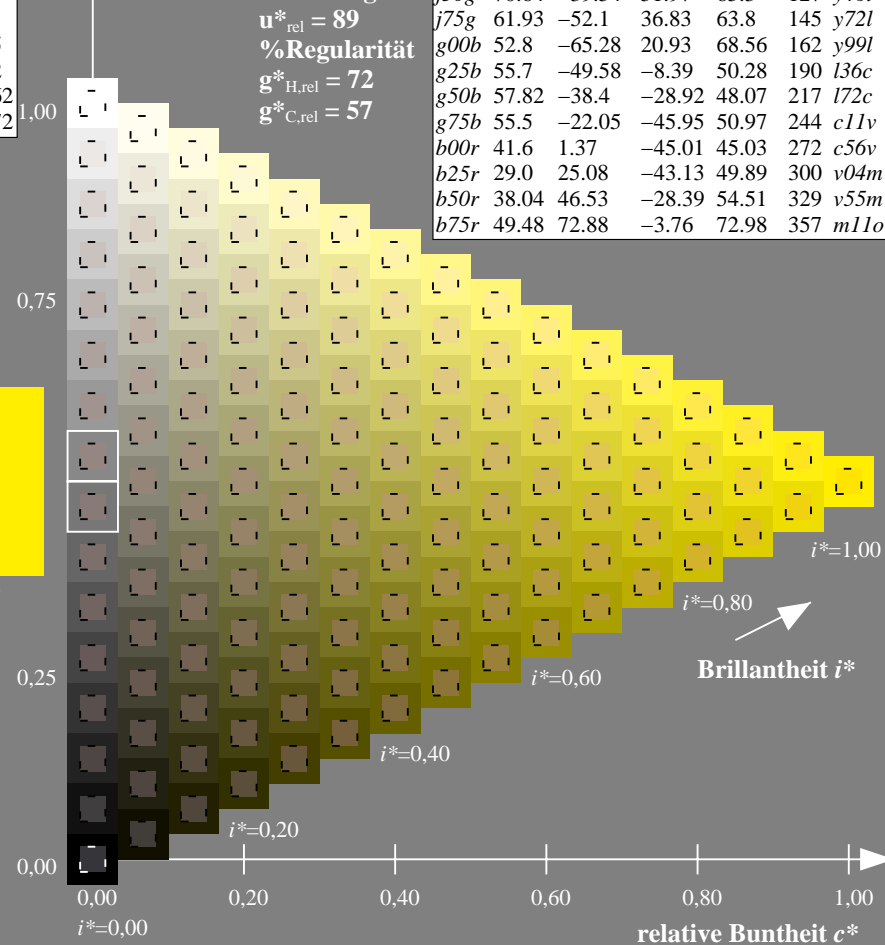
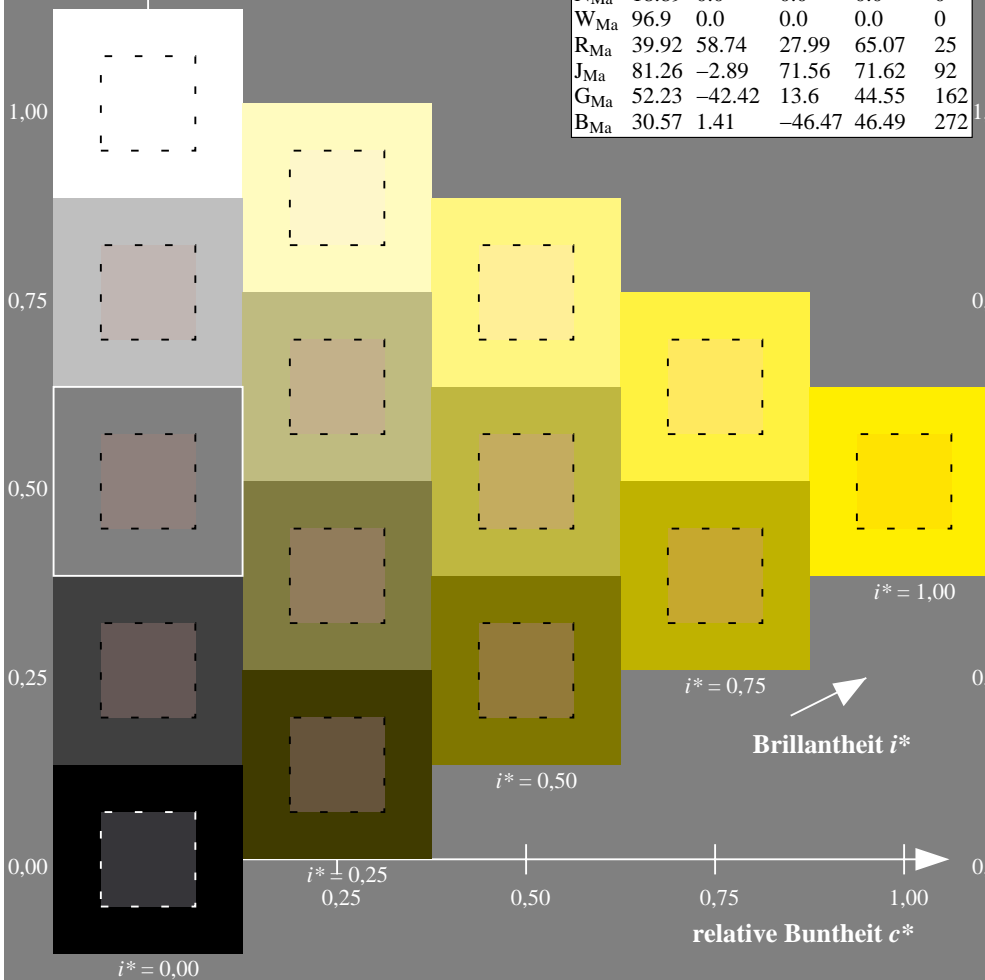
%Regularität

$g^*_{H,rel} = 72$

$g^*_{C,rel} = 57$

ORS19_96a; adaptierte CIELAB-Daten

u^*_e	$L^*=L^*_a$	a^*_a	b^*_a	$C^*_{ab,a}$	$h^*_{ab,a}$	u^*_d
r00j	48.88	66.47	31.67	73.63	25	m84o
r25j	55.85	52.39	47.48	70.7	42	o17y
r50j	65.45	35.22	58.37	68.17	59	o42y
r75j	75.19	17.82	69.41	71.66	76	o67y
j00g	87.03	-3.35	82.83	82.9	92	o92y
j25g	80.72	-25.01	69.5	73.86	110	y20l
j50g	70.64	-39.54	51.97	65.3	127	y46l
j75g	61.93	-52.1	36.83	63.8	145	y72l
g00b	52.8	-65.28	20.93	68.56	162	y99l
g25b	55.7	-49.58	-8.39	50.28	190	l36c
g50b	57.82	-38.4	-28.92	48.07	217	l72c
g75b	55.5	-22.05	-45.95	50.97	244	c11v
b00r	41.6	1.37	-45.01	45.03	272	c56v
b25r	29.0	25.08	-43.13	49.89	300	v04m
b50r	38.04	46.53	-28.39	54.51	329	v55m
b75r	49.48	72.88	-3.76	72.98	357	m11o



Ein und Ausgabe: Farbmetrisches Drucker-Reflektiv-System ORS19_96a für relativen CIELAB-Buntton $h^* = lab^*h^* = h_{ab}/360 = 0.305$

Daten für jede Farbe:

lab^*ch^* und lab^*icu^*

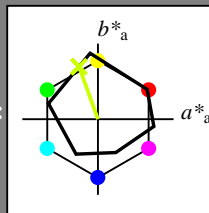
Bunttontexte:

$u^*_e = j25g$ $u^*_d = y20l$

Kontrastreduzierungsfaktor:

$c_R = 1.0$

Dreiecks-Helligkeit i^*



ORS19_96a; adaptierte CIELAB-Daten

u^*_e	$L^*=L^*_a$	a^*_a	b^*_a	$C^*_{ab,a}$	$h^*_{ab,a}$
O _{Ma}	48.75	65.07	39.43	76.08	31
Y _{Ma}	90.92	-10.29	87.24	87.85	97
L _{Ma}	52.69	-65.44	20.75	68.65	162
C _{Ma}	59.61	-28.98	-46.22	54.56	238
V _{Ma}	28.39	23.63	-44.13	50.06	298
M _{Ma}	49.58	73.93	-9.56	74.55	353
N _{Ma}	18.89	0.0	0.0	0.0	0
W _{Ma}	96.9	0.0	0.0	0.0	0
R _{Ma}	39.92	58.74	27.99	65.07	25
J _{Ma}	81.26	-2.89	71.56	71.62	92
G _{Ma}	52.23	-42.42	13.6	44.55	162
B _{Ma}	30.57	1.41	-46.47	46.49	272

Daten für Maximalfarbe (Ma):

$LAB^*LAB^*_{Ma}$: 81 -25 69

$LAB^*LCH^*_{Ma}$: 81 74 109

$lab^*rgb^*_{Ma}$: 0.75 1.0 0.0

$lab^*olv^*_{Ma}$: 0.8 1.0 0.0

Dreiecks-Helligkeit i^*

%Umfang

$u^*_{rel} = 89$

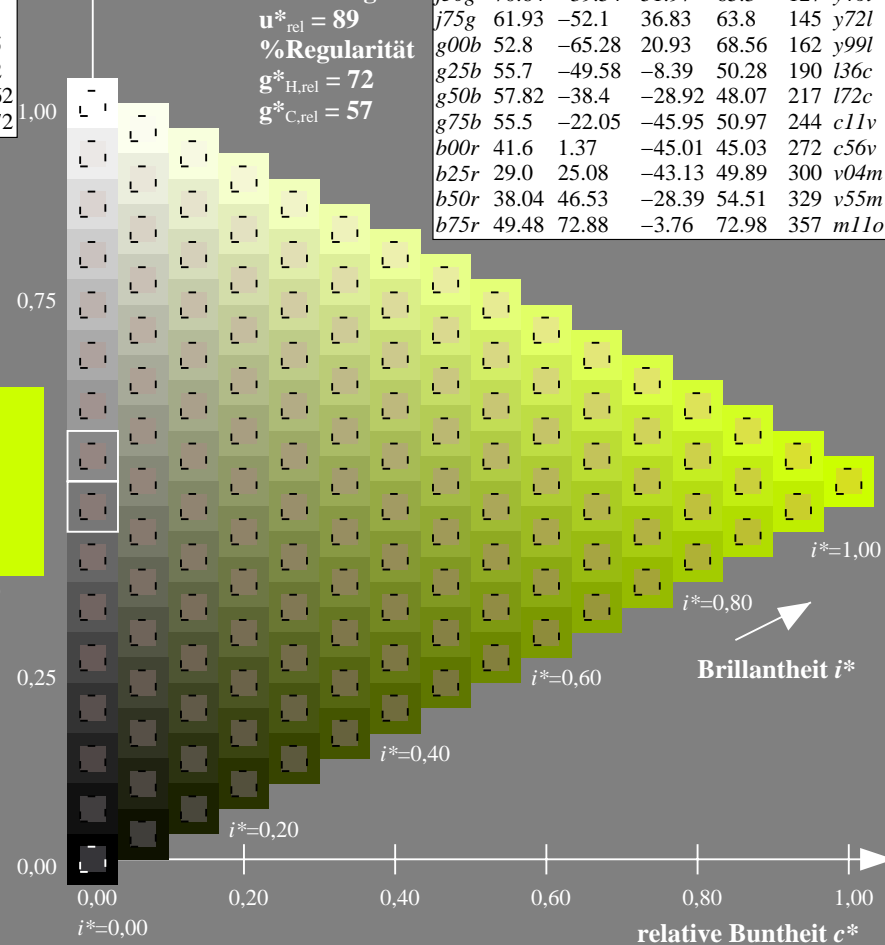
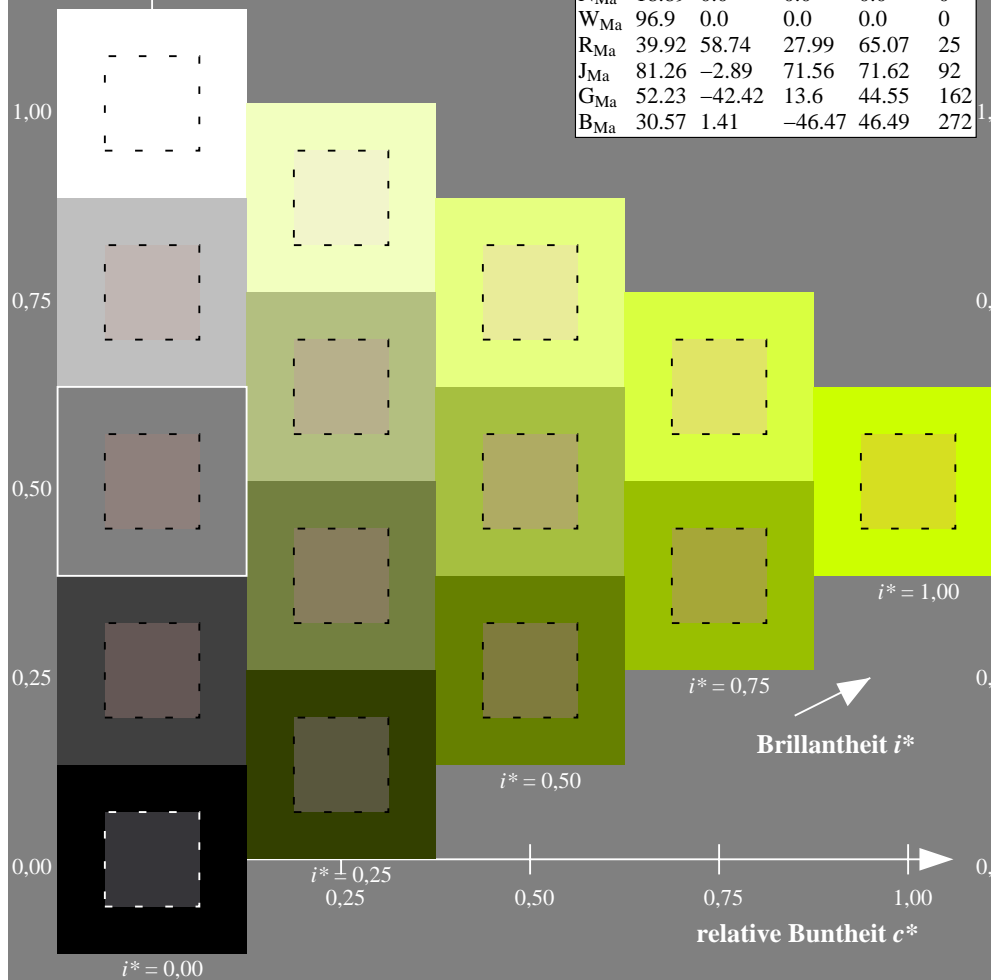
%Regularität

$g^*_{H,rel} = 72$

$g^*_{C,rel} = 57$

ORS19_96a; adaptierte CIELAB-Daten

u^*_e	$L^*=L^*_a$	a^*_a	b^*_a	$C^*_{ab,a}$	$h^*_{ab,a}$	u^*_d
r00j	48.88	66.47	31.67	73.63	25	m84o
r25j	55.85	52.39	47.48	70.7	42	o17y
r50j	65.45	35.22	58.37	68.17	59	o42y
r75j	75.19	17.82	69.41	71.66	76	o67y
j00g	87.03	-3.35	82.83	82.9	92	o92y
j25g	80.72	-25.01	69.5	73.86	110	y20l
j50g	70.64	-39.54	51.97	65.3	127	y46l
j75g	61.93	-52.1	36.83	63.8	145	y72l
g00b	52.8	-65.28	20.93	68.56	162	y99l
g25b	55.7	-49.58	-8.39	50.28	190	l36c
g50b	57.82	-38.4	-28.92	48.07	217	l72c
g75b	55.5	-22.05	-45.95	50.97	244	c11v
b00r	41.6	1.37	-45.01	45.03	272	c56v
b25r	29.0	25.08	-43.13	49.89	300	v04m
b50r	38.04	46.53	-28.39	54.51	329	v55m
b75r	49.48	72.88	-3.76	72.98	357	m11o



Ein und Ausgabe: Farbmetrisches Drucker-Reflektiv-System ORS19_96a für relativen CIELAB-Buntton $h^* = lab^*h^* = h_{ab}/360 = 0.354$

Daten für jede Farbe:

lab^*ch^* und lab^*icu^*

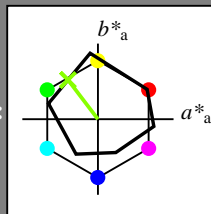
Bunttontexte:

$u^*_e = j50g$ $u^*_d = y46l$

Kontrastreduzierungsfaktor:

$c_R = 1.0$

Dreiecks-Helligkeit i^*



ORS19_96a; adaptierte CIELAB-Daten

u^*_e	$L^*=L^*_a$	a^*_a	b^*_a	$C^*_{ab,a}$	$h^*_{ab,a}$
O _{Ma}	48.75	65.07	39.43	76.08	31
Y _{Ma}	90.92	-10.29	87.24	87.85	97
L _{Ma}	52.69	-65.44	20.75	68.65	162
C _{Ma}	59.61	-28.98	-46.22	54.56	238
V _{Ma}	28.39	23.63	-44.13	50.06	298
M _{Ma}	49.58	73.93	-9.56	74.55	353
N _{Ma}	18.89	0.0	0.0	0.0	0
W _{Ma}	96.9	0.0	0.0	0.0	0
R _{Ma}	39.92	58.74	27.99	65.07	25
J _{Ma}	81.26	-2.89	71.56	71.62	92
G _{Ma}	52.23	-42.42	13.6	44.55	162
B _{Ma}	30.57	1.41	-46.47	46.49	272

Daten für Maximalfarbe (Ma):

$LAB^*LAB^*_{Ma}$: 71 -40 52

$LAB^*LCH^*_{Ma}$: 71 65 127

$lab^*rgb^*_{Ma}$: 0.5 1.0 0.0

$lab^*olv^*_{Ma}$: 0.54 1.0 0.0

Dreiecks-Helligkeit i^*

%Umfang

$u^*_{rel} = 89$

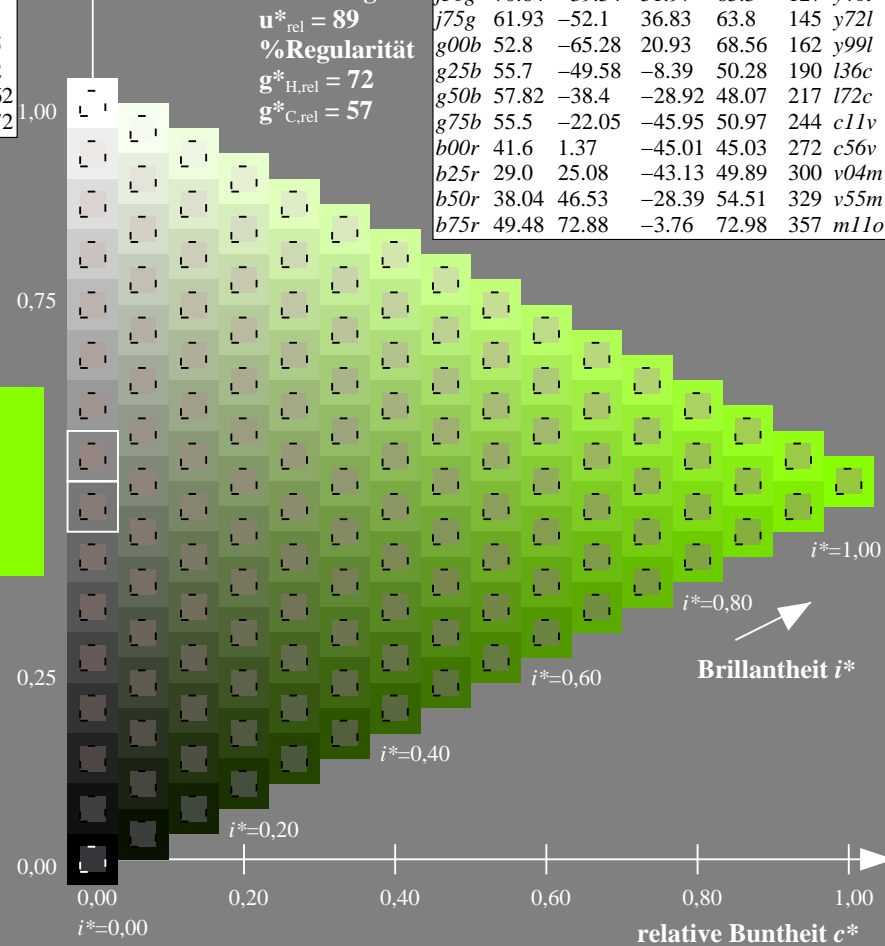
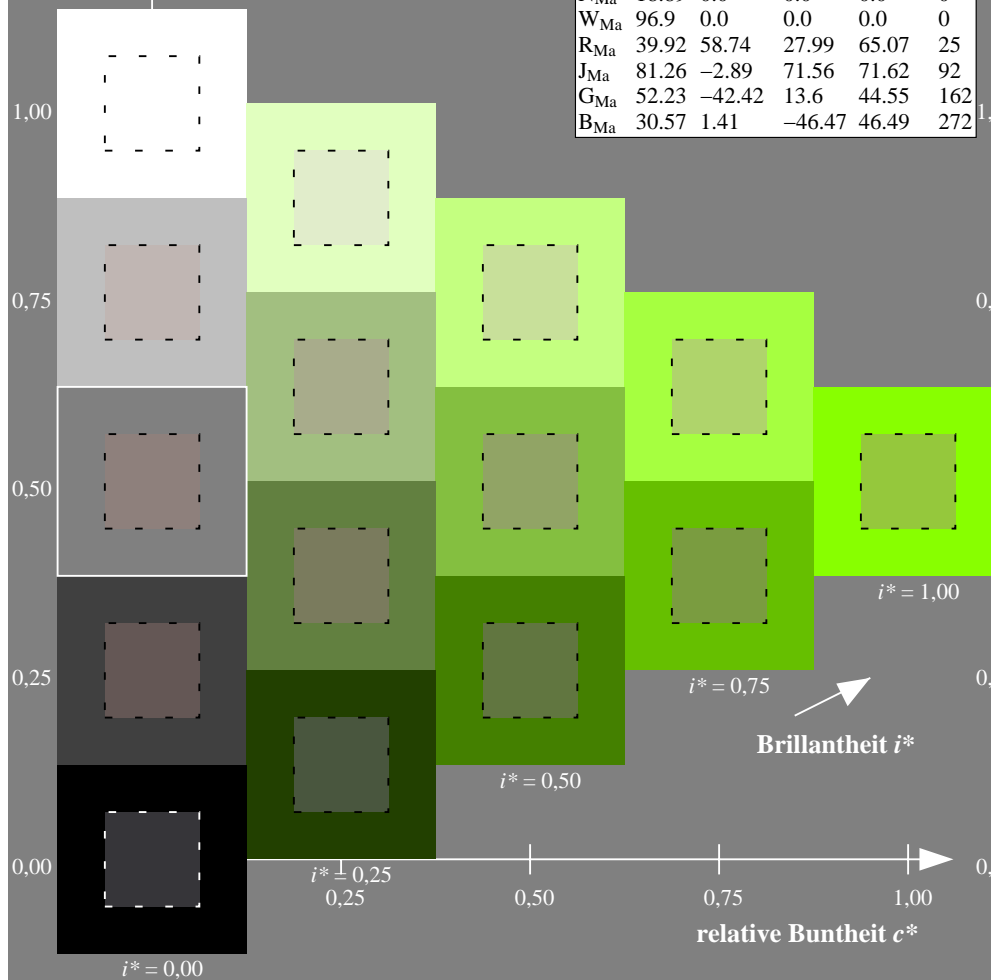
%Regularität

$g^*_{H,rel} = 72$

$g^*_{C,rel} = 57$

ORS19_96a; adaptierte CIELAB-Daten

u^*_e	$L^*=L^*_a$	a^*_a	b^*_a	$C^*_{ab,a}$	$h^*_{ab,a}$	u^*_d
r00j	48.88	66.47	31.67	73.63	25	m84o
r25j	55.85	52.39	47.48	70.7	42	o17y
r50j	65.45	35.22	58.37	68.17	59	o42y
r75j	75.19	17.82	69.41	71.66	76	o67y
j00g	87.03	-3.35	82.83	82.9	92	o92y
j25g	80.72	-25.01	69.5	73.86	110	y20l
j50g	70.64	-39.54	51.97	65.3	127	y46l
j75g	61.93	-52.1	36.83	63.8	145	y72l
g00b	52.8	-65.28	20.93	68.56	162	y99l
g25b	55.7	-49.58	-8.39	50.28	190	l36c
g50b	57.82	-38.4	-28.92	48.07	217	l72c
g75b	55.5	-22.05	-45.95	50.97	244	c11v
b00r	41.6	1.37	-45.01	45.03	272	c56v
b25r	29.0	25.08	-43.13	49.89	300	v04m
b50r	38.04	46.53	-28.39	54.51	329	v55m
b75r	49.48	72.88	-3.76	72.98	357	m11o



Ein und Ausgabe: Farbmetrisches Drucker-Reflektiv-System ORS19_96a für relativen CIELAB-Buntton $h^* = lab^*h^* = h_{ab}/360 = 0.402$

Daten für jede Farbe:

lab^*ch^* und lab^*icu^*

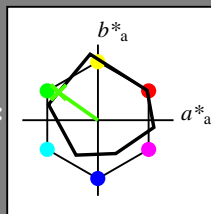
Bunttontexte:

$u^*_e = j75g$ $u^*_d = y72l$

Kontrastreduzierungsfaktor:

$c_R = 1.0$

Dreiecks-Helligkeit i^*



ORS19_96a; adaptierte CIELAB-Daten

u^*_e	$L^*=L^*_a$	a^*_a	b^*_a	$C^*_{ab,a}$	$h^*_{ab,a}$
O _{Ma}	48.75	65.07	39.43	76.08	31
Y _{Ma}	90.92	-10.29	87.24	87.85	97
L _{Ma}	52.69	-65.44	20.75	68.65	162
C _{Ma}	59.61	-28.98	-46.22	54.56	238
V _{Ma}	28.39	23.63	-44.13	50.06	298
M _{Ma}	49.58	73.93	-9.56	74.55	353
N _{Ma}	18.89	0.0	0.0	0.0	0
W _{Ma}	96.9	0.0	0.0	0.0	0
R _{Ma}	39.92	58.74	27.99	65.07	25
J _{Ma}	81.26	-2.89	71.56	71.62	92
G _{Ma}	52.23	-42.42	13.6	44.55	162
B _{Ma}	30.57	1.41	-46.47	46.49	272

Daten für Maximalfarbe (Ma):

LAB^*LAB^*Ma : 62 -52 37

LAB^*LCH^*Ma : 62 64 144

lab^*rgb^*Ma : 0.25 1.0 0.0

lab^*olv^*Ma : 0.27 1.0 0.0

Dreiecks-Helligkeit i^*

%Umfang

$u^*_{rel} = 89$

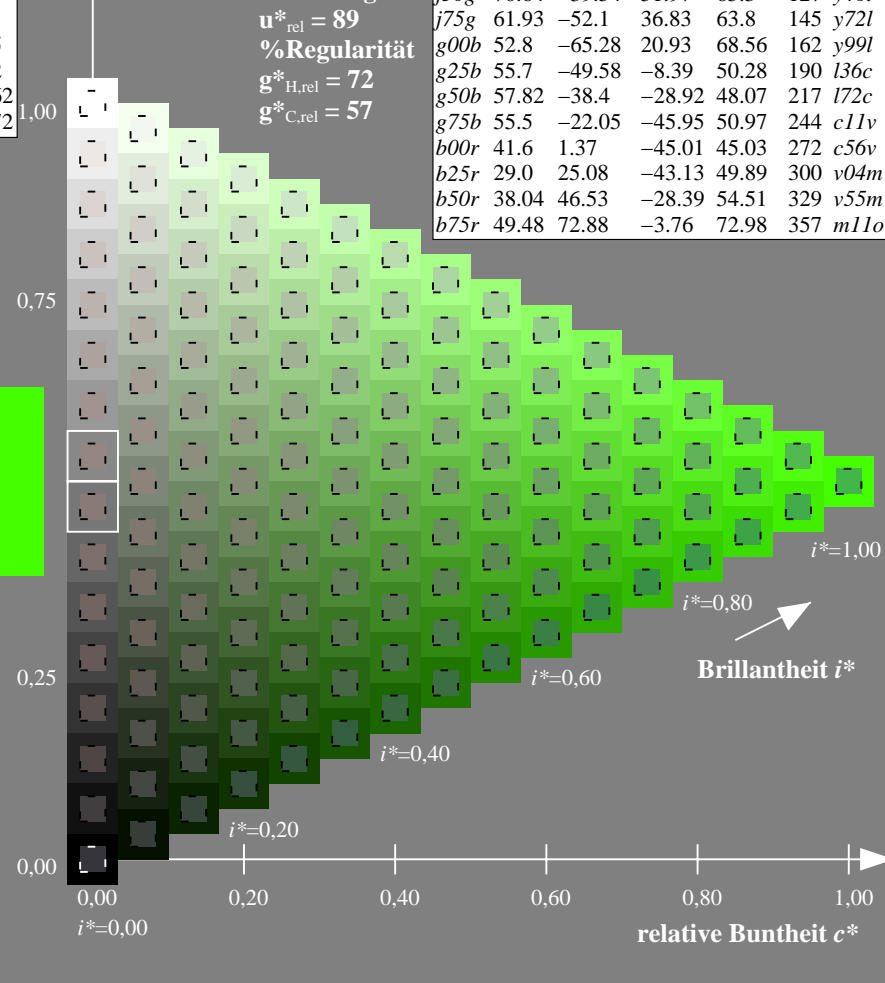
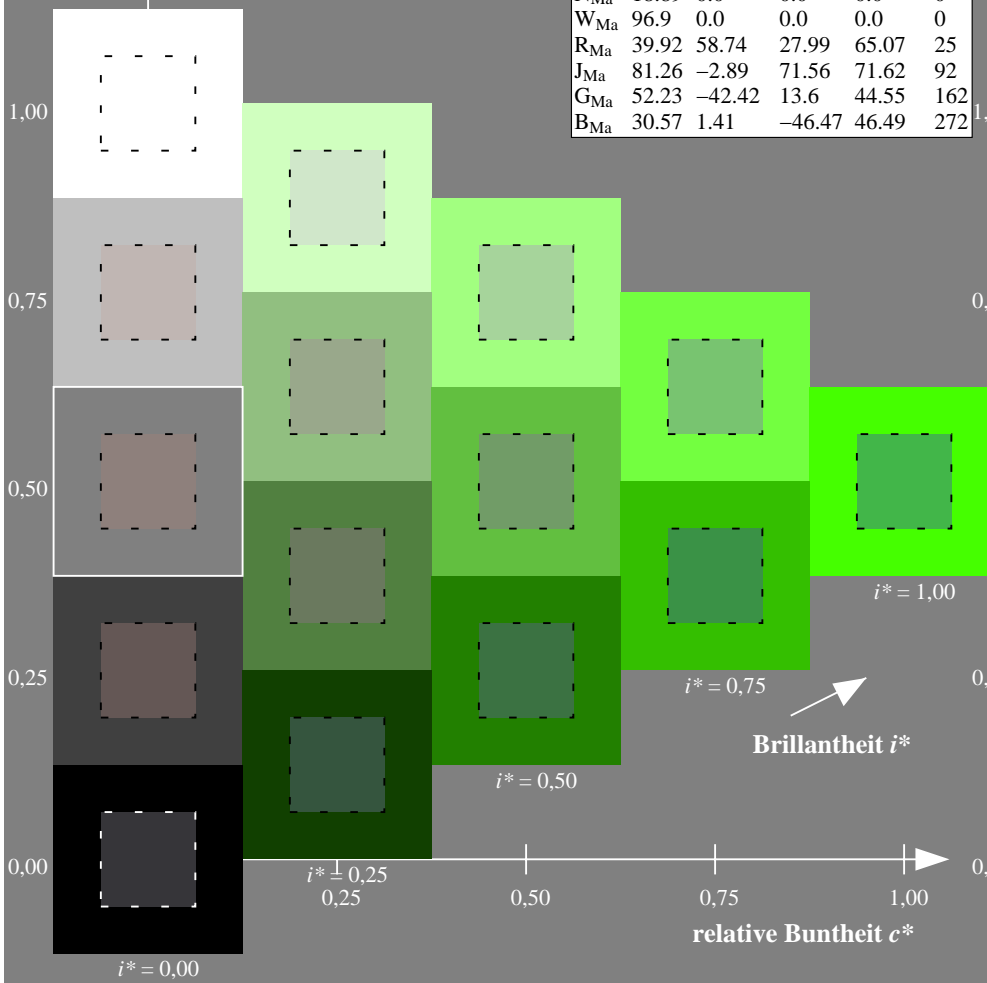
%Regularität

$g^*_{H,rel} = 72$

$g^*_{C,rel} = 57$

ORS19_96a; adaptierte CIELAB-Daten

u^*_e	$L^*=L^*_a$	a^*_a	b^*_a	$C^*_{ab,a}$	$h^*_{ab,a}$	u^*_d
r00j	48.88	66.47	31.67	73.63	25	m84o
r25j	55.85	52.39	47.48	70.7	42	o17y
r50j	65.45	35.22	58.37	68.17	59	o42y
r75j	75.19	17.82	69.41	71.66	76	o67y
j00g	87.03	-3.35	82.83	82.9	92	o92y
j25g	80.72	-25.01	69.5	73.86	110	y20l
j50g	70.64	-39.54	51.97	65.3	127	y46l
j75g	61.93	-52.1	36.83	63.8	145	y72l
g00b	52.8	-65.28	20.93	68.56	162	y99l
g25b	55.7	-49.58	-8.39	50.28	190	l36c
g50b	57.82	-38.4	-28.92	48.07	217	l72c
g75b	55.5	-22.05	-45.95	50.97	244	c11v
b00r	41.6	1.37	-45.01	45.03	272	c56v
b25r	29.0	25.08	-43.13	49.89	300	v04m
b50r	38.04	46.53	-28.39	54.51	329	v55m
b75r	49.48	72.88	-3.76	72.98	357	m11o



Ein und Ausgabe: Farbmimetrisches Drucker-Reflektiv-System ORS19_96a für relativen CIELAB-Buntton $h^* = lab^*h^* = h_{ab}/360 = 0.451$

Daten für jede Farbe:

lab^*ch^* und lab^*icu^*

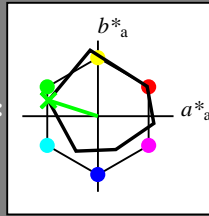
Bunttontexte:

$u^*_e = g00b$ $u^*_d = y99l$

Kontrastreduzierungsfaktor:

$c_R = 1.0$

Dreiecks-Helligkeit i^*



ORS19_96a; adaptierte CIELAB-Daten						
u^*_e	$L^*=L^*_a$	a^*_a	b^*_a	$C^*_{ab,a}$	$h^*_{ab,a}$	u^*_d
O _{Ma}	48.75	65.07	39.43	76.08	31	
Y _{Ma}	90.92	-10.29	87.24	87.85	97	
L _{Ma}	52.69	-65.44	20.75	68.65	162	
C _{Ma}	59.61	-28.98	-46.22	54.56	238	
V _{Ma}	28.39	23.63	-44.13	50.06	298	
M _{Ma}	49.58	73.93	-9.56	74.55	353	
N _{Ma}	18.89	0.0	0.0	0.0	0	
W _{Ma}	96.9	0.0	0.0	0.0	0	
R _{Ma}	39.92	58.74	27.99	65.07	25	
J _{Ma}	81.26	-2.89	71.56	71.62	92	
G _{Ma}	52.23	-42.42	13.6	44.55	162	
B _{Ma}	30.57	1.41	-46.47	46.49	272	

Daten für Maximalfarbe (Ma):

$LAB^*LAB^*_{Ma}$: 53 -65 21

$LAB^*LCH^*_{Ma}$: 53 69 162

$lab^*rgb^*_{Ma}$: 0.0 1.0 0.0

$lab^*olv^*_{Ma}$: 0.0 1.0 0.0

Dreiecks-Helligkeit i^*

%Umfang

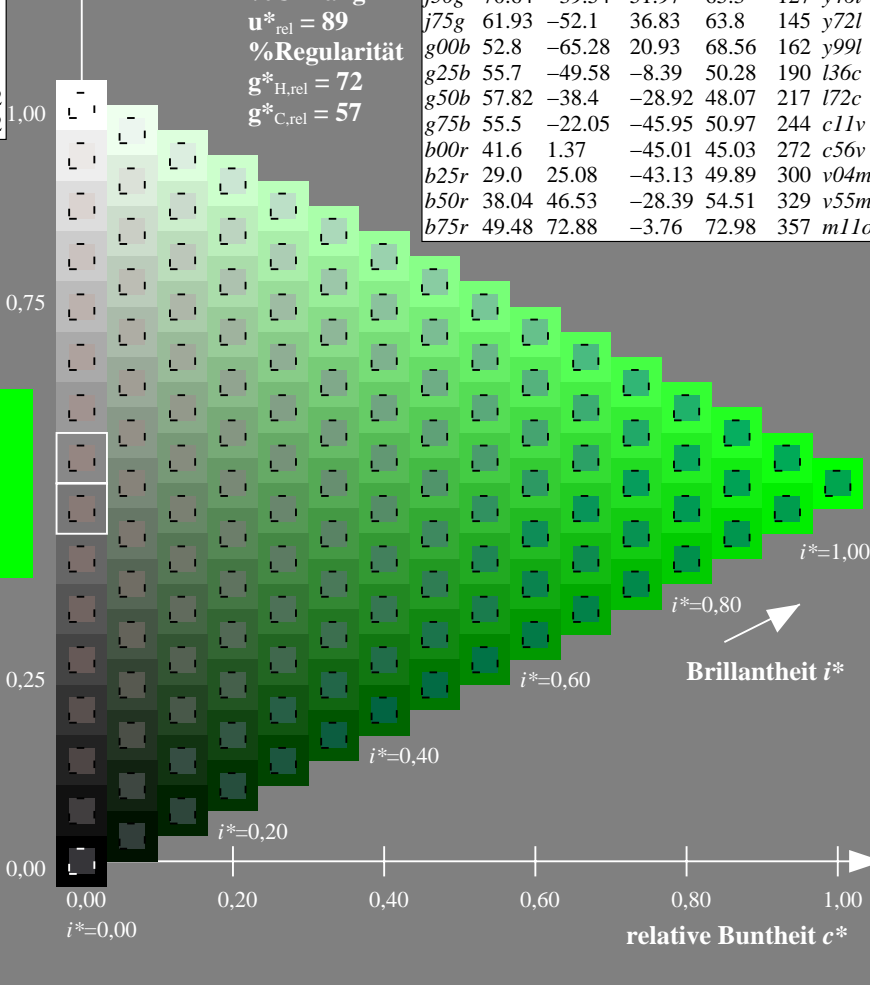
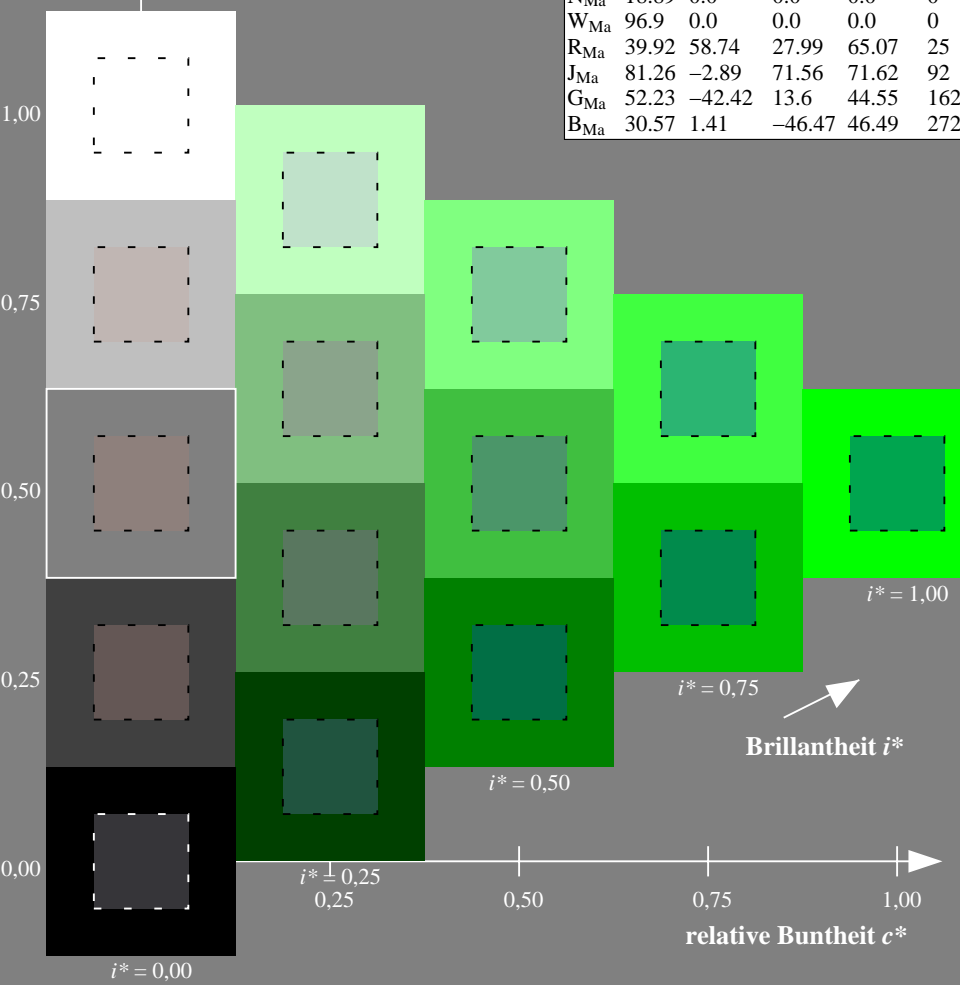
$u^*_{rel} = 89$

%Regularität

$g^*_{H,rel} = 72$

$g^*_{C,rel} = 57$

ORS19_96a; adaptierte CIELAB-Daten						
u^*_e	$L^*=L^*_a$	a^*_a	b^*_a	$C^*_{ab,a}$	$h^*_{ab,a}$	u^*_d
r00j	48.88	66.47	31.67	73.63	25	m84o
r25j	55.85	52.39	47.48	70.7	42	o17y
r50j	65.45	35.22	58.37	68.17	59	o42y
r75j	75.19	17.82	69.41	71.66	76	o67y
j00g	87.03	-3.35	82.83	82.9	92	o92y
j25g	80.72	-25.01	69.5	73.86	110	y20l
j50g	70.64	-39.54	51.97	65.3	127	y46l
j75g	61.93	-52.1	36.83	63.8	145	y72l
g00b	52.8	-65.28	20.93	68.56	162	y99l
g25b	55.7	-49.58	-8.39	50.28	190	l36c
g50b	57.82	-38.4	-28.92	48.07	217	l72c
g75b	55.5	-22.05	-45.95	50.97	244	c11v
b00r	41.6	1.37	-45.01	45.03	272	c56v
b25r	29.0	25.08	-43.13	49.89	300	v04m
b50r	38.04	46.53	-28.39	54.51	329	v55m
b75r	49.48	72.88	-3.76	72.98	357	m11o



Ein und Ausgabe: Farbmimetrisches Drucker-Reflektiv-System ORS19_96a für relativen CIELAB-Buntton $h^* = lab^*h^* = h_{ab}/360 = 0.527$

Daten für jede Farbe:

lab^*tch^* und lab^*icu^*

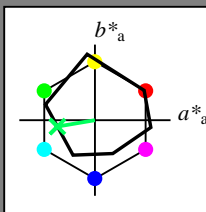
Bunttontexte:

$u^*_e = g25b$ $u^*_d = l36c$

Kontrastreduzierungsfaktor:

$c_R = 1.0$

Dreiecks-Helligkeit i^*



ORS19_96a; adaptierte CIELAB-Daten

u^*_e	$L^*=L^*_a$	a^*_a	b^*_a	$C^*_{ab,a}$	$h^*_{ab,a}$
O _{Ma}	48.75	65.07	39.43	76.08	31
Y _{Ma}	90.92	-10.29	87.24	87.85	97
L _{Ma}	52.69	-65.44	20.75	68.65	162
C _{Ma}	59.61	-28.98	-46.22	54.56	238
V _{Ma}	28.39	23.63	-44.13	50.06	298
M _{Ma}	49.58	73.93	-9.56	74.55	353
N _{Ma}	18.89	0.0	0.0	0.0	0
W _{Ma}	96.9	0.0	0.0	0.0	0
R _{Ma}	39.92	58.74	27.99	65.07	25
J _{Ma}	81.26	-2.89	71.56	71.62	92
G _{Ma}	52.23	-42.42	13.6	44.55	162
B _{Ma}	30.57	1.41	-46.47	46.49	272

Daten für Maximalfarbe (Ma):

$LAB^*LAB^*_{Ma}$: 56 -50 -8

$LAB^*LCH^*_{Ma}$: 56 50 189

$lab^*rgb^*_{Ma}$: 0.0 1.0 0.5

$lab^*olv^*_{Ma}$: 0.0 1.0 0.36

Dreiecks-Helligkeit i^*

%Umfang

$u^*_{rel} = 89$

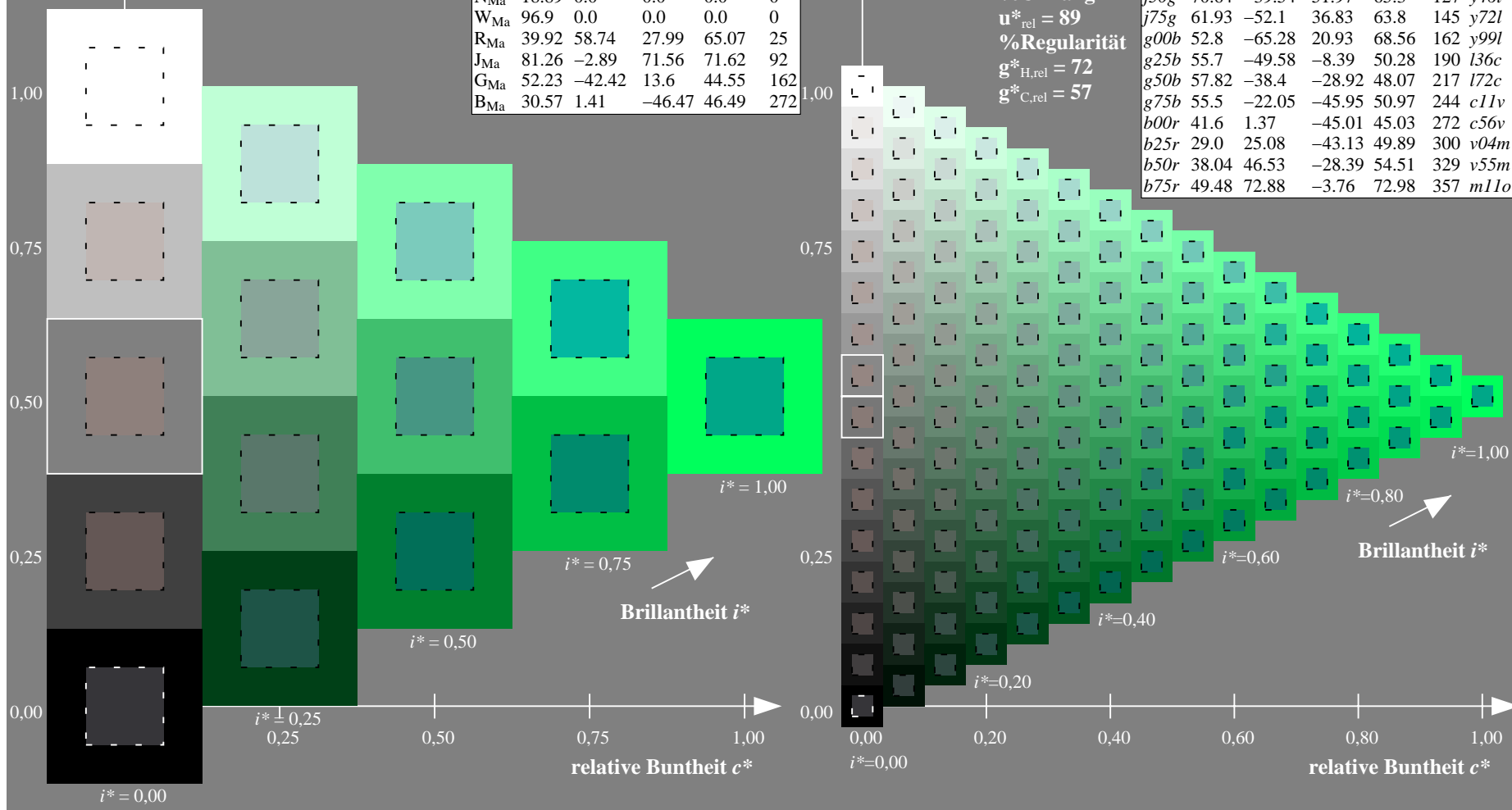
%Regularität

$g^*_{H,rel} = 72$

$g^*_{C,rel} = 57$

ORS19_96a; adaptierte CIELAB-Daten

u^*_e	$L^*=L^*_a$	a^*_a	b^*_a	$C^*_{ab,a}$	$h^*_{ab,a}$	u^*_d
r00j	48.88	66.47	31.67	73.63	25	m84o
r25j	55.85	52.39	47.48	70.7	42	o17y
r50j	65.45	35.22	58.37	68.17	59	o42y
r75j	75.19	17.82	69.41	71.66	76	o67y
j00g	87.03	-3.35	82.83	82.9	92	o92y
j25g	80.72	-25.01	69.5	73.86	110	y20l
j50g	70.64	-39.54	51.97	65.3	127	y46l
j75g	61.93	-52.1	36.83	63.8	145	y72l
g00b	52.8	-65.28	20.93	68.56	162	y99l
g25b	55.7	-49.58	-8.39	50.28	190	l36c
g50b	57.82	-38.4	-28.92	48.07	217	l72c
g75b	55.5	-22.05	-45.95	50.97	244	c11v
b00r	41.6	1.37	-45.01	45.03	272	c56v
b25r	29.0	25.08	-43.13	49.89	300	v04m
b50r	38.04	46.53	-28.39	54.51	329	v55m
b75r	49.48	72.88	-3.76	72.98	357	m11o



Ein und Ausgabe: Farbmetrisches Drucker-Reflektiv-System ORS19_96a für relativen CIELAB-Buntton $h^* = lab^*h^* = h_{ab}/360 = 0.603$

Daten für jede Farbe:

lab^*ch^* und lab^*icu^*

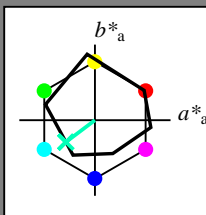
Bunttontexte:

$u^*_e = g50b$ $u^*_d = l72c$

Kontrastreduzierungsfaktor:

$c_R = 1.0$

Dreiecks-Helligkeit i^*



ORS19_96a; adaptierte CIELAB-Daten						
u^*_e	$L^*=L^*_a$	a^*_a	b^*_a	$C^*_{ab,a}$	$h^*_{ab,a}$	
O _{Ma}	48.75	65.07	39.43	76.08	31	
Y _{Ma}	90.92	-10.29	87.24	87.85	97	
L _{Ma}	52.69	-65.44	20.75	68.65	162	
C _{Ma}	59.61	-28.98	-46.22	54.56	238	
V _{Ma}	28.39	23.63	-44.13	50.06	298	
M _{Ma}	49.58	73.93	-9.56	74.55	353	
N _{Ma}	18.89	0.0	0.0	0.0	0	
W _{Ma}	96.9	0.0	0.0	0.0	0	
R _{Ma}	39.92	58.74	27.99	65.07	25	
J _{Ma}	81.26	-2.89	71.56	71.62	92	
G _{Ma}	52.23	-42.42	13.6	44.55	162	
B _{Ma}	30.57	1.41	-46.47	46.49	272	

Daten für Maximalfarbe (Ma):

$LAB^*LAB^*_{Ma}$: 58 -38 -29

$LAB^*LCH^*_{Ma}$: 58 48 216

$lab^*rgb^*_{Ma}$: 0.0 1.0 1.0

$lab^*olv^*_{Ma}$: 0.0 1.0 0.72

Dreiecks-Helligkeit i^*

%Umfang

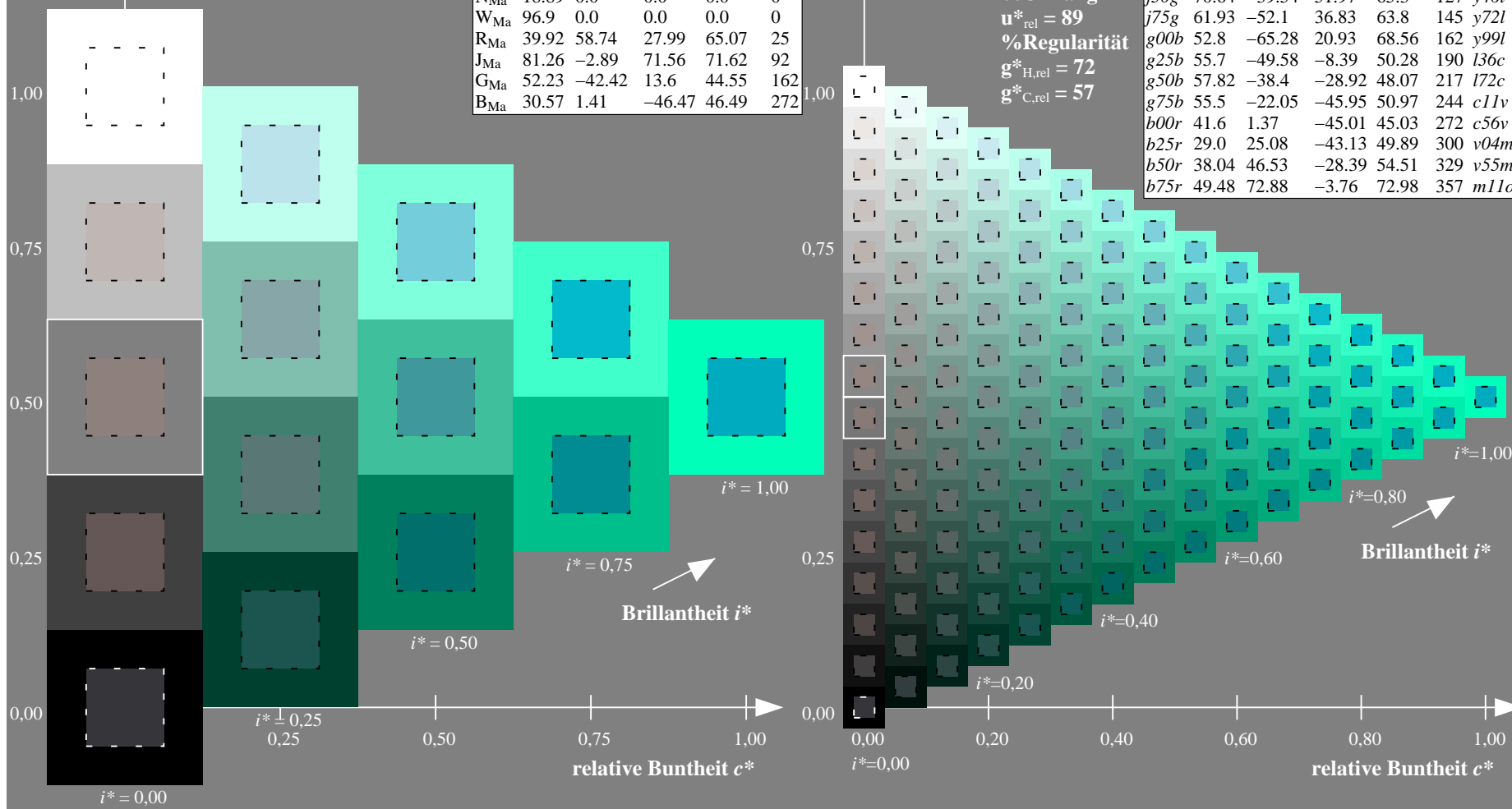
$u^*_{rel} = 89$

%Regularität

$g^*_{H,rel} = 72$

$g^*_{C,rel} = 57$

ORS19_96a; adaptierte CIELAB-Daten						
u^*_e	$L^*=L^*_a$	a^*_a	b^*_a	$C^*_{ab,a}$	$h^*_{ab,a}$	u^*_d
r00j	48.88	66.47	31.67	73.63	25	m84o
r25j	55.85	52.39	47.48	70.7	42	o17y
r50j	65.45	35.22	58.37	68.17	59	o42y
r75j	75.19	17.82	69.41	71.66	76	o67y
j00g	87.03	-3.35	82.83	82.9	92	o92y
j25g	80.72	-25.01	69.5	73.86	110	y20l
j50g	70.64	-39.54	51.97	65.3	127	y46l
j75g	61.93	-52.1	36.83	63.8	145	y72l
g00b	52.8	-65.28	20.93	68.56	162	y99l
g25b	55.7	-49.58	-8.39	50.28	190	l36c
g50b	57.82	-38.4	-28.92	48.07	217	l72c
g75b	55.5	-22.05	-45.95	50.97	244	c11v
b00r	41.6	1.37	-45.01	45.03	272	c56v
b25r	29.0	25.08	-43.13	49.89	300	v04m
b50r	38.04	46.53	-28.39	54.51	329	v55m
b75r	49.48	72.88	-3.76	72.98	357	m11o



Ein und Ausgabe: Farbmetrisches Drucker-Reflektiv-System ORS19_96a für relativen CIELAB-Buntton $h^* = lab^*h^* = h_{ab}/360 = 0.679$

Daten für jede Farbe:

lab^*ch^* und lab^*icu^*

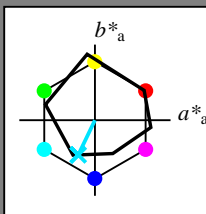
Bunttontexte:

$u^*_e = g75b$ $u^*_d = c11v$

Kontrastreduzierungsfaktor:

$c_R = 1.0$

Dreiecks-Helligkeit i^*



ORS19_96a; adaptierte CIELAB-Daten

u^*_e	$L^*=L^*_a$	a^*_a	b^*_a	$C^*_{ab,a}$	$h^*_{ab,a}$
O _{Ma}	48.75	65.07	39.43	76.08	31
Y _{Ma}	90.92	-10.29	87.24	87.85	97
L _{Ma}	52.69	-65.44	20.75	68.65	162
C _{Ma}	59.61	-28.98	-46.22	54.56	238
V _{Ma}	28.39	23.63	-44.13	50.06	298
M _{Ma}	49.58	73.93	-9.56	74.55	353
N _{Ma}	18.89	0.0	0.0	0.0	0
W _{Ma}	96.9	0.0	0.0	0.0	0
R _{Ma}	39.92	58.74	27.99	65.07	25
J _{Ma}	81.26	-2.89	71.56	71.62	92
G _{Ma}	52.23	-42.42	13.6	44.55	162
B _{Ma}	30.57	1.41	-46.47	46.49	272

Daten für Maximalfarbe (Ma):

$LAB^*LAB^*_{Ma}$: 55 -22 -46

$LAB^*LCH^*_{Ma}$: 55 51 244

$lab^*rgb^*_{Ma}$: 0.0 0.5 1.0

$lab^*olv^*_{Ma}$: 0.0 0.89 1.0

Dreiecks-Helligkeit i^*

%Umfang

$u^*_{rel} = 89$

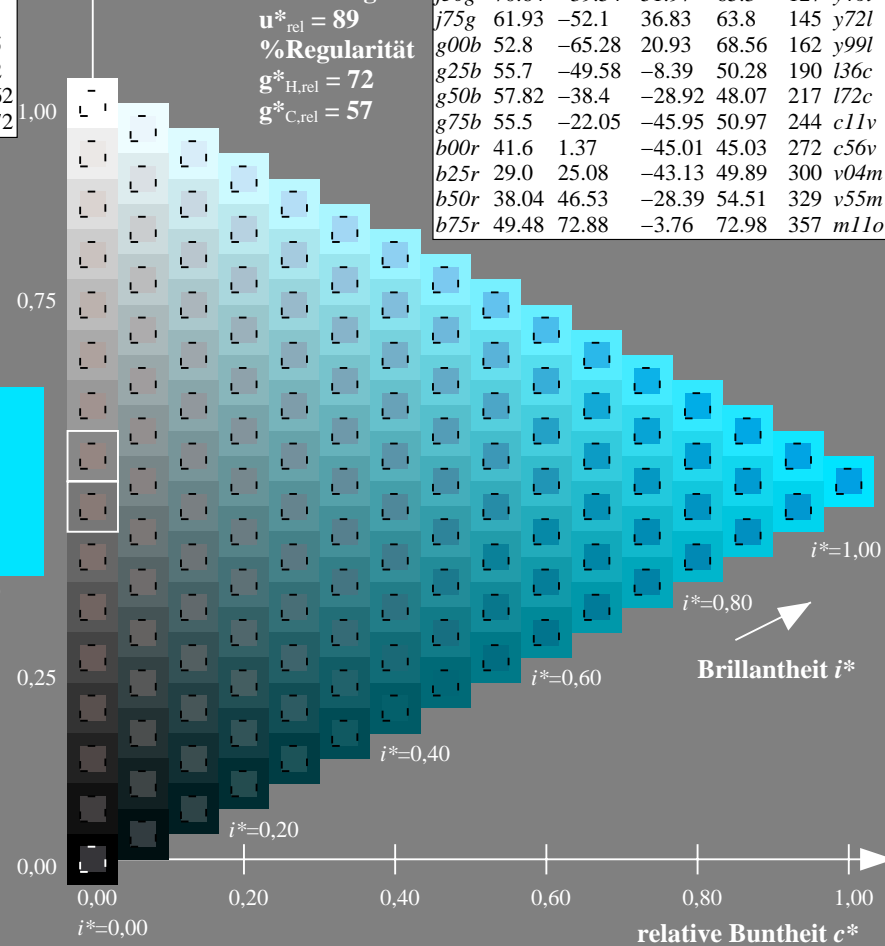
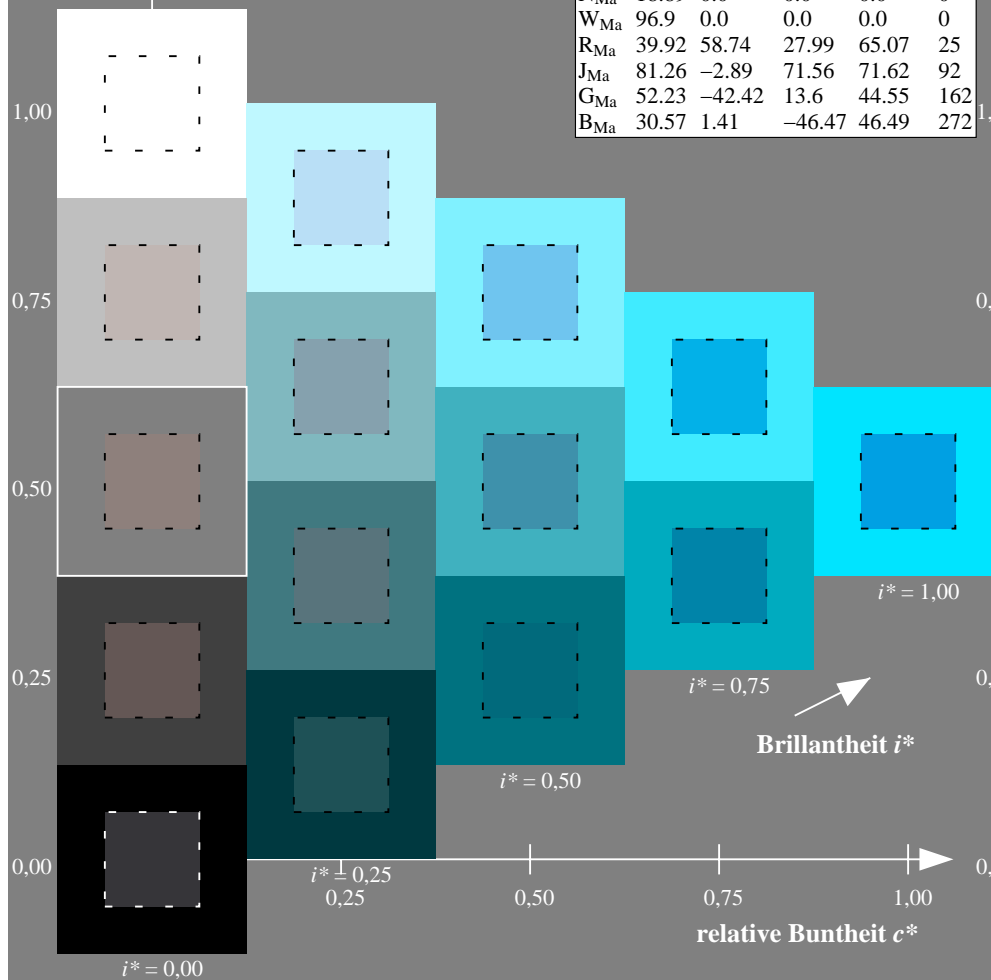
%Regularität

$g^*_{H,rel} = 72$

$g^*_{C,rel} = 57$

ORS19_96a; adaptierte CIELAB-Daten

u^*_e	$L^*=L^*_a$	a^*_a	b^*_a	$C^*_{ab,a}$	$h^*_{ab,a}$	u^*_d
r00j	48.88	66.47	31.67	73.63	25	m84o
r25j	55.85	52.39	47.48	70.7	42	o17y
r50j	65.45	35.22	58.37	68.17	59	o42y
r75j	75.19	17.82	69.41	71.66	76	o67y
j00g	87.03	-3.35	82.83	82.9	92	o92y
j25g	80.72	-25.01	69.5	73.86	110	y20l
j50g	70.64	-39.54	51.97	65.3	127	y46l
j75g	61.93	-52.1	36.83	63.8	145	y72l
g00b	52.8	-65.28	20.93	68.56	162	y99l
g25b	55.7	-49.58	-8.39	50.28	190	l36c
g50b	57.82	-38.4	-28.92	48.07	217	l72c
g75b	55.5	-22.05	-45.95	50.97	244	c11v
b00r	41.6	1.37	-45.01	45.03	272	c56v
b25r	29.0	25.08	-43.13	49.89	300	v04m
b50r	38.04	46.53	-28.39	54.51	329	v55m
b75r	49.48	72.88	-3.76	72.98	357	m11o



Ein und Ausgabe: Farbmatisches Drucker-Reflektiv-System ORS19_96a für relativen CIELAB-Buntton $h^* = lab^*h^* = h_{ab}/360 = 0.755$

Daten für jede Farbe:

lab^*ch^* und lab^*icu^*

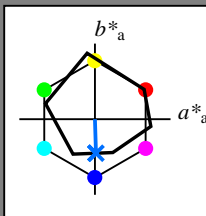
Bunttontexte:

$u^*_e = b00r$ $u^*_d = c56v$

Kontrastreduzierungsfaktor:

$c_R = 1.0$

Dreiecks-Helligkeit i^*



ORS19_96a; adaptierte CIELAB-Daten

u^*_e	$L^*=L^*_a$	a^*_a	b^*_a	$C^*_{ab,a}$	$h^*_{ab,a}$
O _{Ma}	48.75	65.07	39.43	76.08	31
Y _{Ma}	90.92	-10.29	87.24	87.85	97
L _{Ma}	52.69	-65.44	20.75	68.65	162
C _{Ma}	59.61	-28.98	-46.22	54.56	238
V _{Ma}	28.39	23.63	-44.13	50.06	298
M _{Ma}	49.58	73.93	-9.56	74.55	353
N _{Ma}	18.89	0.0	0.0	0.0	0
W _{Ma}	96.9	0.0	0.0	0.0	0
R _{Ma}	39.92	58.74	27.99	65.07	25
J _{Ma}	81.26	-2.89	71.56	71.62	92
G _{Ma}	52.23	-42.42	13.6	44.55	162
B _{Ma}	30.57	1.41	-46.47	46.49	272

Daten für Maximalfarbe (Ma):

$LAB^*LAB^*_{Ma}$: 42 1 -45

$LAB^*LCH^*_{Ma}$: 42 45 271

$lab^*rgb^*_{Ma}$: 0.0 0.0 1.0

$lab^*olv^*_{Ma}$: 0.0 0.44 1.0

Dreiecks-Helligkeit i^*

%Umfang

$u^*_{rel} = 89$

%Regularität

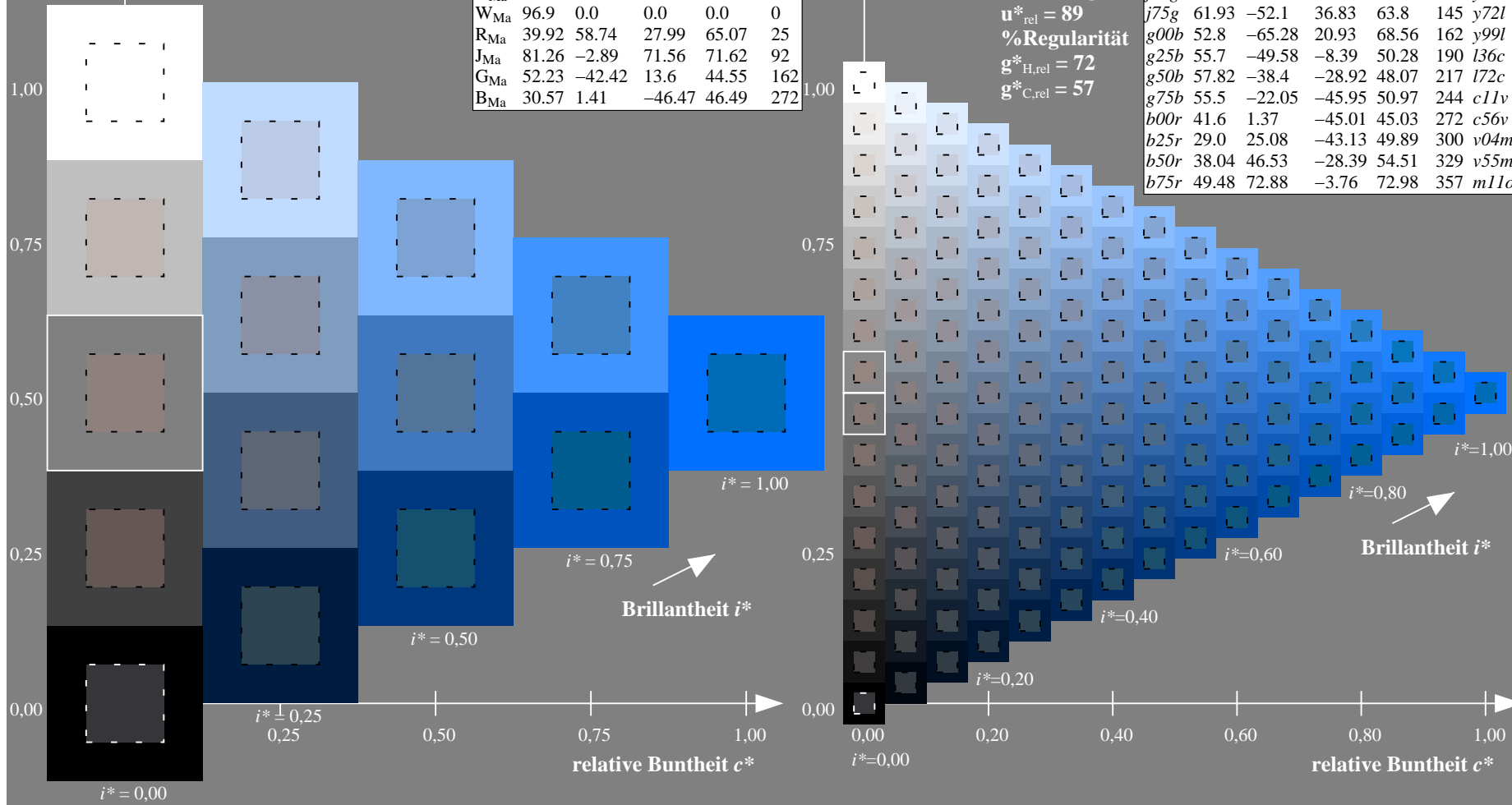
$g^*_{H,rel} = 72$

$g^*_{C,rel} = 57$

ORS19_96a; adaptierte CIELAB-Daten

u^*_e	$L^*=L^*_a$	a^*_a	b^*_a	$C^*_{ab,a}$	$h^*_{ab,a}$	u^*_d
r00j	48.88	66.47	31.67	73.63	25	m84o
r25j	55.85	52.39	47.48	70.7	42	o17y
r50j	65.45	35.22	58.37	68.17	59	o42y
r75j	75.19	17.82	69.41	71.66	76	o67y
j00g	87.03	-3.35	82.83	82.9	92	o92y
j25g	80.72	-25.01	69.5	73.86	110	y20l
j50g	70.64	-39.54	51.97	65.3	127	y46l
j75g	61.93	-52.1	36.83	63.8	145	y72l
g00b	52.8	-65.28	20.93	68.56	162	y99l
g25b	55.7	-49.58	-8.39	50.28	190	l36c
g50b	57.82	-38.4	-28.92	48.07	217	l72c
g75b	55.5	-22.05	-45.95	50.97	244	c11v
b00r	41.6	1.37	-45.01	45.03	272	c56v
b25r	29.0	25.08	-43.13	49.89	300	v04m
b50r	38.04	46.53	-28.39	54.51	329	v55m
b75r	49.48	72.88	-3.76	72.98	357	m11o

$u^*_e = b00r$



Ein und Ausgabe: Farbmetrisches Drucker-Reflektiv-System ORS19_96a für relativen CIELAB-Buntton $h^* = lab^*h^* = h_{ab}/360 = 0.834$

Daten für jede Farbe:

lab^*ch^* und lab^*icu^*

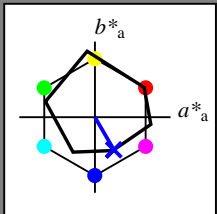
Bunttontexte:

$u^*_e = b25r$ $u^*_d = v04m$

Kontrastreduzierungsfaktor:

$c_R = 1.0$

Dreiecks-Helligkeit i^*



ORS19_96a; adaptierte CIELAB-Daten

u^*_e	$L^*=L^*_a$	a^*_a	b^*_a	$C^*_{ab,a}$	$h^*_{ab,a}$
O _{Ma}	48.75	65.07	39.43	76.08	31
Y _{Ma}	90.92	-10.29	87.24	87.85	97
L _{Ma}	52.69	-65.44	20.75	68.65	162
C _{Ma}	59.61	-28.98	-46.22	54.56	238
V _{Ma}	28.39	23.63	-44.13	50.06	298
M _{Ma}	49.58	73.93	-9.56	74.55	353
N _{Ma}	18.89	0.0	0.0	0.0	0
W _{Ma}	96.9	0.0	0.0	0.0	0
R _{Ma}	39.92	58.74	27.99	65.07	25
J _{Ma}	81.26	-2.89	71.56	71.62	92
G _{Ma}	52.23	-42.42	13.6	44.55	162
B _{Ma}	30.57	1.41	-46.47	46.49	272

Daten für Maximalfarbe (Ma):

$LAB^*LAB^*_{Ma}$: 29 25 -43

$LAB^*LCH^*_{Ma}$: 29 50 300

$lab^*rgb^*_{Ma}$: 0.5 0.0 1.0

$lab^*olv^*_{Ma}$: 0.04 0.0 1.0

Dreiecks-Helligkeit i^*

%Umfang

$u^*_{rel} = 89$

%Regularität

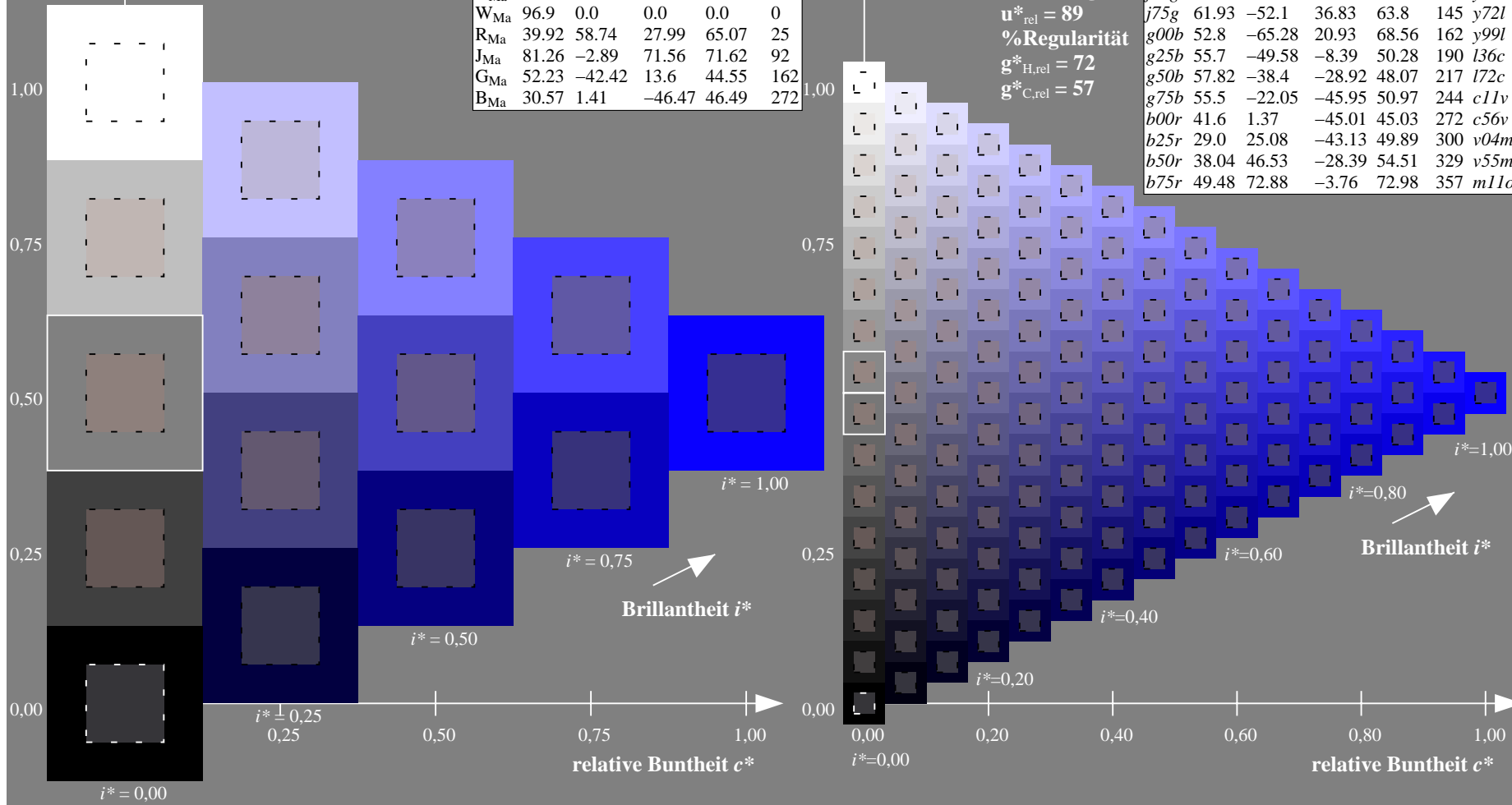
$g^*_{H,rel} = 72$

$g^*_{C,rel} = 57$

ORS19_96a; adaptierte CIELAB-Daten

u^*_e	$L^*=L^*_a$	a^*_a	b^*_a	$C^*_{ab,a}$	$h^*_{ab,a}$	u^*_d
r00j	48.88	66.47	31.67	73.63	25	m84o
r25j	55.85	52.39	47.48	70.7	42	o17y
r50j	65.45	35.22	58.37	68.17	59	o42y
r75j	75.19	17.82	69.41	71.66	76	o67y
j00g	87.03	-3.35	82.83	82.9	92	o92y
j25g	80.72	-25.01	69.5	73.86	110	y20l
j50g	70.64	-39.54	51.97	65.3	127	y46l
j75g	61.93	-52.1	36.83	63.8	145	y72l
g00b	52.8	-65.28	20.93	68.56	162	y99l
g25b	55.7	-49.58	-8.39	50.28	190	l36c
g50b	57.82	-38.4	-28.92	48.07	217	l72c
g75b	55.5	-22.05	-45.95	50.97	244	c11v
b00r	41.6	1.37	-45.01	45.03	272	c56v
b25r	29.0	25.08	-43.13	49.89	300	v04m
b50r	38.04	46.53	-28.39	54.51	329	v55m
b75r	49.48	72.88	-3.76	72.98	357	m11o

$u^*_e = b25r$



Ein und Ausgabe: Farbmimetrisches Drucker-Reflektiv-System ORS19_96a für relativen CIELAB-Buntton $h^* = lab^*h^* = h_{ab}/360 = 0.992$

Daten für jede Farbe:

lab^*ch^* und lab^*icu^*

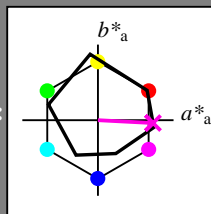
Bunttontexte:

$u^*_e = b75r$ $u^*_d = m11o$

Kontrastreduzierungsfaktor:

$c_R = 1.0$

Dreiecks-Helligkeit i^*



ORS19_96a; adaptierte CIELAB-Daten

u^*_e	$L^*=L^*_a$	a^*_a	b^*_a	$C^*_{ab,a}$	$h^*_{ab,a}$
O _{Ma}	48.75	65.07	39.43	76.08	31
Y _{Ma}	90.92	-10.29	87.24	87.85	97
L _{Ma}	52.69	-65.44	20.75	68.65	162
C _{Ma}	59.61	-28.98	-46.22	54.56	238
V _{Ma}	28.39	23.63	-44.13	50.06	298
M _{Ma}	49.58	73.93	-9.56	74.55	353
N _{Ma}	18.89	0.0	0.0	0.0	0
W _{Ma}	96.9	0.0	0.0	0.0	0
R _{Ma}	39.92	58.74	27.99	65.07	25
J _{Ma}	81.26	-2.89	71.56	71.62	92
G _{Ma}	52.23	-42.42	13.6	44.55	162
B _{Ma}	30.57	1.41	-46.47	46.49	272

Daten für Maximalfarbe (Ma):

$LAB^*LAB^*_{Ma}$: 49 73 -4

$LAB^*LCH^*_{Ma}$: 49 73 357

$lab^*rgb^*_{Ma}$: 1.0 0.0 0.5

$lab^*olv^*_{Ma}$: 1.0 0.0 0.89

Dreiecks-Helligkeit i^*

%Umfang

$u^*_{rel} = 89$

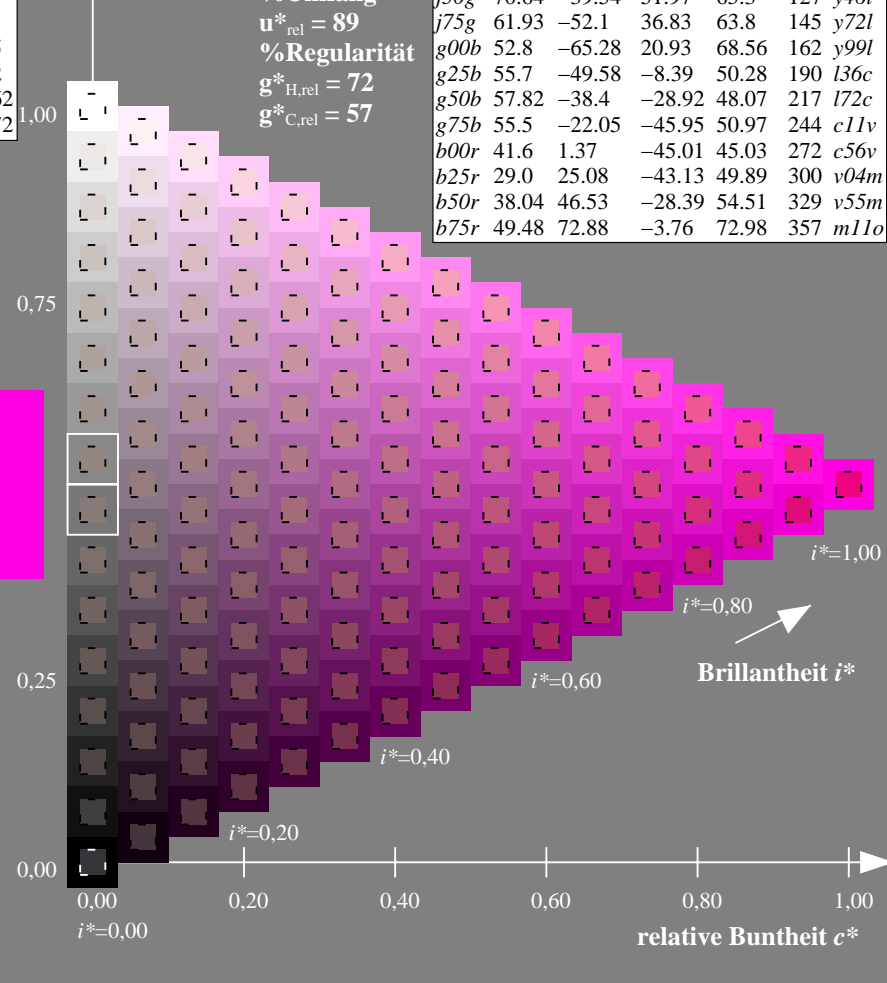
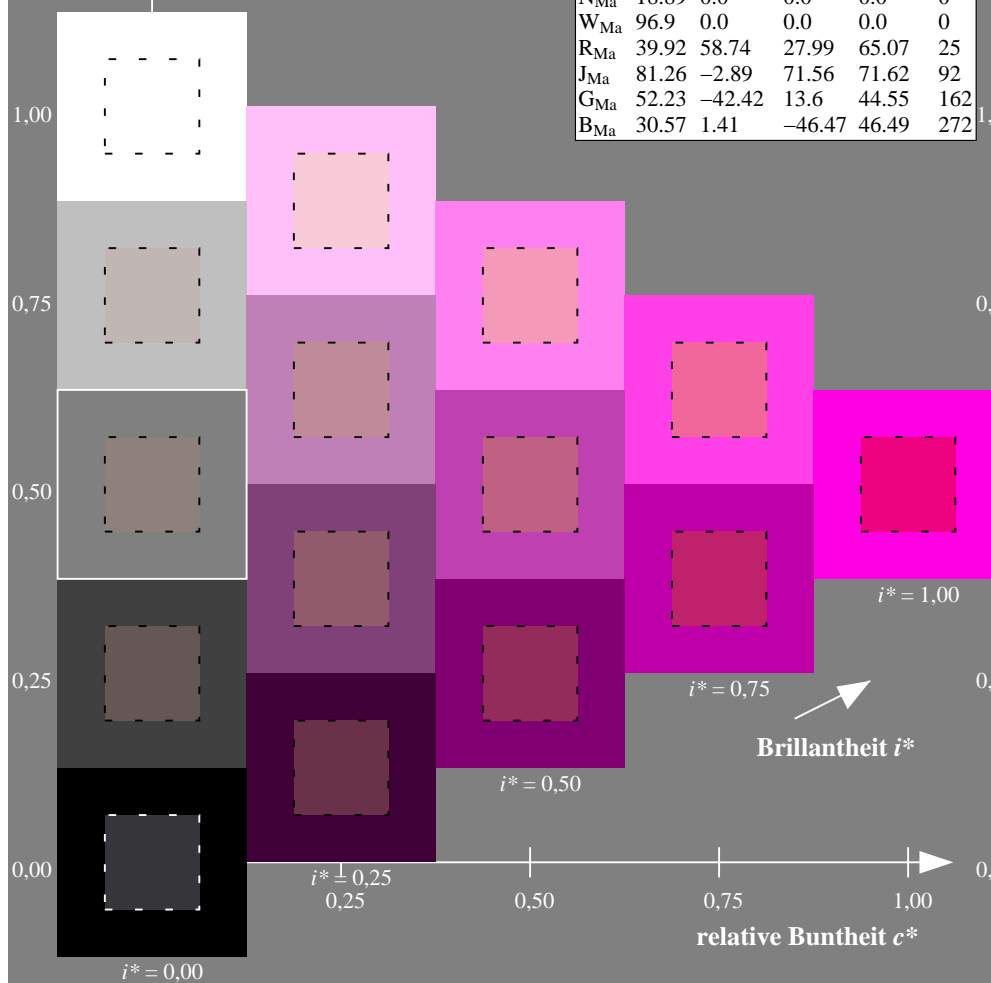
%Regularität

$g^*_{H,rel} = 72$

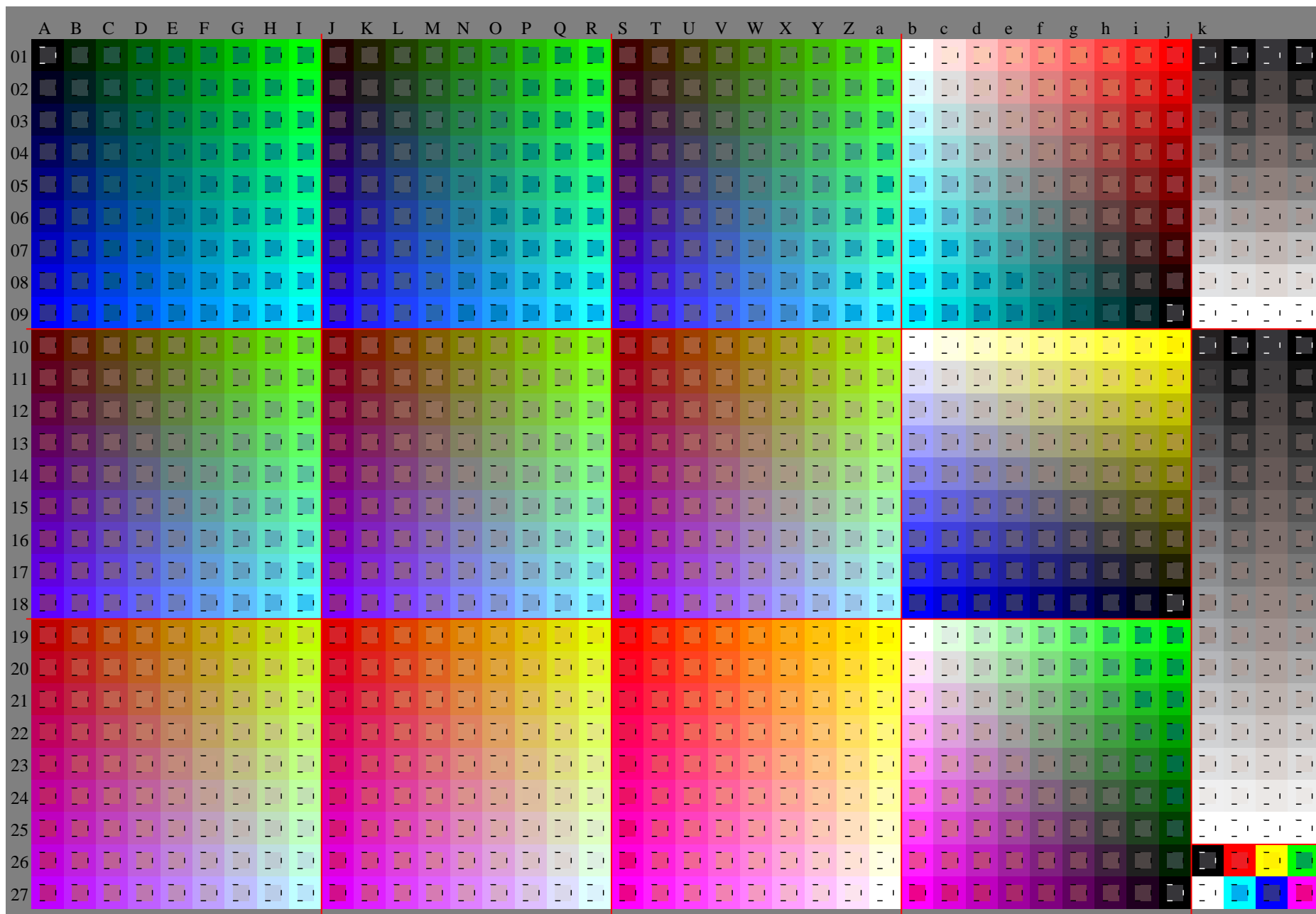
$g^*_{C,rel} = 57$

ORS19_96a; adaptierte CIELAB-Daten

u^*_e	$L^*=L^*_a$	a^*_a	b^*_a	$C^*_{ab,a}$	$h^*_{ab,a}$	u^*_d
r00j	48.88	66.47	31.67	73.63	25	m84o
r25j	55.85	52.39	47.48	70.7	42	o17y
r50j	65.45	35.22	58.37	68.17	59	o42y
r75j	75.19	17.82	69.41	71.66	76	o67y
j00g	87.03	-3.35	82.83	82.9	92	o92y
j25g	80.72	-25.01	69.5	73.86	110	y20l
j50g	70.64	-39.54	51.97	65.3	127	y46l
j75g	61.93	-52.1	36.83	63.8	145	y72l
g00b	52.8	-65.28	20.93	68.56	162	y99l
g25b	55.7	-49.58	-8.39	50.28	190	l36c
g50b	57.82	-38.4	-28.92	48.07	217	l72c
g75b	55.5	-22.05	-45.95	50.97	244	c11v
b00r	41.6	1.37	-45.01	45.03	272	c56v
b25r	29.0	25.08	-43.13	49.89	300	v04m
b50r	38.04	46.53	-28.39	54.51	329	v55m
b75r	49.48	72.88	-3.76	72.98	357	m11o



Siehe ähnliche Dateien: <http://www.ps.bam.de/Eg12/>; www.ps.bam.de/Eg.HTM
Technische Information: <http://www.ps.bam.de> Version 2.1, io=1,1, ColSpx=1

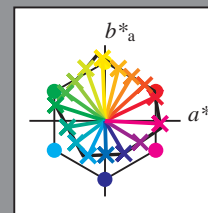


Ein und Ausgabe:
Farbmetrisches Drucker-Reflektiv-System ORS19_96a
Daten für jede Farbe:

u^*_e und Nummer $Nr.$ = 00 .. 15
Elementar-Bunttontext:
 $u^*_e = 16$ Bunttoene $r00j, r25j, ..., b75r$
Kontrastreduzierungsfaktor:
 $c_R = 1.0$

ORS19_96a; adaptierte CIELAB-Daten

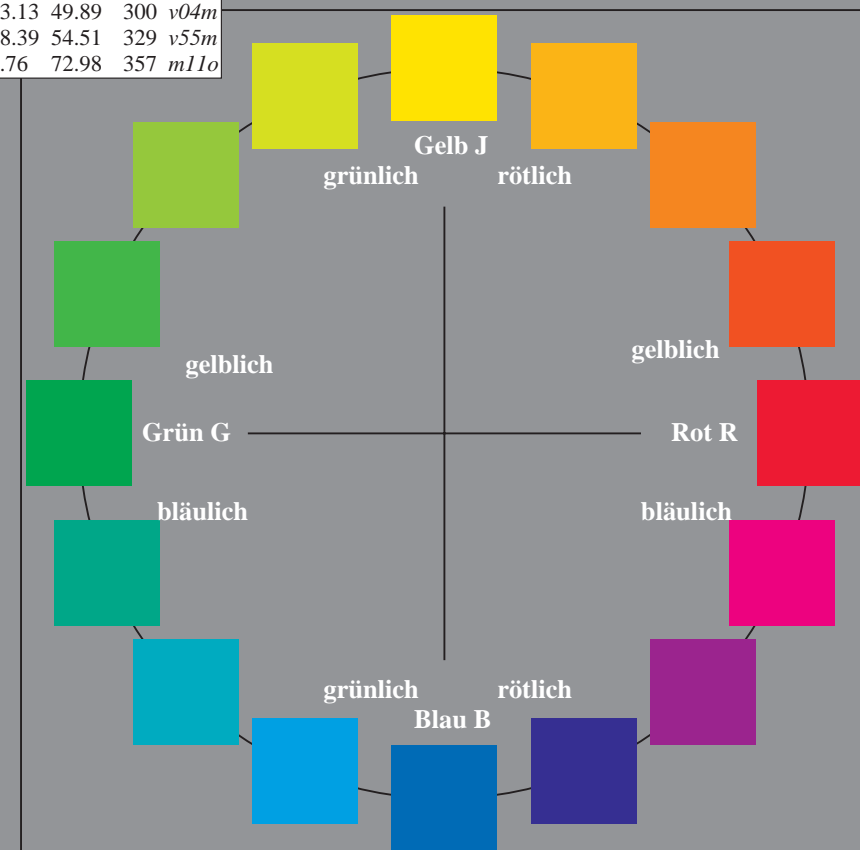
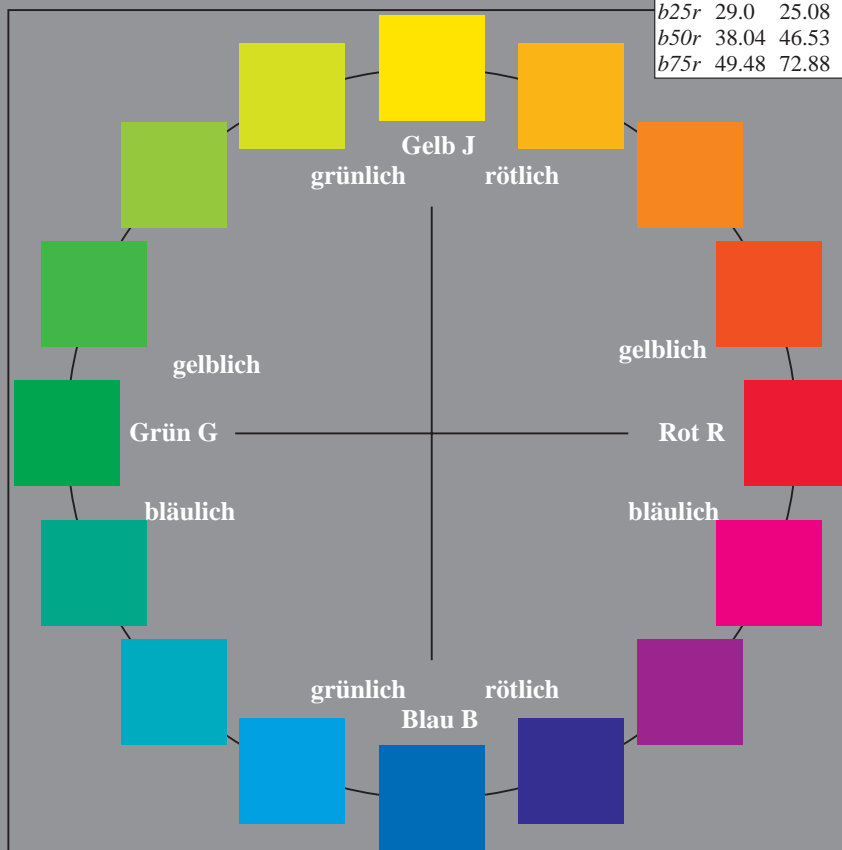
u^*_e	$L^*=L^*_a$	a^*_a	b^*_a	$C^*_{ab,a}$	$h^*_{ab,a}$	u^*_d
$r00j$	48.88	66.47	31.67	73.63	25	$m84o$
$r25j$	55.85	52.39	47.48	70.7	42	$o17y$
$r50j$	65.45	35.22	58.37	68.17	59	$o42y$
$r75j$	75.19	17.82	69.41	71.66	76	$o67y$
$j00g$	87.03	-3.35	82.83	82.9	92	$o92y$
$j25g$	80.72	-25.01	69.5	73.86	110	$y20l$
$j50g$	70.64	-39.54	51.97	65.3	127	$y46l$
$j75g$	61.93	-52.1	36.83	63.8	145	$y72l$
$g00b$	52.8	-65.28	20.93	68.56	162	$y99l$
$g25b$	55.7	-49.58	-8.39	50.28	190	$l36c$
$g50b$	57.82	-38.4	-28.92	48.07	217	$l72c$
$g75b$	55.5	-22.05	-45.95	50.97	244	$c11v$
$b00r$	41.6	1.37	-45.01	45.03	272	$c56v$
$b25r$	29.0	25.08	-43.13	49.89	300	$v04m$
$b50r$	38.04	46.53	-28.39	54.51	329	$v55m$
$b75r$	49.48	72.88	-3.76	72.98	357	$m11o$



%Umfang
 $u^*_{rel} = 89$
%Regularität
 $g^*_{H,rel} = 72$
 $g^*_{C,rel} = 57$

ORS19_96a; adaptierte CIELAB-Daten

Name	$L^*=L^*_a$	a^*_a	b^*_a	$C^*_{ab,a}$	$h^*_{ab,a}$
O_{Ma}	48.75	65.07	39.43	76.08	31
Y_{Ma}	90.92	-10.29	87.24	87.85	97
L_{Ma}	52.69	-65.44	20.75	68.65	162
C_{Ma}	59.61	-28.98	-46.22	54.56	238
V_{Ma}	28.39	23.63	-44.13	50.06	298
M_{Ma}	49.58	73.93	-9.56	74.55	353
N_{Ma}	18.89	0.0	0.0	0.0	0
W_{Ma}	96.9	0.0	0.0	0.0	0
R_{CIE}	39.92	58.74	27.99	65.07	25
J_{CIE}	81.26	-2.89	71.56	71.62	92
G_{CIE}	52.23	-42.42	13.6	44.55	162
B_{CIE}	30.57	1.41	-46.47	46.49	272



Ein und Ausgabe: Farbmimetrisches Drucker-Reflektiv-System ORS19_96a für relativen CIELAB-Buntton $h^* = lab^*h^* = h_{ab}/360 = 0.071$

Daten für jede Farbe:

lab^*tch^* und lab^*icu^*

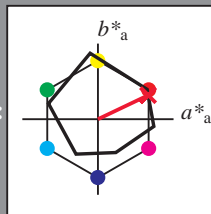
Bunttontexte:

$u^*_e = r00j$ $u^*_d = m84o$

Kontrastreduzierungsfaktor:

$c_R = 1.0$

Dreiecks-Helligkeit i^*



ORS19_96a; adaptierte CIELAB-Daten

u^*_e	$L^*=L^*_a$	a^*_a	b^*_a	$C^*_{ab,a}$	$h^*_{ab,a}$
O _{Ma}	48.75	65.07	39.43	76.08	31
Y _{Ma}	90.92	-10.29	87.24	87.85	97
L _{Ma}	52.69	-65.44	20.75	68.65	162
C _{Ma}	59.61	-28.98	-46.22	54.56	238
V _{Ma}	28.39	23.63	-44.13	50.06	298
M _{Ma}	49.58	73.93	-9.56	74.55	353
N _{Ma}	18.89	0.0	0.0	0.0	0
W _{Ma}	96.9	0.0	0.0	0.0	0
R _{Ma}	39.92	58.74	27.99	65.07	25
J _{Ma}	81.26	-2.89	71.56	71.62	92
G _{Ma}	52.23	-42.42	13.6	44.55	162
B _{Ma}	30.57	1.41	-46.47	46.49	272

Daten für Maximalfarbe (Ma):

$LAB^*LAB^*_{Ma}$: 49 66 32

$LAB^*LCH^*_{Ma}$: 49 74 25

$lab^*rgb^*_{Ma}$: 1.0 0.0 0.0

$lab^*olv^*_{Ma}$: 1.0 0.0 0.15

Dreiecks-Helligkeit i^*

%Umfang

$u^*_{rel} = 89$

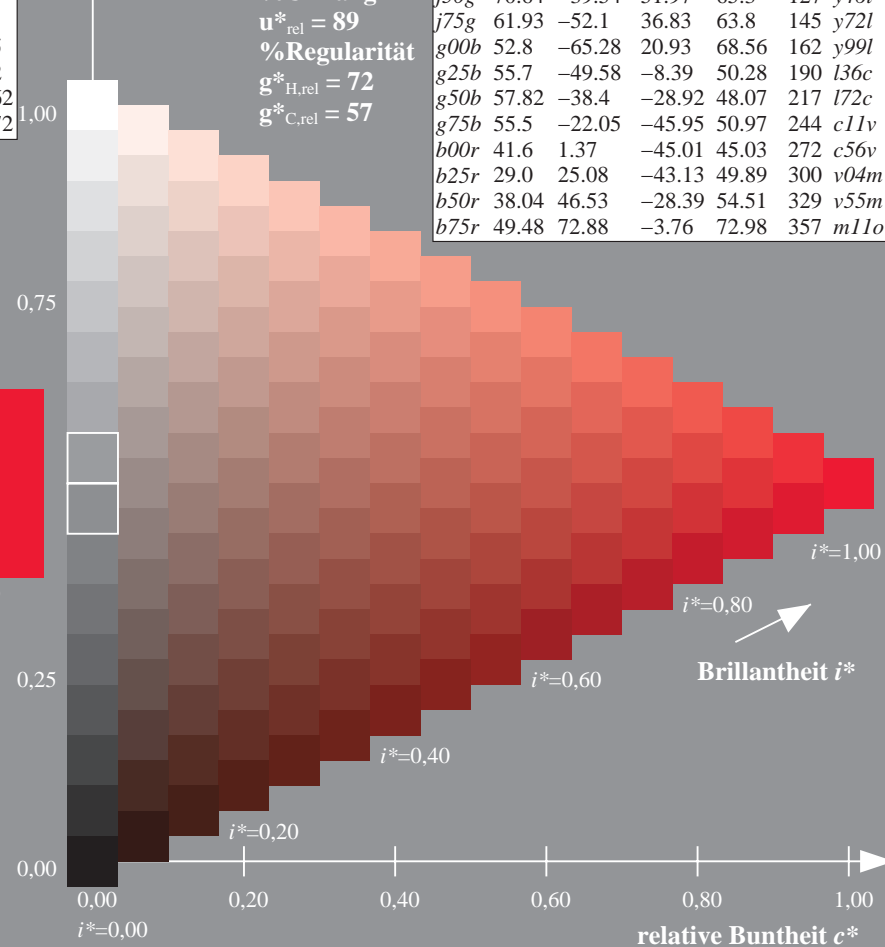
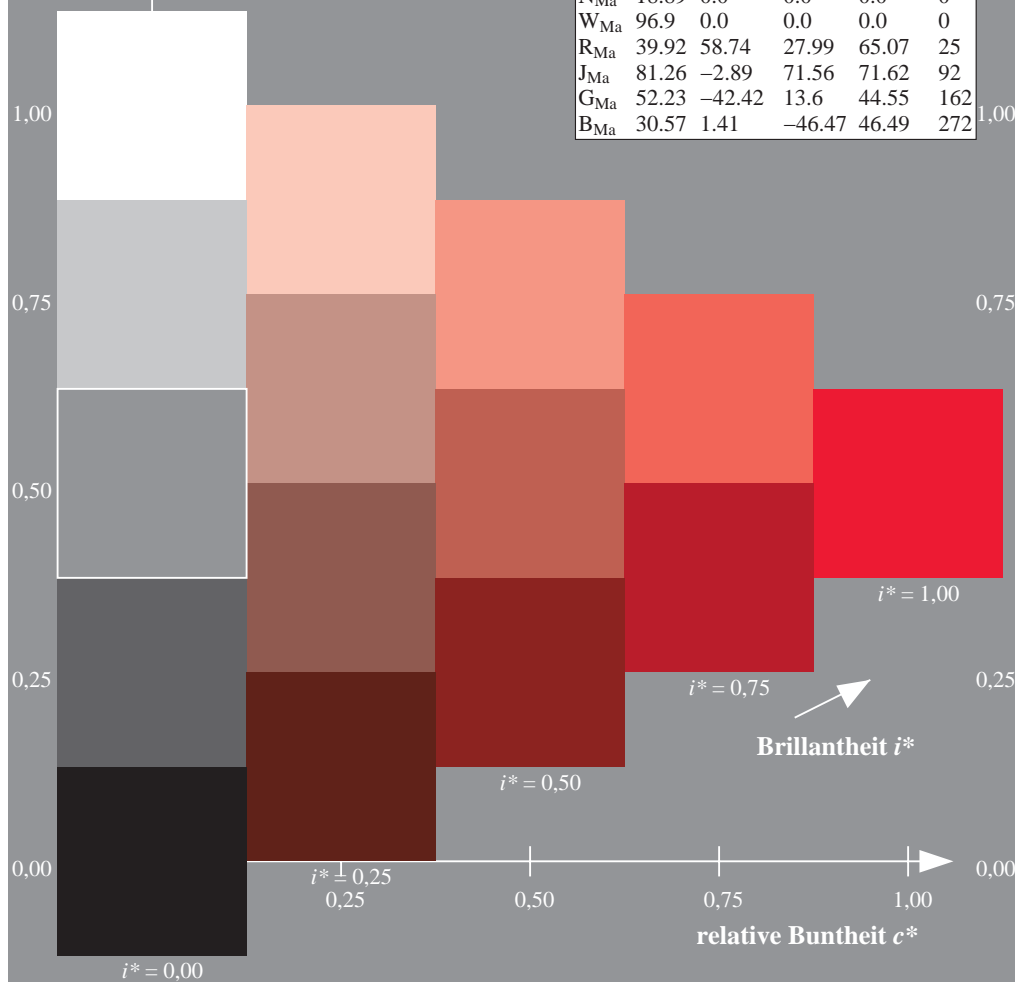
%Regularität

$g^*_{H,rel} = 72$

$g^*_{C,rel} = 57$

ORS19_96a; adaptierte CIELAB-Daten

u^*_e	$L^*=L^*_a$	a^*_a	b^*_a	$C^*_{ab,a}$	$h^*_{ab,a}$	u^*_d
r00j	48.88	66.47	31.67	73.63	25	m84o
r25j	55.85	52.39	47.48	70.7	42	o17y
r50j	65.45	35.22	58.37	68.17	59	o42y
r75j	75.19	17.82	69.41	71.66	76	o67y
j00g	87.03	-3.35	82.83	82.9	92	o92y
j25g	80.72	-25.01	69.5	73.86	110	y20l
j50g	70.64	-39.54	51.97	65.3	127	y46l
j75g	61.93	-52.1	36.83	63.8	145	y72l
g00b	52.8	-65.28	20.93	68.56	162	y99l
g25b	55.7	-49.58	-8.39	50.28	190	l36c
g50b	57.82	-38.4	-28.92	48.07	217	l72c
g75b	55.5	-22.05	-45.95	50.97	244	c11v
b00r	41.6	1.37	-45.01	45.03	272	c56v
b25r	29.0	25.08	-43.13	49.89	300	v04m
b50r	38.04	46.53	-28.39	54.51	329	v55m
b75r	49.48	72.88	-3.76	72.98	357	m11o



Ein und Ausgabe: Farbmatisches Drucker-Reflektiv-System ORS19_96a für relativen CIELAB-Buntton $h^* = lab^*h^* = h_{ab}/360 = 0.117$

Daten für jede Farbe:

lab^*tch^* und lab^*icu^*

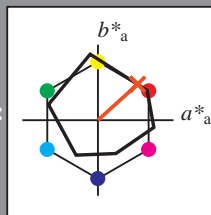
Bunttontexte:

$u^*_e = r25j$ $u^*_d = o17y$

Kontrastreduzierungsfaktor:

$c_R = 1.0$

Dreiecks-Helligkeit i^*



ORS19_96a; adaptierte CIELAB-Daten

	u^*_e	$L^*=L^*_a$	a^*_a	b^*_a	$C^*_{ab,a}$	$h^*_{ab,a}$
O _{Ma}	48.75	65.07	39.43	76.08	31	
Y _{Ma}	90.92	-10.29	87.24	87.85	97	
L _{Ma}	52.69	-65.44	20.75	68.65	162	
C _{Ma}	59.61	-28.98	-46.22	54.56	238	
V _{Ma}	28.39	23.63	-44.13	50.06	298	
M _{Ma}	49.58	73.93	-9.56	74.55	353	
N _{Ma}	18.89	0.0	0.0	0.0	0	
W _{Ma}	96.9	0.0	0.0	0.0	0	
R _{Ma}	39.92	58.74	27.99	65.07	25	
J _{Ma}	81.26	-2.89	71.56	71.62	92	
G _{Ma}	52.23	-42.42	13.6	44.55	162	
B _{Ma}	30.57	1.41	-46.47	46.49	272	

Daten für Maximalfarbe (Ma):

LAB^*LAB^*Ma : 56 52 47

LAB^*LCH^*Ma : 56 71 42

lab^*rgb^*Ma : 1.0 0.25 0.0

lab^*olv^*Ma : 1.0 0.17 0.0

Dreiecks-Helligkeit i^*

%Umfang

$u^*_{rel} = 89$

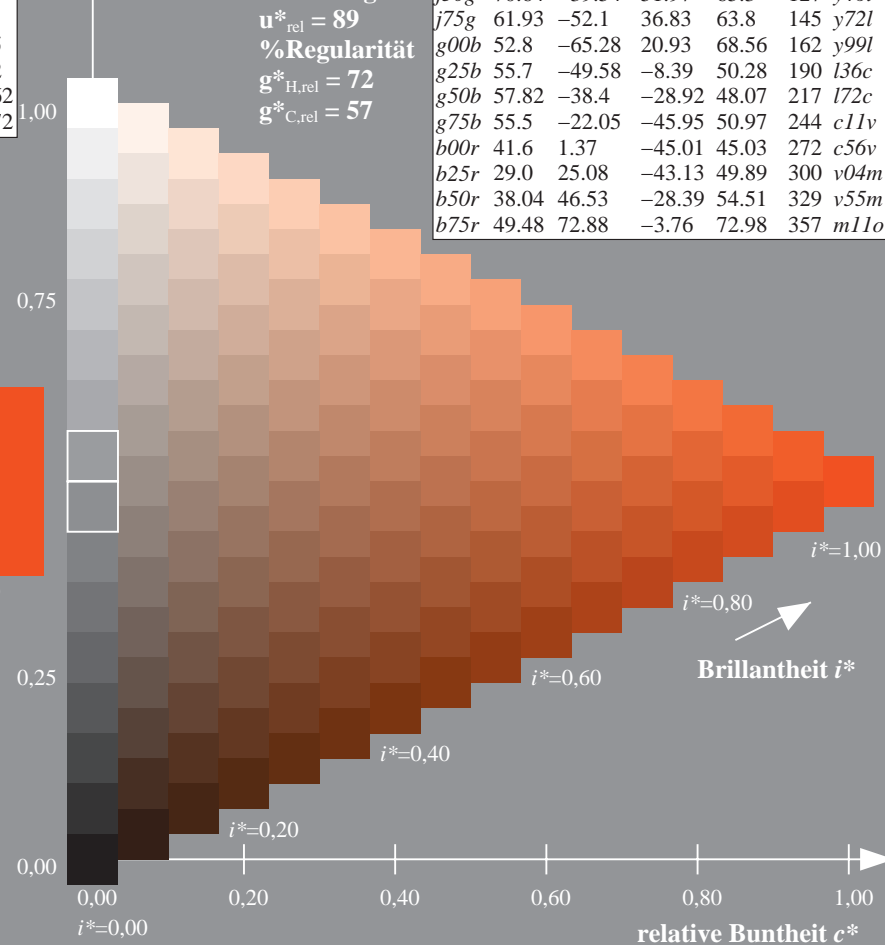
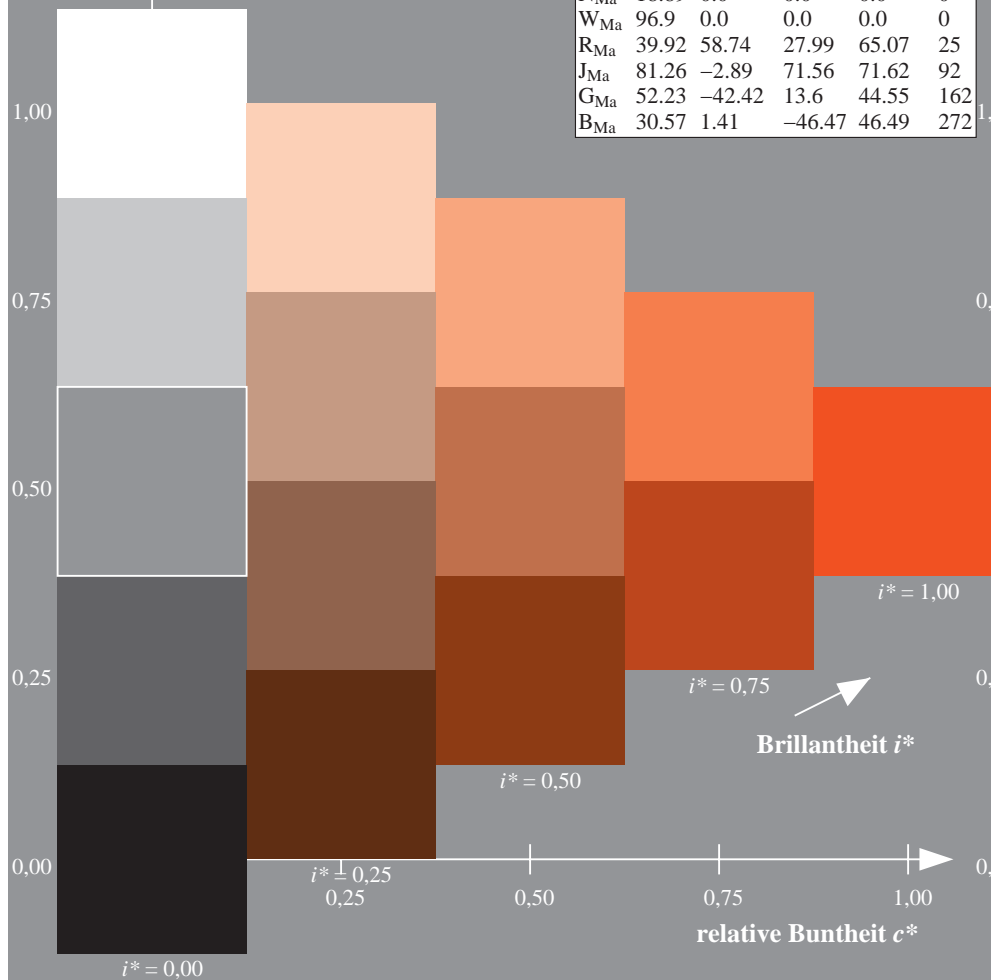
%Regularität

$g^*_{H,rel} = 72$

$g^*_{C,rel} = 57$

ORS19_96a; adaptierte CIELAB-Daten

	u^*_e	$L^*=L^*_a$	a^*_a	b^*_a	$C^*_{ab,a}$	$h^*_{ab,a}$	u^*_d
r00j	48.88	66.47	31.67	73.63	25	m84o	
r25j	55.85	52.39	47.48	70.7	42	o17y	
r50j	65.45	35.22	58.37	68.17	59	o42y	
r75j	75.19	17.82	69.41	71.66	76	o67y	
j00g	87.03	-3.35	82.83	82.9	92	o92y	
j25g	80.72	-25.01	69.5	73.86	110	y20l	
j50g	70.64	-39.54	51.97	65.3	127	y46l	
j75g	61.93	-52.1	36.83	63.8	145	y72l	
g00b	52.8	-65.28	20.93	68.56	162	y99l	
g25b	55.7	-49.58	-8.39	50.28	190	l36c	
g50b	57.82	-38.4	-28.92	48.07	217	l72c	
g75b	55.5	-22.05	-45.95	50.97	244	c11v	
b00r	41.6	1.37	-45.01	45.03	272	c56v	
b25r	29.0	25.08	-43.13	49.89	300	v04m	
b50r	38.04	46.53	-28.39	54.51	329	v55m	
b75r	49.48	72.88	-3.76	72.98	357	m11o	



Ein und Ausgabe: Farbmetrisches Drucker-Reflektiv-System ORS19_96a für relativen CIELAB-Buntton $h^* = lab^*h^* = h_{ab}/360 = 0.164$

Daten für jede Farbe:

lab^*tch^* und lab^*icu^*

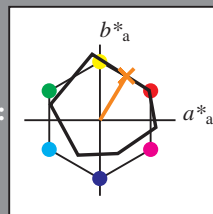
Bunttontexte:

$u^*_e = r50j$ $u^*_d = o42y$

Kontrastreduzierungsfaktor:

$c_R = 1.0$

Dreiecks-Helligkeit i^*



ORS19_96a; adaptierte CIELAB-Daten

u^*_e	$L^*=L^*_a$	a^*_a	b^*_a	$C^*_{ab,a}$	$h^*_{ab,a}$
O _{Ma}	48.75	65.07	39.43	76.08	31
Y _{Ma}	90.92	-10.29	87.24	87.85	97
L _{Ma}	52.69	-65.44	20.75	68.65	162
C _{Ma}	59.61	-28.98	-46.22	54.56	238
V _{Ma}	28.39	23.63	-44.13	50.06	298
M _{Ma}	49.58	73.93	-9.56	74.55	353
N _{Ma}	18.89	0.0	0.0	0.0	0
W _{Ma}	96.9	0.0	0.0	0.0	0
R _{Ma}	39.92	58.74	27.99	65.07	25
J _{Ma}	81.26	-2.89	71.56	71.62	92
G _{Ma}	52.23	-42.42	13.6	44.55	162
B _{Ma}	30.57	1.41	-46.47	46.49	272

Daten für Maximalfarbe (Ma):

$LAB^*LAB^*_{Ma}$: 65 35 58

$LAB^*LCH^*_{Ma}$: 65 68 58

$lab^*rgb^*_{Ma}$: 1.0 0.5 0.0

$lab^*olv^*_{Ma}$: 1.0 0.42 0.0

Dreiecks-Helligkeit i^*

%Umfang

$u^*_{rel} = 89$

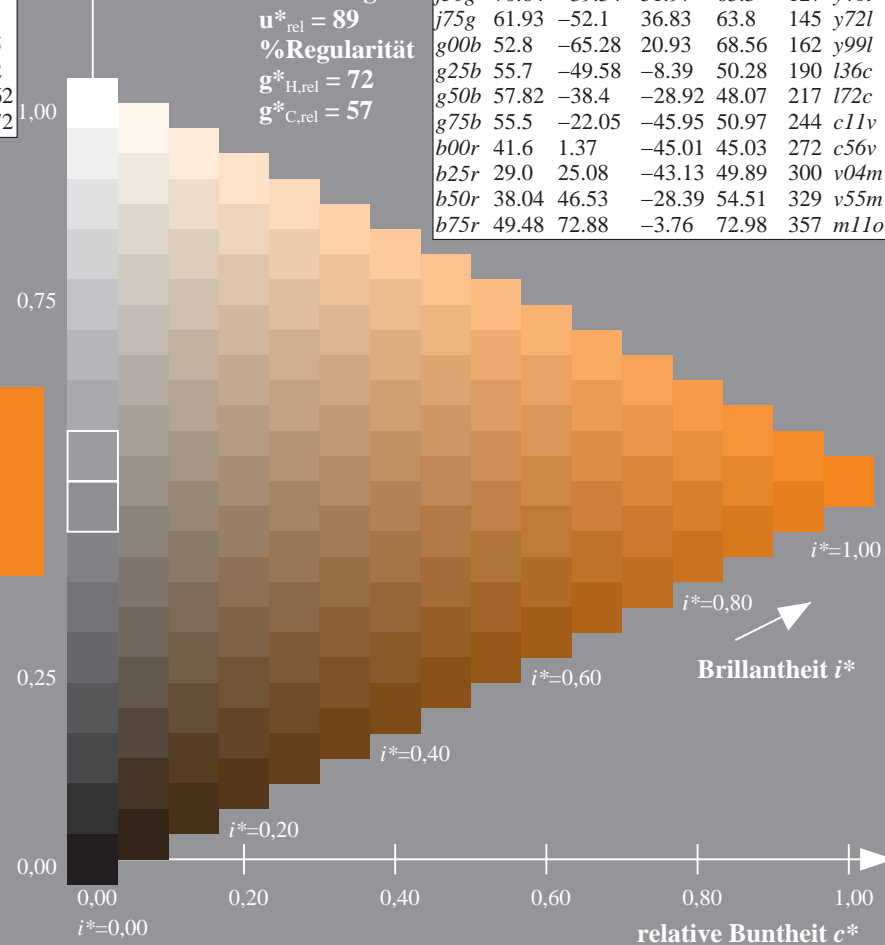
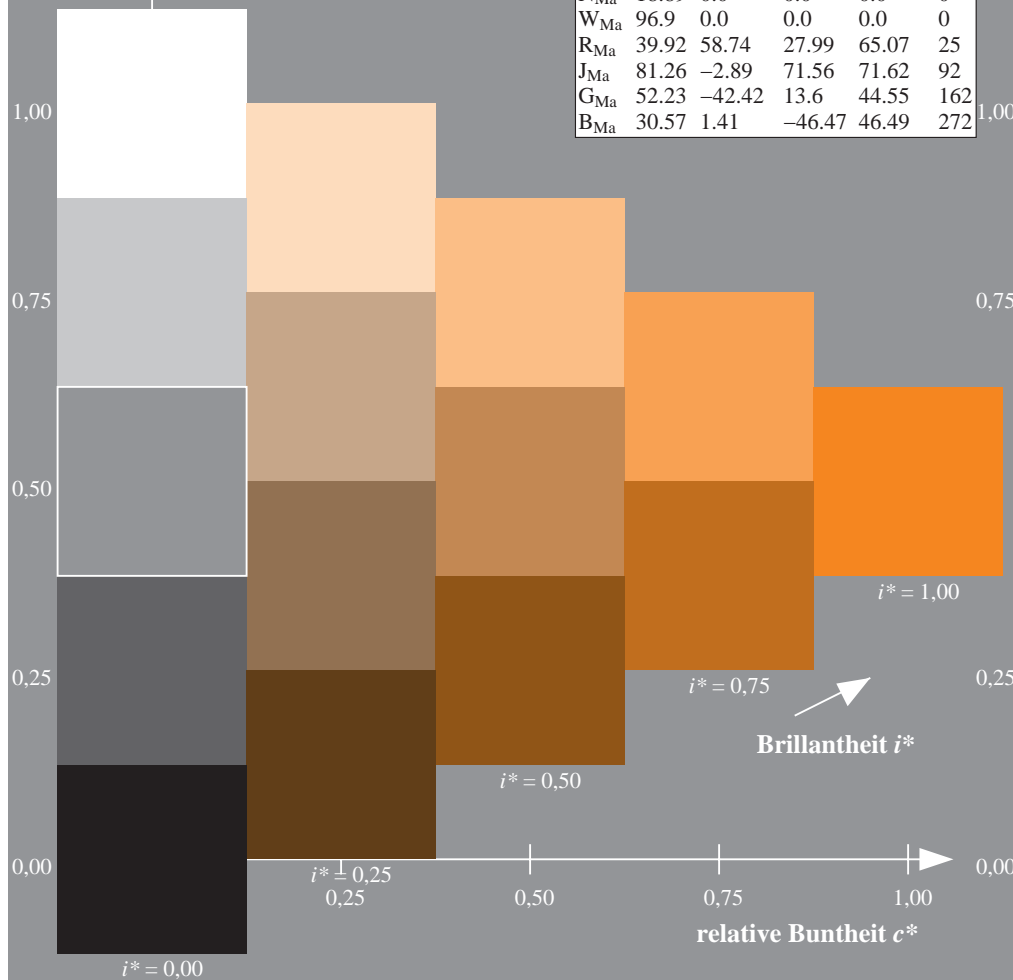
%Regularität

$g^*_{H,rel} = 72$

$g^*_{C,rel} = 57$

ORS19_96a; adaptierte CIELAB-Daten

u^*_e	$L^*=L^*_a$	a^*_a	b^*_a	$C^*_{ab,a}$	$h^*_{ab,a}$	u^*_d
r00j	48.88	66.47	31.67	73.63	25	m84o
r25j	55.85	52.39	47.48	70.7	42	o17y
r50j	65.45	35.22	58.37	68.17	59	o42y
r75j	75.19	17.82	69.41	71.66	76	o67y
j00g	87.03	-3.35	82.83	82.9	92	o92y
j25g	80.72	-25.01	69.5	73.86	110	y20l
j50g	70.64	-39.54	51.97	65.3	127	y46l
j75g	61.93	-52.1	36.83	63.8	145	y72l
g00b	52.8	-65.28	20.93	68.56	162	y99l
g25b	55.7	-49.58	-8.39	50.28	190	l36c
g50b	57.82	-38.4	-28.92	48.07	217	l72c
g75b	55.5	-22.05	-45.95	50.97	244	c11v
b00r	41.6	1.37	-45.01	45.03	272	c56v
b25r	29.0	25.08	-43.13	49.89	300	v04m
b50r	38.04	46.53	-28.39	54.51	329	v55m
b75r	49.48	72.88	-3.76	72.98	357	m11o



Ein und Ausgabe: Farbmetrisches Drucker-Reflektiv-System ORS19_96a für relativen CIELAB-Buntton $h^* = lab^*h^* = h_{ab}/360 = 0.21$

Daten für jede Farbe:

lab^*tch^* und lab^*icu^*

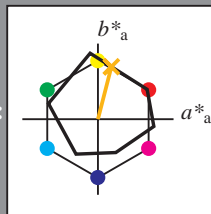
Bunttontexte:

$u^*_e = r75j$ $u^*_d = o67y$

Kontrastreduzierungsfaktor:

$c_R = 1.0$

Dreiecks-Helligkeit i^*



ORS19_96a; adaptierte CIELAB-Daten

u^*_e	$L^*=L^*_a$	a^*_a	b^*_a	$C^*_{ab,a}$	$h^*_{ab,a}$
O _{Ma}	48.75	65.07	39.43	76.08	31
Y _{Ma}	90.92	-10.29	87.24	87.85	97
L _{Ma}	52.69	-65.44	20.75	68.65	162
C _{Ma}	59.61	-28.98	-46.22	54.56	238
V _{Ma}	28.39	23.63	-44.13	50.06	298
M _{Ma}	49.58	73.93	-9.56	74.55	353
N _{Ma}	18.89	0.0	0.0	0.0	0
W _{Ma}	96.9	0.0	0.0	0.0	0
R _{Ma}	39.92	58.74	27.99	65.07	25
J _{Ma}	81.26	-2.89	71.56	71.62	92
G _{Ma}	52.23	-42.42	13.6	44.55	162
B _{Ma}	30.57	1.41	-46.47	46.49	272

Daten für Maximalfarbe (Ma):

$LAB^*LAB^*_{Ma}$: 75 18 69

$LAB^*LCH^*_{Ma}$: 75 72 75

$lab^*rgb^*_{Ma}$: 1.0 0.75 0.0

$lab^*olv^*_{Ma}$: 1.0 0.68 0.0

Dreiecks-Helligkeit i^*

%Umfang

$u^*_{rel} = 89$

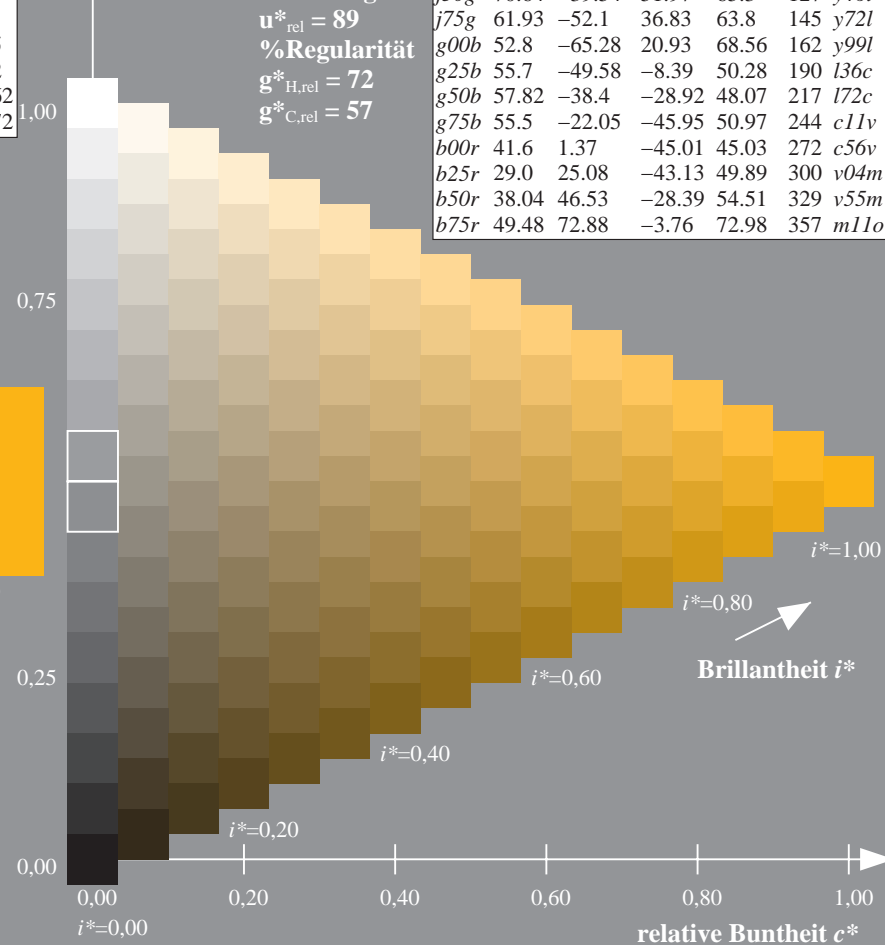
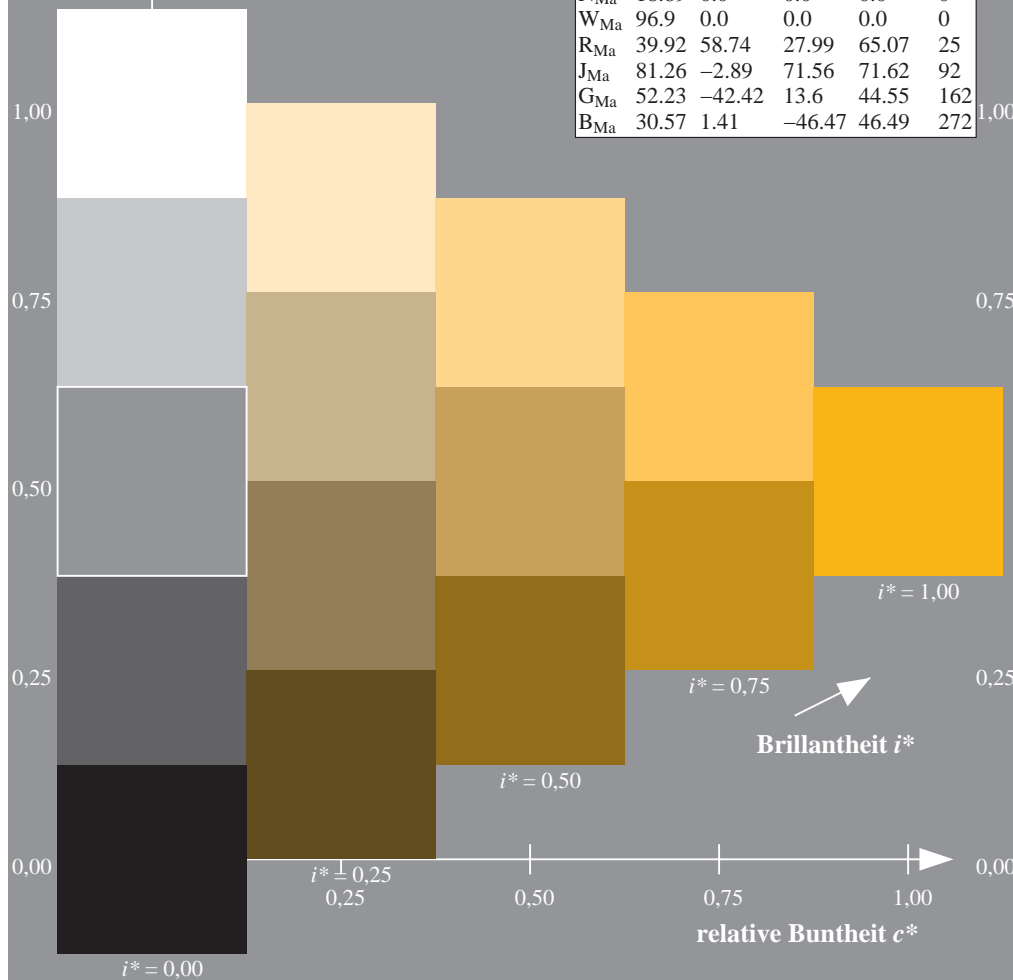
%Regularität

$g^*_{H,rel} = 72$

$g^*_{C,rel} = 57$

ORS19_96a; adaptierte CIELAB-Daten

u^*_e	$L^*=L^*_a$	a^*_a	b^*_a	$C^*_{ab,a}$	$h^*_{ab,a}$	u^*_d
r00j	48.88	66.47	31.67	73.63	25	m84o
r25j	55.85	52.39	47.48	70.7	42	o17y
r50j	65.45	35.22	58.37	68.17	59	o42y
r75j	75.19	17.82	69.41	71.66	76	o67y
j00g	87.03	-3.35	82.83	82.9	92	o92y
j25g	80.72	-25.01	69.5	73.86	110	y20l
j50g	70.64	-39.54	51.97	65.3	127	y46l
j75g	61.93	-52.1	36.83	63.8	145	y72l
g00b	52.8	-65.28	20.93	68.56	162	y99l
g25b	55.7	-49.58	-8.39	50.28	190	l36c
g50b	57.82	-38.4	-28.92	48.07	217	l72c
g75b	55.5	-22.05	-45.95	50.97	244	c11v
b00r	41.6	1.37	-45.01	45.03	272	c56v
b25r	29.0	25.08	-43.13	49.89	300	v04m
b50r	38.04	46.53	-28.39	54.51	329	v55m
b75r	49.48	72.88	-3.76	72.98	357	m11o



Ein und Ausgabe: Farbmetrisches Drucker-Reflektiv-System ORS19_96a für relativen CIELAB-Buntton $h^* = lab^*h^* = h_{ab}/360 = 0.256$

Daten für jede Farbe:

lab^*tch^* und lab^*icu^*

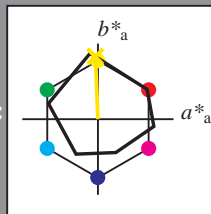
Bunttontexte:

$u_e^* = j00g$ $u_d^* = o92y$

Kontrastreduzierungsfaktor:

$c_R = 1.0$

Dreiecks-Helligkeit i^*



ORS19_96a; adaptierte CIELAB-Daten

u_e^*	$L^*=L_a^*$	a_a^*	b_a^*	$C_{ab,a}^*$	$h_{ab,a}^*$
O _{Ma}	48.75	65.07	39.43	76.08	31
Y _{Ma}	90.92	-10.29	87.24	87.85	97
L _{Ma}	52.69	-65.44	20.75	68.65	162
C _{Ma}	59.61	-28.98	-46.22	54.56	238
V _{Ma}	28.39	23.63	-44.13	50.06	298
M _{Ma}	49.58	73.93	-9.56	74.55	353
N _{Ma}	18.89	0.0	0.0	0.0	0
W _{Ma}	96.9	0.0	0.0	0.0	0
R _{Ma}	39.92	58.74	27.99	65.07	25
J _{Ma}	81.26	-2.89	71.56	71.62	92
G _{Ma}	52.23	-42.42	13.6	44.55	162
B _{Ma}	30.57	1.41	-46.47	46.49	272

Daten für Maximalfarbe (Ma):

LAB^*LAB^*Ma : 87 -3 83

LAB^*LCH^*Ma : 87 83 92

lab^*rgb^*Ma : 1.0 1.0 0.0

lab^*olv^*Ma : 1.0 0.93 0.0

Dreiecks-Helligkeit i^*

%Umfang

$u_{rel}^* = 89$

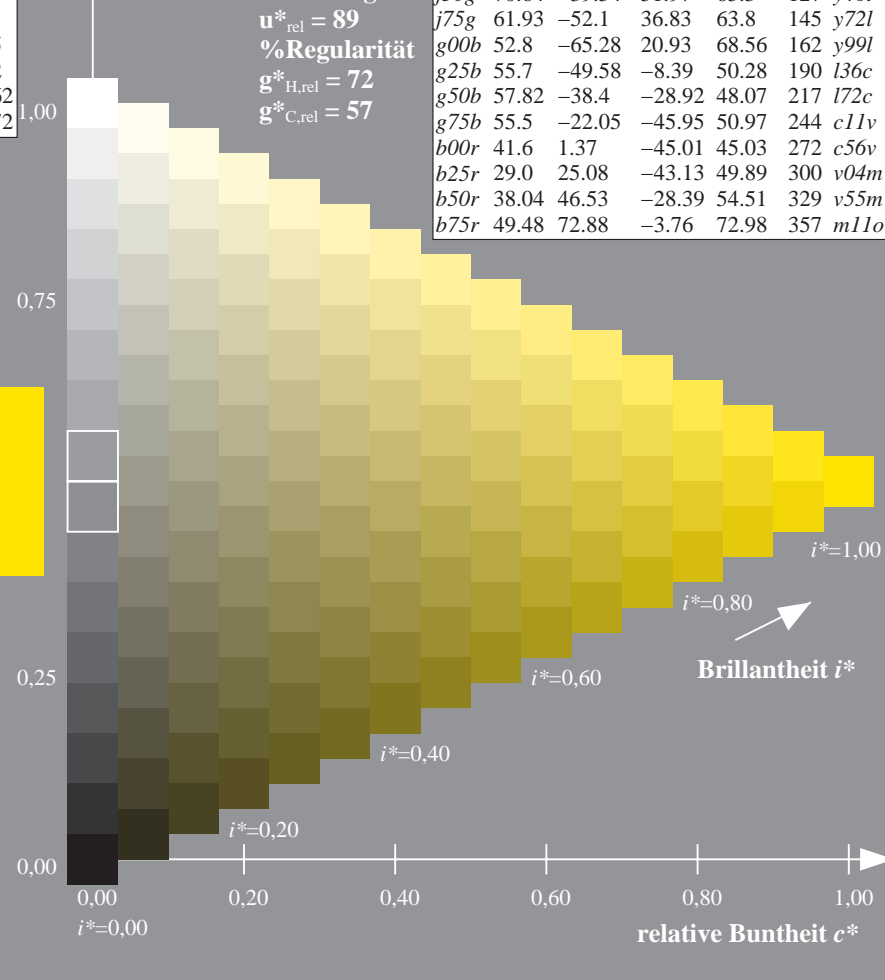
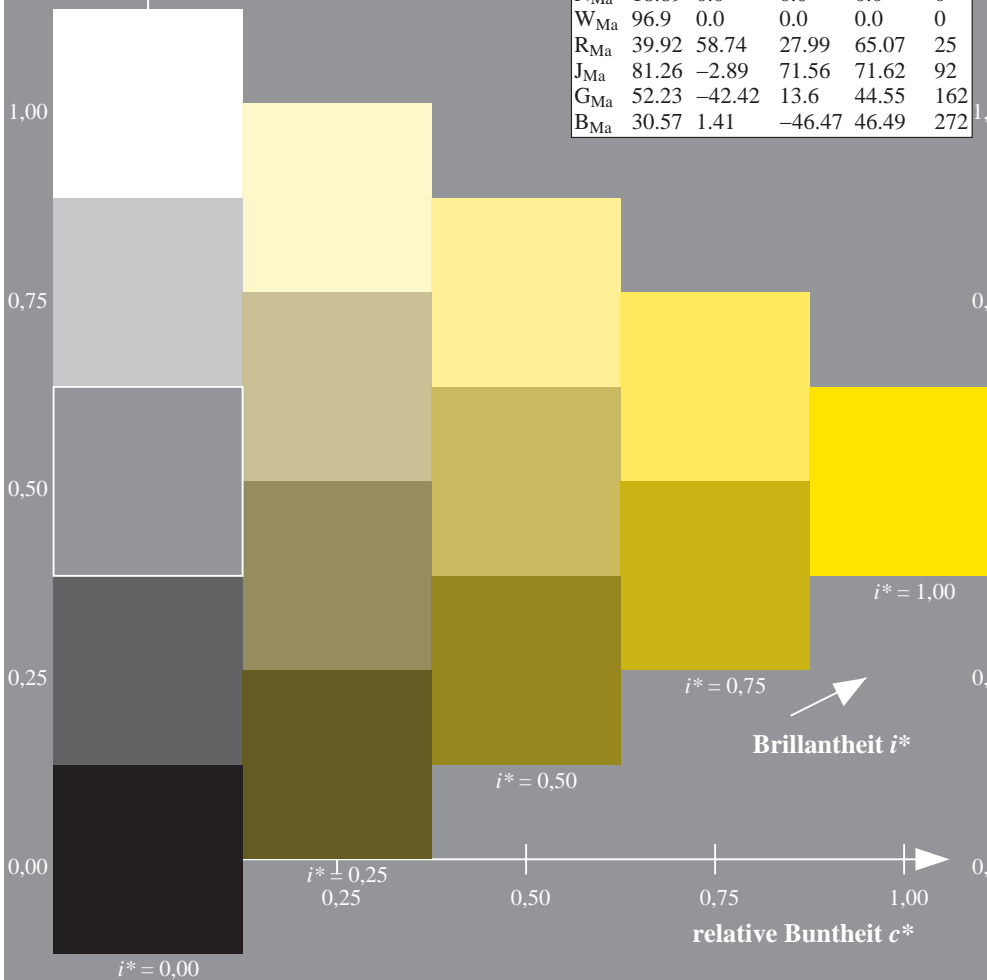
%Regularität

$g_{H,rel}^* = 72$

$g_{C,rel}^* = 57$

ORS19_96a; adaptierte CIELAB-Daten

u_e^*	$L^*=L_a^*$	a_a^*	b_a^*	$C_{ab,a}^*$	$h_{ab,a}^*$	u_d^*
r00j	48.88	66.47	31.67	73.63	25	m84o
r25j	55.85	52.39	47.48	70.7	42	o17y
r50j	65.45	35.22	58.37	68.17	59	o42y
r75j	75.19	17.82	69.41	71.66	76	o67y
j00g	87.03	-3.35	82.83	82.9	92	o92y
j25g	80.72	-25.01	69.5	73.86	110	y20l
j50g	70.64	-39.54	51.97	65.3	127	y46l
j75g	61.93	-52.1	36.83	63.8	145	y72l
g00b	52.8	-65.28	20.93	68.56	162	y99l
g25b	55.7	-49.58	-8.39	50.28	190	l36c
g50b	57.82	-38.4	-28.92	48.07	217	l72c
g75b	55.5	-22.05	-45.95	50.97	244	c11v
b00r	41.6	1.37	-45.01	45.03	272	c56v
b25r	29.0	25.08	-43.13	49.89	300	v04m
b50r	38.04	46.53	-28.39	54.51	329	v55m
b75r	49.48	72.88	-3.76	72.98	357	m11o



Ein und Ausgabe: Farbmetrisches Drucker-Reflektiv-System ORS19_96a für relativen CIELAB-Buntton $h^* = lab^*h^* = h_{ab}/360 = 0.305$

Daten für jede Farbe:

lab^*tch^* und lab^*icu^*

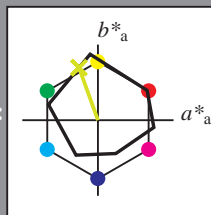
Bunttontexte:

$u^*_e = j25g$ $u^*_d = y20l$

Kontrastreduzierungsfaktor:

$c_R = 1.0$

Dreiecks-Helligkeit i^*



ORS19_96a; adaptierte CIELAB-Daten

u^*_e	$L^*=L^*_a$	a^*_a	b^*_a	$C^*_{ab,a}$	$h^*_{ab,a}$
O _{Ma}	48.75	65.07	39.43	76.08	31
Y _{Ma}	90.92	-10.29	87.24	87.85	97
L _{Ma}	52.69	-65.44	20.75	68.65	162
C _{Ma}	59.61	-28.98	-46.22	54.56	238
V _{Ma}	28.39	23.63	-44.13	50.06	298
M _{Ma}	49.58	73.93	-9.56	74.55	353
N _{Ma}	18.89	0.0	0.0	0.0	0
W _{Ma}	96.9	0.0	0.0	0.0	0
R _{Ma}	39.92	58.74	27.99	65.07	25
J _{Ma}	81.26	-2.89	71.56	71.62	92
G _{Ma}	52.23	-42.42	13.6	44.55	162
B _{Ma}	30.57	1.41	-46.47	46.49	272

Daten für Maximalfarbe (Ma):

$LAB^*LAB^*_{Ma}$: 81 -25 69

$LAB^*LCH^*_{Ma}$: 81 74 109

$lab^*rgb^*_{Ma}$: 0.75 1.0 0.0

$lab^*olv^*_{Ma}$: 0.8 1.0 0.0

Dreiecks-Helligkeit i^*

%Umfang

$u^*_{rel} = 89$

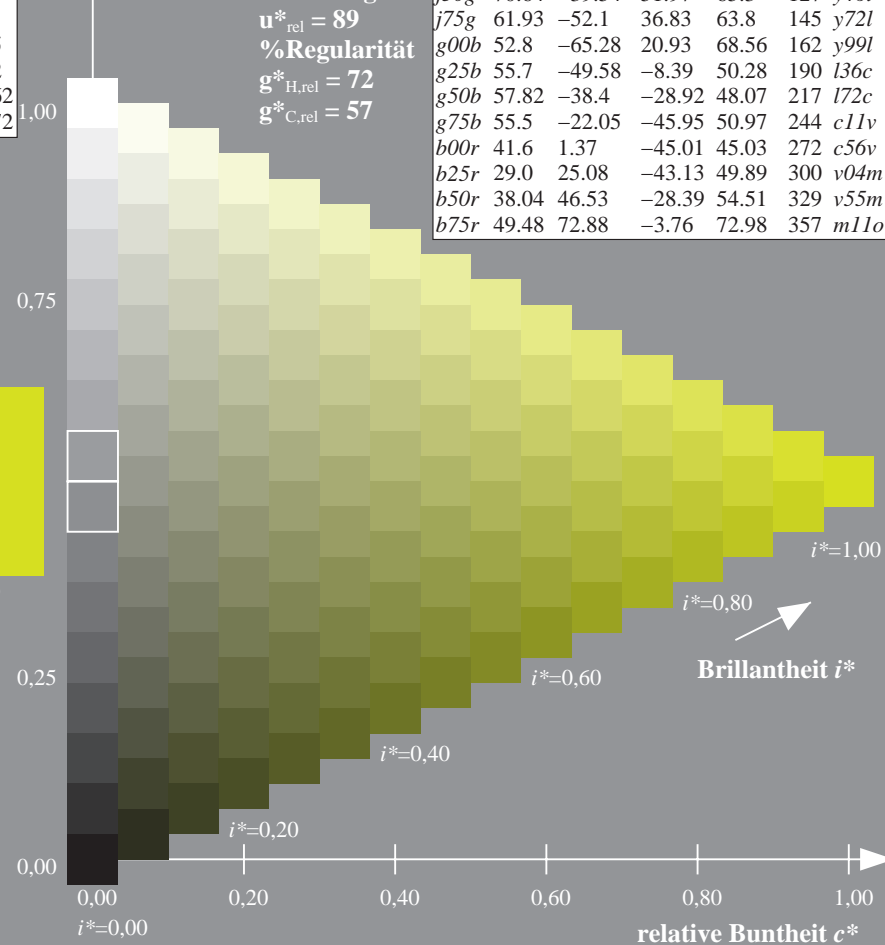
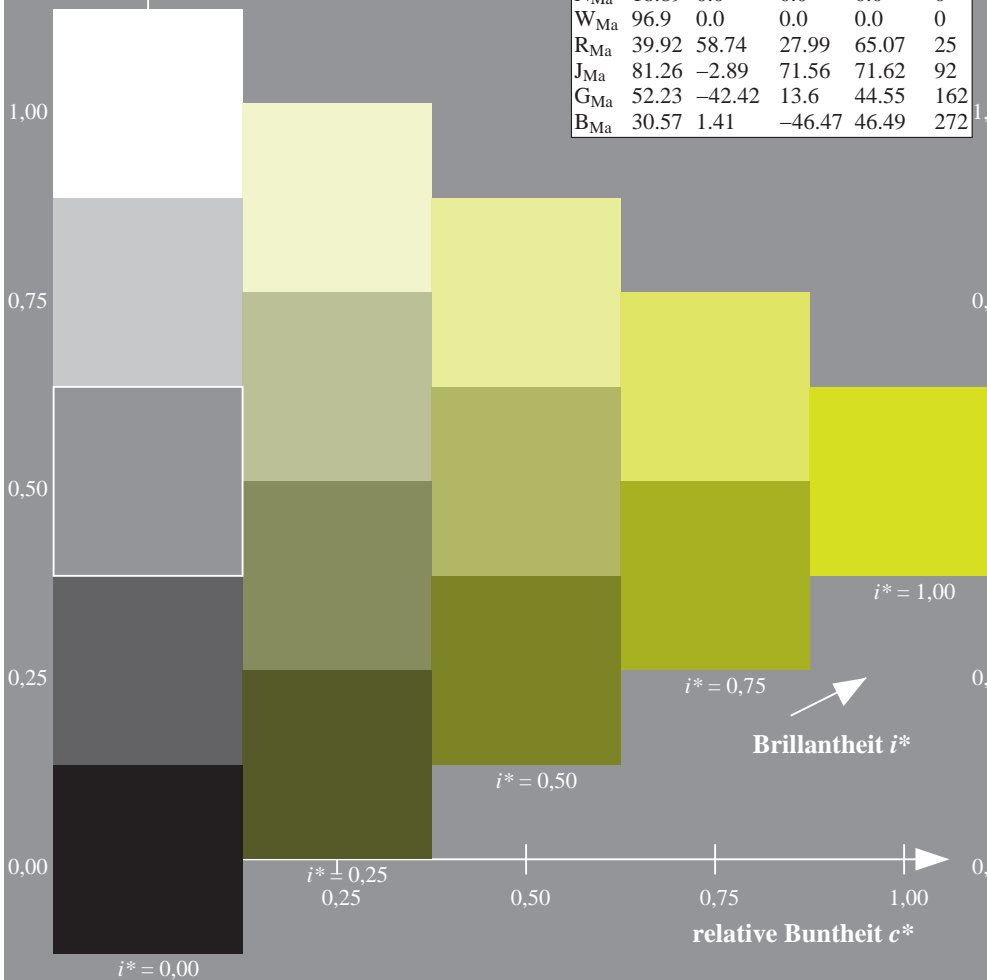
%Regularität

$g^*_{H,rel} = 72$

$g^*_{C,rel} = 57$

ORS19_96a; adaptierte CIELAB-Daten

u^*_e	$L^*=L^*_a$	a^*_a	b^*_a	$C^*_{ab,a}$	$h^*_{ab,a}$	u^*_d
r00j	48.88	66.47	31.67	73.63	25	m84o
r25j	55.85	52.39	47.48	70.7	42	o17y
r50j	65.45	35.22	58.37	68.17	59	o42y
r75j	75.19	17.82	69.41	71.66	76	o67y
j00g	87.03	-3.35	82.83	82.9	92	o92y
j25g	80.72	-25.01	69.5	73.86	110	y20l
j50g	70.64	-39.54	51.97	65.3	127	y46l
j75g	61.93	-52.1	36.83	63.8	145	y72l
g00b	52.8	-65.28	20.93	68.56	162	y99l
g25b	55.7	-49.58	-8.39	50.28	190	l36c
g50b	57.82	-38.4	-28.92	48.07	217	l72c
g75b	55.5	-22.05	-45.95	50.97	244	c11v
b00r	41.6	1.37	-45.01	45.03	272	c56v
b25r	29.0	25.08	-43.13	49.89	300	v04m
b50r	38.04	46.53	-28.39	54.51	329	v55m
b75r	49.48	72.88	-3.76	72.98	357	m11o



Ein und Ausgabe: Farbmetrisches Drucker-Reflektiv-System ORS19_96a für relativen CIELAB-Buntton $h^* = lab^*h^* = h_{ab}/360 = 0.354$

Daten für jede Farbe:

lab^*tch^* und lab^*icu^*

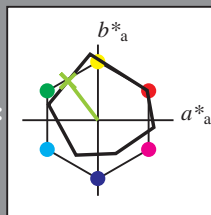
Bunttontexte:

$u_e^* = j50g$ $u_d^* = y46l$

Kontrastreduzierungsfaktor:

$c_R = 1.0$

Dreiecks-Helligkeit i^*



ORS19_96a; adaptierte CIELAB-Daten

u_e^*	$L^*=L_a^*$	a_a^*	b_a^*	$C_{ab,a}^*$	$h_{ab,a}^*$
O _{Ma}	48.75	65.07	39.43	76.08	31
Y _{Ma}	90.92	-10.29	87.24	87.85	97
L _{Ma}	52.69	-65.44	20.75	68.65	162
C _{Ma}	59.61	-28.98	-46.22	54.56	238
V _{Ma}	28.39	23.63	-44.13	50.06	298
M _{Ma}	49.58	73.93	-9.56	74.55	353
N _{Ma}	18.89	0.0	0.0	0.0	0
W _{Ma}	96.9	0.0	0.0	0.0	0
R _{Ma}	39.92	58.74	27.99	65.07	25
J _{Ma}	81.26	-2.89	71.56	71.62	92
G _{Ma}	52.23	-42.42	13.6	44.55	162
B _{Ma}	30.57	1.41	-46.47	46.49	272

Daten für Maximalfarbe (Ma):

LAB^*LAB^*Ma : 71 -40 52

LAB^*LCH^*Ma : 71 65 127

lab^*rgb^*Ma : 0.5 1.0 0.0

lab^*olv^*Ma : 0.54 1.0 0.0

Dreiecks-Helligkeit i^*

%Umfang

$u_{rel}^* = 89$

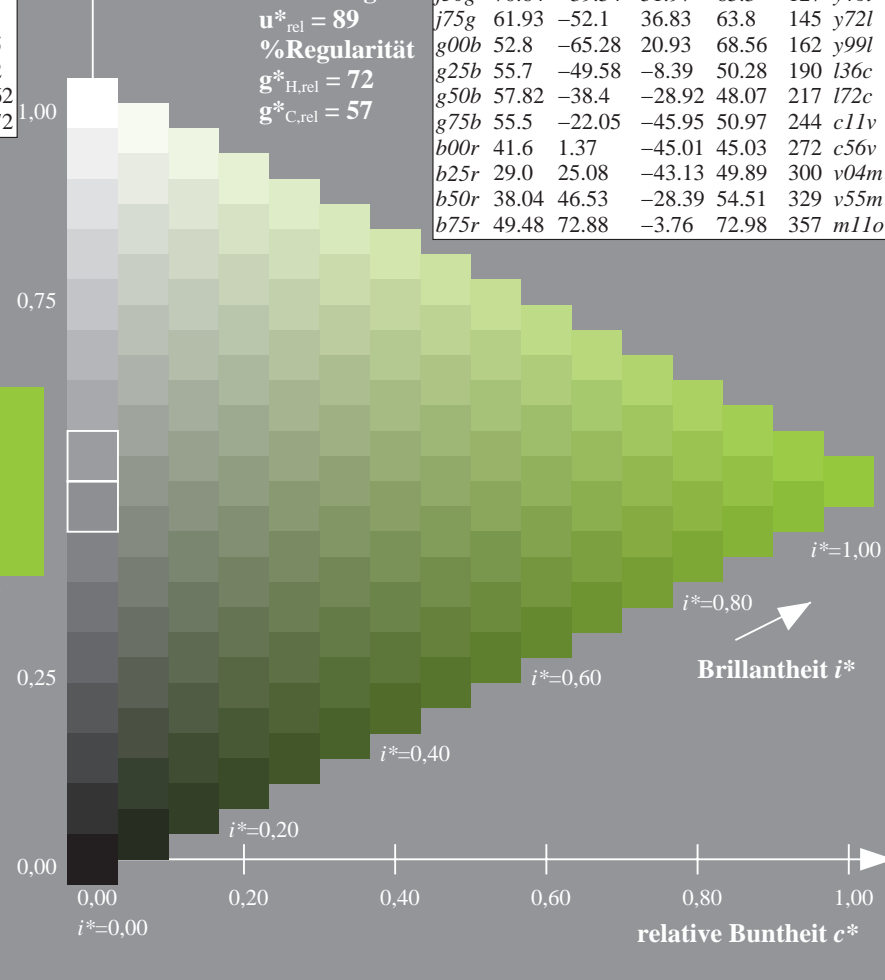
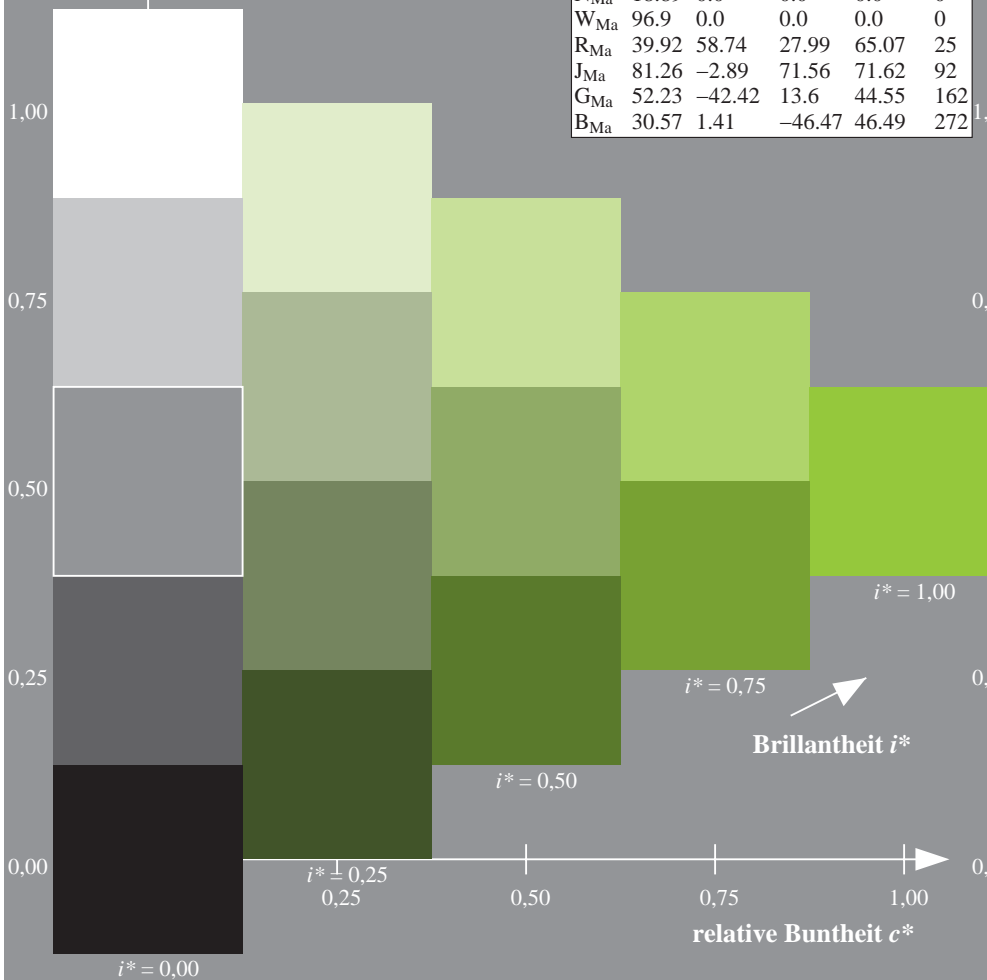
%Regularität

$g_{H,rel}^* = 72$

$g_{C,rel}^* = 57$

ORS19_96a; adaptierte CIELAB-Daten

u_e^*	$L^*=L_a^*$	a_a^*	b_a^*	$C_{ab,a}^*$	$h_{ab,a}^*$	u_d^*
r00j	48.88	66.47	31.67	73.63	25	m84o
r25j	55.85	52.39	47.48	70.7	42	o17y
r50j	65.45	35.22	58.37	68.17	59	o42y
r75j	75.19	17.82	69.41	71.66	76	o67y
j00g	87.03	-3.35	82.83	82.9	92	o92y
j25g	80.72	-25.01	69.5	73.86	110	y20l
j50g	70.64	-39.54	51.97	65.3	127	y46l
j75g	61.93	-52.1	36.83	63.8	145	y72l
g00b	52.8	-65.28	20.93	68.56	162	y99l
g25b	55.7	-49.58	-8.39	50.28	190	l36c
g50b	57.82	-38.4	-28.92	48.07	217	l72c
g75b	55.5	-22.05	-45.95	50.97	244	c11v
b00r	41.6	1.37	-45.01	45.03	272	c56v
b25r	29.0	25.08	-43.13	49.89	300	v04m
b50r	38.04	46.53	-28.39	54.51	329	v55m
b75r	49.48	72.88	-3.76	72.98	357	m11o



Ein und Ausgabe: Farbmetrisches Drucker-Reflektiv-System ORS19_96a für relativen CIELAB-Buntton $h^* = lab^*h^* = h_{ab}/360 = 0.402$

Daten für jede Farbe:

lab^*tch^* und lab^*icu^*

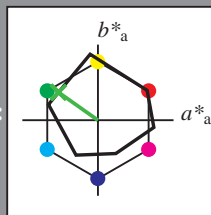
Bunttontexte:

$u^*_e = j75g$ $u^*_d = y72l$

Kontrastreduzierungsfaktor:

$c_R = 1.0$

Dreiecks-Helligkeit i^*



ORS19_96a; adaptierte CIELAB-Daten

u^*_e	$L^*=L^*_a$	a^*_a	b^*_a	$C^*_{ab,a}$	$h^*_{ab,a}$
O _{Ma}	48.75	65.07	39.43	76.08	31
Y _{Ma}	90.92	-10.29	87.24	87.85	97
L _{Ma}	52.69	-65.44	20.75	68.65	162
C _{Ma}	59.61	-28.98	-46.22	54.56	238
V _{Ma}	28.39	23.63	-44.13	50.06	298
M _{Ma}	49.58	73.93	-9.56	74.55	353
N _{Ma}	18.89	0.0	0.0	0.0	0
W _{Ma}	96.9	0.0	0.0	0.0	0
R _{Ma}	39.92	58.74	27.99	65.07	25
J _{Ma}	81.26	-2.89	71.56	71.62	92
G _{Ma}	52.23	-42.42	13.6	44.55	162
B _{Ma}	30.57	1.41	-46.47	46.49	272

Daten für Maximalfarbe (Ma):

LAB^*LAB^*Ma : 62 -52 37

LAB^*LCH^*Ma : 62 64 144

lab^*rgb^*Ma : 0.25 1.0 0.0

lab^*olv^*Ma : 0.27 1.0 0.0

Dreiecks-Helligkeit i^*

%Umfang

$u^*_{rel} = 89$

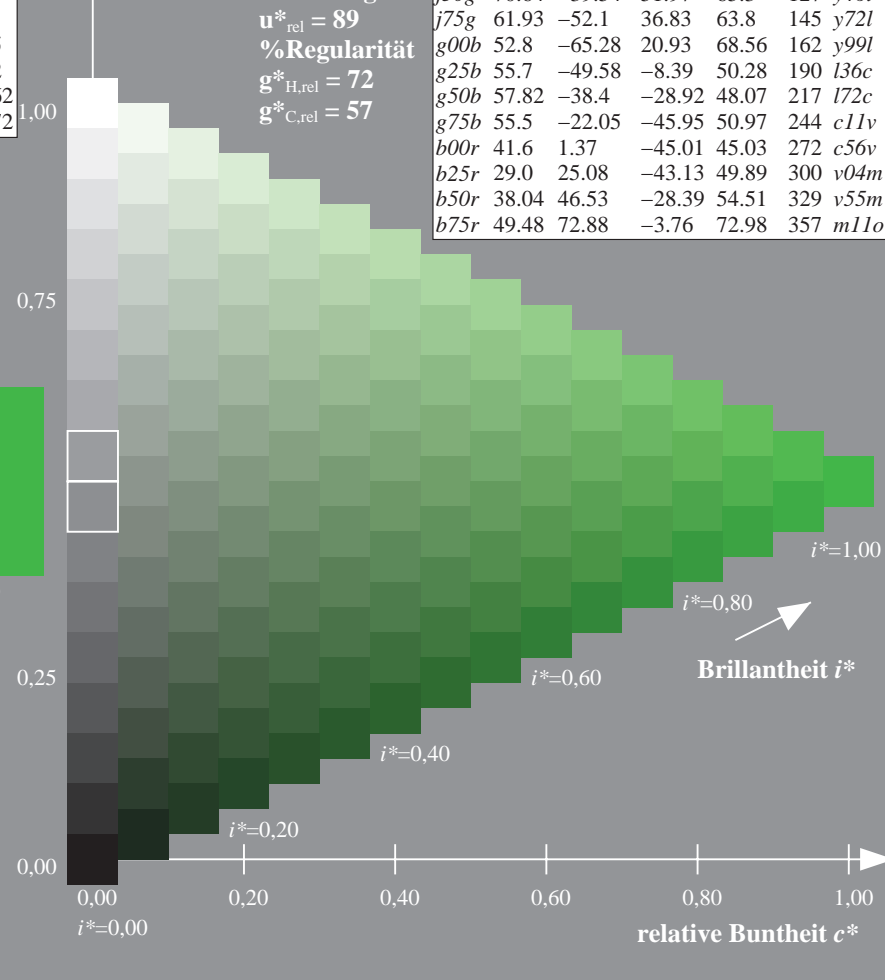
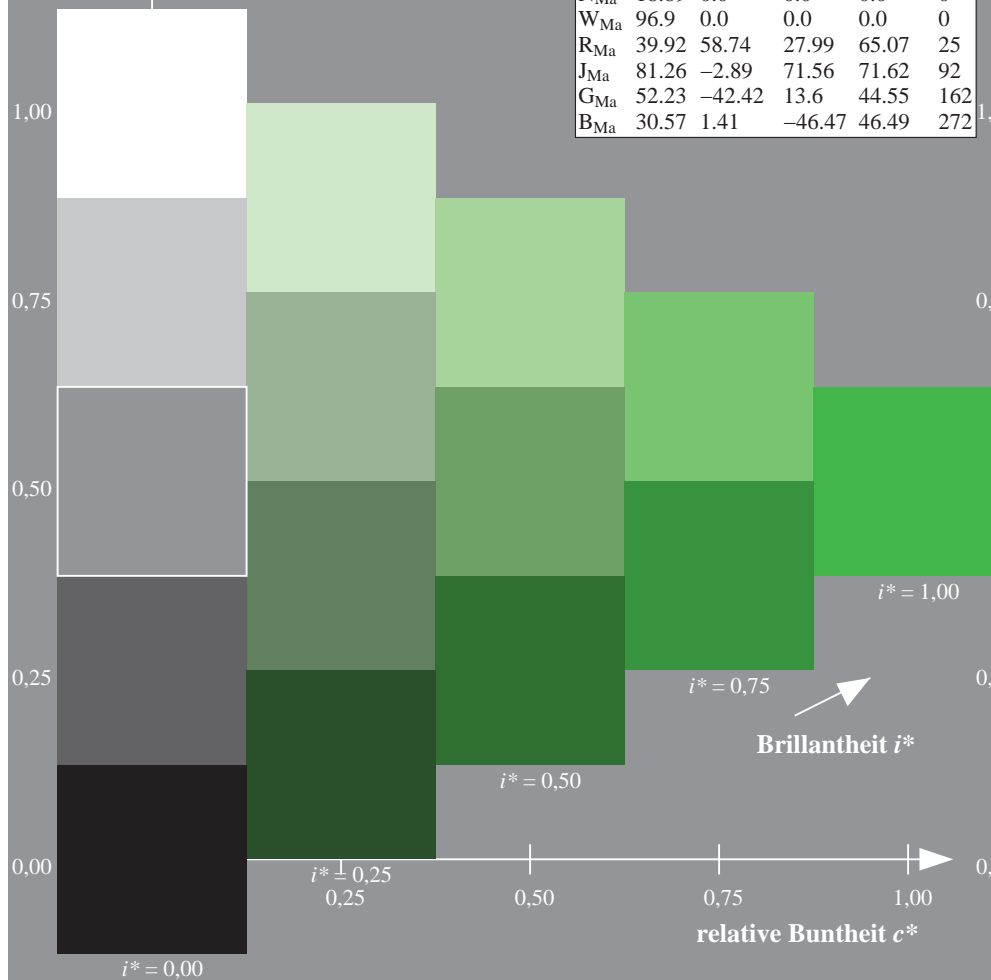
%Regularität

$g^*_{H,rel} = 72$

$g^*_{C,rel} = 57$

ORS19_96a; adaptierte CIELAB-Daten

u^*_e	$L^*=L^*_a$	a^*_a	b^*_a	$C^*_{ab,a}$	$h^*_{ab,a}$	u^*_d
r00j	48.88	66.47	31.67	73.63	25	m84o
r25j	55.85	52.39	47.48	70.7	42	o17y
r50j	65.45	35.22	58.37	68.17	59	o42y
r75j	75.19	17.82	69.41	71.66	76	o67y
j00g	87.03	-3.35	82.83	82.9	92	o92y
j25g	80.72	-25.01	69.5	73.86	110	y20l
j50g	70.64	-39.54	51.97	65.3	127	y46l
j75g	61.93	-52.1	36.83	63.8	145	y72l
g00b	52.8	-65.28	20.93	68.56	162	y99l
g25b	55.7	-49.58	-8.39	50.28	190	l36c
g50b	57.82	-38.4	-28.92	48.07	217	l72c
g75b	55.5	-22.05	-45.95	50.97	244	c11v
b00r	41.6	1.37	-45.01	45.03	272	c56v
b25r	29.0	25.08	-43.13	49.89	300	v04m
b50r	38.04	46.53	-28.39	54.51	329	v55m
b75r	49.48	72.88	-3.76	72.98	357	m11o



Ein und Ausgabe: Farbmetrisches Drucker-Reflektiv-System ORS19_96a für relativen CIELAB-Buntton $h^* = lab^*h^* = h_{ab}/360 = 0.451$

Daten für jede Farbe:

lab^*ch^* und lab^*icu^*

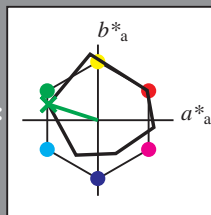
Bunttontexte:

$u^*_e = g00b$ $u^*_d = y99l$

Kontrastreduzierungsfaktor:

$c_R = 1.0$

Dreiecks-Helligkeit i^*



ORS19_96a; adaptierte CIELAB-Daten

u^*_e	$L^*=L^*_a$	a^*_a	b^*_a	$C^*_{ab,a}$	$h^*_{ab,a}$
O _{Ma}	48.75	65.07	39.43	76.08	31
Y _{Ma}	90.92	-10.29	87.24	87.85	97
L _{Ma}	52.69	-65.44	20.75	68.65	162
C _{Ma}	59.61	-28.98	-46.22	54.56	238
V _{Ma}	28.39	23.63	-44.13	50.06	298
M _{Ma}	49.58	73.93	-9.56	74.55	353
N _{Ma}	18.89	0.0	0.0	0.0	0
W _{Ma}	96.9	0.0	0.0	0.0	0
R _{Ma}	39.92	58.74	27.99	65.07	25
J _{Ma}	81.26	-2.89	71.56	71.62	92
G _{Ma}	52.23	-42.42	13.6	44.55	162
B _{Ma}	30.57	1.41	-46.47	46.49	272

Daten für Maximalfarbe (Ma):

$LAB^*LAB^*_{Ma}$: 53 -65 21

$LAB^*LCH^*_{Ma}$: 53 69 162

$lab^*rgb^*_{Ma}$: 0.0 1.0 0.0

$lab^*olv^*_{Ma}$: 0.0 1.0 0.0

Dreiecks-Helligkeit i^*

%Umfang

$u^*_{rel} = 89$

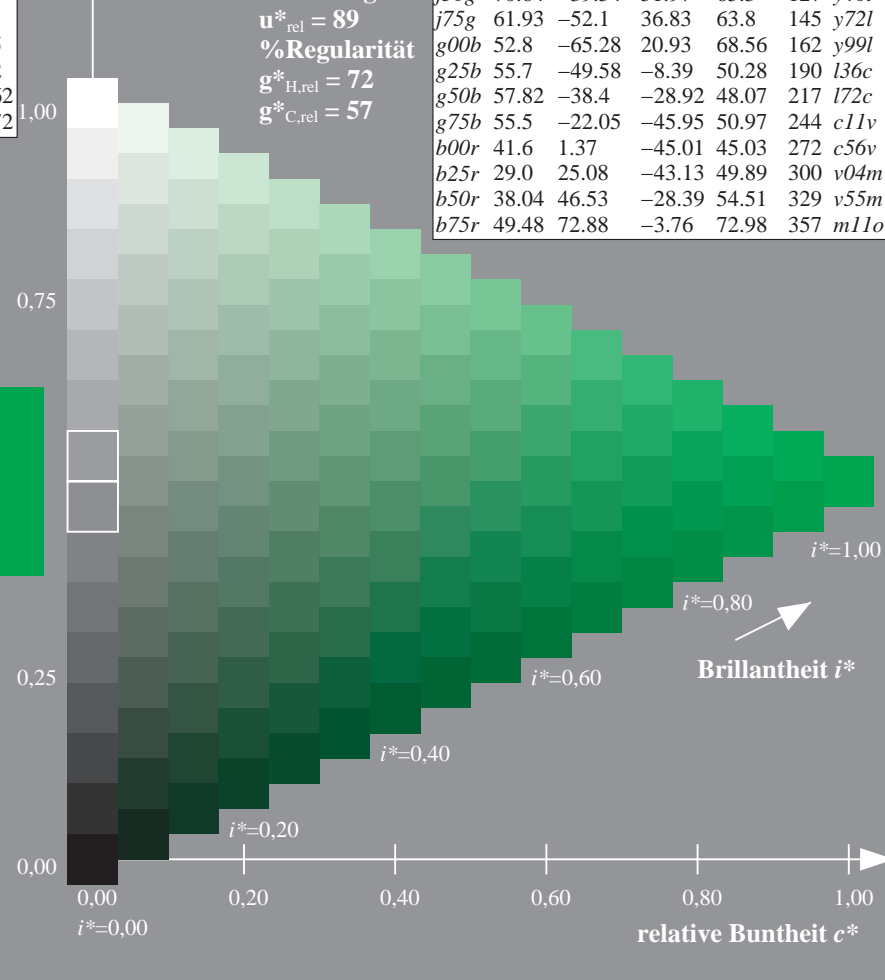
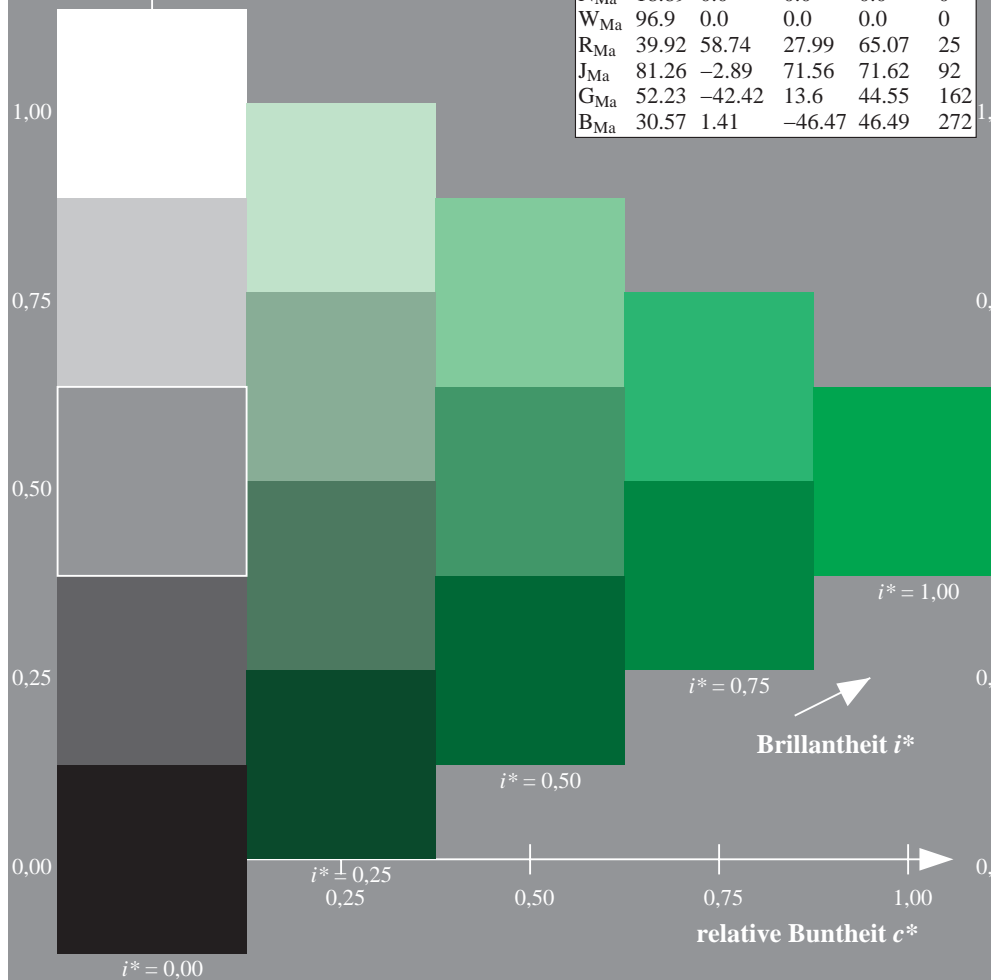
%Regularität

$g^*_{H,rel} = 72$

$g^*_{C,rel} = 57$

ORS19_96a; adaptierte CIELAB-Daten

u^*_e	$L^*=L^*_a$	a^*_a	b^*_a	$C^*_{ab,a}$	$h^*_{ab,a}$	u^*_d
r00j	48.88	66.47	31.67	73.63	25	m84o
r25j	55.85	52.39	47.48	70.7	42	o17y
r50j	65.45	35.22	58.37	68.17	59	o42y
r75j	75.19	17.82	69.41	71.66	76	o67y
j00g	87.03	-3.35	82.83	82.9	92	o92y
j25g	80.72	-25.01	69.5	73.86	110	y20l
j50g	70.64	-39.54	51.97	65.3	127	y46l
j75g	61.93	-52.1	36.83	63.8	145	y72l
g00b	52.8	-65.28	20.93	68.56	162	y99l
g25b	55.7	-49.58	-8.39	50.28	190	l36c
g50b	57.82	-38.4	-28.92	48.07	217	l72c
g75b	55.5	-22.05	-45.95	50.97	244	c11v
b00r	41.6	1.37	-45.01	45.03	272	c56v
b25r	29.0	25.08	-43.13	49.89	300	v04m
b50r	38.04	46.53	-28.39	54.51	329	v55m
b75r	49.48	72.88	-3.76	72.98	357	m11o



Ein und Ausgabe: Farbmetrisches Drucker-Reflektiv-System ORS19_96a für relativen CIELAB-Buntton $h^* = lab^*h^* = h_{ab}/360 = 0.527$

Daten für jede Farbe:

lab^*ch^* und lab^*icu^*

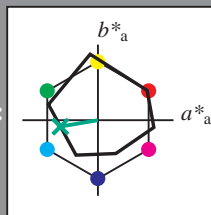
Bunttontexte:

$u^*_e = g25b$ $u^*_d = l36c$

Kontrastreduzierungsfaktor:

$c_R = 1.0$

Dreiecks-Helligkeit i^*



ORS19_96a; adaptierte CIELAB-Daten

u^*_e	$L^*=L^*_a$	a^*_a	b^*_a	$C^*_{ab,a}$	$h^*_{ab,a}$
O _{Ma}	48.75	65.07	39.43	76.08	31
Y _{Ma}	90.92	-10.29	87.24	87.85	97
L _{Ma}	52.69	-65.44	20.75	68.65	162
C _{Ma}	59.61	-28.98	-46.22	54.56	238
V _{Ma}	28.39	23.63	-44.13	50.06	298
M _{Ma}	49.58	73.93	-9.56	74.55	353
N _{Ma}	18.89	0.0	0.0	0.0	0
W _{Ma}	96.9	0.0	0.0	0.0	0
R _{Ma}	39.92	58.74	27.99	65.07	25
J _{Ma}	81.26	-2.89	71.56	71.62	92
G _{Ma}	52.23	-42.42	13.6	44.55	162
B _{Ma}	30.57	1.41	-46.47	46.49	272

Daten für Maximalfarbe (Ma):

$LAB^*LAB^*_{Ma}$: 56 -50 -8

$LAB^*LCH^*_{Ma}$: 56 50 189

$lab^*rgb^*_{Ma}$: 0.0 1.0 0.5

$lab^*olv^*_{Ma}$: 0.0 1.0 0.36

Dreiecks-Helligkeit i^*

%Umfang

$u^*_{rel} = 89$

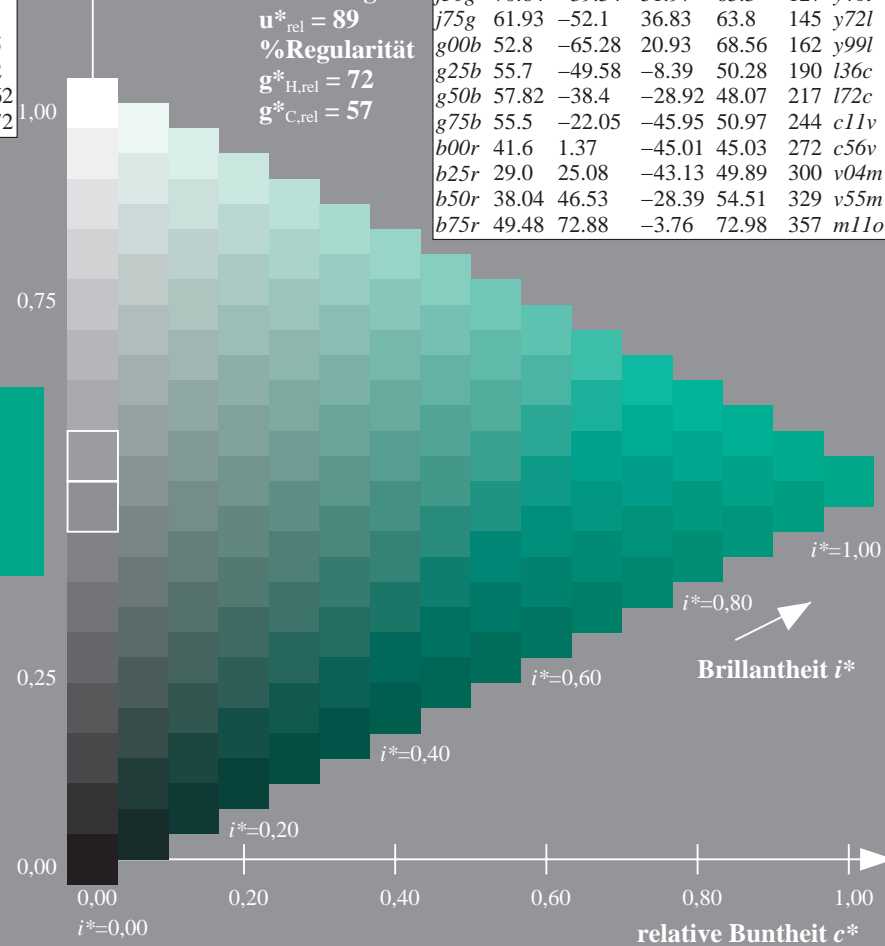
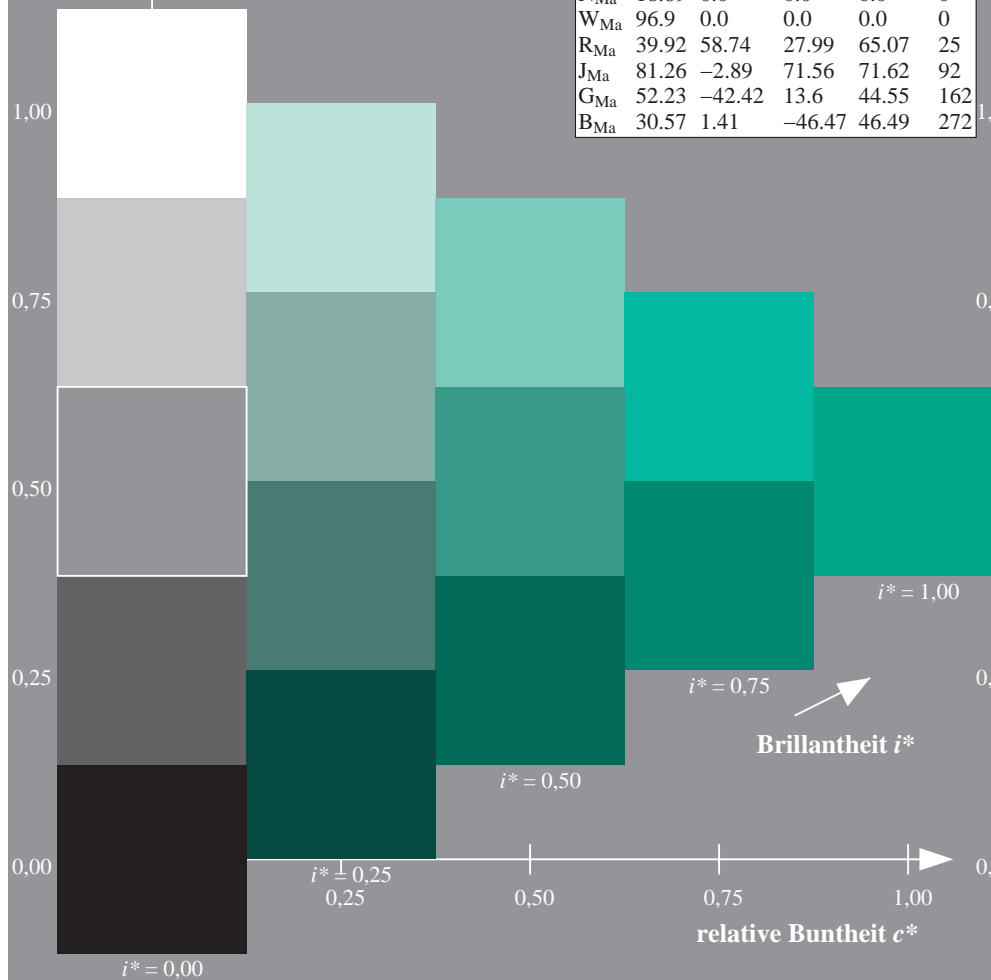
%Regularität

$g^*_{H,rel} = 72$

$g^*_{C,rel} = 57$

ORS19_96a; adaptierte CIELAB-Daten

u^*_e	$L^*=L^*_a$	a^*_a	b^*_a	$C^*_{ab,a}$	$h^*_{ab,a}$	u^*_d
r00j	48.88	66.47	31.67	73.63	25	m84o
r25j	55.85	52.39	47.48	70.7	42	o17y
r50j	65.45	35.22	58.37	68.17	59	o42y
r75j	75.19	17.82	69.41	71.66	76	o67y
j00g	87.03	-3.35	82.83	82.9	92	o92y
j25g	80.72	-25.01	69.5	73.86	110	y20l
j50g	70.64	-39.54	51.97	65.3	127	y46l
j75g	61.93	-52.1	36.83	63.8	145	y72l
g00b	52.8	-65.28	20.93	68.56	162	y99l
g25b	55.7	-49.58	-8.39	50.28	190	l36c
g50b	57.82	-38.4	-28.92	48.07	217	l72c
g75b	55.5	-22.05	-45.95	50.97	244	c11v
b00r	41.6	1.37	-45.01	45.03	272	c56v
b25r	29.0	25.08	-43.13	49.89	300	v04m
b50r	38.04	46.53	-28.39	54.51	329	v55m
b75r	49.48	72.88	-3.76	72.98	357	m11o



Ein und Ausgabe: Farbmetrisches Drucker-Reflektiv-System ORS19_96a für relativen CIELAB-Buntton $h^* = lab^*h^* = h_{ab}/360 = 0.603$

Daten für jede Farbe:

lab^*ch^* und lab^*icu^*

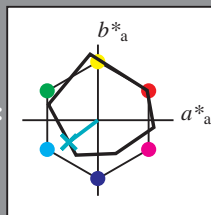
Bunttontexte:

$u^*_e = g50b$ $u^*_d = l72c$

Kontrastreduzierungsfaktor:

$c_R = 1.0$

Dreiecks-Helligkeit i^*



ORS19_96a; adaptierte CIELAB-Daten						
u^*_e	$L^*=L^*_a$	a^*_a	b^*_a	$C^*_{ab,a}$	$h^*_{ab,a}$	
O _{Ma}	48.75	65.07	39.43	76.08	31	
Y _{Ma}	90.92	-10.29	87.24	87.85	97	
L _{Ma}	52.69	-65.44	20.75	68.65	162	
C _{Ma}	59.61	-28.98	-46.22	54.56	238	
V _{Ma}	28.39	23.63	-44.13	50.06	298	
M _{Ma}	49.58	73.93	-9.56	74.55	353	
N _{Ma}	18.89	0.0	0.0	0.0	0	
W _{Ma}	96.9	0.0	0.0	0.0	0	
R _{Ma}	39.92	58.74	27.99	65.07	25	
J _{Ma}	81.26	-2.89	71.56	71.62	92	
G _{Ma}	52.23	-42.42	13.6	44.55	162	
B _{Ma}	30.57	1.41	-46.47	46.49	272	

Daten für Maximalfarbe (Ma):

$LAB^*LAB^*_{Ma}$: 58 -38 -29

$LAB^*LCH^*_{Ma}$: 58 48 216

$lab^*rgb^*_{Ma}$: 0.0 1.0 1.0

$lab^*olv^*_{Ma}$: 0.0 1.0 0.72

Dreiecks-Helligkeit i^*

%Umfang

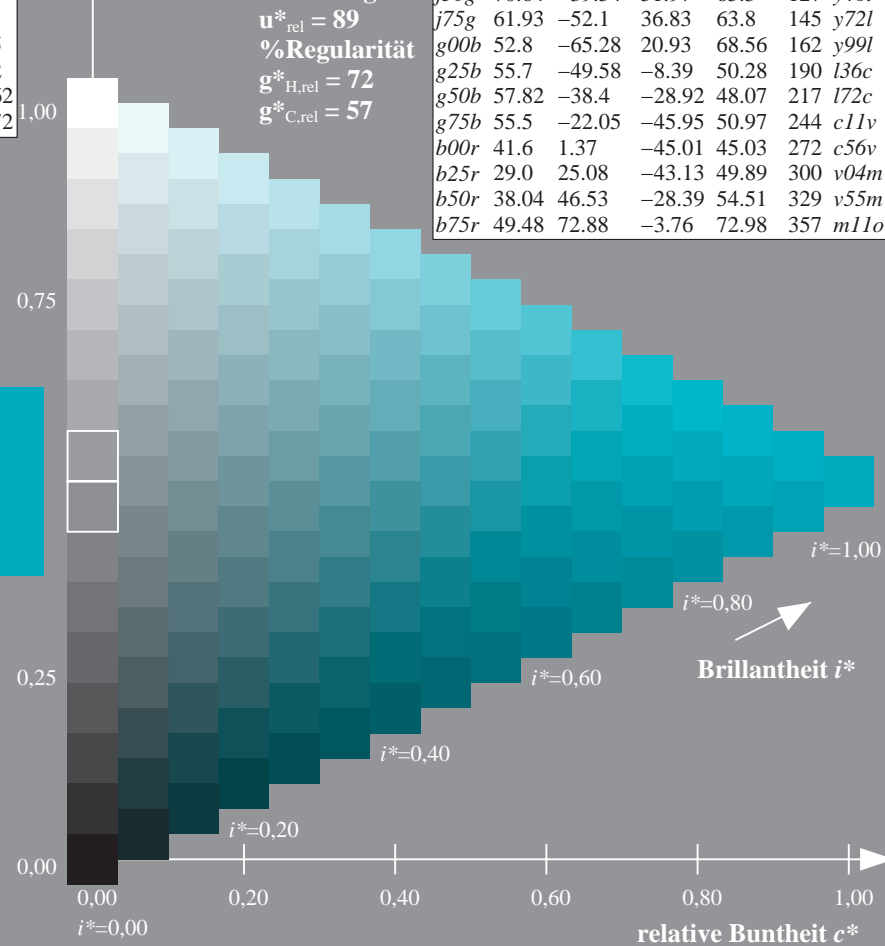
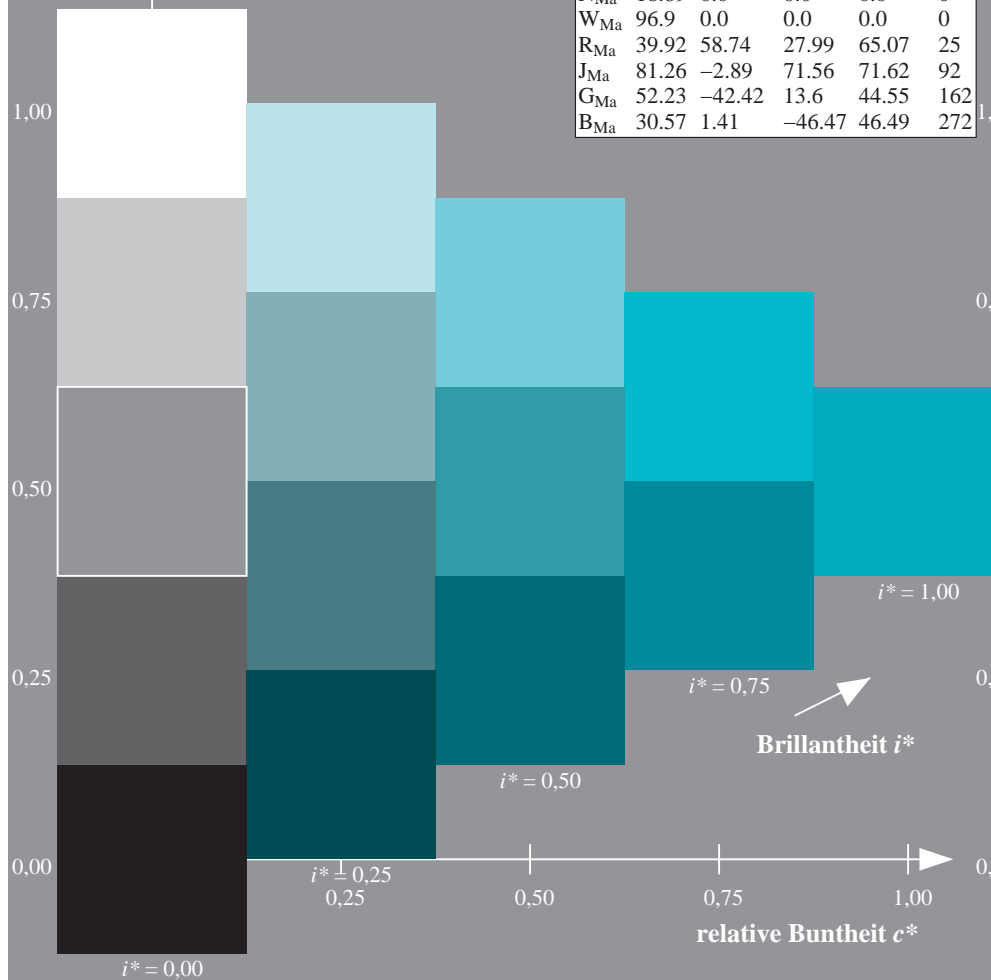
$u^*_{rel} = 89$

%Regularität

$g^*_{H,rel} = 72$

$g^*_{C,rel} = 57$

ORS19_96a; adaptierte CIELAB-Daten							
u^*_e	$L^*=L^*_a$	a^*_a	b^*_a	$C^*_{ab,a}$	$h^*_{ab,a}$	u^*_d	
r00j	48.88	66.47	31.67	73.63	25	m84o	
r25j	55.85	52.39	47.48	70.7	42	o17y	
r50j	65.45	35.22	58.37	68.17	59	o42y	
r75j	75.19	17.82	69.41	71.66	76	o67y	
j00g	87.03	-3.35	82.83	82.9	92	o92y	
j25g	80.72	-25.01	69.5	73.86	110	y20l	
j50g	70.64	-39.54	51.97	65.3	127	y46l	
j75g	61.93	-52.1	36.83	63.8	145	y72l	
g00b	52.8	-65.28	20.93	68.56	162	y99l	
g25b	55.7	-49.58	-8.39	50.28	190	l36c	
g50b	57.82	-38.4	-28.92	48.07	217	l72c	
g75b	55.5	-22.05	-45.95	50.97	244	c11v	
b00r	41.6	1.37	-45.01	45.03	272	c56v	
b25r	29.0	25.08	-43.13	49.89	300	v04m	
b50r	38.04	46.53	-28.39	54.51	329	v55m	
b75r	49.48	72.88	-3.76	72.98	357	m11o	



Ein und Ausgabe: Farbmetrisches Drucker-Reflektiv-System ORS19_96a für relativen CIELAB-Buntton $h^* = lab^*h^* = h_{ab}/360 = 0.679$

Daten für jede Farbe:

lab^*ch^* und lab^*icu^*

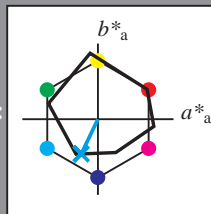
Bunttontexte:

$u^*_e = g75b$ $u^*_d = c11v$

Kontrastreduzierungsfaktor:

$c_R = 1.0$

Dreiecks-Helligkeit i^*



ORS19_96a; adaptierte CIELAB-Daten

u^*_e	$L^*=L^*_a$	a^*_a	b^*_a	$C^*_{ab,a}$	$h^*_{ab,a}$
O _{Ma}	48.75	65.07	39.43	76.08	31
Y _{Ma}	90.92	-10.29	87.24	87.85	97
L _{Ma}	52.69	-65.44	20.75	68.65	162
C _{Ma}	59.61	-28.98	-46.22	54.56	238
V _{Ma}	28.39	23.63	-44.13	50.06	298
M _{Ma}	49.58	73.93	-9.56	74.55	353
N _{Ma}	18.89	0.0	0.0	0.0	0
W _{Ma}	96.9	0.0	0.0	0.0	0
R _{Ma}	39.92	58.74	27.99	65.07	25
J _{Ma}	81.26	-2.89	71.56	71.62	92
G _{Ma}	52.23	-42.42	13.6	44.55	162
B _{Ma}	30.57	1.41	-46.47	46.49	272

Daten für Maximalfarbe (Ma):

$LAB^*LAB^*_{Ma}$: 55 -22 -46

$LAB^*LCH^*_{Ma}$: 55 51 244

$lab^*rgb^*_{Ma}$: 0.0 0.5 1.0

$lab^*olv^*_{Ma}$: 0.0 0.89 1.0

Dreiecks-Helligkeit i^*

%Umfang

$u^*_{rel} = 89$

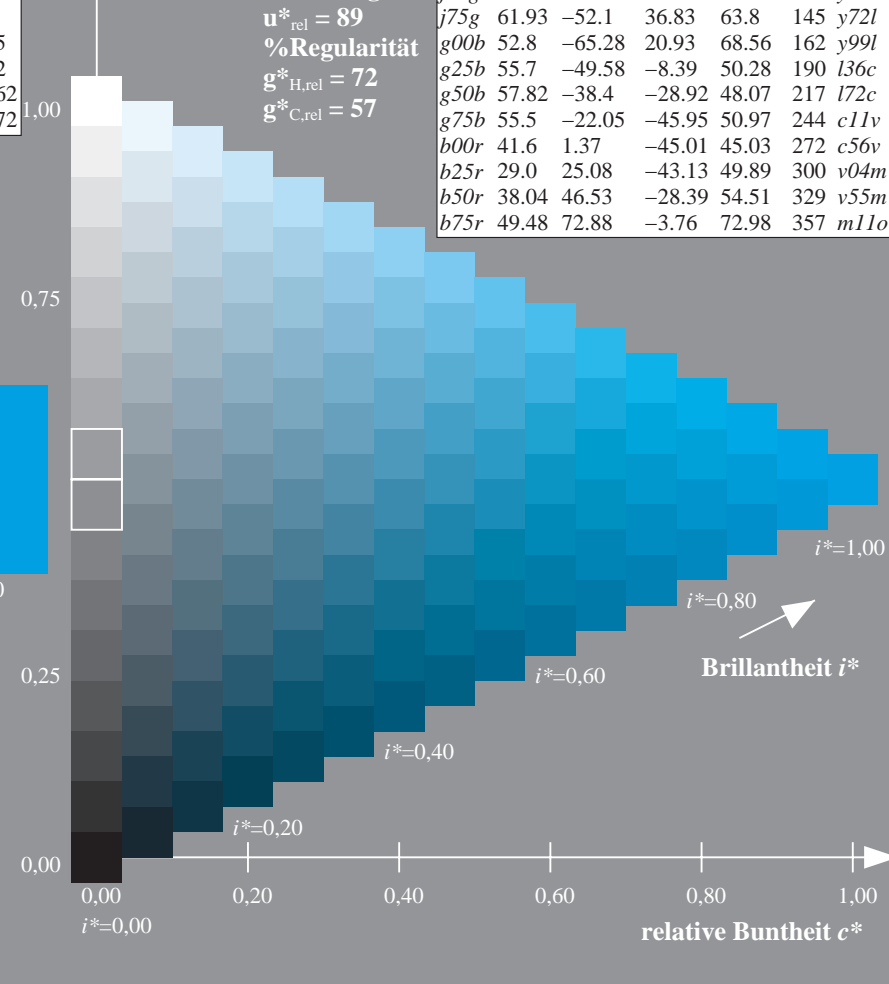
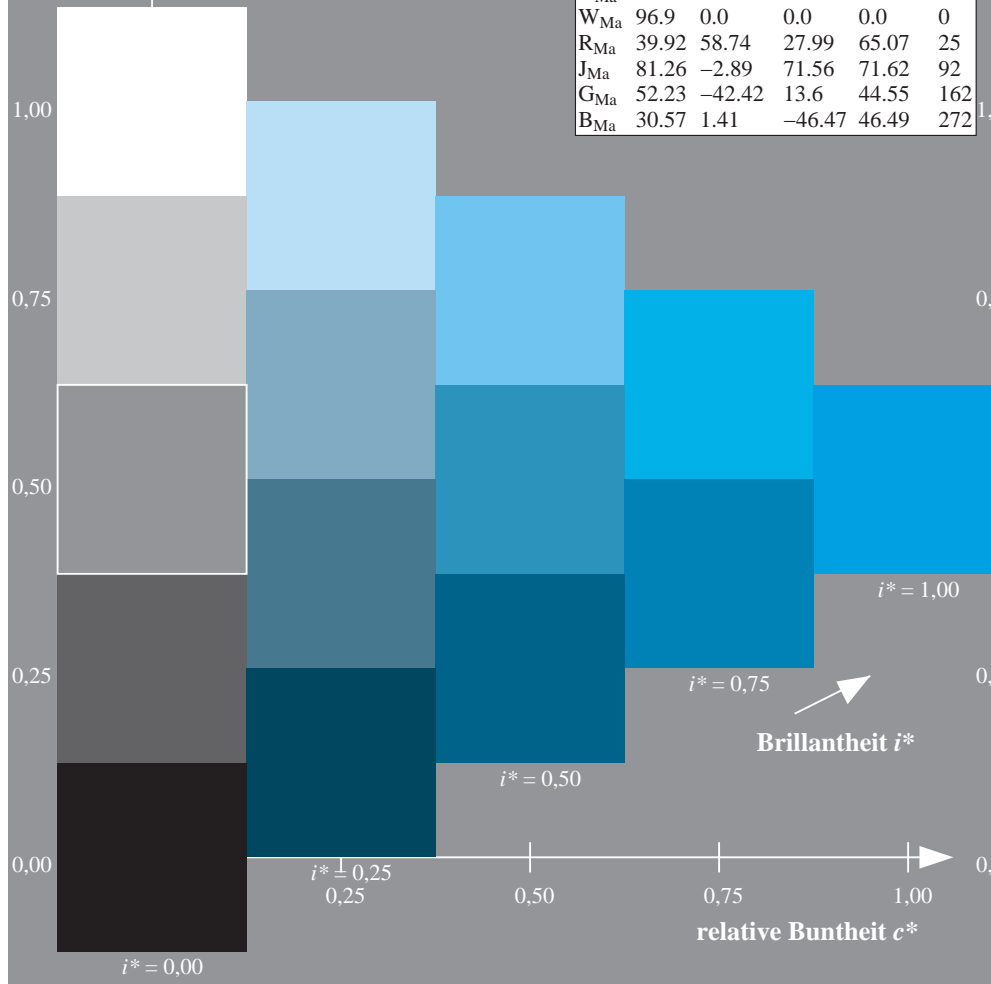
%Regularität

$g^*_{H,rel} = 72$

$g^*_{C,rel} = 57$

ORS19_96a; adaptierte CIELAB-Daten

u^*_e	$L^*=L^*_a$	a^*_a	b^*_a	$C^*_{ab,a}$	$h^*_{ab,a}$	u^*_d
r00j	48.88	66.47	31.67	73.63	25	m84o
r25j	55.85	52.39	47.48	70.7	42	o17y
r50j	65.45	35.22	58.37	68.17	59	o42y
r75j	75.19	17.82	69.41	71.66	76	o67y
j00g	87.03	-3.35	82.83	82.9	92	o92y
j25g	80.72	-25.01	69.5	73.86	110	y20l
j50g	70.64	-39.54	51.97	65.3	127	y46l
j75g	61.93	-52.1	36.83	63.8	145	y72l
g00b	52.8	-65.28	20.93	68.56	162	y99l
g25b	55.7	-49.58	-8.39	50.28	190	l36c
g50b	57.82	-38.4	-28.92	48.07	217	l72c
g75b	55.5	-22.05	-45.95	50.97	244	c11v
b00r	41.6	1.37	-45.01	45.03	272	c56v
b25r	29.0	25.08	-43.13	49.89	300	v04m
b50r	38.04	46.53	-28.39	54.51	329	v55m
b75r	49.48	72.88	-3.76	72.98	357	m11o



Ein und Ausgabe: Farbmimetrisches Drucker-Reflektiv-System ORS19_96a für relativen CIELAB-Buntton $h^* = lab^*h^* = h_{ab}/360 = 0.755$

Daten für jede Farbe:

lab^*ch^* und lab^*icu^*

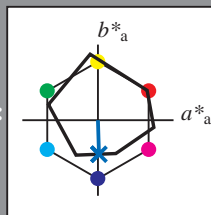
Bunttontexte:

$u^*_e = b00r$ $u^*_d = c56v$

Kontrastreduzierungsfaktor:

$c_R = 1.0$

Dreiecks-Helligkeit i^*



ORS19_96a; adaptierte CIELAB-Daten

u^*_e	$L^*=L^*_a$	a^*_a	b^*_a	$C^*_{ab,a}$	$h^*_{ab,a}$
O _{Ma}	48.75	65.07	39.43	76.08	31
Y _{Ma}	90.92	-10.29	87.24	87.85	97
L _{Ma}	52.69	-65.44	20.75	68.65	162
C _{Ma}	59.61	-28.98	-46.22	54.56	238
V _{Ma}	28.39	23.63	-44.13	50.06	298
M _{Ma}	49.58	73.93	-9.56	74.55	353
N _{Ma}	18.89	0.0	0.0	0.0	0
W _{Ma}	96.9	0.0	0.0	0.0	0
R _{Ma}	39.92	58.74	27.99	65.07	25
J _{Ma}	81.26	-2.89	71.56	71.62	92
G _{Ma}	52.23	-42.42	13.6	44.55	162
B _{Ma}	30.57	1.41	-46.47	46.49	272

Daten für Maximalfarbe (Ma):

$LAB^*LAB^*_{Ma}$: 42 1 -45

$LAB^*LCH^*_{Ma}$: 42 45 271

$lab^*rgb^*_{Ma}$: 0.0 0.0 1.0

$lab^*olv^*_{Ma}$: 0.0 0.44 1.0

Dreiecks-Helligkeit i^*

%Umfang

$u^*_{rel} = 89$

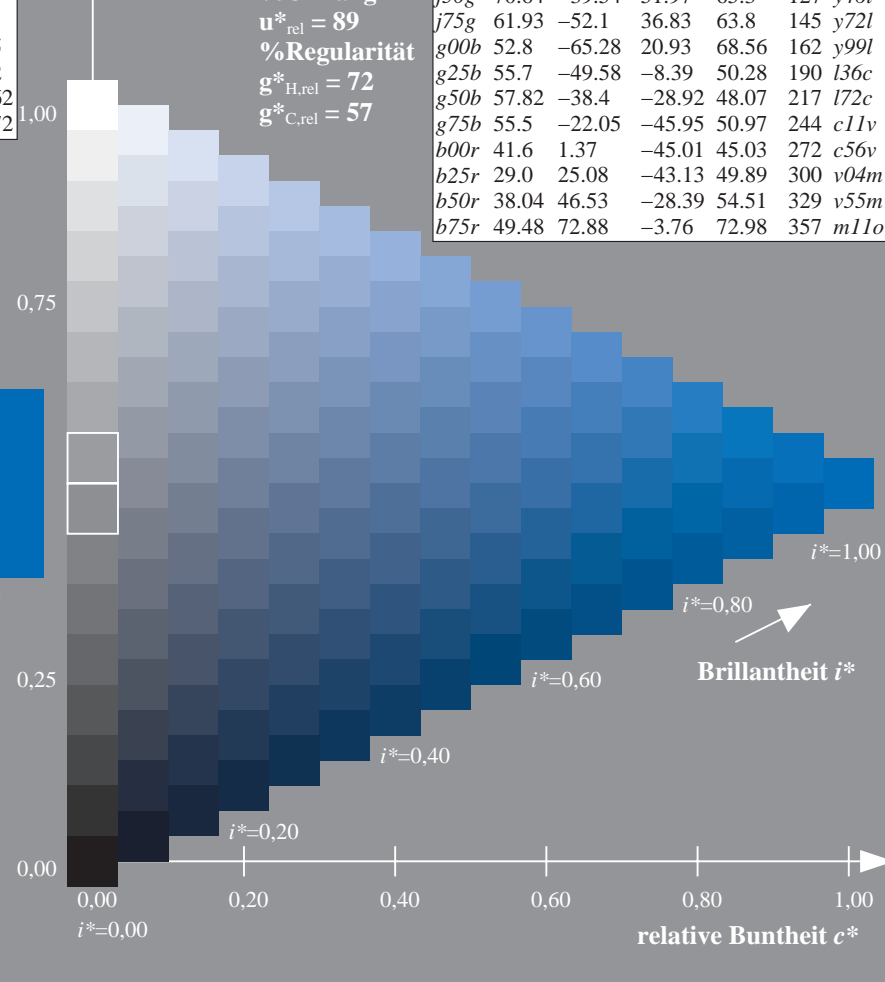
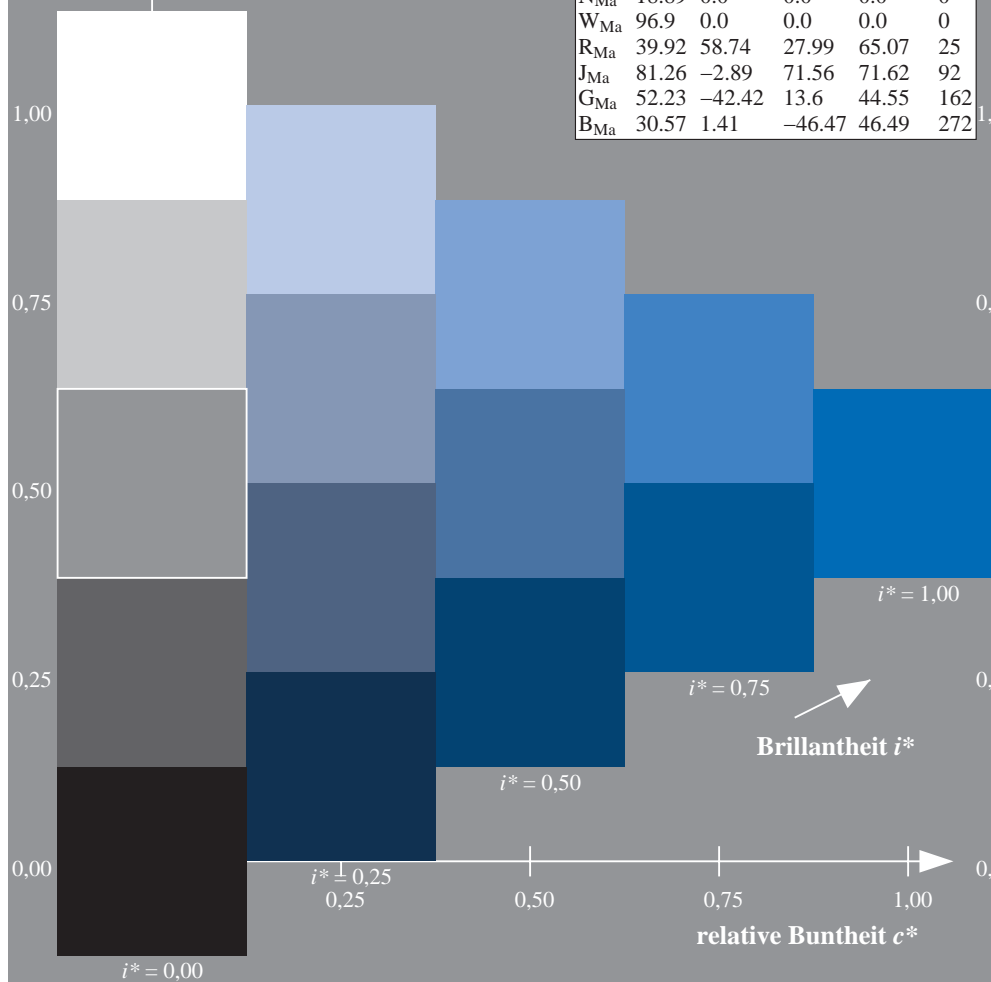
%Regularität

$g^*_{H,rel} = 72$

$g^*_{C,rel} = 57$

ORS19_96a; adaptierte CIELAB-Daten

u^*_e	$L^*=L^*_a$	a^*_a	b^*_a	$C^*_{ab,a}$	$h^*_{ab,a}$	u^*_d
r00j	48.88	66.47	31.67	73.63	25	m84o
r25j	55.85	52.39	47.48	70.7	42	o17y
r50j	65.45	35.22	58.37	68.17	59	o42y
r75j	75.19	17.82	69.41	71.66	76	o67y
j00g	87.03	-3.35	82.83	82.9	92	o92y
j25g	80.72	-25.01	69.5	73.86	110	y20l
j50g	70.64	-39.54	51.97	65.3	127	y46l
j75g	61.93	-52.1	36.83	63.8	145	y72l
g00b	52.8	-65.28	20.93	68.56	162	y99l
g25b	55.7	-49.58	-8.39	50.28	190	l36c
g50b	57.82	-38.4	-28.92	48.07	217	l72c
g75b	55.5	-22.05	-45.95	50.97	244	c11v
b00r	41.6	1.37	-45.01	45.03	272	c56v
b25r	29.0	25.08	-43.13	49.89	300	v04m
b50r	38.04	46.53	-28.39	54.51	329	v55m
b75r	49.48	72.88	-3.76	72.98	357	m11o



Ein und Ausgabe: Farbmetrisches Drucker-Reflektiv-System ORS19_96a für relativen CIELAB-Buntton $h^* = lab^*h^* = h_{ab}/360 = 0.834$

Daten für jede Farbe:

lab^*tch^* und lab^*icu^*

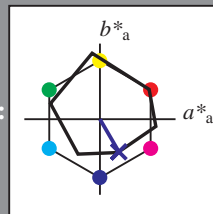
Bunttontexte:

$u^*_e = b25r$ $u^*_d = v04m$

Kontrastreduzierungsfaktor:

$c_R = 1.0$

Dreiecks-Helligkeit i^*



ORS19_96a; adaptierte CIELAB-Daten

u^*_e	$L^*=L^*_a$	a^*_a	b^*_a	$C^*_{ab,a}$	$h^*_{ab,a}$
O _{Ma}	48.75	65.07	39.43	76.08	31
Y _{Ma}	90.92	-10.29	87.24	87.85	97
L _{Ma}	52.69	-65.44	20.75	68.65	162
C _{Ma}	59.61	-28.98	-46.22	54.56	238
V _{Ma}	28.39	23.63	-44.13	50.06	298
M _{Ma}	49.58	73.93	-9.56	74.55	353
N _{Ma}	18.89	0.0	0.0	0.0	0
W _{Ma}	96.9	0.0	0.0	0.0	0
R _{Ma}	39.92	58.74	27.99	65.07	25
J _{Ma}	81.26	-2.89	71.56	71.62	92
G _{Ma}	52.23	-42.42	13.6	44.55	162
B _{Ma}	30.57	1.41	-46.47	46.49	272

Daten für Maximalfarbe (Ma):

$LAB^*LAB^*_{Ma}$: 29 25 -43

$LAB^*LCH^*_{Ma}$: 29 50 300

$lab^*rgb^*_{Ma}$: 0.5 0.0 1.0

$lab^*olv^*_{Ma}$: 0.04 0.0 1.0

Dreiecks-Helligkeit i^*

%Umfang

$u^*_{rel} = 89$

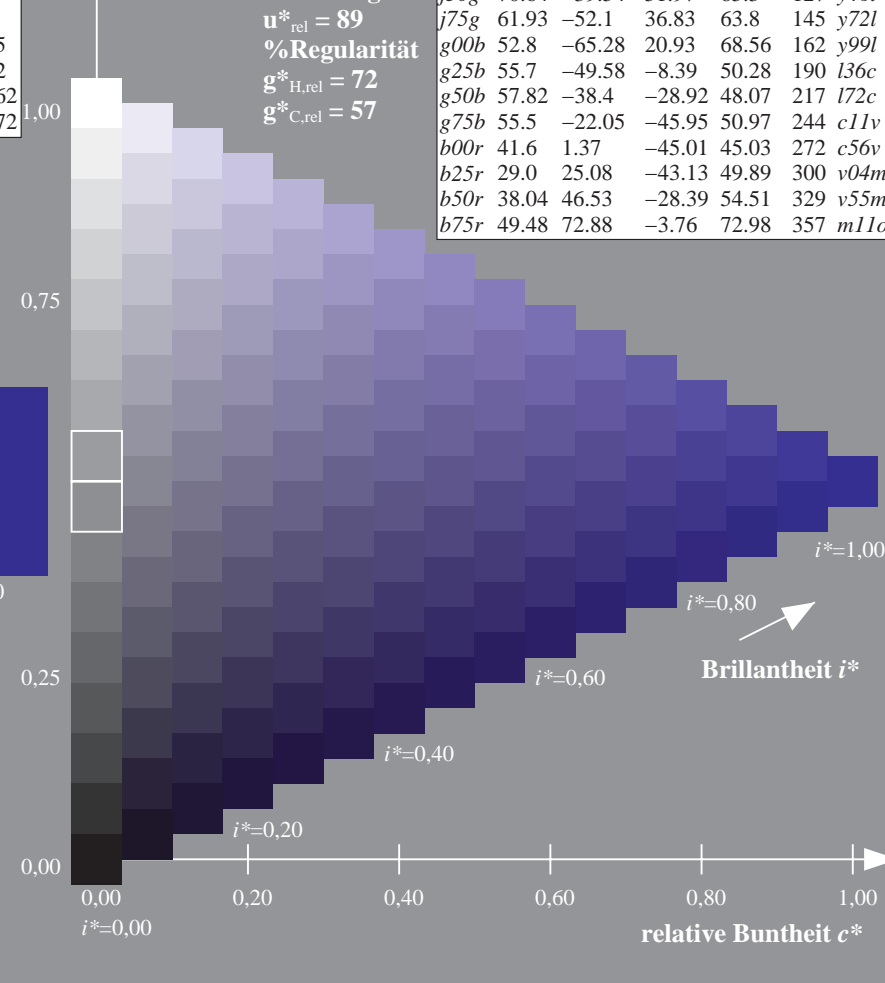
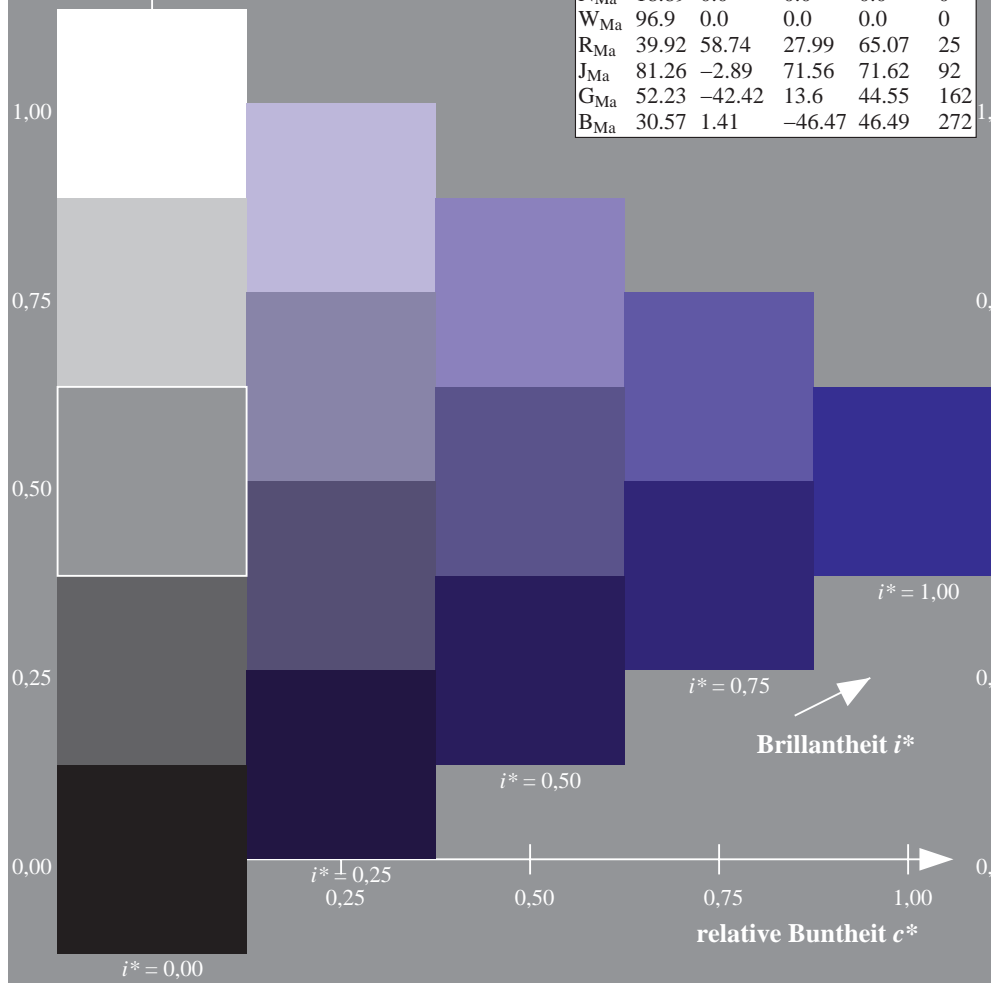
%Regularität

$g^*_{H,rel} = 72$

$g^*_{C,rel} = 57$

ORS19_96a; adaptierte CIELAB-Daten

u^*_e	$L^*=L^*_a$	a^*_a	b^*_a	$C^*_{ab,a}$	$h^*_{ab,a}$	u^*_d
r00j	48.88	66.47	31.67	73.63	25	m84o
r25j	55.85	52.39	47.48	70.7	42	o17y
r50j	65.45	35.22	58.37	68.17	59	o42y
r75j	75.19	17.82	69.41	71.66	76	o67y
j00g	87.03	-3.35	82.83	82.9	92	o92y
j25g	80.72	-25.01	69.5	73.86	110	y20l
j50g	70.64	-39.54	51.97	65.3	127	y46l
j75g	61.93	-52.1	36.83	63.8	145	y72l
g00b	52.8	-65.28	20.93	68.56	162	y99l
g25b	55.7	-49.58	-8.39	50.28	190	l36c
g50b	57.82	-38.4	-28.92	48.07	217	l72c
g75b	55.5	-22.05	-45.95	50.97	244	c11v
b00r	41.6	1.37	-45.01	45.03	272	c56v
b25r	29.0	25.08	-43.13	49.89	300	v04m
b50r	38.04	46.53	-28.39	54.51	329	v55m
b75r	49.48	72.88	-3.76	72.98	357	m11o



Ein und Ausgabe: Farbmetrisches Drucker-Reflexiv-System ORS19_96a für relativen CIELAB-Buntton $h^* = lab^*h^* = h_{ab}/360 = 0.913$

Daten für jede Farbe:

lab^*tch^* und lab^*icu^*

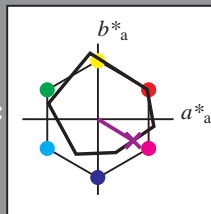
Bunttontexte:

$u^*_e = b50r$ $u^*_d = v55m$

Kontrastreduzierungsfaktor:

$c_R = 1.0$

Dreiecks-Helligkeit i^*



ORS19_96a; adaptierte CIELAB-Daten

u^*_e	$L^*=L^*_a$	a^*_a	b^*_a	$C^*_{ab,a}$	$h^*_{ab,a}$
O _{Ma}	48.75	65.07	39.43	76.08	31
Y _{Ma}	90.92	-10.29	87.24	87.85	97
L _{Ma}	52.69	-65.44	20.75	68.65	162
C _{Ma}	59.61	-28.98	-46.22	54.56	238
V _{Ma}	28.39	23.63	-44.13	50.06	298
M _{Ma}	49.58	73.93	-9.56	74.55	353
N _{Ma}	18.89	0.0	0.0	0.0	0
W _{Ma}	96.9	0.0	0.0	0.0	0
R _{Ma}	39.92	58.74	27.99	65.07	25
J _{Ma}	81.26	-2.89	71.56	71.62	92
G _{Ma}	52.23	-42.42	13.6	44.55	162
B _{Ma}	30.57	1.41	-46.47	46.49	272

Daten für Maximalfarbe (Ma):

$LAB^*LAB^*_{Ma}$: 38 47 -28

$LAB^*LCH^*_{Ma}$: 38 55 328

$lab^*rgb^*_{Ma}$: 1.0 0.0 1.0

$lab^*olv^*_{Ma}$: 0.56 0.0 1.0

Dreiecks-Helligkeit i^*

%Umfang

$u^*_{rel} = 89$

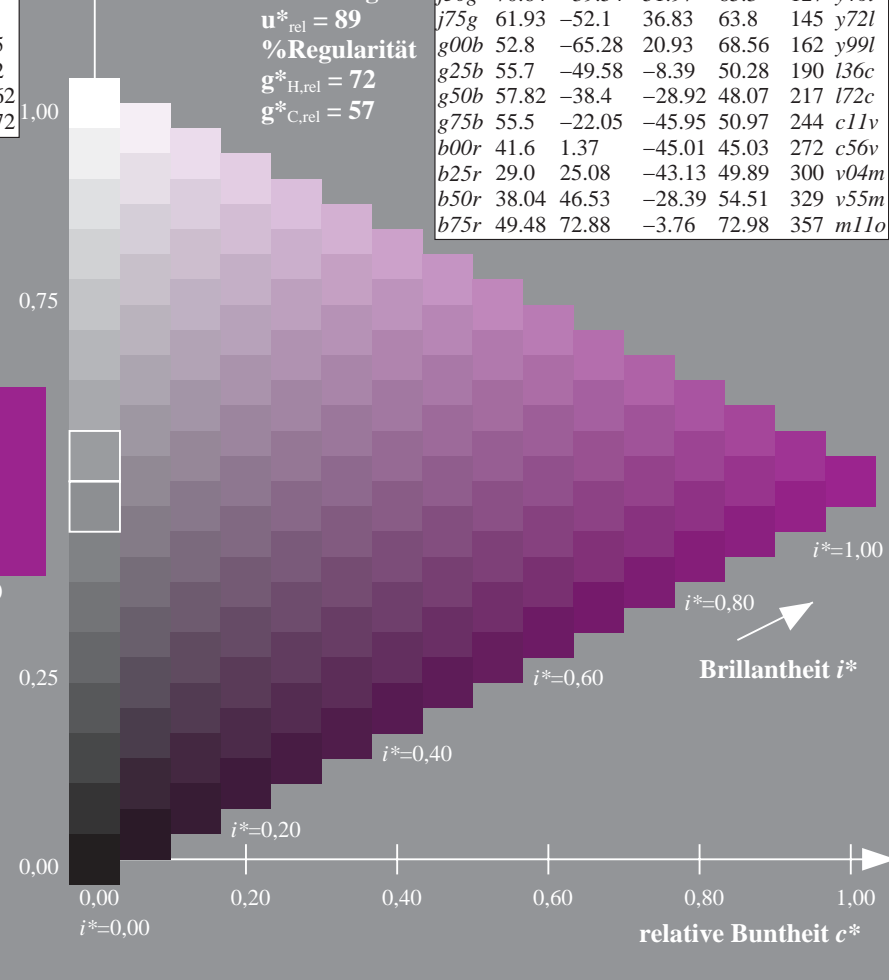
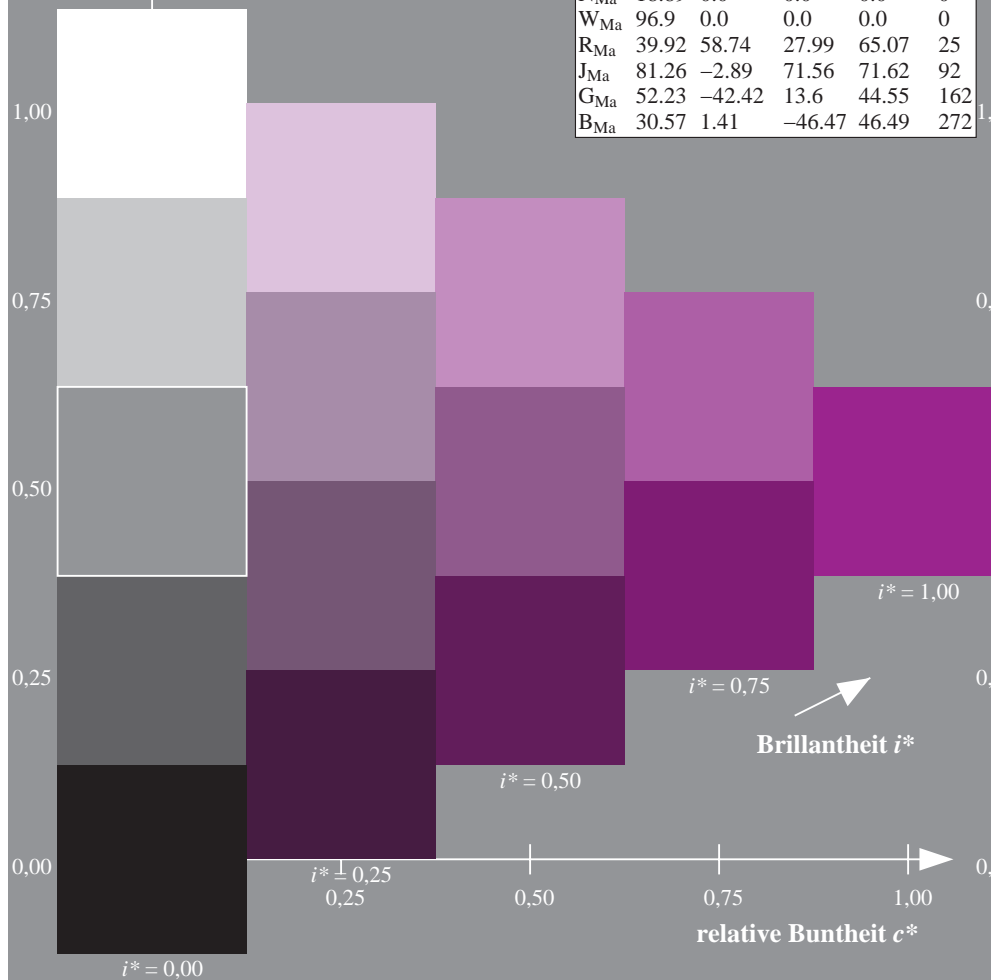
%Regularität

$g^*_{H,rel} = 72$

$g^*_{C,rel} = 57$

ORS19_96a; adaptierte CIELAB-Daten

u^*_e	$L^*=L^*_a$	a^*_a	b^*_a	$C^*_{ab,a}$	$h^*_{ab,a}$	u^*_d
r00j	48.88	66.47	31.67	73.63	25	m84o
r25j	55.85	52.39	47.48	70.7	42	o17y
r50j	65.45	35.22	58.37	68.17	59	o42y
r75j	75.19	17.82	69.41	71.66	76	o67y
j00g	87.03	-3.35	82.83	82.9	92	o92y
j25g	80.72	-25.01	69.5	73.86	110	y20l
j50g	70.64	-39.54	51.97	65.3	127	y46l
j75g	61.93	-52.1	36.83	63.8	145	y72l
g00b	52.8	-65.28	20.93	68.56	162	y99l
g25b	55.7	-49.58	-8.39	50.28	190	l36c
g50b	57.82	-38.4	-28.92	48.07	217	l72c
g75b	55.5	-22.05	-45.95	50.97	244	c11v
b00r	41.6	1.37	-45.01	45.03	272	c56v
b25r	29.0	25.08	-43.13	49.89	300	v04m
b50r	38.04	46.53	-28.39	54.51	329	v55m
b75r	49.48	72.88	-3.76	72.98	357	m11o



Ein und Ausgabe: Farbmetrisches Drucker-Reflektiv-System ORS19_96a für relativen CIELAB-Buntton $h^* = lab^*h^* = h_{ab}/360 = 0.992$

Daten für jede Farbe:

lab^*tch^* und lab^*icu^*

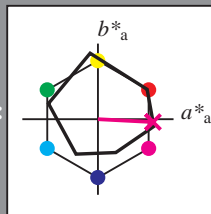
Bunttontexte:

$u^*_e = b75r$ $u^*_d = m11o$

Kontrastreduzierungsfaktor:

$c_R = 1.0$

Dreiecks-Helligkeit i^*



ORS19_96a; adaptierte CIELAB-Daten

	u^*_e	$L^*=L^*_a$	a^*_a	b^*_a	$C^*_{ab,a}$	$h^*_{ab,a}$
O _{Ma}	48.75	65.07	39.43	76.08	31	
Y _{Ma}	90.92	-10.29	87.24	87.85	97	
L _{Ma}	52.69	-65.44	20.75	68.65	162	
C _{Ma}	59.61	-28.98	-46.22	54.56	238	
V _{Ma}	28.39	23.63	-44.13	50.06	298	
M _{Ma}	49.58	73.93	-9.56	74.55	353	
N _{Ma}	18.89	0.0	0.0	0.0	0	
W _{Ma}	96.9	0.0	0.0	0.0	0	
R _{Ma}	39.92	58.74	27.99	65.07	25	
J _{Ma}	81.26	-2.89	71.56	71.62	92	
G _{Ma}	52.23	-42.42	13.6	44.55	162	
B _{Ma}	30.57	1.41	-46.47	46.49	272	

Daten für Maximalfarbe (Ma):

$LAB^*LAB^*_{Ma}$: 49 73 -4

$LAB^*LCH^*_{Ma}$: 49 73 357

$lab^*rgb^*_{Ma}$: 1.0 0.0 0.5

$lab^*olv^*_{Ma}$: 1.0 0.0 0.89

Dreiecks-Helligkeit i^*

%Umfang

$u^*_{rel} = 89$

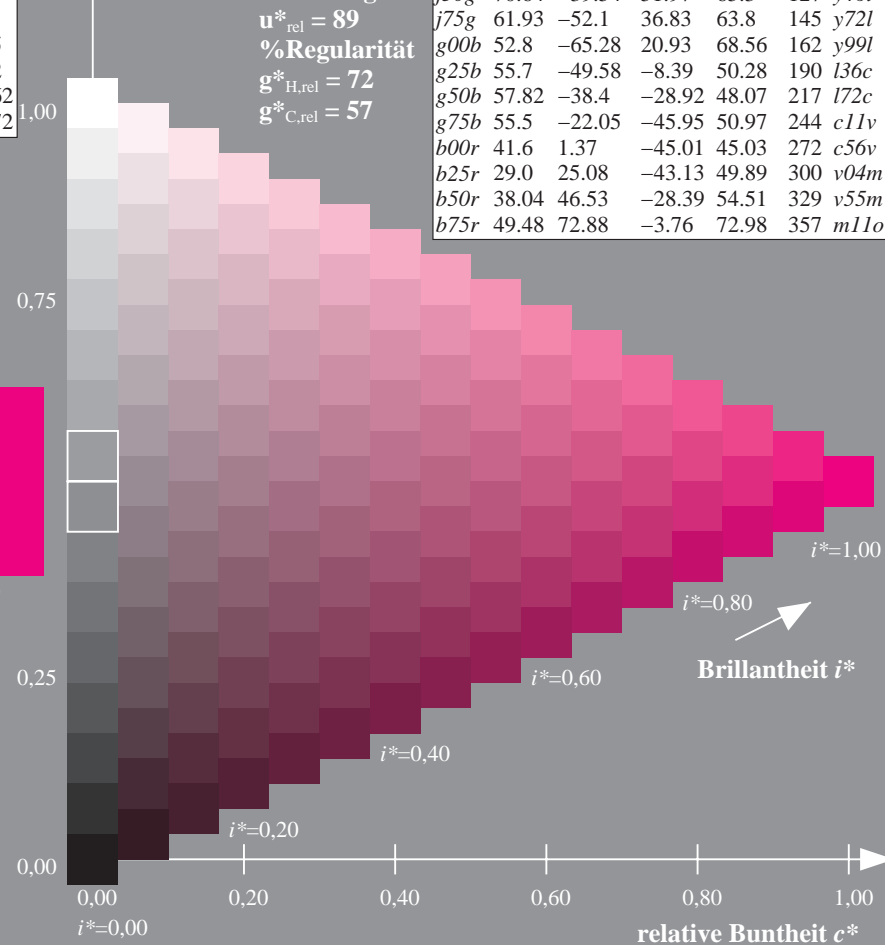
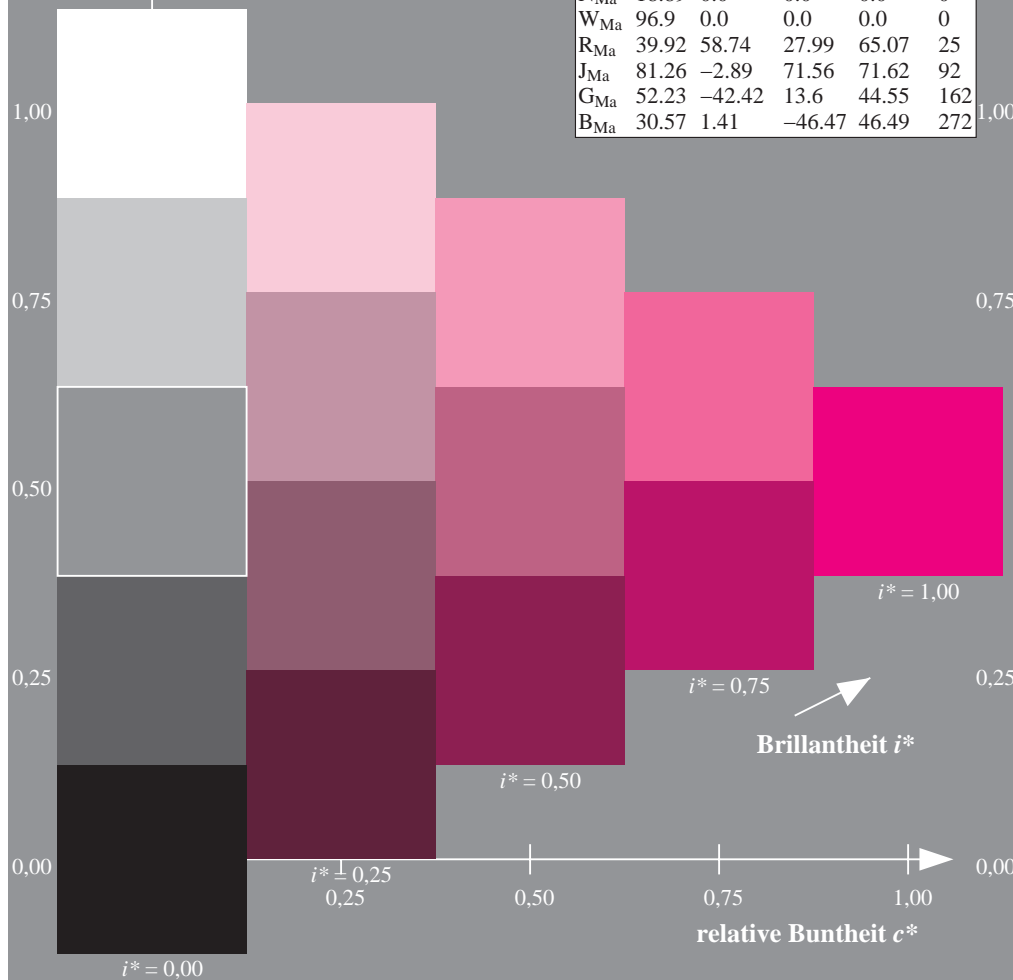
%Regularität

$g^*_{H,rel} = 72$

$g^*_{C,rel} = 57$

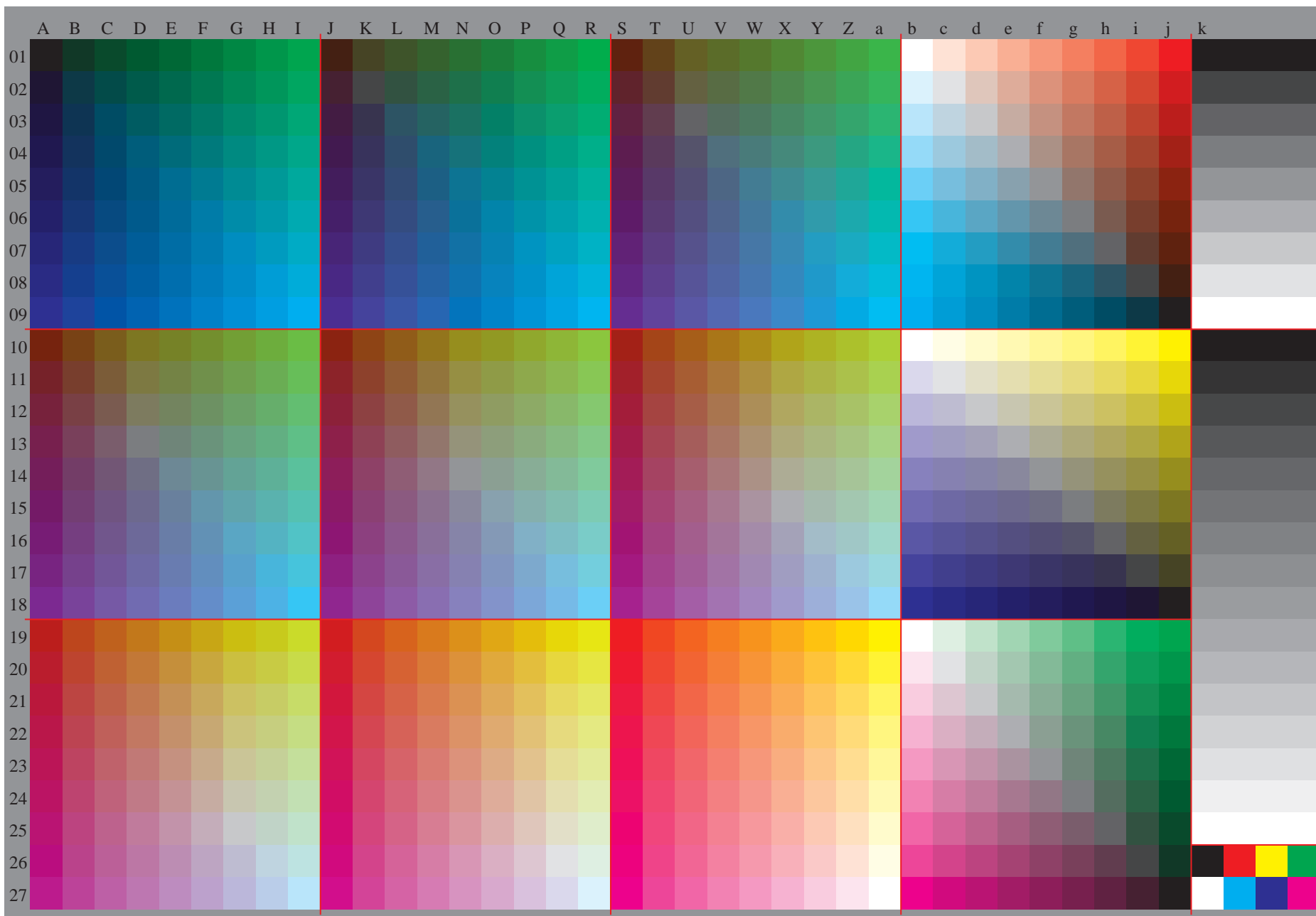
ORS19_96a; adaptierte CIELAB-Daten

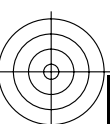
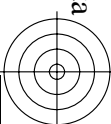
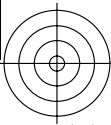
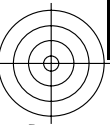
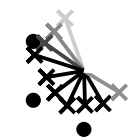
	u^*_e	$L^*=L^*_a$	a^*_a	b^*_a	$C^*_{ab,a}$	$h^*_{ab,a}$	u^*_d
r00j	48.88	66.47	31.67	73.63	25		m84o
r25j	55.85	52.39	47.48	70.7	42		o17y
r50j	65.45	35.22	58.37	68.17	59		o42y
r75j	75.19	17.82	69.41	71.66	76		o67y
j00g	87.03	-3.35	82.83	82.9	92		o92y
j25g	80.72	-25.01	69.5	73.86	110		y20l
j50g	70.64	-39.54	51.97	65.3	127		y46l
j75g	61.93	-52.1	36.83	63.8	145		y72l
g00b	52.8	-65.28	20.93	68.56	162		y99l
g25b	55.7	-49.58	-8.39	50.28	190		l36c
g50b	57.82	-38.4	-28.92	48.07	217		l72c
g75b	55.5	-22.05	-45.95	50.97	244		c11v
b00r	41.6	1.37	-45.01	45.03	272		c56v
b25r	29.0	25.08	-43.13	49.89	300		v04m
b50r	38.04	46.53	-28.39	54.51	329		v55m
b75r	49.48	72.88	-3.76	72.98	357		m11o



Siehe ähnliche Dateien: <http://www.ps.bam.de/Eg12/>; www.ps.bam.de/Eg.HTM
Technische Information: [http://www.ps.bam.de/Version 2.1, io=1,1, Col5px=1](http://www.ps.bam.de/Version%202.1,io=1,1,Col5px=1)

BAM-Registrierung: 20081001-Eg12/10L/L12G00NA.PS/.TXT BAM-Material: Code=rh4ta
Anwendung für Beurteilung und Messung von Drucker- oder Monitorsystemen

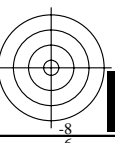
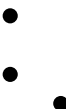


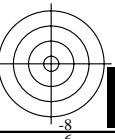
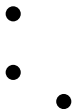


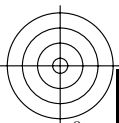
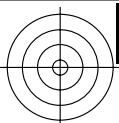
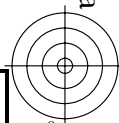
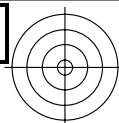


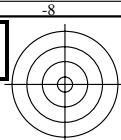




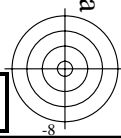




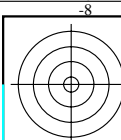




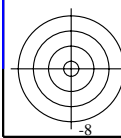
BAM-Registrierung: 20081001-Eg12/10L/L12G00NA.PS/.TXT BAM-Material: Code=rha4ta
+ Anwendung für Beurteilung und Messung von Drucker- oder Monitorsystemen



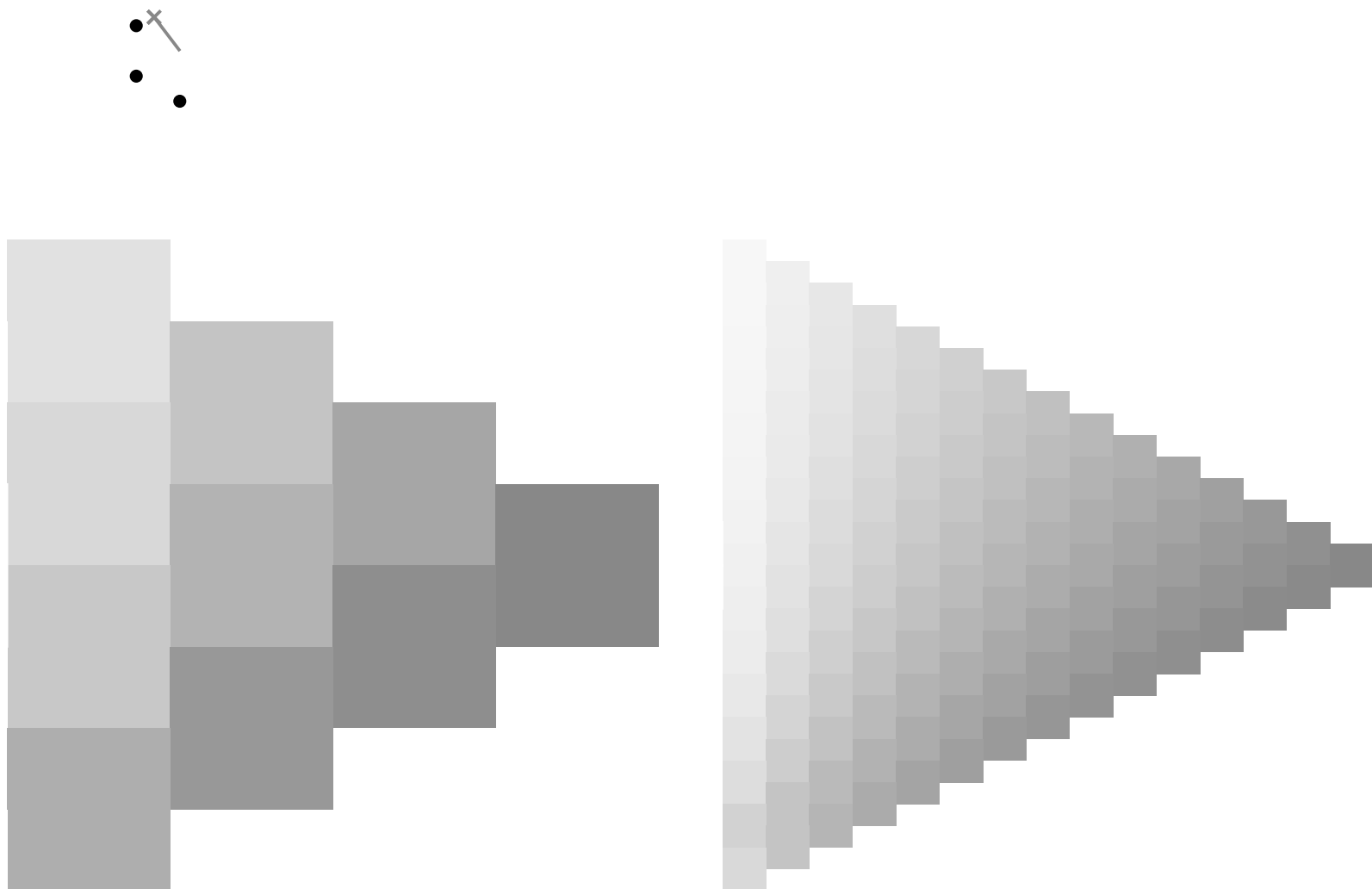
www.ps.bam.de/Eg12/10L/L12G00NA.PS/.TXT; ORS19_96a; Transfer und Ausgabe
N: Keine Ausgabe-Linearisierung (OL) in Datei (F), Startup (S), Gerät (D); Separation: cmyk



Technische Information: <http://www.ps.bam.de> Version 2.1, io=1,1, ColSpx=1

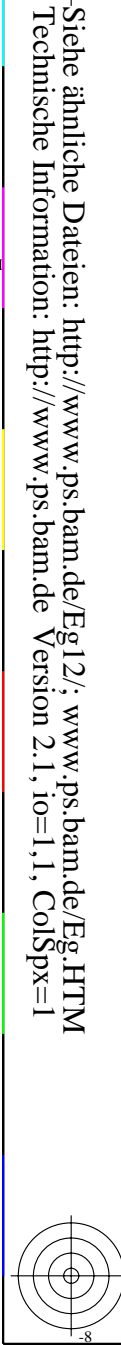
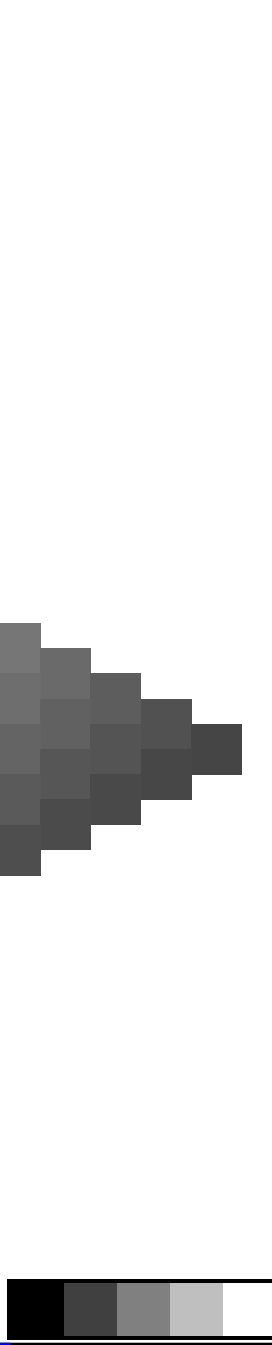


BAM-Prüfvorlage Eg12; Farbmatrik-Systeme, Seite 44/270 Eingabe: 000n / w / nnn0 / www set...
4 Separationen, 9 Datentabellen für 16 Bunttöne r00j bis b75r Ausgabe: ->cmyn6* setcmykcolor

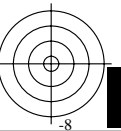
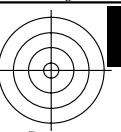
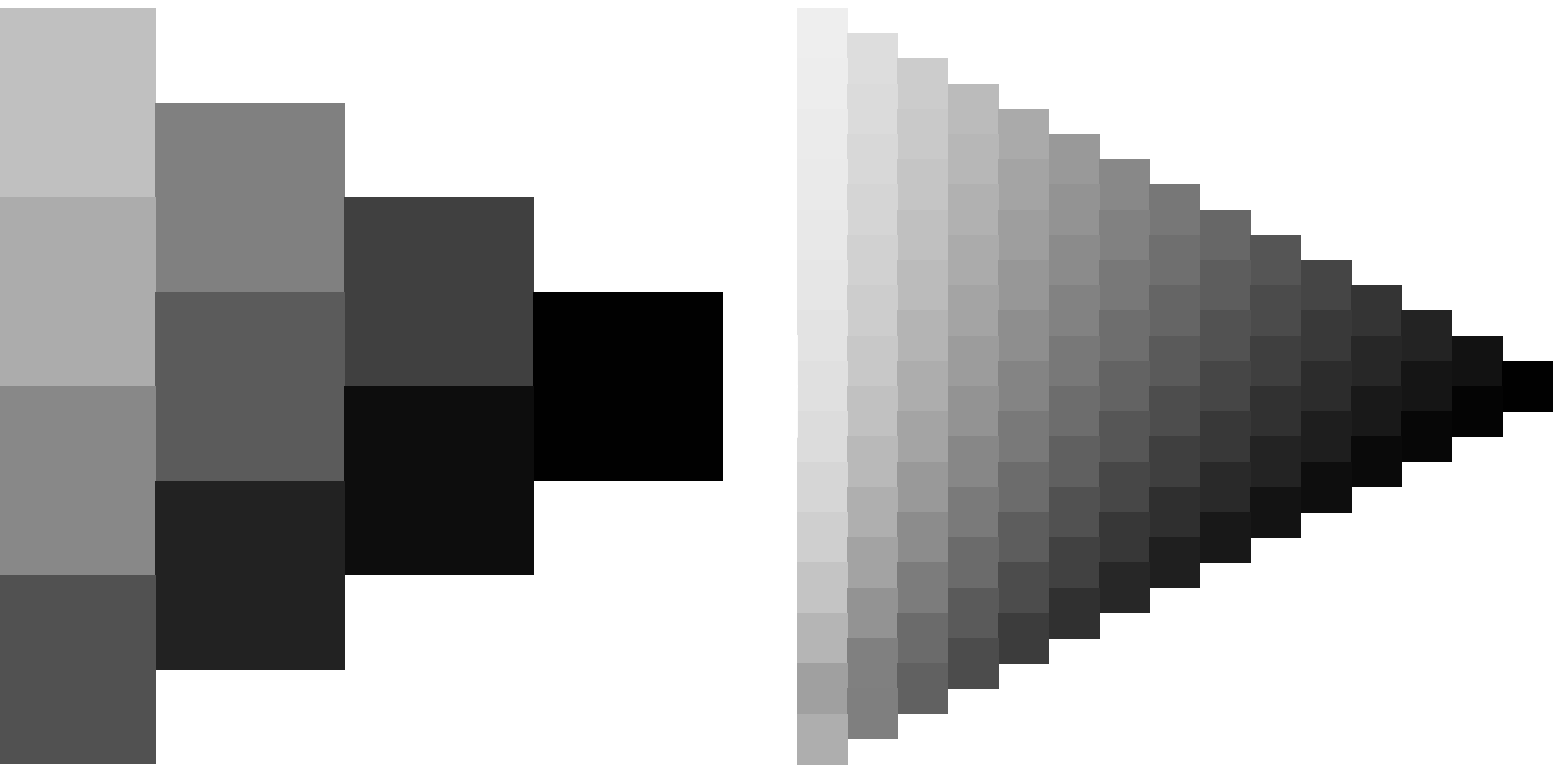
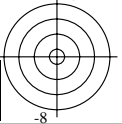


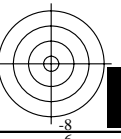
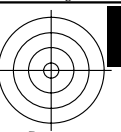
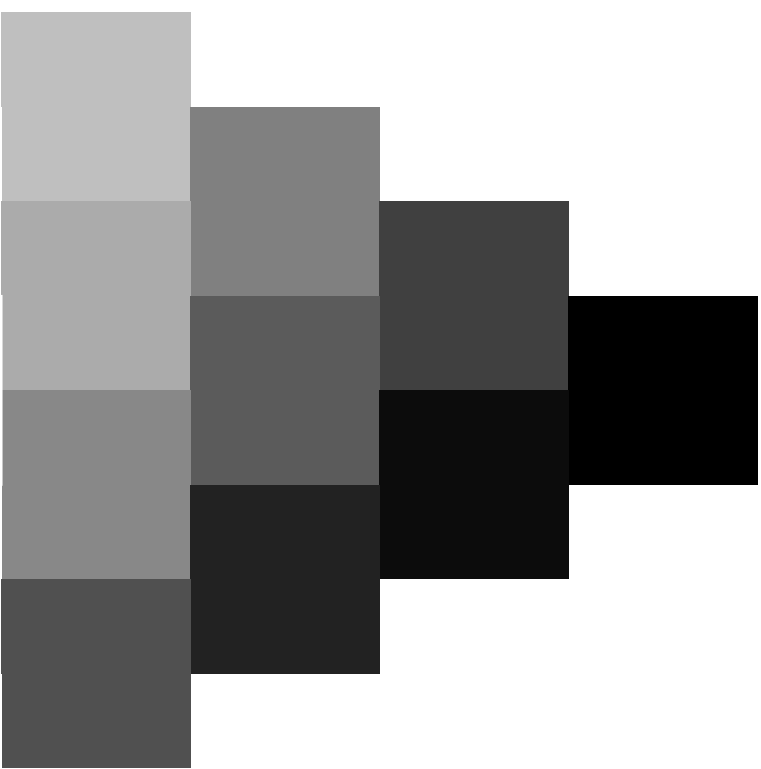
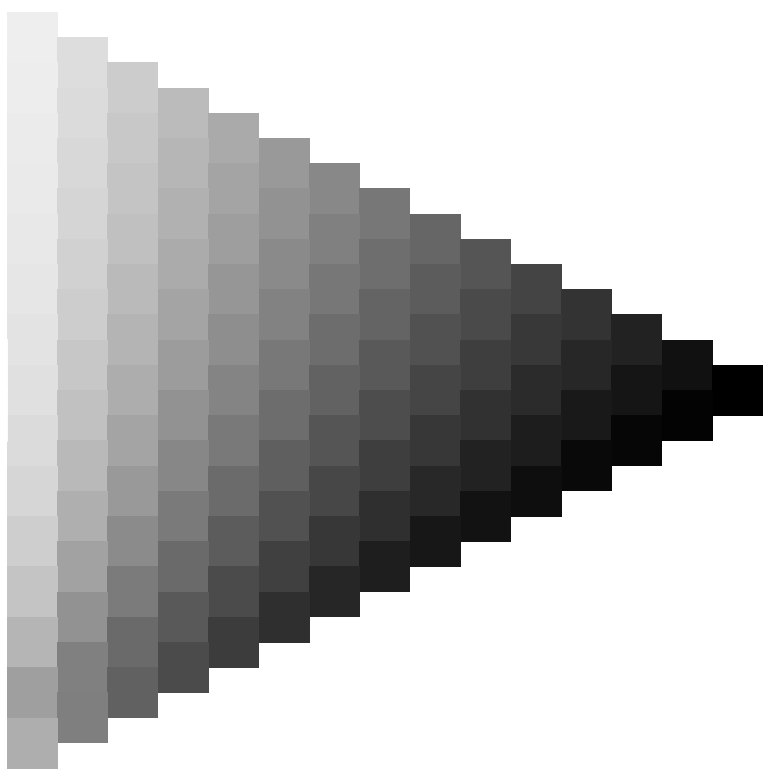
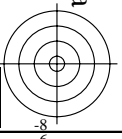


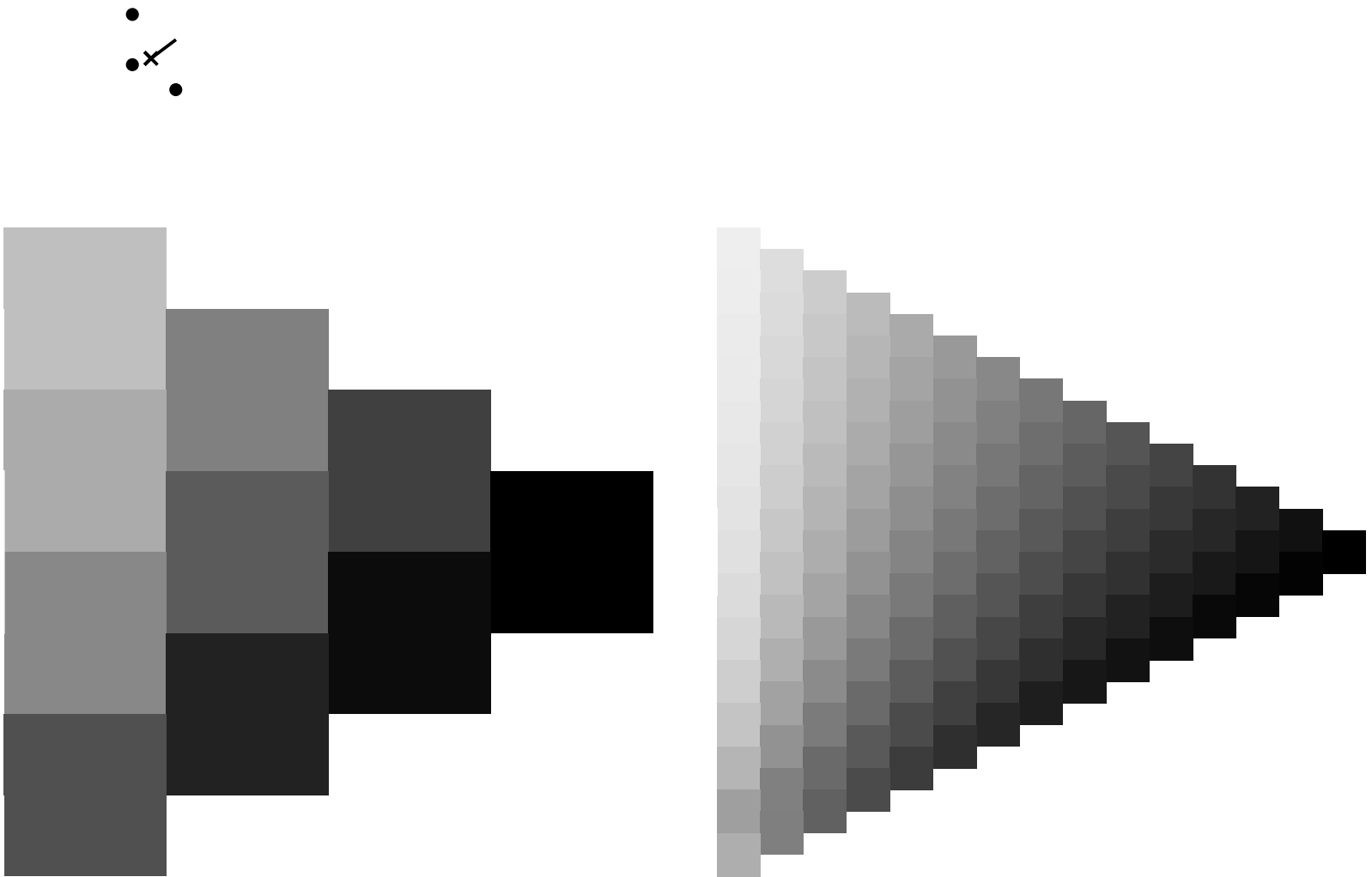
BAM-Registrierung: 20081001-Eg12/10L/L12G00NA.PS/.TXT BAM-Material: Code=rh4ta
Anwendung für Beurteilung und Messung von Drucker- oder Monitorsystemen

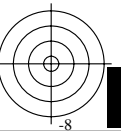
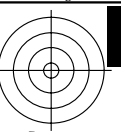
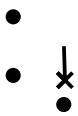
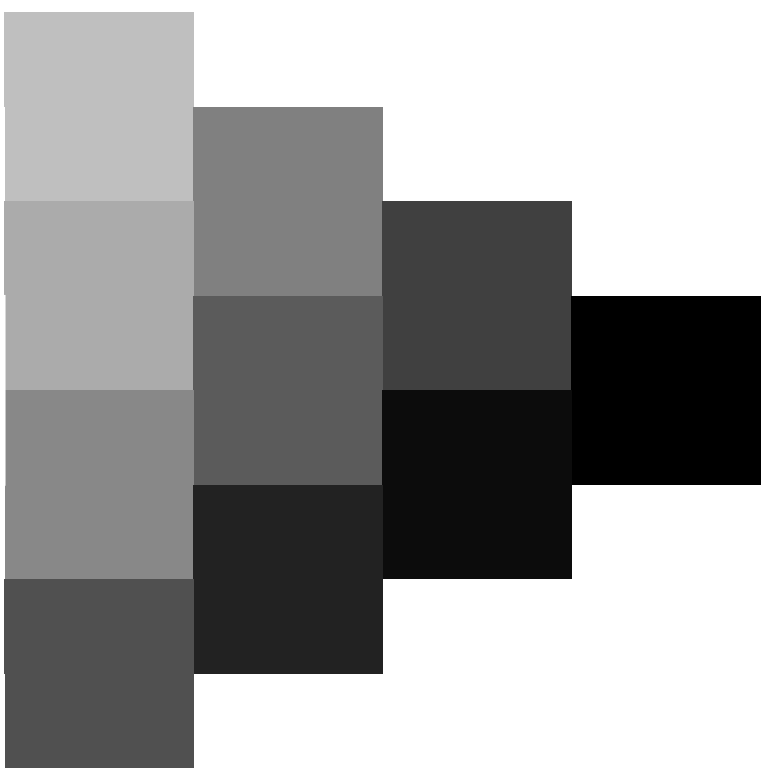
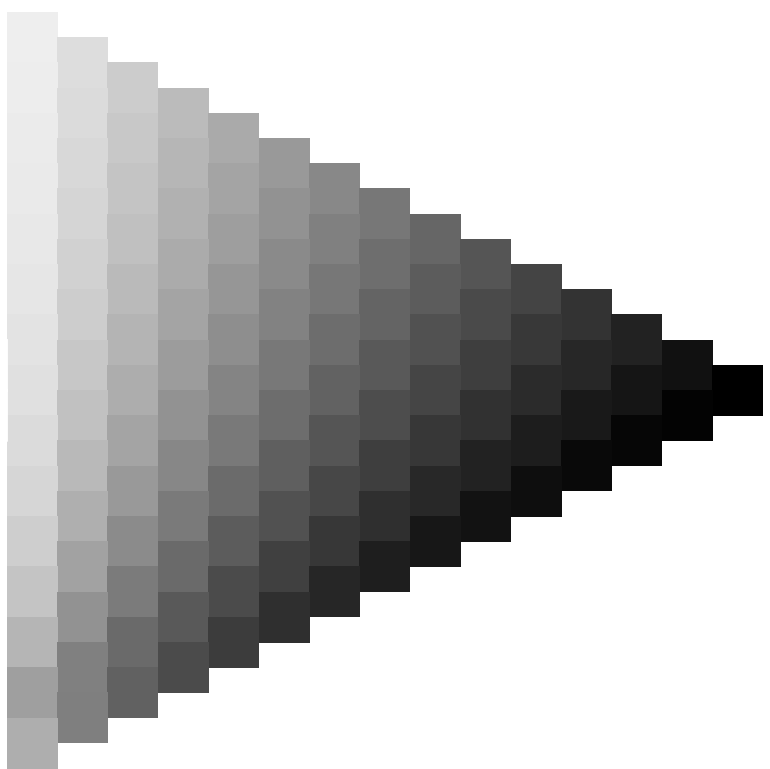
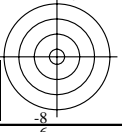


Siehe ähnliche Dateien: <http://www.ps.bam.de/Eg12/>; www.ps.bam.de/Eg_HTM
Technische Information: <http://www.ps.bam.de> Version 2.1, io=1,1, Col5px=1



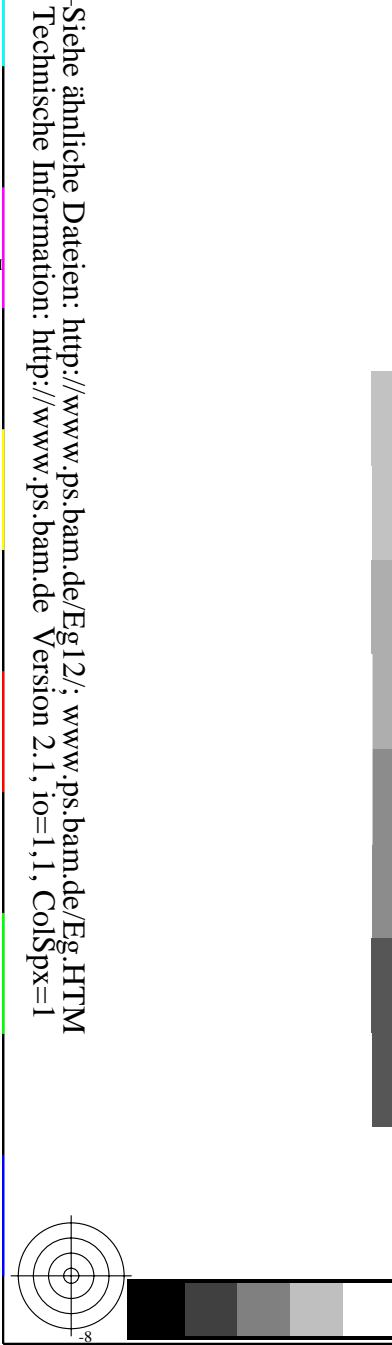
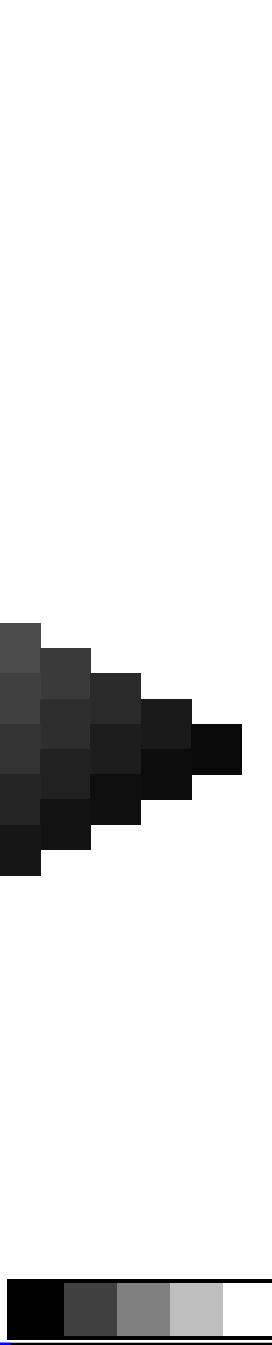








BAM-Registrierung: 20081001-Eg12/10L/L12G00NA.PS/.TXT BAM-Material: Code=rh4ta
Anwendung für Beurteilung und Messung von Drucker- oder Monitorsystemen



4 Separationen, 9 Datentabellen für 16 Bunttöne *r00j* bis *b75r*



BAM-Registrierung: 20081001-Eg12/10L/L12G00NA.PS/.TXT BAM-Material: Code=rha4ta
+ Anwendung für Beurteilung und Messung von Drucker- oder Monitorsystemen



```
Eingabe: 000n / w / nnn0 / www set...
Ausgabe: ->cmyn6* setcmykcolor
```



BAM-Prüfvorlage Eg12; Farbmatrik-Systeme, Seite 52/270
4 Separationen, 9 Datentabellen für 16 Bunntöne $r00j$ bis $b7$

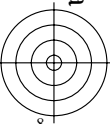


Technische Information: <http://www.ps.bam.de> Version 2.1, io=1,1, ColSpx=1

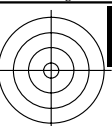


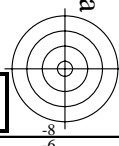
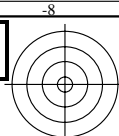
www.ps.bam.de/Eg12/10L/L12G00NA.PS/.TXT; ORS19_96a; Transfer und Ausgabe
N: Keine Ausgabe-Linearisierung (OL) in Datei (F), Startup (S), Gerät (D); Separation: cmyk



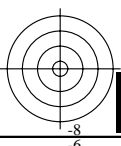
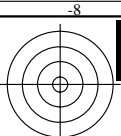
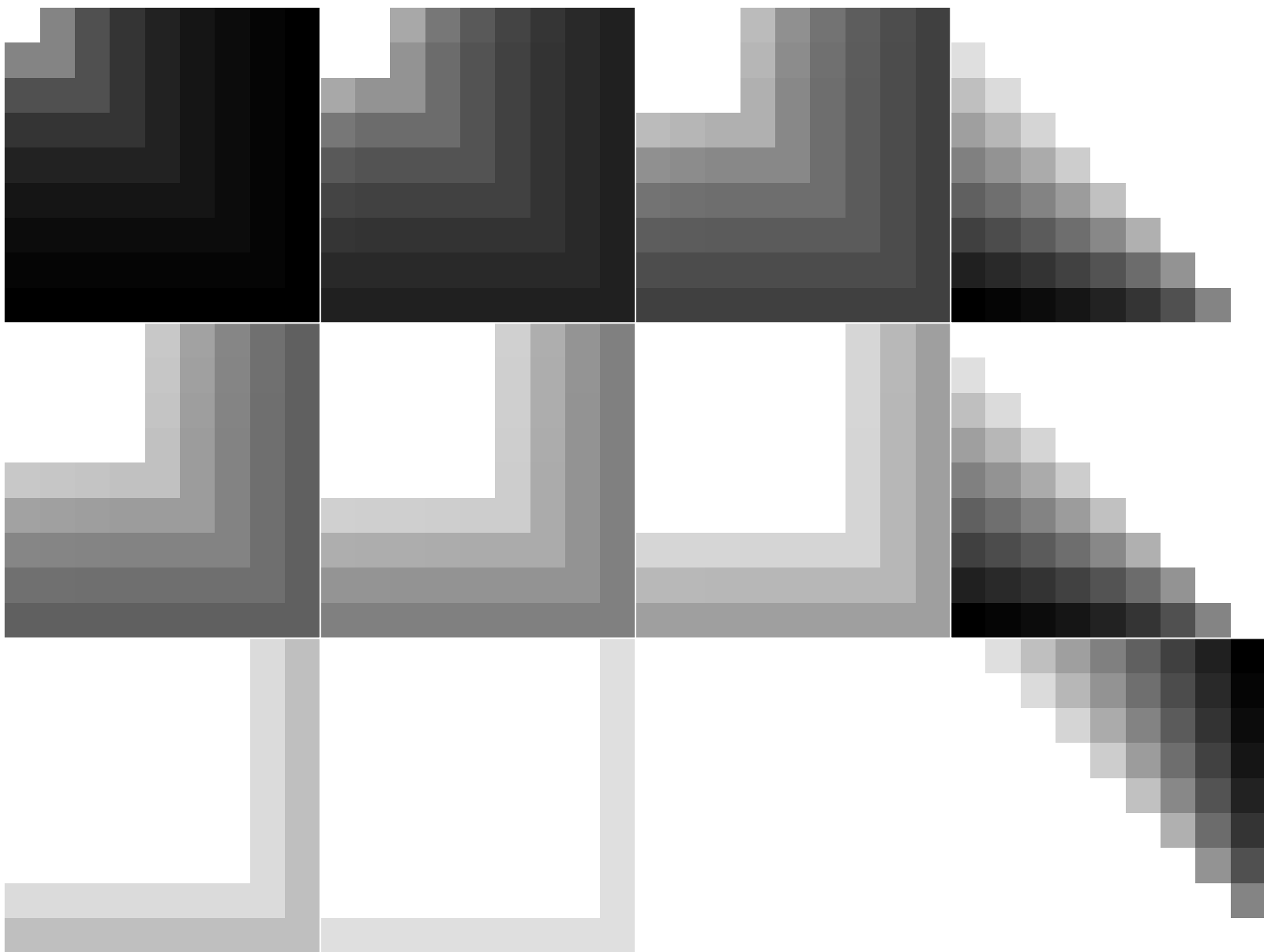


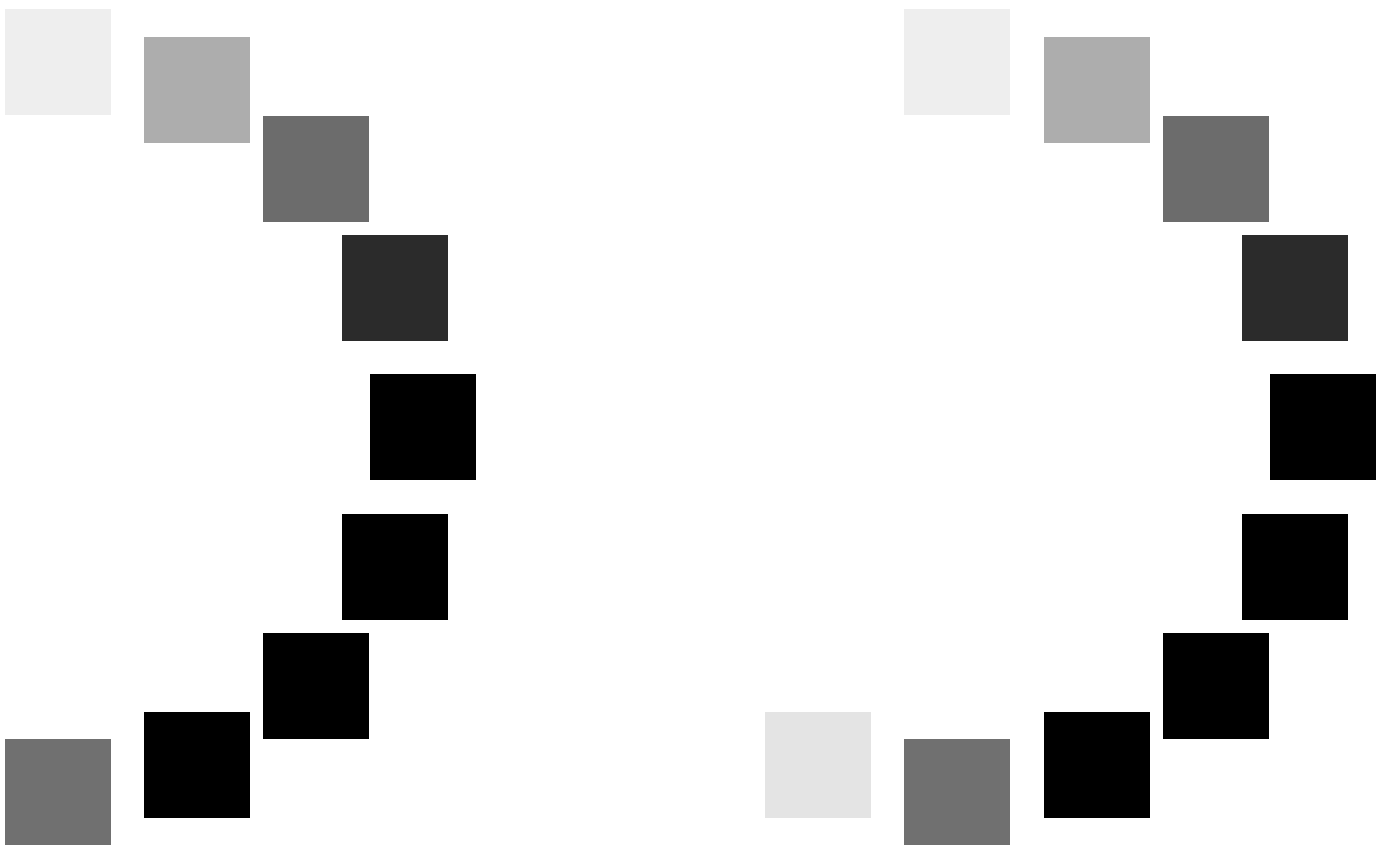
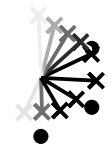
www.ps.bam.de/Eg12/10L/L12G00NA.PS/.TXT; ORS19_96a; Transfer und Ausgabe
N: Keine Ausgabe-Linearisierung (OL) in Datei (F), Startup (S), Gerät (D); Separation: **cmyn**

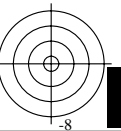
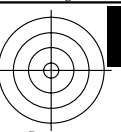
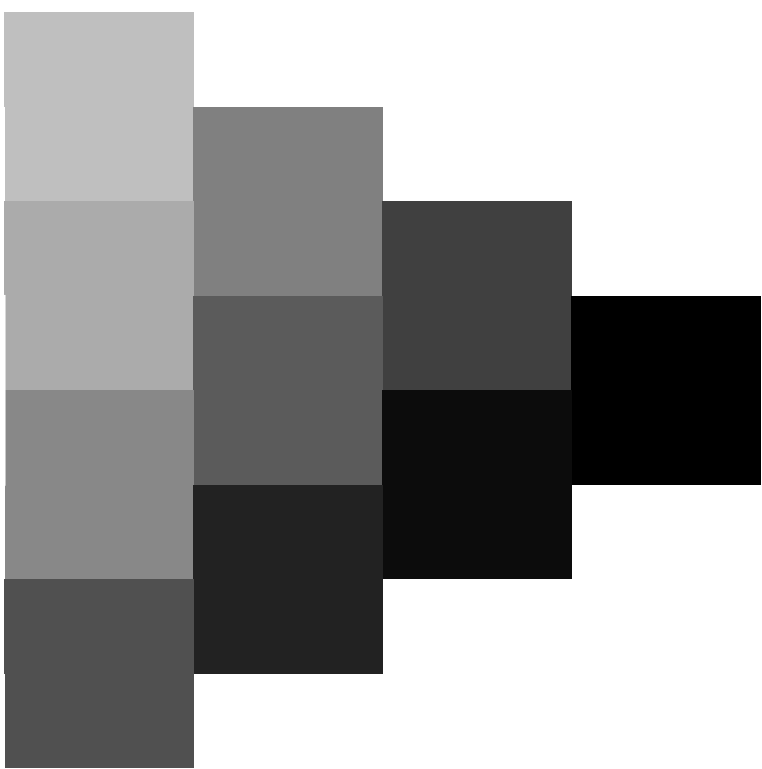
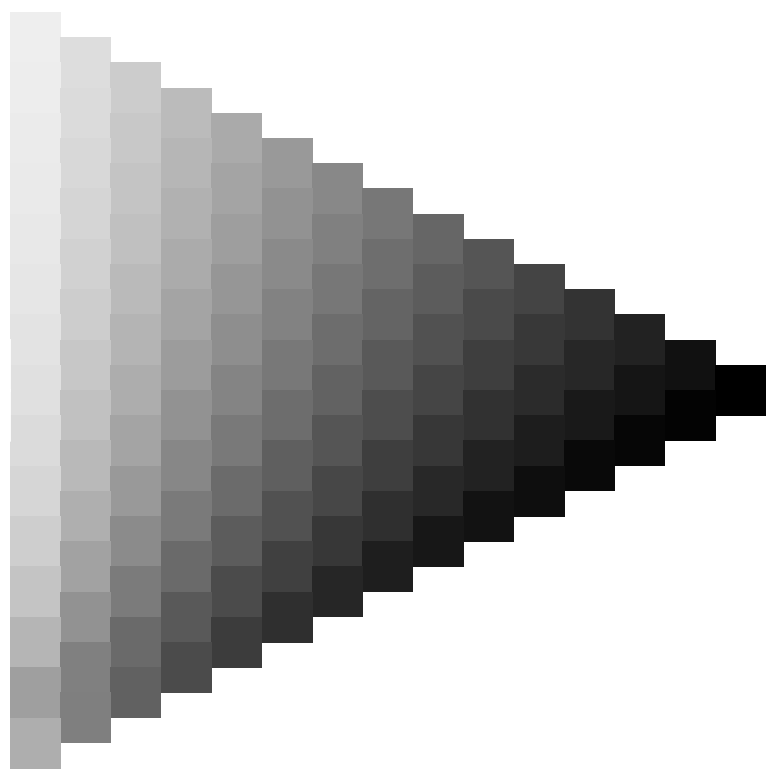
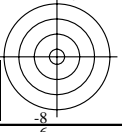


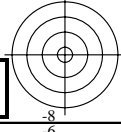


www.ps.bam.de/Eg12/10L/L12G00NA.PS/.TXT; ORS19_96a; Transfer und Ausgabe
N: Keine Ausgabe-Linearisierung (OL) in Datei (F), Startup (S), Gerät (D); Separation: **cmyn**





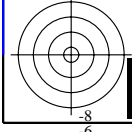




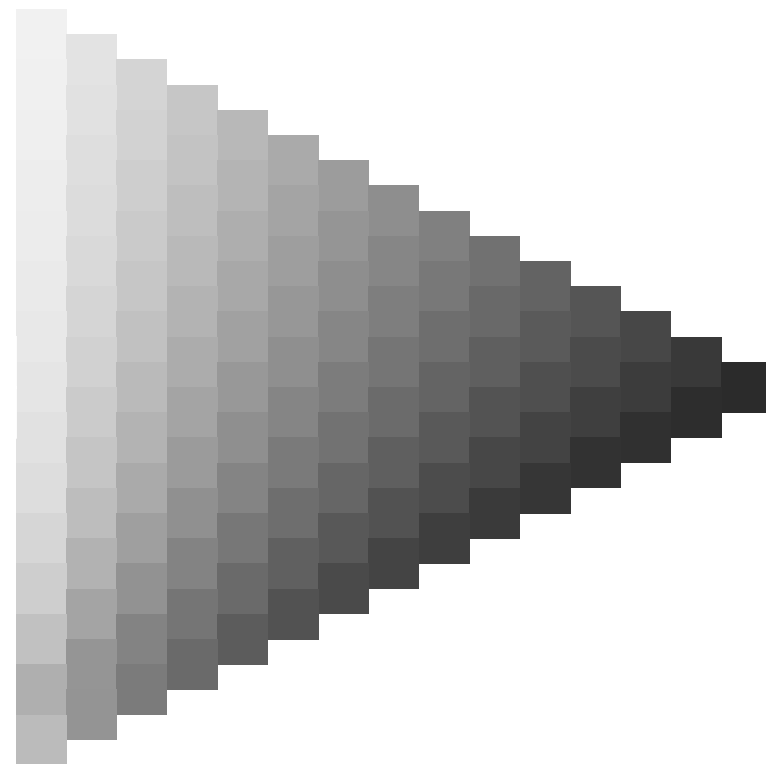
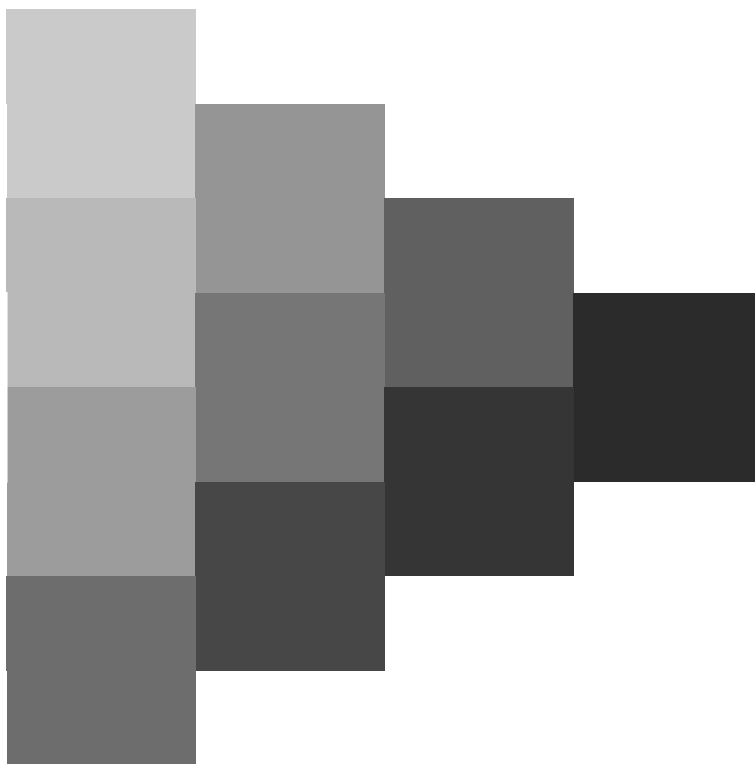
BAM-Registrierung: 20081001-Eg12/10L/L12G00NA.PS/.TXT BAM-Material: Code=rh4ta
Anwendung für Beurteilung und Messung von Drucker- oder Monitorsystemen



www.ps.bam.de/Eg12/10L/L12G00NA.PS/.TXT; ORS19_96a; Transfer und Ausgabe
N: Keine Ausgabe-Linearisierung (OL) in Datei (F), Startup (S), Gerät (D); Separation: cmyk



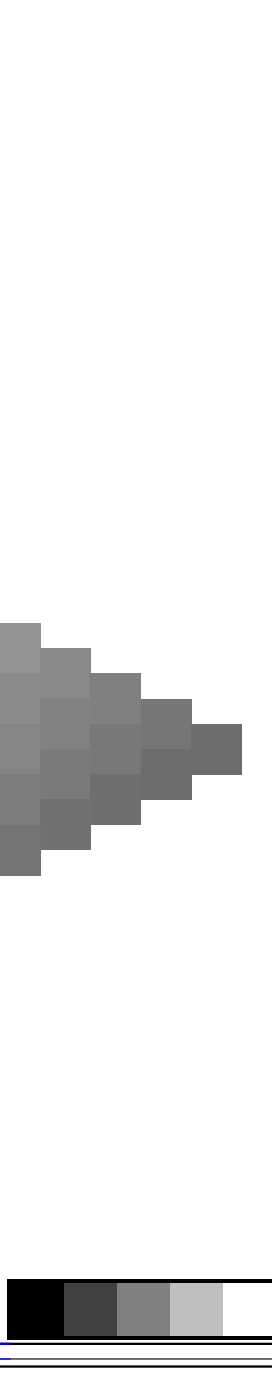
Technische Information: <http://www.ps.bam.de> Version 2.1, io=1,1, ColSpx=1



BAM-Prüfvorlage Eg12; Farbmatrik-Systeme, Seite 57/270 Eingabe: 000n / w / nnn0 / www set...
4 Separationen, 9 Datentabellen für 16 Bunttöne r00j bis b75r Ausgabe: ->cmynd6* setcmykcolor



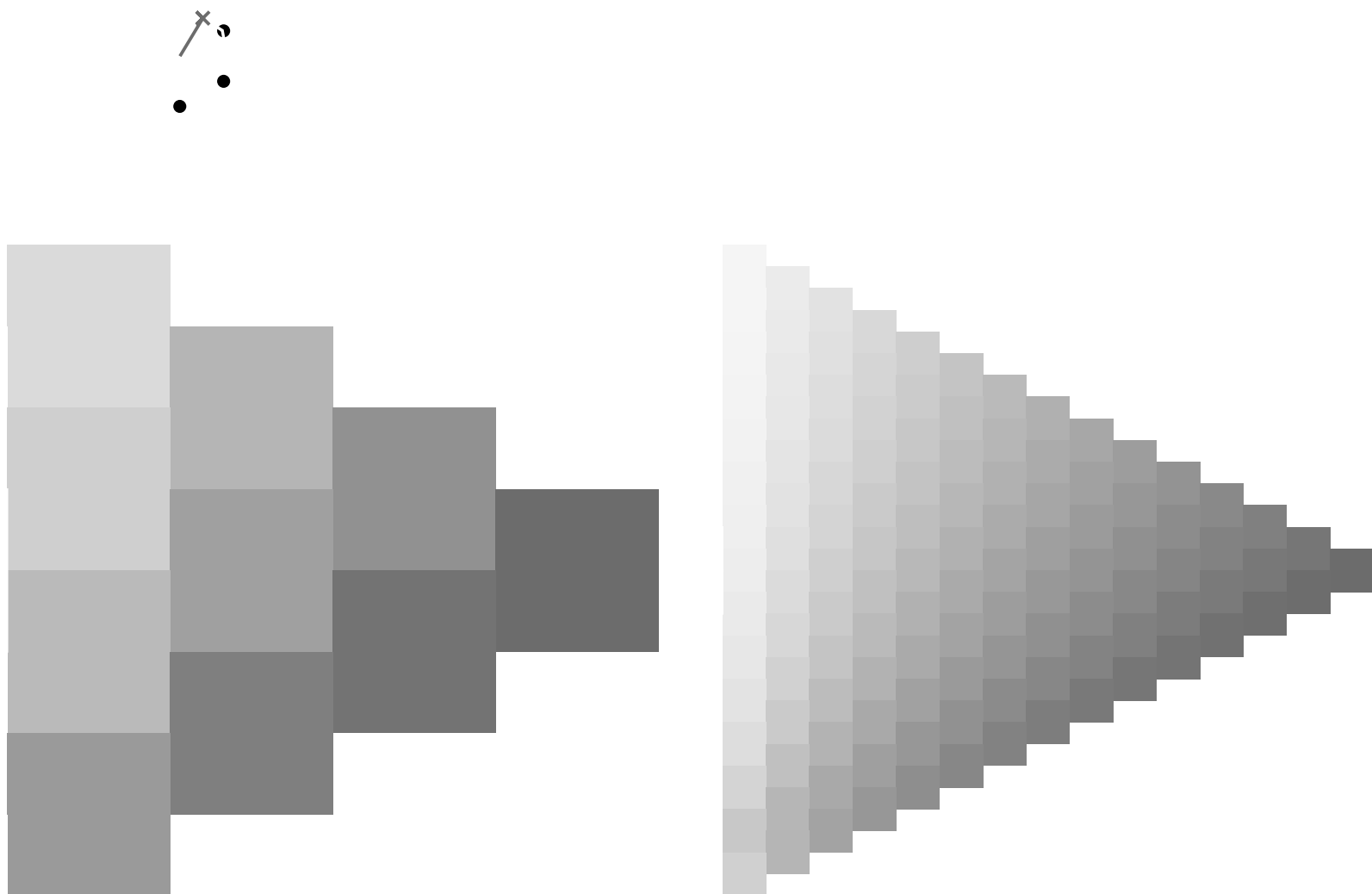
BAM-Registrierung: 20081001-Eg12/10L/L12G00NA.PS/.TXT BAM-Material: Code=rha4ta
+ Anwendung für Beurteilung und Messung von Drucker- oder Monitorsystemen



www.ps.bam.de/Eg12/10L/L12G00NA.PS/.TXT; ORS19_96a; Transfer und Ausgabe
N: Keine Ausgabe-Linearisierung (OL) in Datei (F), Startup (S), Gerät (D); Separation: cmyk



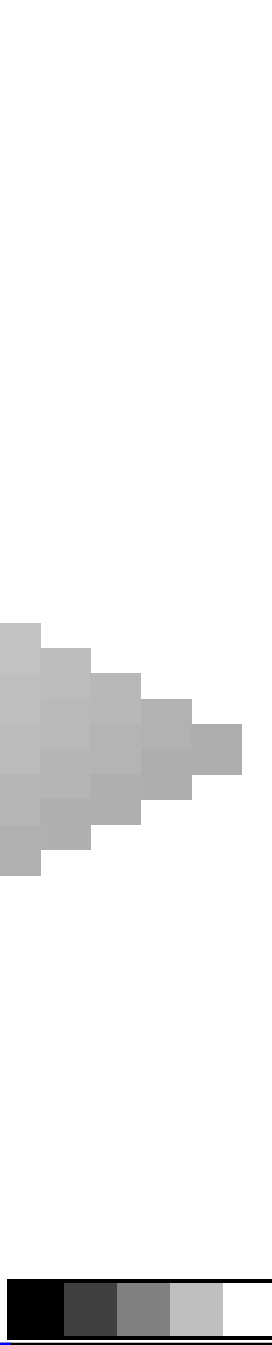
Technische Information: <http://www.ps.bam.de> Version 2.1, io=1,1, ColSpx=1



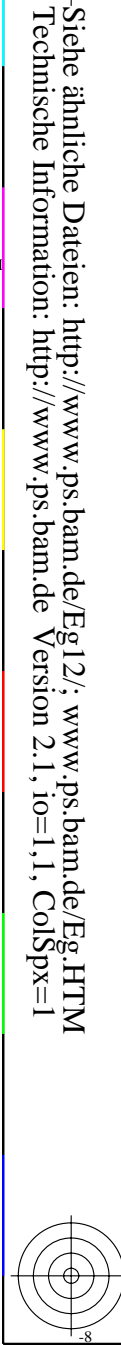
BAM-Prüfvorlage Eg12; Farbmimetrik-Systeme, Seite 58/270 Eingabe: 000n / w / nnn0 / www set...
4 Separationen, 9 Datentabellen für 16 Bunttöne r00j bis b75r Ausgabe: ->cmyn6* setcmykcolor



BAM-Registrierung: 20081001-Eg12/10L/L12G00NA.PS/.TXT BAM-Material: Code=rh4ta
Anwendung für Beurteilung und Messung von Drucker- oder Monitorsystemen

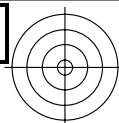


BAM-Prüfvorlage Eg12; Farbmimetrik-Systeme, Seite 59/270 Eingabe: 000n / w / nnn0 / www set...
 4 Separationen, 9 Datentabellen für 16 Bunttöne r00j bis b75r Ausgabe: ->cmyn6* setcmykcolor

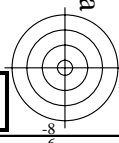


Siehe ähnliche Dateien: <http://www.ps.bam.de/Eg12/>; www.ps.bam.de/Eg_HTM
Technische Information: <http://www.ps.bam.de> Version 2.1, io=1,1, Col5px=1



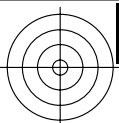


BAM-Registrierung: 20081001-Eg12/10L/L12G00NA.PS/.TXT BAM-Material: Code=rha4ta
Anwendung für Beurteilung und Messung von Drucker- oder Monitorsystemen

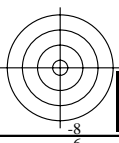


www.ps.bam.de/Eg12/10L/L12G00NA.PS/.TXT; ORS19_96a; Transfer und Ausgabe
N: Keine Ausgabe-Linearisierung (OL) in Datei (F), Startup (S), Gerät (D); Separation: cmy

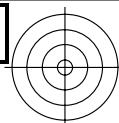
N: Keine Ausgabe-Linearisierung (OL) in Datei (F), Startup (S), Gerät (D); Separation: **cm****yn**



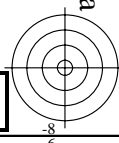
Siehe ähnliche Dateien: <http://www.ps.bam.de/Eg12/>; www.ps.bam.de/Eg.HTM
Technische Information: <http://www.ps.bam.de> Version 2.1, io=1,1, ColSpx=1



BAM-Prüfvorlage Eg12; Farbmatrik-Systeme, Seite 61/270 Eingabe: 000n / w / nnn0 / www set...
4 Separationen, 9 Datentabellen für 16 Bunttöne r00j bis b75r Ausgabe: ->cmy6* setcmykcolor

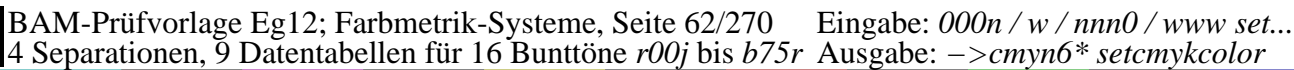


BAM-Registrierung: 20081001-Eg12/10L/L12G00NA.PS/.TXT BAM-Material: Code=rha4ta
Anwendung für Beurteilung und Messung von Drucker- oder Monitorsystemen



www.ps.bam.de/Eg12/10L/L12G00NA.PS/.TXT; ORS19_96a; Transfer und Ausgabe
N: Keine Ausgabe-Linearisierung (OL) in Datei (F), Startup (S), Gerät (D); Separation: cmyk

N: Keine Ausgabe-Linearisierung (OL) in Datei (F), Startup (S), Gerät (D); Separation: **cmyn**

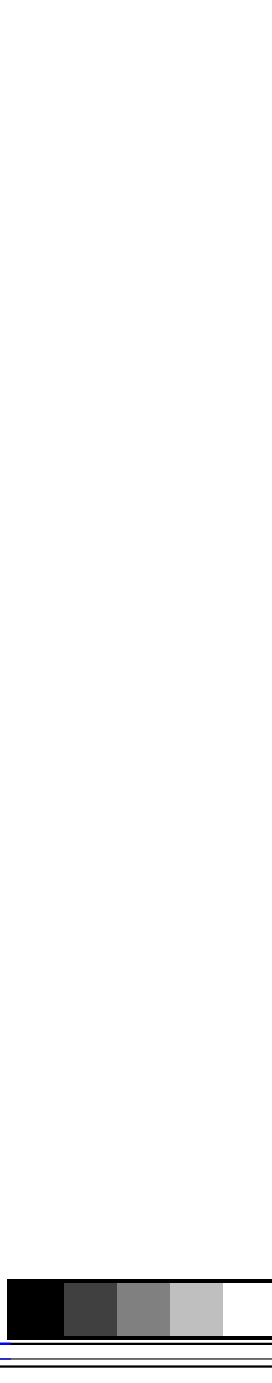


Technische Information: <http://www.ps.bam.de/Eg12/>; www.ps.bam.de/Eg.HTM
Schie ähnliche Dateien: <http://www.ps.bam.de/Eg12/>; www.ps.bam.de/Eg.HTM
Technische Information: [http://www.ps.bam.de/Version 2.1, io=1, ColSpx=1](http://www.ps.bam.de/Version%202.1%2Cio%3D1%2CColSpx%3D1)

Technische Information: <http://www.ps.bam.de> Version 2.1, io=1,1, ColSp=1



BAM-Registrierung: 20081001-Eg12/10L/L12G00NA.PS/.TXT BAM-Material: Code=rh4ta
+ Anwendung für Beurteilung und Messung von Drucker- oder Monitorsystemen



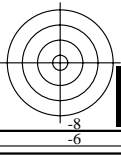
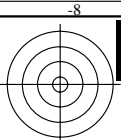
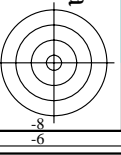
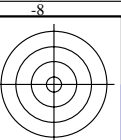
www.ps.bam.de/Eg12/10L/L12G00NA.PS/.TXT; ORS19_96a; Transfer und Ausgabe
N: Keine Ausgabe-Linearisierung (OL) in Datei (F), Startup (S), Gerät (D); Separation: cmyk



BAM-Prüfvorlage Eg12; Farbmatrik-Systeme, Seite 63/270 Eingabe: 000n / w / nnn0 / www set...
4 Separationen, 9 Datentabellen für 16 Bunttöne r00j bis b75r Ausgabe: ->cmynd6* setcmykcolor



– Siehe ähnliche Dateien: <http://www.ps.bam.de/Eg12/>; www.ps.bam.de/Eg.HTM
Technische Information: <http://www.ps.bam.de> Version 2.1, io=1,1, ColSpx=1



Siehe ähnliche Dateien: <http://www.ps.bam.de/Eg12/>; www.ps.bam.de/Eg.HTM
Technische Information: <http://www.ps.bam.de> Version 2.1, io=1,1, ColSpx=1



BAM-Registrierung: 20081001-Eg12/10L/L12G00NA.PS/.TXT BAM-Material: Code=rh4ta
+ Anwendung für Beurteilung und Messung von Drucker- oder Monitorsystemen



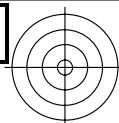
www.ps.bam.de/Eg12/10L/L12G00NA.PS/.TXT; ORS19_96a; Transfer und Ausgabe
N: Keine Ausgabe-Linearisierung (OL) in Datei (F), Startup (S), Gerät (D); Separation: cmyk



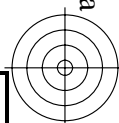
BAM-Prüfvorlage Eg12; Farbmatrik-Systeme, Seite 65/270 Eingabe: 000n / w / nnn0 / www set...
4 Separationen, 9 Datentabellen für 16 Bunttöne r00j bis b75r Ausgabe: ->cmyn6* setcmykcolor



Technische Information: <http://www.ps.bam.de> Version 2.1, io=1, ColSpx=1

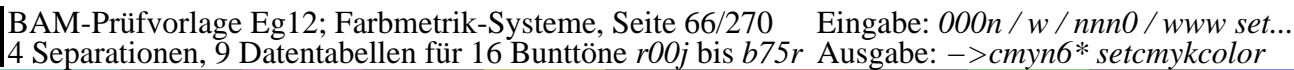


BAM-Registrierung: 20081001-Eg12/10L/L12G00NA.PS/ .TXT BAM-Material: Code=rha4ta
- Anwendung für Beurteilung und Messung von Drucker- oder Monitorsystemen



www.ps.bam.de/Eg12/10L/L12G00NA.PS/.TXT; ORS19_96a; Transfer und Ausgabe
N: Keine Ausgabe-Linearisierung (OL) in Datei (F), Startup (S), Gerät (D); Separation: cmy

N: Keine Ausgabe-Linearisierung (OL) in Datei (F), Startup (S), Gerät (D); Separation: **cmyn**



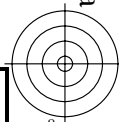
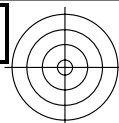
BAM-Prüfvorlage Eg12; Farbmeter-Systeme, Seite 66/270

Eingabe: $000n / w / nnn0 / www \text{ set} \dots$

4 Separationen, 9 Datentabellen für 16 Bunttöne *r00j* bis *b75r* Ausgabe: $\rightarrow cmyk6^* setcmykcolor$

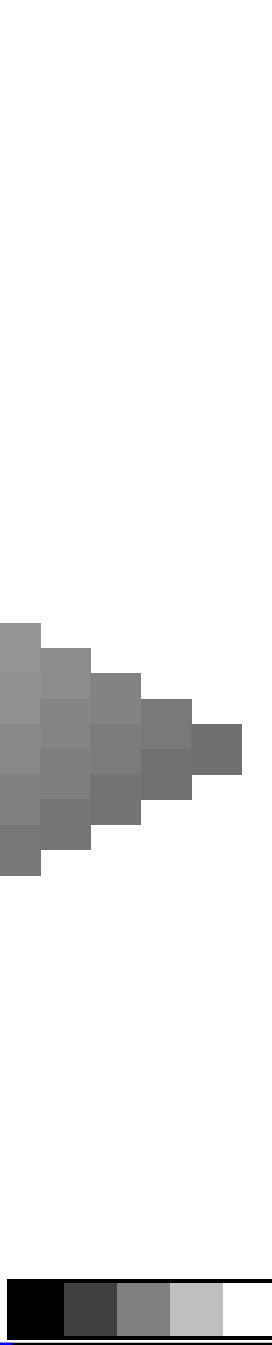
Siehe ähnliche Dateien: <http://www.ps.bam.de/Eg12/>; www.ps.bam.de/Eg.HTM
Technische Information: <http://www.ps.bam.de> Version 2.1, io=1, ColSpx=1

Technische Information: <http://www.ps.bam.de> Version 2.1, io=1,1, ColSp=1





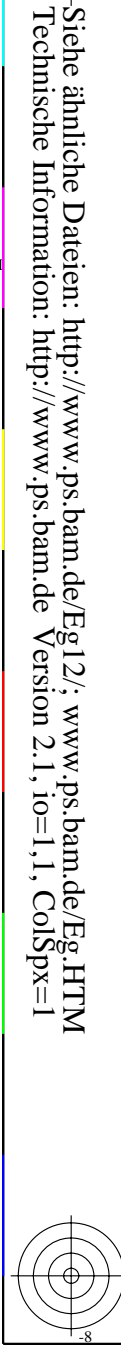
BAM-Registrierung: 20081001-Eg12/10L/L12G00NA.PS/.TXT BAM-Material: Code=rh4ta
Anwendung für Beurteilung und Messung von Drucker- oder Monitorsystemen



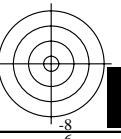
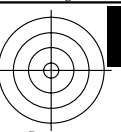
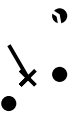
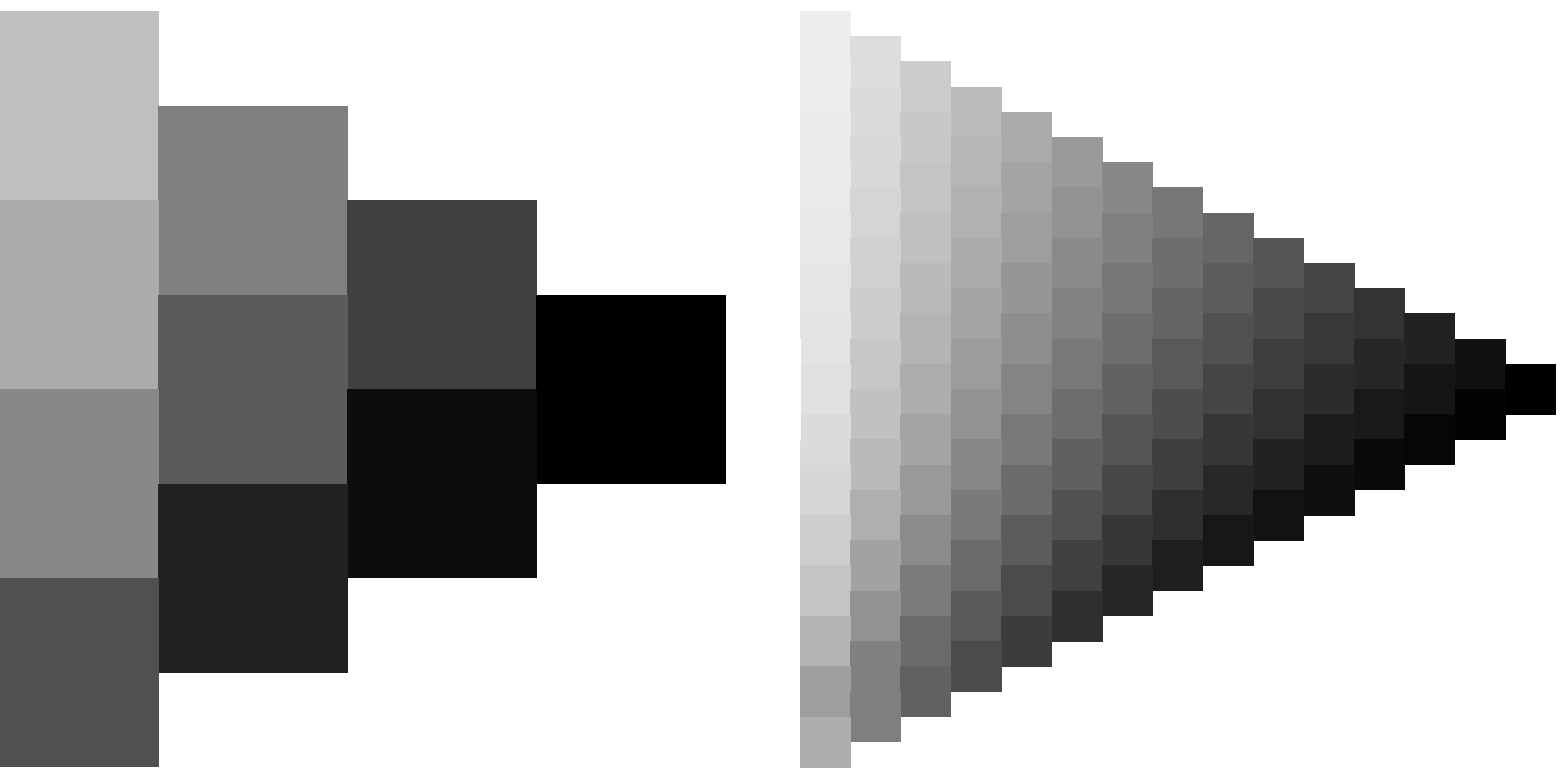
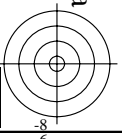
BAM-Prüfvorlage Eg12; Farbmimetrik-Systeme, Seite 68/270 Eingabe: 000n / w / nnn0 / www set...
 4 Separationen, 9 Datentabellen für 16 Bunttöne r00j bis b75r Ausgabe: ->cmyn6* setcmykcolor

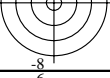
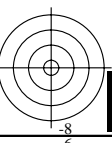
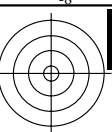
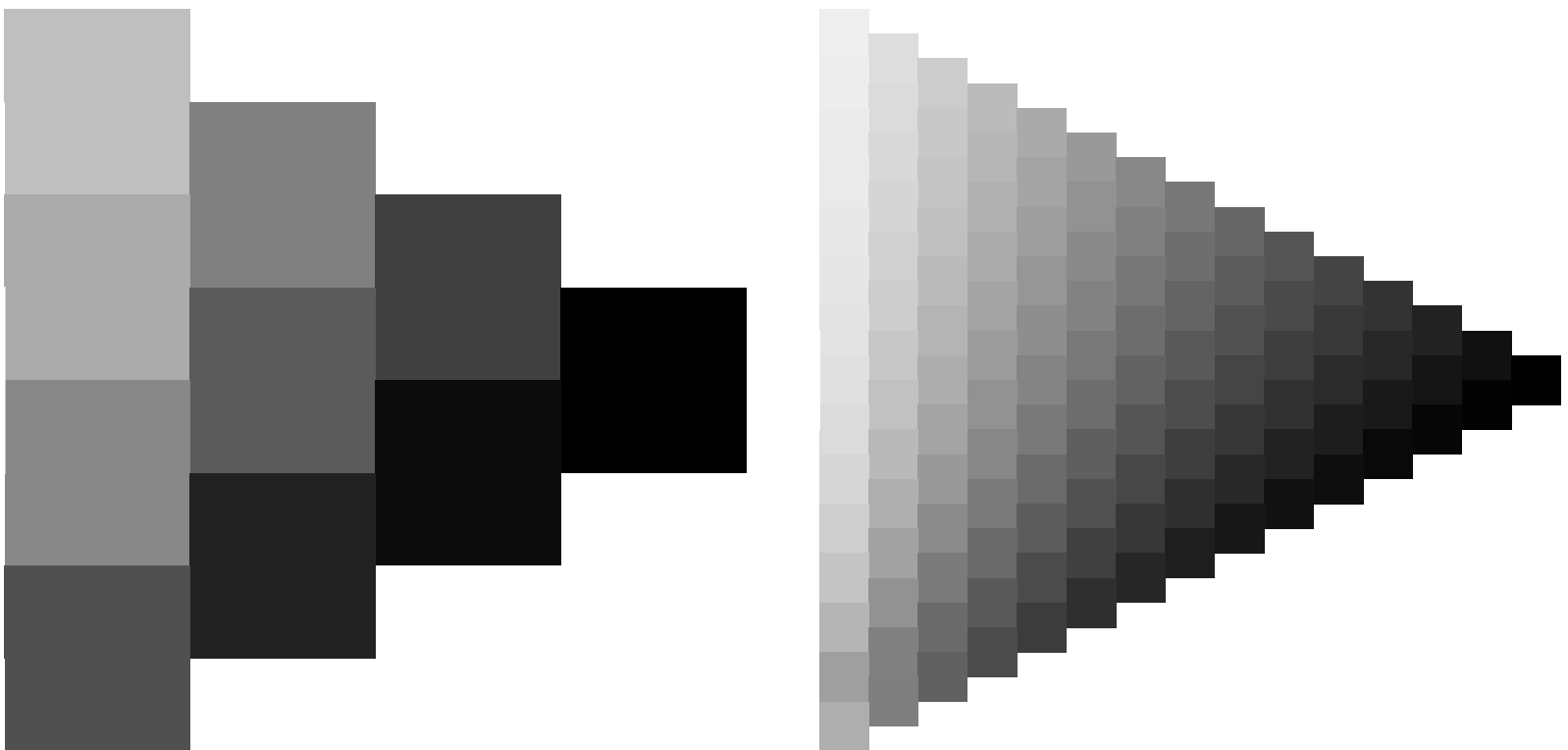
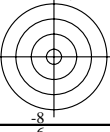


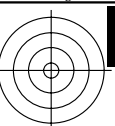
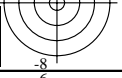
BAM-Prüfvorlage Eg12; Farbmimetrik-Systeme, Seite 68/270 Eingabe: 000n / w / nnn0 / www set...
 4 Separationen, 9 Datentabellen für 16 Bunttöne r00j bis b75r Ausgabe: ->cmyn6* setcmykcolor



Siehe ähnliche Dateien: <http://www.ps.bam.de/Eg12/>; www.ps.bam.de/Eg_HTM
Technische Information: <http://www.ps.bam.de> Version 2.1, io=1,1, Col5px=1

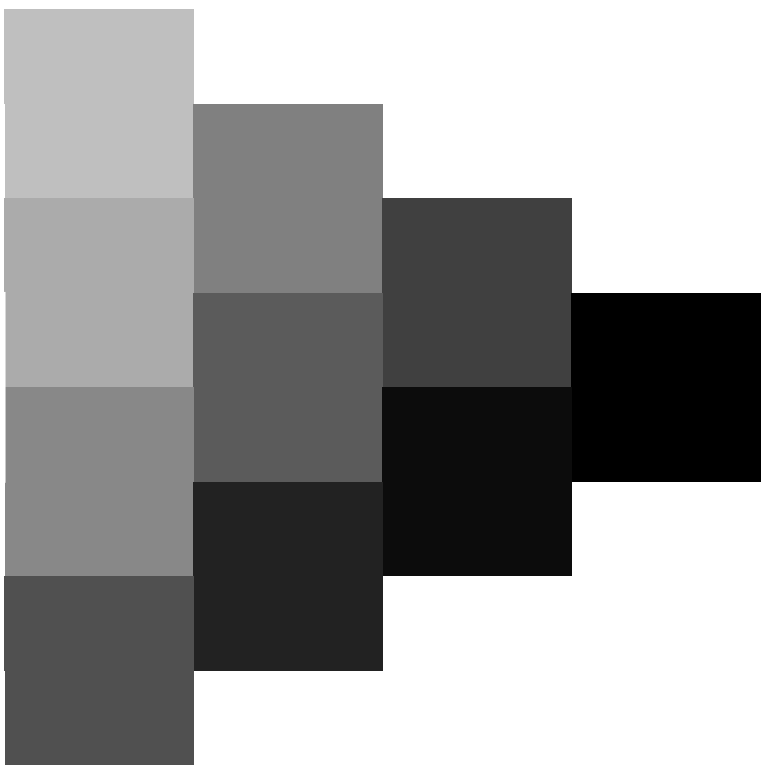
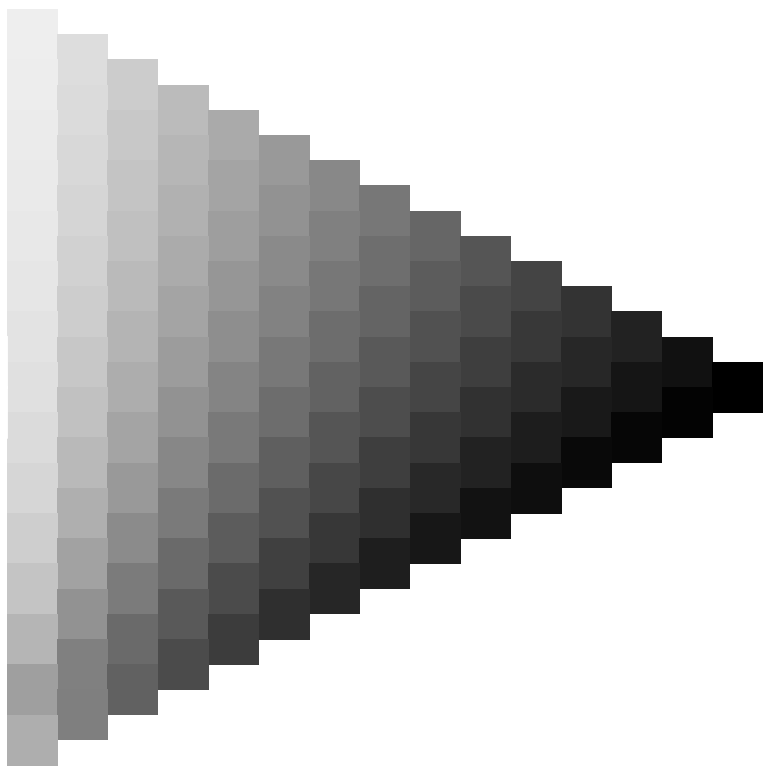




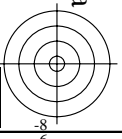
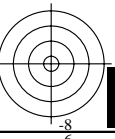


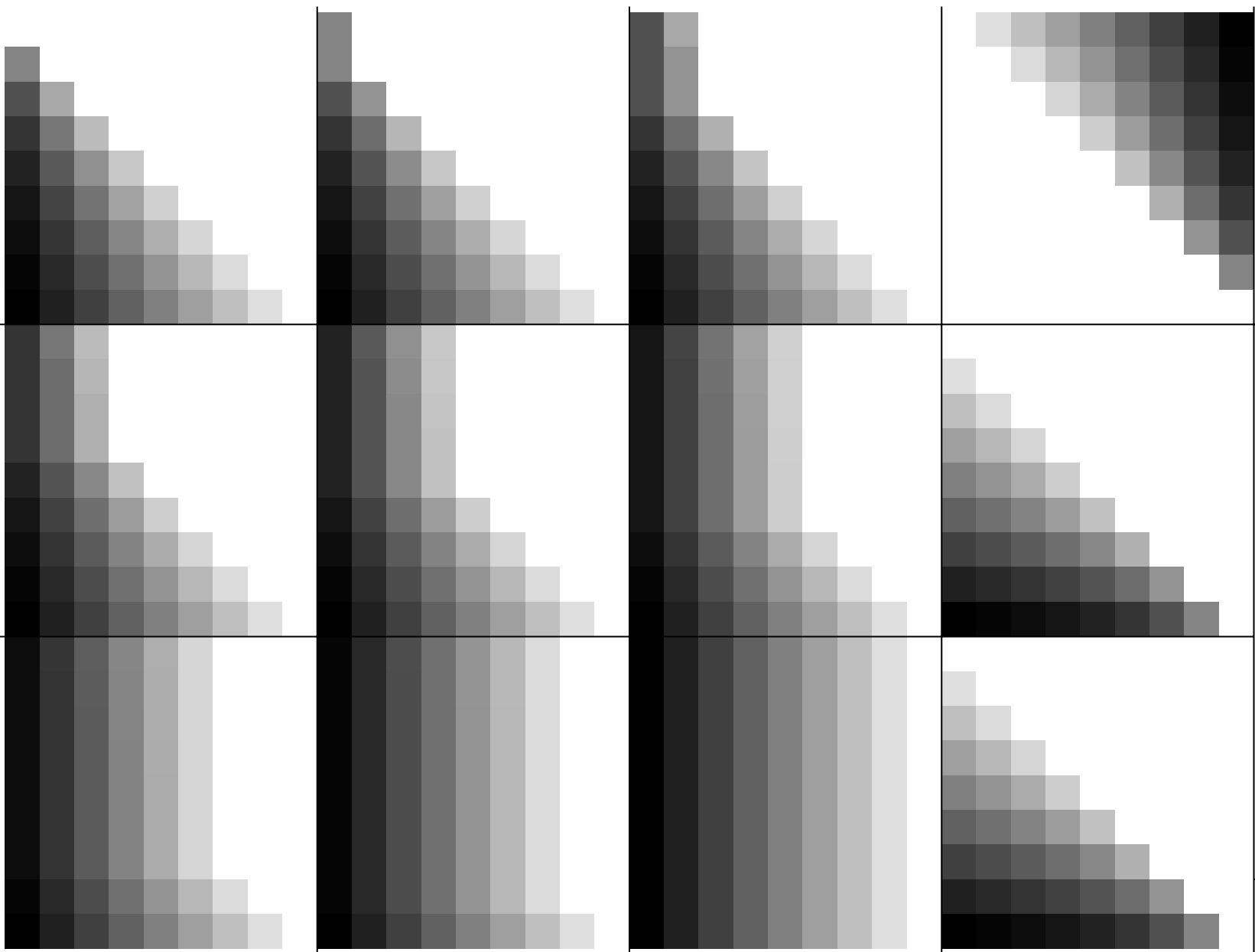
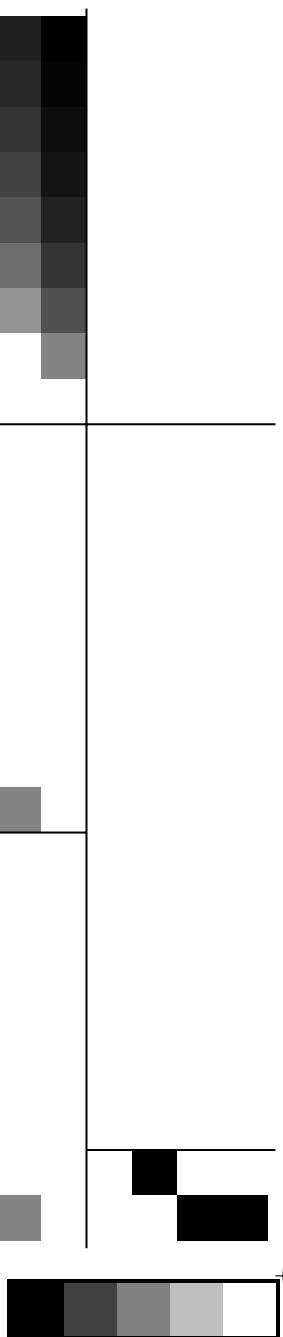
www.ps.bam.de/Eg12/10L/L12G00NA.PS/.TXT; ORS19_96a; Transfer und Ausgabe
N: Keine Ausgabe-Linearisierung (OL) in Datei (F), Startup (S), Gerät (D); Separation: **cmyn**

Siehe ähnliche Dateien: <http://www.ps.bam.de/Eg12/>; www.ps.bam.de/Eg12/
Technische Information: <http://www.ps.bam.de/Version2.1,io=1,1,Col5px=1>

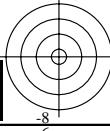
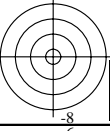
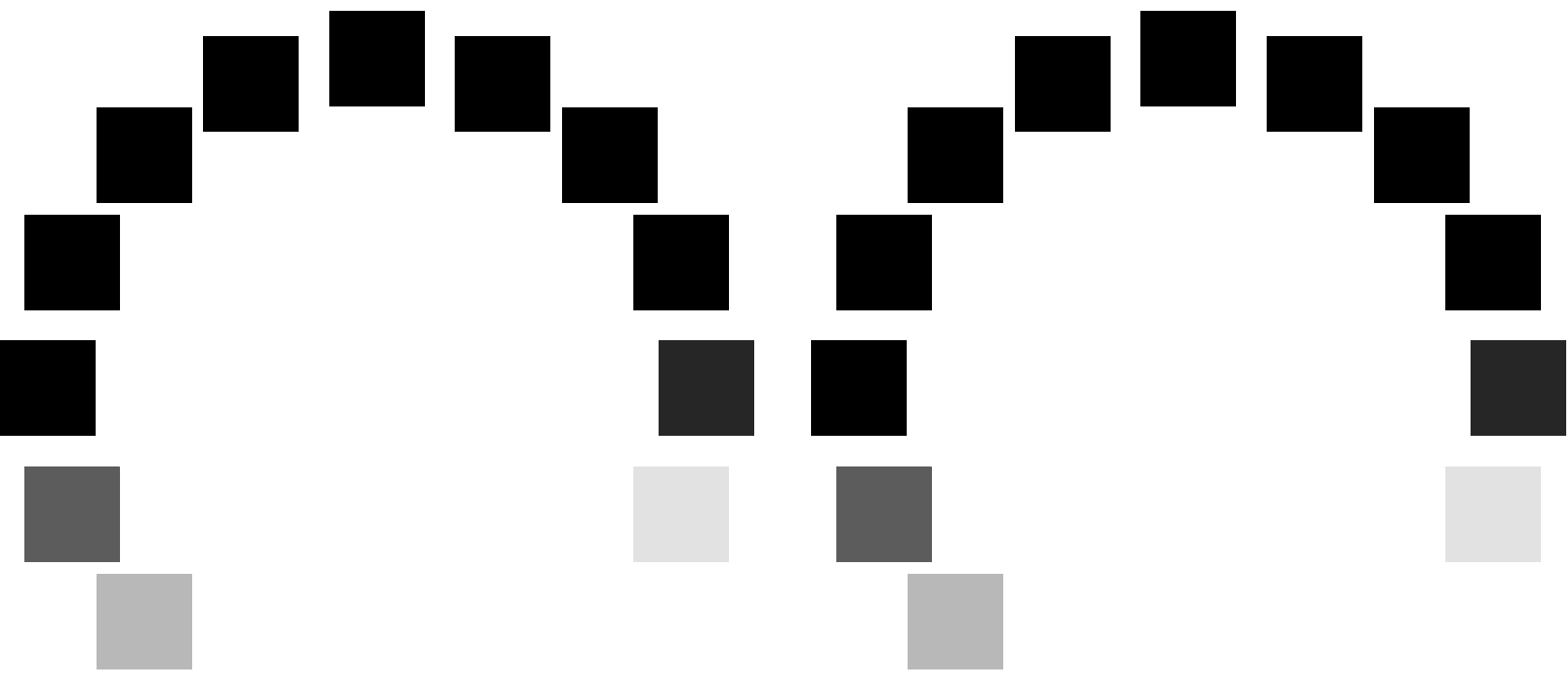
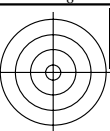
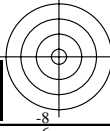


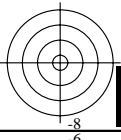
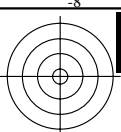
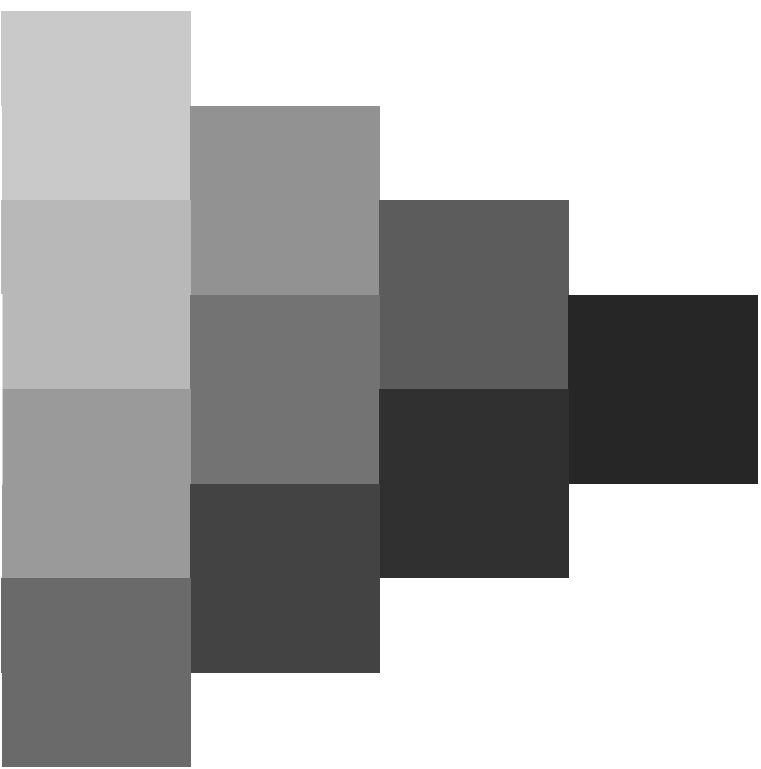
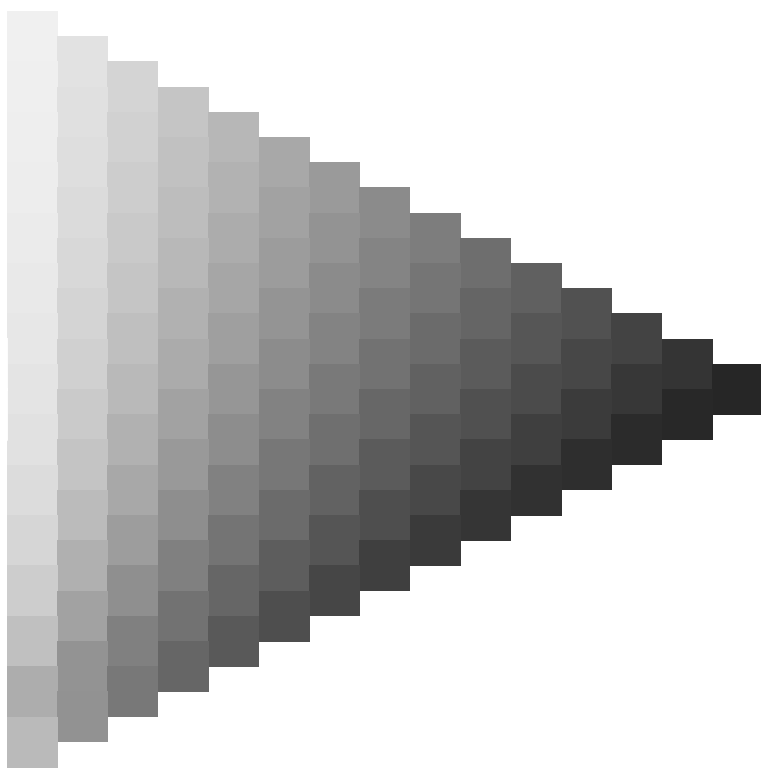
e
x
f
.

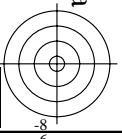
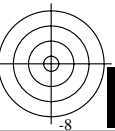
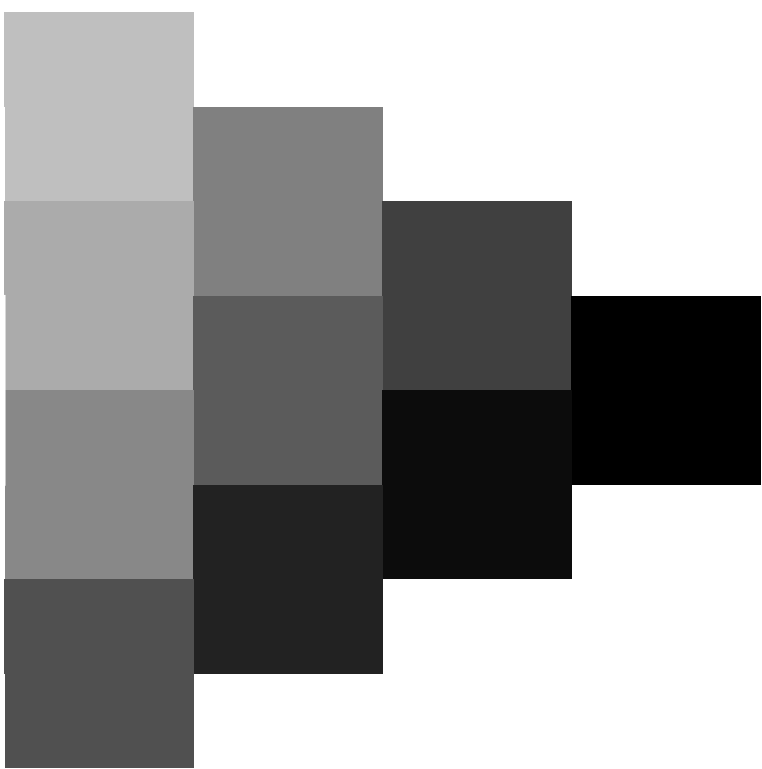
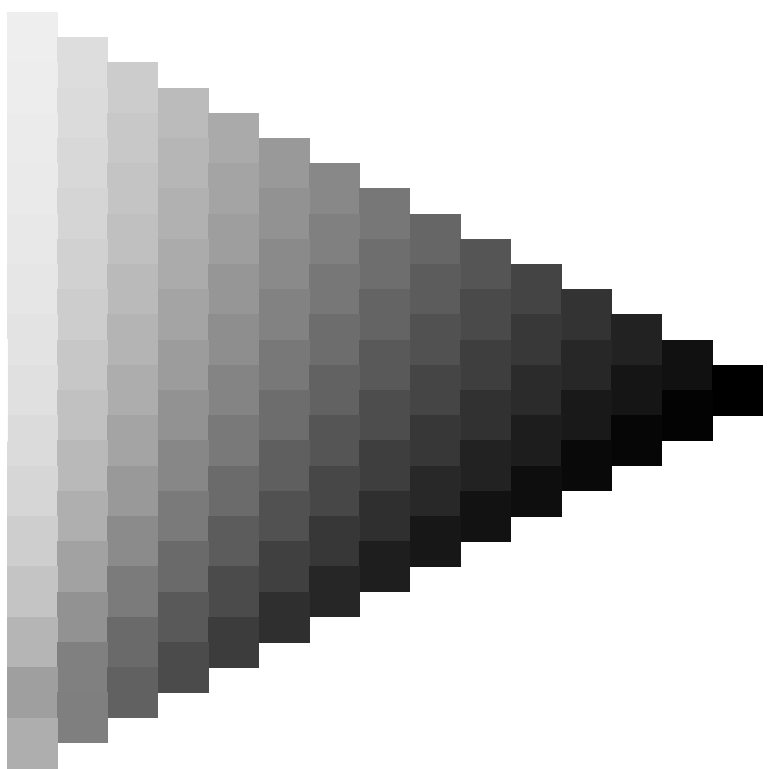
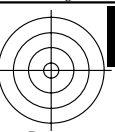
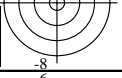


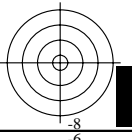
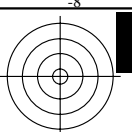
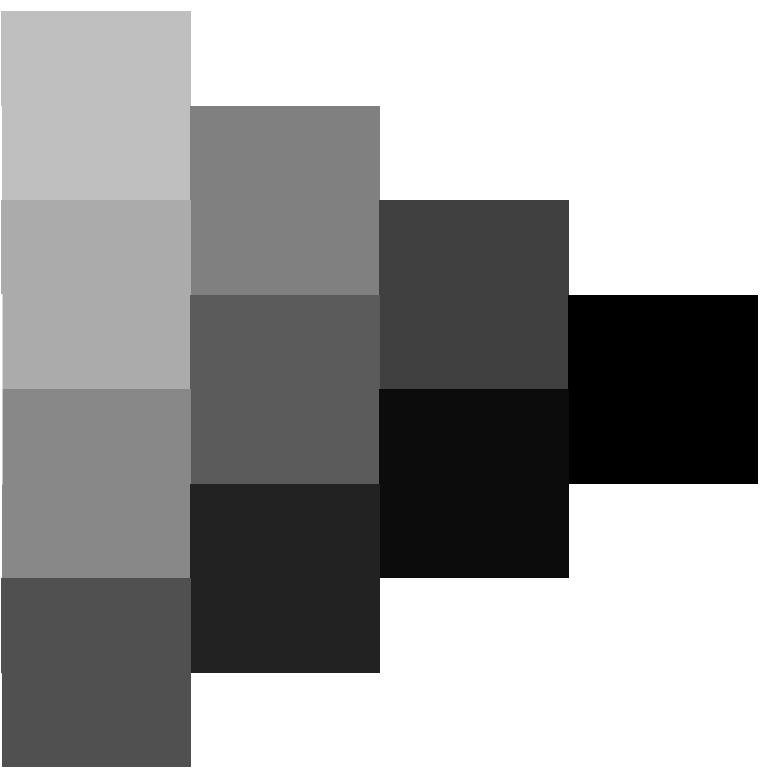
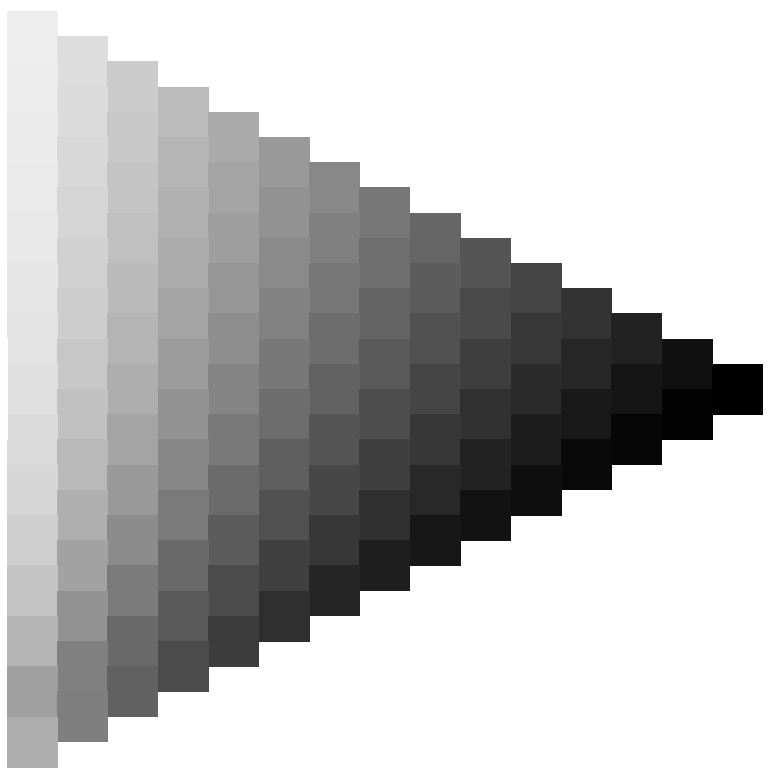


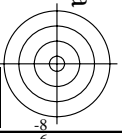
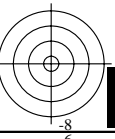
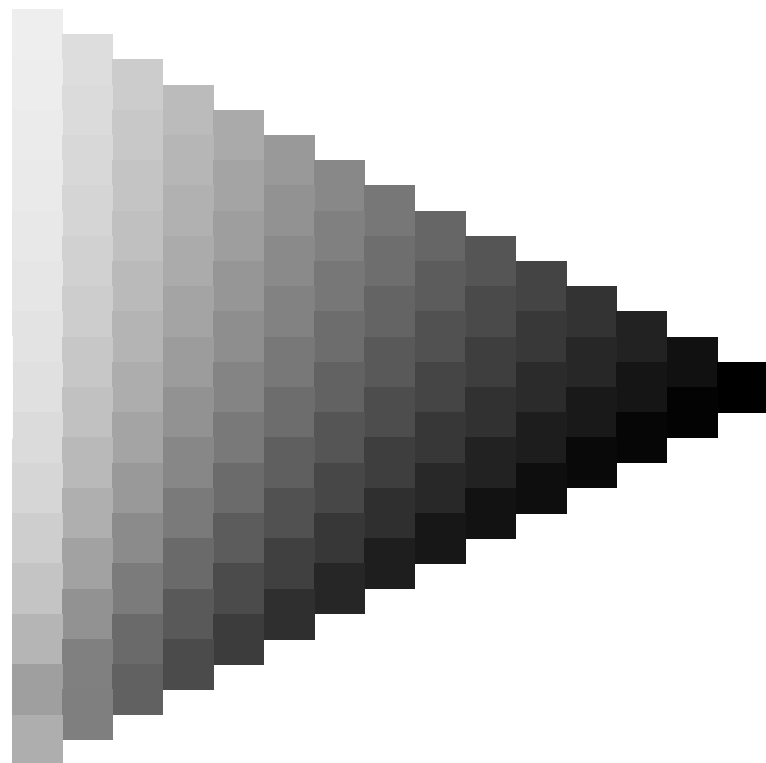
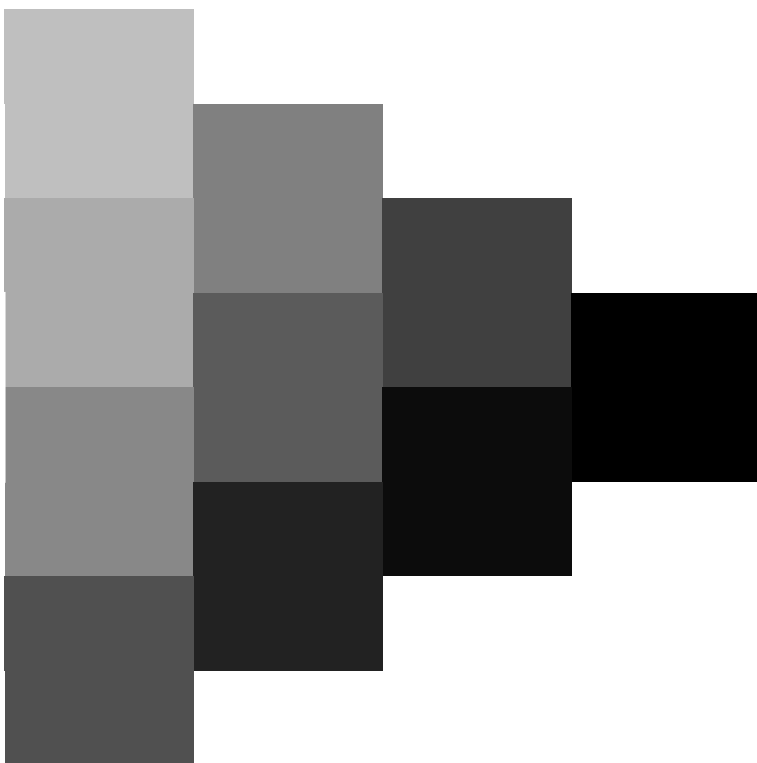
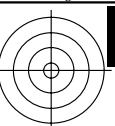
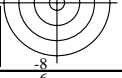
Siehe ähnliche Dateien: <http://www.ps.bam.de/Eg12/>; [www.ps.bam.de/Version 2.1, io=1,1, Col5px=1](http://www.ps.bam.de/Version%202.1,io=1,1,Col5px=1)
Technische Information: [http://www.ps.bam.de/Version 2.1, io=1,1, Col5px=1](http://www.ps.bam.de/Version%202.1,io=1,1,Col5px=1)

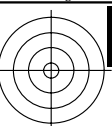
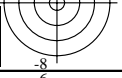






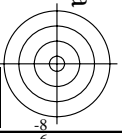
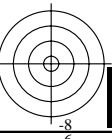
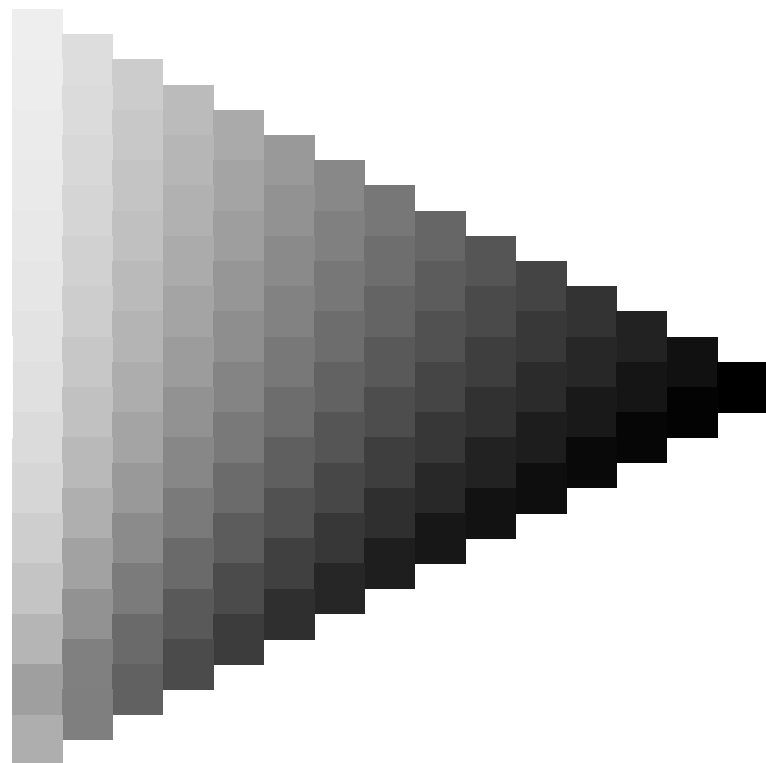
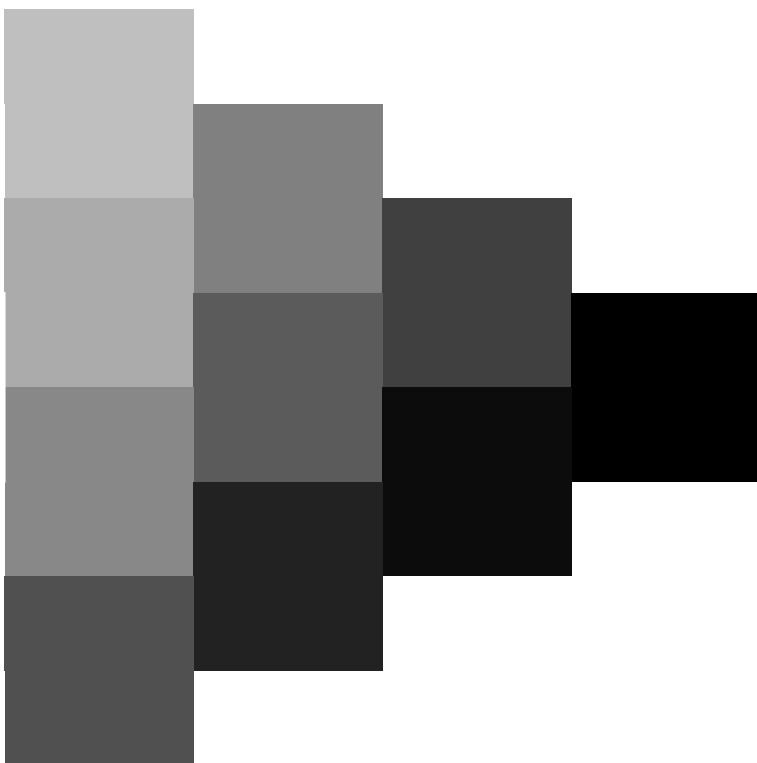


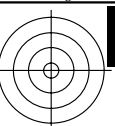
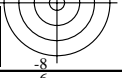




www.ps.bam.de/Eg12/10L/L12G00NA.PS/.TXT; ORS19_96a; Transfer und Ausgabe
N: Keine Ausgabe-Linearisierung (OL) in Datei (F), Startup (S), Gerät (D); Separation: **cmyn**

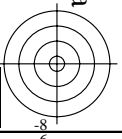
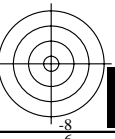
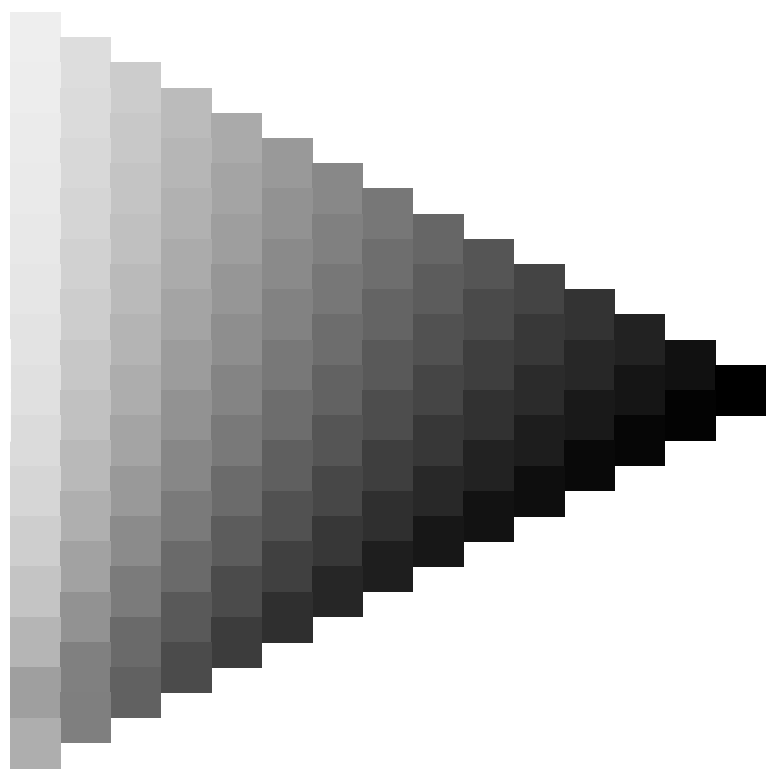
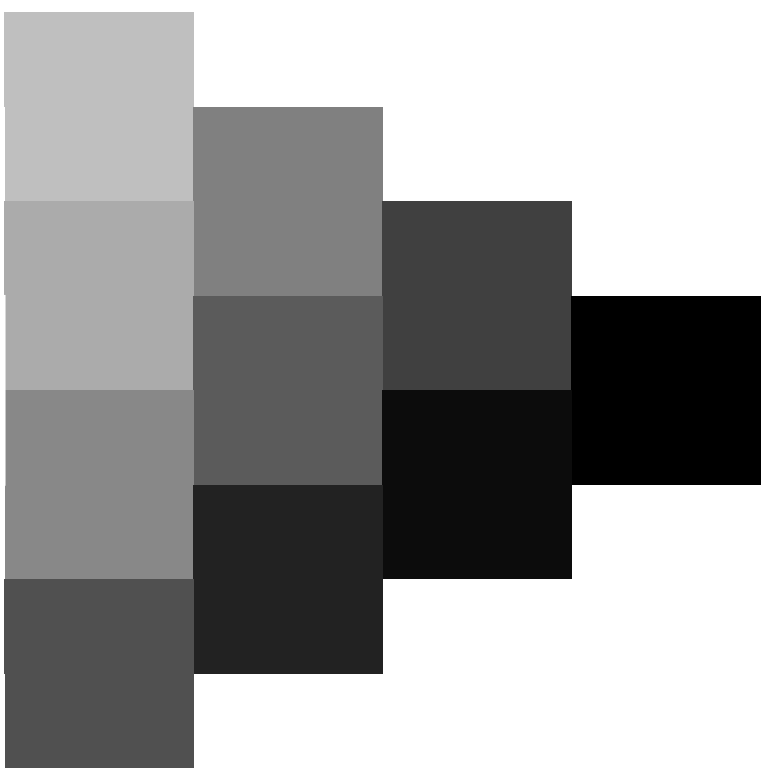
Siehe ähnliche Dateien: <http://www.ps.bam.de/Eg12/>; www.ps.bam.de/Eg12/
Technische Information: <http://www.ps.bam.de/Version2.1,io=1,1,Col5px=1>

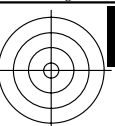
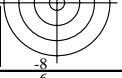




www.ps.bam.de/Eg12/10L/L12G00NA.PS/.TXT; ORS19_96a; Transfer und Ausgabe
N: Keine Ausgabe-Linearisierung (OL) in Datei (F), Startup (S), Gerät (D); Separation: **cmyn**

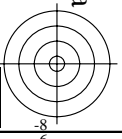
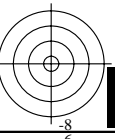
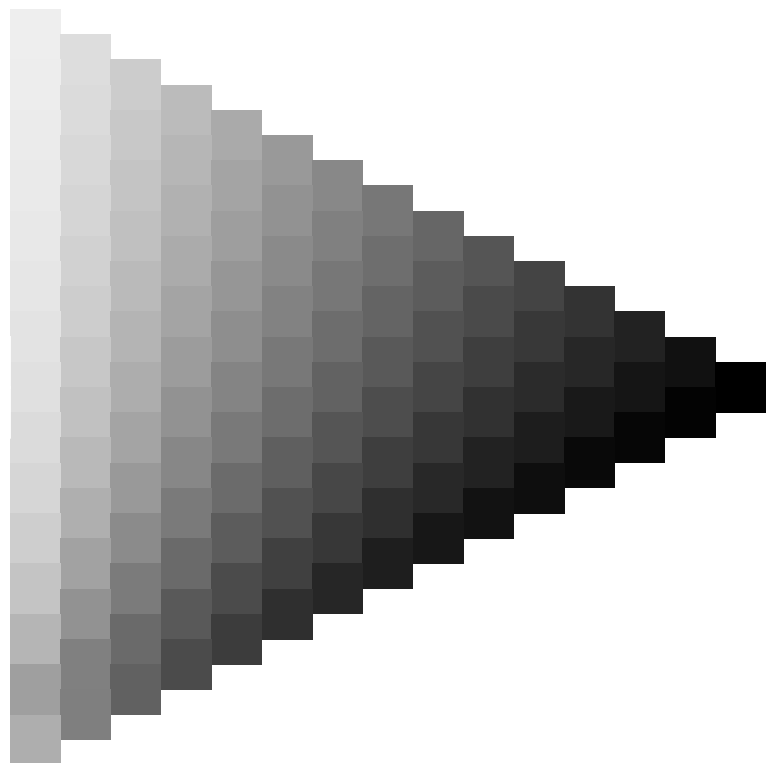
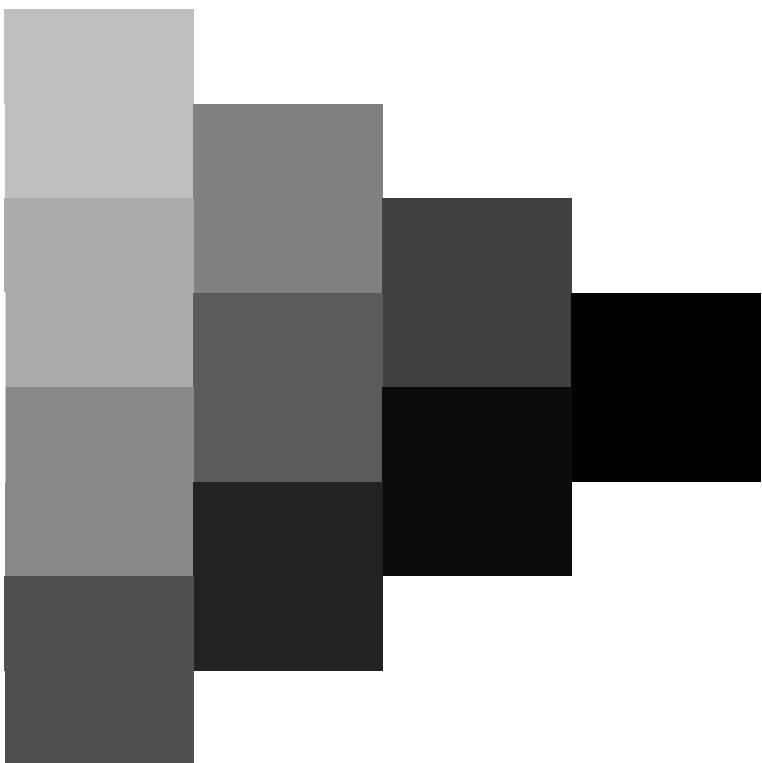
Siehe ähnliche Dateien: <http://www.ps.bam.de/Eg12/>; www.ps.bam.de/Eg12/
Technische Information: <http://www.ps.bam.de/Version2.1,io=1,1,Col5px=1>

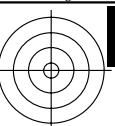
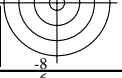




www.ps.bam.de/Eg12/10L/L12G00NA.PS/.TXT; ORS19_96a; Transfer und Ausgabe
N: Keine Ausgabe-Linearisierung (OL) in Datei (F), Startup (S), Gerät (D); Separation: **cmyn**

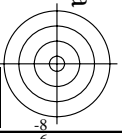
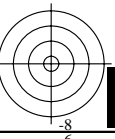
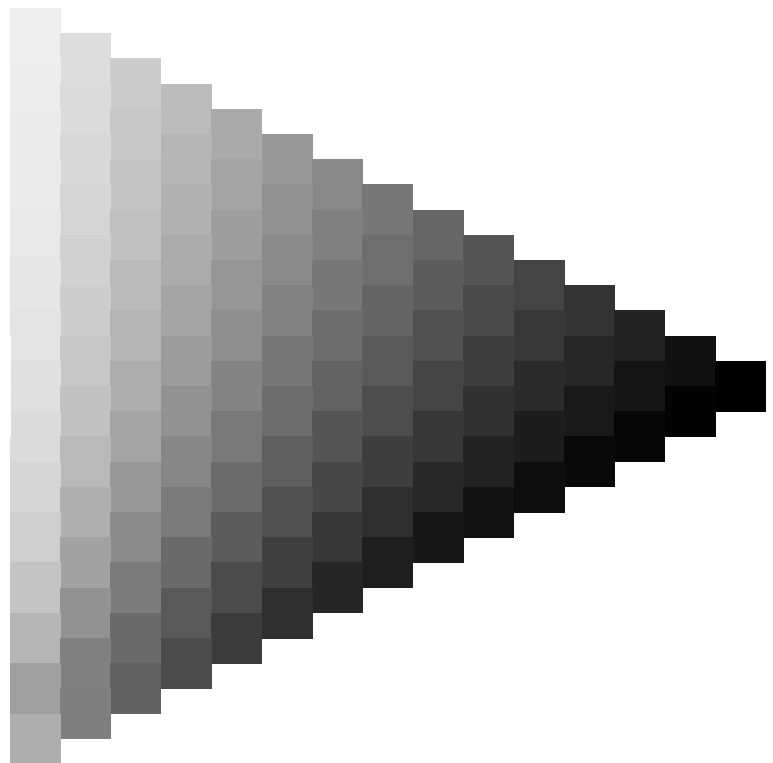
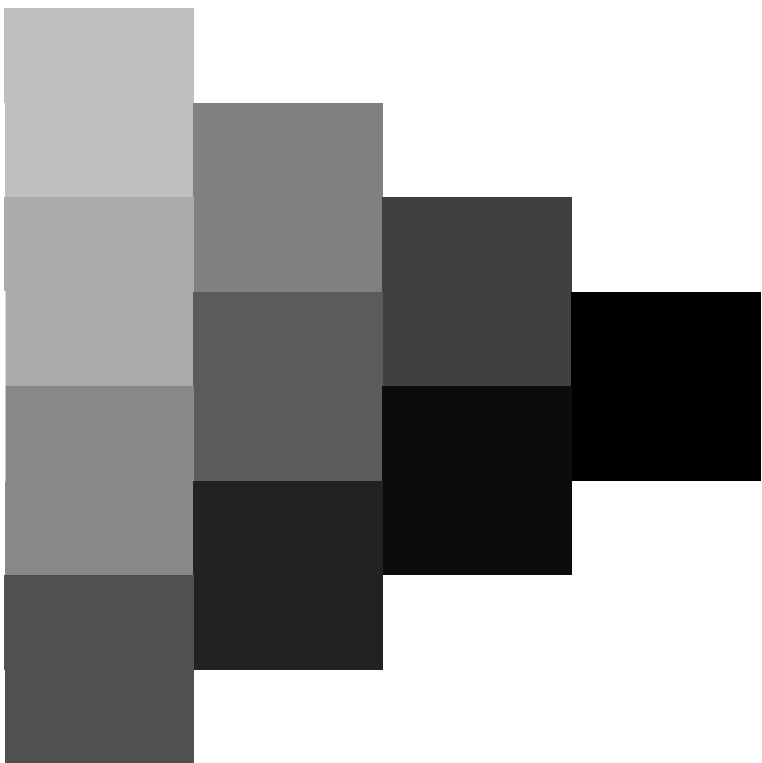
Siehe ähnliche Dateien: <http://www.ps.bam.de/Eg12/>; www.ps.bam.de/Eg.HTM
Technische Information: <http://www.ps.bam.de> Version 2.1, io=1,1, ColSpx=1





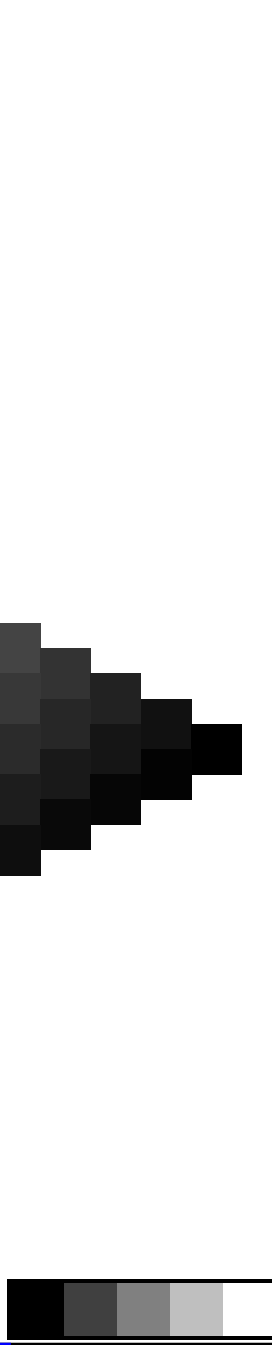
www.ps.bam.de/Eg12/10L/L12G00NA.PS/.TXT; ORS19_96a; Transfer und Ausgabe
N: Keine Ausgabe-Linearisierung (OL) in Datei (F), Startup (S), Gerät (D); Separation: **cmyn**

Siehe ähnliche Dateien: <http://www.ps.bam.de/Eg12/>; www.ps.bam.de/Eg.HTM
Technische Information: <http://www.ps.bam.de> Version 2.1, io=1,1, ColSpx=1

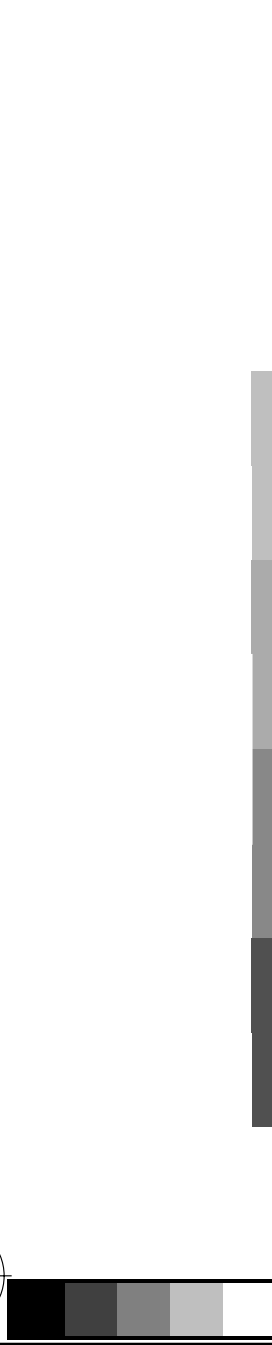




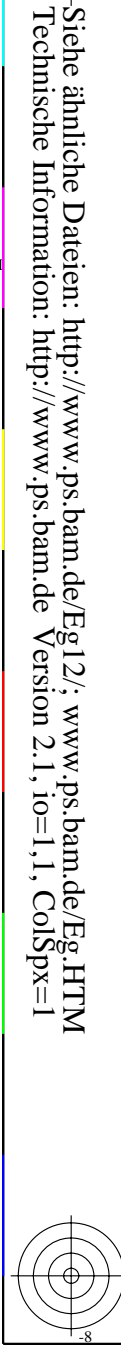
BAM-Registrierung: 20081001-Eg12/10L/L12G00NA.PS/.TXT BAM-Material: Code=rh4ta
Anwendung für Beurteilung und Messung von Drucker- oder Monitorsystemen



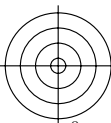
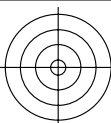
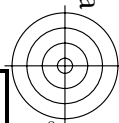
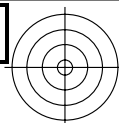
A series of 16 grayscale patches arranged in a 4x4 grid, used for color calibration and color management. The patches show a range of gray tones from white to black.

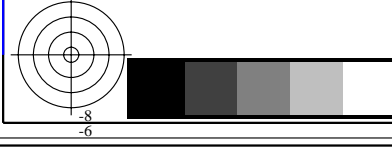
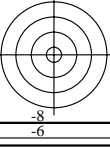
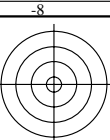


The image displays a color calibration target on the left and a grayscale wedge on the right. The target consists of a 4x4 grid of squares in various shades of gray, with a small black crosshair in the top-left corner. The grayscale wedge is a series of 11 vertical bars of varying heights, each containing a 10x10 grid of squares, showing a smooth gradient from white to black.



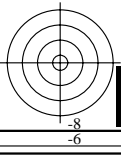
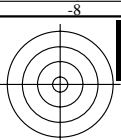
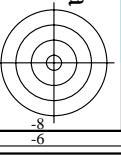
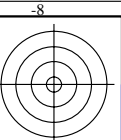
Siehe ähnliche Dateien: <http://www.ps.bam.de/Eg12/>; www.ps.bam.de/Eg.HTM
Technische Information: [http://www.ps.bam.de/Version 2.1, io=1,1, Colspx=1](http://www.ps.bam.de/Version%202.1,%20io=1,1,Colspx=1)

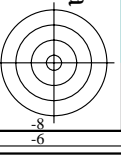
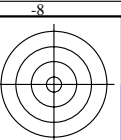


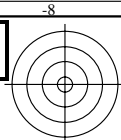


Siehe ähnliche Dateien: <http://www.ps.bam.de/Eg12/>; www.ps.bam.de/Eg.HTM
Technische Information: <http://www.ps.bam.de> Version 2.1, io=1,1, ColSpx=1

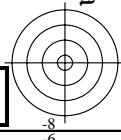




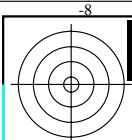




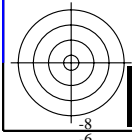
BAM-Registrierung: 20081001-Eg12/10L/L12G00NA.PS/.TXT BAM-Material: Code=rha4ta
+ Anwendung für Beurteilung und Messung von Drucker- oder Monitorsystemen



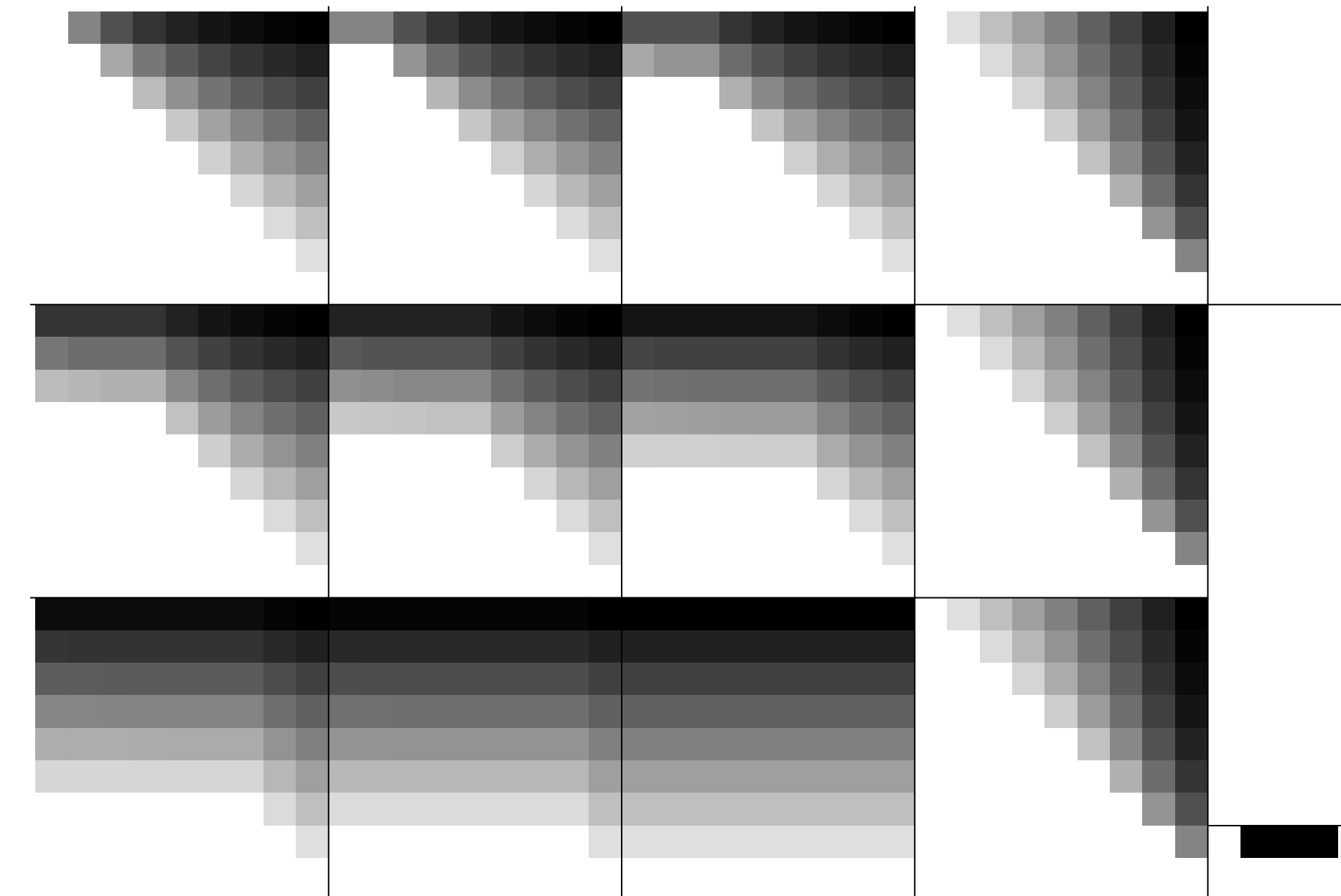
www.ps.bam.de/Eg12/10L/L12G00NA.PS/.TXT; ORS19_96a; Transfer und Ausgabe
N: Keine Ausgabe-Linearisierung (OL) in Datei (F), Startup (S), Gerät (D); Separation: cmy



Technische Information: <http://www.ps.bam.de> Version 2.1, io=1,1, ColSpx=1



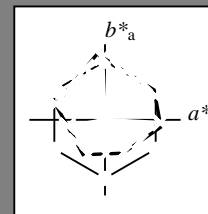
BAM-Prüfvorlage Eg12; Farbmimetrik-Systeme, Seite 89/270 Eingabe: 000n / w / nnn0 / www set...
4 Separationen, 9 Datentabellen für 16 Bunttöne r00j bis b75r Ausgabe: ->cmyn6* setcmykcolor



Ein und Ausgabe:
Farbmetrisches Drucker-Reflektiv-System ORS19_96a
Daten für jede Farbe:
 u^*_e und Nummer *Nr.* = 00 .. 15
Elementar-Bunttontext:
 $u^*_e = 16$ Bunttoene *r00j, r25j, ..., b75r*
Kontrastreduzierungsfaktor:
 $c_R = 1.0$

ORS19_96a; adaptierte CIELAB-Daten

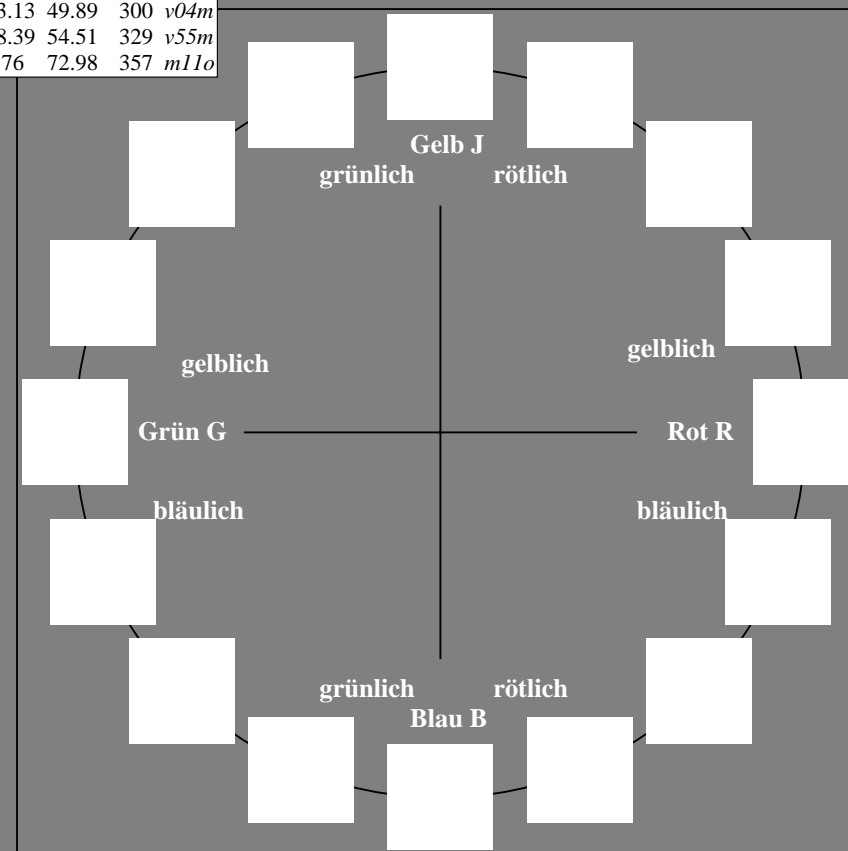
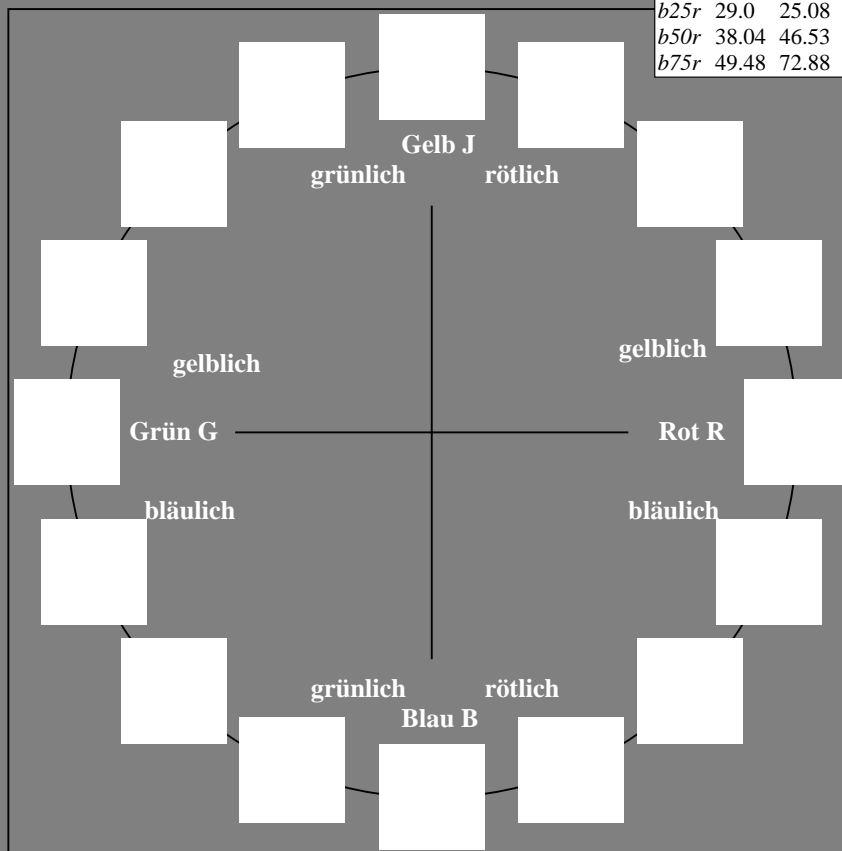
u^*_e	$L^*=L^*_a$	a^*_a	b^*_a	$C^*_{ab,a}$	$h^*_{ab,a}$	u^*_d
<i>r00j</i>	48.88	66.47	31.67	73.63	25	<i>m84o</i>
<i>r25j</i>	55.85	52.39	47.48	70.7	42	<i>o17y</i>
<i>r50j</i>	65.45	35.22	58.37	68.17	59	<i>o42y</i>
<i>r75j</i>	75.19	17.82	69.41	71.66	76	<i>o67y</i>
<i>j00g</i>	87.03	-3.35	82.83	82.9	92	<i>o92y</i>
<i>j25g</i>	80.72	-25.01	69.5	73.86	110	<i>y20l</i>
<i>j50g</i>	70.64	-39.54	51.97	65.3	127	<i>y46l</i>
<i>j75g</i>	61.93	-52.1	36.83	63.8	145	<i>y72l</i>
<i>g00b</i>	52.8	-65.28	20.93	68.56	162	<i>y99l</i>
<i>g25b</i>	55.7	-49.58	-8.39	50.28	190	<i>l36c</i>
<i>g50b</i>	57.82	-38.4	-28.92	48.07	217	<i>l72c</i>
<i>g75b</i>	55.5	-22.05	-45.95	50.97	244	<i>c11v</i>
<i>b00r</i>	41.6	1.37	-45.01	45.03	272	<i>c56v</i>
<i>b25r</i>	29.0	25.08	-43.13	49.89	300	<i>v04m</i>
<i>b50r</i>	38.04	46.53	-28.39	54.51	329	<i>v55m</i>
<i>b75r</i>	49.48	72.88	-3.76	72.98	357	<i>m11o</i>



%Umfang
 $u^*_{rel} = 89$
%Regularität
 $g^*_{H,rel} = 72$
 $g^*_{C,rel} = 57$

ORS19_96a; adaptierte CIELAB-Daten

Name	$L^*=L^*_a$	a^*_a	b^*_a	$C^*_{ab,a}$	$h^*_{ab,a}$
O _{Ma}	48.75	65.07	39.43	76.08	31
Y _{Ma}	90.92	-10.29	87.24	87.85	97
L _{Ma}	52.69	-65.44	20.75	68.65	162
C _{Ma}	59.61	-28.98	-46.22	54.56	238
V _{Ma}	28.39	23.63	-44.13	50.06	298
M _{Ma}	49.58	73.93	-9.56	74.55	353
N _{Ma}	18.89	0.0	0.0	0.0	0
W _{Ma}	96.9	0.0	0.0	0.0	0
R _{CIE}	39.92	58.74	27.99	65.07	25
J _{CIE}	81.26	-2.89	71.56	71.62	92
G _{CIE}	52.23	-42.42	13.6	44.55	162
B _{CIE}	30.57	1.41	-46.47	46.49	272



Ein und Ausgabe: Farbmetrisches Drucker-Reflektiv-System ORS19_96a für relativen CIELAB-Buntton $h^* = lab^*h^* = h_{ab}/360 = 0.071$

Daten für jede Farbe:

lab^*ch^* und lab^*icu^*

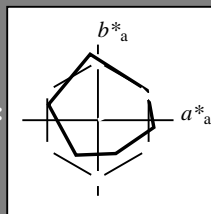
Bunttontexte:

$u^*_e = r00j$ $u^*_d = m84o$

Kontrastreduzierungsfaktor:

$c_R = 1.0$

Dreiecks-Helligkeit i^*



ORS19_96a; adaptierte CIELAB-Daten

u^*_e	$L^*=L^*_a$	a^*_a	b^*_a	$C^*_{ab,a}$	$h^*_{ab,a}$
O _{Ma}	48.75	65.07	39.43	76.08	31
Y _{Ma}	90.92	-10.29	87.24	87.85	97
L _{Ma}	52.69	-65.44	20.75	68.65	162
C _{Ma}	59.61	-28.98	-46.22	54.56	238
V _{Ma}	28.39	23.63	-44.13	50.06	298
M _{Ma}	49.58	73.93	-9.56	74.55	353
N _{Ma}	18.89	0.0	0.0	0.0	0
W _{Ma}	96.9	0.0	0.0	0.0	0
R _{Ma}	39.92	58.74	27.99	65.07	25
J _{Ma}	81.26	-2.89	71.56	71.62	92
G _{Ma}	52.23	-42.42	13.6	44.55	162
B _{Ma}	30.57	1.41	-46.47	46.49	272

Daten für Maximalfarbe (Ma):

$LAB^*LAB^*_{Ma}$: 49 66 32

$LAB^*LCH^*_{Ma}$: 49 74 25

$lab^*rgb^*_{Ma}$: 1.0 0.0 0.0

$lab^*olv^*_{Ma}$: 1.0 0.0 0.15

Dreiecks-Helligkeit i^*

%Umfang

$u^*_{rel} = 89$

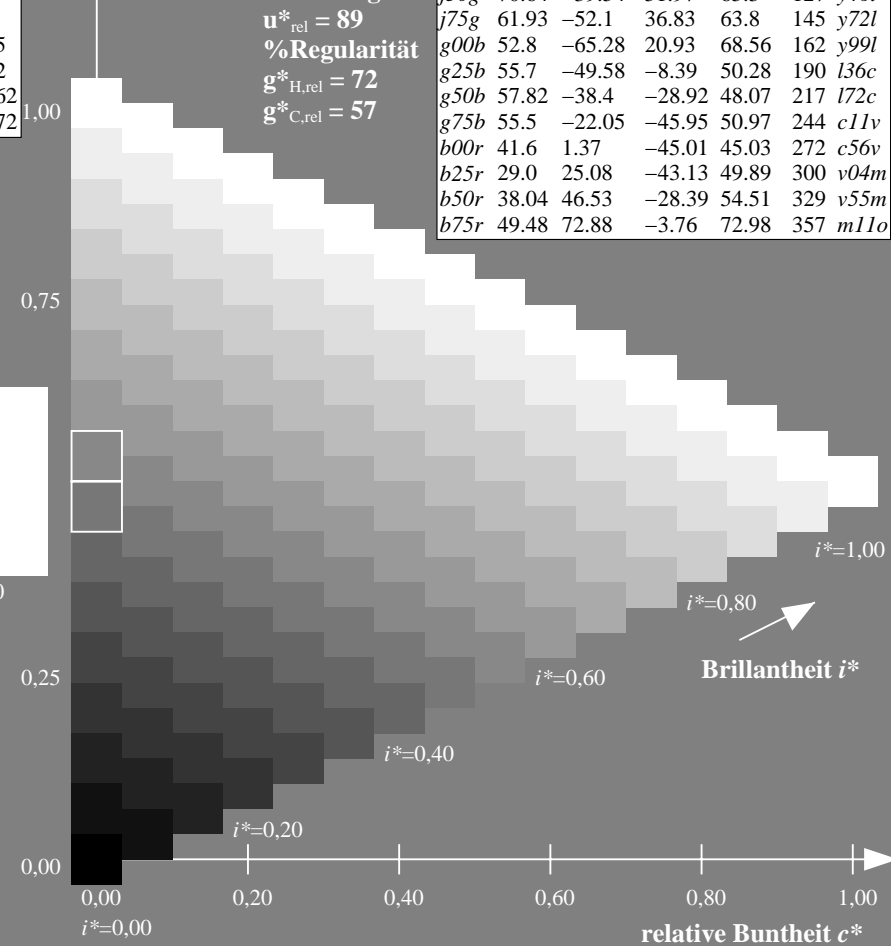
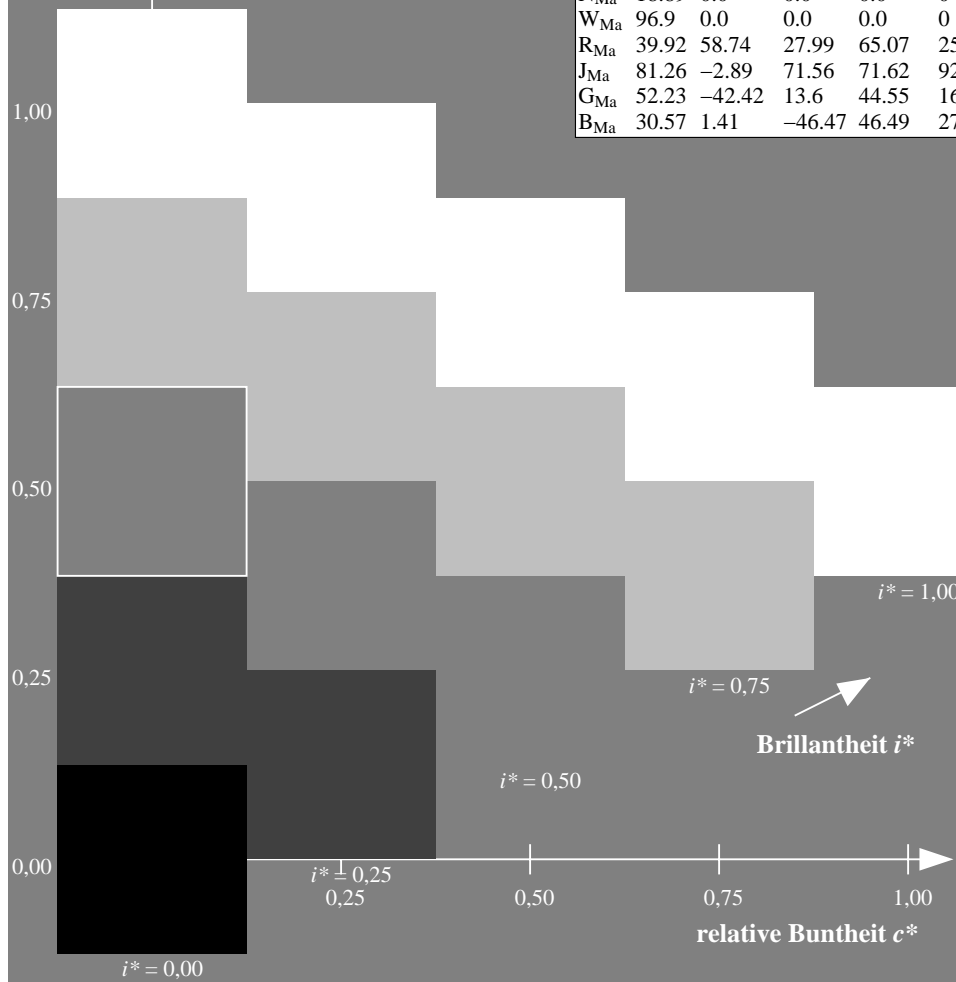
%Regularität

$g^*_{H,rel} = 72$

$g^*_{C,rel} = 57$

ORS19_96a; adaptierte CIELAB-Daten

u^*_e	$L^*=L^*_a$	a^*_a	b^*_a	$C^*_{ab,a}$	$h^*_{ab,a}$	u^*_d
r00j	48.88	66.47	31.67	73.63	25	m84o
r25j	55.85	52.39	47.48	70.7	42	o17y
r50j	65.45	35.22	58.37	68.17	59	o42y
r75j	75.19	17.82	69.41	71.66	76	o67y
j00g	87.03	-3.35	82.83	82.9	92	o92y
j25g	80.72	-25.01	69.5	73.86	110	y20l
j50g	70.64	-39.54	51.97	65.3	127	y46l
j75g	61.93	-52.1	36.83	63.8	145	y72l
g00b	52.8	-65.28	20.93	68.56	162	y99l
g25b	55.7	-49.58	-8.39	50.28	190	l36c
g50b	57.82	-38.4	-28.92	48.07	217	l72c
g75b	55.5	-22.05	-45.95	50.97	244	c11v
b00r	41.6	1.37	-45.01	45.03	272	c56v
b25r	29.0	25.08	-43.13	49.89	300	v04m
b50r	38.04	46.53	-28.39	54.51	329	v55m
b75r	49.48	72.88	-3.76	72.98	357	m11o



Ein und Ausgabe: Farbmetrisches Drucker-Reflektiv-System ORS19_96a für relativen CIELAB-Buntton $h^* = lab^*h^* = h_{ab}/360 = 0.117$

Daten für jede Farbe:

lab^*ch^* und lab^*icu^*

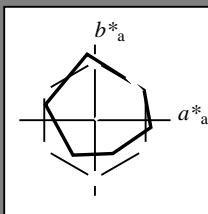
Bunttontexte:

$u^*_e = r25j$ $u^*_d = o17y$

Kontrastreduzierungsfaktor:

$c_R = 1.0$

Dreiecks-Helligkeit i^*



ORS19_96a; adaptierte CIELAB-Daten

u^*_e	$L^*=L^*_a$	a^*_a	b^*_a	$C^*_{ab,a}$	$h^*_{ab,a}$
O _{Ma}	48.75	65.07	39.43	76.08	31
Y _{Ma}	90.92	-10.29	87.24	87.85	97
L _{Ma}	52.69	-65.44	20.75	68.65	162
C _{Ma}	59.61	-28.98	-46.22	54.56	238
V _{Ma}	28.39	23.63	-44.13	50.06	298
M _{Ma}	49.58	73.93	-9.56	74.55	353
N _{Ma}	18.89	0.0	0.0	0.0	0
W _{Ma}	96.9	0.0	0.0	0.0	0
R _{Ma}	39.92	58.74	27.99	65.07	25
J _{Ma}	81.26	-2.89	71.56	71.62	92
G _{Ma}	52.23	-42.42	13.6	44.55	162
B _{Ma}	30.57	1.41	-46.47	46.49	272

Daten für Maximalfarbe (Ma):

$LAB^*LAB^*_{Ma}$: 56 52 47

$LAB^*LCH^*_{Ma}$: 56 71 42

$lab^*rgb^*_{Ma}$: 1.0 0.25 0.0

$lab^*olv^*_{Ma}$: 1.0 0.17 0.0

Dreiecks-Helligkeit i^*

%Umfang

$u^*_{rel} = 89$

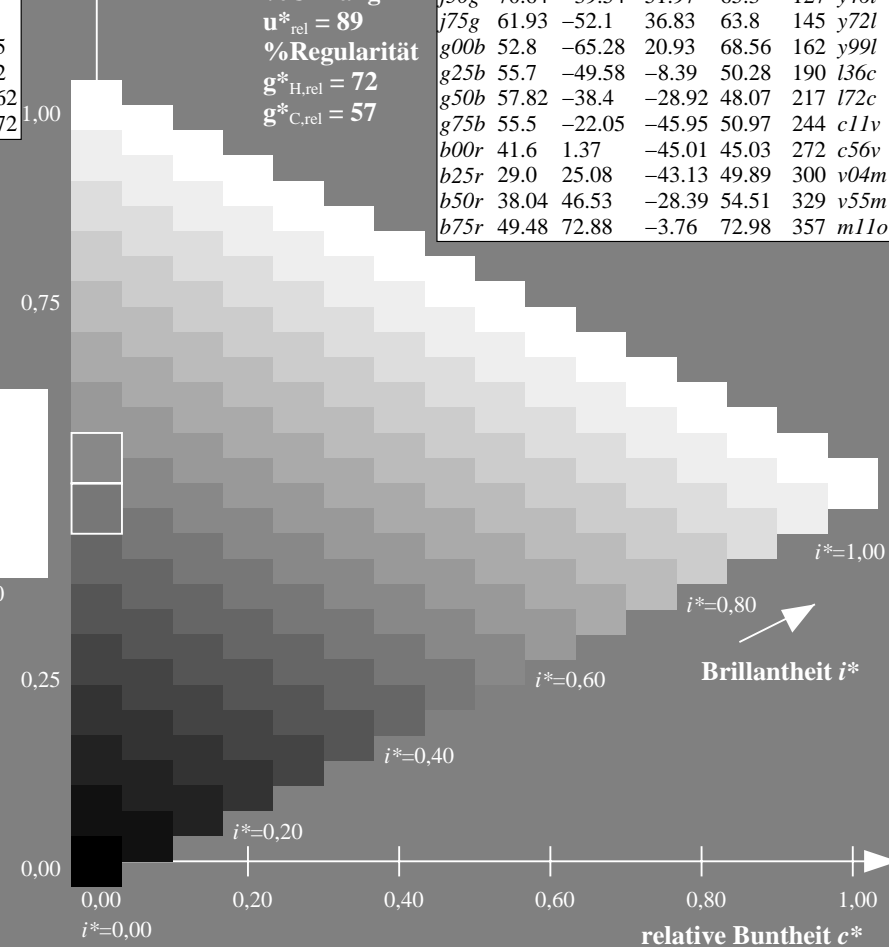
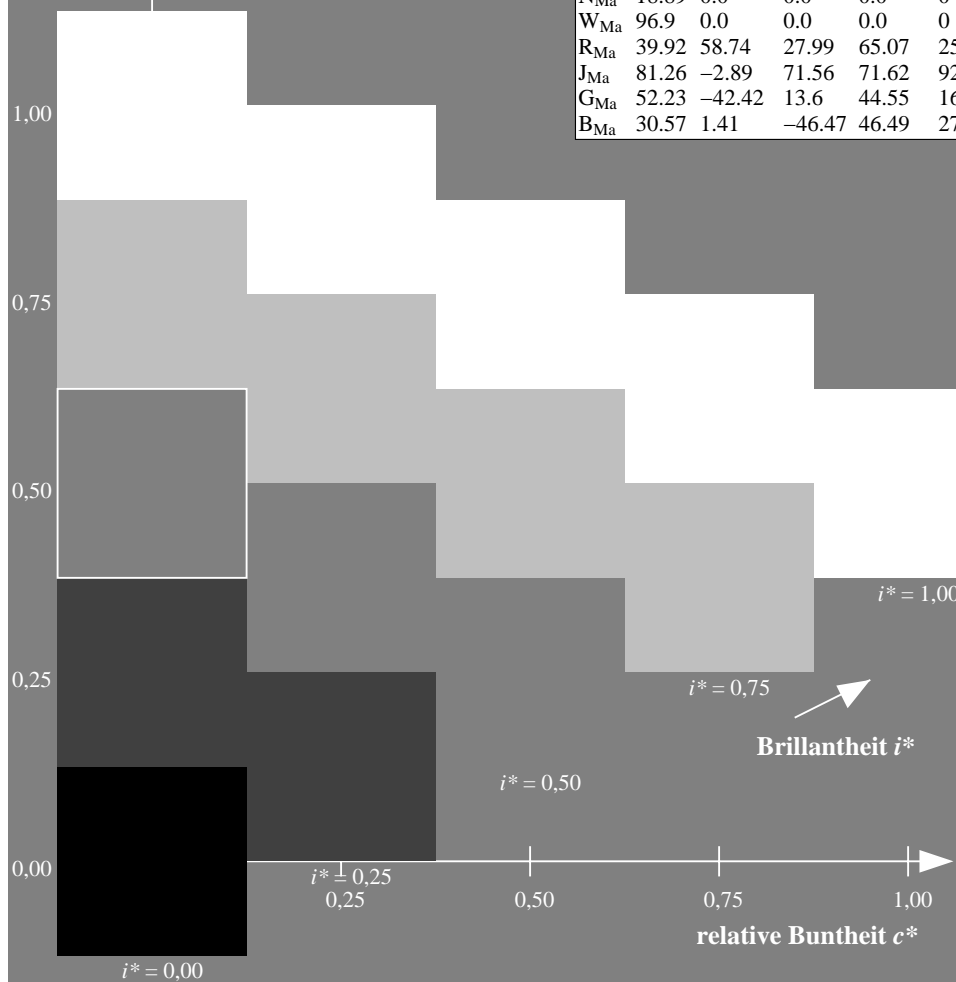
%Regularität

$g^*_{H,rel} = 72$

$g^*_{C,rel} = 57$

ORS19_96a; adaptierte CIELAB-Daten

u^*_e	$L^*=L^*_a$	a^*_a	b^*_a	$C^*_{ab,a}$	$h^*_{ab,a}$	u^*_d
r00j	48.88	66.47	31.67	73.63	25	m84o
r25j	55.85	52.39	47.48	70.7	42	o17y
r50j	65.45	35.22	58.37	68.17	59	o42y
r75j	75.19	17.82	69.41	71.66	76	o67y
j00g	87.03	-3.35	82.83	82.9	92	o92y
j25g	80.72	-25.01	69.5	73.86	110	y20l
j50g	70.64	-39.54	51.97	65.3	127	y46l
j75g	61.93	-52.1	36.83	63.8	145	y72l
g00b	52.8	-65.28	20.93	68.56	162	y99l
g25b	55.7	-49.58	-8.39	50.28	190	l36c
g50b	57.82	-38.4	-28.92	48.07	217	l72c
g75b	55.5	-22.05	-45.95	50.97	244	c11v
b00r	41.6	1.37	-45.01	45.03	272	c56v
b25r	29.0	25.08	-43.13	49.89	300	v04m
b50r	38.04	46.53	-28.39	54.51	329	v55m
b75r	49.48	72.88	-3.76	72.98	357	m11o



Ein und Ausgabe: Farbmetrisches Drucker-Reflektiv-System ORS19_96a für relativen CIELAB-Buntton $h^* = lab^*h^* = h_{ab}/360 = 0.164$

Daten für jede Farbe:

lab^*ch^* und lab^*icu^*

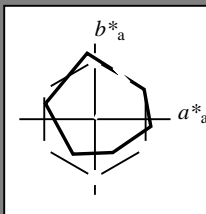
Bunttontexte:

$u^*_e = r50j$ $u^*_d = o42y$

Kontrastreduzierungsfaktor:

$c_R = 1.0$

Dreiecks-Helligkeit i^*



ORS19_96a; adaptierte CIELAB-Daten

u^*_e	$L^*=L^*_a$	a^*_a	b^*_a	$C^*_{ab,a}$	$h^*_{ab,a}$
O _{Ma}	48.75	65.07	39.43	76.08	31
Y _{Ma}	90.92	-10.29	87.24	87.85	97
L _{Ma}	52.69	-65.44	20.75	68.65	162
C _{Ma}	59.61	-28.98	-46.22	54.56	238
V _{Ma}	28.39	23.63	-44.13	50.06	298
M _{Ma}	49.58	73.93	-9.56	74.55	353
N _{Ma}	18.89	0.0	0.0	0.0	0
W _{Ma}	96.9	0.0	0.0	0.0	0
R _{Ma}	39.92	58.74	27.99	65.07	25
J _{Ma}	81.26	-2.89	71.56	71.62	92
G _{Ma}	52.23	-42.42	13.6	44.55	162
B _{Ma}	30.57	1.41	-46.47	46.49	272

Daten für Maximalfarbe (Ma):

$LAB^*LAB^*_{Ma}$: 65 35 58

$LAB^*LCH^*_{Ma}$: 65 68 58

$lab^*rgb^*_{Ma}$: 1.0 0.5 0.0

$lab^*olv^*_{Ma}$: 1.0 0.42 0.0

Dreiecks-Helligkeit i^*

%Umfang

$u^*_{rel} = 89$

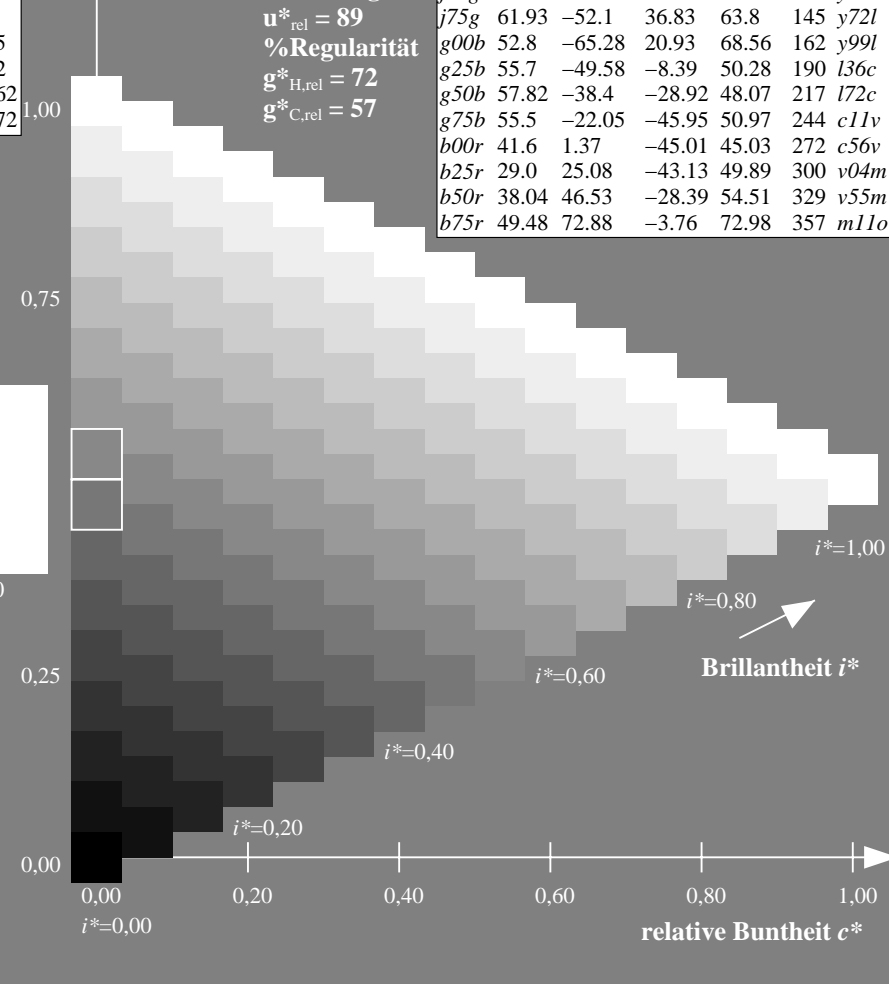
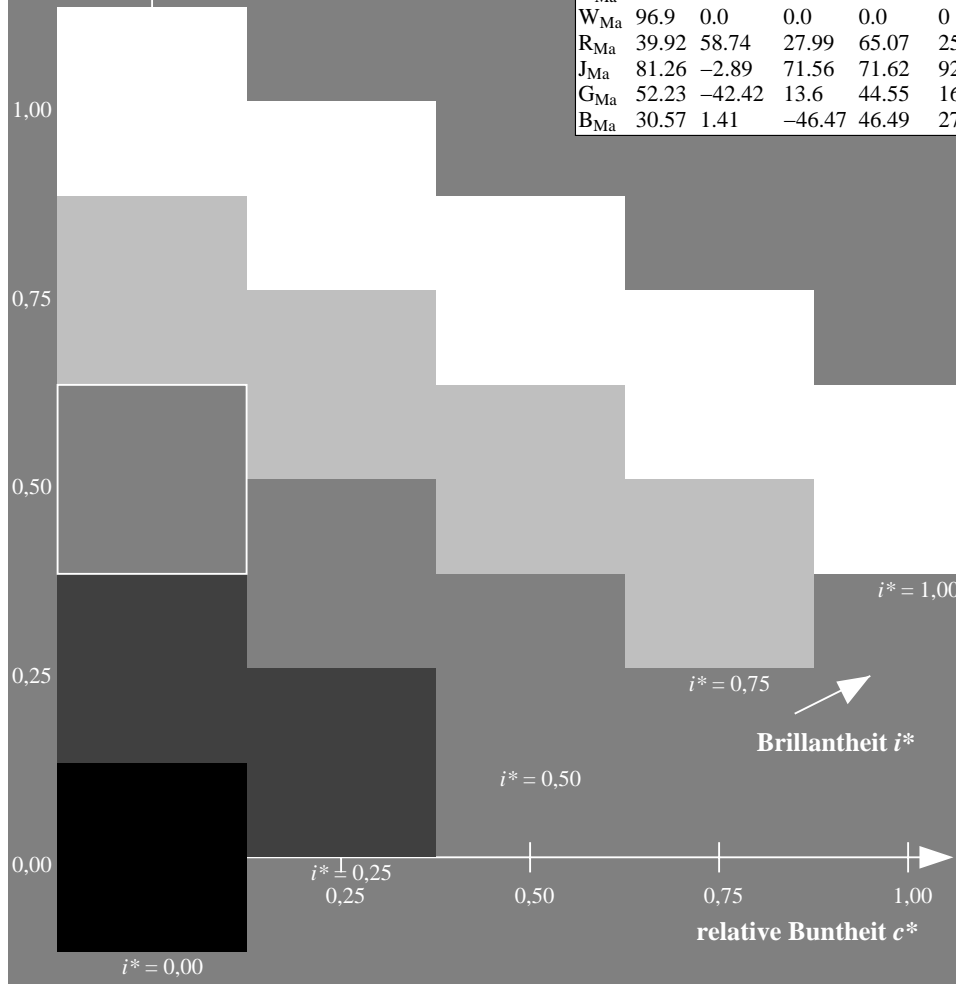
%Regularität

$g^*_{H,rel} = 72$

$g^*_{C,rel} = 57$

ORS19_96a; adaptierte CIELAB-Daten

u^*_e	$L^*=L^*_a$	a^*_a	b^*_a	$C^*_{ab,a}$	$h^*_{ab,a}$	u^*_d
r00j	48.88	66.47	31.67	73.63	25	m84o
r25j	55.85	52.39	47.48	70.7	42	o17y
r50j	65.45	35.22	58.37	68.17	59	o42y
r75j	75.19	17.82	69.41	71.66	76	o67y
j00g	87.03	-3.35	82.83	82.9	92	o92y
j25g	80.72	-25.01	69.5	73.86	110	y20l
j50g	70.64	-39.54	51.97	65.3	127	y46l
j75g	61.93	-52.1	36.83	63.8	145	y72l
g00b	52.8	-65.28	20.93	68.56	162	y99l
g25b	55.7	-49.58	-8.39	50.28	190	l36c
g50b	57.82	-38.4	-28.92	48.07	217	l72c
g75b	55.5	-22.05	-45.95	50.97	244	c11v
b00r	41.6	1.37	-45.01	45.03	272	c56v
b25r	29.0	25.08	-43.13	49.89	300	v04m
b50r	38.04	46.53	-28.39	54.51	329	v55m
b75r	49.48	72.88	-3.76	72.98	357	m11o



Ein und Ausgabe: Farbmetrisches Drucker-Reflektiv-System ORS19_96a für relativen CIELAB-Buntton $h^* = lab^*h^* = h_{ab}/360 = 0.21$

Daten für jede Farbe:

lab^*ch^* und lab^*icu^*

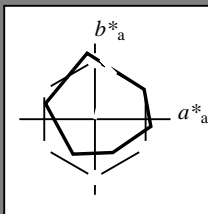
Bunttontexte:

$u^*_e = r75j$ $u^*_d = o67y$

Kontrastreduzierungsfaktor:

$c_R = 1.0$

Dreiecks-Helligkeit i^*



ORS19_96a; adaptierte CIELAB-Daten

u^*_e	$L^*=L^*_a$	a^*_a	b^*_a	$C^*_{ab,a}$	$h^*_{ab,a}$
O _{Ma}	48.75	65.07	39.43	76.08	31
Y _{Ma}	90.92	-10.29	87.24	87.85	97
L _{Ma}	52.69	-65.44	20.75	68.65	162
C _{Ma}	59.61	-28.98	-46.22	54.56	238
V _{Ma}	28.39	23.63	-44.13	50.06	298
M _{Ma}	49.58	73.93	-9.56	74.55	353
N _{Ma}	18.89	0.0	0.0	0.0	0
W _{Ma}	96.9	0.0	0.0	0.0	0
R _{Ma}	39.92	58.74	27.99	65.07	25
J _{Ma}	81.26	-2.89	71.56	71.62	92
G _{Ma}	52.23	-42.42	13.6	44.55	162
B _{Ma}	30.57	1.41	-46.47	46.49	272

Daten für Maximalfarbe (Ma):

$LAB^*LAB^*_{Ma}$: 75 18 69

$LAB^*LCH^*_{Ma}$: 75 72 75

$lab^*rgb^*_{Ma}$: 1.0 0.75 0.0

$lab^*olv^*_{Ma}$: 1.0 0.68 0.0

Dreiecks-Helligkeit i^*

%Umfang

$u^*_{rel} = 89$

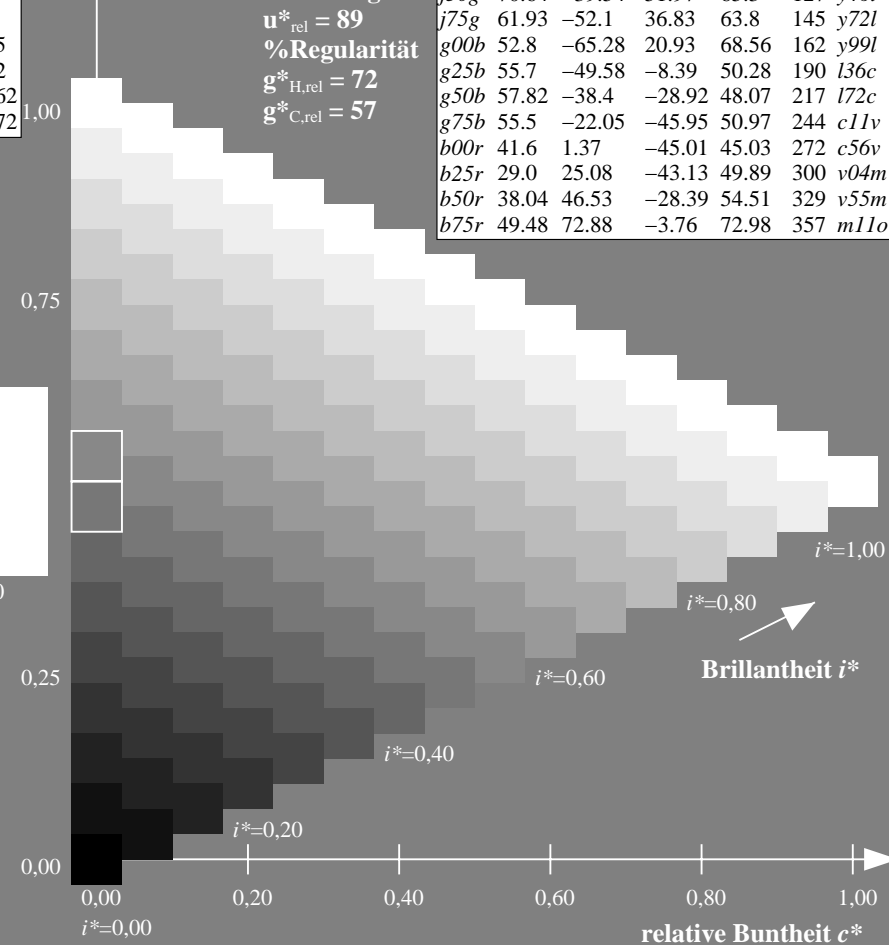
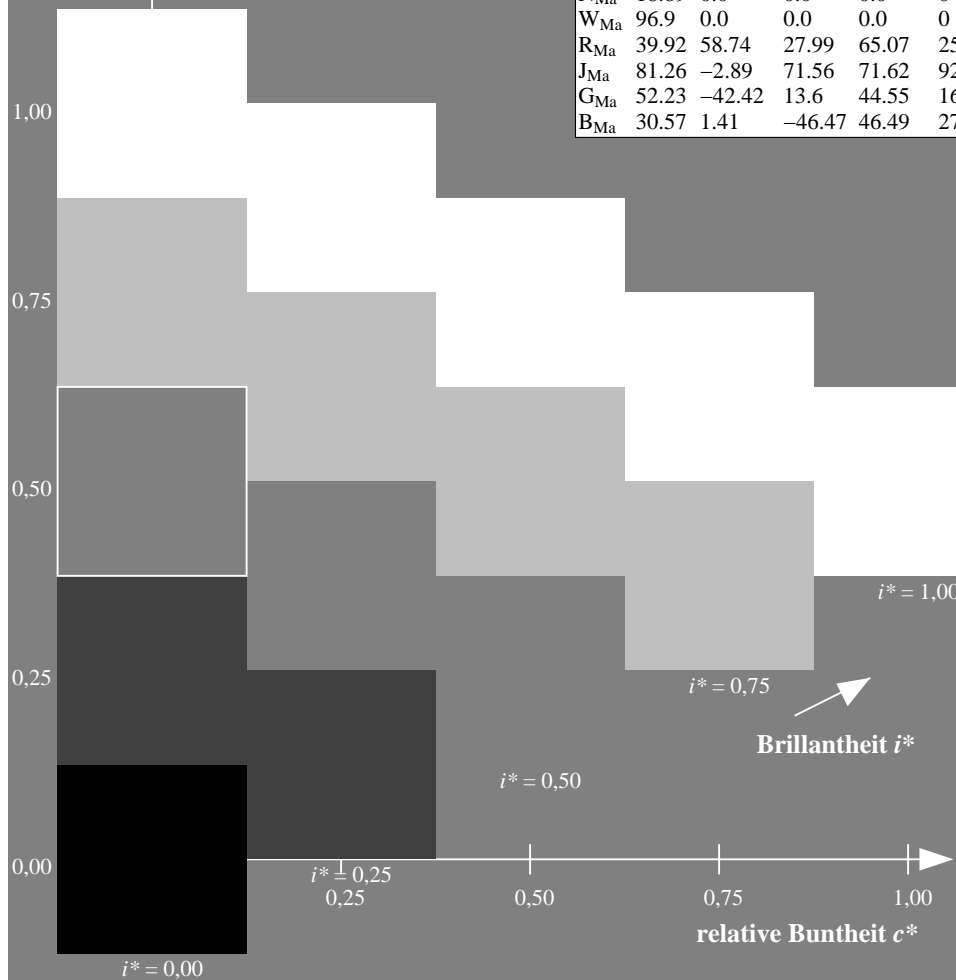
%Regularität

$g^*_{H,rel} = 72$

$g^*_{C,rel} = 57$

ORS19_96a; adaptierte CIELAB-Daten

u^*_e	$L^*=L^*_a$	a^*_a	b^*_a	$C^*_{ab,a}$	$h^*_{ab,a}$	u^*_d
r00j	48.88	66.47	31.67	73.63	25	m84o
r25j	55.85	52.39	47.48	70.7	42	o17y
r50j	65.45	35.22	58.37	68.17	59	o42y
r75j	75.19	17.82	69.41	71.66	76	o67y
j00g	87.03	-3.35	82.83	82.9	92	o92y
j25g	80.72	-25.01	69.5	73.86	110	y20l
j50g	70.64	-39.54	51.97	65.3	127	y46l
j75g	61.93	-52.1	36.83	63.8	145	y72l
g00b	52.8	-65.28	20.93	68.56	162	y99l
g25b	55.7	-49.58	-8.39	50.28	190	l36c
g50b	57.82	-38.4	-28.92	48.07	217	l72c
g75b	55.5	-22.05	-45.95	50.97	244	c11v
b00r	41.6	1.37	-45.01	45.03	272	c56v
b25r	29.0	25.08	-43.13	49.89	300	v04m
b50r	38.04	46.53	-28.39	54.51	329	v55m
b75r	49.48	72.88	-3.76	72.98	357	m11o



Ein und Ausgabe: Farbmetrisches Drucker-Reflektiv-System ORS19_96a für relativen CIELAB-Buntton $h^* = lab^*h^* = h_{ab}/360 = 0.256$

Daten für jede Farbe:

lab^*ch^* und lab^*icu^*

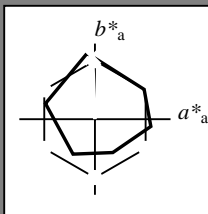
Bunttontexte:

$u^*_e = j00g$ $u^*_d = o92y$

Kontrastreduzierungsfaktor:

$c_R = 1.0$

Dreiecks-Helligkeit i^*



ORS19_96a; adaptierte CIELAB-Daten						
u^*_e	$L^*=L^*_a$	a^*_a	b^*_a	$C^*_{ab,a}$	$h^*_{ab,a}$	
O _{Ma}	48.75	65.07	39.43	76.08	31	
Y _{Ma}	90.92	-10.29	87.24	87.85	97	
L _{Ma}	52.69	-65.44	20.75	68.65	162	
C _{Ma}	59.61	-28.98	-46.22	54.56	238	
V _{Ma}	28.39	23.63	-44.13	50.06	298	
M _{Ma}	49.58	73.93	-9.56	74.55	353	
N _{Ma}	18.89	0.0	0.0	0.0	0	
W _{Ma}	96.9	0.0	0.0	0.0	0	
R _{Ma}	39.92	58.74	27.99	65.07	25	
J _{Ma}	81.26	-2.89	71.56	71.62	92	
G _{Ma}	52.23	-42.42	13.6	44.55	162	
B _{Ma}	30.57	1.41	-46.47	46.49	272	

Daten für Maximalfarbe (Ma):

LAB^*LAB^*Ma : 87 -3 83

LAB^*LCH^*Ma : 87 83 92

lab^*rgb^*Ma : 1.0 1.0 0.0

lab^*olv^*Ma : 1.0 0.93 0.0

Dreiecks-Helligkeit i^*

%Umfang

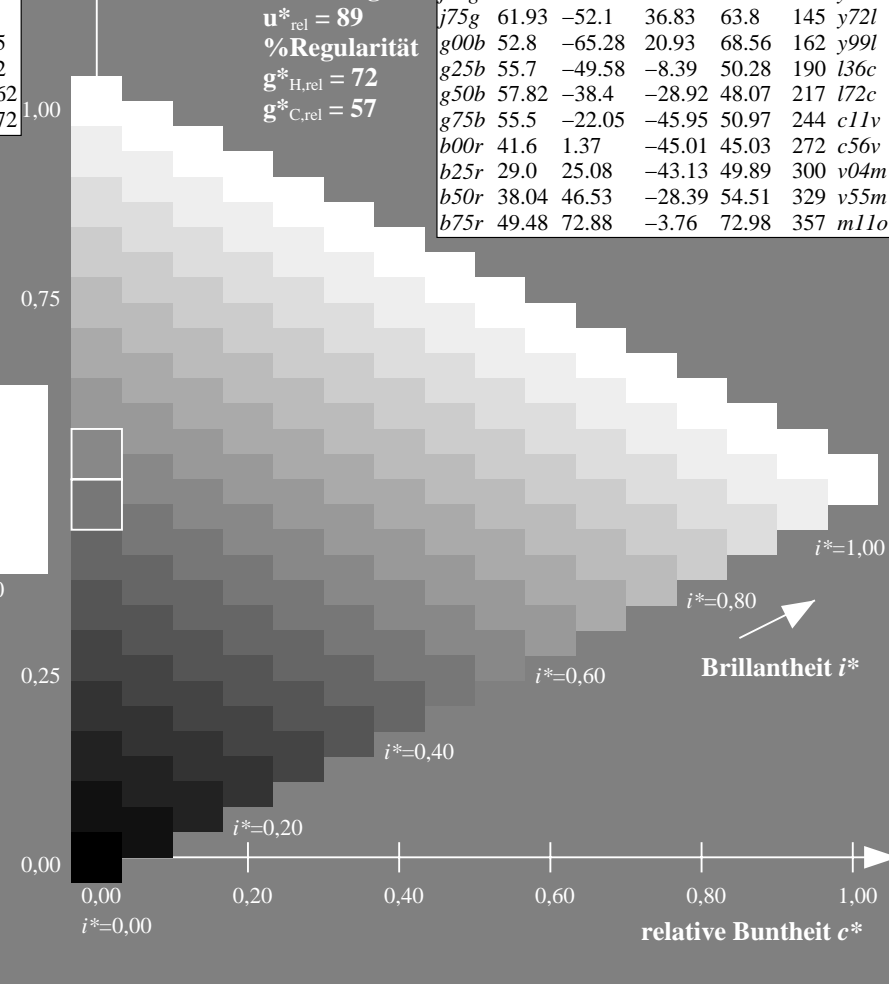
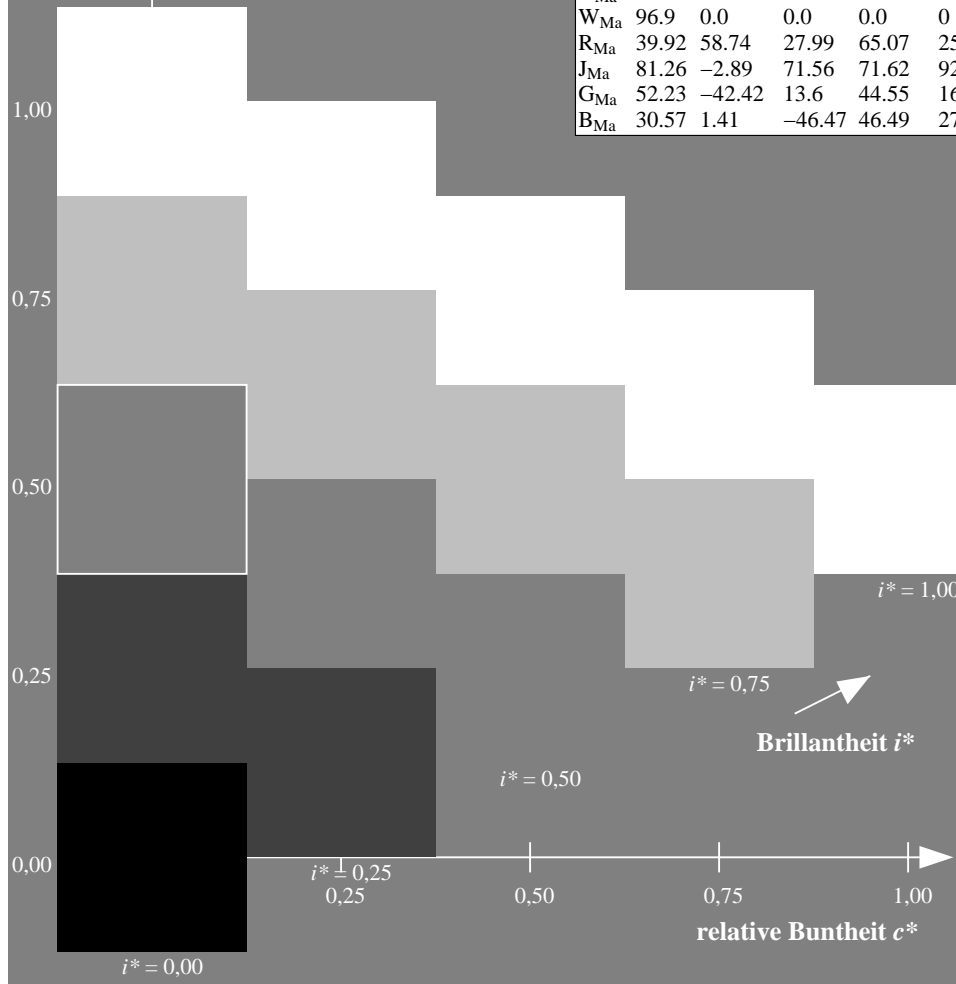
$u^*_{rel} = 89$

%Regularität

$g^*_{H,rel} = 72$

$g^*_{C,rel} = 57$

ORS19_96a; adaptierte CIELAB-Daten						
u^*_e	$L^*=L^*_a$	a^*_a	b^*_a	$C^*_{ab,a}$	$h^*_{ab,a}$	u^*_d
r00j	48.88	66.47	31.67	73.63	25	m84o
r25j	55.85	52.39	47.48	70.7	42	o17y
r50j	65.45	35.22	58.37	68.17	59	o42y
r75j	75.19	17.82	69.41	71.66	76	o67y
j00g	87.03	-3.35	82.83	82.9	92	o92y
j25g	80.72	-25.01	69.5	73.86	110	y20l
j50g	70.64	-39.54	51.97	65.3	127	y46l
j75g	61.93	-52.1	36.83	63.8	145	y72l
g00b	52.8	-65.28	20.93	68.56	162	y99l
g25b	55.7	-49.58	-8.39	50.28	190	l36c
g50b	57.82	-38.4	-28.92	48.07	217	l72c
g75b	55.5	-22.05	-45.95	50.97	244	c11v
b00r	41.6	1.37	-45.01	45.03	272	c56v
b25r	29.0	25.08	-43.13	49.89	300	v04m
b50r	38.04	46.53	-28.39	54.51	329	v55m
b75r	49.48	72.88	-3.76	72.98	357	m11o



Ein und Ausgabe: Farbmetrisches Drucker-Reflektiv-System ORS19_96a für relativen CIELAB-Buntton $h^* = lab^*h^* = h_{ab}/360 = 0.305$

Daten für jede Farbe:

lab^*tch^* und lab^*icu^*

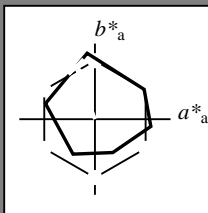
Bunttontexte:

$u^*_e = j25g$ $u^*_d = y20l$

Kontrastreduzierungsfaktor:

$c_R = 1.0$

Dreiecks-Helligkeit i^*



ORS19_96a; adaptierte CIELAB-Daten

u^*_e	$L^*=L^*_a$	a^*_a	b^*_a	$C^*_{ab,a}$	$h^*_{ab,a}$
O _{Ma}	48.75	65.07	39.43	76.08	31
Y _{Ma}	90.92	-10.29	87.24	87.85	97
L _{Ma}	52.69	-65.44	20.75	68.65	162
C _{Ma}	59.61	-28.98	-46.22	54.56	238
V _{Ma}	28.39	23.63	-44.13	50.06	298
M _{Ma}	49.58	73.93	-9.56	74.55	353
N _{Ma}	18.89	0.0	0.0	0.0	0
W _{Ma}	96.9	0.0	0.0	0.0	0
R _{Ma}	39.92	58.74	27.99	65.07	25
J _{Ma}	81.26	-2.89	71.56	71.62	92
G _{Ma}	52.23	-42.42	13.6	44.55	162
B _{Ma}	30.57	1.41	-46.47	46.49	272

Daten für Maximalfarbe (Ma):

$LAB^*LAB^*_{Ma}$: 81 -25 69

$LAB^*LCH^*_{Ma}$: 81 74 109

$lab^*rgb^*_{Ma}$: 0.75 1.0 0.0

$lab^*olv^*_{Ma}$: 0.8 1.0 0.0

Dreiecks-Helligkeit i^*

%Umfang

$u^*_{rel} = 89$

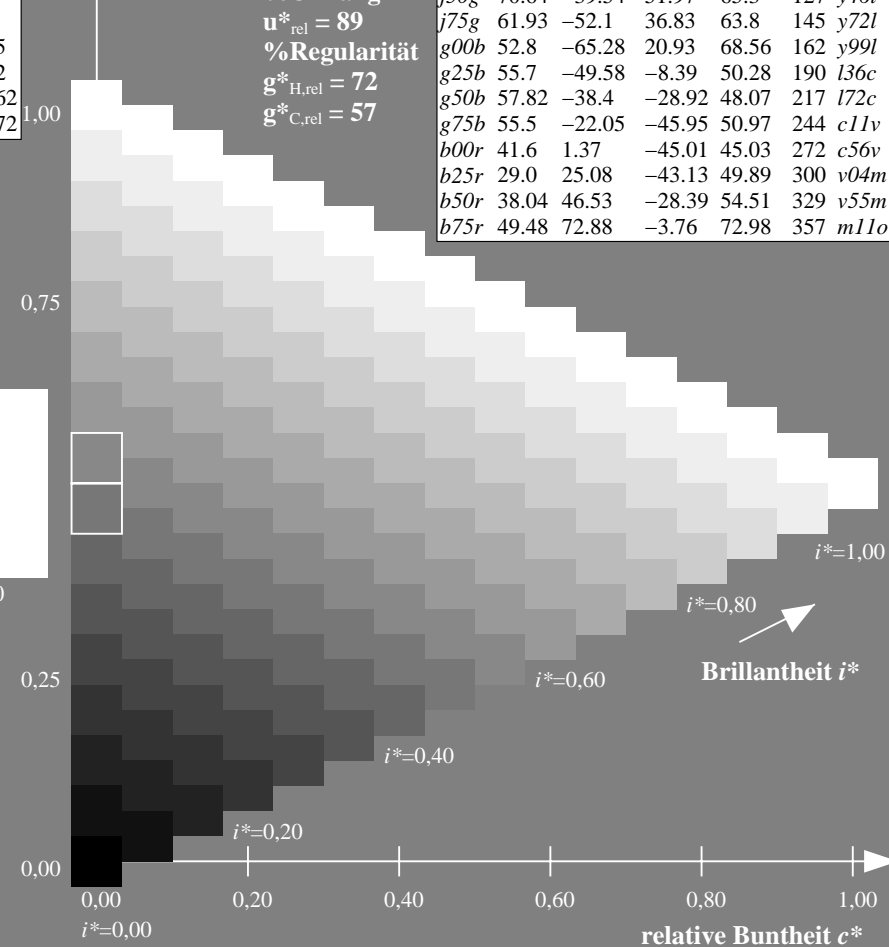
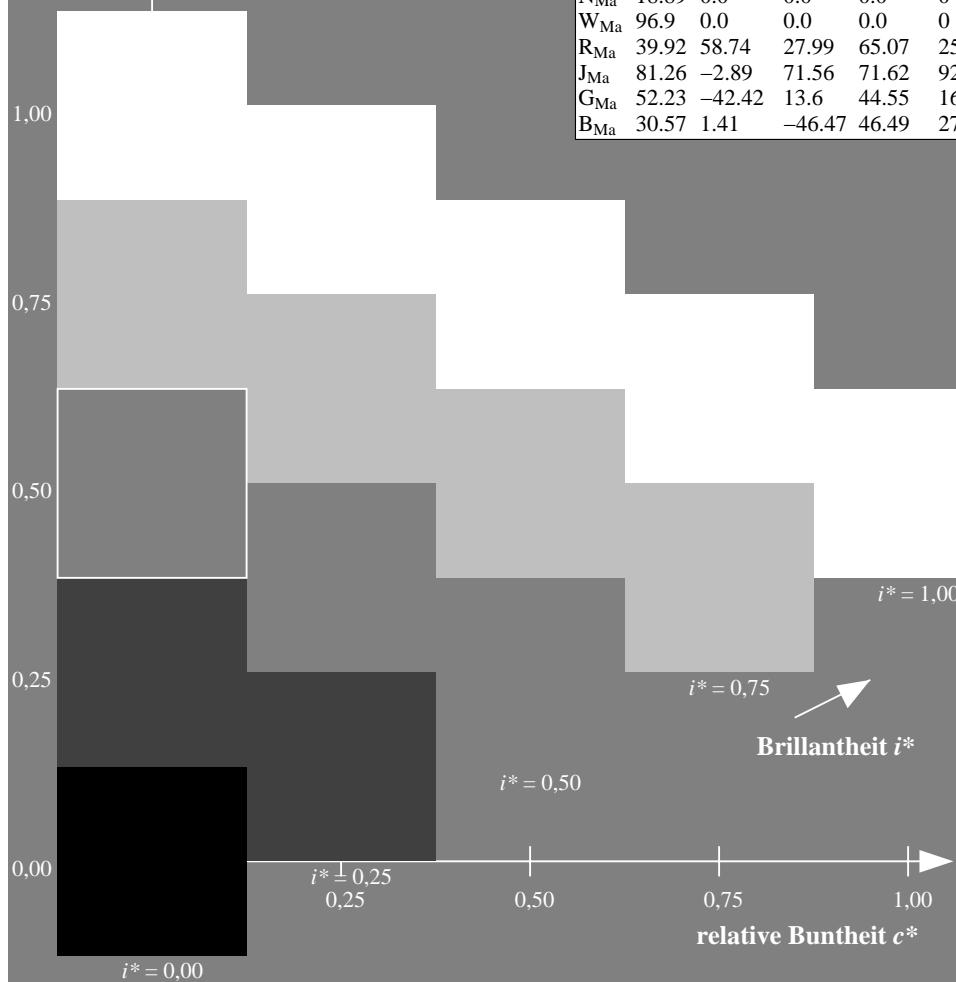
%Regularität

$g^*_{H,rel} = 72$

$g^*_{C,rel} = 57$

ORS19_96a; adaptierte CIELAB-Daten

u^*_e	$L^*=L^*_a$	a^*_a	b^*_a	$C^*_{ab,a}$	$h^*_{ab,a}$	u^*_d
r00j	48.88	66.47	31.67	73.63	25	m84o
r25j	55.85	52.39	47.48	70.7	42	o17y
r50j	65.45	35.22	58.37	68.17	59	o42y
r75j	75.19	17.82	69.41	71.66	76	o67y
j00g	87.03	-3.35	82.83	82.9	92	o92y
j25g	80.72	-25.01	69.5	73.86	110	y20l
j50g	70.64	-39.54	51.97	65.3	127	y46l
j75g	61.93	-52.1	36.83	63.8	145	y72l
g00b	52.8	-65.28	20.93	68.56	162	y99l
g25b	55.7	-49.58	-8.39	50.28	190	l36c
g50b	57.82	-38.4	-28.92	48.07	217	l72c
g75b	55.5	-22.05	-45.95	50.97	244	c11v
b00r	41.6	1.37	-45.01	45.03	272	c56v
b25r	29.0	25.08	-43.13	49.89	300	v04m
b50r	38.04	46.53	-28.39	54.51	329	v55m
b75r	49.48	72.88	-3.76	72.98	357	m11o



Ein und Ausgabe: Farbmetrisches Drucker-Reflektiv-System ORS19_96a für relativen CIELAB-Buntton $h^* = lab^*h^* = h_{ab}/360 = 0.354$

Daten für jede Farbe:

lab^*tch^* und lab^*icu^*

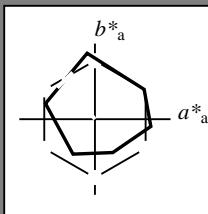
Bunttontexte:

$u^*_e = j50g$ $u^*_d = y46l$

Kontrastreduzierungsfaktor:

$c_R = 1.0$

Dreiecks-Helligkeit i^*



ORS19_96a; adaptierte CIELAB-Daten

u^*_e	$L^*=L^*_a$	a^*_a	b^*_a	$C^*_{ab,a}$	$h^*_{ab,a}$
O _{Ma}	48.75	65.07	39.43	76.08	31
Y _{Ma}	90.92	-10.29	87.24	87.85	97
L _{Ma}	52.69	-65.44	20.75	68.65	162
C _{Ma}	59.61	-28.98	-46.22	54.56	238
V _{Ma}	28.39	23.63	-44.13	50.06	298
M _{Ma}	49.58	73.93	-9.56	74.55	353
N _{Ma}	18.89	0.0	0.0	0.0	0
W _{Ma}	96.9	0.0	0.0	0.0	0
R _{Ma}	39.92	58.74	27.99	65.07	25
J _{Ma}	81.26	-2.89	71.56	71.62	92
G _{Ma}	52.23	-42.42	13.6	44.55	162
B _{Ma}	30.57	1.41	-46.47	46.49	272

Daten für Maximalfarbe (Ma):

$LAB^*LAB^*_{Ma}$: 71 -40 52

$LAB^*LCH^*_{Ma}$: 71 65 127

$lab^*rgb^*_{Ma}$: 0.5 1.0 0.0

$lab^*olv^*_{Ma}$: 0.54 1.0 0.0

Dreiecks-Helligkeit i^*

%Umfang

$u^*_{rel} = 89$

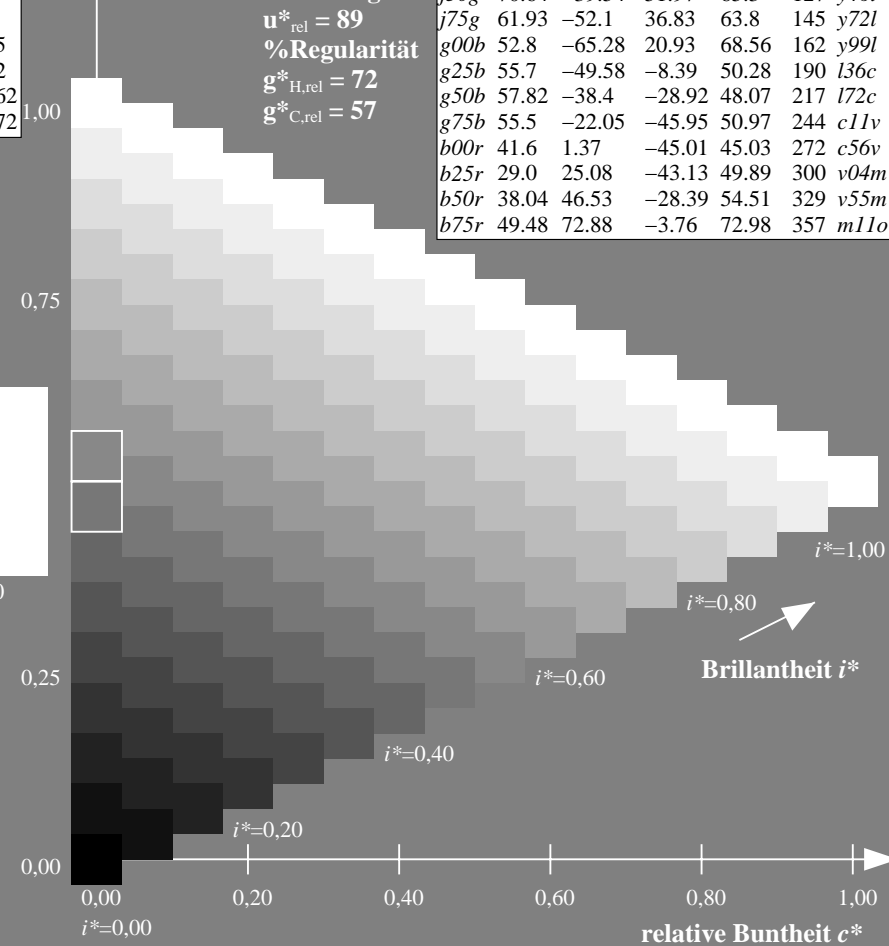
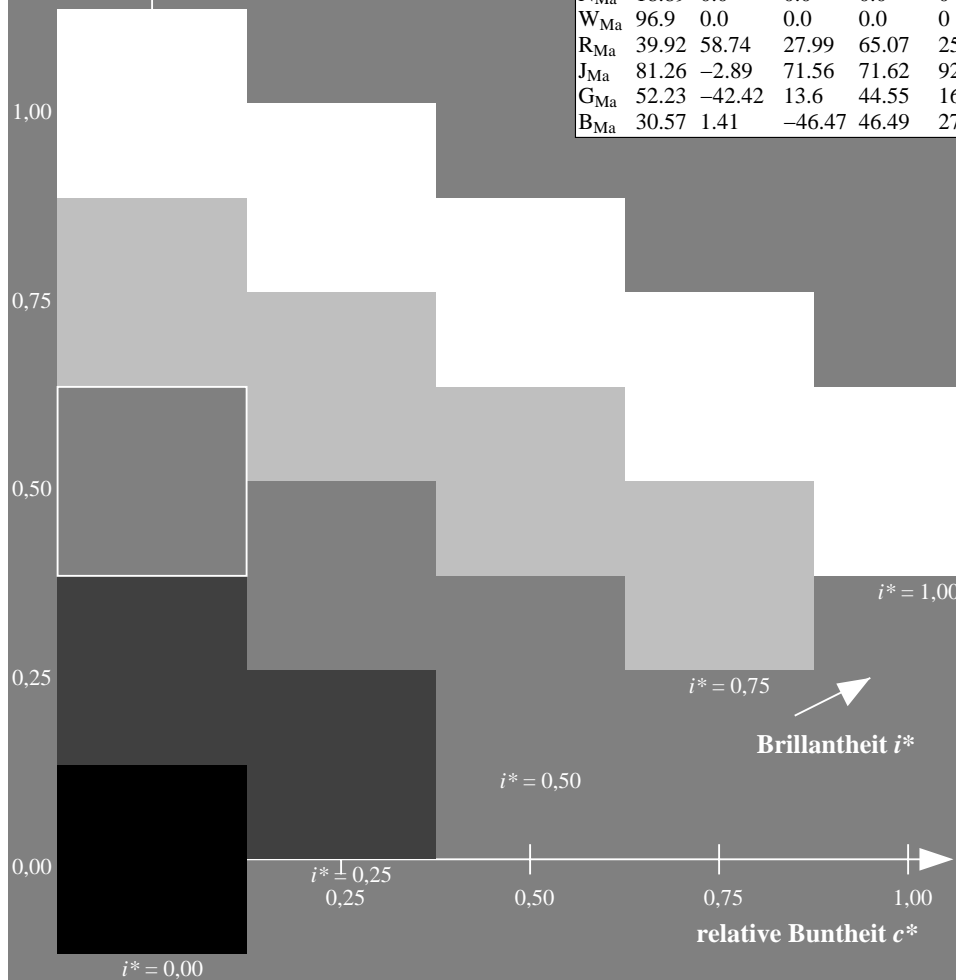
%Regularität

$g^*_{H,rel} = 72$

$g^*_{C,rel} = 57$

ORS19_96a; adaptierte CIELAB-Daten

u^*_e	$L^*=L^*_a$	a^*_a	b^*_a	$C^*_{ab,a}$	$h^*_{ab,a}$	u^*_d
r00j	48.88	66.47	31.67	73.63	25	m84o
r25j	55.85	52.39	47.48	70.7	42	o17y
r50j	65.45	35.22	58.37	68.17	59	o42y
r75j	75.19	17.82	69.41	71.66	76	o67y
j00g	87.03	-3.35	82.83	82.9	92	o92y
j25g	80.72	-25.01	69.5	73.86	110	y20l
j50g	70.64	-39.54	51.97	65.3	127	y46l
j75g	61.93	-52.1	36.83	63.8	145	y72l
g00b	52.8	-65.28	20.93	68.56	162	y99l
g25b	55.7	-49.58	-8.39	50.28	190	l36c
g50b	57.82	-38.4	-28.92	48.07	217	l72c
g75b	55.5	-22.05	-45.95	50.97	244	c11v
b00r	41.6	1.37	-45.01	45.03	272	c56v
b25r	29.0	25.08	-43.13	49.89	300	v04m
b50r	38.04	46.53	-28.39	54.51	329	v55m
b75r	49.48	72.88	-3.76	72.98	357	m11o



Ein und Ausgabe: Farbmetrisches Drucker-Reflektiv-System ORS19_96a für relativen CIELAB-Buntton $h^* = lab^*h^* = h_{ab}/360 = 0.402$

Daten für jede Farbe:

lab^*tch^* und lab^*icu^*

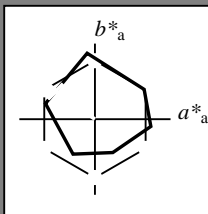
Bunttontexte:

$u_e^* = j75g$ $u_d^* = y72l$

Kontrastreduzierungsfaktor:

$c_R = 1.0$

Dreiecks-Helligkeit i^*



ORS19_96a; adaptierte CIELAB-Daten

u_e^*	$L^*=L_a^*$	a_a^*	b_a^*	$C_{ab,a}^*$	$h_{ab,a}^*$
O _{Ma}	48.75	65.07	39.43	76.08	31
Y _{Ma}	90.92	-10.29	87.24	87.85	97
L _{Ma}	52.69	-65.44	20.75	68.65	162
C _{Ma}	59.61	-28.98	-46.22	54.56	238
V _{Ma}	28.39	23.63	-44.13	50.06	298
M _{Ma}	49.58	73.93	-9.56	74.55	353
N _{Ma}	18.89	0.0	0.0	0.0	0
W _{Ma}	96.9	0.0	0.0	0.0	0
R _{Ma}	39.92	58.74	27.99	65.07	25
J _{Ma}	81.26	-2.89	71.56	71.62	92
G _{Ma}	52.23	-42.42	13.6	44.55	162
B _{Ma}	30.57	1.41	-46.47	46.49	272

Daten für Maximalfarbe (Ma):

LAB^*LAB^*Ma : 62 -52 37

LAB^*LCH^*Ma : 62 64 144

lab^*rgb^*Ma : 0.25 1.0 0.0

lab^*olv^*Ma : 0.27 1.0 0.0

Dreiecks-Helligkeit i^*

%Umfang

$u_{rel}^* = 89$

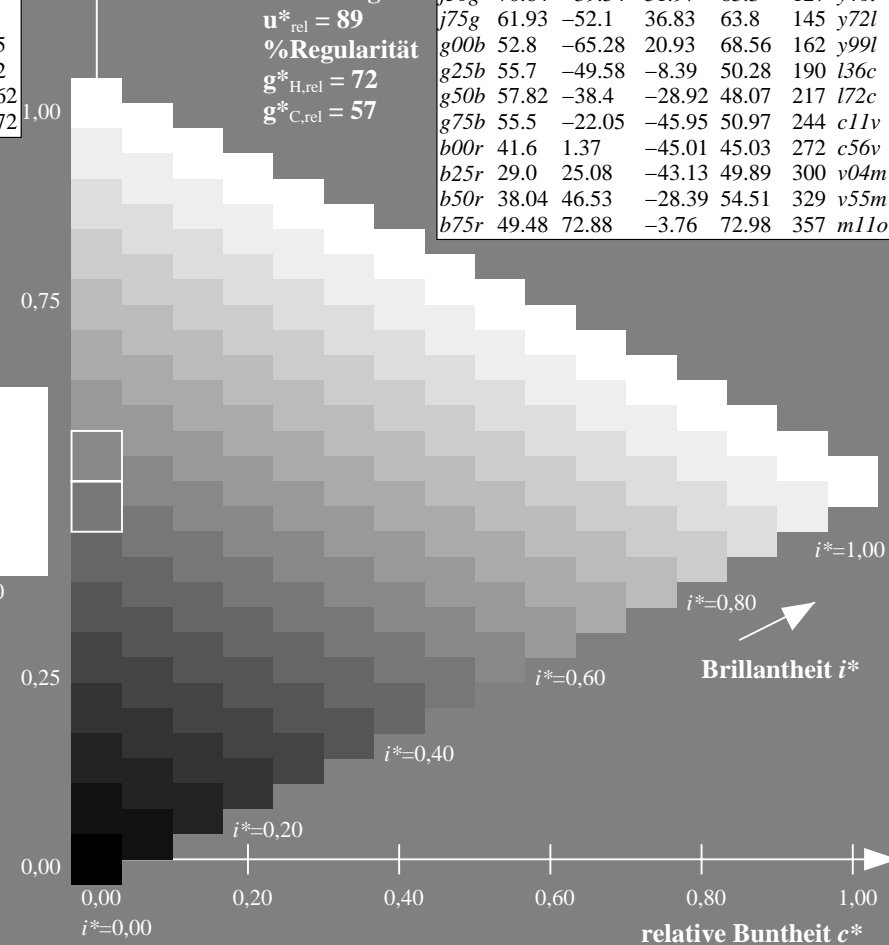
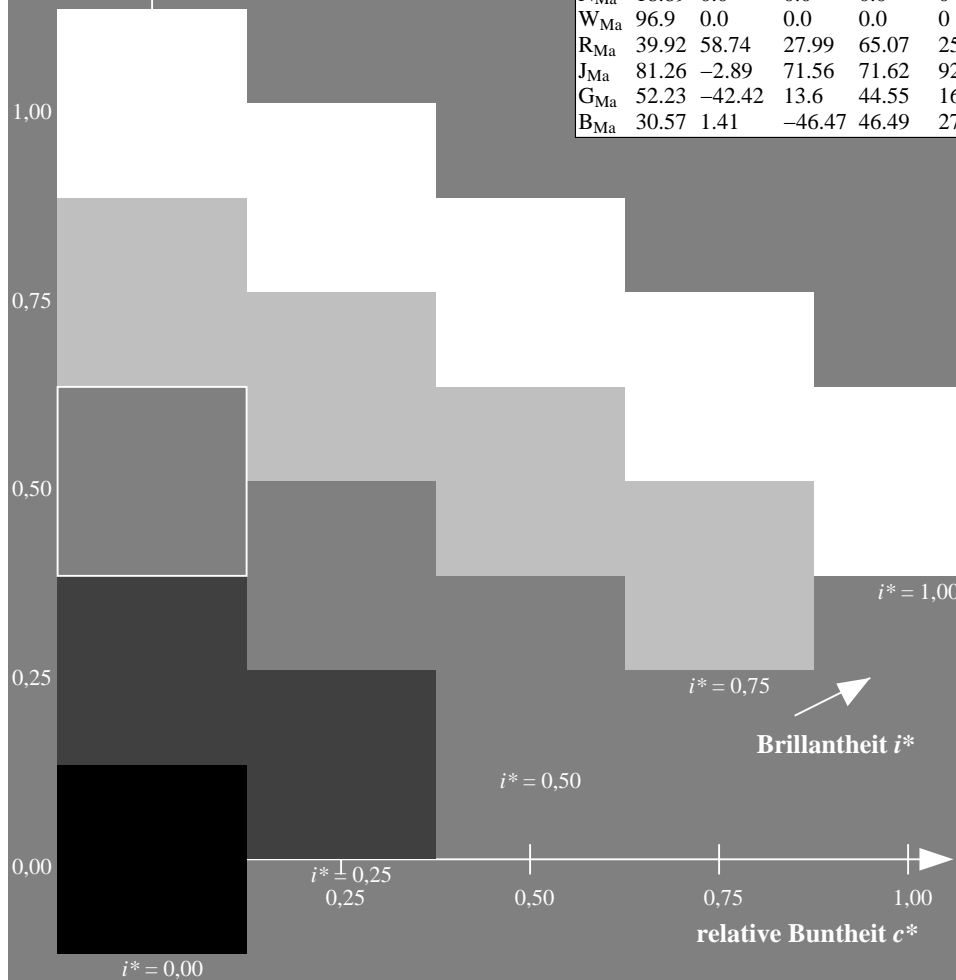
%Regularität

$g_{H,rel}^* = 72$

$g_{C,rel}^* = 57$

ORS19_96a; adaptierte CIELAB-Daten

u_e^*	$L^*=L_a^*$	a_a^*	b_a^*	$C_{ab,a}^*$	$h_{ab,a}^*$	u_d^*
r00j	48.88	66.47	31.67	73.63	25	m84o
r25j	55.85	52.39	47.48	70.7	42	o17y
r50j	65.45	35.22	58.37	68.17	59	o42y
r75j	75.19	17.82	69.41	71.66	76	o67y
j00g	87.03	-3.35	82.83	82.9	92	o92y
j25g	80.72	-25.01	69.5	73.86	110	y20l
j50g	70.64	-39.54	51.97	65.3	127	y46l
j75g	61.93	-52.1	36.83	63.8	145	y72l
g00b	52.8	-65.28	20.93	68.56	162	y99l
g25b	55.7	-49.58	-8.39	50.28	190	l36c
g50b	57.82	-38.4	-28.92	48.07	217	l72c
g75b	55.5	-22.05	-45.95	50.97	244	c11v
b00r	41.6	1.37	-45.01	45.03	272	c56v
b25r	29.0	25.08	-43.13	49.89	300	v04m
b50r	38.04	46.53	-28.39	54.51	329	v55m
b75r	49.48	72.88	-3.76	72.98	357	m11o



Ein und Ausgabe: Farbmetrisches Drucker-Reflektiv-System ORS19_96a für relativen CIELAB-Buntton $h^* = lab^*h^* = h_{ab}/360 = 0.451$

Daten für jede Farbe:

lab^*ch^* und lab^*icu^*

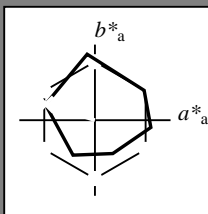
Bunttontexte:

$u^*_e = g00b$ $u^*_d = y99l$

Kontrastreduzierungsfaktor:

$c_R = 1.0$

Dreiecks-Helligkeit i^*



ORS19_96a; adaptierte CIELAB-Daten

u^*_e	$L^*=L^*_a$	a^*_a	b^*_a	$C^*_{ab,a}$	$h^*_{ab,a}$
O _{Ma}	48.75	65.07	39.43	76.08	31
Y _{Ma}	90.92	-10.29	87.24	87.85	97
L _{Ma}	52.69	-65.44	20.75	68.65	162
C _{Ma}	59.61	-28.98	-46.22	54.56	238
V _{Ma}	28.39	23.63	-44.13	50.06	298
M _{Ma}	49.58	73.93	-9.56	74.55	353
N _{Ma}	18.89	0.0	0.0	0.0	0
W _{Ma}	96.9	0.0	0.0	0.0	0
R _{Ma}	39.92	58.74	27.99	65.07	25
J _{Ma}	81.26	-2.89	71.56	71.62	92
G _{Ma}	52.23	-42.42	13.6	44.55	162
B _{Ma}	30.57	1.41	-46.47	46.49	272

Daten für Maximalfarbe (Ma):

$LAB^*LAB^*_{Ma}$: 53 -65 21

$LAB^*LCH^*_{Ma}$: 53 69 162

$lab^*rgb^*_{Ma}$: 0.0 1.0 0.0

$lab^*olv^*_{Ma}$: 0.0 1.0 0.0

Dreiecks-Helligkeit i^*

%Umfang

$u^*_{rel} = 89$

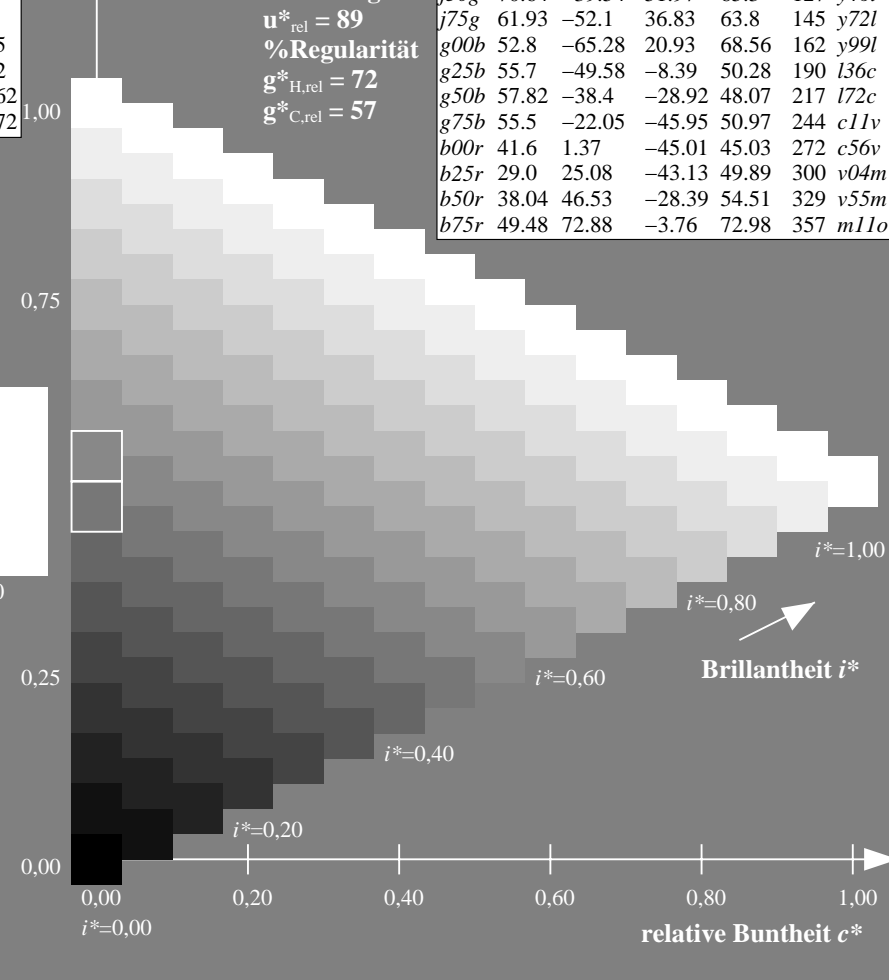
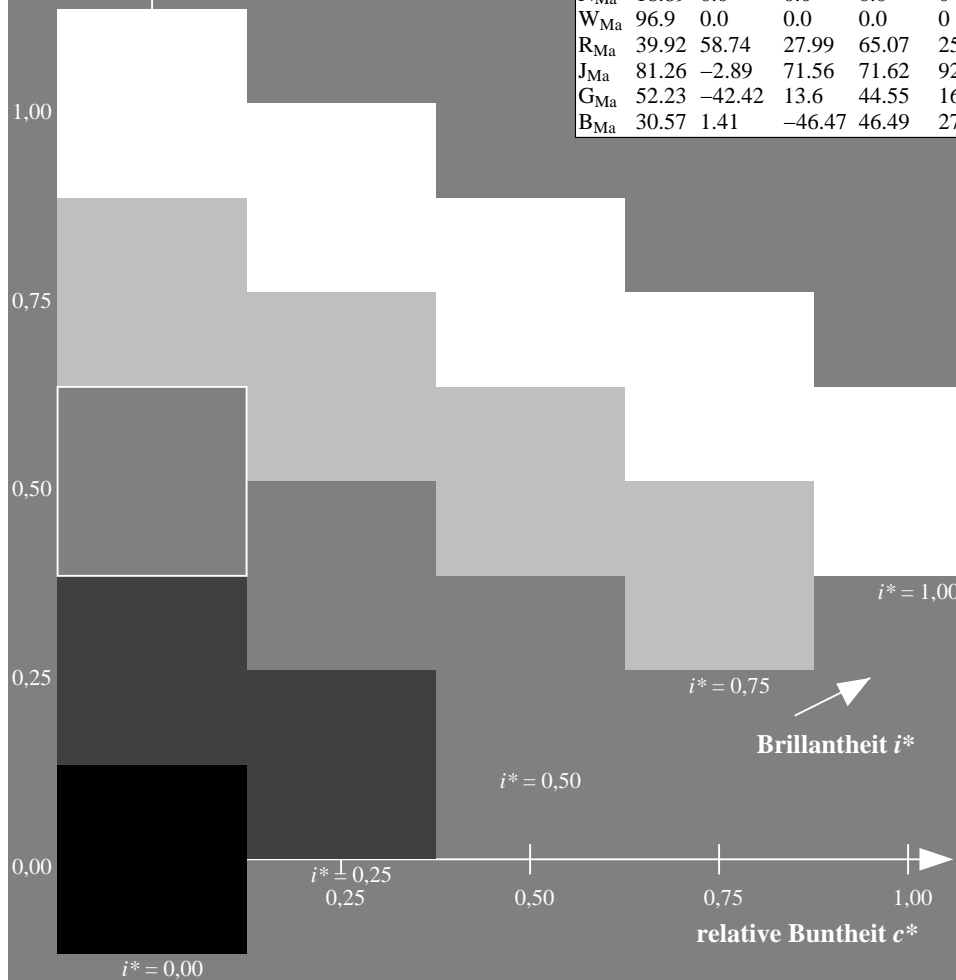
%Regularität

$g^*_{H,rel} = 72$

$g^*_{C,rel} = 57$

ORS19_96a; adaptierte CIELAB-Daten

u^*_e	$L^*=L^*_a$	a^*_a	b^*_a	$C^*_{ab,a}$	$h^*_{ab,a}$	u^*_d
r00j	48.88	66.47	31.67	73.63	25	m84o
r25j	55.85	52.39	47.48	70.7	42	o17y
r50j	65.45	35.22	58.37	68.17	59	o42y
r75j	75.19	17.82	69.41	71.66	76	o67y
j00g	87.03	-3.35	82.83	82.9	92	o92y
j25g	80.72	-25.01	69.5	73.86	110	y20l
j50g	70.64	-39.54	51.97	65.3	127	y46l
j75g	61.93	-52.1	36.83	63.8	145	y72l
g00b	52.8	-65.28	20.93	68.56	162	y99l
g25b	55.7	-49.58	-8.39	50.28	190	l36c
g50b	57.82	-38.4	-28.92	48.07	217	l72c
g75b	55.5	-22.05	-45.95	50.97	244	c11v
b00r	41.6	1.37	-45.01	45.03	272	c56v
b25r	29.0	25.08	-43.13	49.89	300	v04m
b50r	38.04	46.53	-28.39	54.51	329	v55m
b75r	49.48	72.88	-3.76	72.98	357	m11o



Ein und Ausgabe: Farbmetrisches Drucker-Reflektiv-System ORS19_96a für relativen CIELAB-Buntton $h^* = lab^*h^* = h_{ab}/360 = 0.527$

Daten für jede Farbe:

lab^*ch^* und lab^*icu^*

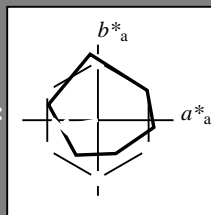
Bunttontexte:

$u^*_e = g25b$ $u^*_d = l36c$

Kontrastreduzierungsfaktor:

$c_R = 1.0$

Dreiecks-Helligkeit i^*



ORS19_96a; adaptierte CIELAB-Daten

u^*_e	$L^*=L^*_a$	a^*_a	b^*_a	$C^*_{ab,a}$	$h^*_{ab,a}$
O _{Ma}	48.75	65.07	39.43	76.08	31
Y _{Ma}	90.92	-10.29	87.24	87.85	97
L _{Ma}	52.69	-65.44	20.75	68.65	162
C _{Ma}	59.61	-28.98	-46.22	54.56	238
V _{Ma}	28.39	23.63	-44.13	50.06	298
M _{Ma}	49.58	73.93	-9.56	74.55	353
N _{Ma}	18.89	0.0	0.0	0.0	0
W _{Ma}	96.9	0.0	0.0	0.0	0
R _{Ma}	39.92	58.74	27.99	65.07	25
J _{Ma}	81.26	-2.89	71.56	71.62	92
G _{Ma}	52.23	-42.42	13.6	44.55	162
B _{Ma}	30.57	1.41	-46.47	46.49	272

Daten für Maximalfarbe (Ma):

$LAB^*LAB^*_{Ma}$: 56 -50 -8

$LAB^*LCH^*_{Ma}$: 56 50 189

$lab^*rgb^*_{Ma}$: 0.0 1.0 0.5

$lab^*olv^*_{Ma}$: 0.0 1.0 0.36

Dreiecks-Helligkeit i^*

%Umfang

$u^*_{rel} = 89$

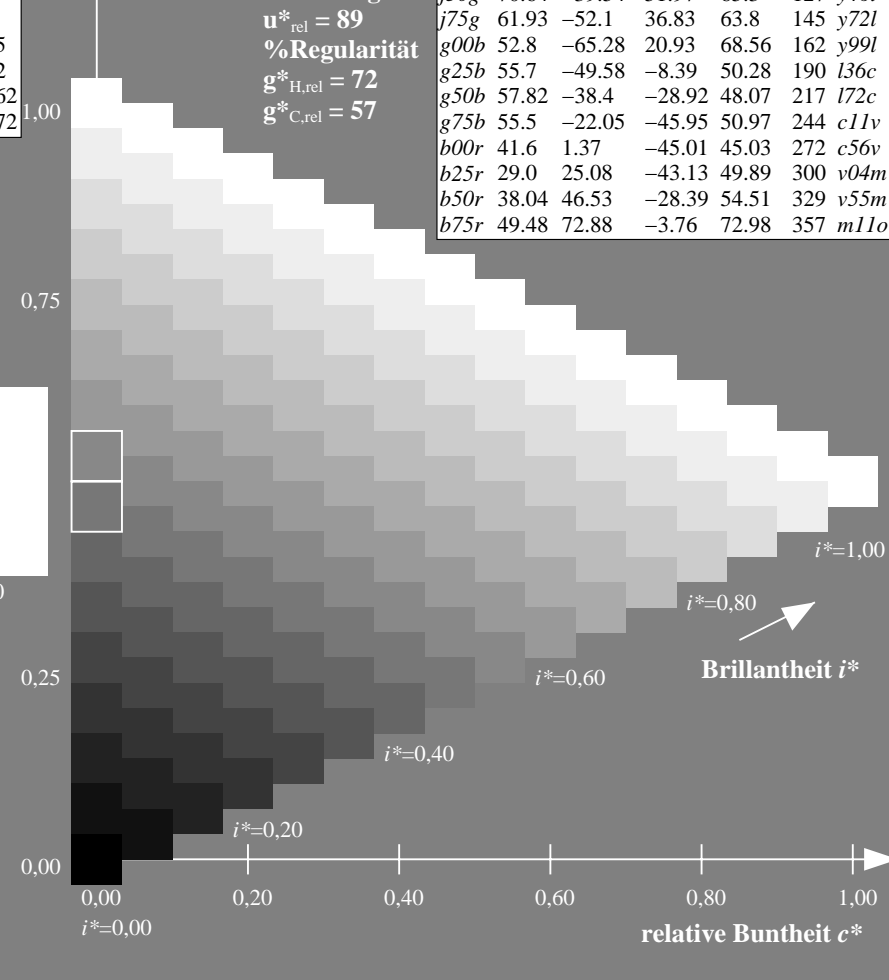
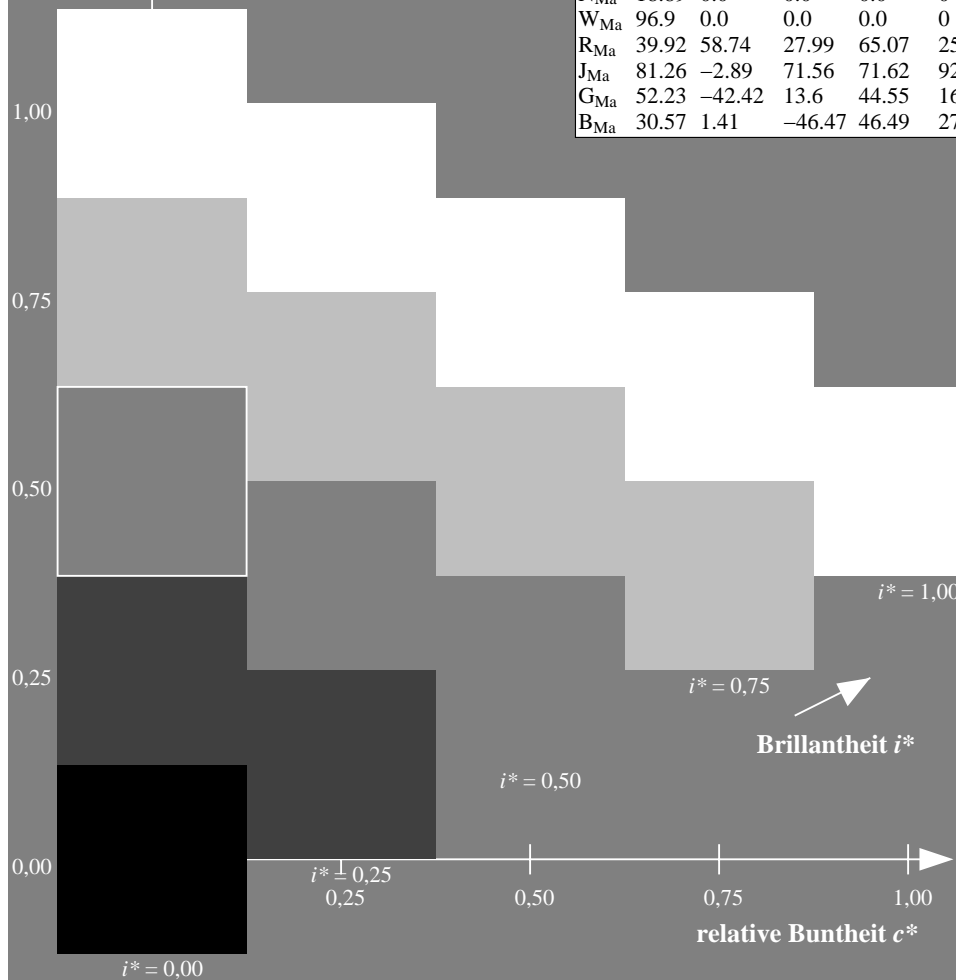
%Regularität

$g^*_{H,rel} = 72$

$g^*_{C,rel} = 57$

ORS19_96a; adaptierte CIELAB-Daten

u^*_e	$L^*=L^*_a$	a^*_a	b^*_a	$C^*_{ab,a}$	$h^*_{ab,a}$	u^*_d
r00j	48.88	66.47	31.67	73.63	25	m84o
r25j	55.85	52.39	47.48	70.7	42	o17y
r50j	65.45	35.22	58.37	68.17	59	o42y
r75j	75.19	17.82	69.41	71.66	76	o67y
j00g	87.03	-3.35	82.83	82.9	92	o92y
j25g	80.72	-25.01	69.5	73.86	110	y20l
j50g	70.64	-39.54	51.97	65.3	127	y46l
j75g	61.93	-52.1	36.83	63.8	145	y72l
g00b	52.8	-65.28	20.93	68.56	162	y99l
g25b	55.7	-49.58	-8.39	50.28	190	l36c
g50b	57.82	-38.4	-28.92	48.07	217	l72c
g75b	55.5	-22.05	-45.95	50.97	244	c11v
b00r	41.6	1.37	-45.01	45.03	272	c56v
b25r	29.0	25.08	-43.13	49.89	300	v04m
b50r	38.04	46.53	-28.39	54.51	329	v55m
b75r	49.48	72.88	-3.76	72.98	357	m11o



Ein und Ausgabe: Farbmetrisches Drucker-Reflektiv-System ORS19_96a für relativen CIELAB-Buntton $h^* = lab^*h^* = h_{ab}/360 = 0.603$

Daten für jede Farbe:

lab^*ch^* und lab^*icu^*

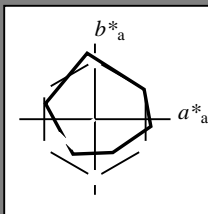
Bunttontexte:

$u^*_e = g50b$ $u^*_d = l72c$

Kontrastreduzierungsfaktor:

$c_R = 1.0$

Dreiecks-Helligkeit i^*



ORS19_96a; adaptierte CIELAB-Daten

u^*_e	$L^*=L^*_a$	a^*_a	b^*_a	$C^*_{ab,a}$	$h^*_{ab,a}$
O _{Ma}	48.75	65.07	39.43	76.08	31
Y _{Ma}	90.92	-10.29	87.24	87.85	97
L _{Ma}	52.69	-65.44	20.75	68.65	162
C _{Ma}	59.61	-28.98	-46.22	54.56	238
V _{Ma}	28.39	23.63	-44.13	50.06	298
M _{Ma}	49.58	73.93	-9.56	74.55	353
N _{Ma}	18.89	0.0	0.0	0.0	0
W _{Ma}	96.9	0.0	0.0	0.0	0
R _{Ma}	39.92	58.74	27.99	65.07	25
J _{Ma}	81.26	-2.89	71.56	71.62	92
G _{Ma}	52.23	-42.42	13.6	44.55	162
B _{Ma}	30.57	1.41	-46.47	46.49	272

Daten für Maximalfarbe (Ma):

$LAB^*LAB^*_{Ma}$: 58 -38 -29

$LAB^*LCH^*_{Ma}$: 58 48 216

$lab^*rgb^*_{Ma}$: 0.0 1.0 1.0

$lab^*olv^*_{Ma}$: 0.0 1.0 0.72

Dreiecks-Helligkeit i^*

%Umfang

$u^*_{rel} = 89$

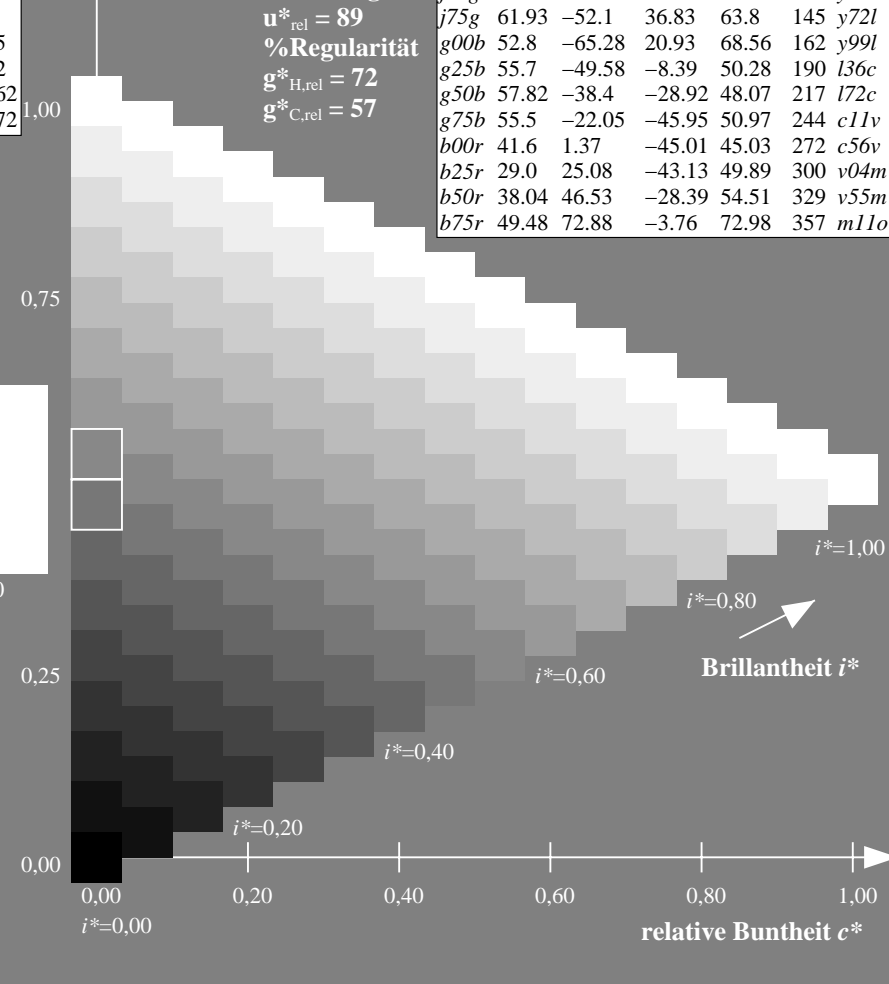
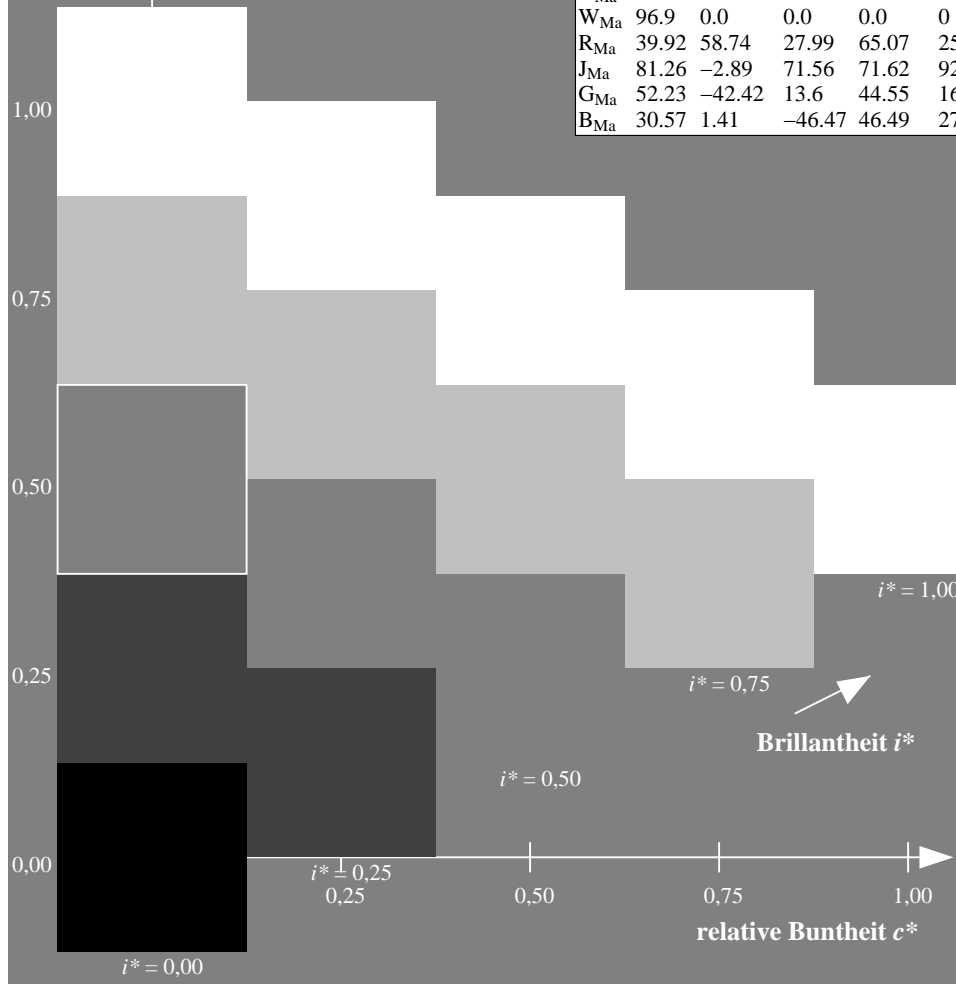
%Regularität

$g^*_{H,rel} = 72$

$g^*_{C,rel} = 57$

ORS19_96a; adaptierte CIELAB-Daten

u^*_e	$L^*=L^*_a$	a^*_a	b^*_a	$C^*_{ab,a}$	$h^*_{ab,a}$	u^*_d
r00j	48.88	66.47	31.67	73.63	25	m84o
r25j	55.85	52.39	47.48	70.7	42	o17y
r50j	65.45	35.22	58.37	68.17	59	o42y
r75j	75.19	17.82	69.41	71.66	76	o67y
j00g	87.03	-3.35	82.83	82.9	92	o92y
j25g	80.72	-25.01	69.5	73.86	110	y20l
j50g	70.64	-39.54	51.97	65.3	127	y46l
j75g	61.93	-52.1	36.83	63.8	145	y72l
g00b	52.8	-65.28	20.93	68.56	162	y99l
g25b	55.7	-49.58	-8.39	50.28	190	l36c
g50b	57.82	-38.4	-28.92	48.07	217	l72c
g75b	55.5	-22.05	-45.95	50.97	244	c11v
b00r	41.6	1.37	-45.01	45.03	272	c56v
b25r	29.0	25.08	-43.13	49.89	300	v04m
b50r	38.04	46.53	-28.39	54.51	329	v55m
b75r	49.48	72.88	-3.76	72.98	357	m11o



Ein und Ausgabe: Farbmetrisches Drucker-Reflektiv-System ORS19_96a für relativen CIELAB-Buntton $h^* = lab^*h^* = h_{ab}/360 = 0.679$

Daten für jede Farbe:

lab^*ch^* und lab^*icu^*

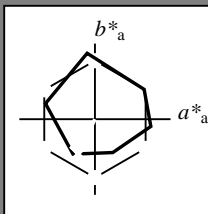
Bunttontexte:

$u^*_e = g75b$ $u^*_d = c11v$

Kontrastreduzierungsfaktor:

$c_R = 1.0$

Dreiecks-Helligkeit i^*



ORS19_96a; adaptierte CIELAB-Daten

u^*_e	$L^*=L^*_a$	a^*_a	b^*_a	$C^*_{ab,a}$	$h^*_{ab,a}$
O _{Ma}	48.75	65.07	39.43	76.08	31
Y _{Ma}	90.92	-10.29	87.24	87.85	97
L _{Ma}	52.69	-65.44	20.75	68.65	162
C _{Ma}	59.61	-28.98	-46.22	54.56	238
V _{Ma}	28.39	23.63	-44.13	50.06	298
M _{Ma}	49.58	73.93	-9.56	74.55	353
N _{Ma}	18.89	0.0	0.0	0.0	0
W _{Ma}	96.9	0.0	0.0	0.0	0
R _{Ma}	39.92	58.74	27.99	65.07	25
J _{Ma}	81.26	-2.89	71.56	71.62	92
G _{Ma}	52.23	-42.42	13.6	44.55	162
B _{Ma}	30.57	1.41	-46.47	46.49	272

Daten für Maximalfarbe (Ma):

$LAB^*LAB^*_{Ma}$: 55 -22 -46

$LAB^*LCH^*_{Ma}$: 55 51 244

$lab^*rgb^*_{Ma}$: 0.0 0.5 1.0

$lab^*olv^*_{Ma}$: 0.0 0.89 1.0

Dreiecks-Helligkeit i^*

%Umfang

$u^*_{rel} = 89$

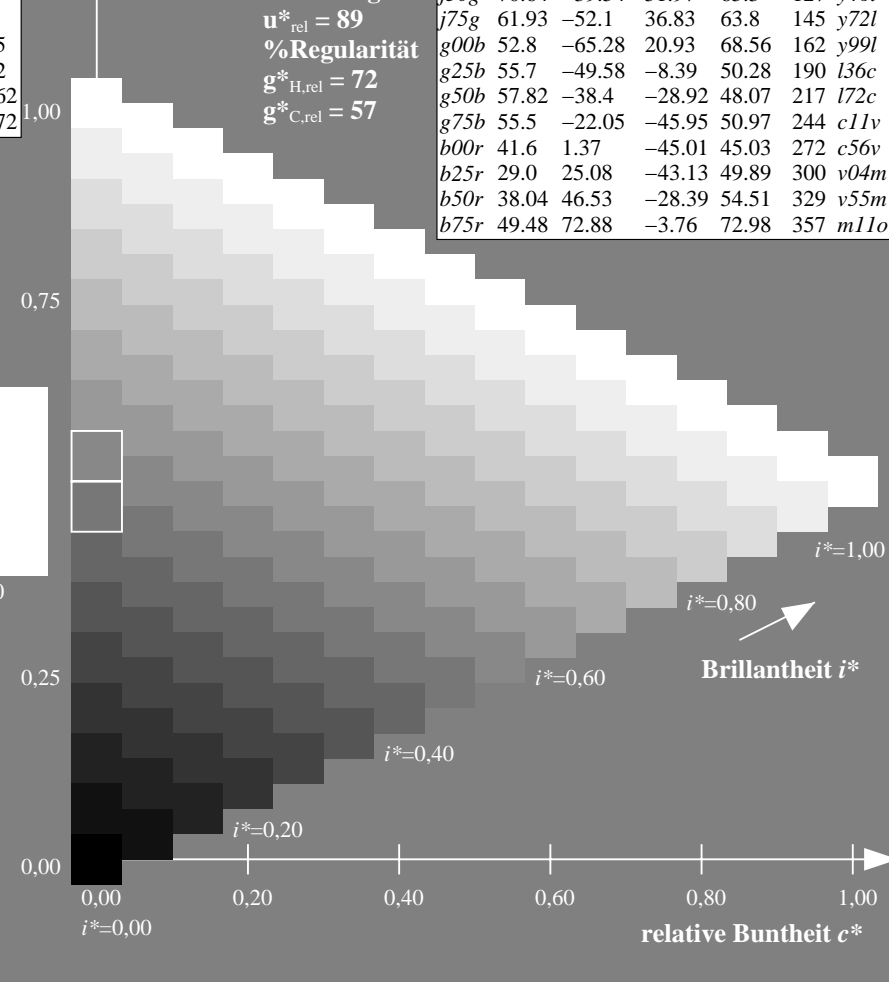
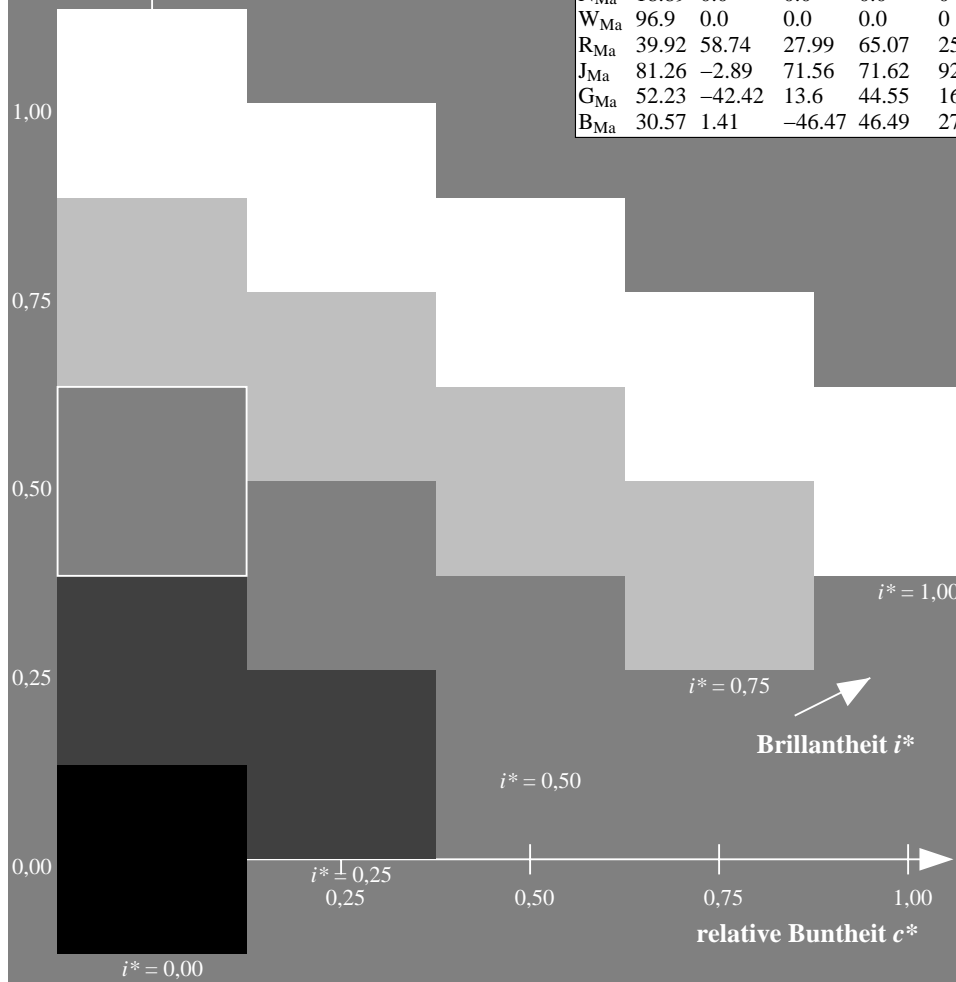
%Regularität

$g^*_{H,rel} = 72$

$g^*_{C,rel} = 57$

ORS19_96a; adaptierte CIELAB-Daten

u^*_e	$L^*=L^*_a$	a^*_a	b^*_a	$C^*_{ab,a}$	$h^*_{ab,a}$	u^*_d
r00j	48.88	66.47	31.67	73.63	25	m84o
r25j	55.85	52.39	47.48	70.7	42	o17y
r50j	65.45	35.22	58.37	68.17	59	o42y
r75j	75.19	17.82	69.41	71.66	76	o67y
j00g	87.03	-3.35	82.83	82.9	92	o92y
j25g	80.72	-25.01	69.5	73.86	110	y20l
j50g	70.64	-39.54	51.97	65.3	127	y46l
j75g	61.93	-52.1	36.83	63.8	145	y72l
g00b	52.8	-65.28	20.93	68.56	162	y99l
g25b	55.7	-49.58	-8.39	50.28	190	l36c
g50b	57.82	-38.4	-28.92	48.07	217	l72c
g75b	55.5	-22.05	-45.95	50.97	244	c11v
b00r	41.6	1.37	-45.01	45.03	272	c56v
b25r	29.0	25.08	-43.13	49.89	300	v04m
b50r	38.04	46.53	-28.39	54.51	329	v55m
b75r	49.48	72.88	-3.76	72.98	357	m11o



Ein und Ausgabe: Farbmetrisches Drucker-Reflektiv-System ORS19_96a für relativen CIELAB-Buntton $h^* = lab^*h^* = h_{ab}/360 = 0.755$

Daten für jede Farbe:

lab^*ch^* und lab^*icu^*

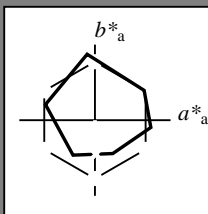
Bunttontexte:

$u^*_e = b00r$ $u^*_d = c56v$

Kontrastreduzierungsfaktor:

$c_R = 1.0$

Dreiecks-Helligkeit i^*



ORS19_96a; adaptierte CIELAB-Daten

u^*_e	$L^*=L^*_a$	a^*_a	b^*_a	$C^*_{ab,a}$	$h^*_{ab,a}$
O _{Ma}	48.75	65.07	39.43	76.08	31
Y _{Ma}	90.92	-10.29	87.24	87.85	97
L _{Ma}	52.69	-65.44	20.75	68.65	162
C _{Ma}	59.61	-28.98	-46.22	54.56	238
V _{Ma}	28.39	23.63	-44.13	50.06	298
M _{Ma}	49.58	73.93	-9.56	74.55	353
N _{Ma}	18.89	0.0	0.0	0.0	0
W _{Ma}	96.9	0.0	0.0	0.0	0
R _{Ma}	39.92	58.74	27.99	65.07	25
J _{Ma}	81.26	-2.89	71.56	71.62	92
G _{Ma}	52.23	-42.42	13.6	44.55	162
B _{Ma}	30.57	1.41	-46.47	46.49	272

Daten für Maximalfarbe (Ma):

$LAB^*LAB^*_{Ma}$: 42 1 -45

$LAB^*LCH^*_{Ma}$: 42 45 271

$lab^*rgb^*_{Ma}$: 0.0 0.0 1.0

$lab^*olv^*_{Ma}$: 0.0 0.44 1.0

Dreiecks-Helligkeit i^*

%Umfang

$u^*_{rel} = 89$

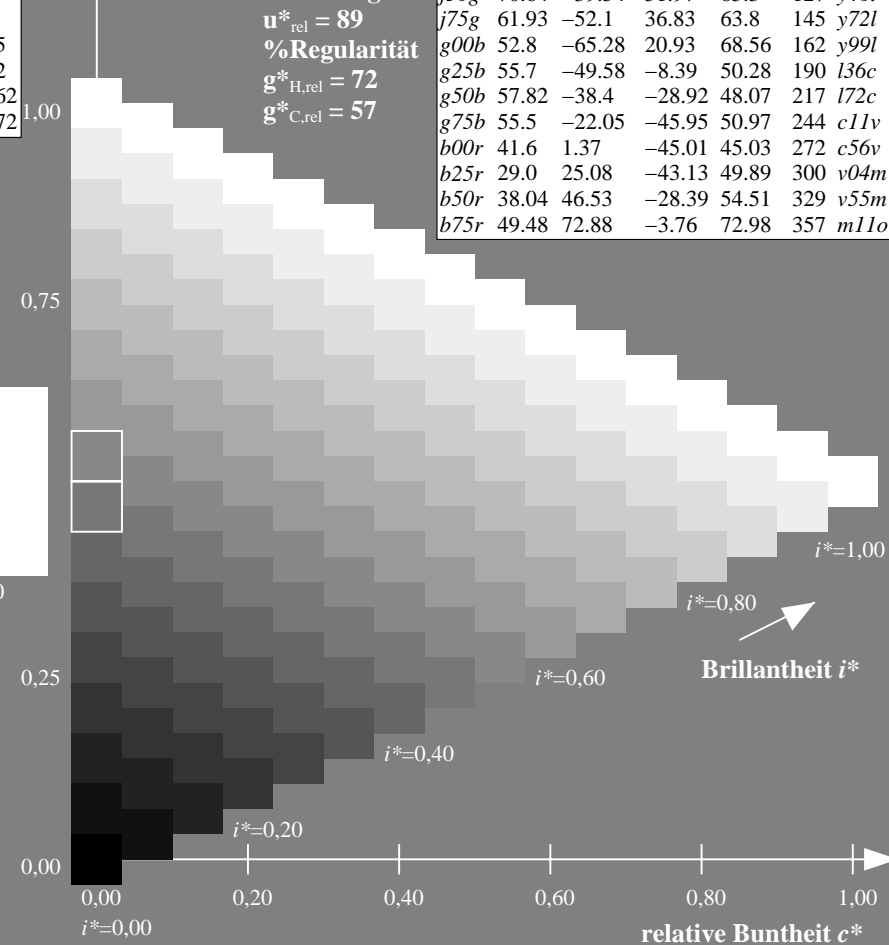
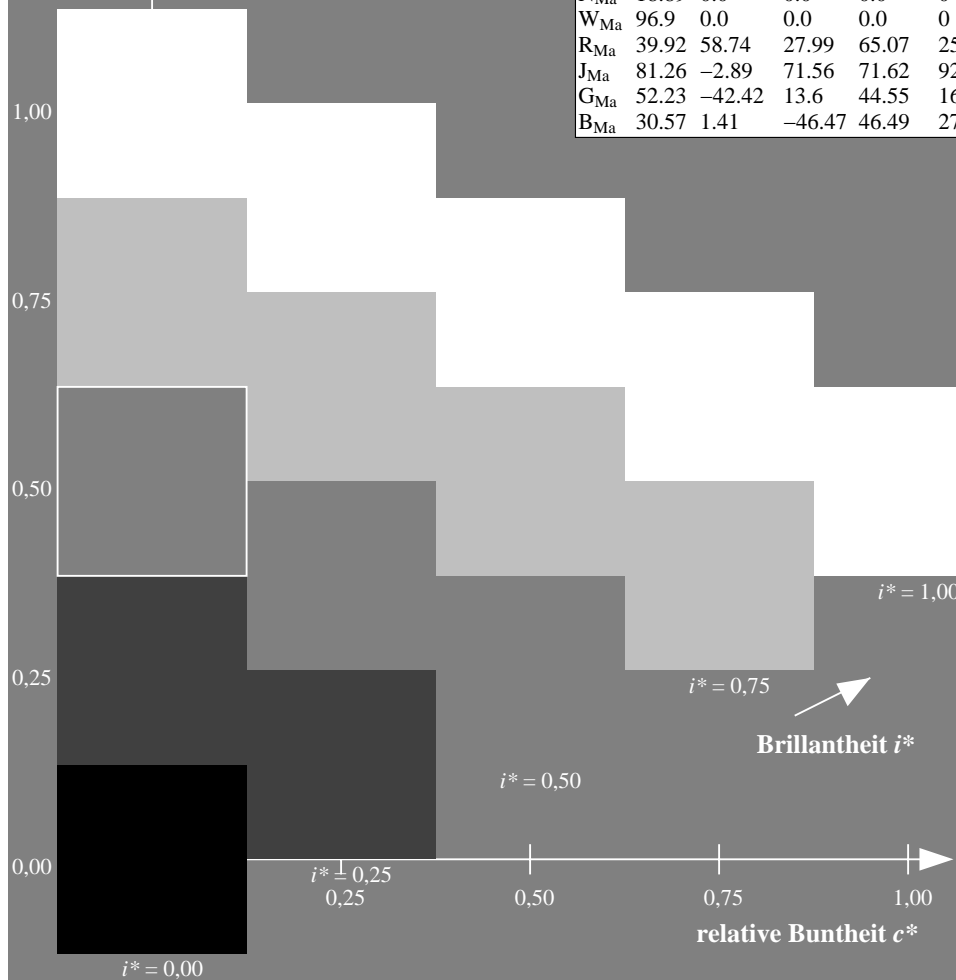
%Regularität

$g^*_{H,rel} = 72$

$g^*_{C,rel} = 57$

ORS19_96a; adaptierte CIELAB-Daten

u^*_e	$L^*=L^*_a$	a^*_a	b^*_a	$C^*_{ab,a}$	$h^*_{ab,a}$	u^*_d
r00j	48.88	66.47	31.67	73.63	25	m84o
r25j	55.85	52.39	47.48	70.7	42	o17y
r50j	65.45	35.22	58.37	68.17	59	o42y
r75j	75.19	17.82	69.41	71.66	76	o67y
j00g	87.03	-3.35	82.83	82.9	92	o92y
j25g	80.72	-25.01	69.5	73.86	110	y20l
j50g	70.64	-39.54	51.97	65.3	127	y46l
j75g	61.93	-52.1	36.83	63.8	145	y72l
g00b	52.8	-65.28	20.93	68.56	162	y99l
g25b	55.7	-49.58	-8.39	50.28	190	l36c
g50b	57.82	-38.4	-28.92	48.07	217	l72c
g75b	55.5	-22.05	-45.95	50.97	244	c11v
b00r	41.6	1.37	-45.01	45.03	272	c56v
b25r	29.0	25.08	-43.13	49.89	300	v04m
b50r	38.04	46.53	-28.39	54.51	329	v55m
b75r	49.48	72.88	-3.76	72.98	357	m11o



Ein und Ausgabe: Farbmetrisches Drucker-Reflektiv-System ORS19_96a für relativen CIELAB-Buntton $h^* = lab^*h^* = h_{ab}/360 = 0.834$

Daten für jede Farbe:

lab^*tch^* und lab^*icu^*

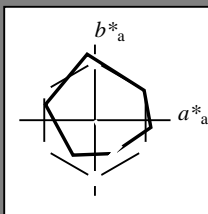
Bunttontexte:

$u^*_e = b25r$ $u^*_d = v04m$

Kontrastreduzierungsfaktor:

$c_R = 1.0$

Dreiecks-Helligkeit i^*



ORS19_96a; adaptierte CIELAB-Daten

u^*_e	$L^*=L^*_a$	a^*_a	b^*_a	$C^*_{ab,a}$	$h^*_{ab,a}$
O _{Ma}	48.75	65.07	39.43	76.08	31
Y _{Ma}	90.92	-10.29	87.24	87.85	97
L _{Ma}	52.69	-65.44	20.75	68.65	162
C _{Ma}	59.61	-28.98	-46.22	54.56	238
V _{Ma}	28.39	23.63	-44.13	50.06	298
M _{Ma}	49.58	73.93	-9.56	74.55	353
N _{Ma}	18.89	0.0	0.0	0.0	0
W _{Ma}	96.9	0.0	0.0	0.0	0
R _{Ma}	39.92	58.74	27.99	65.07	25
J _{Ma}	81.26	-2.89	71.56	71.62	92
G _{Ma}	52.23	-42.42	13.6	44.55	162
B _{Ma}	30.57	1.41	-46.47	46.49	272

Daten für Maximalfarbe (Ma):

$LAB^*LAB^*_{Ma}$: 29 25 -43

$LAB^*LCH^*_{Ma}$: 29 50 300

$lab^*rgb^*_{Ma}$: 0.5 0.0 1.0

$lab^*olv^*_{Ma}$: 0.04 0.0 1.0

Dreiecks-Helligkeit i^*

%Umfang

$u^*_{rel} = 89$

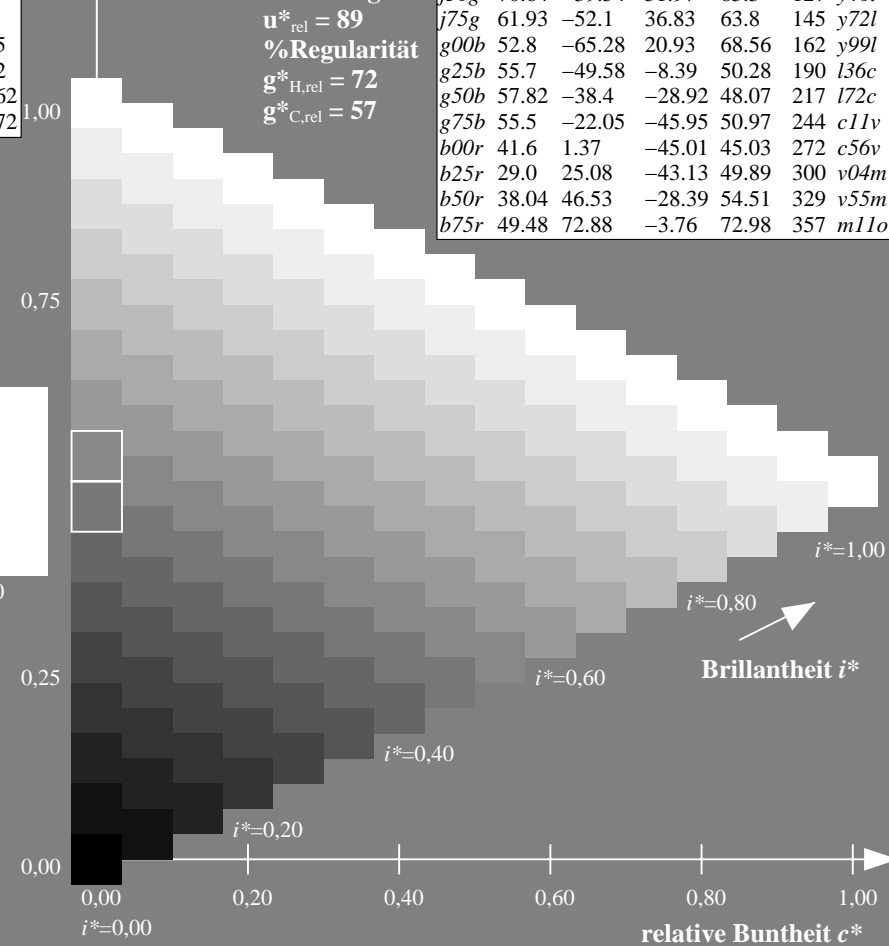
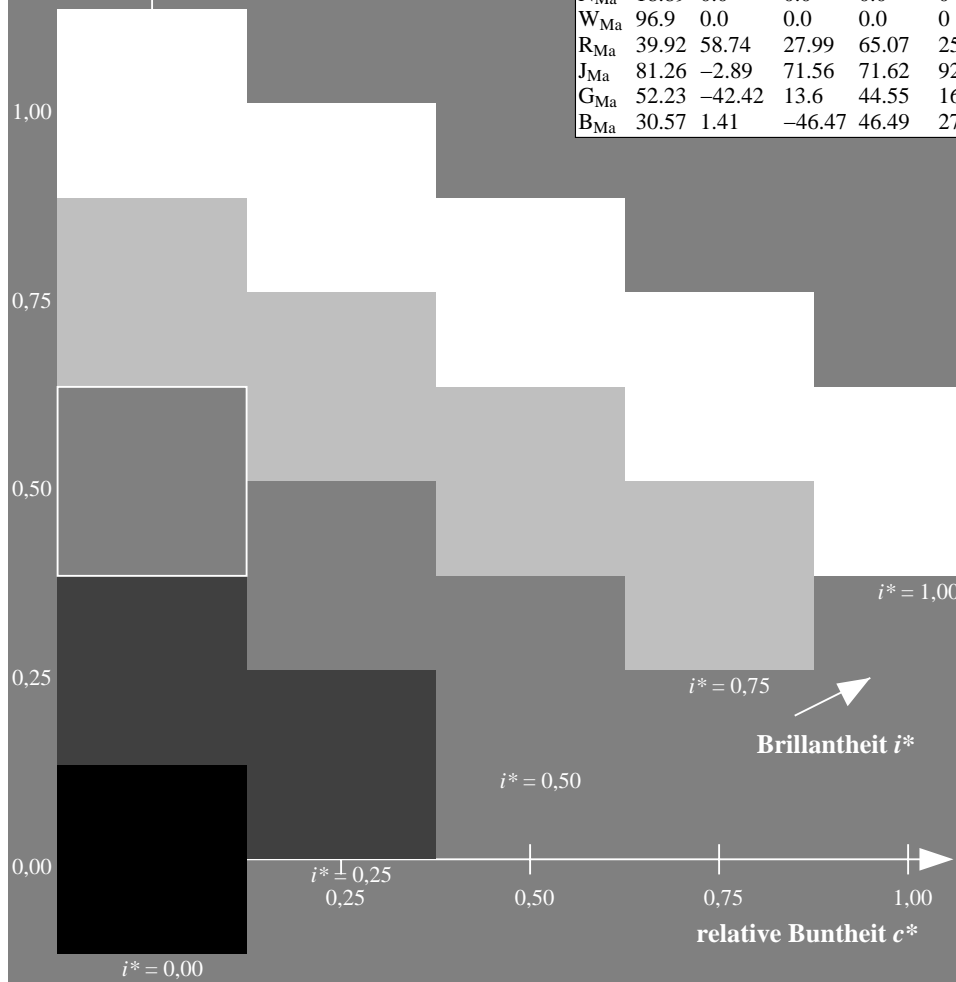
%Regularität

$g^*_{H,rel} = 72$

$g^*_{C,rel} = 57$

ORS19_96a; adaptierte CIELAB-Daten

u^*_e	$L^*=L^*_a$	a^*_a	b^*_a	$C^*_{ab,a}$	$h^*_{ab,a}$	u^*_d
r00j	48.88	66.47	31.67	73.63	25	m84o
r25j	55.85	52.39	47.48	70.7	42	o17y
r50j	65.45	35.22	58.37	68.17	59	o42y
r75j	75.19	17.82	69.41	71.66	76	o67y
j00g	87.03	-3.35	82.83	82.9	92	o92y
j25g	80.72	-25.01	69.5	73.86	110	y20l
j50g	70.64	-39.54	51.97	65.3	127	y46l
j75g	61.93	-52.1	36.83	63.8	145	y72l
g00b	52.8	-65.28	20.93	68.56	162	y99l
g25b	55.7	-49.58	-8.39	50.28	190	l36c
g50b	57.82	-38.4	-28.92	48.07	217	l72c
g75b	55.5	-22.05	-45.95	50.97	244	c11v
b00r	41.6	1.37	-45.01	45.03	272	c56v
b25r	29.0	25.08	-43.13	49.89	300	v04m
b50r	38.04	46.53	-28.39	54.51	329	v55m
b75r	49.48	72.88	-3.76	72.98	357	m11o



Ein und Ausgabe: Farbmetrisches Drucker-Reflektiv-System ORS19_96a für relativen CIELAB-Buntton $h^* = lab^*h^* = h_{ab}/360 = 0.913$

Daten für jede Farbe:

lab^*tch^* und lab^*icu^*

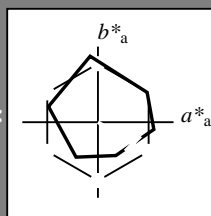
Bunttontexte:

$u^*_e = b50r$ $u^*_d = v55m$

Kontrastreduzierungsfaktor:

$c_R = 1.0$

Dreiecks-Helligkeit i^*



ORS19_96a; adaptierte CIELAB-Daten						
u^*_e	$L^*=L^*_a$	a^*_a	b^*_a	$C^*_{ab,a}$	$h^*_{ab,a}$	
O _{Ma}	48.75	65.07	39.43	76.08	31	
Y _{Ma}	90.92	-10.29	87.24	87.85	97	
L _{Ma}	52.69	-65.44	20.75	68.65	162	
C _{Ma}	59.61	-28.98	-46.22	54.56	238	
V _{Ma}	28.39	23.63	-44.13	50.06	298	
M _{Ma}	49.58	73.93	-9.56	74.55	353	
N _{Ma}	18.89	0.0	0.0	0.0	0	
W _{Ma}	96.9	0.0	0.0	0.0	0	
R _{Ma}	39.92	58.74	27.99	65.07	25	
J _{Ma}	81.26	-2.89	71.56	71.62	92	
G _{Ma}	52.23	-42.42	13.6	44.55	162	
B _{Ma}	30.57	1.41	-46.47	46.49	272	

Daten für Maximalfarbe (Ma):

$LAB^*LAB^*_{Ma}$: 38 47 -28

$LAB^*LCH^*_{Ma}$: 38 55 328

$lab^*rgb^*_{Ma}$: 1.0 0.0 1.0

$lab^*olv^*_{Ma}$: 0.56 0.0 1.0

Dreiecks-Helligkeit i^*

%Umfang

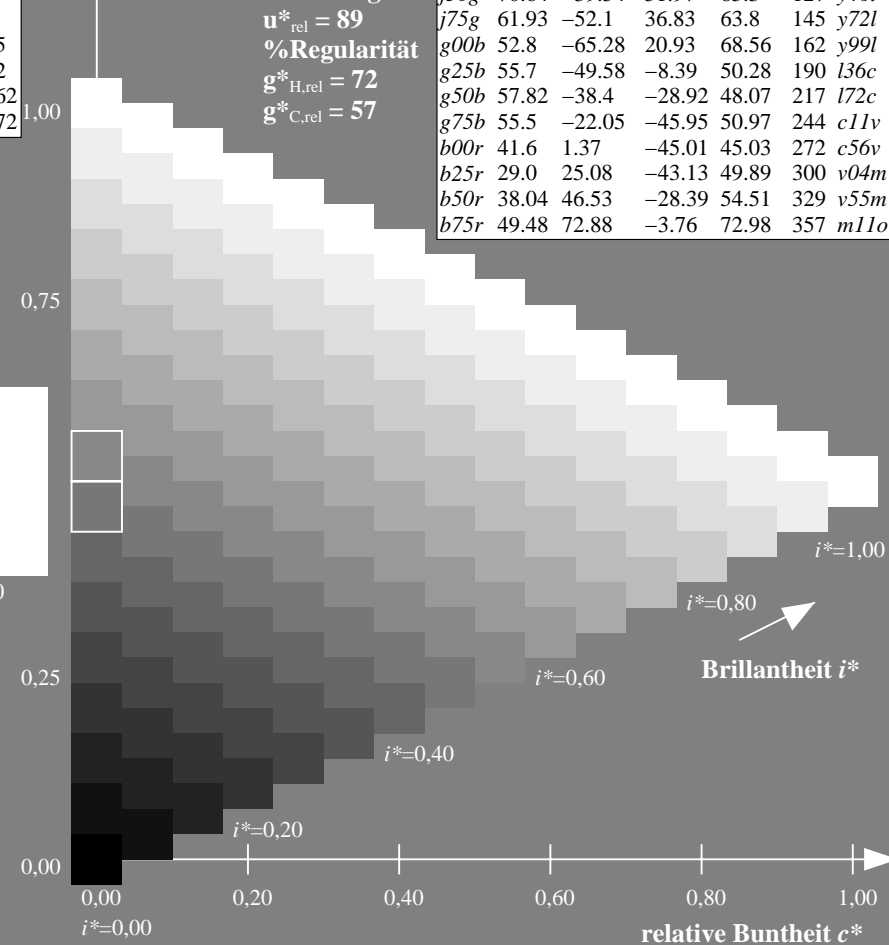
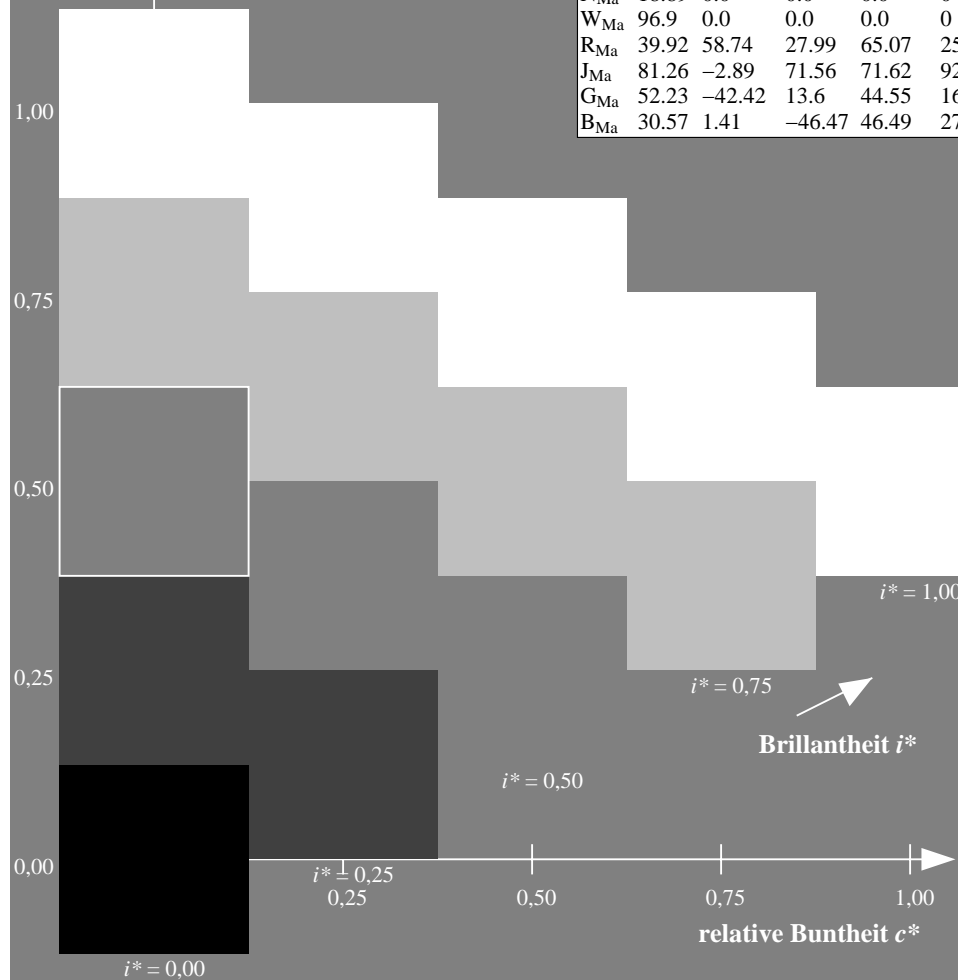
$u^*_{rel} = 89$

%Regularität

$g^*_{H,rel} = 72$

$g^*_{C,rel} = 57$

ORS19_96a; adaptierte CIELAB-Daten						
u^*_e	$L^*=L^*_a$	a^*_a	b^*_a	$C^*_{ab,a}$	$h^*_{ab,a}$	u^*_d
r00j	48.88	66.47	31.67	73.63	25	m84o
r25j	55.85	52.39	47.48	70.7	42	o17y
r50j	65.45	35.22	58.37	68.17	59	o42y
r75j	75.19	17.82	69.41	71.66	76	o67y
j00g	87.03	-3.35	82.83	82.9	92	o92y
j25g	80.72	-25.01	69.5	73.86	110	y20l
j50g	70.64	-39.54	51.97	65.3	127	y46l
j75g	61.93	-52.1	36.83	63.8	145	y72l
g00b	52.8	-65.28	20.93	68.56	162	y99l
g25b	55.7	-49.58	-8.39	50.28	190	l36c
g50b	57.82	-38.4	-28.92	48.07	217	l72c
g75b	55.5	-22.05	-45.95	50.97	244	c11v
b00r	41.6	1.37	-45.01	45.03	272	c56v
b25r	29.0	25.08	-43.13	49.89	300	v04m
b50r	38.04	46.53	-28.39	54.51	329	v55m
b75r	49.48	72.88	-3.76	72.98	357	m11o



Ein und Ausgabe: Farbmetrisches Drucker-Reflektiv-System ORS19_96a für relativen CIELAB-Buntton $h^* = lab^*h^* = h_{ab}/360 = 0.992$

Daten für jede Farbe:

lab^*tch^* und lab^*icu^*

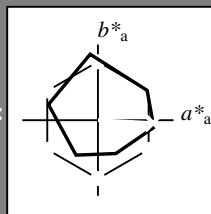
Bunttontexte:

$u^*_e = b75r$ $u^*_d = m11o$

Kontrastreduzierungsfaktor:

$c_R = 1.0$

Dreiecks-Helligkeit i^*



ORS19_96a; adaptierte CIELAB-Daten

u^*_e	$L^*=L^*_a$	a^*_a	b^*_a	$C^*_{ab,a}$	$h^*_{ab,a}$
O _{Ma}	48.75	65.07	39.43	76.08	31
Y _{Ma}	90.92	-10.29	87.24	87.85	97
L _{Ma}	52.69	-65.44	20.75	68.65	162
C _{Ma}	59.61	-28.98	-46.22	54.56	238
V _{Ma}	28.39	23.63	-44.13	50.06	298
M _{Ma}	49.58	73.93	-9.56	74.55	353
N _{Ma}	18.89	0.0	0.0	0.0	0
W _{Ma}	96.9	0.0	0.0	0.0	0
R _{Ma}	39.92	58.74	27.99	65.07	25
J _{Ma}	81.26	-2.89	71.56	71.62	92
G _{Ma}	52.23	-42.42	13.6	44.55	162
B _{Ma}	30.57	1.41	-46.47	46.49	272

Daten für Maximalfarbe (Ma):

$LAB^*LAB^*_{Ma}$: 49 73 -4

$LAB^*LCH^*_{Ma}$: 49 73 357

$lab^*rgb^*_{Ma}$: 1.0 0.0 0.5

$lab^*olv^*_{Ma}$: 1.0 0.0 0.89

Dreiecks-Helligkeit i^*

%Umfang

$u^*_{rel} = 89$

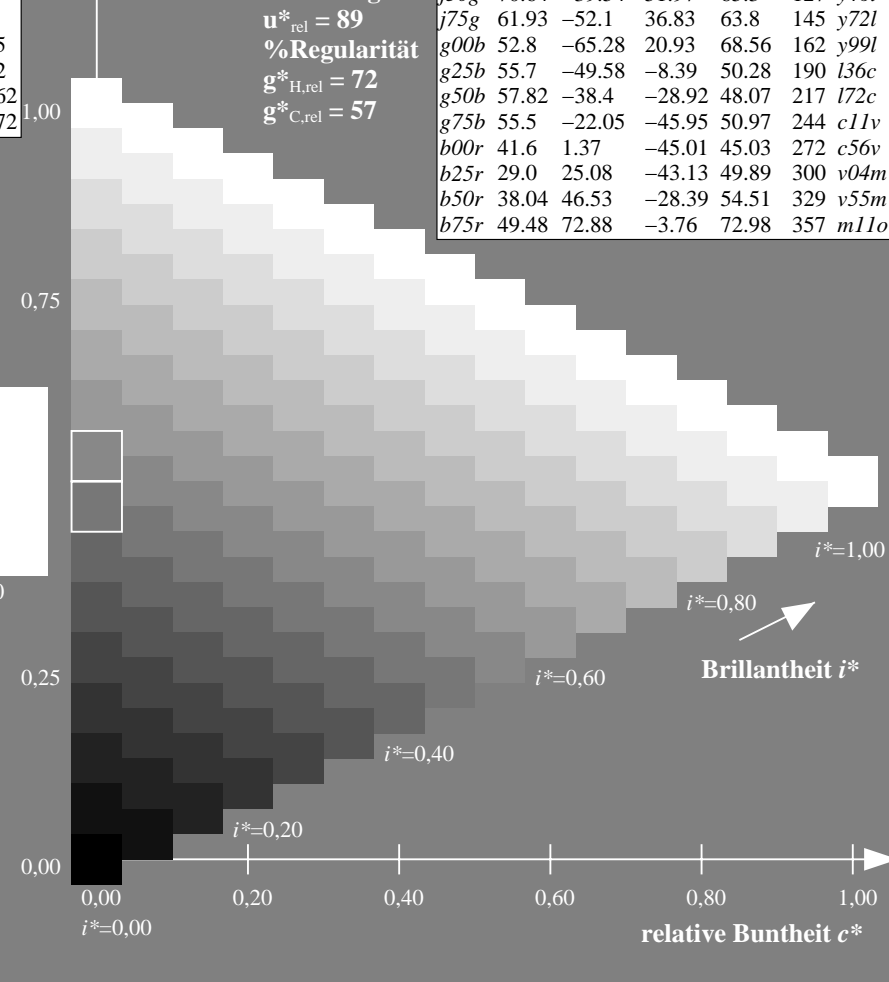
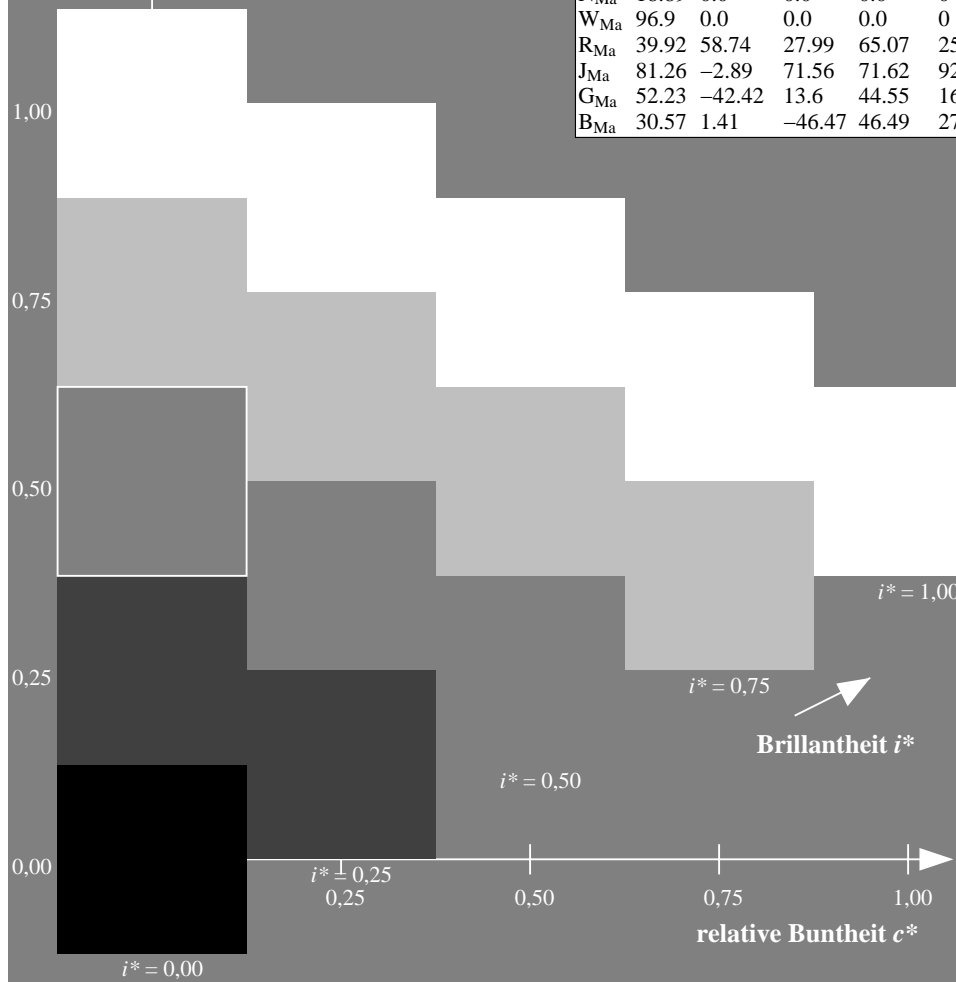
%Regularität

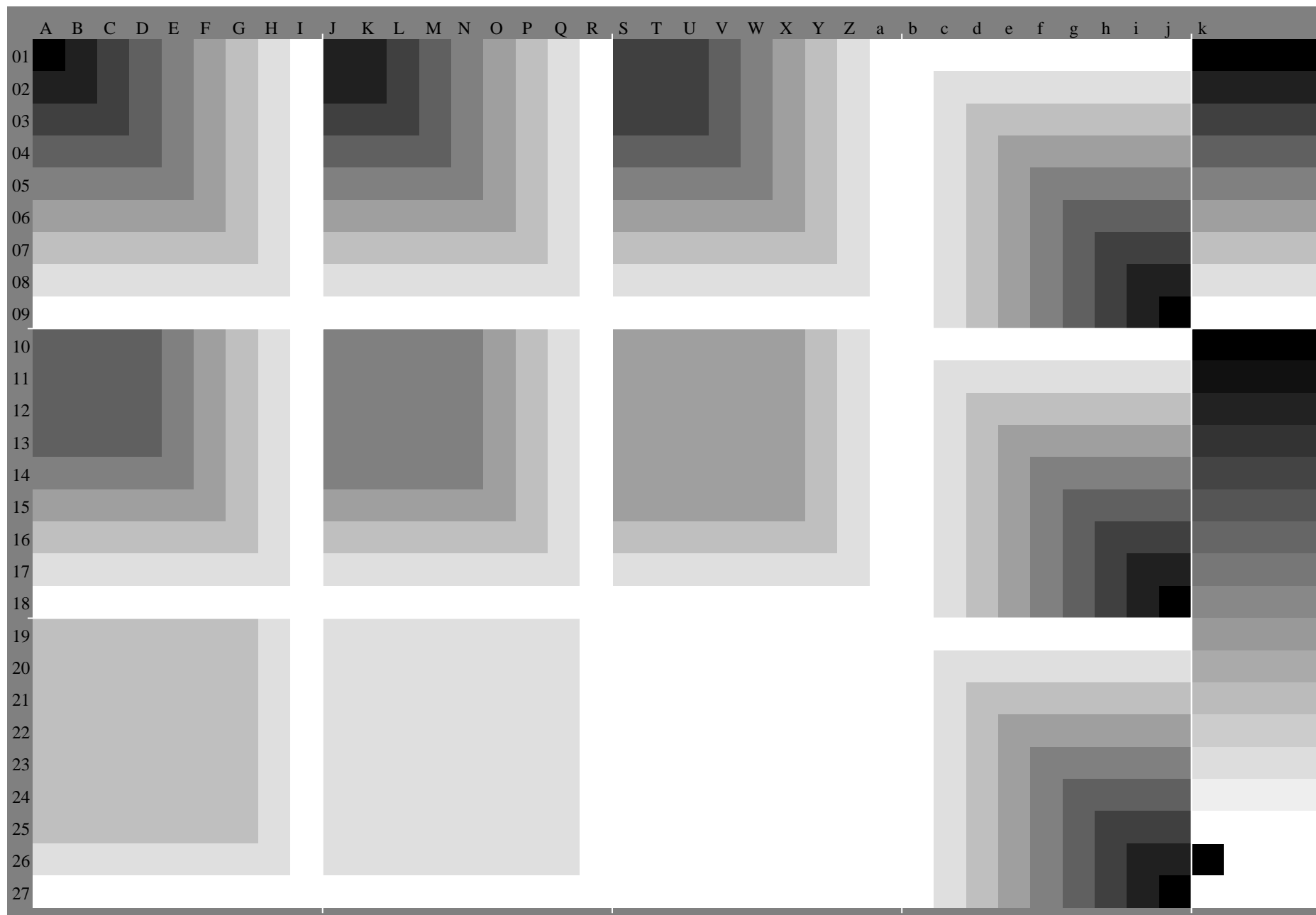
$g^*_{H,rel} = 72$

$g^*_{C,rel} = 57$

ORS19_96a; adaptierte CIELAB-Daten

u^*_e	$L^*=L^*_a$	a^*_a	b^*_a	$C^*_{ab,a}$	$h^*_{ab,a}$	u^*_d
r00j	48.88	66.47	31.67	73.63	25	m84o
r25j	55.85	52.39	47.48	70.7	42	o17y
r50j	65.45	35.22	58.37	68.17	59	o42y
r75j	75.19	17.82	69.41	71.66	76	o67y
j00g	87.03	-3.35	82.83	82.9	92	o92y
j25g	80.72	-25.01	69.5	73.86	110	y20l
j50g	70.64	-39.54	51.97	65.3	127	y46l
j75g	61.93	-52.1	36.83	63.8	145	y72l
g00b	52.8	-65.28	20.93	68.56	162	y99l
g25b	55.7	-49.58	-8.39	50.28	190	l36c
g50b	57.82	-38.4	-28.92	48.07	217	l72c
g75b	55.5	-22.05	-45.95	50.97	244	c11v
b00r	41.6	1.37	-45.01	45.03	272	c56v
b25r	29.0	25.08	-43.13	49.89	300	v04m
b50r	38.04	46.53	-28.39	54.51	329	v55m
b75r	49.48	72.88	-3.76	72.98	357	m11o





Ein und Ausgabe:
Farbmetrisches Drucker-Reflektiv-System ORS19_96a
Daten für jede Farbe:

u^*_e und Nummer $Nr.$ = 00 .. 15

Elementar-Bunttontext:

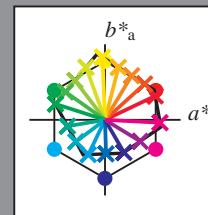
$u^*_e = 16$ Bunttoene $r00j, r25j, \dots, b75r$

Kontrastreduzierungsfaktor:

$c_R = 1.0$

ORS19_96a; adaptierte CIELAB-Daten

u^*_e	$L^*=L^*_a$	a^*_a	b^*_a	$C^*_{ab,a}$	$h^*_{ab,a}$	u^*_d
$r00j$	48.88	66.47	31.67	73.63	25	$m84o$
$r25j$	55.85	52.39	47.48	70.7	42	$o17y$
$r50j$	65.45	35.22	58.37	68.17	59	$o42y$
$r75j$	75.19	17.82	69.41	71.66	76	$o67y$
$j00g$	87.03	-3.35	82.83	82.9	92	$o92y$
$j25g$	80.72	-25.01	69.5	73.86	110	$y20l$
$j50g$	70.64	-39.54	51.97	65.3	127	$y46l$
$j75g$	61.93	-52.1	36.83	63.8	145	$y72l$
$g00b$	52.8	-65.28	20.93	68.56	162	$y99l$
$g25b$	55.7	-49.58	-8.39	50.28	190	$l36c$
$g50b$	57.82	-38.4	-28.92	48.07	217	$l72c$
$g75b$	55.5	-22.05	-45.95	50.97	244	$c11v$
$b00r$	41.6	1.37	-45.01	45.03	272	$c56v$
$b25r$	29.0	25.08	-43.13	49.89	300	$v04m$
$b50r$	38.04	46.53	-28.39	54.51	329	$v55m$
$b75r$	49.48	72.88	-3.76	72.98	357	$m11o$



%Umfang

$u^*_{rel} = 89$

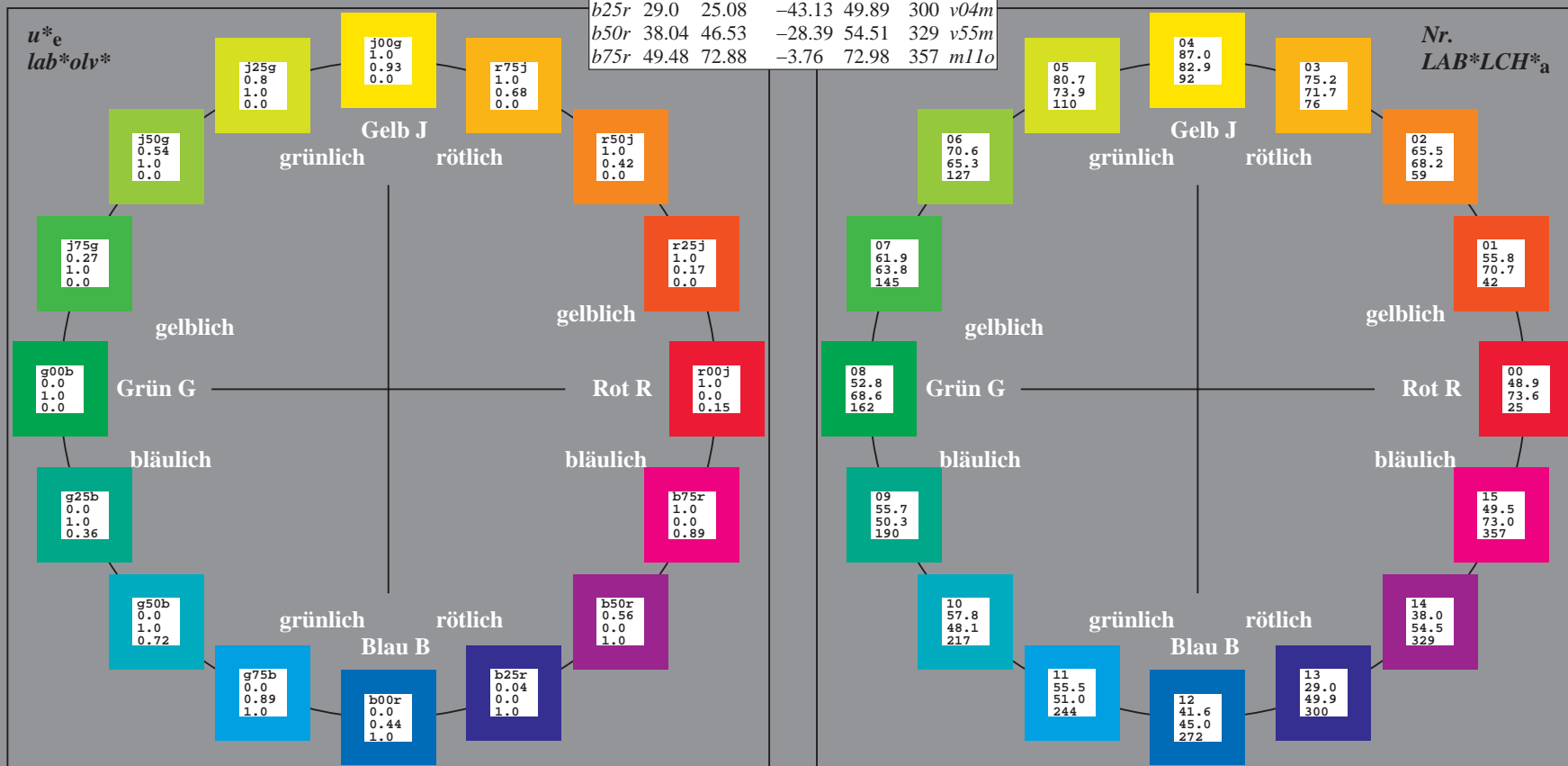
%Regularität

$g^*_{H,rel} = 72$

$g^*_{C,rel} = 57$

ORS19_96a; adaptierte CIELAB-Daten

Name	$L^*=L^*_a$	a^*_a	b^*_a	$C^*_{ab,a}$	$h^*_{ab,a}$
O_{Ma}	48.75	65.07	39.43	76.08	31
Y_{Ma}	90.92	-10.29	87.24	87.85	97
L_{Ma}	52.69	-65.44	20.75	68.65	162
C_{Ma}	59.61	-28.98	-46.22	54.56	238
V_{Ma}	28.39	23.63	-44.13	50.06	298
M_{Ma}	49.58	73.93	-9.56	74.55	353
N_{Ma}	18.89	0.0	0.0	0.0	0
W_{Ma}	96.9	0.0	0.0	0.0	0
R_{CIE}	39.92	58.74	27.99	65.07	25
J_{CIE}	81.26	-2.89	71.56	71.62	92
G_{CIE}	52.23	-42.42	13.6	44.55	162
B_{CIE}	30.57	1.41	-46.47	46.49	272



Ein und Ausgabe: Farbmetrisches Drucker-Reflektiv-System ORS19_96a für relativen CIELAB-Buntton $h^* = \text{lab}^*h^* = h_{ab}/360 = 0.071$

Daten für jede Farbe:

lab^*tch^* und lab^*icu^*

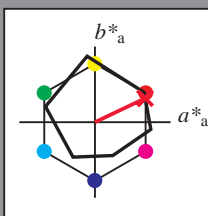
Bunttontexte:

$u^*_e = r00j$ $u^*_d = m84o$

Kontrastreduzierungsfaktor:

$c_R = 1.0$

Dreiecks-Helligkeit i^*



ORS19_96a; adaptierte CIELAB-Daten

u^*_e	$L^*=L^*_a$	a^*_a	b^*_a	$C^*_{ab,a}$	$h^*_{ab,a}$
O _{Ma}	48.75	65.07	39.43	76.08	31
Y _{Ma}	90.92	-10.29	87.24	87.85	97
L _{Ma}	52.69	-65.44	20.75	68.65	162
C _{Ma}	59.61	-28.98	-46.22	54.56	238
V _{Ma}	28.39	23.63	-44.13	50.06	298
M _{Ma}	49.58	73.93	-9.56	74.55	353
N _{Ma}	18.89	0.0	0.0	0.0	0
W _{Ma}	96.9	0.0	0.0	0.0	0
R _{Ma}	39.92	58.74	27.99	65.07	25
J _{Ma}	81.26	-2.89	71.56	71.62	92
G _{Ma}	52.23	-42.42	13.6	44.55	162
B _{Ma}	30.57	1.41	-46.47	46.49	272

Daten für Maximalfarbe (Ma):

$\text{LAB}^*\text{LAB}^*_{\text{Ma}}$: 49 66 32

$\text{LAB}^*\text{LCH}^*_{\text{Ma}}$: 49 74 25

$\text{lab}^*\text{rgb}^*_{\text{Ma}}$: 1.0 0.0 0.0

$\text{lab}^*\text{olv}^*_{\text{Ma}}$: 1.0 0.0 0.15

Dreiecks-Helligkeit i^*

%Umfang

$u^*_{\text{rel}} = 89$

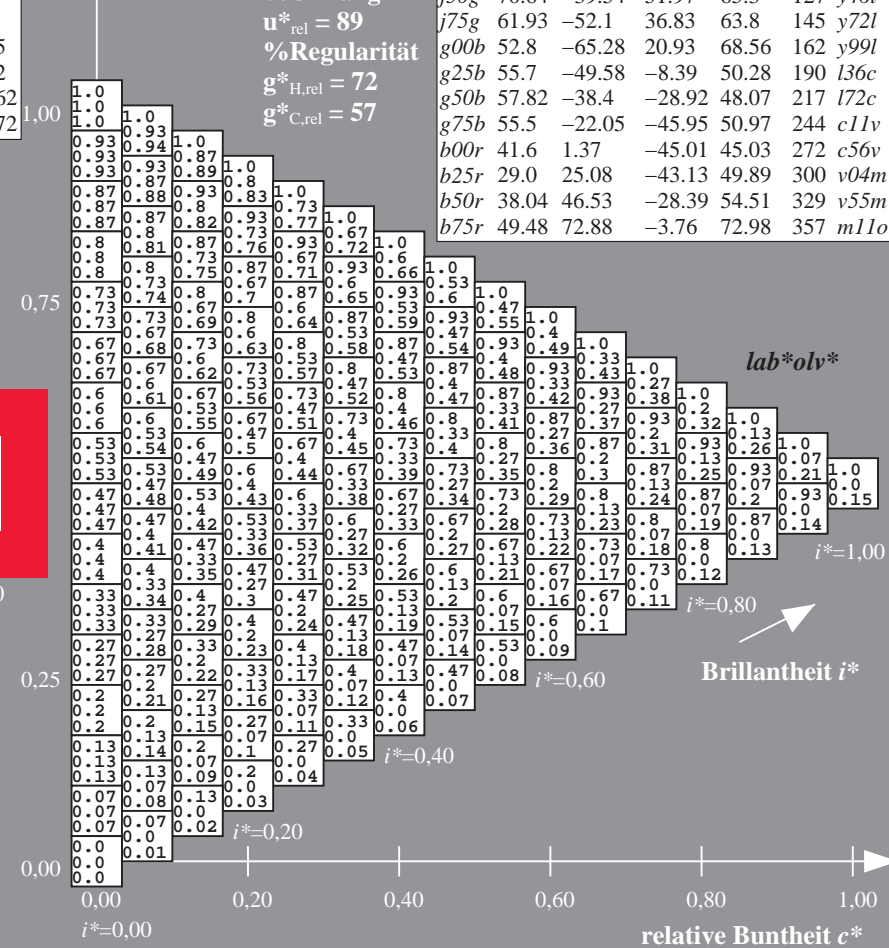
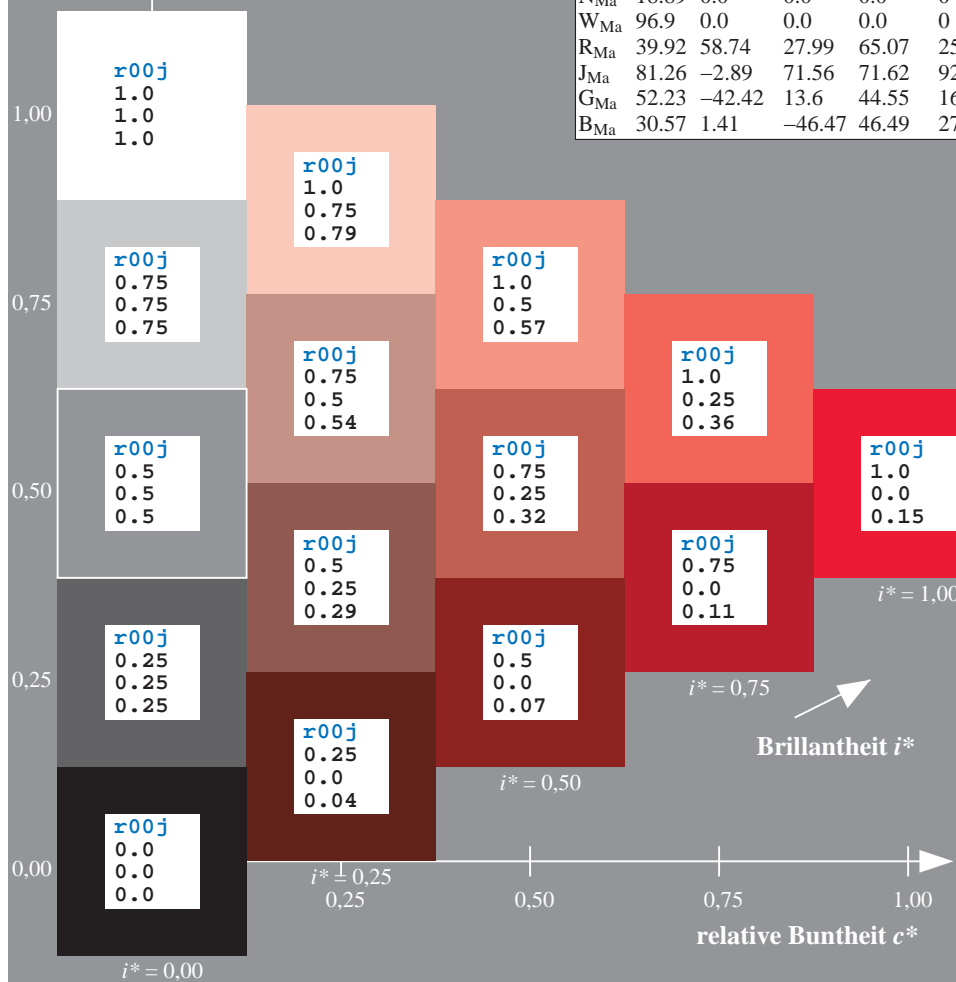
%Regularität

$g^*_{H,\text{rel}} = 72$

$g^*_{C,\text{rel}} = 57$

ORS19_96a; adaptierte CIELAB-Daten

u^*_e	$L^*=L^*_a$	a^*_a	b^*_a	$C^*_{ab,a}$	$h^*_{ab,a}$	u^*_d
r00j	48.88	66.47	31.67	73.63	25	m84o
r25j	55.85	52.39	47.48	70.7	42	o17y
r50j	65.45	35.22	58.37	68.17	59	o42y
r75j	75.19	17.82	69.41	71.66	76	o67y
j00g	87.03	-3.35	82.83	82.9	92	o92y
j25g	80.72	-25.01	69.5	73.86	110	y20l
j50g	70.64	-39.54	51.97	65.3	127	y46l
j75g	61.93	-52.1	36.83	63.8	145	y72l
g00b	52.8	-65.28	20.93	68.56	162	y99l
g25b	55.7	-49.58	-8.39	50.28	190	l36c
g50b	57.82	-38.4	-28.92	48.07	217	l72c
g75b	55.5	-22.05	-45.95	50.97	244	c11v
b00r	41.6	1.37	-45.01	45.03	272	c56v
b25r	29.0	25.08	-43.13	49.89	300	v04m
b50r	38.04	46.53	-28.39	54.51	329	v55m
b75r	49.48	72.88	-3.76	72.98	357	m11o



Ein und Ausgabe: Farbmimetrisches Drucker-Reflektiv-System ORS19_96a für relativen CIELAB-Buntton $h^* = lab^*h^* = h_{ab}/360 = 0.117$

Daten für jede Farbe:

lab^*tch^* und lab^*icu^*

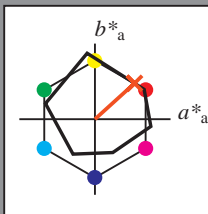
Bunttontexte:

$u^*_e = r25j$ $u^*_d = o17y$

Kontrastreduzierungsfaktor:

$c_R = 1.0$

Dreiecks-Helligkeit t^*



ORS19_96a; adaptierte CIELAB-Daten

	u^*_e	$L^*=L^*_a$	a^*_a	b^*_a	$C^*_{ab,a}$	$h^*_{ab,a}$
O _{Ma}	48.75	65.07	39.43	76.08	31	
Y _{Ma}	90.92	-10.29	87.24	87.85	97	
L _{Ma}	52.69	-65.44	20.75	68.65	162	
C _{Ma}	59.61	-28.98	-46.22	54.56	238	
V _{Ma}	28.39	23.63	-44.13	50.06	298	
M _{Ma}	49.58	73.93	-9.56	74.55	353	
N _{Ma}	18.89	0.0	0.0	0.0	0	
W _{Ma}	96.9	0.0	0.0	0.0	0	
R _{Ma}	39.92	58.74	27.99	65.07	25	
J _{Ma}	81.26	-2.89	71.56	71.62	92	
G _{Ma}	52.23	-42.42	13.6	44.55	162	
B _{Ma}	30.57	1.41	-46.47	46.49	272	

Daten für Maximalfarbe (Ma):

$LAB^*LAB^*_{Ma}$: 56 52 47

$LAB^*LCH^*_{Ma}$: 56 71 42

$lab^*rgb^*_{Ma}$: 1.0 0.25 0.0

$lab^*olv^*_{Ma}$: 1.0 0.17 0.0

Dreiecks-Helligkeit t^*

%Umfang

$u^*_{rel} = 89$

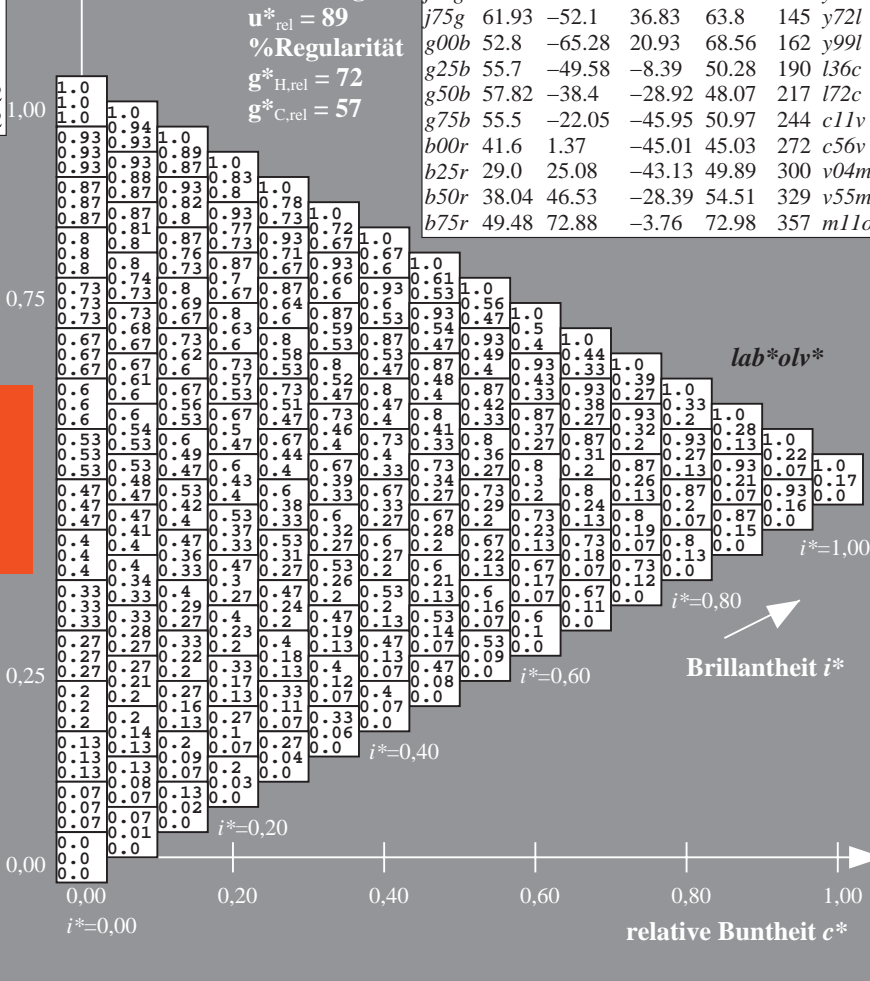
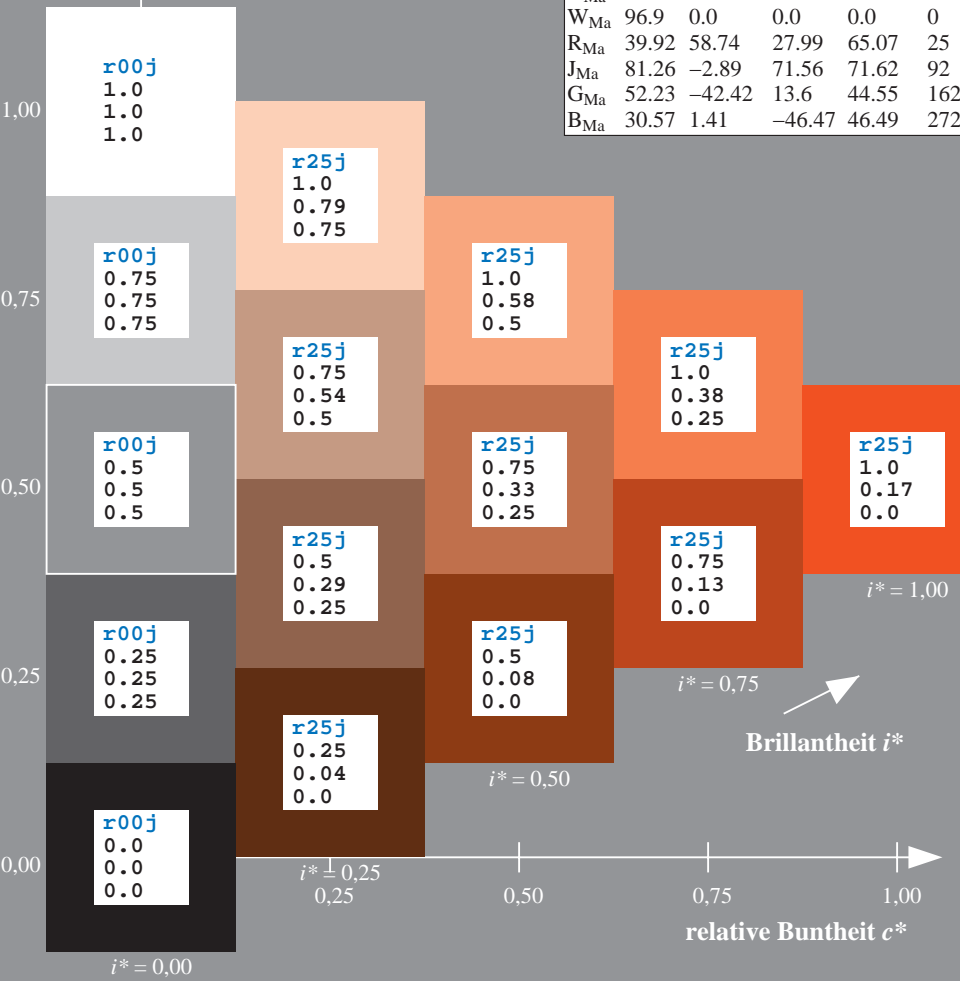
%Regularität

$g^*_{H,rel} = 72$

$g^*_{C,rel} = 57$

ORS19_96a; adaptierte CIELAB-Daten

	u^*_e	$L^*=L^*_a$	a^*_a	b^*_a	$C^*_{ab,a}$	$h^*_{ab,a}$	u^*_d
r00j	48.88	66.47	31.67	73.63	25	m84o	
r25j	55.85	52.39	47.48	70.7	42	o17y	
r50j	65.45	35.22	58.37	68.17	59	o42y	
r75j	75.19	17.82	69.41	71.66	76	o67y	
j00g	87.03	-3.35	82.83	82.9	92	o92y	
j25g	80.72	-25.01	69.5	73.86	110	y20l	
j50g	70.64	-39.54	51.97	65.3	127	y46l	
j75g	61.93	-52.1	36.83	63.8	145	y72l	
g00b	52.8	-65.28	20.93	68.56	162	y99l	
g25b	55.7	-49.58	-8.39	50.28	190	l36c	
g50b	57.82	-38.4	-28.92	48.07	217	l72c	
g75b	55.5	-22.05	-45.95	50.97	244	c11v	
b00r	41.6	1.37	-45.01	45.03	272	c56v	
b25r	29.0	25.08	-43.13	49.89	300	v04m	
b50r	38.04	46.53	-28.39	54.51	329	v55m	
b75r	49.48	72.88	-3.76	72.98	357	m11o	



Ein und Ausgabe: Farbmetrisches Drucker-Reflektiv-System ORS19_96a für relativen CIELAB-Buntton $h^* = lab^*h^* = h_{ab}/360 = 0.164$

Daten für jede Farbe:

lab^*tch^* und lab^*icu^*

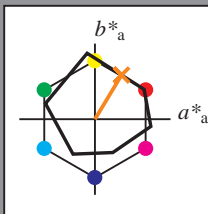
Bunttontexte:

$u^*_e = r50j$ $u^*_d = o42y$

Kontrastreduzierungsfaktor:

$c_R = 1.0$

Dreiecks-Helligkeit t^*



ORS19_96a; adaptierte CIELAB-Daten

	u^*_e	$L^*=L^*_a$	a^*_a	b^*_a	$C^*_{ab,a}$	$h^*_{ab,a}$
O _{Ma}	48.75	65.07	39.43	76.08	31	
Y _{Ma}	90.92	-10.29	87.24	87.85	97	
L _{Ma}	52.69	-65.44	20.75	68.65	162	
C _{Ma}	59.61	-28.98	-46.22	54.56	238	
V _{Ma}	28.39	23.63	-44.13	50.06	298	
M _{Ma}	49.58	73.93	-9.56	74.55	353	
N _{Ma}	18.89	0.0	0.0	0.0	0	
W _{Ma}	96.9	0.0	0.0	0.0	0	
R _{Ma}	39.92	58.74	27.99	65.07	25	
J _{Ma}	81.26	-2.89	71.56	71.62	92	
G _{Ma}	52.23	-42.42	13.6	44.55	162	
B _{Ma}	30.57	1.41	-46.47	46.49	272	

Daten für Maximalfarbe (Ma):

$LAB^*LAB^*_{Ma}$: 65 35 58

$LAB^*LCH^*_{Ma}$: 65 68 58

$lab^*rgb^*_{Ma}$: 1.0 0.5 0.0

$lab^*olv^*_{Ma}$: 1.0 0.42 0.0

Dreiecks-Helligkeit t^*

%Umfang

$u^*_{rel} = 89$

%Regularität

$g^*_{H,rel} = 72$

$g^*_{C,rel} = 57$

ORS19_96a; adaptierte CIELAB-Daten

	u^*_e	$L^*=L^*_a$	a^*_a	b^*_a	$C^*_{ab,a}$	$h^*_{ab,a}$	u^*_d
r00j	48.88	66.47	31.67	73.63	25	m84o	
r25j	55.85	52.39	47.48	70.7	42	o17y	
r50j	65.45	35.22	58.37	68.17	59	o42y	
r75j	75.19	17.82	69.41	71.66	76	o67y	
j00g	87.03	-3.35	82.83	82.9	92	o92y	
j25g	80.72	-25.01	69.5	73.86	110	y20l	
j50g	70.64	-39.54	51.97	65.3	127	y46l	
j75g	61.93	-52.1	36.83	63.8	145	y72l	
g00b	52.8	-65.28	20.93	68.56	162	y99l	
g25b	55.7	-49.58	-8.39	50.28	190	l36c	
g50b	57.82	-38.4	-28.92	48.07	217	l72c	
g75b	55.5	-22.05	-45.95	50.97	244	c11v	
b00r	41.6	1.37	-45.01	45.03	272	c56v	
b25r	29.0	25.08	-43.13	49.89	300	v04m	
b50r	38.04	46.53	-28.39	54.51	329	v55m	
b75r	49.48	72.88	-3.76	72.98	357	m11o	

lab^*olv^*

$i^* = 1.00$

Brillantheit i^*

$i^* = 0.80$

$i^* = 0.60$

$i^* = 0.40$

$i^* = 0.20$

$i^* = 0.00$

Ein und Ausgabe: Farbmimetrisches Drucker-Reflektiv-System ORS19_96a für relativen CIELAB-Buntton $h^* = \text{lab}^*h^* = h_{ab}/360 = 0.21$

Daten für jede Farbe:

lab^*tch^* und lab^*icu^*

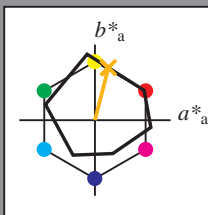
Bunttontexte:

$u^*_e = r75j$ $u^*_d = o67y$

Kontrastreduzierungsfaktor:

$c_R = 1.0$

Dreiecks-Helligkeit i^*



ORS19_96a; adaptierte CIELAB-Daten						
u^*_e	$L^*=L^*_a$	a^*_a	b^*_a	$C^*_{ab,a}$	$h^*_{ab,a}$	u^*_d
O _{Ma}	48.75	65.07	39.43	76.08	31	
Y _{Ma}	90.92	-10.29	87.24	87.85	97	
L _{Ma}	52.69	-65.44	20.75	68.65	162	
C _{Ma}	59.61	-28.98	-46.22	54.56	238	
V _{Ma}	28.39	23.63	-44.13	50.06	298	
M _{Ma}	49.58	73.93	-9.56	74.55	353	
N _{Ma}	18.89	0.0	0.0	0.0	0	
W _{Ma}	96.9	0.0	0.0	0.0	0	
R _{Ma}	39.92	58.74	27.99	65.07	25	
J _{Ma}	81.26	-2.89	71.56	71.62	92	
G _{Ma}	52.23	-42.42	13.6	44.55	162	
B _{Ma}	30.57	1.41	-46.47	46.49	272	

Daten für Maximalfarbe (Ma):

$\text{LAB}^*\text{LAB}^*_{\text{Ma}}$: 75 18 69

$\text{LAB}^*\text{LCH}^*_{\text{Ma}}$: 75 72 75

$\text{lab}^*\text{rgb}^*_{\text{Ma}}$: 1.0 0.75 0.0

$\text{lab}^*\text{olv}^*_{\text{Ma}}$: 1.0 0.68 0.0

Dreiecks-Helligkeit i^*

%Umfang

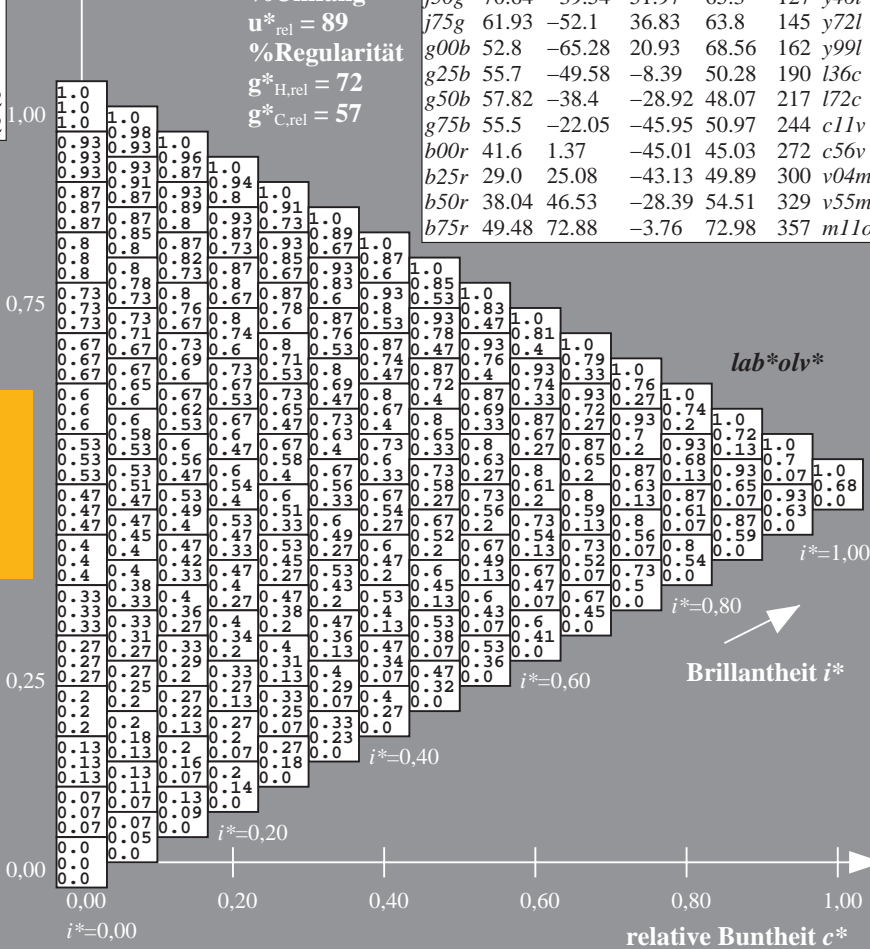
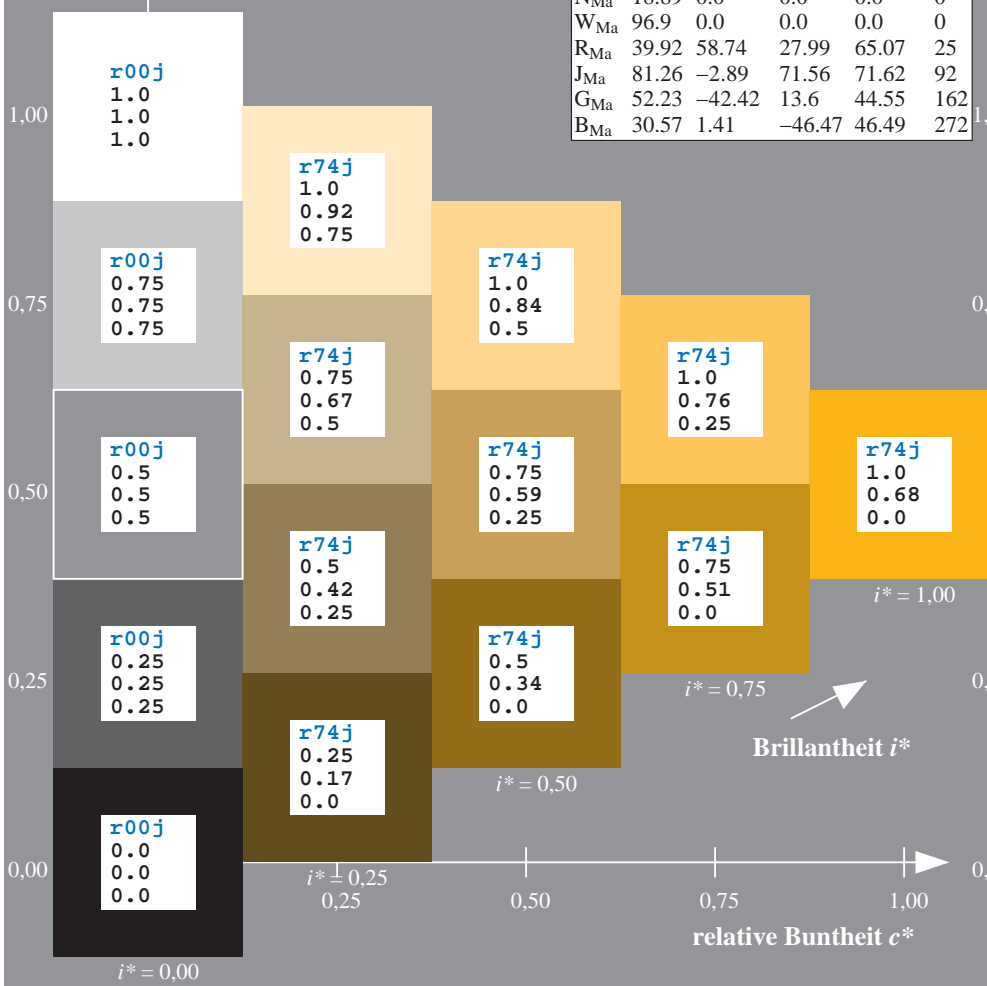
$u^*_{\text{rel}} = 89$

%Regularität

$g^*_{H,\text{rel}} = 72$

$g^*_{C,\text{rel}} = 57$

ORS19_96a; adaptierte CIELAB-Daten						
u^*_e	$L^*=L^*_a$	a^*_a	b^*_a	$C^*_{ab,a}$	$h^*_{ab,a}$	u^*_d
r00j	48.88	66.47	31.67	73.63	25	m84o
r25j	55.85	52.39	47.48	70.7	42	o17y
r50j	65.45	35.22	58.37	68.17	59	o42y
r75j	75.19	17.82	69.41	71.66	76	o67y
j00g	87.03	-3.35	82.83	82.9	92	o92y
j25g	80.72	-25.01	69.5	73.86	110	y20l
j50g	70.64	-39.54	51.97	65.3	127	y46l
j75g	61.93	-52.1	36.83	63.8	145	y72l
g00b	52.8	-65.28	20.93	68.56	162	y99l
g25b	55.7	-49.58	-8.39	50.28	190	l36c
g50b	57.82	-38.4	-28.92	48.07	217	l72c
g75b	55.5	-22.05	-45.95	50.97	244	c11v
b00r	41.6	1.37	-45.01	45.03	272	c56v
b25r	29.0	25.08	-43.13	49.89	300	v04m
b50r	38.04	46.53	-28.39	54.51	329	v55m
b75r	49.48	72.88	-3.76	72.98	357	m11o



Ein und Ausgabe: Farbmetrisches Drucker-Reflektiv-System ORS19_96a für relativen CIELAB-Buntton $h^* = lab^*h^* = h_{ab}/360 = 0.256$

Daten für jede Farbe:

lab^*tch^* und lab^*icu^*

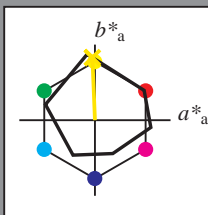
Bunttontexte:

$u^*_e = j00g$ $u^*_d = o92y$

Kontrastreduzierungsfaktor:

$c_R = 1.0$

Dreiecks-Helligkeit t^*



ORS19_96a; adaptierte CIELAB-Daten

u^*_e	$L^*=L^*_a$	a^*_a	b^*_a	$C^*_{ab,a}$	$h^*_{ab,a}$
O _{Ma}	48.75	65.07	39.43	76.08	31
Y _{Ma}	90.92	-10.29	87.24	87.85	97
L _{Ma}	52.69	-65.44	20.75	68.65	162
C _{Ma}	59.61	-28.98	-46.22	54.56	238
V _{Ma}	28.39	23.63	-44.13	50.06	298
M _{Ma}	49.58	73.93	-9.56	74.55	353
N _{Ma}	18.89	0.0	0.0	0.0	0
W _{Ma}	96.9	0.0	0.0	0.0	0
R _{Ma}	39.92	58.74	27.99	65.07	25
J _{Ma}	81.26	-2.89	71.56	71.62	92
G _{Ma}	52.23	-42.42	13.6	44.55	162
B _{Ma}	30.57	1.41	-46.47	46.49	272

Daten für Maximalfarbe (Ma):

$LAB^*LAB^*_{Ma}$: 87 -3 83

$LAB^*LCH^*_{Ma}$: 87 83 92

$lab^*rgb^*_{Ma}$: 1.0 1.0 0.0

$lab^*olv^*_{Ma}$: 1.0 0.93 0.0

Dreiecks-Helligkeit t^*

%Umfang

$u^*_{rel} = 89$

%Regularität

$g^*_{H,rel} = 72$

$g^*_{C,rel} = 57$

ORS19_96a; adaptierte CIELAB-Daten

u^*_e	$L^*=L^*_a$	a^*_a	b^*_a	$C^*_{ab,a}$	$h^*_{ab,a}$	u^*_d
r00j	48.88	66.47	31.67	73.63	25	m84o
r25j	55.85	52.39	47.48	70.7	42	o17y
r50j	65.45	35.22	58.37	68.17	59	o42y
r75j	75.19	17.82	69.41	71.66	76	o67y
j00g	87.03	-3.35	82.83	82.9	92	o92y
j25g	80.72	-25.01	69.5	73.86	110	y20l
j50g	70.64	-39.54	51.97	65.3	127	y46l
j75g	61.93	-52.1	36.83	63.8	145	y72l
g00b	52.8	-65.28	20.93	68.56	162	y99l
g25b	55.7	-49.58	-8.39	50.28	190	l36c
g50b	57.82	-38.4	-28.92	48.07	217	l72c
g75b	55.5	-22.05	-45.95	50.97	244	c11v
b00r	41.6	1.37	-45.01	45.03	272	c56v
b25r	29.0	25.08	-43.13	49.89	300	v04m
b50r	38.04	46.53	-28.39	54.51	329	v55m
b75r	49.48	72.88	-3.76	72.98	357	m11o

lab^*olv^*

$i^* = 1.00$

Brillantheit i^*

$i^* = 0.80$

$i^* = 0.60$

$i^* = 0.40$

$i^* = 0.20$

$i^* = 0.00$

Ein und Ausgabe: Farbmetrisches Drucker-Reflektiv-System ORS19_96a für relativen CIELAB-Buntton $h^* = lab^*h^* = h_{ab}/360 = 0.305$

Daten für jede Farbe:

lab^*tch^* und lab^*icu^*

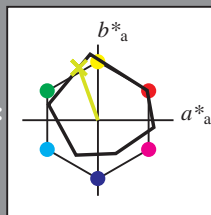
Bunttontexte:

$u^*_e = j25g$ $u^*_d = y20l$

Kontrastreduzierungsfaktor:

$c_R = 1.0$

Dreiecks-Helligkeit i^*



ORS19_96a; adaptierte CIELAB-Daten

u^*_e	$L^*=L^*_a$	a^*_a	b^*_a	$C^*_{ab,a}$	$h^*_{ab,a}$
O _{Ma}	48.75	65.07	39.43	76.08	31
Y _{Ma}	90.92	-10.29	87.24	87.85	97
L _{Ma}	52.69	-65.44	20.75	68.65	162
C _{Ma}	59.61	-28.98	-46.22	54.56	238
V _{Ma}	28.39	23.63	-44.13	50.06	298
M _{Ma}	49.58	73.93	-9.56	74.55	353
N _{Ma}	18.89	0.0	0.0	0.0	0
W _{Ma}	96.9	0.0	0.0	0.0	0
R _{Ma}	39.92	58.74	27.99	65.07	25
J _{Ma}	81.26	-2.89	71.56	71.62	92
G _{Ma}	52.23	-42.42	13.6	44.55	162
B _{Ma}	30.57	1.41	-46.47	46.49	272

Daten für Maximalfarbe (Ma):

$LAB^*LAB^*_{Ma}$: 81 -25 69

$LAB^*LCH^*_{Ma}$: 81 74 109

$lab^*rgb^*_{Ma}$: 0.75 1.0 0.0

$lab^*olv^*_{Ma}$: 0.8 1.0 0.0

Dreiecks-Helligkeit i^*

%Umfang

$u^*_{rel} = 89$

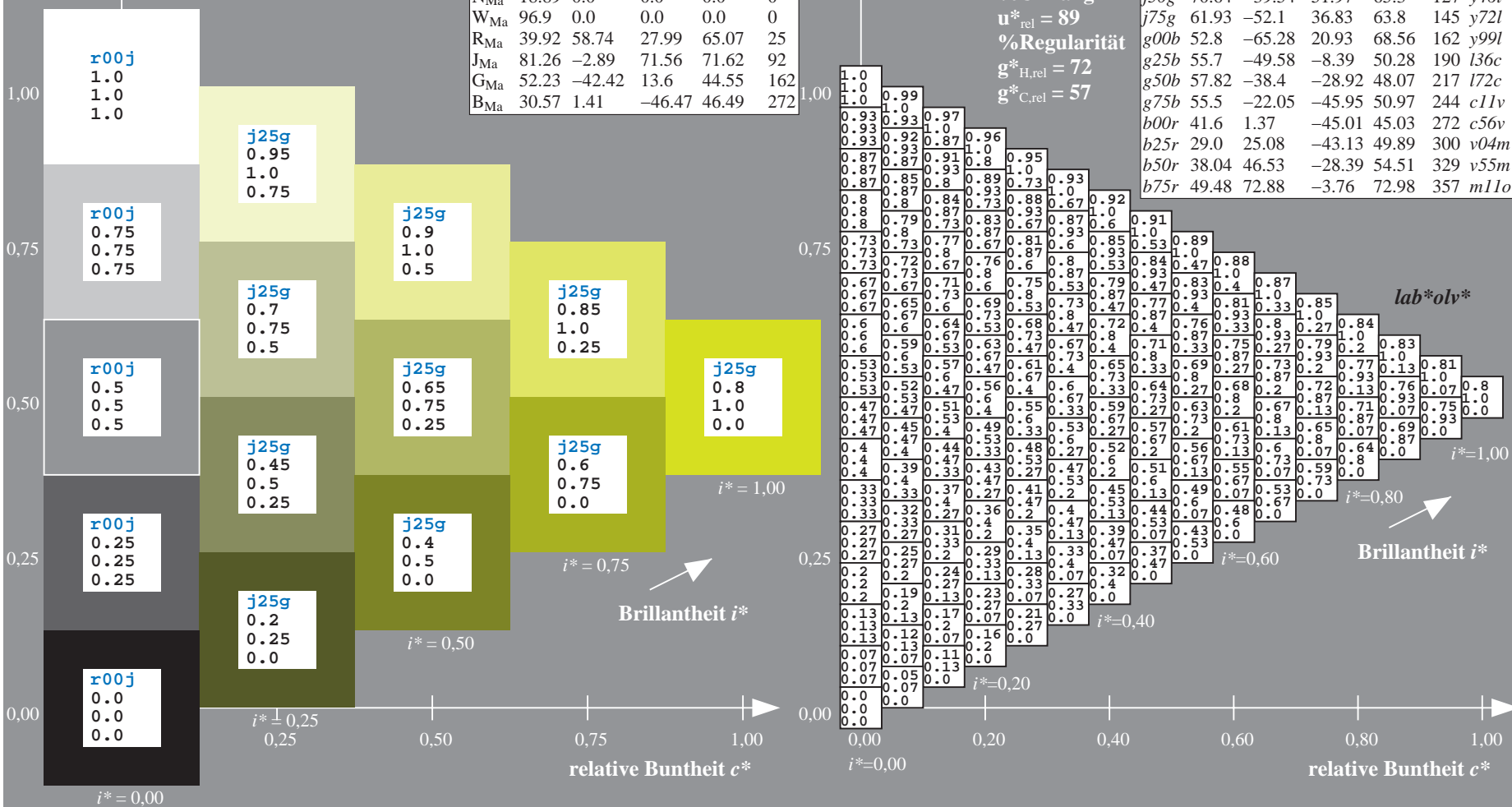
%Regularität

$g^*_{H,rel} = 72$

$g^*_{C,rel} = 57$

ORS19_96a; adaptierte CIELAB-Daten

u^*_e	$L^*=L^*_a$	a^*_a	b^*_a	$C^*_{ab,a}$	$h^*_{ab,a}$	u^*_d
r00j	48.88	66.47	31.67	73.63	25	m84o
r25j	55.85	52.39	47.48	70.7	42	o17y
r50j	65.45	35.22	58.37	68.17	59	o42y
r75j	75.19	17.82	69.41	71.66	76	o67y
j00g	87.03	-3.35	82.83	82.9	92	o92y
j25g	80.72	-25.01	69.5	73.86	110	y20l
j50g	70.64	-39.54	51.97	65.3	127	y46l
j75g	61.93	-52.1	36.83	63.8	145	y72l
g00b	52.8	-65.28	20.93	68.56	162	y99l
g25b	55.7	-49.58	-8.39	50.28	190	l36c
g50b	57.82	-38.4	-28.92	48.07	217	l72c
g75b	55.5	-22.05	-45.95	50.97	244	c11v
b00r	41.6	1.37	-45.01	45.03	272	c56v
b25r	29.0	25.08	-43.13	49.89	300	v04m
b50r	38.04	46.53	-28.39	54.51	329	v55m
b75r	49.48	72.88	-3.76	72.98	357	m11o



Ein und Ausgabe: Farbmetrisches Drucker-Reflexiv-System ORS19_96a für relativen CIELAB-Buntton $h^* = lab^*h^* = h_{ab}/360 = 0.354$

Daten für jede Farbe:

lab^*tch^* und lab^*icu^*

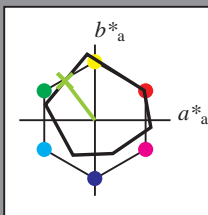
Bunttontexte:

$u^*_e = j50g$ $u^*_d = y46l$

Kontrastreduzierungsfaktor:

$c_R = 1.0$

Dreiecks-Helligkeit i^*



ORS19_96a; adaptierte CIELAB-Daten						
	u^*_e	$L^*=L^*_a$	a^*_a	b^*_a	$C^*_{ab,a}$	$h^*_{ab,a}$
O _{Ma}	48.75	65.07	39.43	76.08	31	
Y _{Ma}	90.92	-10.29	87.24	87.85	97	
L _{Ma}	52.69	-65.44	20.75	68.65	162	
C _{Ma}	59.61	-28.98	-46.22	54.56	238	
V _{Ma}	28.39	23.63	-44.13	50.06	298	
M _{Ma}	49.58	73.93	-9.56	74.55	353	
N _{Ma}	18.89	0.0	0.0	0.0	0	
W _{Ma}	96.9	0.0	0.0	0.0	0	
R _{Ma}	39.92	58.74	27.99	65.07	25	
J _{Ma}	81.26	-2.89	71.56	71.62	92	
G _{Ma}	52.23	-42.42	13.6	44.55	162	
B _{Ma}	30.57	1.41	-46.47	46.49	272	

Daten für Maximalfarbe (Ma):

$LAB^*LAB^*_{Ma}$: 71 -40 52

$LAB^*LCH^*_{Ma}$: 71 65 127

$lab^*rgb^*_{Ma}$: 0.5 1.0 0.0

$lab^*olv^*_{Ma}$: 0.54 1.0 0.0

Dreiecks-Helligkeit i^*

%Umfang

$u^*_{rel} = 89$

%Regularität

$g^*_{H,rel} = 72$

$g^*_{C,rel} = 57$

ORS19_96a; adaptierte CIELAB-Daten							
u^*_e	$L^*=L^*_a$	a^*_a	b^*_a	$C^*_{ab,a}$	$h^*_{ab,a}$	u^*_d	
<i>r00j</i>	48.88	66.47	31.67	73.63	25	<i>m84o</i>	
<i>r25j</i>	55.85	52.39	47.48	70.7	42	<i>o17y</i>	
<i>r50j</i>	65.45	35.22	58.37	68.17	59	<i>o42y</i>	
<i>r75j</i>	75.19	17.82	69.41	71.66	76	<i>o67y</i>	
<i>j00g</i>	87.03	-3.35	82.83	82.9	92	<i>o92y</i>	
<i>j25g</i>	80.72	-25.01	69.5	73.86	110	<i>y20l</i>	
<i>j50g</i>	70.64	-39.54	51.97	65.3	127	<i>y46l</i>	
<i>j75g</i>	61.93	-52.1	36.83	63.8	145	<i>y72l</i>	
<i>g00b</i>	52.8	-65.28	20.93	68.56	162	<i>y99l</i>	
<i>g25b</i>	55.7	-49.58	-8.39	50.28	190	<i>l36c</i>	
<i>g50b</i>	57.82	-38.4	-28.92	48.07	217	<i>l72c</i>	
<i>g75b</i>	55.5	-22.05	-45.95	50.97	244	<i>c11v</i>	
<i>b00r</i>	41.6	1.37	-45.01	45.03	272	<i>c56v</i>	
<i>b25r</i>	29.0	25.08	-43.13	49.89	300	<i>v04m</i>	
<i>b50r</i>	38.04	46.53	-28.39	54.51	329	<i>v55m</i>	
<i>b75r</i>	49.48	72.88	-3.76	72.98	357	<i>m11o</i>	

Ein und Ausgabe: Farbmimetrisches Drucker-Reflektiv-System ORS19_96a für relativen CIELAB-Buntton $h^* = lab^*h^* = h_{ab}/360 = 0.402$

Daten für jede Farbe:

lab^*tch^* und lab^*icu^*

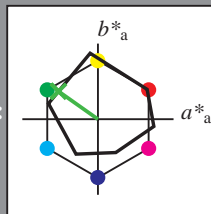
Bunttontexte:

$u^*_e = j75g$ $u^*_d = y72l$

Kontrastreduzierungsfaktor:

$c_R = 1.0$

Dreiecks-Helligkeit i^*



ORS19_96a; adaptierte CIELAB-Daten

u^*_e	$L^*=L^*_a$	a^*_a	b^*_a	$C^*_{ab,a}$	$h^*_{ab,a}$
O _{Ma}	48.75	65.07	39.43	76.08	31
Y _{Ma}	90.92	-10.29	87.24	87.85	97
L _{Ma}	52.69	-65.44	20.75	68.65	162
C _{Ma}	59.61	-28.98	-46.22	54.56	238
V _{Ma}	28.39	23.63	-44.13	50.06	298
M _{Ma}	49.58	73.93	-9.56	74.55	353
N _{Ma}	18.89	0.0	0.0	0.0	0
W _{Ma}	96.9	0.0	0.0	0.0	0
R _{Ma}	39.92	58.74	27.99	65.07	25
J _{Ma}	81.26	-2.89	71.56	71.62	92
G _{Ma}	52.23	-42.42	13.6	44.55	162
B _{Ma}	30.57	1.41	-46.47	46.49	272

Daten für Maximalfarbe (Ma):

$LAB^*LAB^*_{Ma}$: 62 -52 37

$LAB^*LCH^*_{Ma}$: 62 64 144

$lab^*rgb^*_{Ma}$: 0.25 1.0 0.0

$lab^*olv^*_{Ma}$: 0.27 1.0 0.0

Dreiecks-Helligkeit i^*

%Umfang

$u^*_{rel} = 89$

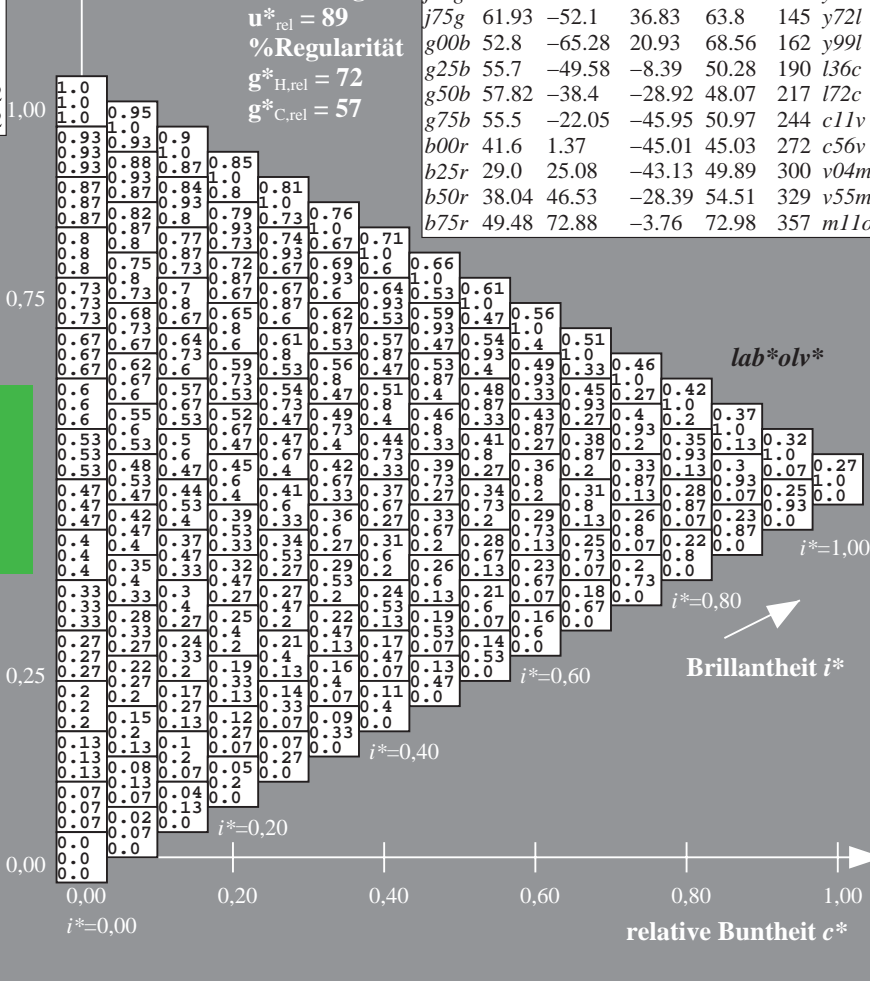
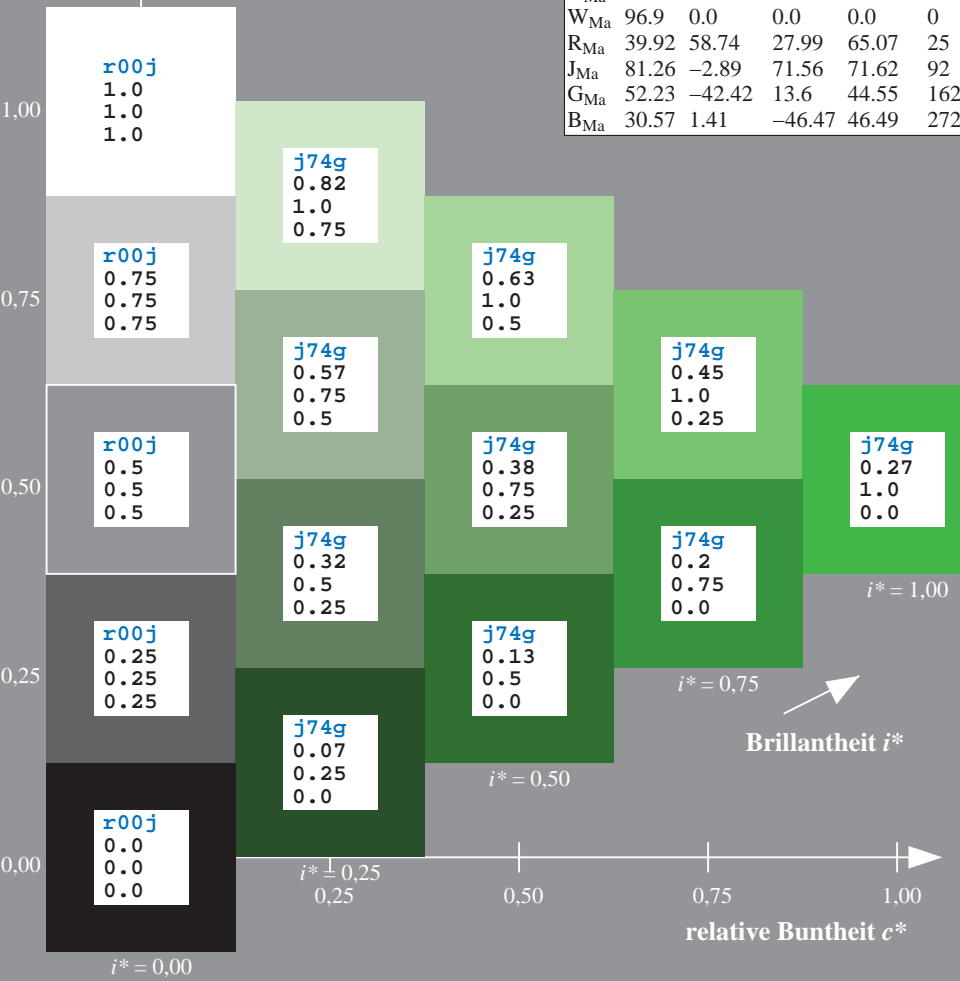
%Regularität

$g^*_{H,rel} = 72$

$g^*_{C,rel} = 57$

ORS19_96a; adaptierte CIELAB-Daten

u^*_e	$L^*=L^*_a$	a^*_a	b^*_a	$C^*_{ab,a}$	$h^*_{ab,a}$	u^*_d
r00j	48.88	66.47	31.67	73.63	25	m84o
r25j	55.85	52.39	47.48	70.7	42	o17y
r50j	65.45	35.22	58.37	68.17	59	o42y
r75j	75.19	17.82	69.41	71.66	76	o67y
j00g	87.03	-3.35	82.83	82.9	92	o92y
j25g	80.72	-25.01	69.5	73.86	110	y20l
j50g	70.64	-39.54	51.97	65.3	127	y46l
j75g	61.93	-52.1	36.83	63.8	145	y72l
g00b	52.8	-65.28	20.93	68.56	162	y99l
g25b	55.7	-49.58	-8.39	50.28	190	l36c
g50b	57.82	-38.4	-28.92	48.07	217	l72c
g75b	55.5	-22.05	-45.95	50.97	244	c11v
b00r	41.6	1.37	-45.01	45.03	272	c56v
b25r	29.0	25.08	-43.13	49.89	300	v04m
b50r	38.04	46.53	-28.39	54.51	329	v55m
b75r	49.48	72.88	-3.76	72.98	357	m11o



Ein und Ausgabe: Farbmetrisches Drucker-Reflektiv-System ORS19_96a für relativen CIELAB-Buntton $h^* = lab^*h^* = h_{ab}/360 = 0.451$

Daten für jede Farbe:

lab^*tch^* und lab^*icu^*

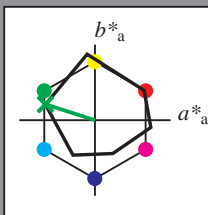
Bunttontexte:

$u^*_e = g00b$ $u^*_d = y99l$

Kontrastreduzierungsfaktor:

$c_R = 1.0$

Dreiecks-Helligkeit i^*



ORS19_96a; adaptierte CIELAB-Daten

	u^*_e	$L^*=L^*_a$	a^*_a	b^*_a	$C^*_{ab,a}$	$h^*_{ab,a}$
O _{Ma}	48.75	65.07	39.43	76.08	31	
Y _{Ma}	90.92	-10.29	87.24	87.85	97	
L _{Ma}	52.69	-65.44	20.75	68.65	162	
C _{Ma}	59.61	-28.98	-46.22	54.56	238	
V _{Ma}	28.39	23.63	-44.13	50.06	298	
M _{Ma}	49.58	73.93	-9.56	74.55	353	
N _{Ma}	18.89	0.0	0.0	0.0	0	
W _{Ma}	96.9	0.0	0.0	0.0	0	
R _{Ma}	39.92	58.74	27.99	65.07	25	
J _{Ma}	81.26	-2.89	71.56	71.62	92	
G _{Ma}	52.23	-42.42	13.6	44.55	162	
B _{Ma}	30.57	1.41	-46.47	46.49	272	

Daten für Maximalfarbe (Ma):

$LAB^*LAB^*_{Ma}$: 53 -65 21

$LAB^*LCH^*_{Ma}$: 53 69 162

$lab^*rgb^*_{Ma}$: 0.0 1.0 0.0

$lab^*olv^*_{Ma}$: 0.0 1.0 0.0

Dreiecks-Helligkeit i^*

%Umfang

$u^*_{rel} = 89$

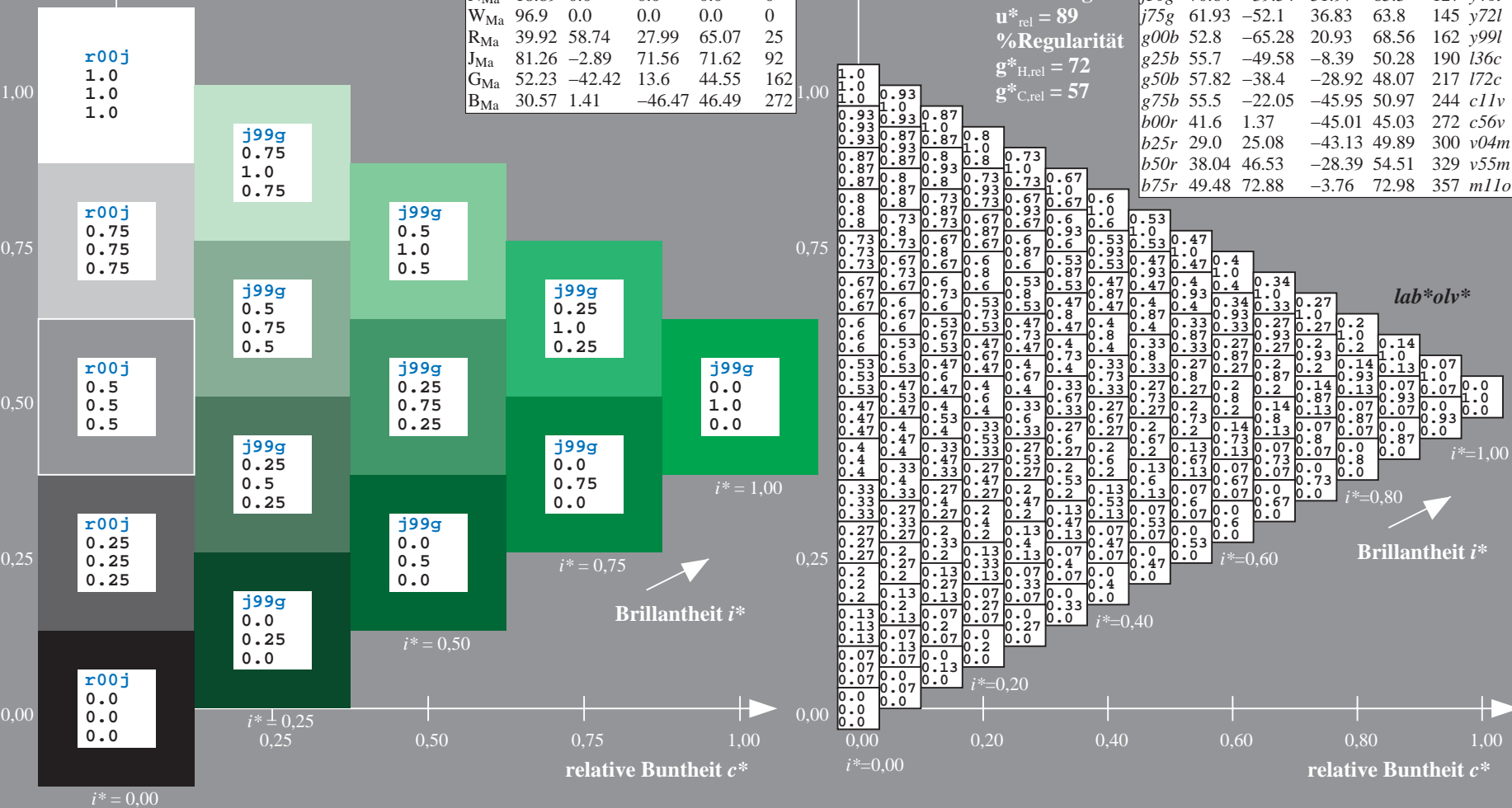
%Regularität

$g^*_{H,rel} = 72$

$g^*_{C,rel} = 57$

ORS19_96a; adaptierte CIELAB-Daten

	u^*_e	$L^*=L^*_a$	a^*_a	b^*_a	$C^*_{ab,a}$	$h^*_{ab,a}$	u^*_d
r00j	48.88	66.47	31.67	73.63	25	m84o	
r25j	55.85	52.39	47.48	70.7	42	o17y	
r50j	65.45	35.22	58.37	68.17	59	o42y	
r75j	75.19	17.82	69.41	71.66	76	o67y	
j00g	87.03	-3.35	82.83	82.9	92	o92y	
j25g	80.72	-25.01	69.5	73.86	110	y20l	
j50g	70.64	-39.54	51.97	65.3	127	y46l	
j75g	61.93	-52.1	36.83	63.8	145	y72l	
g00b	52.8	-65.28	20.93	68.56	162	y99l	
g25b	55.7	-49.58	-8.39	50.28	190	l36c	
g50b	57.82	-38.4	-28.92	48.07	217	l72c	
g75b	55.5	-22.05	-45.95	50.97	244	c11v	
b00r	41.6	1.37	-45.01	45.03	272	c56v	
b25r	29.0	25.08	-43.13	49.89	300	v04m	
b50r	38.04	46.53	-28.39	54.51	329	v55m	
b75r	49.48	72.88	-3.76	72.98	357	m11o	



Ein und Ausgabe: Farbmetrisches Drucker-Reflektiv-System ORS19_96a für relativen CIELAB-Buntton $h^* = lab^*h^* = h_{ab}/360 = 0.527$

Daten für jede Farbe:

lab^*ch^* und lab^*icu^*

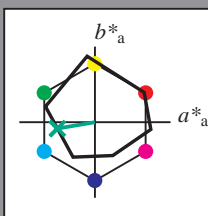
Bunttontexte:

$u^*_e = g25b$ $u^*_d = l36c$

Kontrastreduzierungsfaktor:

$c_R = 1.0$

Dreiecks-Helligkeit i^*



ORS19_96a; adaptierte CIELAB-Daten

	u^*_e	$L^*=L^*_a$	a^*_a	b^*_a	$C^*_{ab,a}$	$h^*_{ab,a}$
O _{Ma}	48.75	65.07	39.43	76.08	31	
Y _{Ma}	90.92	-10.29	87.24	87.85	97	
L _{Ma}	52.69	-65.44	20.75	68.65	162	
C _{Ma}	59.61	-28.98	-46.22	54.56	238	
V _{Ma}	28.39	23.63	-44.13	50.06	298	
M _{Ma}	49.58	73.93	-9.56	74.55	353	
N _{Ma}	18.89	0.0	0.0	0.0	0	
W _{Ma}	96.9	0.0	0.0	0.0	0	
R _{Ma}	39.92	58.74	27.99	65.07	25	
J _{Ma}	81.26	-2.89	71.56	71.62	92	
G _{Ma}	52.23	-42.42	13.6	44.55	162	
B _{Ma}	30.57	1.41	-46.47	46.49	272	

Daten für Maximalfarbe (Ma):

$LAB^*LAB^*_{Ma}$: 56 -50 -8

$LAB^*LCH^*_{Ma}$: 56 50 189

$lab^*rgb^*_{Ma}$: 0.0 1.0 0.5

$lab^*olv^*_{Ma}$: 0.0 1.0 0.36

Dreiecks-Helligkeit i^*

%Umfang

$u^*_{rel} = 89$

%Regularität

$g^*_{H,rel} = 72$

$g^*_{C,rel} = 57$

ORS19_96a; adaptierte CIELAB-Daten

	u^*_e	$L^*=L^*_a$	a^*_a	b^*_a	$C^*_{ab,a}$	$h^*_{ab,a}$	u^*_d
r00j	48.88	66.47	31.67	73.63	25	m84o	
r25j	55.85	52.39	47.48	70.7	42	o17y	
r50j	65.45	35.22	58.37	68.17	59	o42y	
r75j	75.19	17.82	69.41	71.66	76	o67y	
j00g	87.03	-3.35	82.83	82.9	92	o92y	
j25g	80.72	-25.01	69.5	73.86	110	y20l	
j50g	70.64	-39.54	51.97	65.3	127	y46l	
j75g	61.93	-52.1	36.83	63.8	145	y72l	
g00b	52.8	-65.28	20.93	68.56	162	y99l	
g25b	55.7	-49.58	-8.39	50.28	190	l36c	
g50b	57.82	-38.4	-28.92	48.07	217	l72c	
g75b	55.5	-22.05	-45.95	50.97	244	c11v	
b00r	41.6	1.37	-45.01	45.03	272	c56v	
b25r	29.0	25.08	-43.13	49.89	300	v04m	
b50r	38.04	46.53	-28.39	54.51	329	v55m	
b75r	49.48	72.88	-3.76	72.98	357	m11o	

lab^*olv^*

$i^* = 1.00$

Brillantheit i^*

$i^* = 0.80$

$i^* = 0.60$

$i^* = 0.40$

$i^* = 0.20$

$i^* = 0.00$

Ein und Ausgabe: Farbmimetrisches Drucker-Reflektiv-System ORS19_96a für relativen CIELAB-Buntton $h^* = \text{lab}^*h^* = h_{ab}/360 = 0.603$

Daten für jede Farbe:

lab^*tch^* und lab^*icu^*

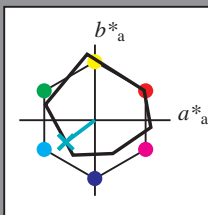
Bunttontexte:

$u^*_e = g50b$ $u^*_d = l72c$

Kontrastreduzierungsfaktor:

$c_R = 1.0$

Dreiecks-Helligkeit i^*



ORS19_96a; adaptierte CIELAB-Daten

	u^*_e	$L^*=L^*_a$	a^*_a	b^*_a	$C^*_{ab,a}$	$h^*_{ab,a}$
O _{Ma}	48.75	65.07	39.43	76.08	31	
Y _{Ma}	90.92	-10.29	87.24	87.85	97	
L _{Ma}	52.69	-65.44	20.75	68.65	162	
C _{Ma}	59.61	-28.98	-46.22	54.56	238	
V _{Ma}	28.39	23.63	-44.13	50.06	298	
M _{Ma}	49.58	73.93	-9.56	74.55	353	
N _{Ma}	18.89	0.0	0.0	0.0	0	
W _{Ma}	96.9	0.0	0.0	0.0	0	
R _{Ma}	39.92	58.74	27.99	65.07	25	
J _{Ma}	81.26	-2.89	71.56	71.62	92	
G _{Ma}	52.23	-42.42	13.6	44.55	162	
B _{Ma}	30.57	1.41	-46.47	46.49	272	

Daten für Maximalfarbe (Ma):

$\text{LAB}^*\text{LAB}^*_{\text{Ma}}$: 58 -38 -29

$\text{LAB}^*\text{LCH}^*_{\text{Ma}}$: 58 48 216

$\text{lab}^*\text{rgb}^*_{\text{Ma}}$: 0.0 1.0 1.0

$\text{lab}^*\text{olv}^*_{\text{Ma}}$: 0.0 1.0 0.72

Dreiecks-Helligkeit i^*

%Umfang

$u^*_{\text{rel}} = 89$

%Regularität

$g^*_{H,\text{rel}} = 72$

$g^*_{C,\text{rel}} = 57$

ORS19_96a; adaptierte CIELAB-Daten

	u^*_e	$L^*=L^*_a$	a^*_a	b^*_a	$C^*_{ab,a}$	$h^*_{ab,a}$	u^*_d
r00j	48.88	66.47	31.67	73.63	25	m84o	
r25j	55.85	52.39	47.48	70.7	42	o17y	
r50j	65.45	35.22	58.37	68.17	59	o42y	
r75j	75.19	17.82	69.41	71.66	76	o67y	
j00g	87.03	-3.35	82.83	82.9	92	o92y	
j25g	80.72	-25.01	69.5	73.86	110	y20l	
j50g	70.64	-39.54	51.97	65.3	127	y46l	
j75g	61.93	-52.1	36.83	63.8	145	y72l	
g00b	52.8	-65.28	20.93	68.56	162	y99l	
g25b	55.7	-49.58	-8.39	50.28	190	l36c	
g50b	57.82	-38.4	-28.92	48.07	217	l72c	
g75b	55.5	-22.05	-45.95	50.97	244	c11v	
b00r	41.6	1.37	-45.01	45.03	272	c56v	
b25r	29.0	25.08	-43.13	49.89	300	v04m	
b50r	38.04	46.53	-28.39	54.51	329	v55m	
b75r	49.48	72.88	-3.76	72.98	357	m11o	

lab^*olv^*

$i^* = 1.00$

Brillantheit i^*

$i^* = 0.80$

$i^* = 0.60$

$i^* = 0.40$

$i^* = 0.20$

$i^* = 0.00$

Ein und Ausgabe: Farbmimetrisches Drucker-Reflektiv-System ORS19_96a für relativen CIELAB-Buntton $h^* = lab^*h^* = h_{ab}/360 = 0.679$

Daten für jede Farbe:

lab^*tch^* und lab^*icu^*

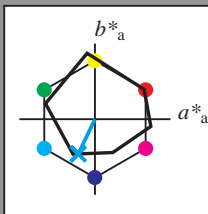
Bunttontexte:

$u^*_e = g75b$ $u^*_d = c11v$

Kontrastreduzierungsfaktor:

$c_R = 1.0$

Dreiecks-Helligkeit i^*



ORS19_96a; adaptierte CIELAB-Daten

	u^*_e	$L^*=L^*_a$	a^*_a	b^*_a	$C^*_{ab,a}$	$h^*_{ab,a}$
O _{Ma}	48.75	65.07	39.43	76.08	31	
Y _{Ma}	90.92	-10.29	87.24	87.85	97	
L _{Ma}	52.69	-65.44	20.75	68.65	162	
C _{Ma}	59.61	-28.98	-46.22	54.56	238	
V _{Ma}	28.39	23.63	-44.13	50.06	298	
M _{Ma}	49.58	73.93	-9.56	74.55	353	
N _{Ma}	18.89	0.0	0.0	0.0	0	
W _{Ma}	96.9	0.0	0.0	0.0	0	
R _{Ma}	39.92	58.74	27.99	65.07	25	
J _{Ma}	81.26	-2.89	71.56	71.62	92	
G _{Ma}	52.23	-42.42	13.6	44.55	162	
B _{Ma}	30.57	1.41	-46.47	46.49	272	

Daten für Maximalfarbe (Ma):

$LAB^*LAB^*_{Ma}$: 55 -22 -46

$LAB^*LCH^*_{Ma}$: 55 51 244

$lab^*rgb^*_{Ma}$: 0.0 0.5 1.0

$lab^*olv^*_{Ma}$: 0.0 0.89 1.0

Dreiecks-Helligkeit i^*

%Umfang

$u^*_{rel} = 89$

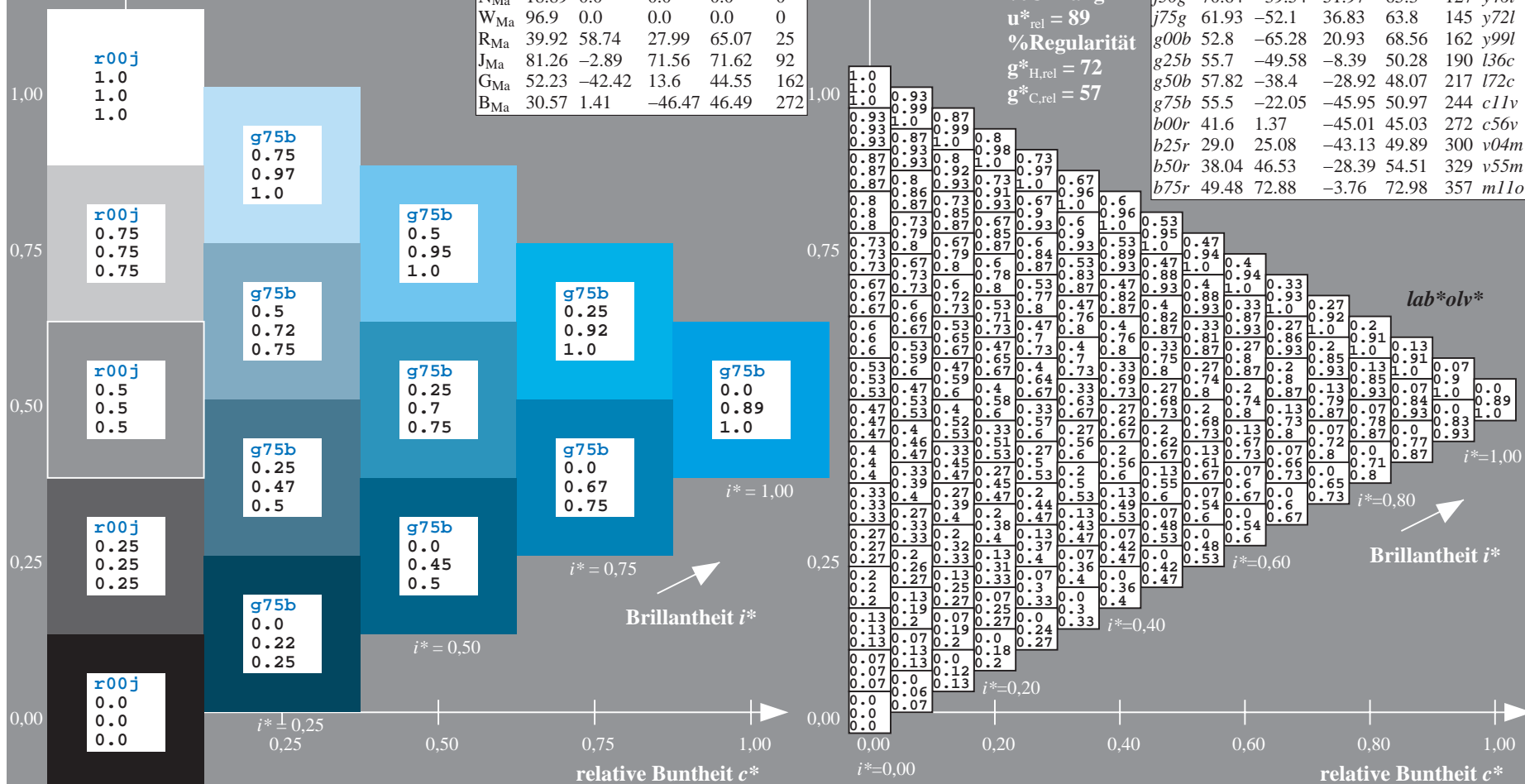
%Regularität

$g^*_{H,rel} = 72$

$g^*_{C,rel} = 57$

ORS19_96a; adaptierte CIELAB-Daten

	u^*_e	$L^*=L^*_a$	a^*_a	b^*_a	$C^*_{ab,a}$	$h^*_{ab,a}$	u^*_d
r00j	48.88	66.47	31.67	73.63	25	m84o	
r25j	55.85	52.39	47.48	70.7	42	o17y	
r50j	65.45	35.22	58.37	68.17	59	o42y	
r75j	75.19	17.82	69.41	71.66	76	o67y	
j00g	87.03	-3.35	82.83	82.9	92	o92y	
j25g	80.72	-25.01	69.5	73.86	110	y20l	
j50g	70.64	-39.54	51.97	65.3	127	y46l	
j75g	61.93	-52.1	36.83	63.8	145	y72l	
g00b	52.8	-65.28	20.93	68.56	162	y99l	
g25b	55.7	-49.58	-8.39	50.28	190	l36c	
g50b	57.82	-38.4	-28.92	48.07	217	l72c	
g75b	55.5	-22.05	-45.95	50.97	244	c11v	
b00r	41.6	1.37	-45.01	45.03	272	c56v	
b25r	29.0	25.08	-43.13	49.89	300	v04m	
b50r	38.04	46.53	-28.39	54.51	329	v55m	
b75r	49.48	72.88	-3.76	72.98	357	m11o	



Ein und Ausgabe: Farbmetrisches Drucker-Reflektiv-System ORS19_96a für relativen CIELAB-Buntton $h^* = lab^*h^* = h_{ab}/360 = 0.755$

Daten für jede Farbe:

lab^*tch^* und lab^*icu^*

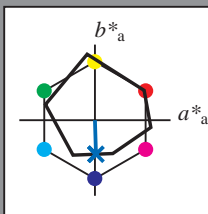
Bunttontexte:

$u^*_e = b00r$ $u^*_d = c56v$

Kontrastreduzierungsfaktor:

$c_R = 1.0$

Dreiecks-Helligkeit i^*



ORS19_96a; adaptierte CIELAB-Daten

	u^*_e	$L^*=L^*_a$	a^*_a	b^*_a	$C^*_{ab,a}$	$h^*_{ab,a}$
O _{Ma}	48.75	65.07	39.43	76.08	31	
Y _{Ma}	90.92	-10.29	87.24	87.85	97	
L _{Ma}	52.69	-65.44	20.75	68.65	162	
C _{Ma}	59.61	-28.98	-46.22	54.56	238	
V _{Ma}	28.39	23.63	-44.13	50.06	298	
M _{Ma}	49.58	73.93	-9.56	74.55	353	
N _{Ma}	18.89	0.0	0.0	0.0	0	
W _{Ma}	96.9	0.0	0.0	0.0	0	
R _{Ma}	39.92	58.74	27.99	65.07	25	
J _{Ma}	81.26	-2.89	71.56	71.62	92	
G _{Ma}	52.23	-42.42	13.6	44.55	162	
B _{Ma}	30.57	1.41	-46.47	46.49	272	

Daten für Maximalfarbe (Ma):

$LAB^*LAB^*_{Ma}$: 42 1 -45

$LAB^*LCH^*_{Ma}$: 42 45 271

$lab^*rgb^*_{Ma}$: 0.0 0.0 1.0

$lab^*olv^*_{Ma}$: 0.0 0.44 1.0

Dreiecks-Helligkeit i^*

%Umfang

$u^*_{rel} = 89$

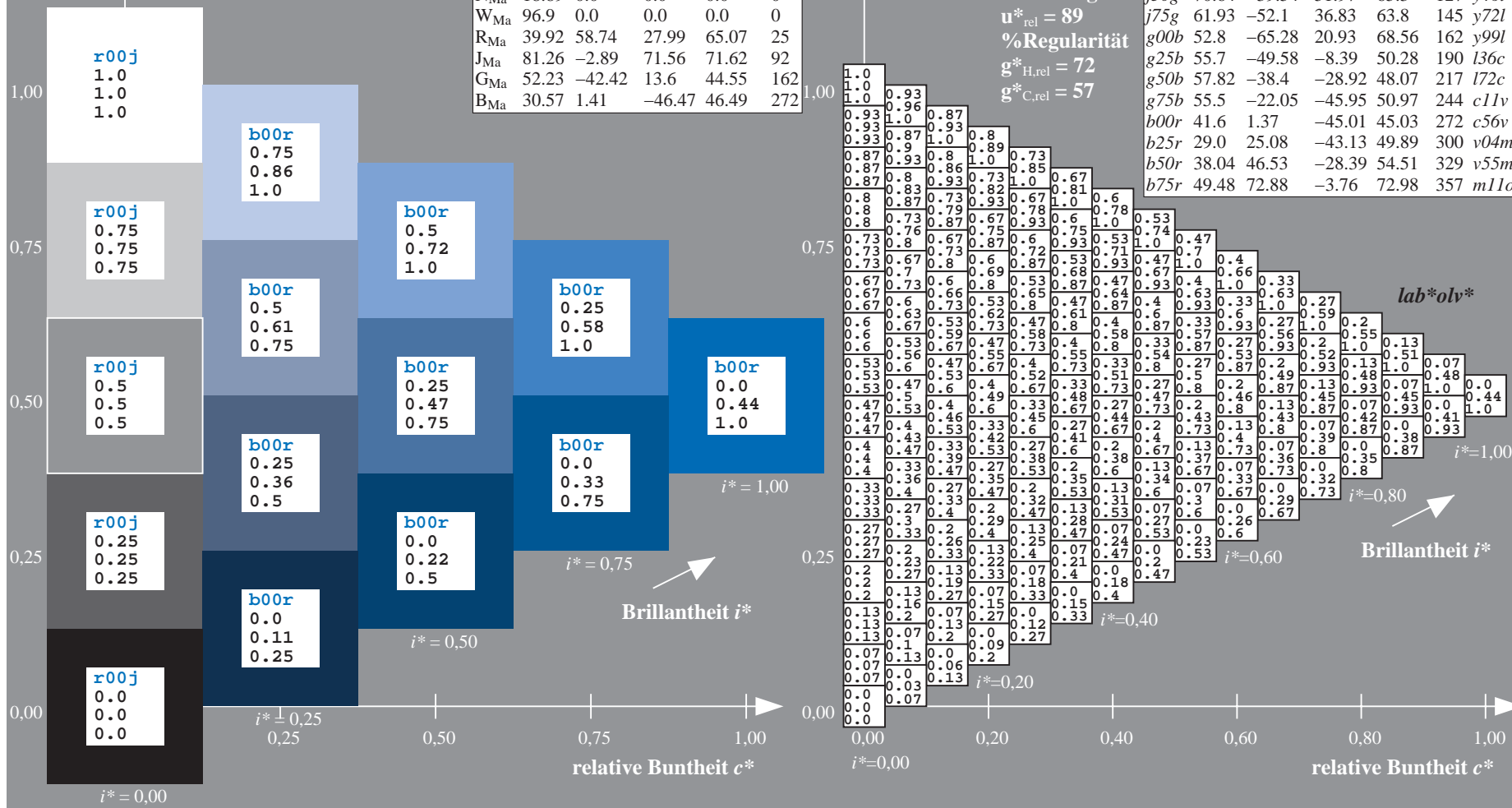
%Regularität

$g^*_{H,rel} = 72$

$g^*_{C,rel} = 57$

ORS19_96a; adaptierte CIELAB-Daten

	u^*_e	$L^*=L^*_a$	a^*_a	b^*_a	$C^*_{ab,a}$	$h^*_{ab,a}$	u^*_d
r00j	48.88	66.47	31.67	73.63	25	m84o	
r25j	55.85	52.39	47.48	70.7	42	o17y	
r50j	65.45	35.22	58.37	68.17	59	o42y	
r75j	75.19	17.82	69.41	71.66	76	o67y	
j00g	87.03	-3.35	82.83	82.9	92	o92y	
j25g	80.72	-25.01	69.5	73.86	110	y20l	
j50g	70.64	-39.54	51.97	65.3	127	y46l	
j75g	61.93	-52.1	36.83	63.8	145	y72l	
g00b	52.8	-65.28	20.93	68.56	162	y99l	
g25b	55.7	-49.58	-8.39	50.28	190	l36c	
g50b	57.82	-38.4	-28.92	48.07	217	l72c	
g75b	55.5	-22.05	-45.95	50.97	244	c11v	
b00r	41.6	1.37	-45.01	45.03	272	c56v	
b25r	29.0	25.08	-43.13	49.89	300	v04m	
b50r	38.04	46.53	-28.39	54.51	329	v55m	
b75r	49.48	72.88	-3.76	72.98	357	m11o	



Ein und Ausgabe: Farbmimetrisches Drucker-Reflektiv-System ORS19_96a für relativen CIELAB-Buntton $h^* = lab^*h^* = h_{ab}/360 = 0.834$

Daten für jede Farbe:

lab^*tch^* und lab^*icu^*

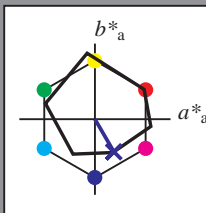
Bunttontexte:

$u^*_e = b25r$ $u^*_d = v04m$

Kontrastreduzierungsfaktor:

$c_R = 1.0$

Dreiecks-Helligkeit i^*



ORS19_96a; adaptierte CIELAB-Daten

u^*_e	$L^*=L^*_a$	a^*_a	b^*_a	$C^*_{ab,a}$	$h^*_{ab,a}$
O _{Ma}	48.75	65.07	39.43	76.08	31
Y _{Ma}	90.92	-10.29	87.24	87.85	97
L _{Ma}	52.69	-65.44	20.75	68.65	162
C _{Ma}	59.61	-28.98	-46.22	54.56	238
V _{Ma}	28.39	23.63	-44.13	50.06	298
M _{Ma}	49.58	73.93	-9.56	74.55	353
N _{Ma}	18.89	0.0	0.0	0.0	0
W _{Ma}	96.9	0.0	0.0	0.0	0
R _{Ma}	39.92	58.74	27.99	65.07	25
J _{Ma}	81.26	-2.89	71.56	71.62	92
G _{Ma}	52.23	-42.42	13.6	44.55	162
B _{Ma}	30.57	1.41	-46.47	46.49	272

Daten für Maximalfarbe (Ma):

$LAB^*LAB^*_{Ma}$: 29 25 -43

$LAB^*LCH^*_{Ma}$: 29 50 300

$lab^*rgb^*_{Ma}$: 0.5 0.0 1.0

$lab^*olv^*_{Ma}$: 0.04 0.0 1.0

Dreiecks-Helligkeit i^*

%Umfang

$u^*_{rel} = 89$

%Regularität

$g^*_{H,rel} = 72$

$g^*_{C,rel} = 57$

ORS19_96a; adaptierte CIELAB-Daten

u^*_e	$L^*=L^*_a$	a^*_a	b^*_a	$C^*_{ab,a}$	$h^*_{ab,a}$	u^*_d
r00j	48.88	66.47	31.67	73.63	25	m84o
r25j	55.85	52.39	47.48	70.7	42	o17y
r50j	65.45	35.22	58.37	68.17	59	o42y
r75j	75.19	17.82	69.41	71.66	76	o67y
j00g	87.03	-3.35	82.83	82.9	92	o92y
j25g	80.72	-25.01	69.5	73.86	110	y20l
j50g	70.64	-39.54	51.97	65.3	127	y46l
j75g	61.93	-52.1	36.83	63.8	145	y72l
g00b	52.8	-65.28	20.93	68.56	162	y99l
g25b	55.7	-49.58	-8.39	50.28	190	l36c
g50b	57.82	-38.4	-28.92	48.07	217	l72c
g75b	55.5	-22.05	-45.95	50.97	244	c11v
b00r	41.6	1.37	-45.01	45.03	272	c56v
b25r	29.0	25.08	-43.13	49.89	300	v04m
b50r	38.04	46.53	-28.39	54.51	329	v55m
b75r	49.48	72.88	-3.76	72.98	357	m11o

lab^*olv^*

$i^* = 1.00$

Brillantheit i^*

$i^* = 0.80$

$i^* = 0.60$

$i^* = 0.40$

$i^* = 0.20$

$i^* = 0.00$

Ein und Ausgabe: Farbmimetrisches Drucker-Reflektiv-System ORS19_96a für relativen CIELAB-Buntton $h^* = \text{lab}^*h^* = h_{ab}/360 = 0.913$

Daten für jede Farbe:

lab^*tch^* und lab^*icu^*

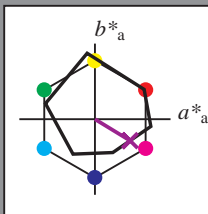
Bunttontexte:

$u^*_e = b50r$ $u^*_d = v55m$

Kontrastreduzierungsfaktor:

$c_R = 1.0$

Dreiecks-Helligkeit i^*



ORS19_96a; adaptierte CIELAB-Daten

u^*_e	$L^*=L^*_a$	a^*_a	b^*_a	$C^*_{ab,a}$	$h^*_{ab,a}$
O _{Ma}	48.75	65.07	39.43	76.08	31
Y _{Ma}	90.92	-10.29	87.24	87.85	97
L _{Ma}	52.69	-65.44	20.75	68.65	162
C _{Ma}	59.61	-28.98	-46.22	54.56	238
V _{Ma}	28.39	23.63	-44.13	50.06	298
M _{Ma}	49.58	73.93	-9.56	74.55	353
N _{Ma}	18.89	0.0	0.0	0.0	0
W _{Ma}	96.9	0.0	0.0	0.0	0
R _{Ma}	39.92	58.74	27.99	65.07	25
J _{Ma}	81.26	-2.89	71.56	71.62	92
G _{Ma}	52.23	-42.42	13.6	44.55	162
B _{Ma}	30.57	1.41	-46.47	46.49	272

Daten für Maximalfarbe (Ma):

$\text{LAB}^*\text{LAB}^*_{\text{Ma}}$: 38 47 -28

$\text{LAB}^*\text{LCH}^*_{\text{Ma}}$: 38 55 328

$\text{lab}^*\text{rgb}^*_{\text{Ma}}$: 1.0 0.0 1.0

$\text{lab}^*\text{olv}^*_{\text{Ma}}$: 0.56 0.0 1.0

Dreiecks-Helligkeit i^*

%Umfang

$u^*_{\text{rel}} = 89$

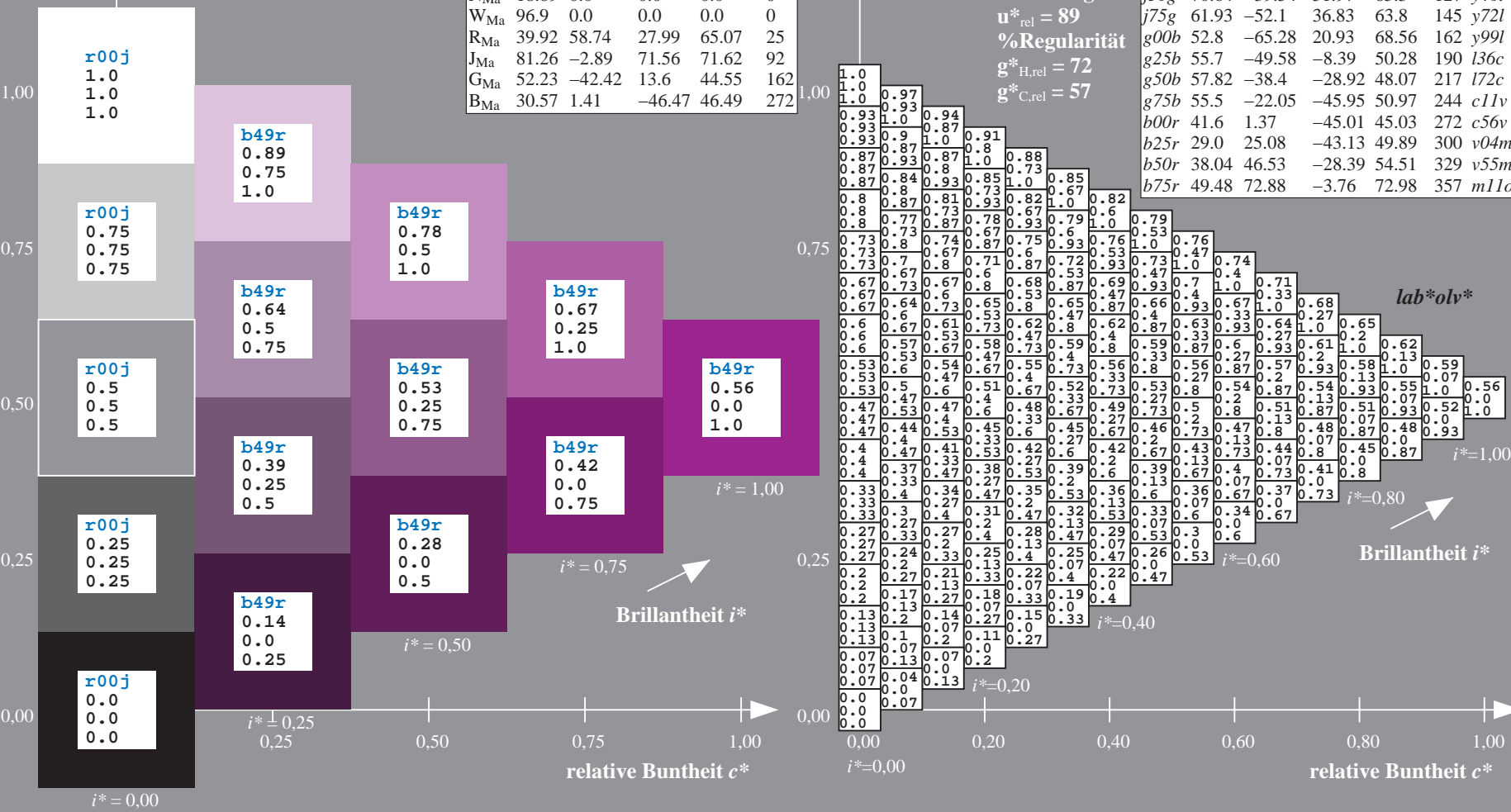
%Regularität

$g^*_{H,\text{rel}} = 72$

$g^*_{C,\text{rel}} = 57$

ORS19_96a; adaptierte CIELAB-Daten

u^*_e	$L^*=L^*_a$	a^*_a	b^*_a	$C^*_{ab,a}$	$h^*_{ab,a}$	u^*_d
r00j	48.88	66.47	31.67	73.63	25	m84o
r25j	55.85	52.39	47.48	70.7	42	o17y
r50j	65.45	35.22	58.37	68.17	59	o42y
r75j	75.19	17.82	69.41	71.66	76	o67y
j00g	87.03	-3.35	82.83	82.9	92	o92y
j25g	80.72	-25.01	69.5	73.86	110	y20l
j50g	70.64	-39.54	51.97	65.3	127	y46l
j75g	61.93	-52.1	36.83	63.8	145	y72l
g00b	52.8	-65.28	20.93	68.56	162	y99l
g25b	55.7	-49.58	-8.39	50.28	190	l36c
g50b	57.82	-38.4	-28.92	48.07	217	l72c
g75b	55.5	-22.05	-45.95	50.97	244	c11v
b00r	41.6	1.37	-45.01	45.03	272	c56v
b25r	29.0	25.08	-43.13	49.89	300	v04m
b50r	38.04	46.53	-28.39	54.51	329	v55m
b75r	49.48	72.88	-3.76	72.98	357	m11o



Ein und Ausgabe: Farbmetrisches Drucker-Reflektiv-System ORS19_96a für relativen CIELAB-Buntton $h^* = lab^*h^* = h_{ab}/360 = 0.992$

Daten für jede Farbe:

lab^*tch^* und lab^*icu^*

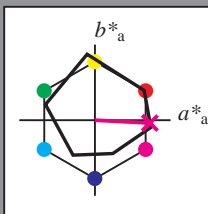
Bunttontexte:

$u^*_e = b75r$ $u^*_d = m11o$

Kontrastreduzierungsfaktor:

$c_R = 1.0$

Dreiecks-Helligkeit i^*



ORS19_96a; adaptierte CIELAB-Daten

u^*_e	$L^*=L^*_a$	a^*_a	b^*_a	$C^*_{ab,a}$	$h^*_{ab,a}$
O _{Ma}	48.75	65.07	39.43	76.08	31
Y _{Ma}	90.92	-10.29	87.24	87.85	97
L _{Ma}	52.69	-65.44	20.75	68.65	162
C _{Ma}	59.61	-28.98	-46.22	54.56	238
V _{Ma}	28.39	23.63	-44.13	50.06	298
M _{Ma}	49.58	73.93	-9.56	74.55	353
N _{Ma}	18.89	0.0	0.0	0.0	0
W _{Ma}	96.9	0.0	0.0	0.0	0
R _{Ma}	39.92	58.74	27.99	65.07	25
J _{Ma}	81.26	-2.89	71.56	71.62	92
G _{Ma}	52.23	-42.42	13.6	44.55	162
B _{Ma}	30.57	1.41	-46.47	46.49	272

Daten für Maximalfarbe (Ma):

$LAB^*LAB^*_{Ma}$: 49 73 -4

$LAB^*LCH^*_{Ma}$: 49 73 357

$lab^*rgb^*_{Ma}$: 1.0 0.0 0.5

$lab^*olv^*_{Ma}$: 1.0 0.0 0.89

Dreiecks-Helligkeit i^*

%Umfang

$u^*_{rel} = 89$

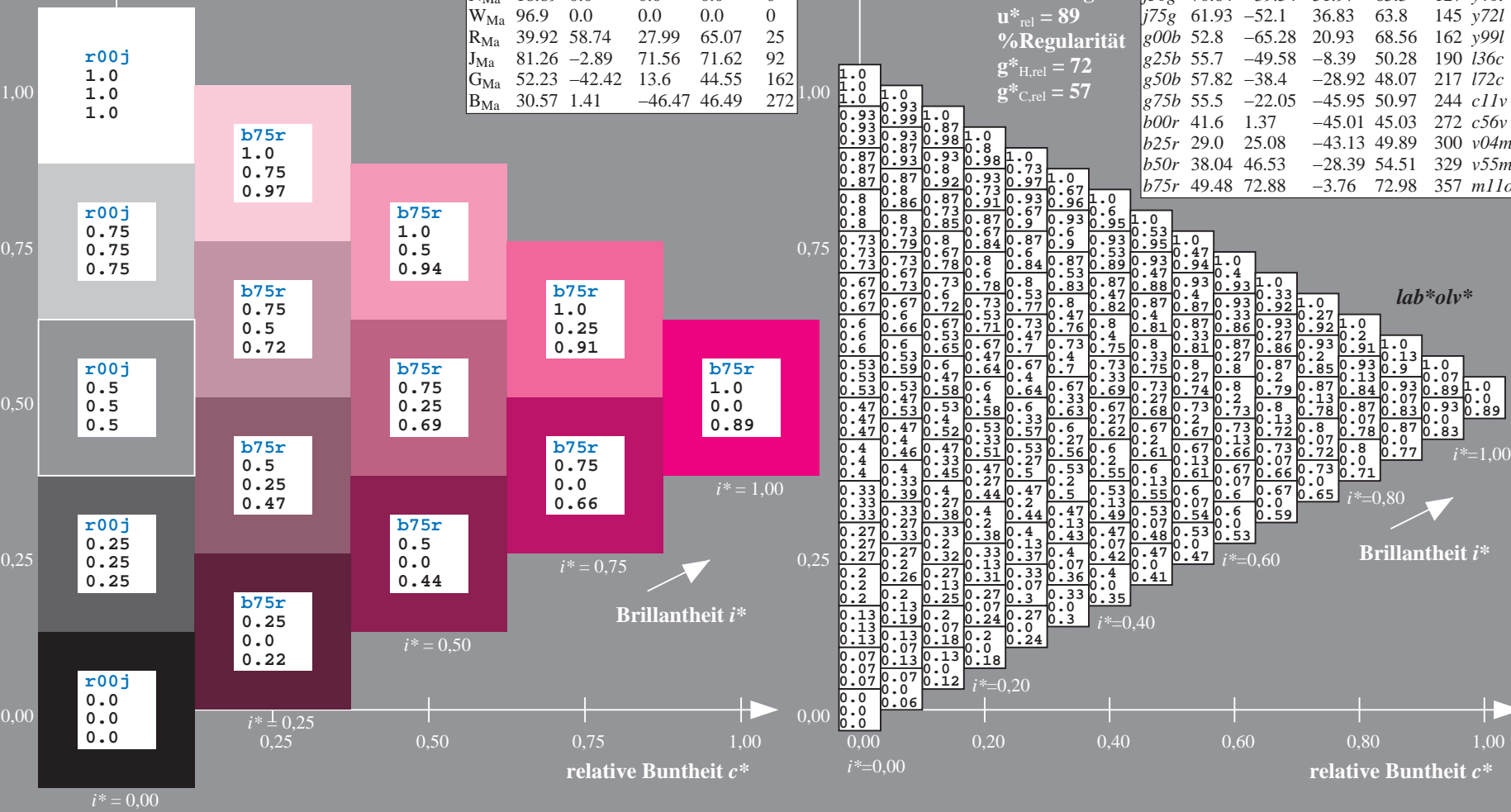
%Regularität

$g^*_{H,rel} = 72$

$g^*_{C,rel} = 57$

ORS19_96a; adaptierte CIELAB-Daten

u^*_e	$L^*=L^*_a$	a^*_a	b^*_a	$C^*_{ab,a}$	$h^*_{ab,a}$	u^*_d
r00j	48.88	66.47	31.67	73.63	25	m84o
r25j	55.85	52.39	47.48	70.7	42	o17y
r50j	65.45	35.22	58.37	68.17	59	o42y
r75j	75.19	17.82	69.41	71.66	76	o67y
j00g	87.03	-3.35	82.83	82.9	92	o92y
j25g	80.72	-25.01	69.5	73.86	110	y20l
j50g	70.64	-39.54	51.97	65.3	127	y46l
j75g	61.93	-52.1	36.83	63.8	145	y72l
g00b	52.8	-65.28	20.93	68.56	162	y99l
g25b	55.7	-49.58	-8.39	50.28	190	l36c
g50b	57.82	-38.4	-28.92	48.07	217	l72c
g75b	55.5	-22.05	-45.95	50.97	244	c11v
b00r	41.6	1.37	-45.01	45.03	272	c56v
b25r	29.0	25.08	-43.13	49.89	300	v04m
b50r	38.04	46.53	-28.39	54.51	329	v55m
b75r	49.48	72.88	-3.76	72.98	357	m11o



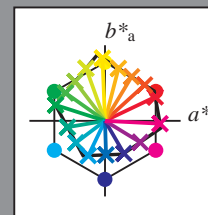
BAM-Prüfvorlage Eg12; Farbmatrik-Systeme, Seite 126/270 Eingabe: 000n / w / nnn0 / www set...
4 Separationen, 9 Datentabellen für 16 Bunttöne r00j bis b75r Ausgabe: ->cmyn6* setcmkcolor

Ein und Ausgabe:
Farbmetrisches Drucker-Reflektiv-System ORS19_96a
Daten für jede Farbe:

u^*_e und Nummer $Nr.$ = 00 .. 15
Elementar-Bunttontext:
 $u^*_e = 16$ Bunttoene $r00j, r25j, \dots, b75r$
Kontrastreduzierungsfaktor:
 $c_R = 1.0$

ORS19_96a; adaptierte CIELAB-Daten

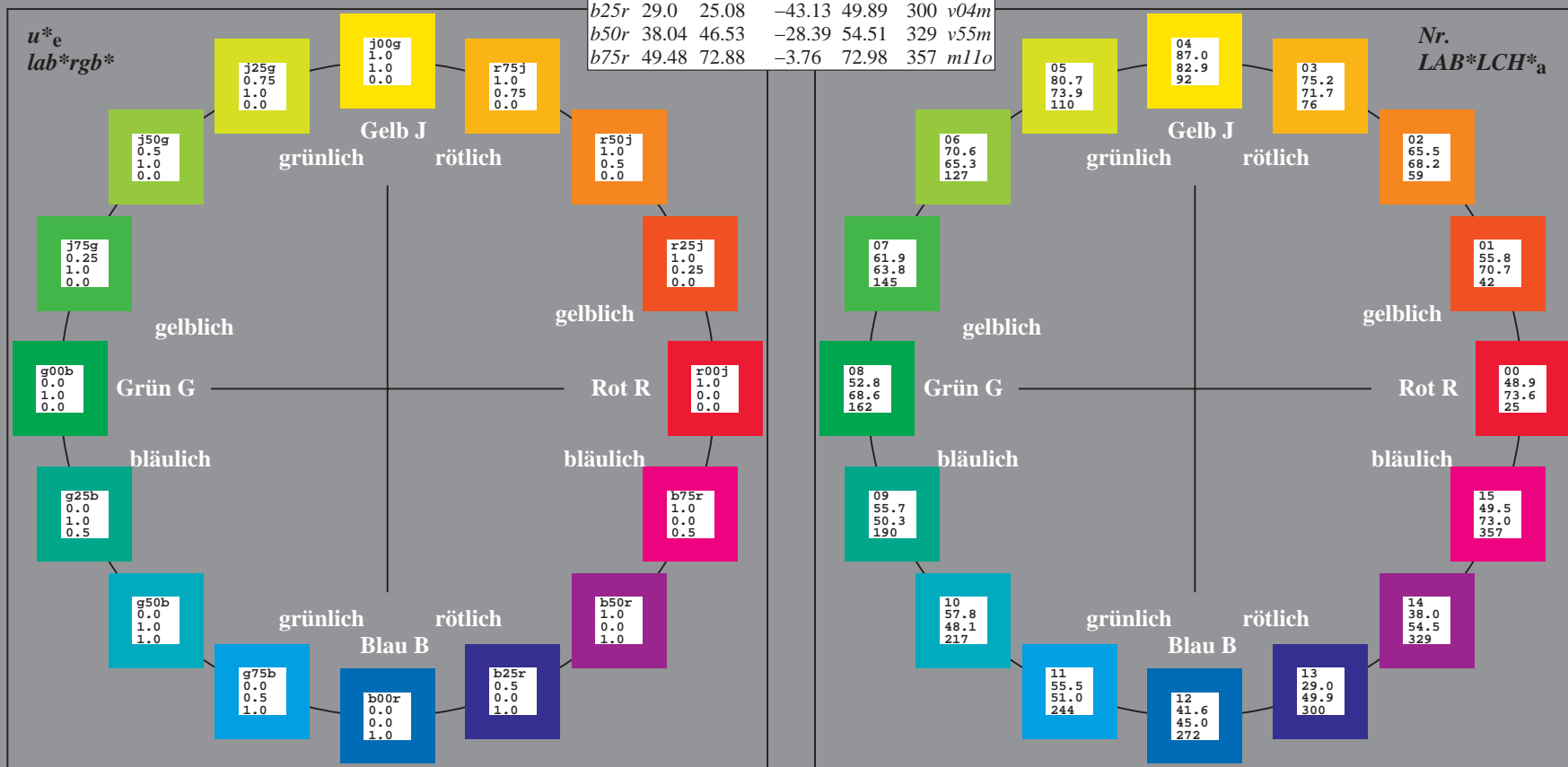
u^*_e	$L^*=L^*_a$	a^*_a	b^*_a	$C^*_{ab,a}$	$h^*_{ab,a}$	u^*_d
$r00j$	48.88	66.47	31.67	73.63	25	$m84o$
$r25j$	55.85	52.39	47.48	70.7	42	$o17y$
$r50j$	65.45	35.22	58.37	68.17	59	$o42y$
$r75j$	75.19	17.82	69.41	71.66	76	$o67y$
$j00g$	87.03	-3.35	82.83	82.9	92	$o92y$
$j25g$	80.72	-25.01	69.5	73.86	110	$y20l$
$j50g$	70.64	-39.54	51.97	65.3	127	$y46l$
$j75g$	61.93	-52.1	36.83	63.8	145	$y72l$
$g00b$	52.8	-65.28	20.93	68.56	162	$y99l$
$g25b$	55.7	-49.58	-8.39	50.28	190	$l36c$
$g50b$	57.82	-38.4	-28.92	48.07	217	$l72c$
$g75b$	55.5	-22.05	-45.95	50.97	244	$c11v$
$b00r$	41.6	1.37	-45.01	45.03	272	$c56v$
$b25r$	29.0	25.08	-43.13	49.89	300	$v04m$
$b50r$	38.04	46.53	-28.39	54.51	329	$v55m$
$b75r$	49.48	72.88	-3.76	72.98	357	$m11o$



%Umfang
 $u^*_{rel} = 89$
%Regularität
 $g^*_{H,rel} = 72$
 $g^*_{C,rel} = 57$

ORS19_96a; adaptierte CIELAB-Daten

Name	$L^*=L^*_a$	a^*_a	b^*_a	$C^*_{ab,a}$	$h^*_{ab,a}$
O_{Ma}	48.75	65.07	39.43	76.08	31
Y_{Ma}	90.92	-10.29	87.24	87.85	97
L_{Ma}	52.69	-65.44	20.75	68.65	162
C_{Ma}	59.61	-28.98	-46.22	54.56	238
V_{Ma}	28.39	23.63	-44.13	50.06	298
M_{Ma}	49.58	73.93	-9.56	74.55	353
N_{Ma}	18.89	0.0	0.0	0.0	0
W_{Ma}	96.9	0.0	0.0	0.0	0
R_{CIE}	39.92	58.74	27.99	65.07	25
J_{CIE}	81.26	-2.89	71.56	71.62	92
G_{CIE}	52.23	-42.42	13.6	44.55	162
B_{CIE}	30.57	1.41	-46.47	46.49	272



Ein und Ausgabe: Farbmimetrisches Drucker-Reflektiv-System ORS19_96a für relativen CIELAB-Buntton $h^* = lab^*h^* = h_{ab}/360 = 0.071$

Daten für jede Farbe:

lab^*tch^* und lab^*icu^*

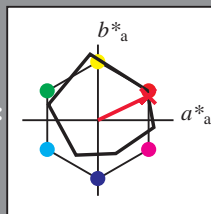
Bunttontexte:

$u^*_e = r00j$ $u^*_d = m84o$

Kontrastreduzierungsfaktor:

$c_R = 1.0$

Dreiecks-Helligkeit i^*



ORS19_96a; adaptierte CIELAB-Daten

u^*_e	$L^*=L^*_a$	a^*_a	b^*_a	$C^*_{ab,a}$	$h^*_{ab,a}$
O _{Ma}	48.75	65.07	39.43	76.08	31
Y _{Ma}	90.92	-10.29	87.24	87.85	97
L _{Ma}	52.69	-65.44	20.75	68.65	162
C _{Ma}	59.61	-28.98	-46.22	54.56	238
V _{Ma}	28.39	23.63	-44.13	50.06	298
M _{Ma}	49.58	73.93	-9.56	74.55	353
N _{Ma}	18.89	0.0	0.0	0.0	0
W _{Ma}	96.9	0.0	0.0	0.0	0
R _{Ma}	39.92	58.74	27.99	65.07	25
J _{Ma}	81.26	-2.89	71.56	71.62	92
G _{Ma}	52.23	-42.42	13.6	44.55	162
B _{Ma}	30.57	1.41	-46.47	46.49	272

Daten für Maximalfarbe (Ma):

$LAB^*LAB^*_{Ma}$: 49 66 32

$LAB^*LCH^*_{Ma}$: 49 74 25

$lab^*rgb^*_{Ma}$: 1.0 0.0 0.0

$lab^*olv^*_{Ma}$: 1.0 0.0 0.15

Dreiecks-Helligkeit i^*

%Umfang

$u^*_{rel} = 89$

%Regularität

$g^*_{H,rel} = 72$

$g^*_{C,rel} = 57$

ORS19_96a; adaptierte CIELAB-Daten

u^*_e	$L^*=L^*_a$	a^*_a	b^*_a	$C^*_{ab,a}$	$h^*_{ab,a}$	u^*_d
r00j	48.88	66.47	31.67	73.63	25	m84o
r25j	55.85	52.39	47.48	70.7	42	o17y
r50j	65.45	35.22	58.37	68.17	59	o42y
r75j	75.19	17.82	69.41	71.66	76	o67y
j00g	87.03	-3.35	82.83	82.9	92	o92y
j25g	80.72	-25.01	69.5	73.86	110	y20l
j50g	70.64	-39.54	51.97	65.3	127	y46l
j75g	61.93	-52.1	36.83	63.8	145	y72l
g00b	52.8	-65.28	20.93	68.56	162	y99l
g25b	55.7	-49.58	-8.39	50.28	190	l36c
g50b	57.82	-38.4	-28.92	48.07	217	l72c
g75b	55.5	-22.05	-45.95	50.97	244	c11v
b00r	41.6	1.37	-45.01	45.03	272	c56v
b25r	29.0	25.08	-43.13	49.89	300	v04m
b50r	38.04	46.53	-28.39	54.51	329	v55m
b75r	49.48	72.88	-3.76	72.98	357	m11o

lab^*rgb^*

$i^* = 1.00$

Brillantheit i^*

$i^* = 0.80$

$i^* = 0.60$

$i^* = 0.40$

$i^* = 0.20$

$i^* = 0.00$

relative Buntheit c^*

relative Buntheit c^*

Ein und Ausgabe: Farbmimetrisches Drucker-Reflektiv-System ORS19_96a für relativen CIELAB-Buntton $h^* = lab^*h^* = h_{ab}/360 = 0.117$

Daten für jede Farbe:

lab^*tch^* und lab^*icu^*

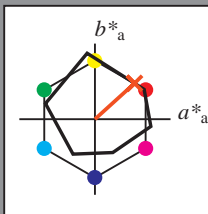
Bunttontexte:

$u^*_e = r25j$ $u^*_d = o17y$

Kontrastreduzierungsfaktor:

$c_R = 1.0$

Dreiecks-Helligkeit t^*



ORS19_96a; adaptierte CIELAB-Daten

u^*_e	$L^*=L^*_a$	a^*_a	b^*_a	$C^*_{ab,a}$	$h^*_{ab,a}$
O _{Ma}	48.75	65.07	39.43	76.08	31
Y _{Ma}	90.92	-10.29	87.24	87.85	97
L _{Ma}	52.69	-65.44	20.75	68.65	162
C _{Ma}	59.61	-28.98	-46.22	54.56	238
V _{Ma}	28.39	23.63	-44.13	50.06	298
M _{Ma}	49.58	73.93	-9.56	74.55	353
N _{Ma}	18.89	0.0	0.0	0.0	0
W _{Ma}	96.9	0.0	0.0	0.0	0
R _{Ma}	39.92	58.74	27.99	65.07	25
J _{Ma}	81.26	-2.89	71.56	71.62	92
G _{Ma}	52.23	-42.42	13.6	44.55	162
B _{Ma}	30.57	1.41	-46.47	46.49	272

Daten für Maximalfarbe (Ma):

$LAB^*LAB^*_{Ma}$: 56 52 47

$LAB^*LCH^*_{Ma}$: 56 71 42

$lab^*rgb^*_{Ma}$: 1.0 0.25 0.0

$lab^*olv^*_{Ma}$: 1.0 0.17 0.0

Dreiecks-Helligkeit t^*

%Umfang

$u^*_{rel} = 89$

%Regularität

$g^*_{H,rel} = 72$

$g^*_{C,rel} = 57$

ORS19_96a; adaptierte CIELAB-Daten

u^*_e	$L^*=L^*_a$	a^*_a	b^*_a	$C^*_{ab,a}$	$h^*_{ab,a}$	u^*_d
r00j	48.88	66.47	31.67	73.63	25	m84o
r25j	55.85	52.39	47.48	70.7	42	o17y
r50j	65.45	35.22	58.37	68.17	59	o42y
r75j	75.19	17.82	69.41	71.66	76	o67y
j00g	87.03	-3.35	82.83	82.9	92	o92y
j25g	80.72	-25.01	69.5	73.86	110	y20l
j50g	70.64	-39.54	51.97	65.3	127	y46l
j75g	61.93	-52.1	36.83	63.8	145	y72l
g00b	52.8	-65.28	20.93	68.56	162	y99l
g25b	55.7	-49.58	-8.39	50.28	190	l36c
g50b	57.82	-38.4	-28.92	48.07	217	l72c
g75b	55.5	-22.05	-45.95	50.97	244	c11v
b00r	41.6	1.37	-45.01	45.03	272	c56v
b25r	29.0	25.08	-43.13	49.89	300	v04m
b50r	38.04	46.53	-28.39	54.51	329	v55m
b75r	49.48	72.88	-3.76	72.98	357	m11o

lab^*rgb^*

$i^* = 1.00$

Brillantheit i^*

$i^* = 0.80$

$i^* = 0.60$

$i^* = 0.40$

$i^* = 0.20$

$i^* = 0.00$

relative Buntheit c^*

Ein und Ausgabe: Farbmimetrisches Drucker-Reflektiv-System ORS19_96a für relativen CIELAB-Buntton $h^* = lab^*h^* = h_{ab}/360 = 0.164$

Daten für jede Farbe:

lab^*tch^* und lab^*icu^*

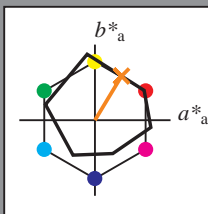
Bunttontexte:

$u^*_e = r50j$ $u^*_d = o42y$

Kontrastreduzierungsfaktor:

$c_R = 1.0$

Dreiecks-Helligkeit t^*



ORS19_96a; adaptierte CIELAB-Daten

u^*_e	$L^*=L^*_a$	a^*_a	b^*_a	$C^*_{ab,a}$	$h^*_{ab,a}$
O _{Ma}	48.75	65.07	39.43	76.08	31
Y _{Ma}	90.92	-10.29	87.24	87.85	97
L _{Ma}	52.69	-65.44	20.75	68.65	162
C _{Ma}	59.61	-28.98	-46.22	54.56	238
V _{Ma}	28.39	23.63	-44.13	50.06	298
M _{Ma}	49.58	73.93	-9.56	74.55	353
N _{Ma}	18.89	0.0	0.0	0.0	0
W _{Ma}	96.9	0.0	0.0	0.0	0
R _{Ma}	39.92	58.74	27.99	65.07	25
J _{Ma}	81.26	-2.89	71.56	71.62	92
G _{Ma}	52.23	-42.42	13.6	44.55	162
B _{Ma}	30.57	1.41	-46.47	46.49	272

Daten für Maximalfarbe (Ma):

$LAB^*LAB^*_{Ma}$: 65 35 58

$LAB^*LCH^*_{Ma}$: 65 68 58

$lab^*rgb^*_{Ma}$: 1.0 0.5 0.0

$lab^*olv^*_{Ma}$: 1.0 0.42 0.0

Dreiecks-Helligkeit t^*

%Umfang

$u^*_{rel} = 89$

%Regularität

$g^*_{H,rel} = 72$

$g^*_{C,rel} = 57$

ORS19_96a; adaptierte CIELAB-Daten

u^*_e	$L^*=L^*_a$	a^*_a	b^*_a	$C^*_{ab,a}$	$h^*_{ab,a}$	u^*_d
r00j	48.88	66.47	31.67	73.63	25	m84o
r25j	55.85	52.39	47.48	70.7	42	o17y
r50j	65.45	35.22	58.37	68.17	59	o42y
r75j	75.19	17.82	69.41	71.66	76	o67y
j00g	87.03	-3.35	82.83	82.9	92	o92y
j25g	80.72	-25.01	69.5	73.86	110	y20l
j50g	70.64	-39.54	51.97	65.3	127	y46l
j75g	61.93	-52.1	36.83	63.8	145	y72l
g00b	52.8	-65.28	20.93	68.56	162	y99l
g25b	55.7	-49.58	-8.39	50.28	190	l36c
g50b	57.82	-38.4	-28.92	48.07	217	l72c
g75b	55.5	-22.05	-45.95	50.97	244	c11v
b00r	41.6	1.37	-45.01	45.03	272	c56v
b25r	29.0	25.08	-43.13	49.89	300	v04m
b50r	38.04	46.53	-28.39	54.51	329	v55m
b75r	49.48	72.88	-3.76	72.98	357	m11o

lab^*rgb^*

$i^* = 1.00$

Brillantheit i^*

$i^* = 0.80$

$i^* = 0.60$

$i^* = 0.40$

$i^* = 0.20$

$i^* = 0.00$

Ein und Ausgabe: Farbmetrisches Drucker-Reflektiv-System ORS19_96a für relativen CIELAB-Buntton $h^* = \text{lab}^*h^* = h_{ab}/360 = 0.21$

Daten für jede Farbe:

lab^*tch^* und lab^*icu^*

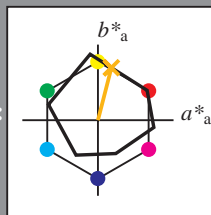
Bunttontexte:

$u^*_e = r75j$ $u^*_d = o67y$

Kontrastreduzierungsfaktor:

$c_R = 1.0$

Dreiecks-Helligkeit i^*



ORS19_96a; adaptierte CIELAB-Daten

u^*_e	$L^*=L^*_a$	a^*_a	b^*_a	$C^*_{ab,a}$	$h^*_{ab,a}$
O _{Ma}	48.75	65.07	39.43	76.08	31
Y _{Ma}	90.92	-10.29	87.24	87.85	97
L _{Ma}	52.69	-65.44	20.75	68.65	162
C _{Ma}	59.61	-28.98	-46.22	54.56	238
V _{Ma}	28.39	23.63	-44.13	50.06	298
M _{Ma}	49.58	73.93	-9.56	74.55	353
N _{Ma}	18.89	0.0	0.0	0.0	0
W _{Ma}	96.9	0.0	0.0	0.0	0
R _{Ma}	39.92	58.74	27.99	65.07	25
J _{Ma}	81.26	-2.89	71.56	71.62	92
G _{Ma}	52.23	-42.42	13.6	44.55	162
B _{Ma}	30.57	1.41	-46.47	46.49	272

Daten für Maximalfarbe (Ma):

$\text{LAB}^*\text{LAB}^*_{\text{Ma}}$: 75 18 69

$\text{LAB}^*\text{LCH}^*_{\text{Ma}}$: 75 72 75

$\text{lab}^*\text{rgb}^*_{\text{Ma}}$: 1.0 0.75 0.0

$\text{lab}^*\text{olv}^*_{\text{Ma}}$: 1.0 0.68 0.0

Dreiecks-Helligkeit i^*

%Umfang

$u^*_{\text{rel}} = 89$

%Regularität

$g^*_{H,\text{rel}} = 72$

$g^*_{C,\text{rel}} = 57$

ORS19_96a; adaptierte CIELAB-Daten

u^*_e	$L^*=L^*_a$	a^*_a	b^*_a	$C^*_{ab,a}$	$h^*_{ab,a}$	u^*_d
r00j	48.88	66.47	31.67	73.63	25	m84o
r25j	55.85	52.39	47.48	70.7	42	o17y
r50j	65.45	35.22	58.37	68.17	59	o42y
r75j	75.19	17.82	69.41	71.66	76	o67y
j00g	87.03	-3.35	82.83	82.9	92	o92y
j25g	80.72	-25.01	69.5	73.86	110	y20l
j50g	70.64	-39.54	51.97	65.3	127	y46l
j75g	61.93	-52.1	36.83	63.8	145	y72l
g00b	52.8	-65.28	20.93	68.56	162	y99l
g25b	55.7	-49.58	-8.39	50.28	190	l36c
g50b	57.82	-38.4	-28.92	48.07	217	l72c
g75b	55.5	-22.05	-45.95	50.97	244	c11v
b00r	41.6	1.37	-45.01	45.03	272	c56v
b25r	29.0	25.08	-43.13	49.89	300	v04m
b50r	38.04	46.53	-28.39	54.51	329	v55m
b75r	49.48	72.88	-3.76	72.98	357	m11o

lab^*rgb^*
1.0 0.75 0.0
0.75 0.75 0.0
0.5 0.75 0.0
0.25 0.75 0.0
0.0 0.75 0.0
0.0 0.5 0.0
0.0 0.25 0.0
0.0 0.0 0.0

$i^* = 1.00$
1.0 0.75 0.0
0.75 0.75 0.0
0.5 0.75 0.0
0.25 0.75 0.0
0.0 0.75 0.0
0.0 0.5 0.0
0.0 0.25 0.0
0.0 0.0 0.0

$i^* = 0.80$
0.75 0.75 0.0
0.5 0.75 0.0
0.25 0.75 0.0
0.0 0.75 0.0
0.0 0.5 0.0
0.0 0.25 0.0
0.0 0.0 0.0

$i^* = 0.60$
0.5 0.75 0.0
0.25 0.75 0.0
0.0 0.75 0.0
0.0 0.5 0.0
0.0 0.25 0.0
0.0 0.0 0.0

$i^* = 0.40$
0.25 0.75 0.0
0.0 0.75 0.0
0.0 0.5 0.0
0.0 0.25 0.0
0.0 0.0 0.0

$i^* = 0.20$
0.0 0.75 0.0
0.0 0.5 0.0
0.0 0.25 0.0
0.0 0.0 0.0

$i^* = 0.00$
0.0 0.5 0.0
0.0 0.25 0.0
0.0 0.0 0.0

Ein und Ausgabe: Farbmimetrisches Drucker-Reflektiv-System ORS19_96a für relativen CIELAB-Buntton $h^* = lab^*h^* = h_{ab}/360 = 0.256$

Daten für jede Farbe:

lab^*tch^* und lab^*icu^*

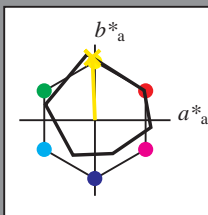
Bunttontexte:

$u^*_e = j00g$ $u^*_d = o92y$

Kontrastreduzierungsfaktor:

$c_R = 1.0$

Dreiecks-Helligkeit i^*



ORS19_96a; adaptierte CIELAB-Daten

	u^*_e	$L^*=L^*_a$	a^*_a	b^*_a	$C^*_{ab,a}$	$h^*_{ab,a}$
O _{Ma}	48.75	65.07	39.43	76.08	31	
Y _{Ma}	90.92	-10.29	87.24	87.85	97	
L _{Ma}	52.69	-65.44	20.75	68.65	162	
C _{Ma}	59.61	-28.98	-46.22	54.56	238	
V _{Ma}	28.39	23.63	-44.13	50.06	298	
M _{Ma}	49.58	73.93	-9.56	74.55	353	
N _{Ma}	18.89	0.0	0.0	0.0	0	
W _{Ma}	96.9	0.0	0.0	0.0	0	
R _{Ma}	39.92	58.74	27.99	65.07	25	
J _{Ma}	81.26	-2.89	71.56	71.62	92	
G _{Ma}	52.23	-42.42	13.6	44.55	162	
B _{Ma}	30.57	1.41	-46.47	46.49	272	

Daten für Maximalfarbe (Ma):

$LAB^*LAB^*_{Ma}$: 87 -3 83

$LAB^*LCH^*_{Ma}$: 87 83 92

$lab^*rgb^*_{Ma}$: 1.0 1.0 0.0

$lab^*olv^*_{Ma}$: 1.0 0.93 0.0

Dreiecks-Helligkeit i^*

%Umfang

$u^*_{rel} = 89$

%Regularität

$g^*_{H,rel} = 72$

$g^*_{C,rel} = 57$

ORS19_96a; adaptierte CIELAB-Daten

	u^*_e	$L^*=L^*_a$	a^*_a	b^*_a	$C^*_{ab,a}$	$h^*_{ab,a}$	u^*_d
r00j	48.88	66.47	31.67	73.63	25	m84o	
r25j	55.85	52.39	47.48	70.7	42	o17y	
r50j	65.45	35.22	58.37	68.17	59	o42y	
r75j	75.19	17.82	69.41	71.66	76	o67y	
j00g	87.03	-3.35	82.83	82.9	92	o92y	
j25g	80.72	-25.01	69.5	73.86	110	y20l	
j50g	70.64	-39.54	51.97	65.3	127	y46l	
j75g	61.93	-52.1	36.83	63.8	145	y72l	
g00b	52.8	-65.28	20.93	68.56	162	y99l	
g25b	55.7	-49.58	-8.39	50.28	190	l36c	
g50b	57.82	-38.4	-28.92	48.07	217	l72c	
g75b	55.5	-22.05	-45.95	50.97	244	c11v	
b00r	41.6	1.37	-45.01	45.03	272	c56v	
b25r	29.0	25.08	-43.13	49.89	300	v04m	
b50r	38.04	46.53	-28.39	54.51	329	v55m	
b75r	49.48	72.88	-3.76	72.98	357	m11o	

lab^*rgb^*

$i^* = 1.00$

Brillantheit i^*

$i^* = 0.80$

$i^* = 0.60$

$i^* = 0.40$

$i^* = 0.20$

$i^* = 0.00$

relative Buntheit c^*

relative Buntheit c^*

Ein und Ausgabe: Farbmimetrisches Drucker-Reflektiv-System ORS19_96a für relativen CIELAB-Buntton $h^* = lab^*h^* = h_{ab}/360 = 0.305$

Daten für jede Farbe:

lab^*tch^* und lab^*icu^*

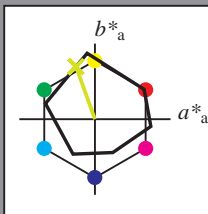
Bunttontexte:

$u^*_e = j25g$ $u^*_d = y20l$

Kontrastreduzierungsfaktor:

$c_R = 1.0$

Dreiecks-Helligkeit i^*



ORS19_96a; adaptierte CIELAB-Daten

	u^*_e	$L^*=L^*_a$	a^*_a	b^*_a	$C^*_{ab,a}$	$h^*_{ab,a}$
O _{Ma}	48.75	65.07	39.43	76.08	31	
Y _{Ma}	90.92	-10.29	87.24	87.85	97	
L _{Ma}	52.69	-65.44	20.75	68.65	162	
C _{Ma}	59.61	-28.98	-46.22	54.56	238	
V _{Ma}	28.39	23.63	-44.13	50.06	298	
M _{Ma}	49.58	73.93	-9.56	74.55	353	
N _{Ma}	18.89	0.0	0.0	0.0	0	
W _{Ma}	96.9	0.0	0.0	0.0	0	
R _{Ma}	39.92	58.74	27.99	65.07	25	
J _{Ma}	81.26	-2.89	71.56	71.62	92	
G _{Ma}	52.23	-42.42	13.6	44.55	162	
B _{Ma}	30.57	1.41	-46.47	46.49	272	

Daten für Maximalfarbe (Ma):

$LAB^*LAB^*_{Ma}$: 81 -25 69

$LAB^*LCH^*_{Ma}$: 81 74 109

$lab^*rgb^*_{Ma}$: 0.75 1.0 0.0

$lab^*olv^*_{Ma}$: 0.8 1.0 0.0

Dreiecks-Helligkeit i^*

%Umfang

$u^*_{rel} = 89$

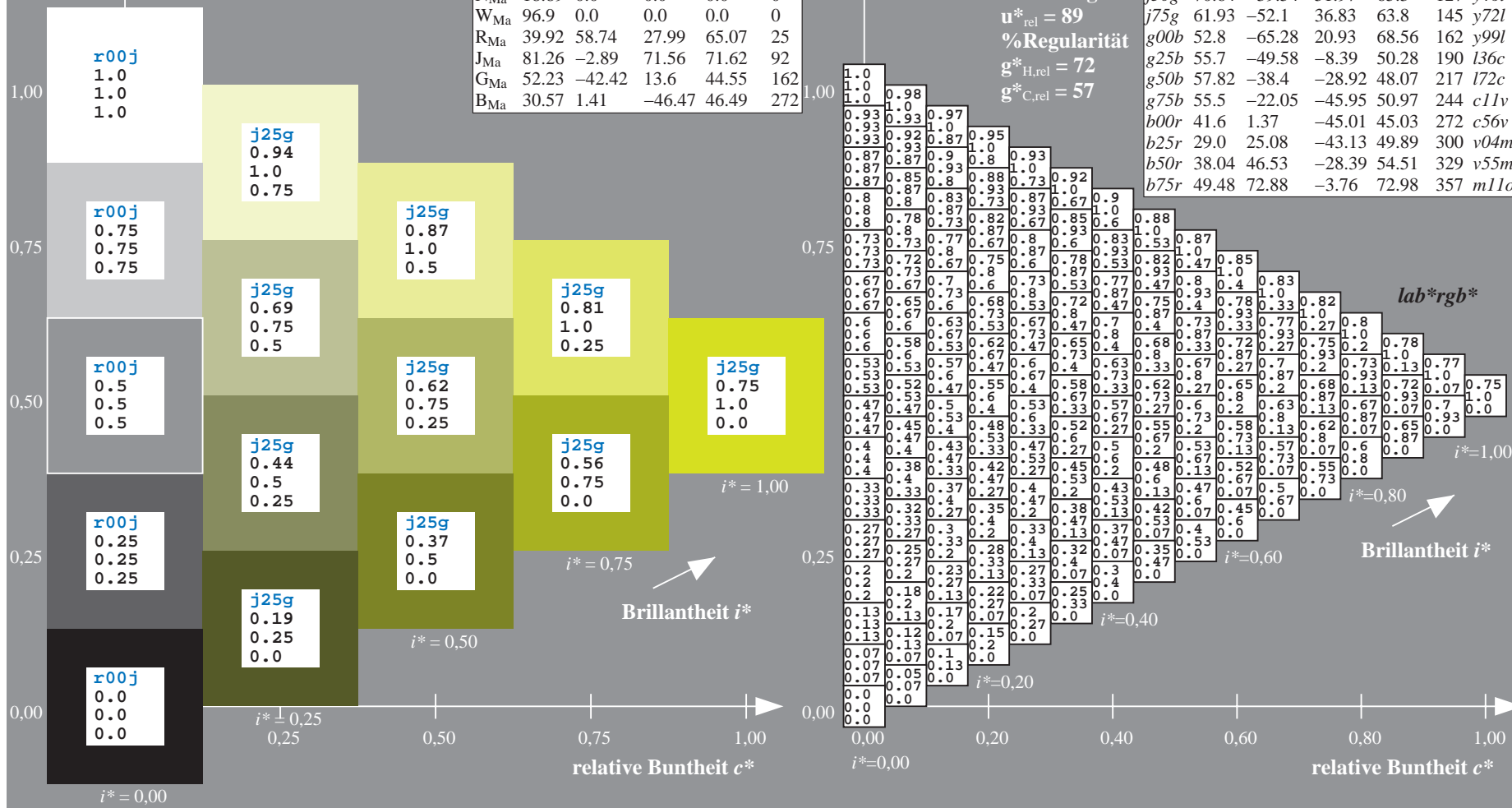
%Regularität

$g^*_{H,rel} = 72$

$g^*_{C,rel} = 57$

ORS19_96a; adaptierte CIELAB-Daten

	u^*_e	$L^*=L^*_a$	a^*_a	b^*_a	$C^*_{ab,a}$	$h^*_{ab,a}$	u^*_d
r00j	48.88	66.47	31.67	73.63	25	m84o	
r25j	55.85	52.39	47.48	70.7	42	o17y	
r50j	65.45	35.22	58.37	68.17	59	o42y	
r75j	75.19	17.82	69.41	71.66	76	o67y	
j00g	87.03	-3.35	82.83	82.9	92	o92y	
j25g	80.72	-25.01	69.5	73.86	110	y20l	
j50g	70.64	-39.54	51.97	65.3	127	y46l	
j75g	61.93	-52.1	36.83	63.8	145	y72l	
g00b	52.8	-65.28	20.93	68.56	162	y99l	
g25b	55.7	-49.58	-8.39	50.28	190	l36c	
g50b	57.82	-38.4	-28.92	48.07	217	l72c	
g75b	55.5	-22.05	-45.95	50.97	244	c11v	
b00r	41.6	1.37	-45.01	45.03	272	c56v	
b25r	29.0	25.08	-43.13	49.89	300	v04m	
b50r	38.04	46.53	-28.39	54.51	329	v55m	
b75r	49.48	72.88	-3.76	72.98	357	m11o	



Ein und Ausgabe: Farbmimetrisches Drucker-Reflektiv-System ORS19_96a für relativen CIELAB-Buntton $h^* = lab^*h^* = h_{ab}/360 = 0.354$

Daten für jede Farbe:

lab^*tch^* und lab^*icu^*

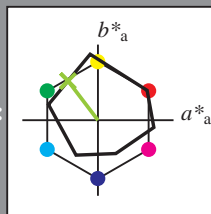
Bunttontexte:

$u^*_e = j50g$ $u^*_d = y46l$

Kontrastreduzierungsfaktor:

$c_R = 1.0$

Dreiecks-Helligkeit i^*



ORS19_96a; adaptierte CIELAB-Daten

	u^*_e	$L^*=L^*_a$	a^*_a	b^*_a	$C^*_{ab,a}$	$h^*_{ab,a}$
O _{Ma}	48.75	65.07	39.43	76.08	31	
Y _{Ma}	90.92	-10.29	87.24	87.85	97	
L _{Ma}	52.69	-65.44	20.75	68.65	162	
C _{Ma}	59.61	-28.98	-46.22	54.56	238	
V _{Ma}	28.39	23.63	-44.13	50.06	298	
M _{Ma}	49.58	73.93	-9.56	74.55	353	
N _{Ma}	18.89	0.0	0.0	0.0	0	
W _{Ma}	96.9	0.0	0.0	0.0	0	
R _{Ma}	39.92	58.74	27.99	65.07	25	
J _{Ma}	81.26	-2.89	71.56	71.62	92	
G _{Ma}	52.23	-42.42	13.6	44.55	162	
B _{Ma}	30.57	1.41	-46.47	46.49	272	

Daten für Maximalfarbe (Ma):

$LAB^*LAB^*_{Ma}$: 71 -40 52

$LAB^*LCH^*_{Ma}$: 71 65 127

$lab^*rgb^*_{Ma}$: 0.5 1.0 0.0

$lab^*olv^*_{Ma}$: 0.54 1.0 0.0

Dreiecks-Helligkeit i^*

%Umfang

$u^*_{rel} = 89$

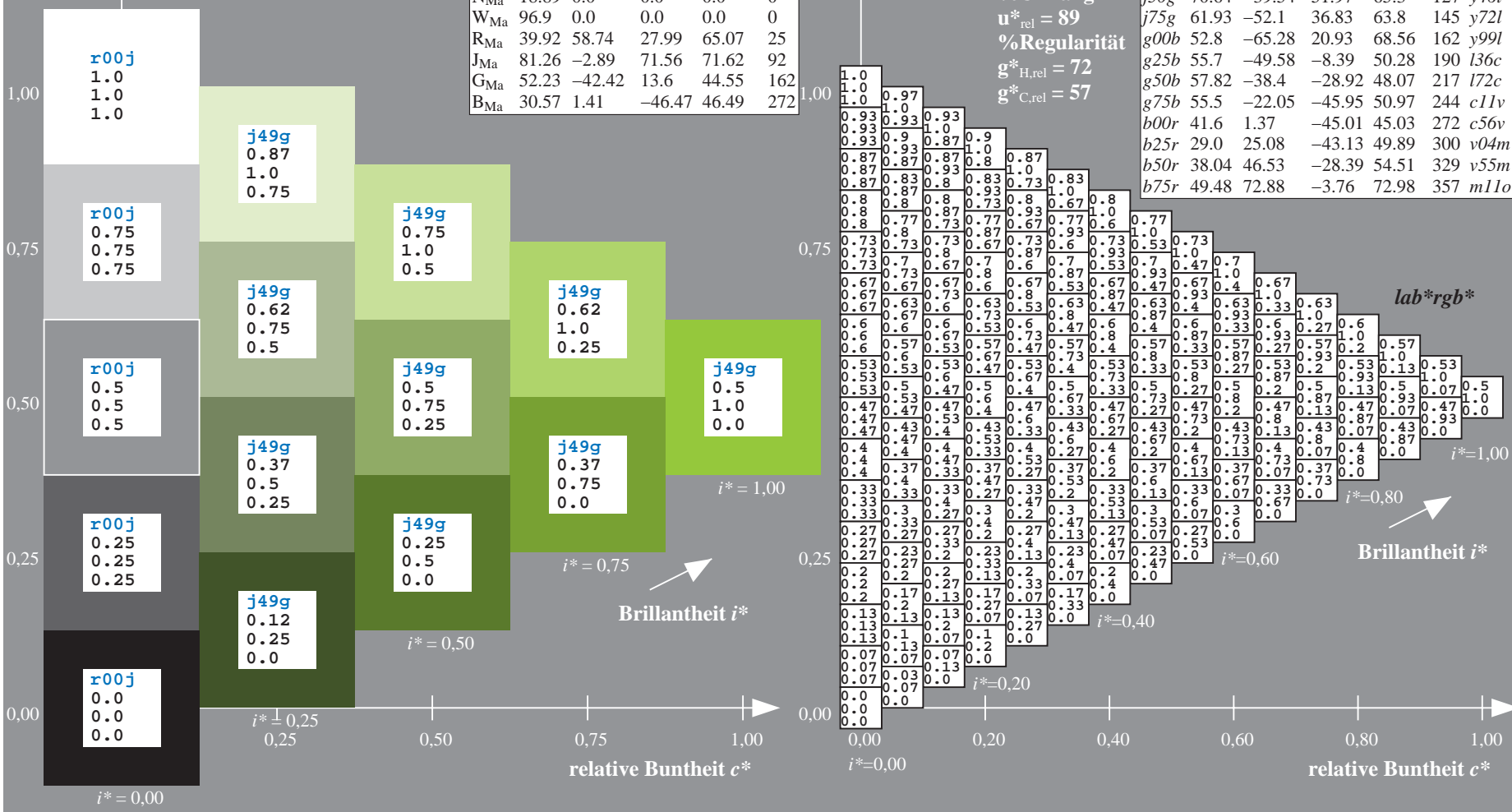
%Regularität

$g^*_{H,rel} = 72$

$g^*_{C,rel} = 57$

ORS19_96a; adaptierte CIELAB-Daten

	u^*_e	$L^*=L^*_a$	a^*_a	b^*_a	$C^*_{ab,a}$	$h^*_{ab,a}$	u^*_d
r00j	48.88	66.47	31.67	73.63	25	m84o	
r25j	55.85	52.39	47.48	70.7	42	o17y	
r50j	65.45	35.22	58.37	68.17	59	o42y	
r75j	75.19	17.82	69.41	71.66	76	o67y	
j00g	87.03	-3.35	82.83	82.9	92	o92y	
j25g	80.72	-25.01	69.5	73.86	110	y20l	
j50g	70.64	-39.54	51.97	65.3	127	y46l	
j75g	61.93	-52.1	36.83	63.8	145	y72l	
g00b	52.8	-65.28	20.93	68.56	162	y99l	
g25b	55.7	-49.58	-8.39	50.28	190	l36c	
g50b	57.82	-38.4	-28.92	48.07	217	l72c	
g75b	55.5	-22.05	-45.95	50.97	244	c11v	
b00r	41.6	1.37	-45.01	45.03	272	c56v	
b25r	29.0	25.08	-43.13	49.89	300	v04m	
b50r	38.04	46.53	-28.39	54.51	329	v55m	
b75r	49.48	72.88	-3.76	72.98	357	m11o	



Ein und Ausgabe: Farbmimetrisches Drucker-Reflektiv-System ORS19_96a für relativen CIELAB-Buntton $h^* = lab^*h^* = h_{ab}/360 = 0.402$

Daten für jede Farbe:

lab^*tch^* und lab^*icu^*

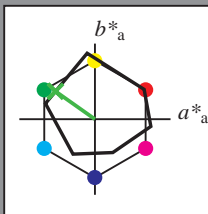
Bunttontexte:

$u^*_e = j75g$ $u^*_d = y72l$

Kontrastreduzierungsfaktor:

$c_R = 1.0$

Dreiecks-Helligkeit i^*



ORS19_96a; adaptierte CIELAB-Daten

u^*_e	$L^*=L^*_a$	a^*_a	b^*_a	$C^*_{ab,a}$	$h^*_{ab,a}$
O _{Ma}	48.75	65.07	39.43	76.08	31
Y _{Ma}	90.92	-10.29	87.24	87.85	97
L _{Ma}	52.69	-65.44	20.75	68.65	162
C _{Ma}	59.61	-28.98	-46.22	54.56	238
V _{Ma}	28.39	23.63	-44.13	50.06	298
M _{Ma}	49.58	73.93	-9.56	74.55	353
N _{Ma}	18.89	0.0	0.0	0.0	0
W _{Ma}	96.9	0.0	0.0	0.0	0
R _{Ma}	39.92	58.74	27.99	65.07	25
J _{Ma}	81.26	-2.89	71.56	71.62	92
G _{Ma}	52.23	-42.42	13.6	44.55	162
B _{Ma}	30.57	1.41	-46.47	46.49	272

Daten für Maximalfarbe (Ma):

$LAB^*LAB^*_{Ma}$: 62 -52 37

$LAB^*LCH^*_{Ma}$: 62 64 144

$lab^*rgb^*_{Ma}$: 0.25 1.0 0.0

$lab^*olv^*_{Ma}$: 0.27 1.0 0.0

Dreiecks-Helligkeit i^*

%Umfang

$u^*_{rel} = 89$

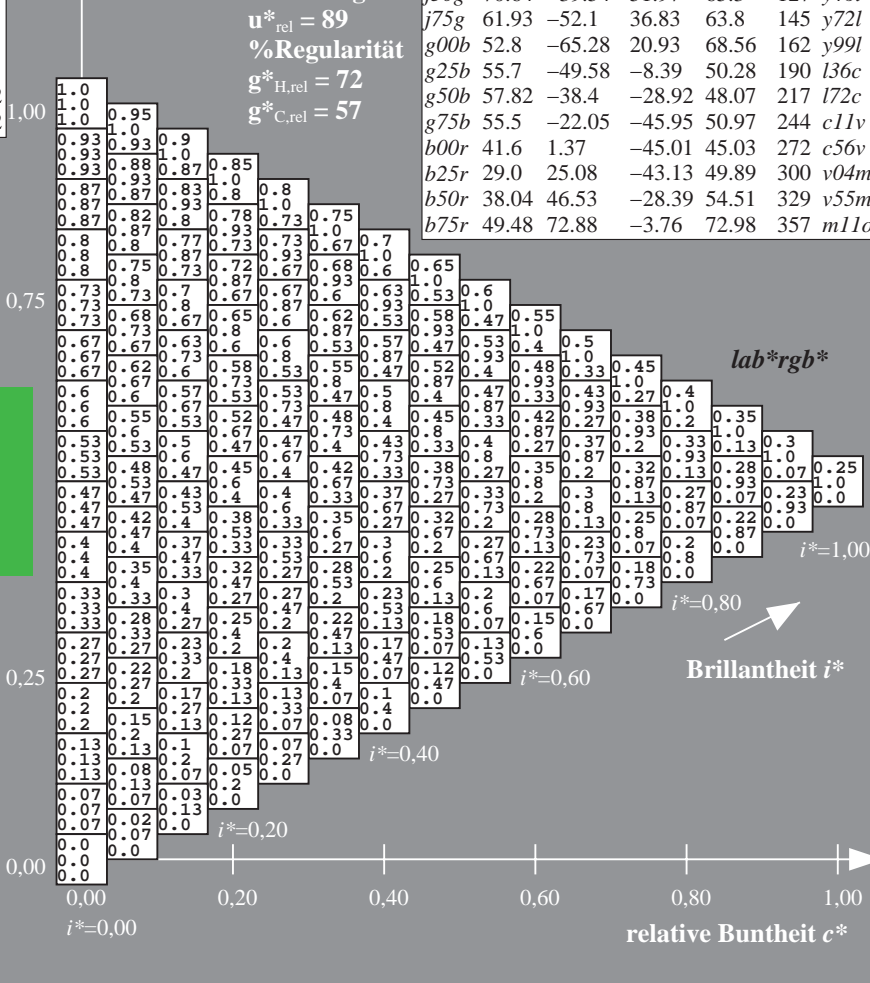
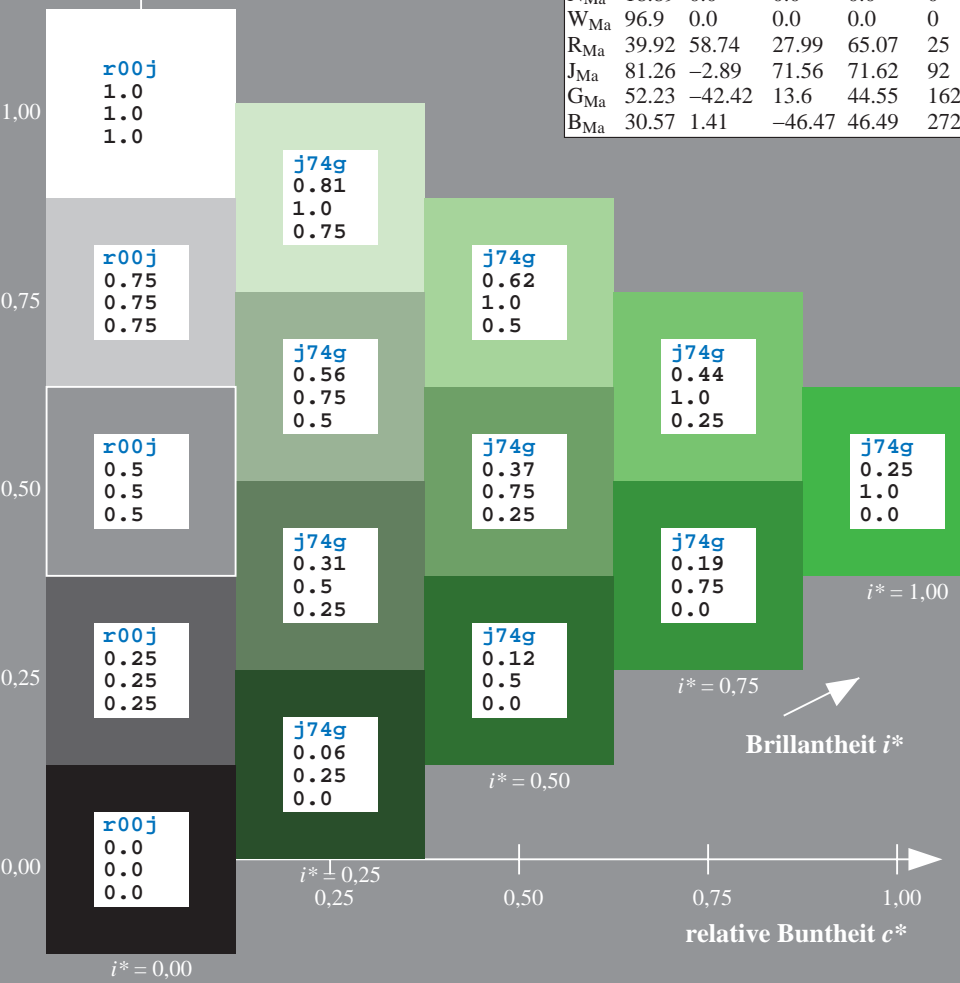
%Regularität

$g^*_{H,rel} = 72$

$g^*_{C,rel} = 57$

ORS19_96a; adaptierte CIELAB-Daten

u^*_e	$L^*=L^*_a$	a^*_a	b^*_a	$C^*_{ab,a}$	$h^*_{ab,a}$	u^*_d
r00j	48.88	66.47	31.67	73.63	25	m84o
r25j	55.85	52.39	47.48	70.7	42	o17y
r50j	65.45	35.22	58.37	68.17	59	o42y
r75j	75.19	17.82	69.41	71.66	76	o67y
j00g	87.03	-3.35	82.83	82.9	92	o92y
j25g	80.72	-25.01	69.5	73.86	110	y20l
j50g	70.64	-39.54	51.97	65.3	127	y46l
j75g	61.93	-52.1	36.83	63.8	145	y72l
g00b	52.8	-65.28	20.93	68.56	162	y99l
g25b	55.7	-49.58	-8.39	50.28	190	l36c
g50b	57.82	-38.4	-28.92	48.07	217	l72c
g75b	55.5	-22.05	-45.95	50.97	244	c11v
b00r	41.6	1.37	-45.01	45.03	272	c56v
b25r	29.0	25.08	-43.13	49.89	300	v04m
b50r	38.04	46.53	-28.39	54.51	329	v55m
b75r	49.48	72.88	-3.76	72.98	357	m11o



Ein und Ausgabe: Farbmetrisches Drucker-Reflektiv-System ORS19_96a für relativen CIELAB-Buntton $h^* = lab^*h^* = h_{ab}/360 = 0.451$

Daten für jede Farbe:

lab^*tch^* und lab^*icu^*

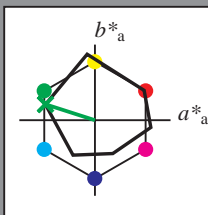
Bunttontexte:

$u^*_e = g00b$ $u^*_d = y99l$

Kontrastreduzierungsfaktor:

$c_R = 1.0$

Dreiecks-Helligkeit i^*



ORS19_96a; adaptierte CIELAB-Daten

	u^*_e	$L^*=L^*_a$	a^*_a	b^*_a	$C^*_{ab,a}$	$h^*_{ab,a}$
O _{Ma}	48.75	65.07	39.43	76.08	31	
Y _{Ma}	90.92	-10.29	87.24	87.85	97	
L _{Ma}	52.69	-65.44	20.75	68.65	162	
C _{Ma}	59.61	-28.98	-46.22	54.56	238	
V _{Ma}	28.39	23.63	-44.13	50.06	298	
M _{Ma}	49.58	73.93	-9.56	74.55	353	
N _{Ma}	18.89	0.0	0.0	0.0	0	
W _{Ma}	96.9	0.0	0.0	0.0	0	
R _{Ma}	39.92	58.74	27.99	65.07	25	
J _{Ma}	81.26	-2.89	71.56	71.62	92	
G _{Ma}	52.23	-42.42	13.6	44.55	162	
B _{Ma}	30.57	1.41	-46.47	46.49	272	

Daten für Maximalfarbe (Ma):

$LAB^*LAB^*_{Ma}$: 53 -65 21

$LAB^*LCH^*_{Ma}$: 53 69 162

$lab^*rgb^*_{Ma}$: 0.0 1.0 0.0

$lab^*olv^*_{Ma}$: 0.0 1.0 0.0

Dreiecks-Helligkeit i^*

%Umfang

$u^*_{rel} = 89$

%Regularität

$g^*_{H,rel} = 72$

$g^*_{C,rel} = 57$

ORS19_96a; adaptierte CIELAB-Daten

	u^*_e	$L^*=L^*_a$	a^*_a	b^*_a	$C^*_{ab,a}$	$h^*_{ab,a}$	u^*_d
r00j	48.88	66.47	31.67	73.63	25	m84o	
r25j	55.85	52.39	47.48	70.7	42	o17y	
r50j	65.45	35.22	58.37	68.17	59	o42y	
r75j	75.19	17.82	69.41	71.66	76	o67y	
j00g	87.03	-3.35	82.83	82.9	92	o92y	
j25g	80.72	-25.01	69.5	73.86	110	y20l	
j50g	70.64	-39.54	51.97	65.3	127	y46l	
j75g	61.93	-52.1	36.83	63.8	145	y72l	
g00b	52.8	-65.28	20.93	68.56	162	y99l	
g25b	55.7	-49.58	-8.39	50.28	190	l36c	
g50b	57.82	-38.4	-28.92	48.07	217	l72c	
g75b	55.5	-22.05	-45.95	50.97	244	c11v	
b00r	41.6	1.37	-45.01	45.03	272	c56v	
b25r	29.0	25.08	-43.13	49.89	300	v04m	
b50r	38.04	46.53	-28.39	54.51	329	v55m	
b75r	49.48	72.88	-3.76	72.98	357	m11o	

lab^*rgb^*

$i^* = 1.00$

Brillantheit i^*

$i^* = 0.80$

$i^* = 0.60$

$i^* = 0.40$

$i^* = 0.20$

$i^* = 0.00$

relative Buntheit c^*

Ein und Ausgabe: Farbmimetrisches Drucker-Reflektiv-System ORS19_96a für relativen CIELAB-Buntton $h^* = \text{lab}^*h^* = h_{ab}/360 = 0.527$

Daten für jede Farbe:

lab^*tch^* und lab^*icu^*

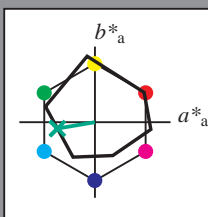
Bunttontexte:

$u^*_e = g25b$ $u^*_d = l36c$

Kontrastreduzierungsfaktor:

$c_R = 1.0$

Dreiecks-Helligkeit i^*



ORS19_96a; adaptierte CIELAB-Daten						
u^*_e	$L^*=L^*_a$	a^*_a	b^*_a	$C^*_{ab,a}$	$h^*_{ab,a}$	
O _{Ma}	48.75	65.07	39.43	76.08	31	
Y _{Ma}	90.92	-10.29	87.24	87.85	97	
L _{Ma}	52.69	-65.44	20.75	68.65	162	
C _{Ma}	59.61	-28.98	-46.22	54.56	238	
V _{Ma}	28.39	23.63	-44.13	50.06	298	
M _{Ma}	49.58	73.93	-9.56	74.55	353	
N _{Ma}	18.89	0.0	0.0	0.0	0	
W _{Ma}	96.9	0.0	0.0	0.0	0	
R _{Ma}	39.92	58.74	27.99	65.07	25	
J _{Ma}	81.26	-2.89	71.56	71.62	92	
G _{Ma}	52.23	-42.42	13.6	44.55	162	
B _{Ma}	30.57	1.41	-46.47	46.49	272	

Daten für Maximalfarbe (Ma):

$\text{LAB}^*\text{LAB}^*_{\text{Ma}}$: 56 -50 -8

$\text{LAB}^*\text{LCH}^*_{\text{Ma}}$: 56 50 189

$\text{lab}^*\text{rgb}^*_{\text{Ma}}$: 0.0 1.0 0.5

$\text{lab}^*\text{olv}^*_{\text{Ma}}$: 0.0 1.0 0.36

Dreiecks-Helligkeit i^*

%Umfang

$u^*_{\text{rel}} = 89$

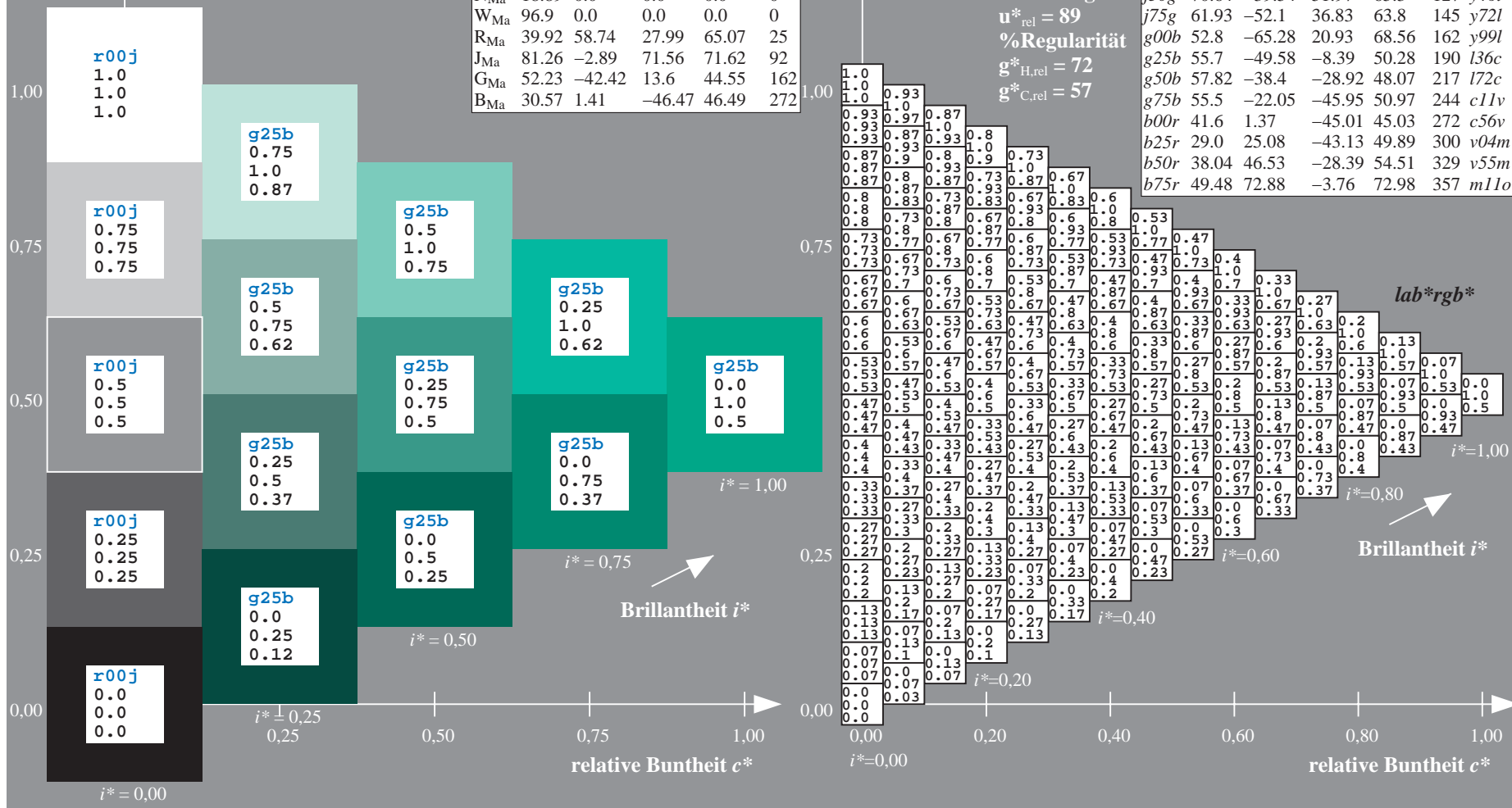
%Regularität

$g^*_{H,\text{rel}} = 72$

$g^*_{C,\text{rel}} = 57$

$u^*_e = g25b$
 lab^*rgb^*

ORS19_96a; adaptierte CIELAB-Daten						
u^*_e	$L^*=L^*_a$	a^*_a	b^*_a	$C^*_{ab,a}$	$h^*_{ab,a}$	u^*_d
r00j	48.88	66.47	31.67	73.63	25	m84o
r25j	55.85	52.39	47.48	70.7	42	o17y
r50j	65.45	35.22	58.37	68.17	59	o42y
r75j	75.19	17.82	69.41	71.66	76	o67y
j00g	87.03	-3.35	82.83	82.9	92	o92y
j25g	80.72	-25.01	69.5	73.86	110	y20l
j50g	70.64	-39.54	51.97	65.3	127	y46l
j75g	61.93	-52.1	36.83	63.8	145	y72l
g00b	52.8	-65.28	20.93	68.56	162	y99l
g25b	55.7	-49.58	-8.39	50.28	190	l36c
g50b	57.82	-38.4	-28.92	48.07	217	l72c
g75b	55.5	-22.05	-45.95	50.97	244	c11v
b00r	41.6	1.37	-45.01	45.03	272	c56v
b25r	29.0	25.08	-43.13	49.89	300	v04m
b50r	38.04	46.53	-28.39	54.51	329	v55m
b75r	49.48	72.88	-3.76	72.98	357	m11o



Ein und Ausgabe: Farbmimetrisches Drucker-Reflektiv-System ORS19_96a für relativen CIELAB-Buntton $h^* = lab^*h^* = h_{ab}/360 = 0.603$

Daten für jede Farbe:

lab^*tch^* und lab^*icu^*

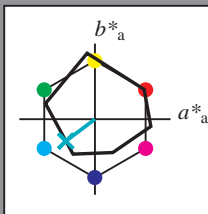
Bunttontexte:

$u^*_e = g50b$ $u^*_d = l72c$

Kontrastreduzierungsfaktor:

$c_R = 1.0$

Dreiecks-Helligkeit i^*



ORS19_96a; adaptierte CIELAB-Daten

	u^*_e	$L^*=L^*_a$	a^*_a	b^*_a	$C^*_{ab,a}$	$h^*_{ab,a}$
O _{Ma}	48.75	65.07	39.43	76.08	31	
Y _{Ma}	90.92	-10.29	87.24	87.85	97	
L _{Ma}	52.69	-65.44	20.75	68.65	162	
C _{Ma}	59.61	-28.98	-46.22	54.56	238	
V _{Ma}	28.39	23.63	-44.13	50.06	298	
M _{Ma}	49.58	73.93	-9.56	74.55	353	
N _{Ma}	18.89	0.0	0.0	0.0	0	
W _{Ma}	96.9	0.0	0.0	0.0	0	
R _{Ma}	39.92	58.74	27.99	65.07	25	
J _{Ma}	81.26	-2.89	71.56	71.62	92	
G _{Ma}	52.23	-42.42	13.6	44.55	162	
B _{Ma}	30.57	1.41	-46.47	46.49	272	

Daten für Maximalfarbe (Ma):

$LAB^*LAB^*_{Ma}$: 58 -38 -29

$LAB^*LCH^*_{Ma}$: 58 48 216

$lab^*rgb^*_{Ma}$: 0.0 1.0 1.0

$lab^*olv^*_{Ma}$: 0.0 1.0 0.72

Dreiecks-Helligkeit i^*

%Umfang

$u^*_{rel} = 89$

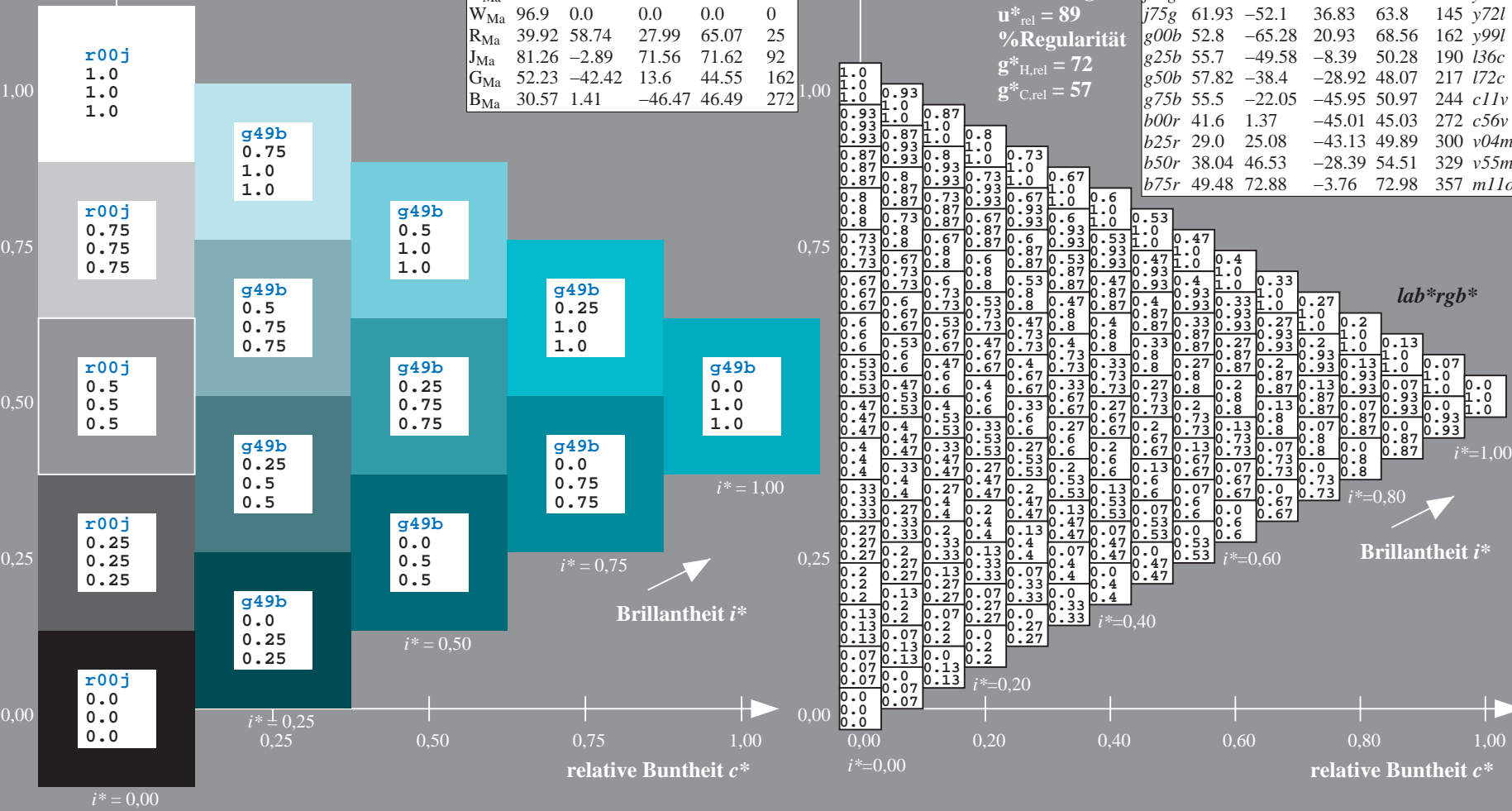
%Regularität

$g^*_{H,rel} = 72$

$g^*_{C,rel} = 57$

ORS19_96a; adaptierte CIELAB-Daten

	u^*_e	$L^*=L^*_a$	a^*_a	b^*_a	$C^*_{ab,a}$	$h^*_{ab,a}$	u^*_d
r00j	48.88	66.47	31.67	73.63	25	m84o	
r25j	55.85	52.39	47.48	70.7	42	o17y	
r50j	65.45	35.22	58.37	68.17	59	o42y	
r75j	75.19	17.82	69.41	71.66	76	o67y	
j00g	87.03	-3.35	82.83	82.9	92	o92y	
j25g	80.72	-25.01	69.5	73.86	110	y20l	
j50g	70.64	-39.54	51.97	65.3	127	y46l	
j75g	61.93	-52.1	36.83	63.8	145	y72l	
g00b	52.8	-65.28	20.93	68.56	162	y99l	
g25b	55.7	-49.58	-8.39	50.28	190	l36c	
g50b	57.82	-38.4	-28.92	48.07	217	l72c	
g75b	55.5	-22.05	-45.95	50.97	244	c11v	
b00r	41.6	1.37	-45.01	45.03	272	c56v	
b25r	29.0	25.08	-43.13	49.89	300	v04m	
b50r	38.04	46.53	-28.39	54.51	329	v55m	
b75r	49.48	72.88	-3.76	72.98	357	m11o	



Ein und Ausgabe: Farbmetrisches Drucker-Reflektiv-System ORS19_96a für relativen CIELAB-Buntton $h^* = lab^*h^* = h_{ab}/360 = 0.679$

Daten für jede Farbe:

lab^*tch^* und lab^*icu^*

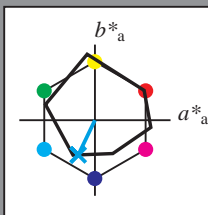
Bunttontexte:

$u^*_e = g75b$ $u^*_d = c11v$

Kontrastreduzierungsfaktor:

$c_R = 1.0$

Dreiecks-Helligkeit i^*



ORS19_96a; adaptierte CIELAB-Daten

u^*_e	$L^*=L^*_a$	a^*_a	b^*_a	$C^*_{ab,a}$	$h^*_{ab,a}$
O _{Ma}	48.75	65.07	39.43	76.08	31
Y _{Ma}	90.92	-10.29	87.24	87.85	97
L _{Ma}	52.69	-65.44	20.75	68.65	162
C _{Ma}	59.61	-28.98	-46.22	54.56	238
V _{Ma}	28.39	23.63	-44.13	50.06	298
M _{Ma}	49.58	73.93	-9.56	74.55	353
N _{Ma}	18.89	0.0	0.0	0.0	0
W _{Ma}	96.9	0.0	0.0	0.0	0
R _{Ma}	39.92	58.74	27.99	65.07	25
J _{Ma}	81.26	-2.89	71.56	71.62	92
G _{Ma}	52.23	-42.42	13.6	44.55	162
B _{Ma}	30.57	1.41	-46.47	46.49	272

Daten für Maximalfarbe (Ma):

$LAB^*LAB^*_{Ma}$: 55 -22 -46

$LAB^*LCH^*_{Ma}$: 55 51 244

$lab^*rgb^*_{Ma}$: 0.0 0.5 1.0

$lab^*olv^*_{Ma}$: 0.0 0.89 1.0

Dreiecks-Helligkeit i^*

%Umfang

$u^*_{rel} = 89$

%Regularität

$g^*_{H,rel} = 72$

$g^*_{C,rel} = 57$

ORS19_96a; adaptierte CIELAB-Daten

u^*_e	$L^*=L^*_a$	a^*_a	b^*_a	$C^*_{ab,a}$	$h^*_{ab,a}$	u^*_d
r00j	48.88	66.47	31.67	73.63	25	m84o
r25j	55.85	52.39	47.48	70.7	42	o17y
r50j	65.45	35.22	58.37	68.17	59	o42y
r75j	75.19	17.82	69.41	71.66	76	o67y
j00g	87.03	-3.35	82.83	82.9	92	o92y
j25g	80.72	-25.01	69.5	73.86	110	y20l
j50g	70.64	-39.54	51.97	65.3	127	y46l
j75g	61.93	-52.1	36.83	63.8	145	y72l
g00b	52.8	-65.28	20.93	68.56	162	y99l
g25b	55.7	-49.58	-8.39	50.28	190	l36c
g50b	57.82	-38.4	-28.92	48.07	217	l72c
g75b	55.5	-22.05	-45.95	50.97	244	c11v
b00r	41.6	1.37	-45.01	45.03	272	c56v
b25r	29.0	25.08	-43.13	49.89	300	v04m
b50r	38.04	46.53	-28.39	54.51	329	v55m
b75r	49.48	72.88	-3.76	72.98	357	m11o

lab^*rgb^*

$i^* = 1.00$

Brillantheit i^*

$i^* = 0.80$

$i^* = 0.60$

$i^* = 0.40$

$i^* = 0.20$

$i^* = 0.00$

Ein und Ausgabe: Farbmetrisches Drucker-Reflektiv-System ORS19_96a für relativen CIELAB-Buntton $h^* = lab^*h^* = h_{ab}/360 = 0.755$

Daten für jede Farbe:

lab^*tch^* und lab^*icu^*

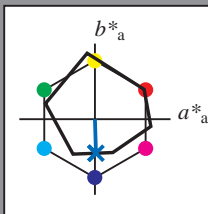
Bunttontexte:

$u^*_e = b00r$ $u^*_d = c56v$

Kontrastreduzierungsfaktor:

$c_R = 1.0$

Dreiecks-Helligkeit i^*



ORS19_96a; adaptierte CIELAB-Daten

u^*_e	$L^*=L^*_a$	a^*_a	b^*_a	$C^*_{ab,a}$	$h^*_{ab,a}$
O _{Ma}	48.75	65.07	39.43	76.08	31
Y _{Ma}	90.92	-10.29	87.24	87.85	97
L _{Ma}	52.69	-65.44	20.75	68.65	162
C _{Ma}	59.61	-28.98	-46.22	54.56	238
V _{Ma}	28.39	23.63	-44.13	50.06	298
M _{Ma}	49.58	73.93	-9.56	74.55	353
N _{Ma}	18.89	0.0	0.0	0.0	0
W _{Ma}	96.9	0.0	0.0	0.0	0
R _{Ma}	39.92	58.74	27.99	65.07	25
J _{Ma}	81.26	-2.89	71.56	71.62	92
G _{Ma}	52.23	-42.42	13.6	44.55	162
B _{Ma}	30.57	1.41	-46.47	46.49	272

Daten für Maximalfarbe (Ma):

$LAB^*LAB^*_{Ma}$: 42 1 -45

$LAB^*LCH^*_{Ma}$: 42 45 271

$lab^*rgb^*_{Ma}$: 0.0 0.0 1.0

$lab^*olv^*_{Ma}$: 0.0 0.44 1.0

Dreiecks-Helligkeit i^*

%Umfang

$u^*_{rel} = 89$

%Regularität

$g^*_{H,rel} = 72$

$g^*_{C,rel} = 57$

ORS19_96a; adaptierte CIELAB-Daten

u^*_e	$L^*=L^*_a$	a^*_a	b^*_a	$C^*_{ab,a}$	$h^*_{ab,a}$	u^*_d
r00j	48.88	66.47	31.67	73.63	25	m84o
r25j	55.85	52.39	47.48	70.7	42	o17y
r50j	65.45	35.22	58.37	68.17	59	o42y
r75j	75.19	17.82	69.41	71.66	76	o67y
j00g	87.03	-3.35	82.83	82.9	92	o92y
j25g	80.72	-25.01	69.5	73.86	110	y20l
j50g	70.64	-39.54	51.97	65.3	127	y46l
j75g	61.93	-52.1	36.83	63.8	145	y72l
g00b	52.8	-65.28	20.93	68.56	162	y99l
g25b	55.7	-49.58	-8.39	50.28	190	l36c
g50b	57.82	-38.4	-28.92	48.07	217	l72c
g75b	55.5	-22.05	-45.95	50.97	244	c11v
b00r	41.6	1.37	-45.01	45.03	272	c56v
b25r	29.0	25.08	-43.13	49.89	300	v04m
b50r	38.04	46.53	-28.39	54.51	329	v55m
b75r	49.48	72.88	-3.76	72.98	357	m11o

lab^*rgb^*

$i^* = 1.00$

Brillantheit i^*

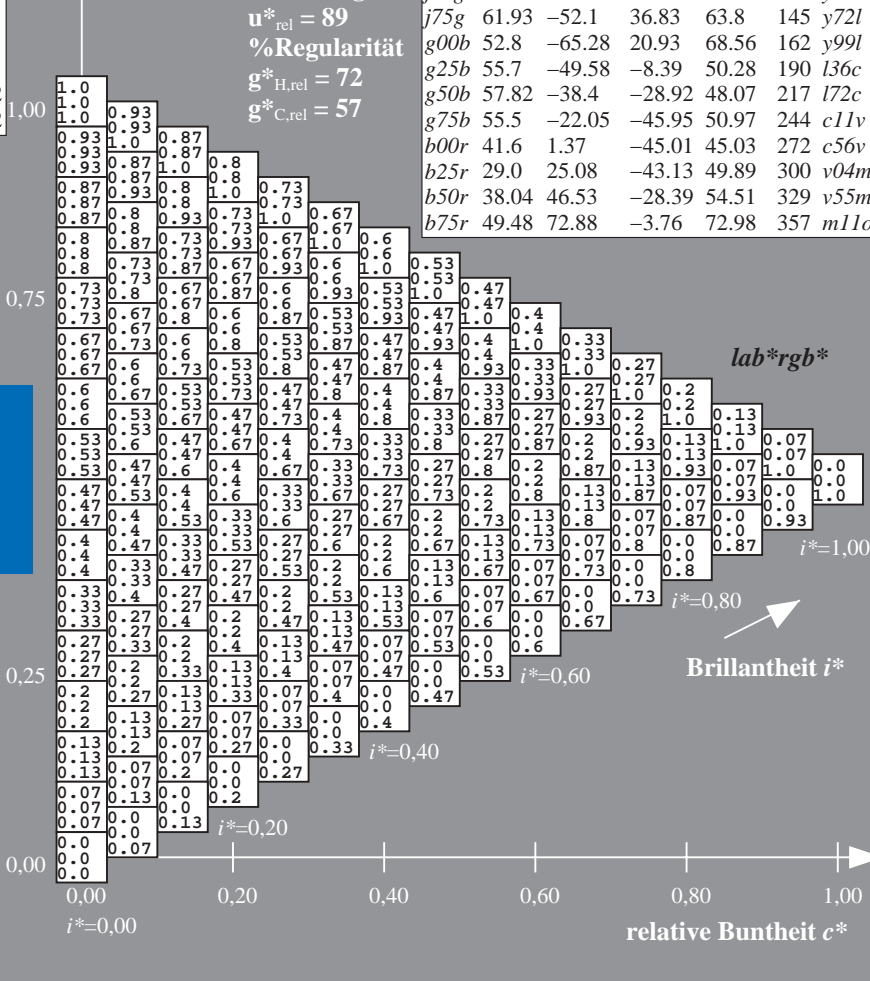
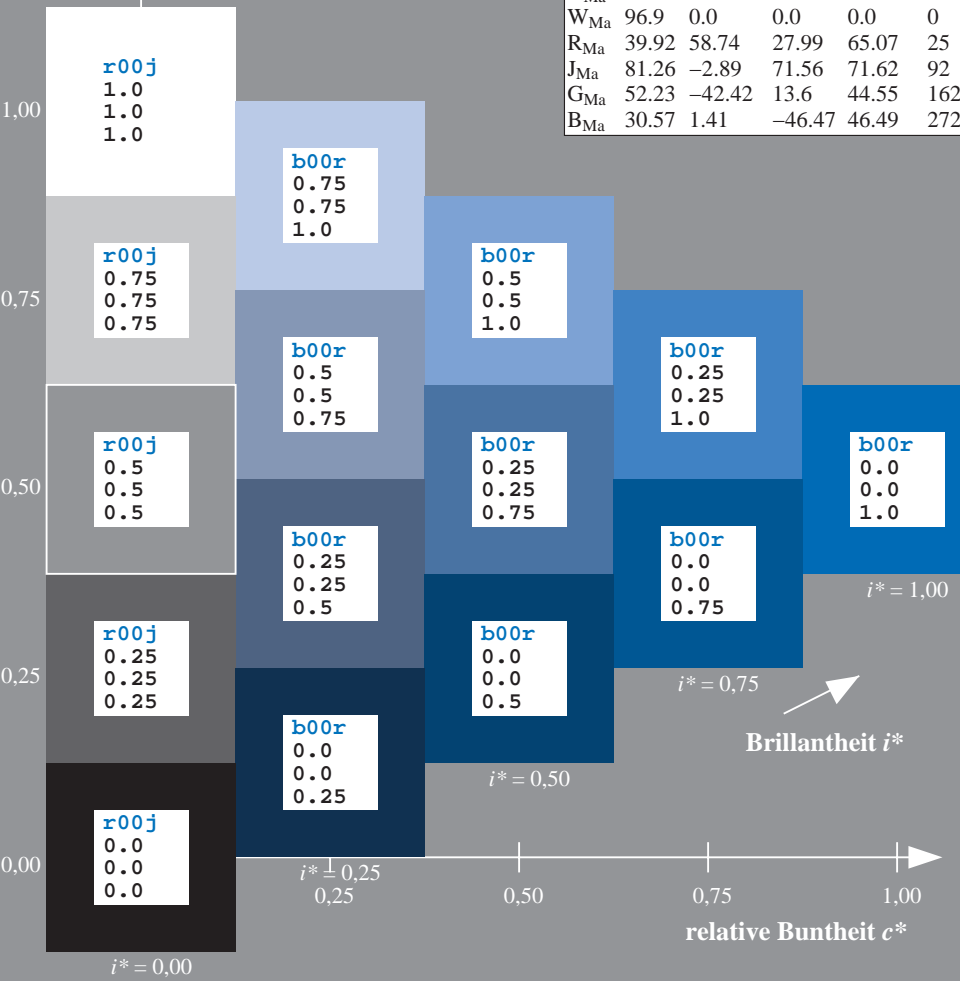
$i^* = 0.80$

$i^* = 0.60$

$i^* = 0.40$

$i^* = 0.20$

$i^* = 0.00$



Ein und Ausgabe: Farbmimetrisches Drucker-Reflektiv-System ORS19_96a für relativen CIELAB-Buntton $h^* = lab^*h^* = h_{ab}/360 = 0.834$

Daten für jede Farbe:

lab^*tch^* und lab^*icu^*

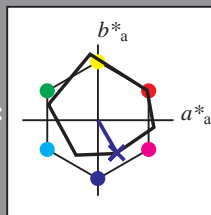
Bunttontexte:

$u^*_e = b25r$ $u^*_d = v04m$

Kontrastreduzierungsfaktor:

$c_R = 1.0$

Dreiecks-Helligkeit i^*



ORS19_96a; adaptierte CIELAB-Daten

u^*_e	$L^*=L^*_a$	a^*_a	b^*_a	$C^*_{ab,a}$	$h^*_{ab,a}$
O _{Ma}	48.75	65.07	39.43	76.08	31
Y _{Ma}	90.92	-10.29	87.24	87.85	97
L _{Ma}	52.69	-65.44	20.75	68.65	162
C _{Ma}	59.61	-28.98	-46.22	54.56	238
V _{Ma}	28.39	23.63	-44.13	50.06	298
M _{Ma}	49.58	73.93	-9.56	74.55	353
N _{Ma}	18.89	0.0	0.0	0.0	0
W _{Ma}	96.9	0.0	0.0	0.0	0
R _{Ma}	39.92	58.74	27.99	65.07	25
J _{Ma}	81.26	-2.89	71.56	71.62	92
G _{Ma}	52.23	-42.42	13.6	44.55	162
B _{Ma}	30.57	1.41	-46.47	46.49	272

Daten für Maximalfarbe (Ma):

$LAB^*LAB^*_{Ma}$: 29 25 -43

$LAB^*LCH^*_{Ma}$: 29 50 300

$lab^*rgb^*_{Ma}$: 0.5 0.0 1.0

$lab^*olv^*_{Ma}$: 0.04 0.0 1.0

Dreiecks-Helligkeit i^*

%Umfang

$u^*_{rel} = 89$

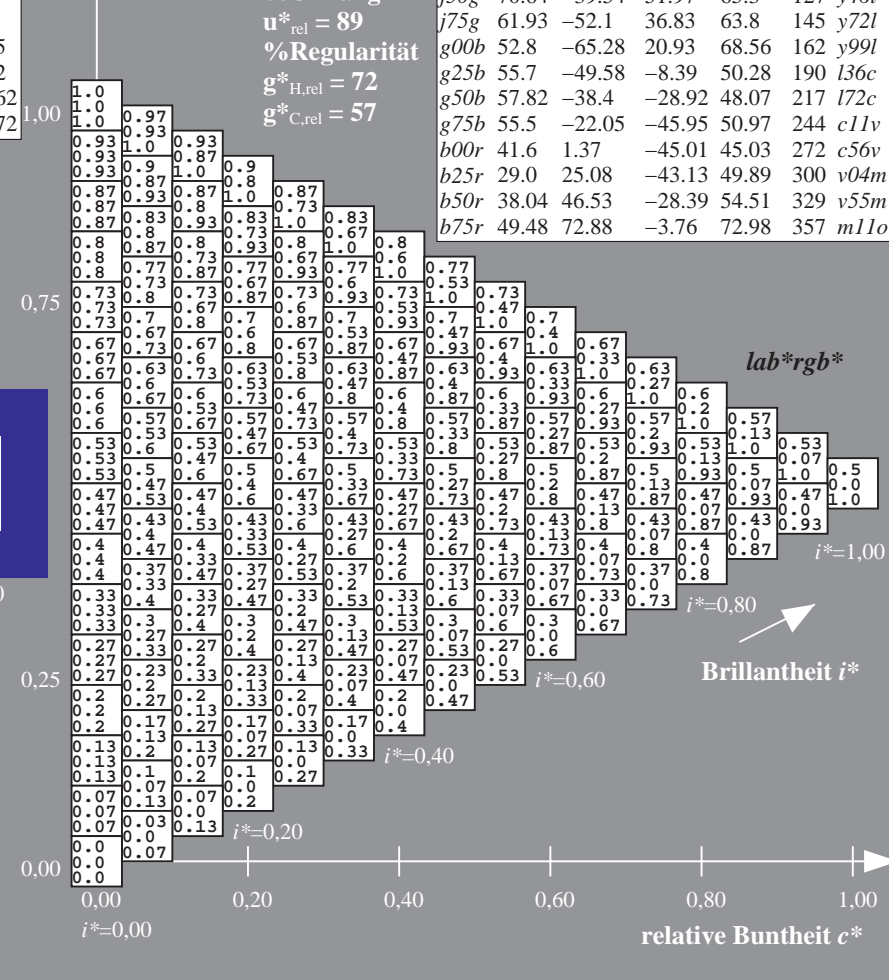
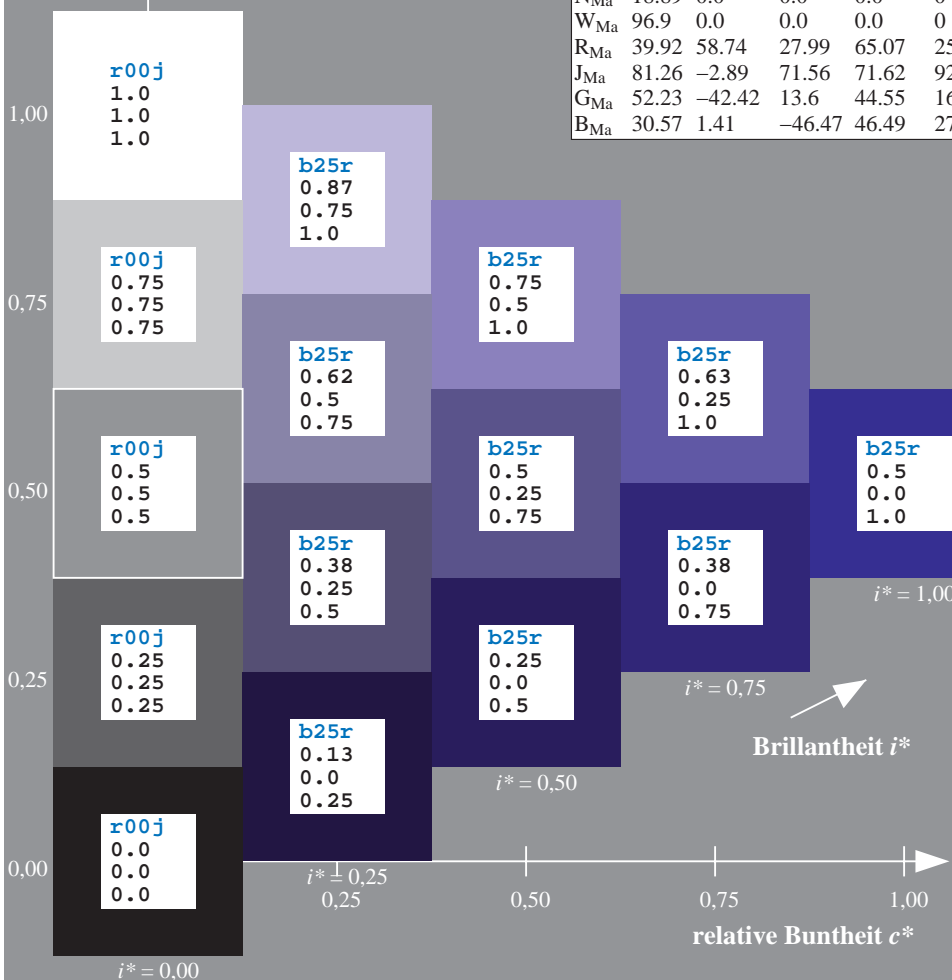
%Regularität

$g^*_{H,rel} = 72$

$g^*_{C,rel} = 57$

ORS19_96a; adaptierte CIELAB-Daten

u^*_e	$L^*=L^*_a$	a^*_a	b^*_a	$C^*_{ab,a}$	$h^*_{ab,a}$	u^*_d
r00j	48.88	66.47	31.67	73.63	25	m84o
r25j	55.85	52.39	47.48	70.7	42	o17y
r50j	65.45	35.22	58.37	68.17	59	o42y
r75j	75.19	17.82	69.41	71.66	76	o67y
j00g	87.03	-3.35	82.83	82.9	92	o92y
j25g	80.72	-25.01	69.5	73.86	110	y20l
j50g	70.64	-39.54	51.97	65.3	127	y46l
j75g	61.93	-52.1	36.83	63.8	145	y72l
g00b	52.8	-65.28	20.93	68.56	162	y99l
g25b	55.7	-49.58	-8.39	50.28	190	l36c
g50b	57.82	-38.4	-28.92	48.07	217	l72c
g75b	55.5	-22.05	-45.95	50.97	244	c11v
b00r	41.6	1.37	-45.01	45.03	272	c56v
b25r	29.0	25.08	-43.13	49.89	300	v04m
b50r	38.04	46.53	-28.39	54.51	329	v55m
b75r	49.48	72.88	-3.76	72.98	357	m11o



Ein und Ausgabe: Farbmimetrisches Drucker-Reflektiv-System ORS19_96a für relativen CIELAB-Buntton $h^* = lab^*h^* = h_{ab}/360 = 0.913$

Daten für jede Farbe:

lab^*tch^* und lab^*icu^*

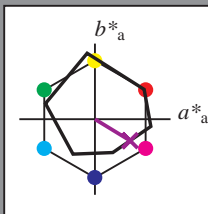
Bunttontexte:

$u^*_e = b50r$ $u^*_d = v55m$

Kontrastreduzierungsfaktor:

$c_R = 1.0$

Dreiecks-Helligkeit i^*



ORS19_96a; adaptierte CIELAB-Daten

u^*_e	$L^*=L^*_a$	a^*_a	b^*_a	$C^*_{ab,a}$	$h^*_{ab,a}$
O _{Ma}	48.75	65.07	39.43	76.08	31
Y _{Ma}	90.92	-10.29	87.24	87.85	97
L _{Ma}	52.69	-65.44	20.75	68.65	162
C _{Ma}	59.61	-28.98	-46.22	54.56	238
V _{Ma}	28.39	23.63	-44.13	50.06	298
M _{Ma}	49.58	73.93	-9.56	74.55	353
N _{Ma}	18.89	0.0	0.0	0.0	0
W _{Ma}	96.9	0.0	0.0	0.0	0
R _{Ma}	39.92	58.74	27.99	65.07	25
J _{Ma}	81.26	-2.89	71.56	71.62	92
G _{Ma}	52.23	-42.42	13.6	44.55	162
B _{Ma}	30.57	1.41	-46.47	46.49	272

Daten für Maximalfarbe (Ma):

$LAB^*LAB^*_{Ma}$: 38 47 -28

$LAB^*LCH^*_{Ma}$: 38 55 328

$lab^*rgb^*_{Ma}$: 1.0 0.0 1.0

$lab^*olv^*_{Ma}$: 0.56 0.0 1.0

Dreiecks-Helligkeit i^*

%Umfang

$u^*_{rel} = 89$

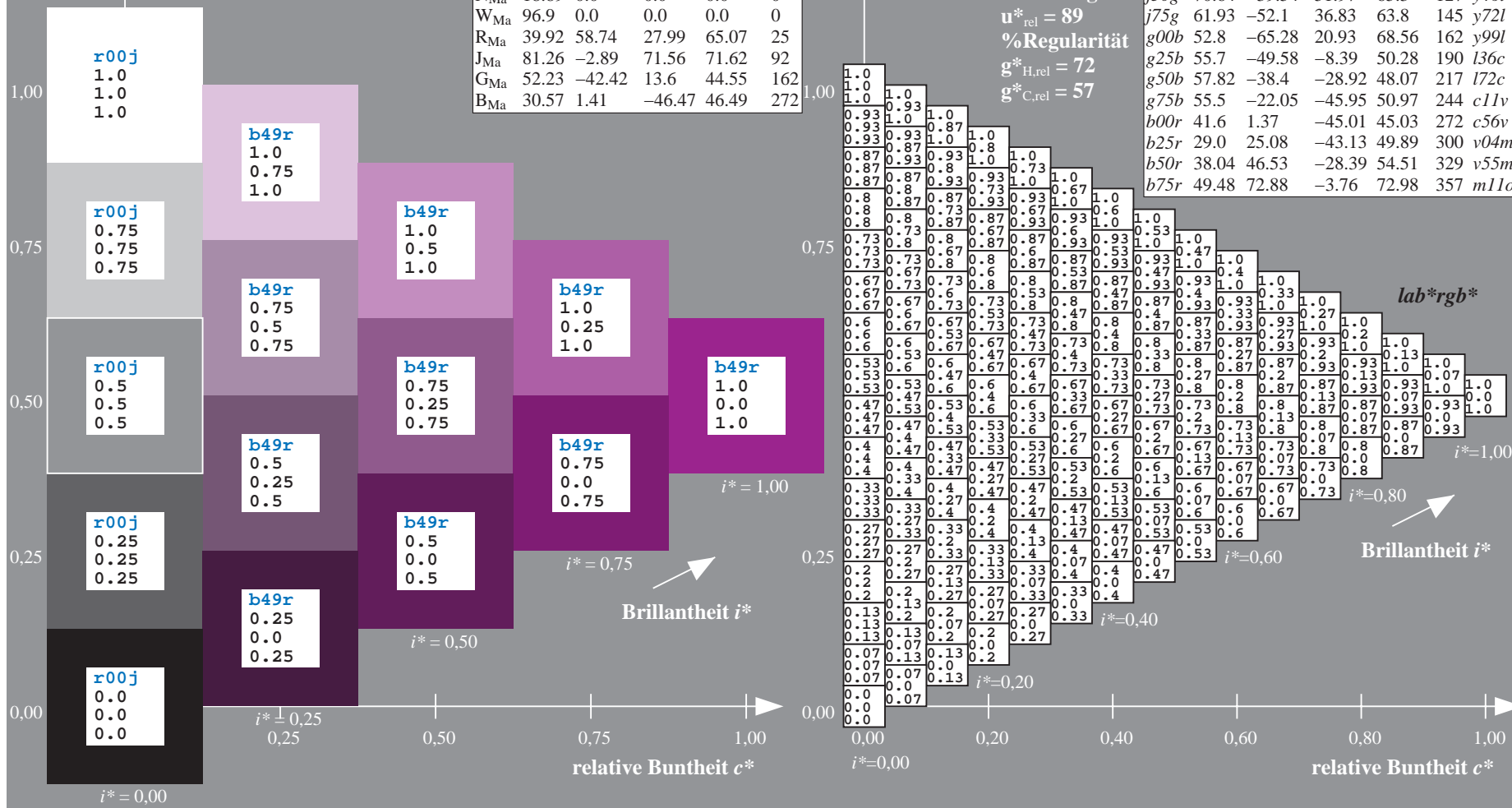
%Regularität

$g^*_{H,rel} = 72$

$g^*_{C,rel} = 57$

ORS19_96a; adaptierte CIELAB-Daten

u^*_e	$L^*=L^*_a$	a^*_a	b^*_a	$C^*_{ab,a}$	$h^*_{ab,a}$	u^*_d
r00j	48.88	66.47	31.67	73.63	25	m84o
r25j	55.85	52.39	47.48	70.7	42	o17y
r50j	65.45	35.22	58.37	68.17	59	o42y
r75j	75.19	17.82	69.41	71.66	76	o67y
j00g	87.03	-3.35	82.83	82.9	92	o92y
j25g	80.72	-25.01	69.5	73.86	110	y20l
j50g	70.64	-39.54	51.97	65.3	127	y46l
j75g	61.93	-52.1	36.83	63.8	145	y72l
g00b	52.8	-65.28	20.93	68.56	162	y99l
g25b	55.7	-49.58	-8.39	50.28	190	l36c
g50b	57.82	-38.4	-28.92	48.07	217	l72c
g75b	55.5	-22.05	-45.95	50.97	244	c11v
b00r	41.6	1.37	-45.01	45.03	272	c56v
b25r	29.0	25.08	-43.13	49.89	300	v04m
b50r	38.04	46.53	-28.39	54.51	329	v55m
b75r	49.48	72.88	-3.76	72.98	357	m11o



Ein und Ausgabe: Farbmimetrisches Drucker-Reflektiv-System ORS19_96a für relativen CIELAB-Buntton $h^* = \text{lab}^*h^* = h_{ab}/360 = 0.992$

Daten für jede Farbe:

lab^*tch^* und lab^*icu^*

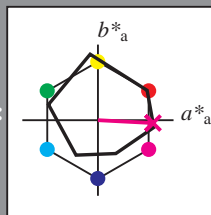
Bunttontexte:

$u^*_e = b75r$ $u^*_d = m11o$

Kontrastreduzierungsfaktor:

$c_R = 1.0$

Dreiecks-Helligkeit i^*



ORS19_96a; adaptierte CIELAB-Daten

u^*_e	$L^*=L^*_a$	a^*_a	b^*_a	$C^*_{ab,a}$	$h^*_{ab,a}$
O _{Ma}	48.75	65.07	39.43	76.08	31
Y _{Ma}	90.92	-10.29	87.24	87.85	97
L _{Ma}	52.69	-65.44	20.75	68.65	162
C _{Ma}	59.61	-28.98	-46.22	54.56	238
V _{Ma}	28.39	23.63	-44.13	50.06	298
M _{Ma}	49.58	73.93	-9.56	74.55	353
N _{Ma}	18.89	0.0	0.0	0.0	0
W _{Ma}	96.9	0.0	0.0	0.0	0
R _{Ma}	39.92	58.74	27.99	65.07	25
J _{Ma}	81.26	-2.89	71.56	71.62	92
G _{Ma}	52.23	-42.42	13.6	44.55	162
B _{Ma}	30.57	1.41	-46.47	46.49	272

Daten für Maximalfarbe (Ma):

$\text{LAB}^*\text{LAB}^*_{\text{Ma}}$: 49 73 -4

$\text{LAB}^*\text{LCH}^*_{\text{Ma}}$: 49 73 357

$\text{lab}^*\text{rgb}^*_{\text{Ma}}$: 1.0 0.0 0.5

$\text{lab}^*\text{olv}^*_{\text{Ma}}$: 1.0 0.0 0.89

Dreiecks-Helligkeit i^*

%Umfang

$u^*_{\text{rel}} = 89$

%Regularität

$g^*_{H,\text{rel}} = 72$

$g^*_{C,\text{rel}} = 57$

ORS19_96a; adaptierte CIELAB-Daten

u^*_e	$L^*=L^*_a$	a^*_a	b^*_a	$C^*_{ab,a}$	$h^*_{ab,a}$	u^*_d
r00j	48.88	66.47	31.67	73.63	25	m84o
r25j	55.85	52.39	47.48	70.7	42	o17y
r50j	65.45	35.22	58.37	68.17	59	o42y
r75j	75.19	17.82	69.41	71.66	76	o67y
j00g	87.03	-3.35	82.83	82.9	92	o92y
j25g	80.72	-25.01	69.5	73.86	110	y20l
j50g	70.64	-39.54	51.97	65.3	127	y46l
j75g	61.93	-52.1	36.83	63.8	145	y72l
g00b	52.8	-65.28	20.93	68.56	162	y99l
g25b	55.7	-49.58	-8.39	50.28	190	l36c
g50b	57.82	-38.4	-28.92	48.07	217	l72c
g75b	55.5	-22.05	-45.95	50.97	244	c11v
b00r	41.6	1.37	-45.01	45.03	272	c56v
b25r	29.0	25.08	-43.13	49.89	300	v04m
b50r	38.04	46.53	-28.39	54.51	329	v55m
b75r	49.48	72.88	-3.76	72.98	357	m11o

lab^*rgb^*

$i^* = 1.00$

Brillantheit i^*

$i^* = 0.80$

$i^* = 0.60$

$i^* = 0.40$

$i^* = 0.20$

$i^* = 0.00$

Siehe ähnliche Dateien: <http://www.ps.bam.de/Eg12>; www.ps.bam.de/Eg.HTM
Technische Information: <http://www.ps.bam.de> Version 2.1, io=1,1, ColSp=1

BAM-Registrierung: 20081001-Eg12/10/L12G00NA.PS/.TXT BAM-Material: Code=rh4ta
Anwendung für Beurteilung und Messung von Drucker- oder Monitorsystemen

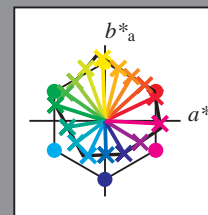
	A	B	C	D	E	F	G	H	I	J	K	L	M	N	O	P	Q	R	S	T	U	V	W	X	Y	Z	a	b	c	d	e	f	g	h	i	j	k	lab*rgb*			
01	0.0	0.0	0.0	0.0	0.0	0.0	0.0	0.0	0.0	0.0	0.13	0.12	0.12	0.12	0.12	0.12	0.12	0.11	0.25	0.25	0.23	0.23	0.23	0.23	0.23	0.23	0.23	1.0	1.0	1.0	1.0	1.0	1.0	1.0	1.0	1.0	1.0	0.0	0.0	0.0	
	0.0	0.13	0.25	0.38	0.5	0.63	0.75	0.88	1.0	0.01	0.13	0.25	0.38	0.5	0.63	0.75	0.88	1.0	0.02	0.14	0.25	0.38	0.5	0.63	0.75	0.88	1.0	1.0	0.89	0.77	0.66	0.54	0.43	0.31	0.2	0.09	0.0	0.0	0.0	0.0	
	0.0	0.0	0.0	0.0	0.0	0.0	0.0	0.0	0.0	0.0	0.0	0.0	0.0	0.0	0.0	0.0	0.0	0.0	0.0	0.0	0.0	0.0	0.0	0.0	0.0	0.0	1.0	0.88	0.77	0.66	0.53	0.43	0.31	0.25	0.13	0.0	0.0	0.0	0.0	0.0	
02	0.06	0.0	0.0	0.0	0.0	0.0	0.0	0.0	0.0	0.13	0.13	0.13	0.13	0.13	0.13	0.13	0.13	0.13	0.25	0.25	0.24	0.24	0.24	0.24	0.24	0.24	0.88	0.88	0.88	0.88	0.88	0.88	0.88	0.88	0.88	0.88	0.13	0.13	0.13	0.13	
	0.08	0.25	0.38	0.5	0.63	0.75	0.88	1.0	0.0	0.13	0.25	0.38	0.5	0.63	0.75	0.88	1.0	0.0	0.14	0.25	0.38	0.5	0.63	0.75	0.88	1.0	0.95	0.88	0.76	0.65	0.53	0.42	0.3	0.19	0.08	0.13	0.13	0.13	0.13		
	0.13	0.17	0.17	0.17	0.17	0.17	0.18	0.18	0.07	0.13	0.13	0.13	0.13	0.13	0.13	0.13	0.13	0.13	0.06	0.13	0.13	0.13	0.13	0.13	0.13	0.13	1.0	0.88	0.75	0.63	0.5	0.38	0.25	0.13	0.0	0.13	0.13	0.13	0.13		
03	0.12	0.17	0.17	0.17	0.17	0.17	0.18	0.18	0.07	0.13	0.13	0.13	0.13	0.13	0.13	0.13	0.13	0.13	0.25	0.25	0.24	0.24	0.24	0.24	0.24	0.24	0.88	0.88	0.88	0.88	0.88	0.88	0.88	0.88	0.88	0.88	0.13	0.13	0.13	0.13	
	0.0	0.02	0.15	0.38	0.5	0.63	0.75	0.88	1.0	0.0	0.13	0.25	0.38	0.5	0.63	0.75	0.88	1.0	0.0	0.13	0.25	0.38	0.5	0.63	0.75	0.88	1.0	0.9	0.83	0.75	0.64	0.52	0.41	0.29	0.18	0.06	0.25	0.25	0.25	0.25	
	0.25	0.25	0.25	0.35	0.35	0.35	0.35	0.35	0.35	0.25	0.25	0.25	0.3	0.3	0.3	0.3	0.3	0.3	0.14	0.2	0.25	0.25	0.25	0.25	0.25	0.25	0.25	1.0	0.88	0.75	0.63	0.5	0.38	0.25	0.13	0.0	0.25	0.25	0.25	0.25	
04	0.17	0.04	0.0	0.0	0.0	0.0	0.0	0.0	0.0	0.29	0.24	0.13	0.13	0.13	0.13	0.13	0.13	0.13	0.36	0.31	0.25	0.25	0.25	0.25	0.25	0.25	0.63	0.63	0.63	0.63	0.63	0.63	0.63	0.63	0.63	0.38	0.38	0.38	0.38		
	0.0	0.0	0.09	0.23	0.48	0.63	0.75	0.88	1.0	0.0	0.13	0.14	0.28	0.5	0.63	0.75	0.88	1.0	0.0	0.13	0.25	0.33	0.5	0.63	0.75	0.88	1.0	0.86	0.78	0.7	0.63	0.51	0.4	0.28	0.17	0.05	0.38	0.38	0.38	0.38	
	0.38	0.38	0.38	0.38	0.5	0.52	0.52	0.52	0.52	0.38	0.38	0.38	0.38	0.47	0.47	0.47	0.47	0.47	0.34	0.38	0.38	0.38	0.42	0.42	0.42	0.42	1.0	0.88	0.75	0.63	0.5	0.38	0.25	0.13	0.0	0.38	0.38	0.38	0.38		
05	0.23	0.1	0.0	0.0	0.0	0.0	0.0	0.0	0.0	0.35	0.3	0.17	0.13	0.13	0.13	0.13	0.13	0.13	0.47	0.42	0.37	0.25	0.25	0.25	0.25	0.25	0.5	0.5	0.5	0.5	0.5	0.5	0.5	0.5	0.5	0.5	0.5	0.5	0.5	0.5	
	0.0	0.0	0.03	0.17	0.31	0.56	0.75	0.88	1.0	0.0	0.13	0.13	0.22	0.36	0.61	0.75	0.88	1.0	0.0	0.13	0.25	0.27	0.4	0.63	0.75	0.88	1.0	0.81	0.73	0.65	0.58	0.5	0.39	0.27	0.16	0.04	0.5	0.5	0.5	0.5	
	0.5	0.5	0.5	0.5	0.5	0.63	0.69	0.69	0.69	0.5	0.5	0.5	0.5	0.5	0.63	0.64	0.64	0.65	0.5	0.5	0.5	0.5	0.6	0.6	0.6	0.6	1.0	0.88	0.75	0.63	0.5	0.38	0.25	0.13	0.0	0.5	0.5	0.5	0.5		
06	0.29	0.16	0.03	0.0	0.0	0.0	0.0	0.0	0.0	0.41	0.36	0.22	0.13	0.13	0.13	0.13	0.13	0.13	0.53	0.48	0.42	0.29	0.25	0.25	0.25	0.25	0.38	0.38	0.38	0.38	0.38	0.38	0.38	0.38	0.38	0.38	0.63	0.63	0.63	0.63	
	0.0	0.0	0.0	0.11	0.25	0.39	0.64	0.88	1.0	0.0	0.13	0.13	0.16	0.3	0.43	0.68	0.88	1.0	0.0	0.13	0.25	0.25	0.34	0.48	0.73	0.88	1.0	0.76	0.68	0.61	0.53	0.45	0.38	0.26	0.15	0.03	0.63	0.63	0.63	0.63	
	0.63	0.63	0.63	0.63	0.63	0.63	0.75	0.86	0.87	0.63	0.63	0.63	0.63	0.63	0.63	0.75	0.82	0.82	0.63	0.63	0.63	0.63	0.63	0.63	0.75	0.77	0.77	1.0	0.88	0.75	0.63	0.5	0.38	0.25	0.13	0.0	0.63	0.63	0.63	0.63	
07	0.35	0.22	0.08	0.0	0.0	0.0	0.0	0.0	0.0	0.47	0.42	0.28	0.15	0.13	0.13	0.13	0.13	0.13	0.59	0.54	0.48	0.35	0.25	0.25	0.25	0.25	0.25	0.25	0.25	0.25	0.25	0.25	0.25	0.25	0.25	0.25	0.25	0.75	0.75	0.75	0.75
	0.0	0.0	0.0	0.05	0.19	0.33	0.46	0.71	0.96	0.0	0.13	0.13	0.13	0.24	0.37	0.51	0.76	1.0	0.0	0.13	0.25	0.25	0.28	0.42	0.56	0.81	1.0	0.71	0.64	0.56	0.48	0.4	0.33	0.25	0.14	0.02	0.75	0.75	0.75	0.75	
	0.75	0.75	0.75	0.75	0.75	0.75	0.75	0.88	1.0	0.0	0.75	0.75	0.75	0.75	0.75	0.75	0.88	0.99	0.75	0.75	0.75	0.75	0.75	0.75	0.75	0.75	1.0	0.88	0.75	0.63	0.5	0.38	0.25	0.13	0.0	0.75	0.75	0.75	0.75		
08	0.41	0.27	0.14	0.01	0.0	0.0	0.0	0.0	0.0	0.53	0.47	0.34	0.21	0.13	0.13	0.13	0.13	0.13	0.65	0.59	0.54	0.41	0.28	0.25	0.25	0.25	0.13	0.13	0.13	0.13	0.13	0.13	0.13	0.13	0.13	0.13	0.88	0.88	0.88	0.88	
	0.0	0.0	0.0	0.0	0.13	0.27	0.4	0.54	0.79	0.0	0.13	0.13	0.18	0.31	0.45	0.59	0.84	1.0	0.0	0.13	0.25	0.25	0.25	0.36	0.5	0.64	0.89	0.67	0.59	0.51	0.43	0.36	0.28	0.2	0.13	0.01	0.88	0.88	0.88	0.88	
	0.88	0.88	0.88	0.88	0.88	0.88	0.88	0.88	1.0	0.88	0.88	0.88	0.88	0.88	0.88	0.88	0.88	1.0	0.88	0.88	0.88	0.88	0.88	0.88	0.88	0.88	1.0	0.88	0.75	0.63	0.5	0.38	0.25	0.13	0.0	0.88	0.88	0.88	0.88		
09	0.46	0.33	0.2	0.07	0.0	0.0	0.0	0.0	0.0	0.58	0.53	0.4	0.27	0.13	0.13	0.13	0.13	0.13	0.7	0.65	0.6	0.47	0.33	0.25	0.25	0.25	0.0	0.0	0.0	0.0	0.0	0.0	0.0	0.0	0.0	0.0	1.0	1.0	1.0	1.0	
	0.0	0.0	0.0	0.07	0.21	0.34	0.48	0.72	1.0	0.0	0.13	0.13	0.13	0.25	0.39	0.53	0.67	0.81	1.0	0.0	0.13	0.25	0.25	0.33	0.46	0.71	0.62	0.54	0.46	0.38	0.31	0.23	0.15	0.08	0.0	0.0	0.0	0.0			
	1.0	1.0	1.0	1.0	1.0	1.0	1.0	1.0	1.0	1.0	1.0	1.0	1.0	1.0	1.0	1.0	1.0	1.0	1.0	1.0	1.0	1.0	1.0	1.0	1.0	1.0	1.0	1.0	1.0	1.0	1.0	1.0	1.0	1.0	1.0	1.0	1.0	1.0	1.0		
10	0.38	0.38	0.38	0.35	0.35	0.35	0.35	0.35	0.35	0.5	0.5	0.5	0.5	0.47	0.47	0.47	0.47	0.47	0.63	0.63	0.63	0.63	0.63	0.59	0.59	0.58	0.58	1.0	0.99	0.98	0.98	0.97	0.96	0.95	0.94	0.94	0.0	0.0	0.0	0.0	
	0.03	0.15	0.28	0.5	0.63	0.75	0.88	1.0	0.0	0.04	0.17	0.29	0.41	0.5	0.63	0.75	0.88	1.0	0.05	0.18	0.3	0.42	0.54	0.63	0.75	0.88	1.0	1.0	1.0	1.0	1.0	1.0	1.0	1.0	1.0	0.0	0.0	0.0	0.0		
	0.0	0.0	0.0	0.0	0.0	0.0	0.0	0.0	0.0	0.0	0.0	0.0	0.0	0.0	0.0	0.0	0.0	0.0	0.0	0.0	0.0	0.0	0.0	0.0	0.0	0.0	1.0	0.88	0.75	0.63	0.5	0.38	0.25	0.13	0.0	0.0	0.0	0.0	0.0		
11	0.38	0.38	0.38	0.36	0.36	0.36	0.36	0.36	0.36	0.5	0.5	0.5	0.5	0.48	0.48	0.48	0.48	0.47	0.63	0.63	0.63	0.63	0.63	0.59	0.59	0.59	0.59	0.93	0.88	0.87	0.86	0.85	0.84	0.84	0.83	0.82	0.07	0.07	0.07	0.07	
	0.0	0.15	0.27	0.38	0.5	0.63	0.75	0.88	1.0	0.0	0.16	0.28	0.4	0.5	0.63	0.75	0.88	1.0	0.0	0.17	0.29	0.41	0.54	0.63	0.75	0.88	1.0	0.88	0.88	0.88	0.88	0.88	0.88	0.88	0.88	0.07	0.07	0.07	0.07		
	0.05	0.13	0.13	0.13	0.13	0.13	0.13	0.13	0.13	0.03	0.13	0.13	0.13	0.13	0.13	0.13	0.13	0.13	0.02	0.13	0.13	0.13	0.13	0.13	0.13	0.13	1.0	0.88	0.75	0.63	0.5	0.38	0.25	0.13	0.0	0.07	0.07	0.07	0.07		
12	0.38	0.38	0.38	0.37	0.37	0.37	0.37	0.37	0.37	0.5	0.5	0.5	0.5	0.48	0.48	0.48	0.48	0.48	0.63	0.63	0.63	0.63	0.63	0.6	0.6	0.6	0.6	0.87	0.81	0.75	0.74	0.73	0.73	0.72	0.71	0.7	0.13	0.13	0.13	0.13	
	0.0	0.13	0.26	0.38	0.5	0.63	0.75	0.88	1.0	0.0	0.13	0.27	0.39	0.5	0.63	0.75	0.88																								

Ein und Ausgabe:
Farbmimetrisches Drucker-Reflektiv-System ORS19_96a
Daten für jede Farbe:

u^*_e und Nummer $Nr.$ = 00 .. 15
Elementar-Bunttontext:
 $u^*_e = 16$ Bunttoene $r00j, r25j, \dots, b75r$
Kontrastreduzierungsfaktor:
 $c_R = 1.0$

ORS19_96a; adaptierte CIELAB-Daten

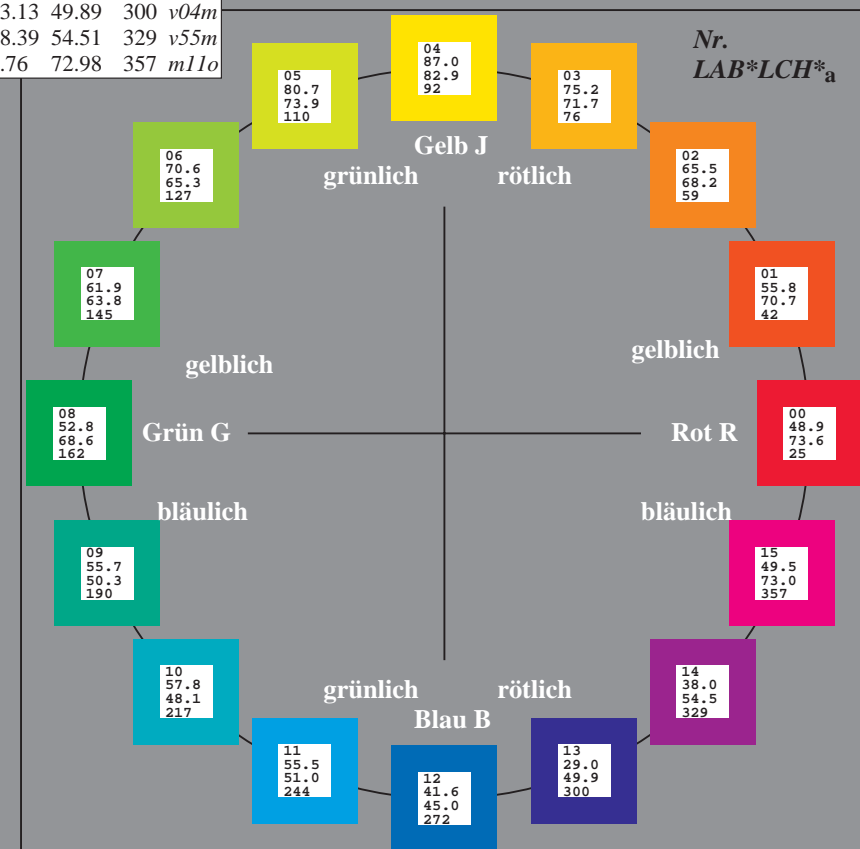
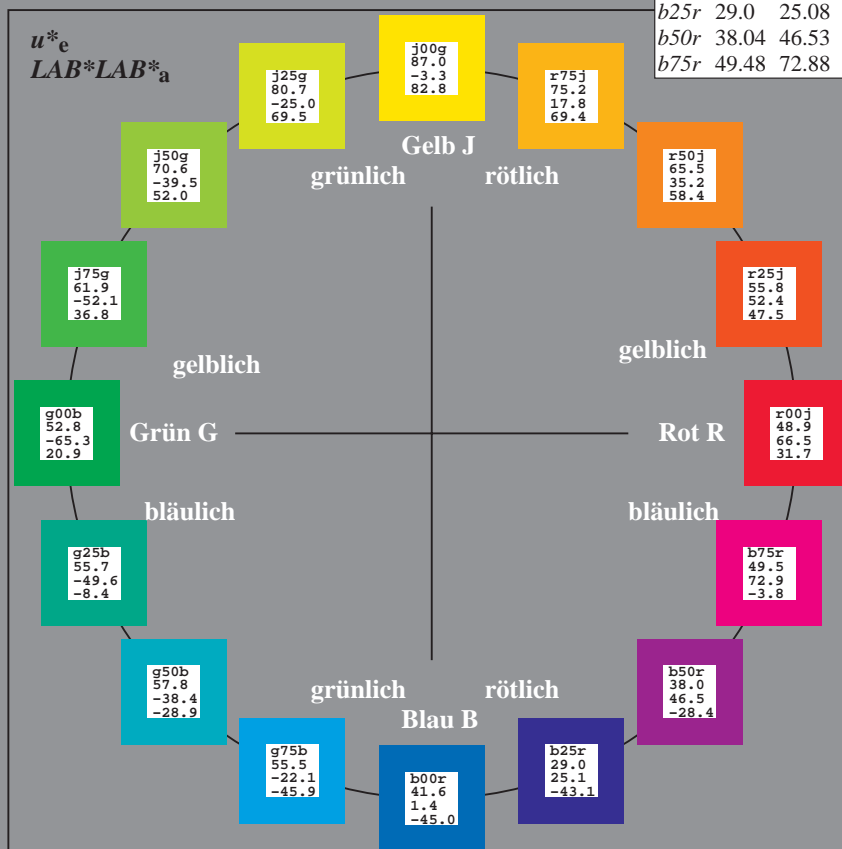
u^*_e	$L^*=L^*_a$	a^*_a	b^*_a	$C^*_{ab,a}$	$h^*_{ab,a}$	u^*_d
$r00j$	48.88	66.47	31.67	73.63	25	$m84o$
$r25j$	55.85	52.39	47.48	70.7	42	$o17y$
$r50j$	65.45	35.22	58.37	68.17	59	$o42y$
$r75j$	75.19	17.82	69.41	71.66	76	$o67y$
$j00g$	87.03	-3.35	82.83	82.9	92	$o92y$
$j25g$	80.72	-25.01	69.5	73.86	110	$y20l$
$j50g$	70.64	-39.54	51.97	65.3	127	$y46l$
$j75g$	61.93	-52.1	36.83	63.8	145	$y72l$
$g00b$	52.8	-65.28	20.93	68.56	162	$y99l$
$g25b$	55.7	-49.58	-8.39	50.28	190	$l36c$
$g50b$	57.82	-38.4	-28.92	48.07	217	$l72c$
$g75b$	55.5	-22.05	-45.95	50.97	244	$c11v$
$b00r$	41.6	1.37	-45.01	45.03	272	$c56v$
$b25r$	29.0	25.08	-43.13	49.89	300	$v04m$
$b50r$	38.04	46.53	-28.39	54.51	329	$v55m$
$b75r$	49.48	72.88	-3.76	72.98	357	$m11o$



%Umfang
 $u^*_{rel} = 89$
%Regularität
 $g^*_{H,rel} = 72$
 $g^*_{C,rel} = 57$

ORS19_96a; adaptierte CIELAB-Daten

Name	$L^*=L^*_a$	a^*_a	b^*_a	$C^*_{ab,a}$	$h^*_{ab,a}$
O_{Ma}	48.75	65.07	39.43	76.08	31
Y_{Ma}	90.92	-10.29	87.24	87.85	97
L_{Ma}	52.69	-65.44	20.75	68.65	162
C_{Ma}	59.61	-28.98	-46.22	54.56	238
V_{Ma}	28.39	23.63	-44.13	50.06	298
M_{Ma}	49.58	73.93	-9.56	74.55	353
N_{Ma}	18.89	0.0	0.0	0.0	0
W_{Ma}	96.9	0.0	0.0	0.0	0
R_{CIE}	39.92	58.74	27.99	65.07	25
J_{CIE}	81.26	-2.89	71.56	71.62	92
G_{CIE}	52.23	-42.42	13.6	44.55	162
B_{CIE}	30.57	1.41	-46.47	46.49	272



Ein und Ausgabe: Farbmetrisches Drucker-Reflektiv-System ORS19_96a für relativen CIELAB-Buntton $h^* = lab^*h^* = h_{ab}/360 = 0.071$

Daten für jede Farbe:

lab^*ch^* und lab^*icu^*

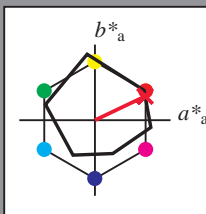
Bunttontexte:

$u^*_e = r00j$ $u^*_d = m84o$

Kontrastreduzierungsfaktor:

$c_R = 1.0$

Dreiecks-Helligkeit i^*



ORS19_96a; adaptierte CIELAB-Daten

u^*_e	$L^*=L^*_a$	a^*_a	b^*_a	$C^*_{ab,a}$	$h^*_{ab,a}$
O _{Ma}	48.75	65.07	39.43	76.08	31
Y _{Ma}	90.92	-10.29	87.24	87.85	97
L _{Ma}	52.69	-65.44	20.75	68.65	162
C _{Ma}	59.61	-28.98	-46.22	54.56	238
V _{Ma}	28.39	23.63	-44.13	50.06	298
M _{Ma}	49.58	73.93	-9.56	74.55	353
N _{Ma}	18.89	0.0	0.0	0.0	0
W _{Ma}	96.9	0.0	0.0	0.0	0
R _{Ma}	39.92	58.74	27.99	65.07	25
J _{Ma}	81.26	-2.89	71.56	71.62	92
G _{Ma}	52.23	-42.42	13.6	44.55	162
B _{Ma}	30.57	1.41	-46.47	46.49	272

Daten für Maximalfarbe (Ma):

$LAB^*LAB^*_Ma$: 49 66 32

$LAB^*LCH^*_Ma$: 49 74 25

$lab^*rgb^*_Ma$: 1.0 0.0 0.0

$lab^*olv^*_Ma$: 1.0 0.0 0.15

Dreiecks-Helligkeit i^*

%Umfang

$u^*_{rel} = 89$

%Regularität

$g^*_{H,rel} = 72$

$g^*_{C,rel} = 57$

ORS19_96a; adaptierte CIELAB-Daten

u^*_e	$L^*=L^*_a$	a^*_a	b^*_a	$C^*_{ab,a}$	$h^*_{ab,a}$	u^*_d
r00j	48.88	66.47	31.67	73.63	25	m84o
r25j	55.85	52.39	47.48	70.7	42	o17y
r50j	65.45	35.22	58.37	68.17	59	o42y
r75j	75.19	17.82	69.41	71.66	76	o67y
j00g	87.03	-3.35	82.83	82.9	92	o92y
j25g	80.72	-25.01	69.5	73.86	110	y20l
j50g	70.64	-39.54	51.97	65.3	127	y46l
j75g	61.93	-52.1	36.83	63.8	145	y72l
g00b	52.8	-65.28	20.93	68.56	162	y99l
g25b	55.7	-49.58	-8.39	50.28	190	l36c
g50b	57.82	-38.4	-28.92	48.07	217	l72c
g75b	55.5	-22.05	-45.95	50.97	244	c11v
b00r	41.6	1.37	-45.01	45.03	272	c56v
b25r	29.0	25.08	-43.13	49.89	300	v04m
b50r	38.04	46.53	-28.39	54.51	329	v55m
b75r	49.48	72.88	-3.76	72.98	357	m11o

$LAB^*LAB^*_a$

$i^* = 1.00$

Brillantheit i^*

$i^* = 0.80$

$i^* = 0.60$

$i^* = 0.40$

$i^* = 0.20$

$i^* = 0.00$

Ein und Ausgabe: Farbmimetrisches Drucker-Reflektiv-System ORS19_96a für relativen CIELAB-Buntton $h^* = lab^*h^* = h_{ab}/360 = 0.117$

Daten für jede Farbe:

lab^*ch^* und lab^*icu^*

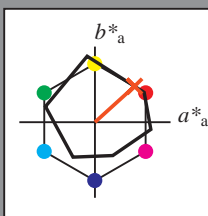
Bunttontexte:

$u^*_e = r25j$ $u^*_d = o17y$

Kontrastreduzierungsfaktor:

$c_R = 1.0$

Dreiecks-Helligkeit i^*



ORS19_96a; adaptierte CIELAB-Daten						
u^*_e	$L^*=L^*_a$	a^*_a	b^*_a	$C^*_{ab,a}$	$h^*_{ab,a}$	u^*_d
O _{Ma}	48.75	65.07	39.43	76.08	31	
Y _{Ma}	90.92	-10.29	87.24	87.85	97	
L _{Ma}	52.69	-65.44	20.75	68.65	162	
C _{Ma}	59.61	-28.98	-46.22	54.56	238	
V _{Ma}	28.39	23.63	-44.13	50.06	298	
M _{Ma}	49.58	73.93	-9.56	74.55	353	
N _{Ma}	18.89	0.0	0.0	0.0	0	
W _{Ma}	96.9	0.0	0.0	0.0	0	
R _{Ma}	39.92	58.74	27.99	65.07	25	
J _{Ma}	81.26	-2.89	71.56	71.62	92	
G _{Ma}	52.23	-42.42	13.6	44.55	162	
B _{Ma}	30.57	1.41	-46.47	46.49	272	

Daten für Maximalfarbe (Ma):

$LAB^*LAB^*_{Ma}$: 56 52 47

$LAB^*LCH^*_{Ma}$: 56 71 42

$lab^*rgb^*_{Ma}$: 1.0 0.25 0.0

$lab^*olv^*_{Ma}$: 1.0 0.17 0.0

Dreiecks-Helligkeit i^*

%Umfang

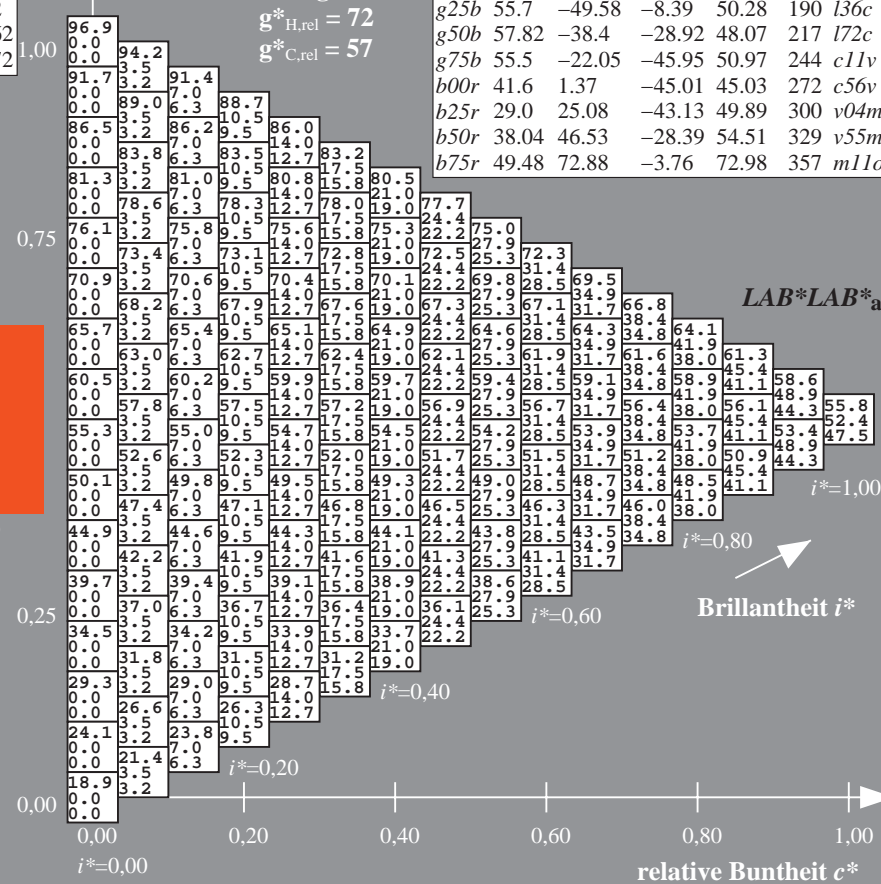
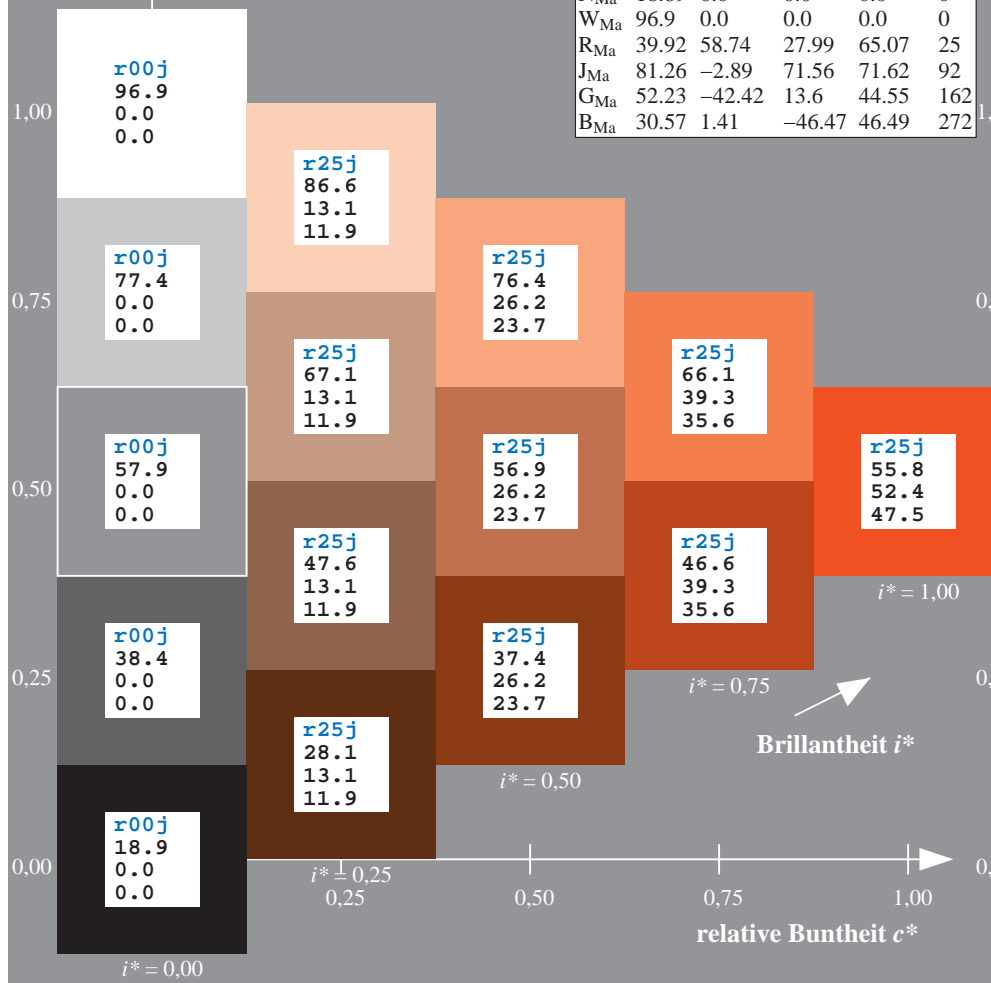
$u^*_{rel} = 89$

%Regularität

$g^*_{H,rel} = 72$

$g^*_{C,rel} = 57$

ORS19_96a; adaptierte CIELAB-Daten						
u^*_e	$L^*=L^*_a$	a^*_a	b^*_a	$C^*_{ab,a}$	$h^*_{ab,a}$	u^*_d
r00j	48.88	66.47	31.67	73.63	25	m84o
r25j	55.85	52.39	47.48	70.7	42	o17y
r50j	65.45	35.22	58.37	68.17	59	o42y
r75j	75.19	17.82	69.41	71.66	76	o67y
j00g	87.03	-3.35	82.83	82.9	92	o92y
j25g	80.72	-25.01	69.5	73.86	110	y20l
j50g	70.64	-39.54	51.97	65.3	127	y46l
j75g	61.93	-52.1	36.83	63.8	145	y72l
g00b	52.8	-65.28	20.93	68.56	162	y99l
g25b	55.7	-49.58	-8.39	50.28	190	l36c
g50b	57.82	-38.4	-28.92	48.07	217	l72c
g75b	55.5	-22.05	-45.95	50.97	244	c11v
b00r	41.6	1.37	-45.01	45.03	272	c56v
b25r	29.0	25.08	-43.13	49.89	300	v04m
b50r	38.04	46.53	-28.39	54.51	329	v55m
b75r	49.48	72.88	-3.76	72.98	357	m11o



Ein und Ausgabe: Farbmetrisches Drucker-Reflektiv-System ORS19_96a für relativen CIELAB-Buntton $h^* = lab^*h^* = h_{ab}/360 = 0.164$

Daten für jede Farbe:

lab^*ch^* und lab^*icu^*

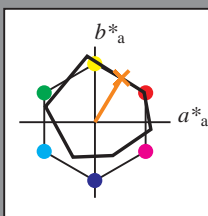
Bunttontexte:

$u^*_e = r50j$ $u^*_d = o42y$

Kontrastreduzierungsfaktor:

$c_R = 1.0$

Dreiecks-Helligkeit i^*



ORS19_96a; adaptierte CIELAB-Daten						
u^*_e	$L^*=L^*_a$	a^*_a	b^*_a	$C^*_{ab,a}$	$h^*_{ab,a}$	u^*_d
O _{Ma}	48.75	65.07	39.43	76.08	31	
Y _{Ma}	90.92	-10.29	87.24	87.85	97	
L _{Ma}	52.69	-65.44	20.75	68.65	162	
C _{Ma}	59.61	-28.98	-46.22	54.56	238	
V _{Ma}	28.39	23.63	-44.13	50.06	298	
M _{Ma}	49.58	73.93	-9.56	74.55	353	
N _{Ma}	18.89	0.0	0.0	0.0	0	
W _{Ma}	96.9	0.0	0.0	0.0	0	
R _{Ma}	39.92	58.74	27.99	65.07	25	
J _{Ma}	81.26	-2.89	71.56	71.62	92	
G _{Ma}	52.23	-42.42	13.6	44.55	162	
B _{Ma}	30.57	1.41	-46.47	46.49	272	

Daten für Maximalfarbe (Ma):

$LAB^*LAB^*_Ma$: 65 35 58

$LAB^*LCH^*_Ma$: 65 68 58

$lab^*rgb^*_Ma$: 1.0 0.5 0.0

$lab^*olv^*_Ma$: 1.0 0.42 0.0

Dreiecks-Helligkeit i^*

%Umfang

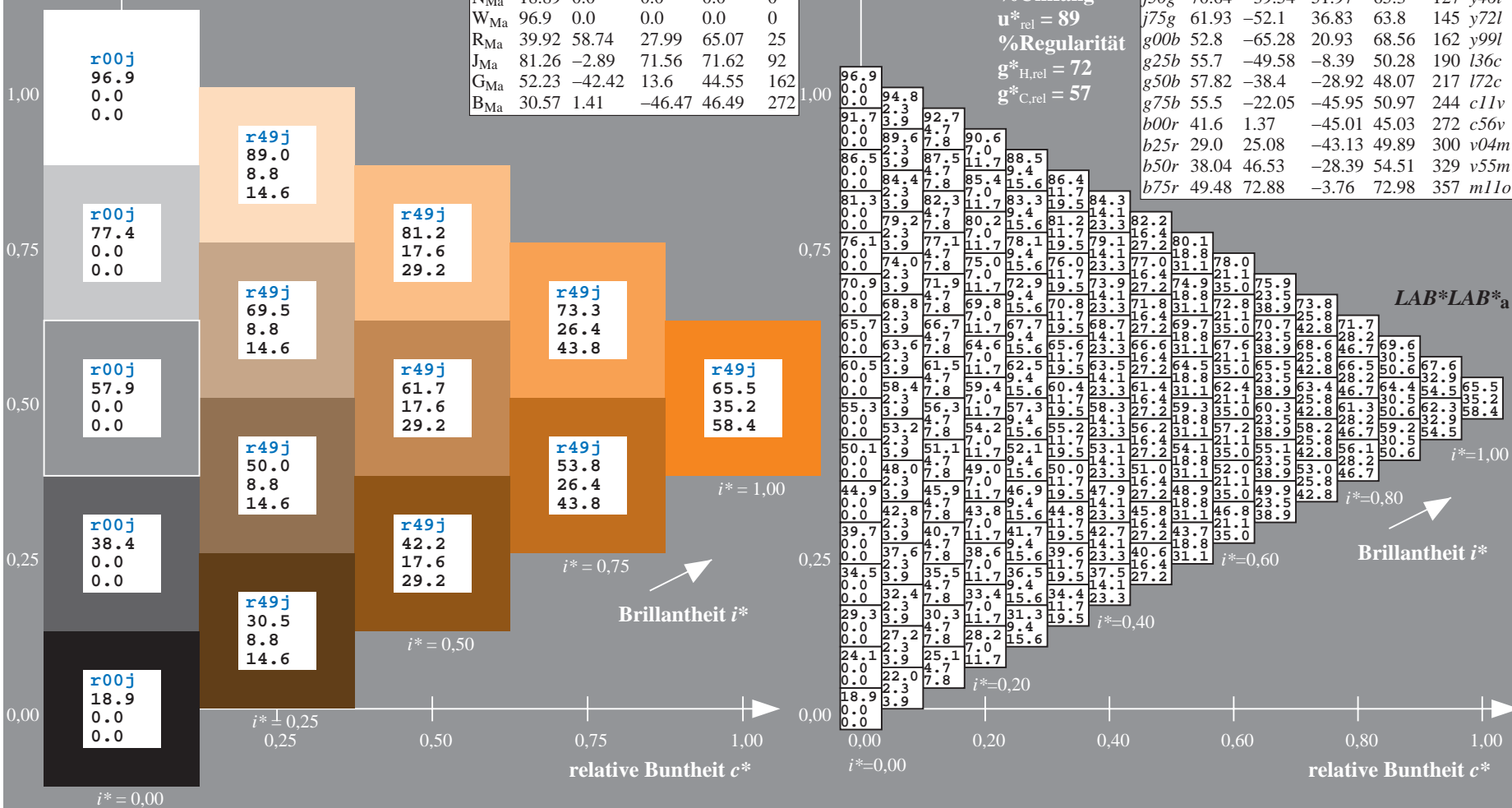
$u^*_{rel} = 89$

%Regularität

$g^*_{H,rel} = 72$

$g^*_{C,rel} = 57$

ORS19_96a; adaptierte CIELAB-Daten							
u^*_e	$L^*=L^*_a$	a^*_a	b^*_a	$C^*_{ab,a}$	$h^*_{ab,a}$	u^*_d	
r00j	48.88	66.47	31.67	73.63	25	m84o	
r25j	55.85	52.39	47.48	70.7	42	o17y	
r50j	65.45	35.22	58.37	68.17	59	o42y	
r75j	75.19	17.82	69.41	71.66	76	o67y	
j00g	87.03	-3.35	82.83	82.9	92	o92y	
j25g	80.72	-25.01	69.5	73.86	110	y20l	
j50g	70.64	-39.54	51.97	65.3	127	y46l	
j75g	61.93	-52.1	36.83	63.8	145	y72l	
g00b	52.8	-65.28	20.93	68.56	162	y99l	
g25b	55.7	-49.58	-8.39	50.28	190	l36c	
g50b	57.82	-38.4	-28.92	48.07	217	l72c	
g75b	55.5	-22.05	-45.95	50.97	244	c11v	
b00r	41.6	1.37	-45.01	45.03	272	c56v	
b25r	29.0	25.08	-43.13	49.89	300	v04m	
b50r	38.04	46.53	-28.39	54.51	329	v55m	
b75r	49.48	72.88	-3.76	72.98	357	m11o	



Ein und Ausgabe: Farbmetrisches Drucker-Reflektiv-System ORS19_96a für relativen CIELAB-Buntton $h^* = \text{lab}^*h^* = h_{ab}/360 = 0.21$

Daten für jede Farbe:

lab^*tch^* und lab^*icu^*

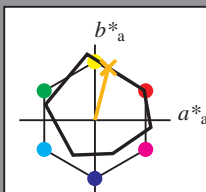
Bunttontexte:

$u^*_e = r75j$ $u^*_d = o67y$

Kontrastreduzierungsfaktor:

$c_R = 1.0$

Dreiecks-Helligkeit i^*



ORS19_96a; adaptierte CIELAB-Daten

	u^*_e	$L^*=L^*_a$	a^*_a	b^*_a	$C^*_{ab,a}$	$h^*_{ab,a}$
O _{Ma}	48.75	65.07	39.43	76.08	31	
Y _{Ma}	90.92	-10.29	87.24	87.85	97	
L _{Ma}	52.69	-65.44	20.75	68.65	162	
C _{Ma}	59.61	-28.98	-46.22	54.56	238	
V _{Ma}	28.39	23.63	-44.13	50.06	298	
M _{Ma}	49.58	73.93	-9.56	74.55	353	
N _{Ma}	18.89	0.0	0.0	0.0	0	
W _{Ma}	96.9	0.0	0.0	0.0	0	
R _{Ma}	39.92	58.74	27.99	65.07	25	
J _{Ma}	81.26	-2.89	71.56	71.62	92	
G _{Ma}	52.23	-42.42	13.6	44.55	162	
B _{Ma}	30.57	1.41	-46.47	46.49	272	

Daten für Maximalfarbe (Ma):

$\text{LAB}^*\text{LAB}^*_{\text{Ma}}$: 75 18 69

$\text{LAB}^*\text{LCH}^*_{\text{Ma}}$: 75 72 75

$\text{lab}^*\text{rgb}^*_{\text{Ma}}$: 1.0 0.75 0.0

$\text{lab}^*\text{olv}^*_{\text{Ma}}$: 1.0 0.68 0.0

Dreiecks-Helligkeit i^*

%Umfang

$u^*_{\text{rel}} = 89$

%Regularität

$g^*_{H,\text{rel}} = 72$

$g^*_{C,\text{rel}} = 57$

ORS19_96a; adaptierte CIELAB-Daten

	u^*_e	$L^*=L^*_a$	a^*_a	b^*_a	$C^*_{ab,a}$	$h^*_{ab,a}$	u^*_d
r00j	48.88	66.47	31.67	73.63	25	m84o	
r25j	55.85	52.39	47.48	70.7	42	o17y	
r50j	65.45	35.22	58.37	68.17	59	o42y	
r75j	75.19	17.82	69.41	71.66	76	o67y	
j00g	87.03	-3.35	82.83	82.9	92	o92y	
j25g	80.72	-25.01	69.5	73.86	110	y20l	
j50g	70.64	-39.54	51.97	65.3	127	y46l	
j75g	61.93	-52.1	36.83	63.8	145	y72l	
g00b	52.8	-65.28	20.93	68.56	162	y99l	
g25b	55.7	-49.58	-8.39	50.28	190	l36c	
g50b	57.82	-38.4	-28.92	48.07	217	l72c	
g75b	55.5	-22.05	-45.95	50.97	244	c11v	
b00r	41.6	1.37	-45.01	45.03	272	c56v	
b25r	29.0	25.08	-43.13	49.89	300	v04m	
b50r	38.04	46.53	-28.39	54.51	329	v55m	
b75r	49.48	72.88	-3.76	72.98	357	m11o	

$\text{LAB}^*\text{LAB}^*_{\text{a}}$

$i^* = 1.00$

Brillantheit i^*

$i^* = 0.80$

$i^* = 0.60$

$i^* = 0.40$

$i^* = 0.20$

Ein und Ausgabe: Farbmimetrisches Drucker-Reflektiv-System ORS19_96a für relativen CIELAB-Buntton $h^* = lab^*h^* = h_{ab}/360 = 0.256$

Daten für jede Farbe:

lab^*ch^* und lab^*icu^*

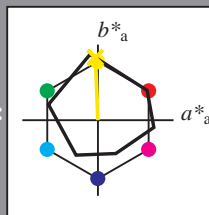
Bunttontexte:

$u^*_e = j00g$ $u^*_d = o92y$

Kontrastreduzierungsfaktor:

$c_R = 1.0$

Dreiecks-Helligkeit i^*



ORS19_96a; adaptierte CIELAB-Daten

	u^*_e	$L^*=L^*_a$	a^*_a	b^*_a	$C^*_{ab,a}$	$h^*_{ab,a}$
O _{Ma}	48.75	65.07	39.43	76.08	31	
Y _{Ma}	90.92	-10.29	87.24	87.85	97	
L _{Ma}	52.69	-65.44	20.75	68.65	162	
C _{Ma}	59.61	-28.98	-46.22	54.56	238	
V _{Ma}	28.39	23.63	-44.13	50.06	298	
M _{Ma}	49.58	73.93	-9.56	74.55	353	
N _{Ma}	18.89	0.0	0.0	0.0	0	
W _{Ma}	96.9	0.0	0.0	0.0	0	
R _{Ma}	39.92	58.74	27.99	65.07	25	
J _{Ma}	81.26	-2.89	71.56	71.62	92	
G _{Ma}	52.23	-42.42	13.6	44.55	162	
B _{Ma}	30.57	1.41	-46.47	46.49	272	

Daten für Maximalfarbe (Ma):

$LAB^*LAB^*_{Ma}$: 87 -3 83

$LAB^*LCH^*_{Ma}$: 87 83 92

$lab^*rgb^*_{Ma}$: 1.0 1.0 0.0

$lab^*olv^*_{Ma}$: 1.0 0.93 0.0

Dreiecks-Helligkeit i^*

%Umfang

$u^*_{rel} = 89$

%Regularität

$g^*_{H,rel} = 72$

$g^*_{C,rel} = 57$

ORS19_96a; adaptierte CIELAB-Daten

	u^*_e	$L^*=L^*_a$	a^*_a	b^*_a	$C^*_{ab,a}$	$h^*_{ab,a}$	u^*_d
r00j	48.88	66.47	31.67	73.63	25	m84o	
r25j	55.85	52.39	47.48	70.7	42	o17y	
r50j	65.45	35.22	58.37	68.17	59	o42y	
r75j	75.19	17.82	69.41	71.66	76	o67y	
j00g	87.03	-3.35	82.83	82.9	92	o92y	
j25g	80.72	-25.01	69.5	73.86	110	y20l	
j50g	70.64	-39.54	51.97	65.3	127	y46l	
j75g	61.93	-52.1	36.83	63.8	145	y72l	
g00b	52.8	-65.28	20.93	68.56	162	y99l	
g25b	55.7	-49.58	-8.39	50.28	190	l36c	
g50b	57.82	-38.4	-28.92	48.07	217	l72c	
g75b	55.5	-22.05	-45.95	50.97	244	c11v	
b00r	41.6	1.37	-45.01	45.03	272	c56v	
b25r	29.0	25.08	-43.13	49.89	300	v04m	
b50r	38.04	46.53	-28.39	54.51	329	v55m	
b75r	49.48	72.88	-3.76	72.98	357	m11o	

$LAB^*LAB^*_{a}$

$i^*=1.00$

Brillantheit i^*

$i^*=0.80$

$i^*=0.60$

$i^*=0.40$

$i^*=0.20$

Ein und Ausgabe: Farbmetrisches Drucker-Reflektiv-System ORS19_96a für relativen CIELAB-Buntton $h^* = lab^*h^* = h_{ab}/360 = 0.305$

Daten für jede Farbe:

lab^*ch^* und lab^*icu^*

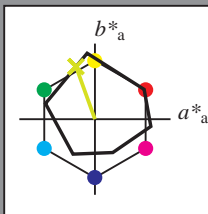
Bunttontexte:

$u^*_e = j25g$ $u^*_d = y20l$

Kontrastreduzierungsfaktor:

$c_R = 1.0$

Dreiecks-Helligkeit i^*



ORS19_96a; adaptierte CIELAB-Daten

u^*_e	$L^*=L^*_a$	a^*_a	b^*_a	$C^*_{ab,a}$	$h^*_{ab,a}$
O _{Ma}	48.75	65.07	39.43	76.08	31
Y _{Ma}	90.92	-10.29	87.24	87.85	97
L _{Ma}	52.69	-65.44	20.75	68.65	162
C _{Ma}	59.61	-28.98	-46.22	54.56	238
V _{Ma}	28.39	23.63	-44.13	50.06	298
M _{Ma}	49.58	73.93	-9.56	74.55	353
N _{Ma}	18.89	0.0	0.0	0.0	0
W _{Ma}	96.9	0.0	0.0	0.0	0
R _{Ma}	39.92	58.74	27.99	65.07	25
J _{Ma}	81.26	-2.89	71.56	71.62	92
G _{Ma}	52.23	-42.42	13.6	44.55	162
B _{Ma}	30.57	1.41	-46.47	46.49	272

Daten für Maximalfarbe (Ma):

$LAB^*LAB^*_{Ma}$: 81 -25 69

$LAB^*LCH^*_{Ma}$: 81 74 109

$lab^*rgb^*_{Ma}$: 0.75 1.0 0.0

$lab^*olv^*_{Ma}$: 0.8 1.0 0.0

Dreiecks-Helligkeit i^*

%Umfang

$u^*_{rel} = 89$

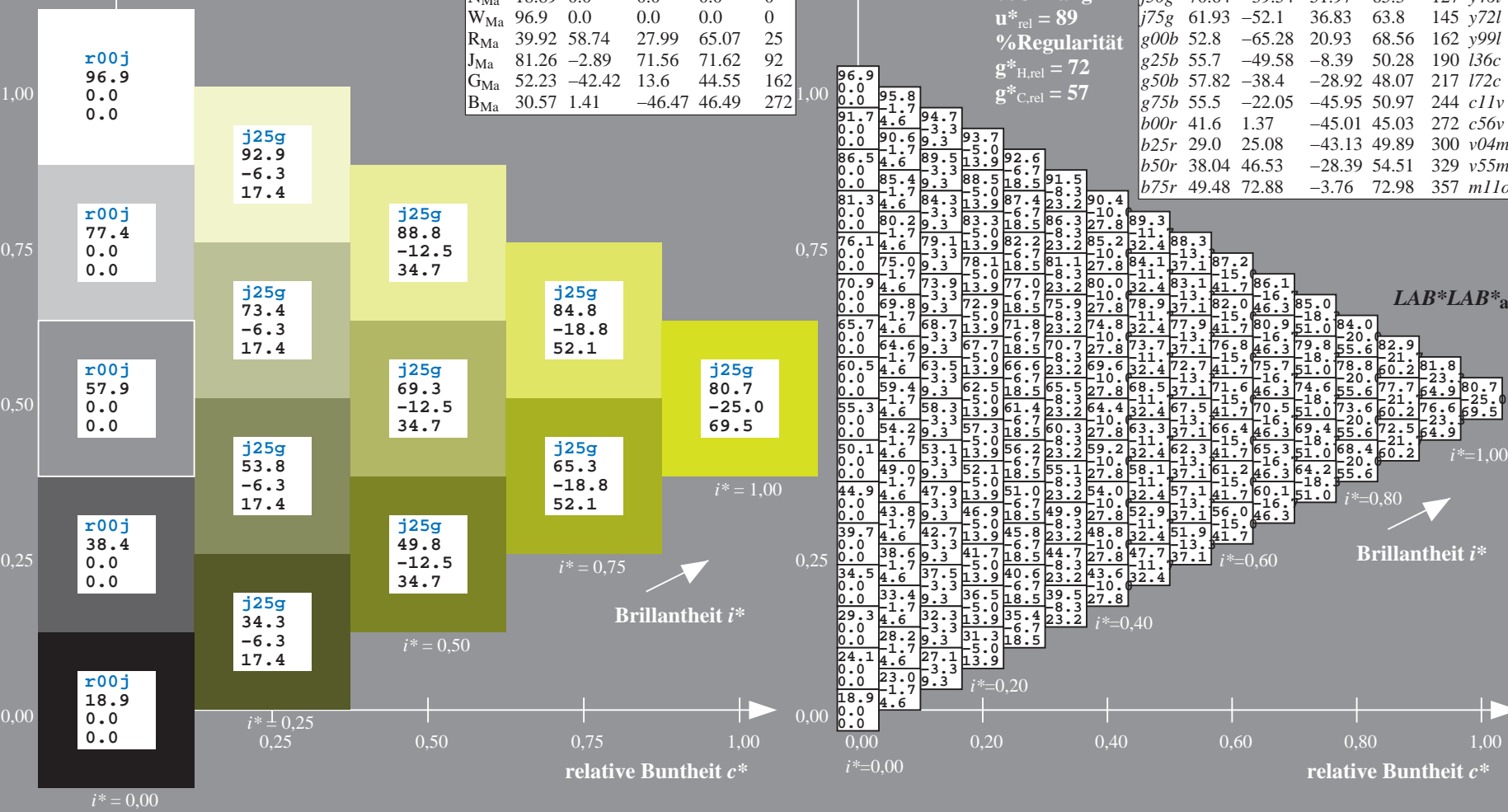
%Regularität

$g^*_{H,rel} = 72$

$g^*_{C,rel} = 57$

ORS19_96a; adaptierte CIELAB-Daten

u^*_e	$L^*=L^*_a$	a^*_a	b^*_a	$C^*_{ab,a}$	$h^*_{ab,a}$	u^*_d
r00j	48.88	66.47	31.67	73.63	25	m84o
r25j	55.85	52.39	47.48	70.7	42	o17y
r50j	65.45	35.22	58.37	68.17	59	o42y
r75j	75.19	17.82	69.41	71.66	76	o67y
j00g	87.03	-3.35	82.83	82.9	92	o92y
j25g	80.72	-25.01	69.5	73.86	110	y20l
j50g	70.64	-39.54	51.97	65.3	127	y46l
j75g	61.93	-52.1	36.83	63.8	145	y72l
g00b	52.8	-65.28	20.93	68.56	162	y99l
g25b	55.7	-49.58	-8.39	50.28	190	l36c
g50b	57.82	-38.4	-28.92	48.07	217	l72c
g75b	55.5	-22.05	-45.95	50.97	244	c11v
b00r	41.6	1.37	-45.01	45.03	272	c56v
b25r	29.0	25.08	-43.13	49.89	300	v04m
b50r	38.04	46.53	-28.39	54.51	329	v55m
b75r	49.48	72.88	-3.76	72.98	357	m11o



Daten für jede Farbe:

*lab*tch** und *lab*icu**

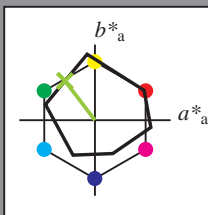
Bunttexte:

$$u^*_e = j50g \quad u^*_d = y46l$$

Kontrastreduzierungsfaktor:

 $c_R = 1.0$

Dreiecks-Helligkeit t^*



ORS19 96a; adaptierte CIELAB-Daten						
u_e^*	$L^*=L_a^*$	a_a^*	b_a^*	$C^*_{ab,a}$	$h^*_{ab,a}$	
O _{Ma}	48.75	65.07	39.43	76.08	31	
Y _{Ma}	90.92	-10.29	87.24	87.85	97	
L _{Ma}	52.69	-65.44	20.75	68.65	162	
C _{Ma}	59.61	-28.98	-46.22	54.56	238	
V _{Ma}	28.39	23.63	-44.13	50.06	298	
M _{Ma}	49.58	73.93	-9.56	74.55	353	
N _{Ma}	18.89	0.0	0.0	0.0	0	
W _{Ma}	96.9	0.0	0.0	0.0	0	
R _{Ma}	39.92	58.74	27.99	65.07	25	
J _{Ma}	81.26	-2.89	71.56	71.62	92	
G _{Ma}	52.23	-42.42	13.6	44.55	162	
B _{Ma}	30.57	1.41	-46.47	46.49	272	

Daten für Maximalfarbe (Ma):

LAB*LAB*_{Ma}: 71 -40 52

LAB*LCH*Ma: 71 65 127

*lab*rgb**_{Ma}: 0.5 1.0 0.0

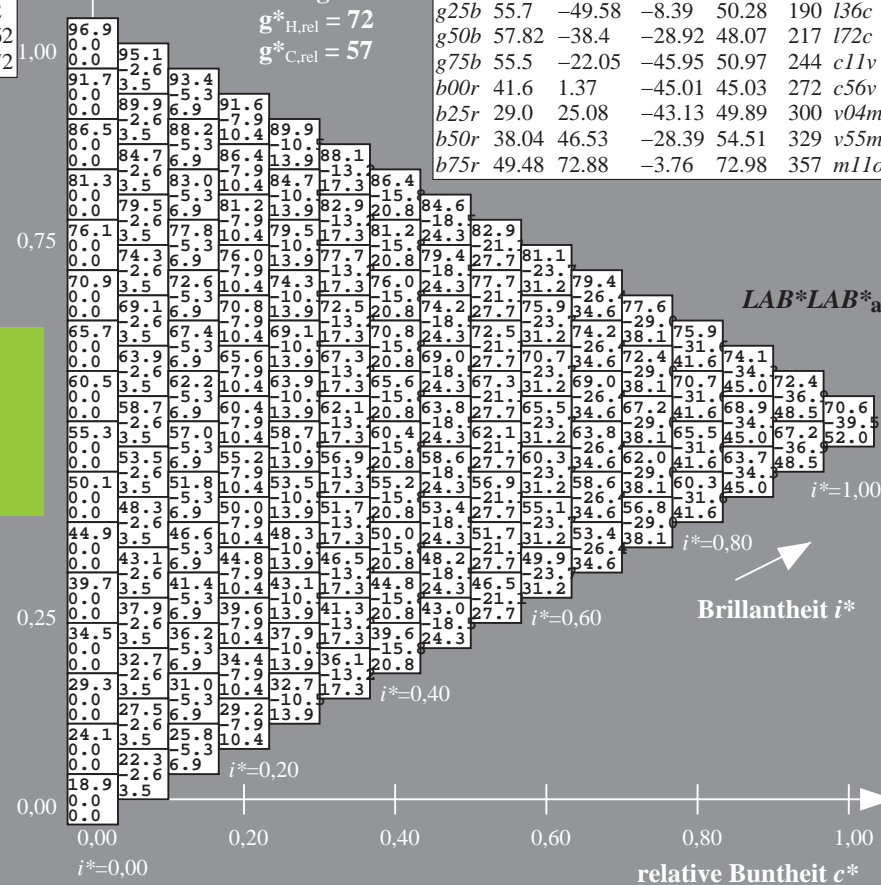
*lab*rgb*_{Ma}: 0.5 1.0 0.0
*lab*ol**_{Ma}: 0.54 1.0 0.0

Dreiecks-Helligkeit t^*

%Umfang

$$u_{rel}^* = 89$$

%Regularität

$$g^*_{H,rel} = 72$$
$$g^*_{C,rel} = 57$$


*LAB*LAB**₂

 $i^* = -1.00$

Brilliantheit i*

BAM-Prüfvorlage Eg12; Farbmimetrik-Systeme, Seite 152/270 Eingabe: 000n / w / nnn0 / www set...
4 Separationen, 9 Datentabellen für 16 Bunttöne r00j bis b75r Ausgabe: ->cmy6* setcmykcolor

BAM-Registrierung: 20081001-Eg12/10L/L12G00NA.PS/.TXT BAM-Material: Code=rha4ta
Anwendung für Beurteilung und Messung von Drucker- oder Monitorsystemen

Siehe ähnliche Dateien: <http://www.ps.bam.de/Eg12>; www.ps.bam.de/Eg.HTM
Technische Information: <http://www.ps.bam.de> Version 2.1, io=1,1, ColSpx=1

Ein und Ausgabe: Farbmetrisches Drucker-Reflektiv-System ORS19_96a für relativen CIELAB-Buntton $h^* = lab^*h^* = h_{ab}/360 = 0.402$

Daten für jede Farbe:

lab^*ch^* und lab^*icu^*

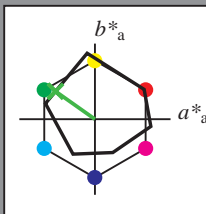
Bunttontexte:

$u^*_e = j75g$ $u^*_d = y72l$

Kontrastreduzierungsfaktor:

$c_R = 1.0$

Dreiecks-Helligkeit i^*



ORS19_96a; adaptierte CIELAB-Daten

u^*_e	$L^*=L^*_a$	a^*_a	b^*_a	$C^*_{ab,a}$	$h^*_{ab,a}$
O _{Ma}	48.75	65.07	39.43	76.08	31
Y _{Ma}	90.92	-10.29	87.24	87.85	97
L _{Ma}	52.69	-65.44	20.75	68.65	162
C _{Ma}	59.61	-28.98	-46.22	54.56	238
V _{Ma}	28.39	23.63	-44.13	50.06	298
M _{Ma}	49.58	73.93	-9.56	74.55	353
N _{Ma}	18.89	0.0	0.0	0.0	0
W _{Ma}	96.9	0.0	0.0	0.0	0
R _{Ma}	39.92	58.74	27.99	65.07	25
J _{Ma}	81.26	-2.89	71.56	71.62	92
G _{Ma}	52.23	-42.42	13.6	44.55	162
B _{Ma}	30.57	1.41	-46.47	46.49	272

Daten für Maximalfarbe (Ma):

$LAB^*LAB^*_Ma$: 62 -52 37

$LAB^*LCH^*_Ma$: 62 64 144

$lab^*rgb^*_Ma$: 0.25 1.0 0.0

$lab^*olv^*_Ma$: 0.27 1.0 0.0

Dreiecks-Helligkeit i^*

%Umfang

$u^*_{rel} = 89$

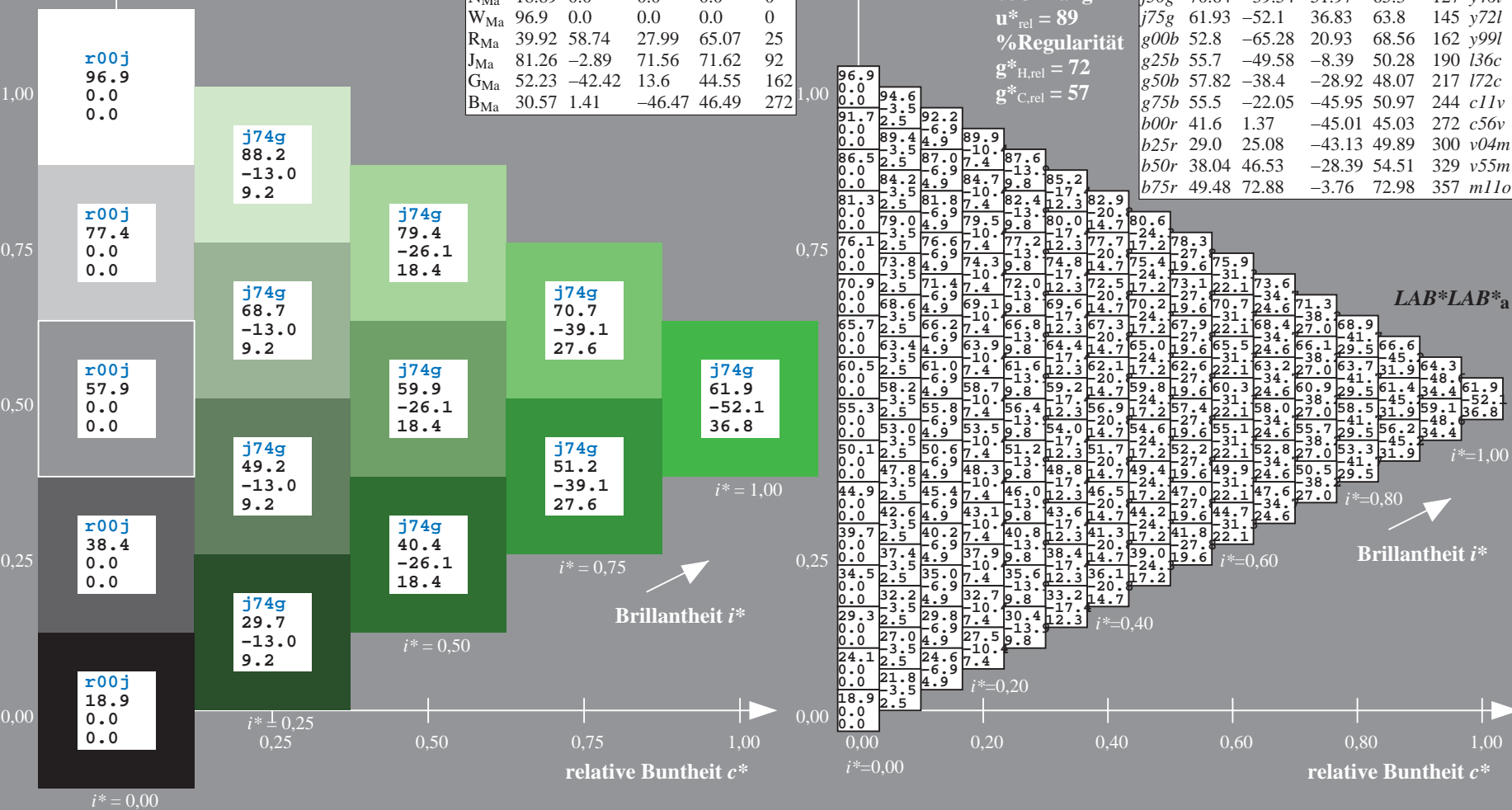
%Regularität

$g^*_{H,rel} = 72$

$g^*_{C,rel} = 57$

ORS19_96a; adaptierte CIELAB-Daten

u^*_e	$L^*=L^*_a$	a^*_a	b^*_a	$C^*_{ab,a}$	$h^*_{ab,a}$	u^*_d
r00j	48.88	66.47	31.67	73.63	25	m84o
r25j	55.85	52.39	47.48	70.7	42	o17y
r50j	65.45	35.22	58.37	68.17	59	o42y
r75j	75.19	17.82	69.41	71.66	76	o67y
j00g	87.03	-3.35	82.83	82.9	92	o92y
j25g	80.72	-25.01	69.5	73.86	110	y20l
j50g	70.64	-39.54	51.97	65.3	127	y46l
j75g	61.93	-52.1	36.83	63.8	145	y72l
g00b	52.8	-65.28	20.93	68.56	162	y99l
g25b	55.7	-49.58	-8.39	50.28	190	l36c
g50b	57.82	-38.4	-28.92	48.07	217	l72c
g75b	55.5	-22.05	-45.95	50.97	244	c11v
b00r	41.6	1.37	-45.01	45.03	272	c56v
b25r	29.0	25.08	-43.13	49.89	300	v04m
b50r	38.04	46.53	-28.39	54.51	329	v55m
b75r	49.48	72.88	-3.76	72.98	357	m11o



Ein und Ausgabe: Farbmetrisches Drucker-Reflektiv-System ORS19_96a für relativen CIELAB-Buntton $h^* = \text{lab}^*h^* = h_{ab}/360 = 0.451$

Daten für jede Farbe:

lab^*tch^* und lab^*icu^*

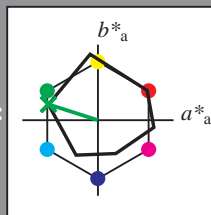
Bunttontexte:

$u^*_e = g00b$ $u^*_d = y99l$

Kontrastreduzierungsfaktor:

$c_R = 1.0$

Dreiecks-Helligkeit i^*



ORS19_96a; adaptierte CIELAB-Daten

u^*_e	$L^*=L^*_a$	a^*_a	b^*_a	$C^*_{ab,a}$	$h^*_{ab,a}$
O _{Ma}	48.75	65.07	39.43	76.08	31
Y _{Ma}	90.92	-10.29	87.24	87.85	97
L _{Ma}	52.69	-65.44	20.75	68.65	162
C _{Ma}	59.61	-28.98	-46.22	54.56	238
V _{Ma}	28.39	23.63	-44.13	50.06	298
M _{Ma}	49.58	73.93	-9.56	74.55	353
N _{Ma}	18.89	0.0	0.0	0.0	0
W _{Ma}	96.9	0.0	0.0	0.0	0
R _{Ma}	39.92	58.74	27.99	65.07	25
J _{Ma}	81.26	-2.89	71.56	71.62	92
G _{Ma}	52.23	-42.42	13.6	44.55	162
B _{Ma}	30.57	1.41	-46.47	46.49	272

Daten für Maximalfarbe (Ma):

$\text{LAB}^*\text{LAB}^*_{\text{Ma}}$: 53 -65 21

$\text{LAB}^*\text{LCH}^*_{\text{Ma}}$: 53 69 162

$\text{lab}^*\text{rgb}^*_{\text{Ma}}$: 0.0 1.0 0.0

$\text{lab}^*\text{olv}^*_{\text{Ma}}$: 0.0 1.0 0.0

Dreiecks-Helligkeit i^*

%Umfang

$u^*_{\text{rel}} = 89$

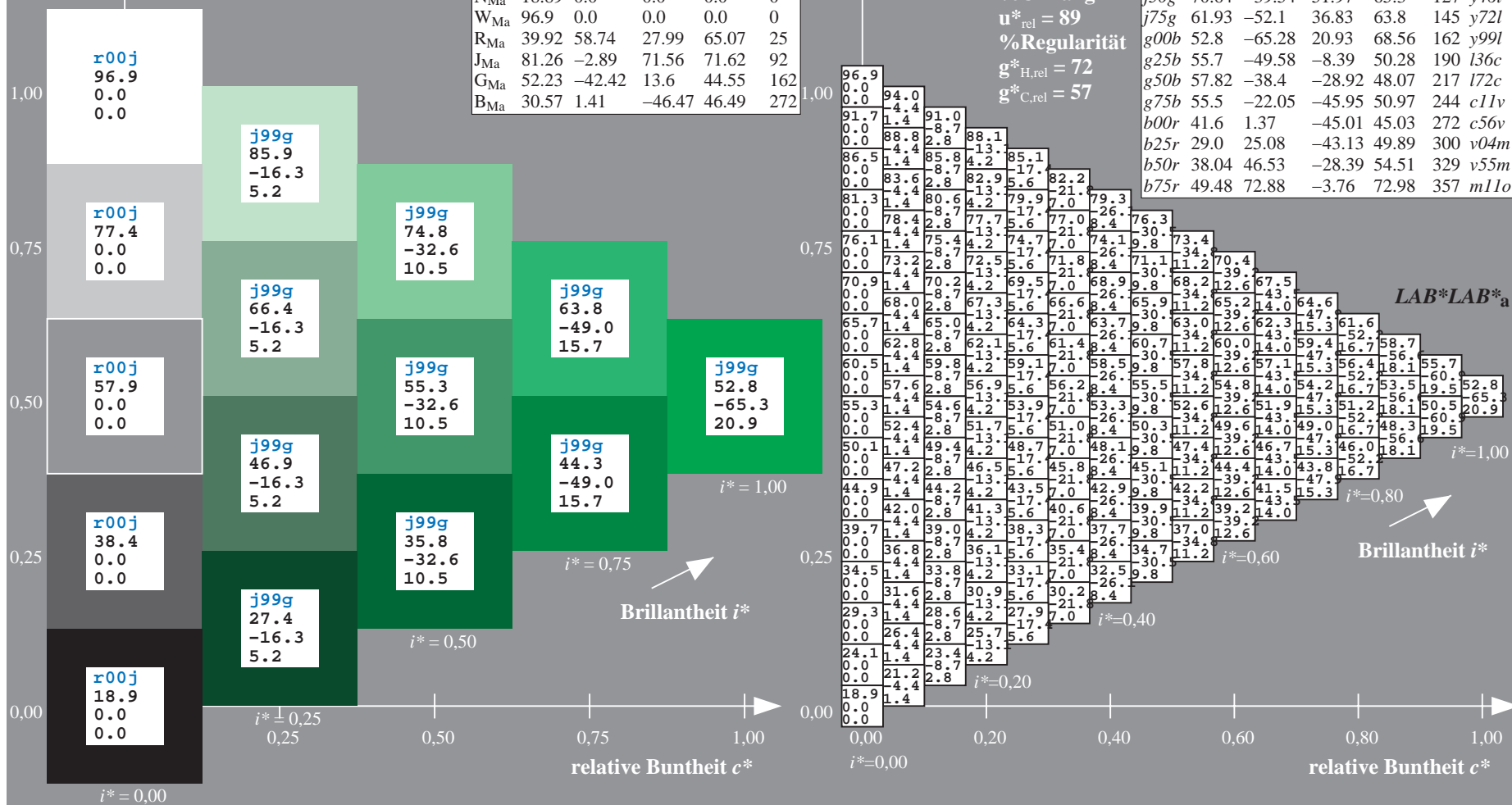
%Regularität

$g^*_{H,\text{rel}} = 72$

$g^*_{C,\text{rel}} = 57$

ORS19_96a; adaptierte CIELAB-Daten

u^*_e	$L^*=L^*_a$	a^*_a	b^*_a	$C^*_{ab,a}$	$h^*_{ab,a}$	u^*_d
r00j	48.88	66.47	31.67	73.63	25	m84o
r25j	55.85	52.39	47.48	70.7	42	o17y
r50j	65.45	35.22	58.37	68.17	59	o42y
r75j	75.19	17.82	69.41	71.66	76	o67y
j00g	87.03	-3.35	82.83	82.9	92	o92y
j25g	80.72	-25.01	69.5	73.86	110	y20l
j50g	70.64	-39.54	51.97	65.3	127	y46l
j75g	61.93	-52.1	36.83	63.8	145	y72l
g00b	52.8	-65.28	20.93	68.56	162	y99l
g25b	55.7	-49.58	-8.39	50.28	190	l36c
g50b	57.82	-38.4	-28.92	48.07	217	l72c
g75b	55.5	-22.05	-45.95	50.97	244	c11v
b00r	41.6	1.37	-45.01	45.03	272	c56v
b25r	29.0	25.08	-43.13	49.89	300	v04m
b50r	38.04	46.53	-28.39	54.51	329	v55m
b75r	49.48	72.88	-3.76	72.98	357	m11o



Ein und Ausgabe: Farbmetrisches Drucker-Reflektiv-System ORS19_96a für relativen CIELAB-Buntton $h^* = \text{lab}^*h^* = h_{ab}/360 = 0.527$

Daten für jede Farbe:

lab^*tch^* und lab^*icu^*

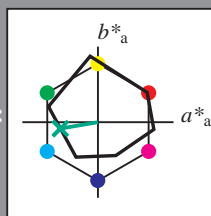
Bunttontexte:

$u^*_e = g25b$ $u^*_d = l36c$

Kontrastreduzierungsfaktor:

$c_R = 1.0$

Dreiecks-Helligkeit i^*



ORS19_96a; adaptierte CIELAB-Daten						
u^*_e	$L^*=L^*_a$	a^*_a	b^*_a	$C^*_{ab,a}$	$h^*_{ab,a}$	u^*_d
O _{Ma}	48.75	65.07	39.43	76.08	31	
Y _{Ma}	90.92	-10.29	87.24	87.85	97	
L _{Ma}	52.69	-65.44	20.75	68.65	162	
C _{Ma}	59.61	-28.98	-46.22	54.56	238	
V _{Ma}	28.39	23.63	-44.13	50.06	298	
M _{Ma}	49.58	73.93	-9.56	74.55	353	
N _{Ma}	18.89	0.0	0.0	0.0	0	
W _{Ma}	96.9	0.0	0.0	0.0	0	
R _{Ma}	39.92	58.74	27.99	65.07	25	
J _{Ma}	81.26	-2.89	71.56	71.62	92	
G _{Ma}	52.23	-42.42	13.6	44.55	162	
B _{Ma}	30.57	1.41	-46.47	46.49	272	

Daten für Maximalfarbe (Ma):

$\text{LAB}^*\text{LAB}^*_{Ma}$: 56 -50 -8

$\text{LAB}^*\text{LCH}^*_{Ma}$: 56 50 189

$\text{lab}^*\text{rgb}^*_{Ma}$: 0.0 1.0 0.5

$\text{lab}^*\text{olv}^*_{Ma}$: 0.0 1.0 0.36

Dreiecks-Helligkeit i^*

%Umfang

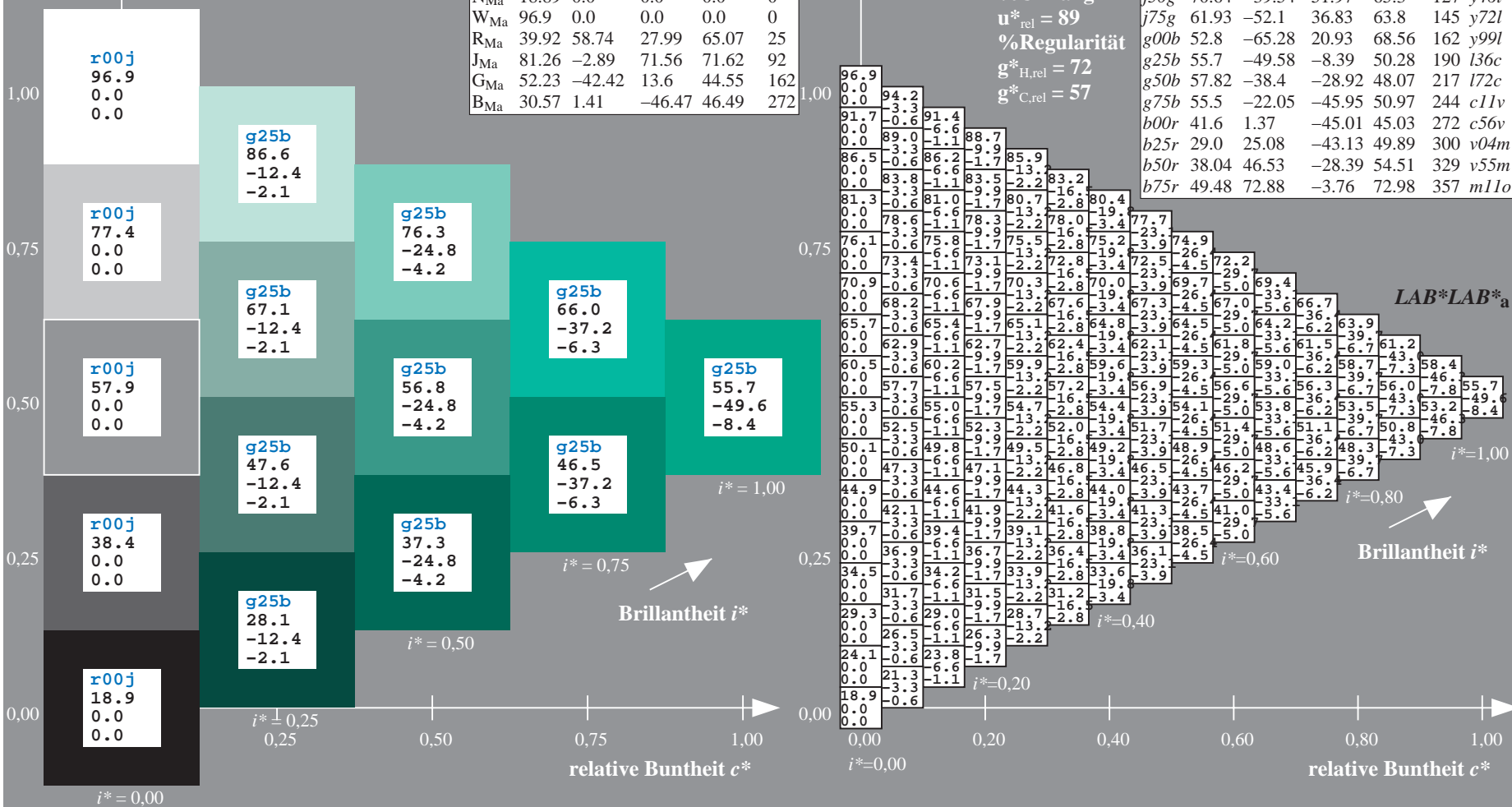
$u^*_{rel} = 89$

%Regularität

$g^*_{H,rel} = 72$

$g^*_{C,rel} = 57$

ORS19_96a; adaptierte CIELAB-Daten						
u^*_e	$L^*=L^*_a$	a^*_a	b^*_a	$C^*_{ab,a}$	$h^*_{ab,a}$	u^*_d
r00j	48.88	66.47	31.67	73.63	25	m84o
r25j	55.85	52.39	47.48	70.7	42	o17y
r50j	65.45	35.22	58.37	68.17	59	o42y
r75j	75.19	17.82	69.41	71.66	76	o67y
j00g	87.03	-3.35	82.83	82.9	92	o92y
j25g	80.72	-25.01	69.5	73.86	110	y20l
j50g	70.64	-39.54	51.97	65.3	127	y46l
j75g	61.93	-52.1	36.83	63.8	145	y72l
g00b	52.8	-65.28	20.93	68.56	162	y99l
g25b	55.7	-49.58	-8.39	50.28	190	l36c
g50b	57.82	-38.4	-28.92	48.07	217	l72c
g75b	55.5	-22.05	-45.95	50.97	244	c11v
b00r	41.6	1.37	-45.01	45.03	272	c56v
b25r	29.0	25.08	-43.13	49.89	300	v04m
b50r	38.04	46.53	-28.39	54.51	329	v55m
b75r	49.48	72.88	-3.76	72.98	357	m11o



www.ps.bam.de/Eg12/10L/L12G00NA.PS/.TXT; ORS19_96a; Transfer und Ausgabe
N: Keine Ausgabe-Linearisierung (OL) in Datei (F), Startup (S), Gerät (D)

Daten für jede Farbe:

*lab*tch** und *lab*icu**

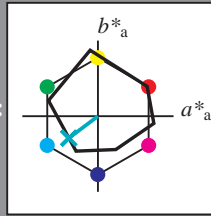
Bunttexte:

$$u^*_e = g50b \quad u^*_d = l72c$$

Kontrastreduzierungsfaktor:

 $c_R = 1.0$

Dreiecks-Helligkeit t^*



ORS19_96a; adaptierte CIELAB-Daten						
u^*_e	$L^*=L^*_a$	a^*_a	b^*_a	$C^*_{ab,a}$	$h^*_{ab,a}$	
O _{Ma}	48.75	65.07	39.43	76.08	31.0	97
Y _{Ma}	90.92	-10.29	87.24	87.85	97.0	97
L _{Ma}	52.69	-65.44	20.75	68.65	162.0	97
C _{Ma}	59.61	-28.98	-46.22	54.56	238.0	97
V _{Ma}	28.39	23.63	-44.13	50.06	298.0	97
M _{Ma}	49.58	73.93	-9.56	74.55	353.0	97
N _{Ma}	18.89	0.0	0.0	0.0	0	97
W _{Ma}	96.9	0.0	0.0	0.0	0	97
R _{Ma}	39.92	58.74	27.99	65.07	25.0	92
J _{Ma}	81.26	-2.89	71.56	71.62	92.0	92
G _{Ma}	52.23	-42.42	13.6	44.55	162.0	92
B _{Ma}	30.57	1.41	-46.47	46.49	272.0	92

Daten für Maximalfarbe (Ma):

*LAB*LAB*Ma: 58 -38 -29*

*LAB*LCH**_{Ma}: 58 48 216

*lab*rgb*Ma: 0.0 1.0 1.0

$$lab*olv_{Ma}: 0.0 \quad 1.0 \quad 0.72$$

Dreiecks-Helligkeit t^*

0/3

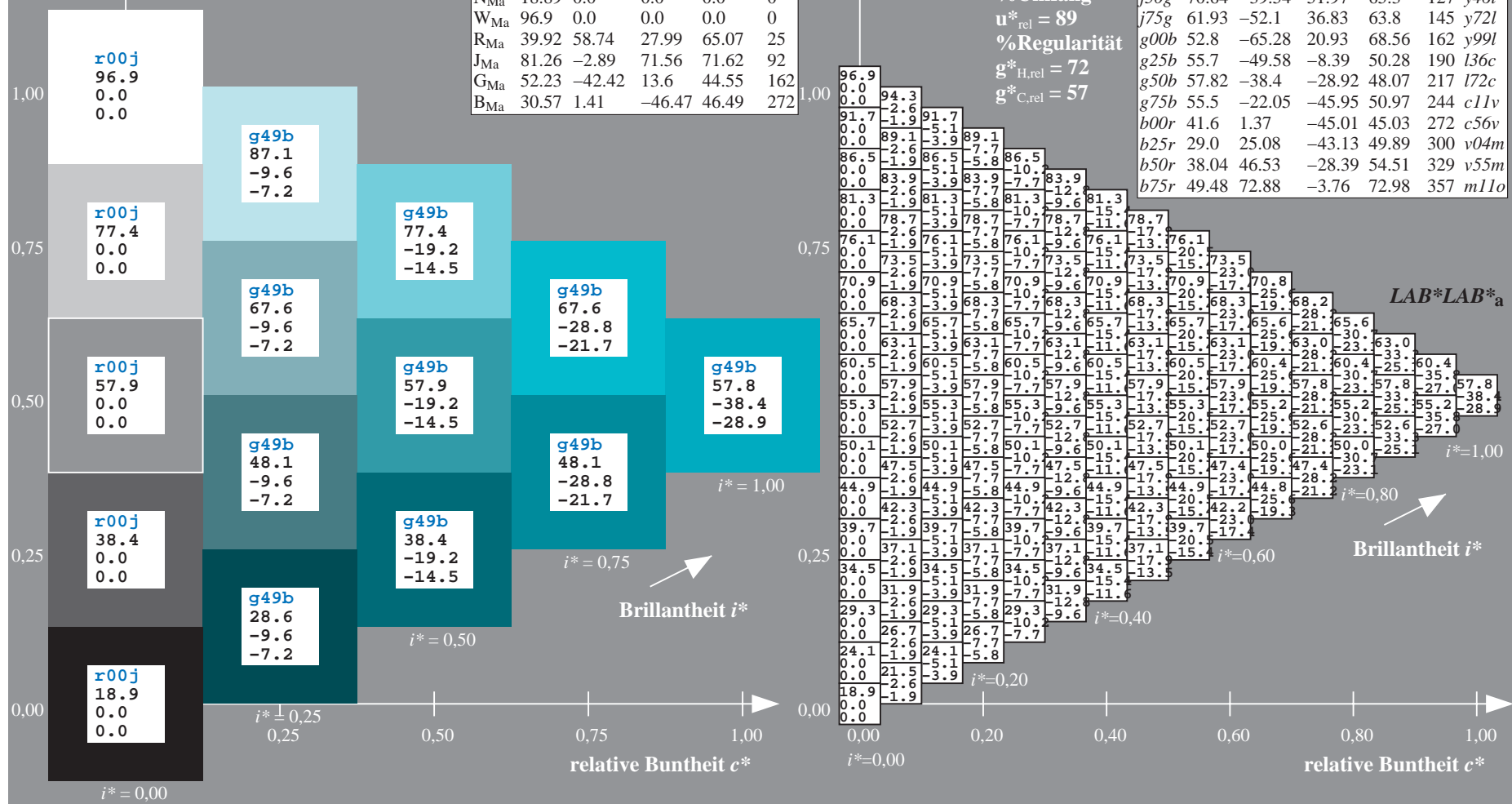
%Umfang

$$\mathbf{u}_{\text{rel}}^* = 89$$

%Regularität

$$g^*_{H,rel} = 72$$
$$g^*_{C,rel} = 57$$

ORS19_96a; adaptierte CIELAB-Daten							
u_e^*	$L^*=L_a^*$	a_a^*	b_a^*	$C^*_{ab,a}$	$h^*_{ab,a}$	u_d^*	
<i>r00j</i>	48.88	66.47	31.67	73.63	25	<i>m84o</i>	
<i>r25j</i>	55.85	52.39	47.48	70.7	42	<i>o17y</i>	
<i>r50j</i>	65.45	35.22	58.37	68.17	59	<i>o42y</i>	
<i>r75j</i>	75.19	17.82	69.41	71.66	76	<i>o67y</i>	
<i>j00g</i>	87.03	-3.35	82.83	82.9	92	<i>o92y</i>	
<i>j25g</i>	80.72	-25.01	69.5	73.86	110	<i>y20l</i>	
<i>j50g</i>	70.64	-39.54	51.97	65.3	127	<i>y46l</i>	
<i>j75g</i>	61.93	-52.1	36.83	63.8	145	<i>y72l</i>	
<i>g00b</i>	52.8	-65.28	20.93	68.56	162	<i>y99l</i>	
<i>g25b</i>	55.7	-49.58	-8.39	50.28	190	<i>l36c</i>	
<i>g50b</i>	57.82	-38.4	-28.92	48.07	217	<i>l72c</i>	
<i>g75b</i>	55.5	-22.05	-45.95	50.97	244	<i>c11v</i>	
<i>b00r</i>	41.6	1.37	-45.01	45.03	272	<i>c56v</i>	
<i>b25r</i>	29.0	25.08	-43.13	49.89	300	<i>v04m</i>	
<i>b50r</i>	38.04	46.53	-28.39	54.51	329	<i>v55m</i>	
<i>b75r</i>	49.48	72.88	-3.76	72.98	357	<i>m11o</i>	



BAM-Prüfvorlage Eg12; Farbmatrik-Systeme, Seite 156/270 Eingabe: 000n / w / nnn0 / www set...
4 Separationen, 9 Datentabellen für 16 Bunttöne r00j bis b75r Ausgabe: ->cmyn6* setcmykcolor

BAM-Prüfvorlage Eg12; Farbmatrik-Systeme, Seite 156/270 Eingabe: 000n / w / nnn0 / www set...
4 Separationen, 9 Datentabellen für 16 Bunttöne r00j bis b75r Ausgabe: ->cmyn6* setcmykcolor

BAM-Registrierung: 20081001-Eg12/10L/L12G00NA.PS/ .TXT BAM-Material: Code=rh4ta
- Anwendung für Beurteilung und Messung von Drucker- oder Monitorsystemen

BAM-Registrierung: 20081001-Eg12/10L/L12G00NA.PS/ .TXT BAM-Material: Code=rha4ta
- Anwendung für Beurteilung und Messung von Drucker- oder Monitorsystemen

Ein und Ausgabe: Farbmetrisches Drucker-Reflektiv-System ORS19_96a für relativen CIELAB-Buntton $h^* = lab^*h^* = h_{ab}/360 = 0.679$

Daten für jede Farbe:

lab^*ch^* und lab^*icu^*

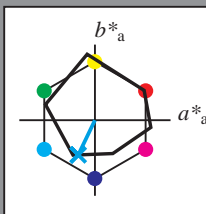
Bunttontexte:

$u^*_e = g75b$ $u^*_d = c11v$

Kontrastreduzierungsfaktor:

$c_R = 1.0$

Dreiecks-Helligkeit i^*



ORS19_96a; adaptierte CIELAB-Daten

	u^*_e	$L^*=L^*_a$	a^*_a	b^*_a	$C^*_{ab,a}$	$h^*_{ab,a}$
O _{Ma}	48.75	65.07	39.43	76.08	31	
Y _{Ma}	90.92	-10.29	87.24	87.85	97	
L _{Ma}	52.69	-65.44	20.75	68.65	162	
C _{Ma}	59.61	-28.98	-46.22	54.56	238	
V _{Ma}	28.39	23.63	-44.13	50.06	298	
M _{Ma}	49.58	73.93	-9.56	74.55	353	
N _{Ma}	18.89	0.0	0.0	0.0	0	
W _{Ma}	96.9	0.0	0.0	0.0	0	
R _{Ma}	39.92	58.74	27.99	65.07	25	
J _{Ma}	81.26	-2.89	71.56	71.62	92	
G _{Ma}	52.23	-42.42	13.6	44.55	162	
B _{Ma}	30.57	1.41	-46.47	46.49	272	

Daten für Maximalfarbe (Ma):

$LAB^*LAB^*_{Ma}$: 55 -22 -46

$LAB^*LCH^*_{Ma}$: 55 51 244

$lab^*rgb^*_{Ma}$: 0.0 0.5 1.0

$lab^*olv^*_{Ma}$: 0.0 0.89 1.0

Dreiecks-Helligkeit i^*

%Umfang

$u^*_{rel} = 89$

%Regularität

$g^*_{H,rel} = 72$

$g^*_{C,rel} = 57$

ORS19_96a; adaptierte CIELAB-Daten

	u^*_e	$L^*=L^*_a$	a^*_a	b^*_a	$C^*_{ab,a}$	$h^*_{ab,a}$	u^*_d
r00j	48.88	66.47	31.67	73.63	25	m84o	
r25j	55.85	52.39	47.48	70.7	42	o17y	
r50j	65.45	35.22	58.37	68.17	59	o42y	
r75j	75.19	17.82	69.41	71.66	76	o67y	
j00g	87.03	-3.35	82.83	82.9	92	o92y	
j25g	80.72	-25.01	69.5	73.86	110	y20l	
j50g	70.64	-39.54	51.97	65.3	127	y46l	
j75g	61.93	-52.1	36.83	63.8	145	y72l	
g00b	52.8	-65.28	20.93	68.56	162	y99l	
g25b	55.7	-49.58	-8.39	50.28	190	l36c	
g50b	57.82	-38.4	-28.92	48.07	217	l72c	
g75b	55.5	-22.05	-45.95	50.97	244	c11v	
b00r	41.6	1.37	-45.01	45.03	272	c56v	
b25r	29.0	25.08	-43.13	49.89	300	v04m	
b50r	38.04	46.53	-28.39	54.51	329	v55m	
b75r	49.48	72.88	-3.76	72.98	357	m11o	

$LAB^*LAB^*_{Ma}$

$i^*=1.00$

Brillantheit i^*

$i^*=0.80$

$i^*=0.60$

$i^*=0.40$

$i^*=0.20$

Ein und Ausgabe: Farbmetrisches Drucker-Reflektiv-System ORS19_96a für relativen CIELAB-Buntton $h^* = lab^*h^* = h_{ab}/360 = 0.755$

Daten für jede Farbe:

lab^*ch^* und lab^*icu^*

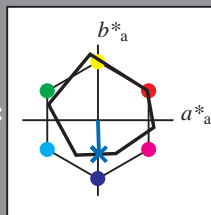
Bunttontexte:

$u^*_e = b00r$ $u^*_d = c56v$

Kontrastreduzierungsfaktor:

$c_R = 1.0$

Dreiecks-Helligkeit i^*



ORS19_96a; adaptierte CIELAB-Daten

u^*_e	$L^*=L^*_a$	a^*_a	b^*_a	$C^*_{ab,a}$	$h^*_{ab,a}$
O _{Ma}	48.75	65.07	39.43	76.08	31
Y _{Ma}	90.92	-10.29	87.24	87.85	97
L _{Ma}	52.69	-65.44	20.75	68.65	162
C _{Ma}	59.61	-28.98	-46.22	54.56	238
V _{Ma}	28.39	23.63	-44.13	50.06	298
M _{Ma}	49.58	73.93	-9.56	74.55	353
N _{Ma}	18.89	0.0	0.0	0.0	0
W _{Ma}	96.9	0.0	0.0	0.0	0
R _{Ma}	39.92	58.74	27.99	65.07	25
J _{Ma}	81.26	-2.89	71.56	71.62	92
G _{Ma}	52.23	-42.42	13.6	44.55	162
B _{Ma}	30.57	1.41	-46.47	46.49	272

Daten für Maximalfarbe (Ma):

$LAB^*LAB^*_{Ma}$: 42 1 -45

$LAB^*LCH^*_{Ma}$: 42 45 271

$lab^*rgb^*_{Ma}$: 0.0 0.0 1.0

$lab^*olv^*_{Ma}$: 0.0 0.44 1.0

Dreiecks-Helligkeit i^*

%Umfang

$u^*_{rel} = 89$

%Regularität

$g^*_{H,rel} = 72$

$g^*_{C,rel} = 57$

ORS19_96a; adaptierte CIELAB-Daten

u^*_e	$L^*=L^*_a$	a^*_a	b^*_a	$C^*_{ab,a}$	$h^*_{ab,a}$	u^*_d
r00j	48.88	66.47	31.67	73.63	25	m84o
r25j	55.85	52.39	47.48	70.7	42	o17y
r50j	65.45	35.22	58.37	68.17	59	o42y
r75j	75.19	17.82	69.41	71.66	76	o67y
j00g	87.03	-3.35	82.83	82.9	92	o92y
j25g	80.72	-25.01	69.5	73.86	110	y20l
j50g	70.64	-39.54	51.97	65.3	127	y46l
j75g	61.93	-52.1	36.83	63.8	145	y72l
g00b	52.8	-65.28	20.93	68.56	162	y99l
g25b	55.7	-49.58	-8.39	50.28	190	l36c
g50b	57.82	-38.4	-28.92	48.07	217	l72c
g75b	55.5	-22.05	-45.95	50.97	244	c11v
b00r	41.6	1.37	-45.01	45.03	272	c56v
b25r	29.0	25.08	-43.13	49.89	300	v04m
b50r	38.04	46.53	-28.39	54.51	329	v55m
b75r	49.48	72.88	-3.76	72.98	357	m11o

$u^*_e = b00r$
 $LAB^*LAB^*_{Ma}$

$LAB^*LAB^*_{Ma}$

$i^* = 1.00$

$i^* = 0.80$

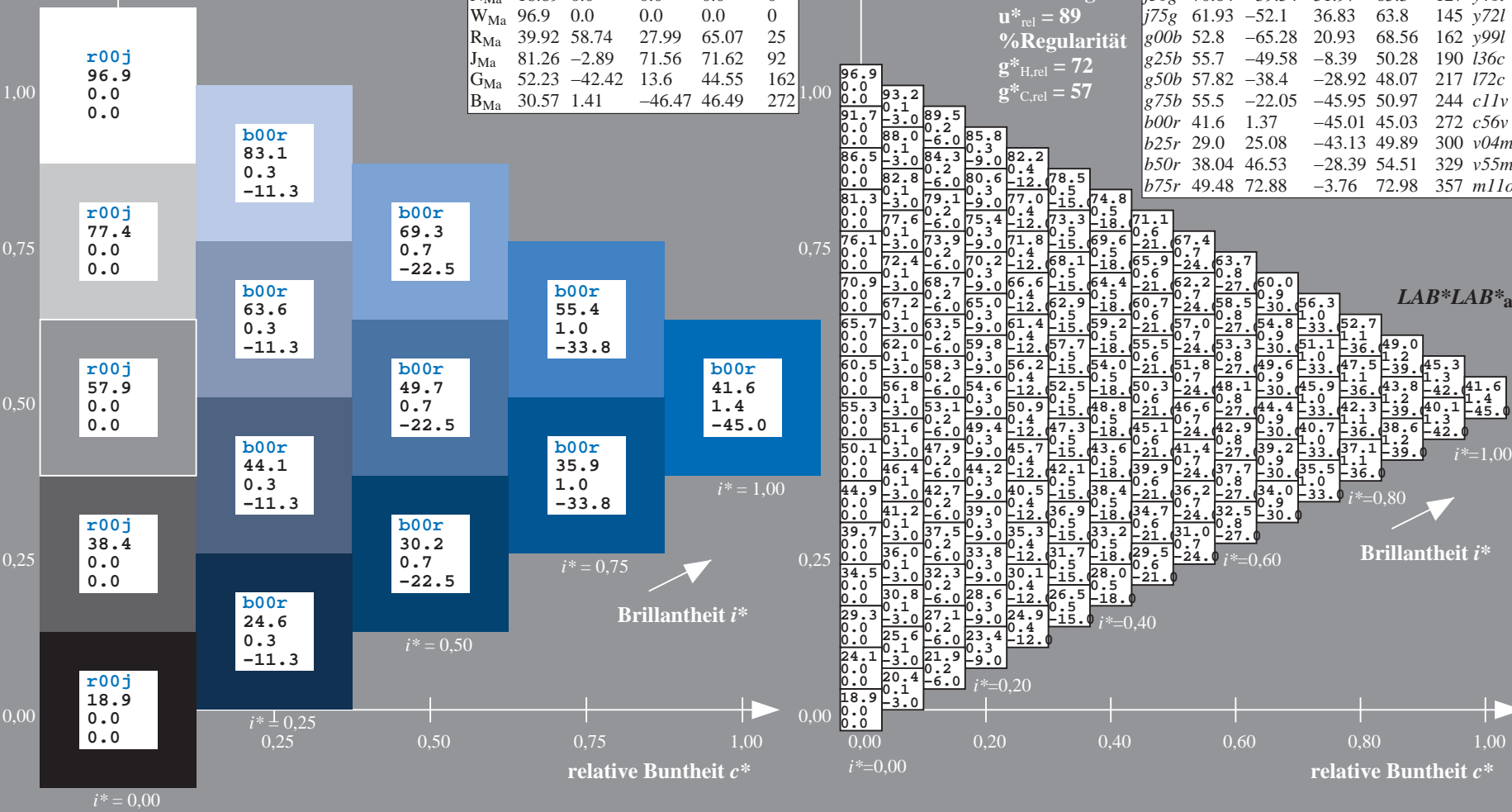
$i^* = 0.60$

$i^* = 0.40$

$i^* = 0.20$

$i^* = 0.00$

Brillantheit i^*



Ein und Ausgabe: Farbmetrisches Drucker-Reflektiv-System ORS19_96a für relativen CIELAB-Buntton $h^* = lab^*h^* = h_{ab}/360 = 0.834$

Daten für jede Farbe:
 lab^*ch^* und lab^*icu^*

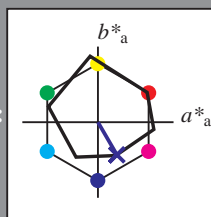
Bunttontexte:

$$u^*_e = b25r \quad u^*_d = v04m$$

Kontrastreduzierungsfaktor:

$$c_R = 1.0$$

Dreiecks-Helligkeit i^*



ORS19_96a; adaptierte CIELAB-Daten					
u^*_e	$L^*=L^*_a$	a^*_a	b^*_a	$C^*_{ab,a}$	$h^*_{ab,a}$
O _{Ma}	48.75	65.07	39.43	76.08	31
Y _{Ma}	90.92	-10.29	87.24	87.85	97
L _{Ma}	52.69	-65.44	20.75	68.65	162
C _{Ma}	59.61	-28.98	-46.22	54.56	238
V _{Ma}	28.39	23.63	-44.13	50.06	298
M _{Ma}	49.58	73.93	-9.56	74.55	353
N _{Ma}	18.89	0.0	0.0	0.0	0
W _{Ma}	96.9	0.0	0.0	0.0	0
R _{Ma}	39.92	58.74	27.99	65.07	25
J _{Ma}	81.26	-2.89	71.56	71.62	92
G _{Ma}	52.23	-42.42	13.6	44.55	162
B _{Ma}	30.57	1.41	-46.47	46.49	272

Daten für Maximalfarbe (Ma):

$LAB^*LAB^*_{Ma}$: 29 25 -43

$LAB^*LCH^*_{Ma}$: 29 50 300

$lab^*rgb^*_{Ma}$: 0.5 0.0 1.0

$lab^*olv^*_{Ma}$: 0.04 0.0 1.0

Dreiecks-Helligkeit i^*

%Umfang

$u^*_{rel} = 89$

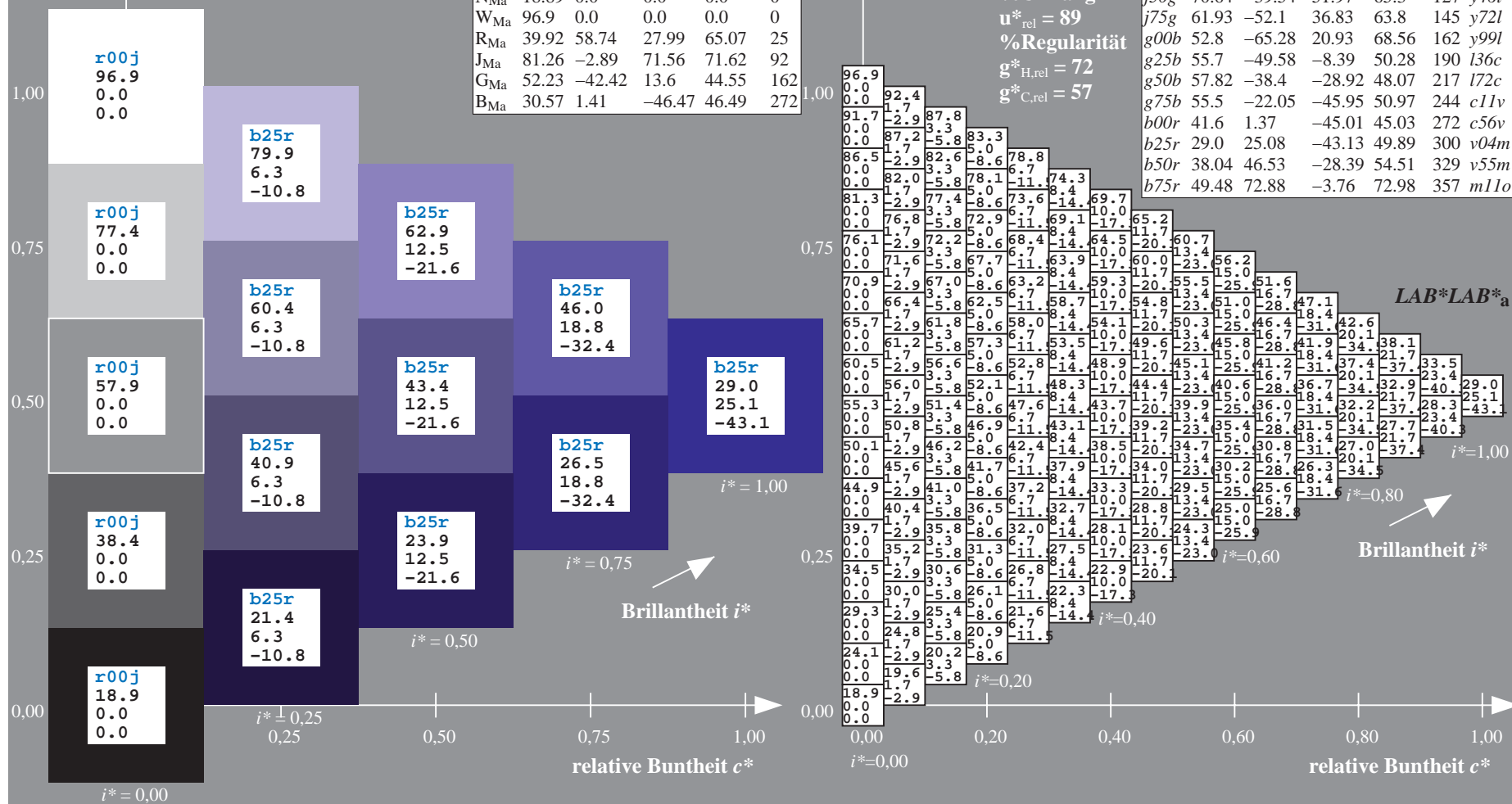
%Regularität

$g^*_{H,rel} = 72$

$g^*_{C,rel} = 57$

ORS19_96a; adaptierte CIELAB-Daten					
u^*_e	$L^*=L^*_a$	a^*_a	b^*_a	$C^*_{ab,a}$	$h^*_{ab,a}$
r00j	48.88	66.47	31.67	73.63	25
r25j	55.85	52.39	47.48	70.7	42
r50j	65.45	35.22	58.37	68.17	59
r75j	75.19	17.82	69.41	71.66	76
j00g	87.03	-3.35	82.83	82.9	92
j25g	80.72	-25.01	69.5	73.86	110
j50g	70.64	-39.54	51.97	65.3	127
j75g	61.93	-52.1	36.83	63.8	145
g00b	52.8	-65.28	20.93	68.56	162
g25b	55.7	-49.58	-8.39	50.28	190
g50b	57.82	-38.4	-28.92	48.07	217
g75b	55.5	-22.05	-45.95	50.97	244
b00r	41.6	1.37	-45.01	45.03	272
b25r	29.0	25.08	-43.13	49.89	300
b50r	38.04	46.53	-28.39	54.51	329
b75r	49.48	72.88	-3.76	72.98	357

$u^*_e = b25r$
 $LAB^*LAB^*_a$



Ein und Ausgabe: Farbmetrisches Drucker-Reflektiv-System ORS19_96a für relativen CIELAB-Buntton $h^* = lab^*h^* = h_{ab}/360 = 0.913$

Daten für jede Farbe:

lab^*ch^* und lab^*icu^*

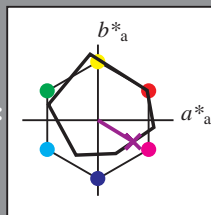
Bunttontexte:

$u^*_e = b50r$ $u^*_d = v55m$

Kontrastreduzierungsfaktor:

$c_R = 1.0$

Dreiecks-Helligkeit i^*



ORS19_96a; adaptierte CIELAB-Daten

	u^*_e	$L^*=L^*_a$	a^*_a	b^*_a	$C^*_{ab,a}$	$h^*_{ab,a}$
O _{Ma}	48.75	65.07	39.43	76.08	31	
Y _{Ma}	90.92	-10.29	87.24	87.85	97	
L _{Ma}	52.69	-65.44	20.75	68.65	162	
C _{Ma}	59.61	-28.98	-46.22	54.56	238	
V _{Ma}	28.39	23.63	-44.13	50.06	298	
M _{Ma}	49.58	73.93	-9.56	74.55	353	
N _{Ma}	18.89	0.0	0.0	0.0	0	
W _{Ma}	96.9	0.0	0.0	0.0	0	
R _{Ma}	39.92	58.74	27.99	65.07	25	
J _{Ma}	81.26	-2.89	71.56	71.62	92	
G _{Ma}	52.23	-42.42	13.6	44.55	162	
B _{Ma}	30.57	1.41	-46.47	46.49	272	

Daten für Maximalfarbe (Ma):

$LAB^*LAB^*_{Ma}$: 38 47 -28

$LAB^*LCH^*_{Ma}$: 38 55 328

$lab^*rgb^*_{Ma}$: 1.0 0.0 1.0

$lab^*olv^*_{Ma}$: 0.56 0.0 1.0

Dreiecks-Helligkeit i^*

%Umfang

$u^*_{rel} = 89$

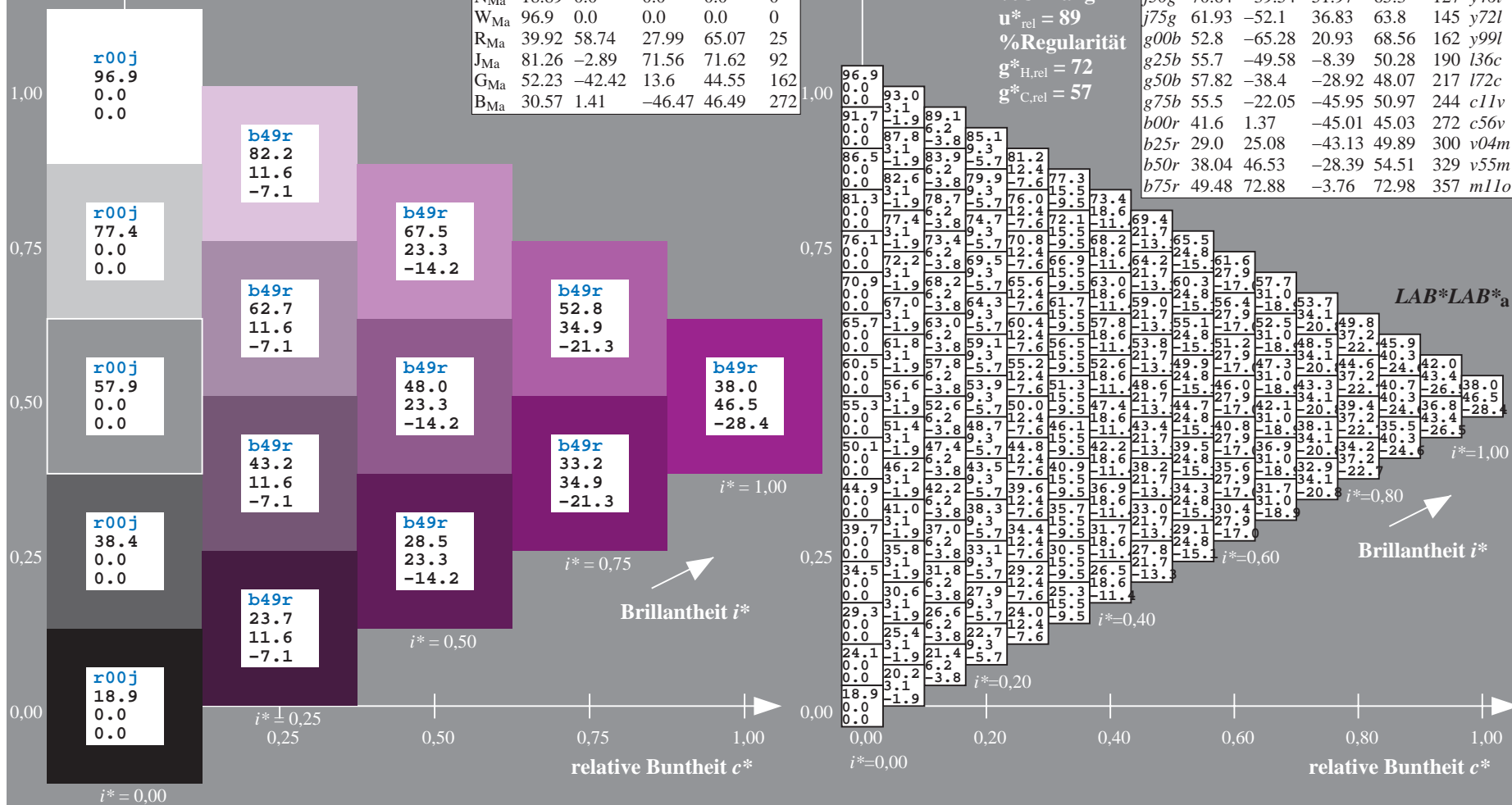
%Regularität

$g^*_{H,rel} = 72$

$g^*_{C,rel} = 57$

ORS19_96a; adaptierte CIELAB-Daten

	u^*_e	$L^*=L^*_a$	a^*_a	b^*_a	$C^*_{ab,a}$	$h^*_{ab,a}$	u^*_d
r00j	48.88	66.47	31.67	73.63	25	m84o	
r25j	55.85	52.39	47.48	70.7	42	o17y	
r50j	65.45	35.22	58.37	68.17	59	o42y	
r75j	75.19	17.82	69.41	71.66	76	o67y	
j00g	87.03	-3.35	82.83	82.9	92	o92y	
j25g	80.72	-25.01	69.5	73.86	110	y20l	
j50g	70.64	-39.54	51.97	65.3	127	y46l	
j75g	61.93	-52.1	36.83	63.8	145	y72l	
g00b	52.8	-65.28	20.93	68.56	162	y99l	
g25b	55.7	-49.58	-8.39	50.28	190	l36c	
g50b	57.82	-38.4	-28.92	48.07	217	l72c	
g75b	55.5	-22.05	-45.95	50.97	244	c11v	
b00r	41.6	1.37	-45.01	45.03	272	c56v	
b25r	29.0	25.08	-43.13	49.89	300	v04m	
b50r	38.04	46.53	-28.39	54.51	329	v55m	
b75r	49.48	72.88	-3.76	72.98	357	m11o	



Ein und Ausgabe: Farbmetrisches Drucker-Reflektiv-System ORS19_96a für relativen CIELAB-Buntton $h^* = \text{lab}^*h^* = h_{ab}/360 = 0.992$

Daten für jede Farbe:

lab^*tch^* und lab^*icu^*

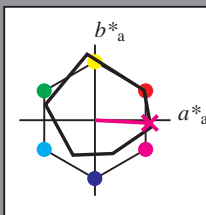
Bunttontexte:

$u^*_e = b75r$ $u^*_d = m11o$

Kontrastreduzierungsfaktor:

$c_R = 1.0$

Dreiecks-Helligkeit i^*



ORS19_96a; adaptierte CIELAB-Daten

u^*_e	$L^*=L^*_a$	a^*_a	b^*_a	$C^*_{ab,a}$	$h^*_{ab,a}$
O _{Ma}	48.75	65.07	39.43	76.08	31
Y _{Ma}	90.92	-10.29	87.24	87.85	97
L _{Ma}	52.69	-65.44	20.75	68.65	162
C _{Ma}	59.61	-28.98	-46.22	54.56	238
V _{Ma}	28.39	23.63	-44.13	50.06	298
M _{Ma}	49.58	73.93	-9.56	74.55	353
N _{Ma}	18.89	0.0	0.0	0.0	0
W _{Ma}	96.9	0.0	0.0	0.0	0
R _{Ma}	39.92	58.74	27.99	65.07	25
J _{Ma}	81.26	-2.89	71.56	71.62	92
G _{Ma}	52.23	-42.42	13.6	44.55	162
B _{Ma}	30.57	1.41	-46.47	46.49	272

Daten für Maximalfarbe (Ma):

$\text{LAB}^*\text{LAB}^*_{Ma}$: 49 73 -4

$\text{LAB}^*\text{LCH}^*_{Ma}$: 49 73 357

$\text{lab}^*\text{rgb}^*_{Ma}$: 1.0 0.0 0.5

$\text{lab}^*\text{olv}^*_{Ma}$: 1.0 0.0 0.89

Dreiecks-Helligkeit i^*

%Umfang

$u^*_{rel} = 89$

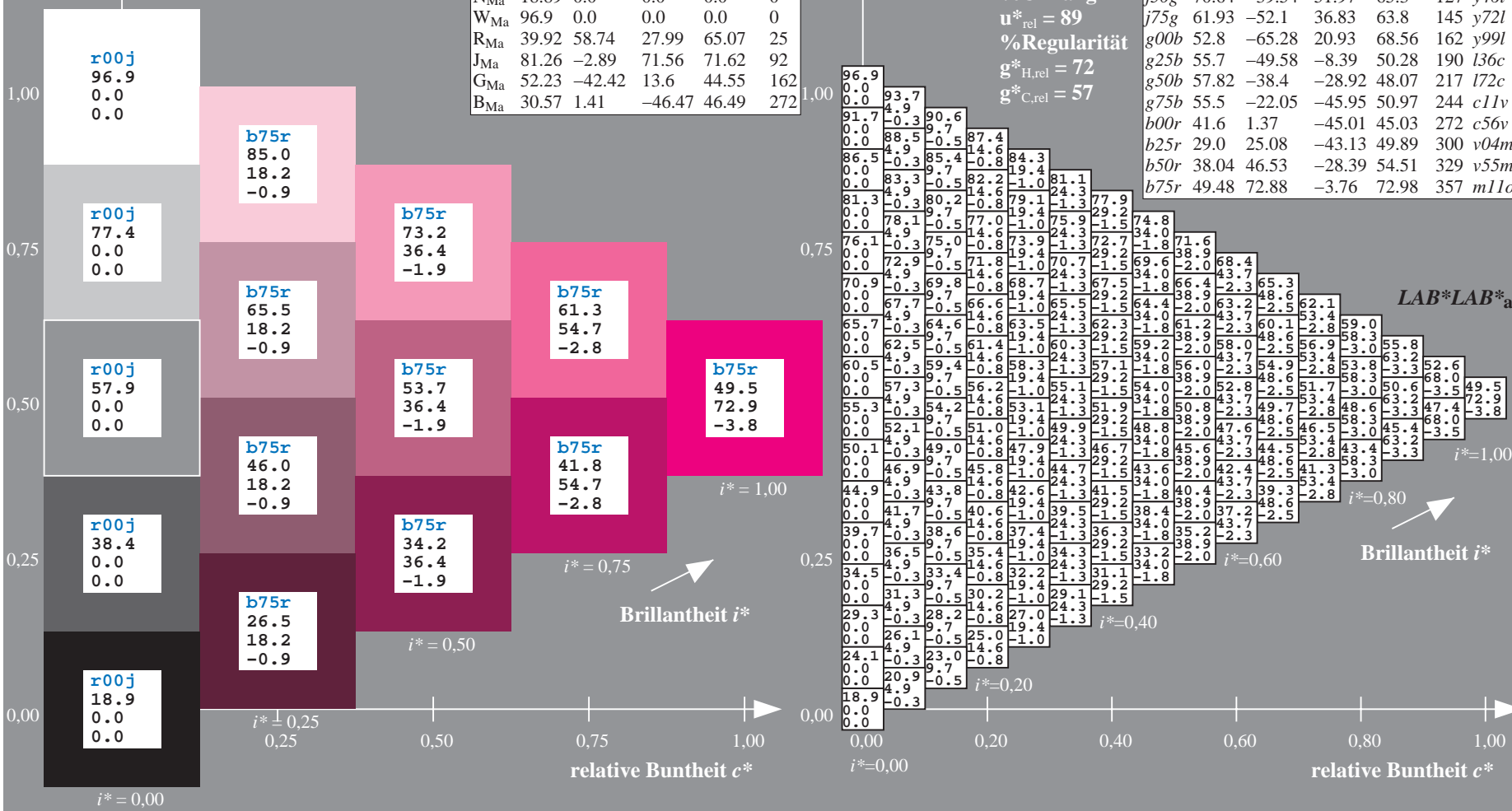
%Regularität

$g^*_{H,rel} = 72$

$g^*_{C,rel} = 57$

ORS19_96a; adaptierte CIELAB-Daten

u^*_e	$L^*=L^*_a$	a^*_a	b^*_a	$C^*_{ab,a}$	$h^*_{ab,a}$	u^*_d
r00j	48.88	66.47	31.67	73.63	25	m84o
r25j	55.85	52.39	47.48	70.7	42	o17y
r50j	65.45	35.22	58.37	68.17	59	o42y
r75j	75.19	17.82	69.41	71.66	76	o67y
j00g	87.03	-3.35	82.83	82.9	92	o92y
j25g	80.72	-25.01	69.5	73.86	110	y20l
j50g	70.64	-39.54	51.97	65.3	127	y46l
j75g	61.93	-52.1	36.83	63.8	145	y72l
g00b	52.8	-65.28	20.93	68.56	162	y99l
g25b	55.7	-49.58	-8.39	50.28	190	l36c
g50b	57.82	-38.4	-28.92	48.07	217	l72c
g75b	55.5	-22.05	-45.95	50.97	244	c11v
b00r	41.6	1.37	-45.01	45.03	272	c56v
b25r	29.0	25.08	-43.13	49.89	300	v04m
b50r	38.04	46.53	-28.39	54.51	329	v55m
b75r	49.48	72.88	-3.76	72.98	357	m11o



Siehe ähnliche Dateien: <http://www.ps.bam.de/Eg12/>; www.ps.bam.de/Eg12/10L/L12G00NA.PS/.TXT BAM-Material: Code=rh4ta
Technische Information: <http://www.ps.bam.de> Version 2.1, io=1,1, ColSpX=1

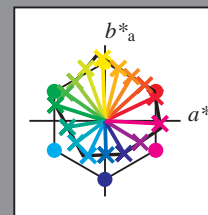
	A	B	C	D	E	F	G	H	I	J	K	L	M	N	O	P	Q	R	S	T	U	V	W	X	Y	Z	a	b	c	d	e	f	g	h	i	j	k	LAB*	LAB*a																																																																																																																																																																																																																																																																																																																																																																																																																																																																																																																																																																																																																																																																																																																																														
01	18.9	23.1	27.3	31.6	35.8	40.0	44.2	48.5	52.7	56.9	61.1	65.3	69.5	73.7	77.9	82.1	86.3	90.5	94.7	98.9	103.1	107.3	111.5	115.7	119.9	124.1	128.3	132.5	136.7	140.9	145.1	149.3	153.5	157.7	161.9	166.1	170.3	174.5	178.7	182.9	187.1	191.3	195.5	199.7	203.9																																																																																																																																																																																																																																																																																																																																																																																																																																																																																																																																																																																																																																																																																																																																								
02	0.0	-8.2	-16.4	-24.5	-32.7	-40.9	-49.1	-57.3	-65.4	-73.5	-81.6	-89.7	-97.8	-105.9	-114.0	-122.1	-130.2	-138.3	-146.4	-154.5	-162.6	-170.7	-178.8	-186.9	-195.0	-203.1	-211.2	-219.3	-227.4	-235.5	-243.6	-251.7	-259.8	-267.9	-276.0	-284.1	-292.2	-300.3	-308.4	-316.5	-324.6	-332.7	-340.8	-348.9	-357.0																																																																																																																																																																																																																																																																																																																																																																																																																																																																																																																																																																																																																																																																																																																																								
03	20.1	24.0	28.3	32.6	36.9	41.2	45.5	49.7	54.0	58.3	62.6	66.9	71.2	75.5	79.8	84.1	88.4	92.7	97.0	101.3	105.6	109.9	114.2	118.5	122.8	127.1	131.4	135.7	140.0	144.3	148.6	152.9	157.2	161.5	165.8	170.1	174.4	178.7	183.0	187.3	191.6	195.9	200.2	204.5	208.8	213.1																																																																																																																																																																																																																																																																																																																																																																																																																																																																																																																																																																																																																																																																																																																																							
04	3.0	-3.6	-11.3	-18.9	-26.7	-34.7	-42.6	-50.7	-58.7	-66.7	-74.7	-82.7	-90.7	-98.7	-106.7	-114.7	-122.7	-130.7	-138.7	-146.7	-154.7	-162.7	-170.7	-178.7	-186.7	-194.7	-202.7	-210.7	-218.7	-226.7	-234.7	-242.7	-250.7	-258.7	-266.7	-274.7	-282.7	-290.7	-298.7	-306.7	-314.7	-322.7	-330.7	-338.7	-346.7																																																																																																																																																																																																																																																																																																																																																																																																																																																																																																																																																																																																																																																																																																																																								
05	-5.5	-5.8	-4.1	-2.5	-0.6	1.5	3.7	6.0	8.4	-1.2	0.0	2.6	5.2	7.8	10.4	13.0	15.6	18.2	3.7	4.9	10.9	12.5	15.2	17.9	20.6	23.2	25.9	-5.8	0.0	4.9	9.9	14.8	19.7	24.6	29.5	34.4	39.3	44.2	49.1	54.0	58.9	63.8	68.7	73.6	78.5	83.4	88.3	93.2	98.1	103.0	107.9	112.8	117.7	122.6	127.5	132.4	137.3	142.2	147.1	152.0	156.9	161.8	166.7	171.6	176.5	181.4	186.3	191.2	196.1	201.0	205.9	210.8	215.7	220.6	225.5	230.4	235.3	240.2	245.1	250.0	254.9	259.8	264.7	269.6	274.5	279.4	284.3	289.2	294.1	299.0	303.9	308.8	313.7	318.6	323.5	328.4	333.3	338.2	343.1	348.0	352.9	357.8	362.7	367.6	372.5	377.4	382.3	387.2	392.1	397.0	401.9	406.8	411.7	416.6	421.5	426.4	431.3	436.2	441.1	446.0	450.9	455.8	460.7	465.6	470.5	475.4	480.3	485.2	490.1	495.0	500.0	504.9	509.8	514.7	519.6	524.5	529.4	534.3	539.2	544.1	549.0	553.9	558.8	563.7	568.6	573.5	578.4	583.3	588.2	593.1	598.0	602.9	607.8	612.7	617.6	622.5	627.4	632.3	637.2	642.1	647.0	651.9	656.8	661.7	666.6	671.5	676.4	681.3	686.2	691.1	696.0	700.9	705.8	710.7	715.6	720.5	725.4	730.3	735.2	740.1	745.0	749.9	754.8	759.7	764.6	769.5	774.4	779.3	784.2	789.1	794.0	798.9	803.8	808.7	813.6	818.5	823.4	828.3	833.2	838.1	843.0	847.9	852.8	857.7	862.6	867.5	872.4	877.3	882.2	887.1	892.0	896.9	901.8	906.7	911.6	916.5	921.4	926.3	931.2	936.1	941.0	945.9	950.8	955.7	960.6	965.5	970.4	975.3	980.2	985.1	990.0	994.9	999.8	1004.7	1009.6	1014.5	1019.4	1024.3	1029.2	1034.1	1039.0	1043.9	1048.8	1053.7	1058.6	1063.5	1068.4	1073.3	1078.2	1083.1	1088.0	1092.9	1097.8	1102.7	1107.6	1112.5	1117.4	1122.3	1127.2	1132.1	1137.0	1141.9	1146.8	1151.7	1156.6	1161.5	1166.4	1171.3	1176.2	1181.1	1186.0	1190.9	1195.8	1200.7	1205.6	1210.5	1215.4	1220.3	1225.2	1230.1	1235.0	1239.9	1244.8	1249.7	1254.6	1259.5	1264.4	1269.3	1274.2	1279.1	1284.0	1288.9	1293.8	1298.7	1303.6	1308.5	1313.4	1318.3	1323.2	1328.1	1333.0	1337.9	1342.8	1347.7	1352.6	1357.5	1362.4	1367.3	1372.2	1377.1	1382.0	1386.9	1391.8	1396.7	1401.6	1406.5	1411.4	1416.3	1421.2	1426.1	1431.0	1435.9	1440.8	1445.7	1450.6	1455.5	1460.4	1465.3	1470.2	1475.1	1480.0	1484.9	1489.8	1494.7	1499.6	1504.5	1509.4	1514.3	1519.2	1524.1	1529.0	1533.9	1538.8	1543.7	1548.6	1553.5	1558.4	1563.3	1568.2	1573.1	1578.0	1582.9	1587.8	1592.7	1597.6	1602.5	1607.4	1612.3	1617.2	1622.1	1627.0	1631.9	1636.8	1641.7	1646.6	1651.5	1656.4	1661.3	1666.2	1671.1	1676.0	1680.9	1685.8	1690.7	1695.6	1700.5	1705.4	1710.3	1715.2	1720.1	1725.0	1729.9	1734.8	1739.7	1744.6	1749.5	1754.4	1759.3	1764.2	1769.1	1774.0	1778.9	1783.8	1788.7	1793.6	1798.5	1803.4	1808.3	1813.2	1818.1	1823.0	1827.9	1832.8	1837.7	1842.6	1847.5	1852.4	1857.3	1862.2	1867.1	1872.0	1876.9	1881.8	1886.7	1891.6	1896.5	1901.4	1906.3	1911.2	1916.1	1921.0	1925.9	1930.8	1935.7	1940.6	1945.5	1950.4	1955.3	1960.2	1965.1	1970.0	1974.9	1979.8	1984.7	1989.6	1994.5	1999.4	2004.3	2009.2	2014.1	2019.0	2023.9	2028.8	2033.7	2038.6	2043.5	2048.4	2053.3	2058.2	2063.1	2068.0	2072.9	2077.8	2082.7	2087.6	2092.5	2097.4	2102.3	2107.2	2112.1	2117.0	2121.9	2126.8	2131.7	2136.6	2141.5	2146.4	2151.3	2156.2	2161.1	2166.0	2170.9	2175.8	2180.7	2185.6	2190.5	2195.4	2200.3	2205.2	2210.1	2215.0	2219.9	2224.8	2229.7	2234.6	2239.5	2244.4	2249.3	2254.2	2259.1	2264.0	2268.9	2273.8	2278.7	2283.6	2288.5	2293.4	2298.3	2303.2	2308.1	2313.0	2317.9	2322.8	2327.7	2332.6	2337.5	2342.4	2347.3	2352.2	2357.1	2362.0	2366.9	2371.8	2376.7	2381.6	2386.5	2391.4	2396.3	2401.2	2406.1	2411.0	2415.9	2420.8	2425.7	2430.6	2435.5	2440.4	2445.3	2450.2	2455.1	2460.0	2464.9	2469.8	2474.7	2479.6	2484.5	2489.4	2494.3	2499.2	2504.1	2509.0	2513.9	2518.8	2523.7	2528.6	2533.5	2538.4	2543.3	2548.2	2553.1	2558.0	2562.9	2567.8	2572.7	2577.6	2582.5	2587.4	2592.3	2597.2	2602.1	2607.0	2611.9	2616.8	2621.7	2626.6	2631.5	2636.4	2641.3	2646.2	2651.1	2656.0	2660.9	2665.8	2670.7	2675.6	2680.5	2685.4	2690.3	2695.2	2700.1	2705.0	2709.9	2714.8	2719.7	2724.6	2729.5	2734.4	2739.3	2744.2	2749.1	2754.0	2758.9	2763.8	2768.7	2773.6	2778.5	2783.4	2788.3	2793.2	2798.1	2803.0	2807.9	2812.8	2817.7	2822.6	2827.5	2832.4	2837.3	2842.2	2847.1	2852.0	2856.9	2861.8	2866.7	2871.6	2876.5	2881.4	2886.3	2891.2	2896.1	2901.0	2905.9	2910.8	2915.7	2920.6	2925.5	2930.4	2935.3	2940.2	2945.1	2950.0	2954.9	2959.8	2964.7	2969.6	2974.5	2979.4	2984.3	2989.2	2994.1	2999.0	3003.9	3008.8	3013.7	3018.6	3023.5	3028.4	3033.3	3038.2	3043.1	3048.0	3052.9	3057.8	3062.7	3067.6	3072.5	3077.4	3082.3	3087.2	3092.1	3097.0	3101.9	3106.8	3111.7	3116.6	3121.5	3126.4	3131.3	3136.2	3141.1	3146.0	3150.9	3155.8	3160.7	3165.6	3170.5	3175.4	3180.3	3185.2	3190.1	3195.0	3200.0	3204.9	3209.8	3214.7	3219.6	3224.5	3229.4	3234.3	3239.2	3244.1	3249.0	3253.9	3258.8	3263.7	3268.6	3273.5	3278.4	3283.3	3288.2	3293.1	3298.0	3302.9	3307.8	3312.7	3317.6	3322.5	3327.4	3332.3	3337.2	3342.1	3347.0	3351.9	3356.8	3361.7	3366.6	3371.5	3376.4	3381.3	3386.2	3391.1	3396.0	3400.9	3405.8	3410.7	3415.6	3420.5	3425.4	3430.3	3435.2	3440.1	3445.0	3449.9	3454.8	3459.7	3464.6	3469.5	3474.4	3479.3	3484.2	3489.1	3494.0	3498.9	3503.8	3508.7	3513.6	3518.5	3523.4	3528.3	3533.2	3538.1	3543.0	3547.9	3552.8	3557.7	3562.6	3567.5

Ein und Ausgabe:
Farbmetrisches Drucker-Reflektiv-System ORS19_96a
Daten für jede Farbe:

u^*_e und Nummer $Nr.$ = 00 .. 15
Elementar-Bunttontext:
 $u^*_e = 16$ Bunttoene $r00j, r25j, \dots, b75r$
Kontrastreduzierungsfaktor:
 $c_R = 1.0$

ORS19_96a; adaptierte CIELAB-Daten

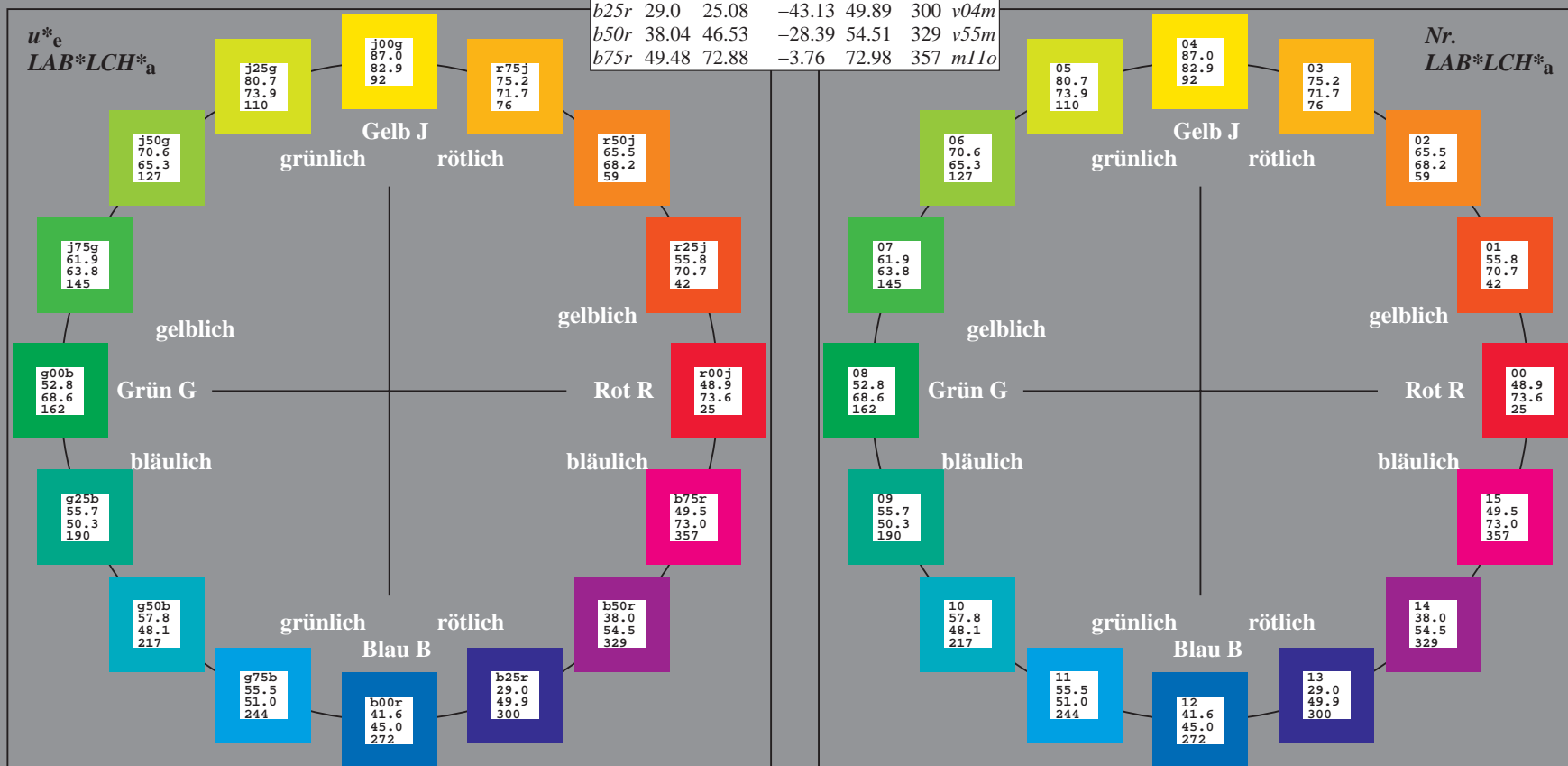
u^*_e	$L^*=L^*_a$	a^*_a	b^*_a	$C^*_{ab,a}$	$h^*_{ab,a}$	u^*_d
$r00j$	48.88	66.47	31.67	73.63	25	$m84o$
$r25j$	55.85	52.39	47.48	70.7	42	$o17y$
$r50j$	65.45	35.22	58.37	68.17	59	$o42y$
$r75j$	75.19	17.82	69.41	71.66	76	$o67y$
$j00g$	87.03	-3.35	82.83	82.9	92	$o92y$
$j25g$	80.72	-25.01	69.5	73.86	110	$y20l$
$j50g$	70.64	-39.54	51.97	65.3	127	$y46l$
$j75g$	61.93	-52.1	36.83	63.8	145	$y72l$
$g00b$	52.8	-65.28	20.93	68.56	162	$y99l$
$g25b$	55.7	-49.58	-8.39	50.28	190	$l36c$
$g50b$	57.82	-38.4	-28.92	48.07	217	$l72c$
$g75b$	55.5	-22.05	-45.95	50.97	244	$c11v$
$b00r$	41.6	1.37	-45.01	45.03	272	$c56v$
$b25r$	29.0	25.08	-43.13	49.89	300	$v04m$
$b50r$	38.04	46.53	-28.39	54.51	329	$v55m$
$b75r$	49.48	72.88	-3.76	72.98	357	$m11o$



%Umfang
 $u^*_{rel} = 89$
%Regularität
 $g^*_{H,rel} = 72$
 $g^*_{C,rel} = 57$

ORS19_96a; adaptierte CIELAB-Daten

Name	$L^*=L^*_a$	a^*_a	b^*_a	$C^*_{ab,a}$	$h^*_{ab,a}$
O_{Ma}	48.75	65.07	39.43	76.08	31
Y_{Ma}	90.92	-10.29	87.24	87.85	97
L_{Ma}	52.69	-65.44	20.75	68.65	162
C_{Ma}	59.61	-28.98	-46.22	54.56	238
V_{Ma}	28.39	23.63	-44.13	50.06	298
M_{Ma}	49.58	73.93	-9.56	74.55	353
N_{Ma}	18.89	0.0	0.0	0.0	0
W_{Ma}	96.9	0.0	0.0	0.0	0
R_{CIE}	39.92	58.74	27.99	65.07	25
J_{CIE}	81.26	-2.89	71.56	71.62	92
G_{CIE}	52.23	-42.42	13.6	44.55	162
B_{CIE}	30.57	1.41	-46.47	46.49	272



Ein und Ausgabe: Farbmetrisches Drucker-Reflektiv-System ORS19_96a für relativen CIELAB-Buntton $h^* = lab^*h^* = h_{ab}/360 = 0.071$

Daten für jede Farbe:

lab^*tch^* und lab^*icu^*

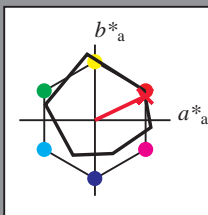
Bunttontexte:

$u^*_e = r00j$ $u^*_d = m84o$

Kontrastreduzierungsfaktor:

$c_R = 1.0$

Dreiecks-Helligkeit i^*



ORS19_96a; adaptierte CIELAB-Daten						
u^*_e	$L^*=L^*_a$	a^*_a	b^*_a	$C^*_{ab,a}$	$h^*_{ab,a}$	u^*_d
O _{Ma}	48.75	65.07	39.43	76.08	31	
Y _{Ma}	90.92	-10.29	87.24	87.85	97	
L _{Ma}	52.69	-65.44	20.75	68.65	162	
C _{Ma}	59.61	-28.98	-46.22	54.56	238	
V _{Ma}	28.39	23.63	-44.13	50.06	298	
M _{Ma}	49.58	73.93	-9.56	74.55	353	
N _{Ma}	18.89	0.0	0.0	0.0	0	
W _{Ma}	96.9	0.0	0.0	0.0	0	
R _{Ma}	39.92	58.74	27.99	65.07	25	
J _{Ma}	81.26	-2.89	71.56	71.62	92	
G _{Ma}	52.23	-42.42	13.6	44.55	162	
B _{Ma}	30.57	1.41	-46.47	46.49	272	

Daten für Maximalfarbe (Ma):

$LAB^*LAB^*_{Ma}$: 49 66 32

$LAB^*LCH^*_{Ma}$: 49 74 25

$lab^*rgb^*_{Ma}$: 1.0 0.0 0.0

$lab^*olv^*_{Ma}$: 1.0 0.0 0.15

Dreiecks-Helligkeit i^*

%Umfang

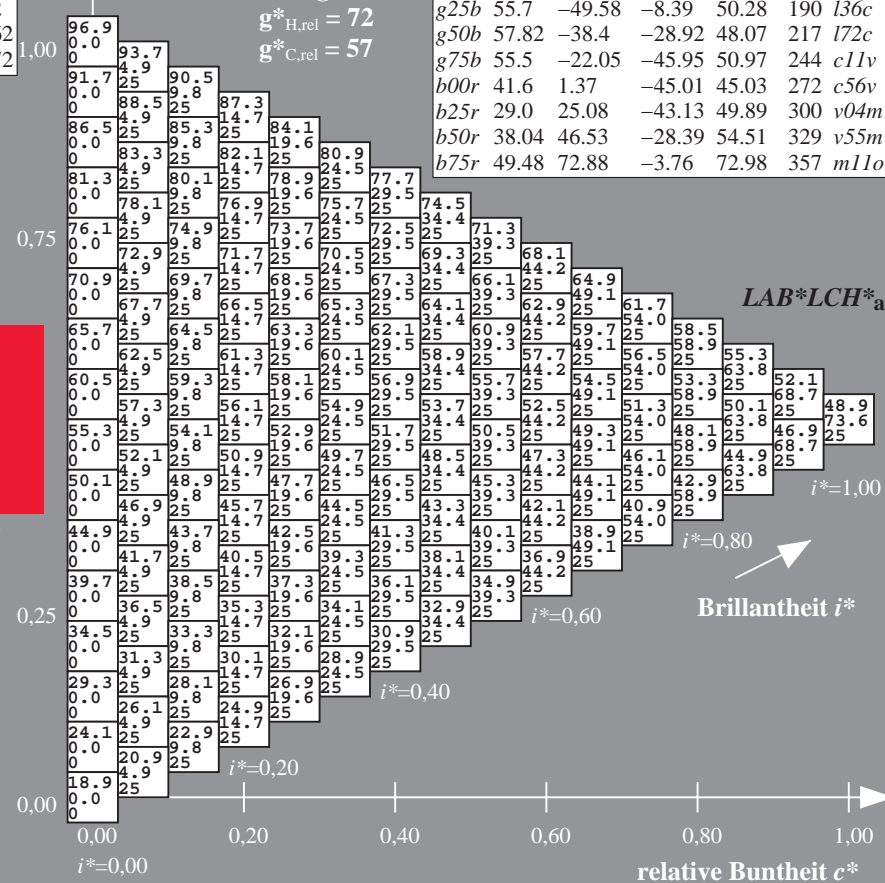
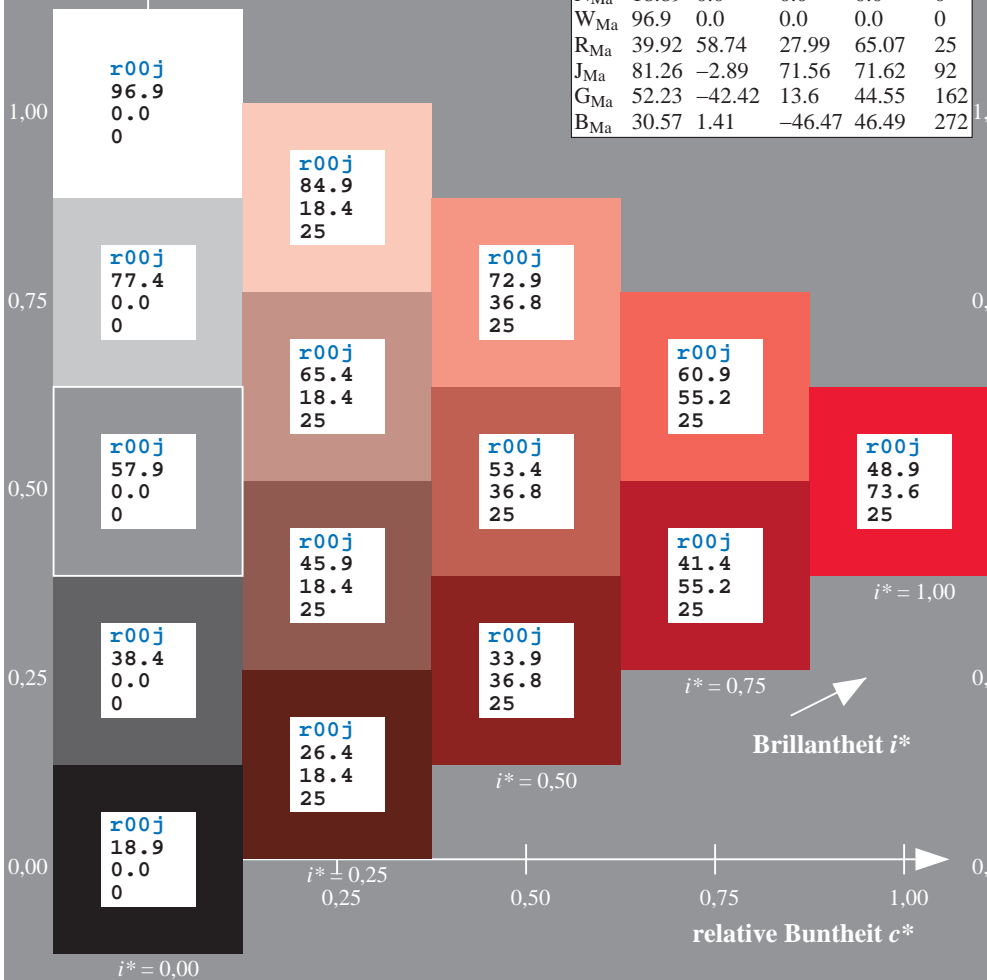
$u^*_{rel} = 89$

%Regularität

$g^*_{H,rel} = 72$

$g^*_{C,rel} = 57$

ORS19_96a; adaptierte CIELAB-Daten						
u^*_e	$L^*=L^*_a$	a^*_a	b^*_a	$C^*_{ab,a}$	$h^*_{ab,a}$	u^*_d
r00j	48.88	66.47	31.67	73.63	25	m84o
r25j	55.85	52.39	47.48	70.7	42	o17y
r50j	65.45	35.22	58.37	68.17	59	o42y
r75j	75.19	17.82	69.41	71.66	76	o67y
j00g	87.03	-3.35	82.83	82.9	92	o92y
j25g	80.72	-25.01	69.5	73.86	110	y20l
j50g	70.64	-39.54	51.97	65.3	127	y46l
j75g	61.93	-52.1	36.83	63.8	145	y72l
g00b	52.8	-65.28	20.93	68.56	162	y99l
g25b	55.7	-49.58	-8.39	50.28	190	l36c
g50b	57.82	-38.4	-28.92	48.07	217	l72c
g75b	55.5	-22.05	-45.95	50.97	244	c11v
b00r	41.6	1.37	-45.01	45.03	272	c56v
b25r	29.0	25.08	-43.13	49.89	300	v04m
b50r	38.04	46.53	-28.39	54.51	329	v55m
b75r	49.48	72.88	-3.76	72.98	357	m11o



Ein und Ausgabe: Farbmetrisches Drucker-Reflektiv-System ORS19_96a für relativen CIELAB-Buntton $h^* = lab^*h^* = h_{ab}/360 = 0.117$

Daten für jede Farbe:

lab^*ch^* und lab^*icu^*

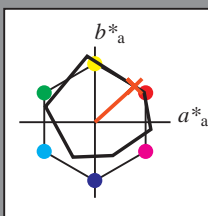
Bunttontexte:

$u^*_e = r25j$ $u^*_d = o17y$

Kontrastreduzierungsfaktor:

$c_R = 1.0$

Dreiecks-Helligkeit i^*



ORS19_96a; adaptierte CIELAB-Daten

u^*_e	$L^*=L^*_a$	a^*_a	b^*_a	$C^*_{ab,a}$	$h^*_{ab,a}$
O _{Ma}	48.75	65.07	39.43	76.08	31
Y _{Ma}	90.92	-10.29	87.24	87.85	97
L _{Ma}	52.69	-65.44	20.75	68.65	162
C _{Ma}	59.61	-28.98	-46.22	54.56	238
V _{Ma}	28.39	23.63	-44.13	50.06	298
M _{Ma}	49.58	73.93	-9.56	74.55	353
N _{Ma}	18.89	0.0	0.0	0.0	0
W _{Ma}	96.9	0.0	0.0	0.0	0
R _{Ma}	39.92	58.74	27.99	65.07	25
J _{Ma}	81.26	-2.89	71.56	71.62	92
G _{Ma}	52.23	-42.42	13.6	44.55	162
B _{Ma}	30.57	1.41	-46.47	46.49	272

Daten für Maximalfarbe (Ma):

$LAB^*LAB^*_{Ma}$: 56 52 47

$LAB^*LCH^*_{Ma}$: 56 71 42

$lab^*rgb^*_{Ma}$: 1.0 0.25 0.0

$lab^*olv^*_{Ma}$: 1.0 0.17 0.0

Dreiecks-Helligkeit i^*

%Umfang

$u^*_{rel} = 89$

%Regularität

$g^*_{H,rel} = 72$

$g^*_{C,rel} = 57$

ORS19_96a; adaptierte CIELAB-Daten

u^*_e	$L^*=L^*_a$	a^*_a	b^*_a	$C^*_{ab,a}$	$h^*_{ab,a}$	u^*_d
r00j	48.88	66.47	31.67	73.63	25	m84o
r25j	55.85	52.39	47.48	70.7	42	o17y
r50j	65.45	35.22	58.37	68.17	59	o42y
r75j	75.19	17.82	69.41	71.66	76	o67y
j00g	87.03	-3.35	82.83	82.9	92	o92y
j25g	80.72	-25.01	69.5	73.86	110	y20l
j50g	70.64	-39.54	51.97	65.3	127	y46l
j75g	61.93	-52.1	36.83	63.8	145	y72l
g00b	52.8	-65.28	20.93	68.56	162	y99l
g25b	55.7	-49.58	-8.39	50.28	190	l36c
g50b	57.82	-38.4	-28.92	48.07	217	l72c
g75b	55.5	-22.05	-45.95	50.97	244	c11v
b00r	41.6	1.37	-45.01	45.03	272	c56v
b25r	29.0	25.08	-43.13	49.89	300	v04m
b50r	38.04	46.53	-28.39	54.51	329	v55m
b75r	49.48	72.88	-3.76	72.98	357	m11o

$LAB^*LCH^*_{a}$

$i^* = 1.00$

Brillantheit i^*

$i^* = 0.80$

$i^* = 0.60$

$i^* = 0.40$

$i^* = 0.20$

$i^* = 0.00$

relative Buntheit c^*

relative Buntheit c^*

Ein und Ausgabe: Farbmetrisches Drucker-Reflektiv-System ORS19_96a für relativen CIELAB-Buntton $h^* = lab^*h^* = h_{ab}/360 = 0.164$

Daten für jede Farbe:

lab^*ch^* und lab^*icu^*

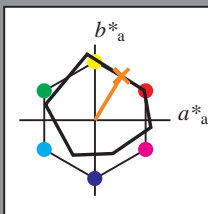
Bunttontexte:

$u^*_e = r50j$ $u^*_d = o42y$

Kontrastreduzierungsfaktor:

$c_R = 1.0$

Dreiecks-Helligkeit i^*



ORS19_96a; adaptierte CIELAB-Daten

	u^*_e	$L^*=L^*_a$	a^*_a	b^*_a	$C^*_{ab,a}$	$h^*_{ab,a}$
O _{Ma}	48.75	65.07	39.43	76.08	31	
Y _{Ma}	90.92	-10.29	87.24	87.85	97	
L _{Ma}	52.69	-65.44	20.75	68.65	162	
C _{Ma}	59.61	-28.98	-46.22	54.56	238	
V _{Ma}	28.39	23.63	-44.13	50.06	298	
M _{Ma}	49.58	73.93	-9.56	74.55	353	
N _{Ma}	18.89	0.0	0.0	0.0	0	
W _{Ma}	96.9	0.0	0.0	0.0	0	
R _{Ma}	39.92	58.74	27.99	65.07	25	
J _{Ma}	81.26	-2.89	71.56	71.62	92	
G _{Ma}	52.23	-42.42	13.6	44.55	162	
B _{Ma}	30.57	1.41	-46.47	46.49	272	

Daten für Maximalfarbe (Ma):

$LAB^*LAB^*_{Ma}$: 65 35 58

$LAB^*LCH^*_{Ma}$: 65 68 58

$lab^*rgb^*_{Ma}$: 1.0 0.5 0.0

$lab^*olv^*_{Ma}$: 1.0 0.42 0.0

Dreiecks-Helligkeit i^*

%Umfang

$u^*_{rel} = 89$

%Regularität

$g^*_{H,rel} = 72$

$g^*_{C,rel} = 57$

ORS19_96a; adaptierte CIELAB-Daten

	u^*_e	$L^*=L^*_a$	a^*_a	b^*_a	$C^*_{ab,a}$	$h^*_{ab,a}$	u^*_d
r00j	48.88	66.47	31.67	73.63	25	m84o	
r25j	55.85	52.39	47.48	70.7	42	o17y	
r50j	65.45	35.22	58.37	68.17	59	o42y	
r75j	75.19	17.82	69.41	71.66	76	o67y	
j00g	87.03	-3.35	82.83	82.9	92	o92y	
j25g	80.72	-25.01	69.5	73.86	110	y20l	
j50g	70.64	-39.54	51.97	65.3	127	y46l	
j75g	61.93	-52.1	36.83	63.8	145	y72l	
g00b	52.8	-65.28	20.93	68.56	162	y99l	
g25b	55.7	-49.58	-8.39	50.28	190	l36c	
g50b	57.82	-38.4	-28.92	48.07	217	l72c	
g75b	55.5	-22.05	-45.95	50.97	244	c11v	
b00r	41.6	1.37	-45.01	45.03	272	c56v	
b25r	29.0	25.08	-43.13	49.89	300	v04m	
b50r	38.04	46.53	-28.39	54.51	329	v55m	
b75r	49.48	72.88	-3.76	72.98	357	m11o	

$LAB^*LCH^*_{Ma}$

$i^* = 1.00$

Brillantheit i^*

$i^* = 0.80$

$i^* = 0.60$

$i^* = 0.40$

$i^* = 0.20$

$i^* = 0.00$

relative Buntheit c^*

Ein und Ausgabe: Farbmetrisches Drucker-Reflektiv-System ORS19_96a für relativen CIELAB-Buntton $h^* = lab^*h^* = h_{ab}/360 = 0.21$

Daten für jede Farbe:

lab^*tch^* und lab^*icu^*

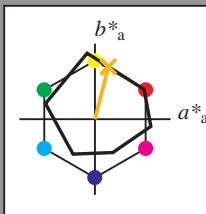
Bunttontexte:

$u^*_e = r75j$ $u^*_d = o67y$

Kontrastreduzierungsfaktor:

$c_R = 1.0$

Dreiecks-Helligkeit i^*



ORS19_96a; adaptierte CIELAB-Daten

	u^*_e	$L^*=L^*_a$	a^*_a	b^*_a	$C^*_{ab,a}$	$h^*_{ab,a}$
O _{Ma}	48.75	65.07	39.43	76.08	31	
Y _{Ma}	90.92	-10.29	87.24	87.85	97	
L _{Ma}	52.69	-65.44	20.75	68.65	162	
C _{Ma}	59.61	-28.98	-46.22	54.56	238	
V _{Ma}	28.39	23.63	-44.13	50.06	298	
M _{Ma}	49.58	73.93	-9.56	74.55	353	
N _{Ma}	18.89	0.0	0.0	0.0	0	
W _{Ma}	96.9	0.0	0.0	0.0	0	
R _{Ma}	39.92	58.74	27.99	65.07	25	
J _{Ma}	81.26	-2.89	71.56	71.62	92	
G _{Ma}	52.23	-42.42	13.6	44.55	162	
B _{Ma}	30.57	1.41	-46.47	46.49	272	

Daten für Maximalfarbe (Ma):

$LAB^*LAB^*_{Ma}$: 75 18 69

$LAB^*LCH^*_{Ma}$: 75 72 75

$lab^*rgb^*_{Ma}$: 1.0 0.75 0.0

$lab^*olv^*_{Ma}$: 1.0 0.68 0.0

Dreiecks-Helligkeit i^*

%Umfang

$u^*_{rel} = 89$

%Regularität

$g^*_{H,rel} = 72$

$g^*_{C,rel} = 57$

ORS19_96a; adaptierte CIELAB-Daten

	u^*_e	$L^*=L^*_a$	a^*_a	b^*_a	$C^*_{ab,a}$	$h^*_{ab,a}$	u^*_d
r00j	48.88	66.47	31.67	73.63	25	m84o	
r25j	55.85	52.39	47.48	70.7	42	o17y	
r50j	65.45	35.22	58.37	68.17	59	o42y	
r75j	75.19	17.82	69.41	71.66	76	o67y	
j00g	87.03	-3.35	82.83	82.9	92	o92y	
j25g	80.72	-25.01	69.5	73.86	110	y20l	
j50g	70.64	-39.54	51.97	65.3	127	y46l	
j75g	61.93	-52.1	36.83	63.8	145	y72l	
g00b	52.8	-65.28	20.93	68.56	162	y99l	
g25b	55.7	-49.58	-8.39	50.28	190	l36c	
g50b	57.82	-38.4	-28.92	48.07	217	l72c	
g75b	55.5	-22.05	-45.95	50.97	244	c11v	
b00r	41.6	1.37	-45.01	45.03	272	c56v	
b25r	29.0	25.08	-43.13	49.89	300	v04m	
b50r	38.04	46.53	-28.39	54.51	329	v55m	
b75r	49.48	72.88	-3.76	72.98	357	m11o	

$LAB^*LCH^*_{a}$

$i^* = 1.00$

Brillantheit i^*

$i^* = 0.80$

$i^* = 0.60$

$i^* = 0.40$

$i^* = 0.20$

relative Buntheit c^*

relative Buntheit c^*

Ein und Ausgabe: Farbmetrisches Drucker-Reflektiv-System ORS19_96a für relativen CIELAB-Buntton $h^* = lab^*h^* = h_{ab}/360 = 0.256$

Daten für jede Farbe:

lab^*ch^* und lab^*icu^*

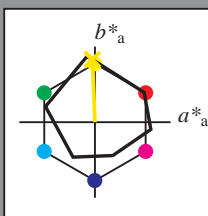
Bunttontexte:

$u^*_e = j00g$ $u^*_d = o92y$

Kontrastreduzierungsfaktor:

$c_R = 1.0$

Dreiecks-Helligkeit i^*



ORS19_96a; adaptierte CIELAB-Daten						
	u^*_e	$L^*=L^*_a$	a^*_a	b^*_a	$C^*_{ab,a}$	$h^*_{ab,a}$
O _{Ma}	48.75	65.07	39.43	76.08	31	
Y _{Ma}	90.92	-10.29	87.24	87.85	97	
L _{Ma}	52.69	-65.44	20.75	68.65	162	
C _{Ma}	59.61	-28.98	-46.22	54.56	238	
V _{Ma}	28.39	23.63	-44.13	50.06	298	
M _{Ma}	49.58	73.93	-9.56	74.55	353	
N _{Ma}	18.89	0.0	0.0	0.0	0	
W _{Ma}	96.9	0.0	0.0	0.0	0	
R _{Ma}	39.92	58.74	27.99	65.07	25	
J _{Ma}	81.26	-2.89	71.56	71.62	92	
G _{Ma}	52.23	-42.42	13.6	44.55	162	
B _{Ma}	30.57	1.41	-46.47	46.49	272	

Daten für Maximalfarbe (Ma):

$LAB^*LAB^*_{Ma}$: 87 -3 83

$LAB^*LCH^*_{Ma}$: 87 83 92

$lab^*rgb^*_{Ma}$: 1.0 1.0 0.0

$lab^*olv^*_{Ma}$: 1.0 0.93 0.0

Dreiecks-Helligkeit i^*

%Umfang

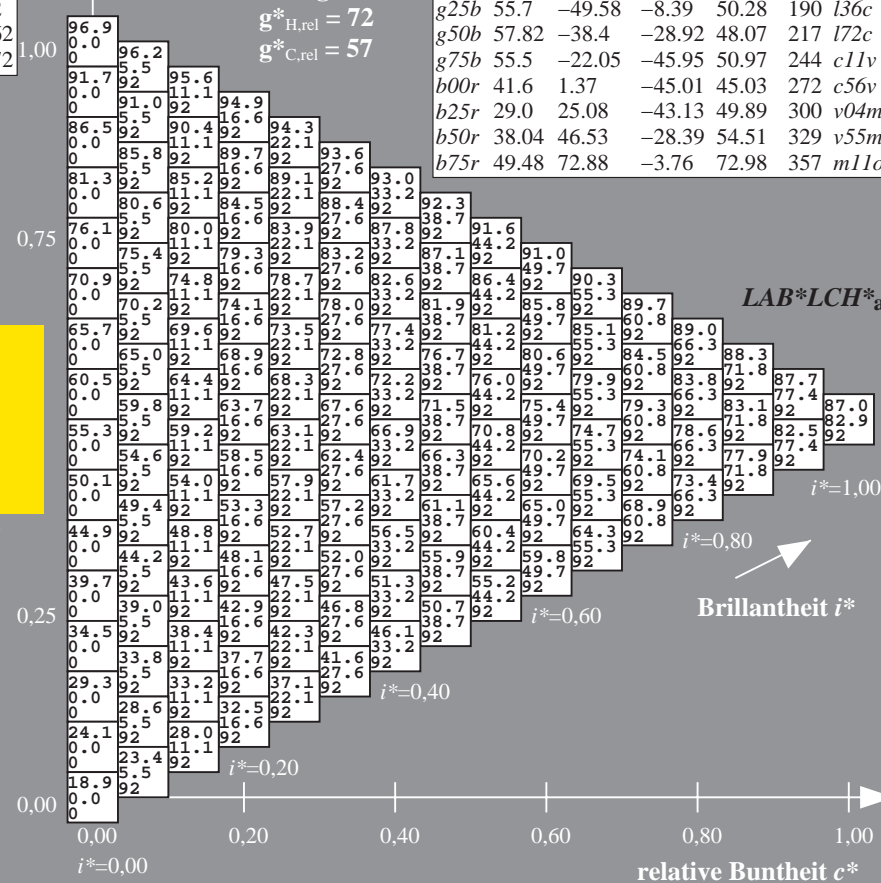
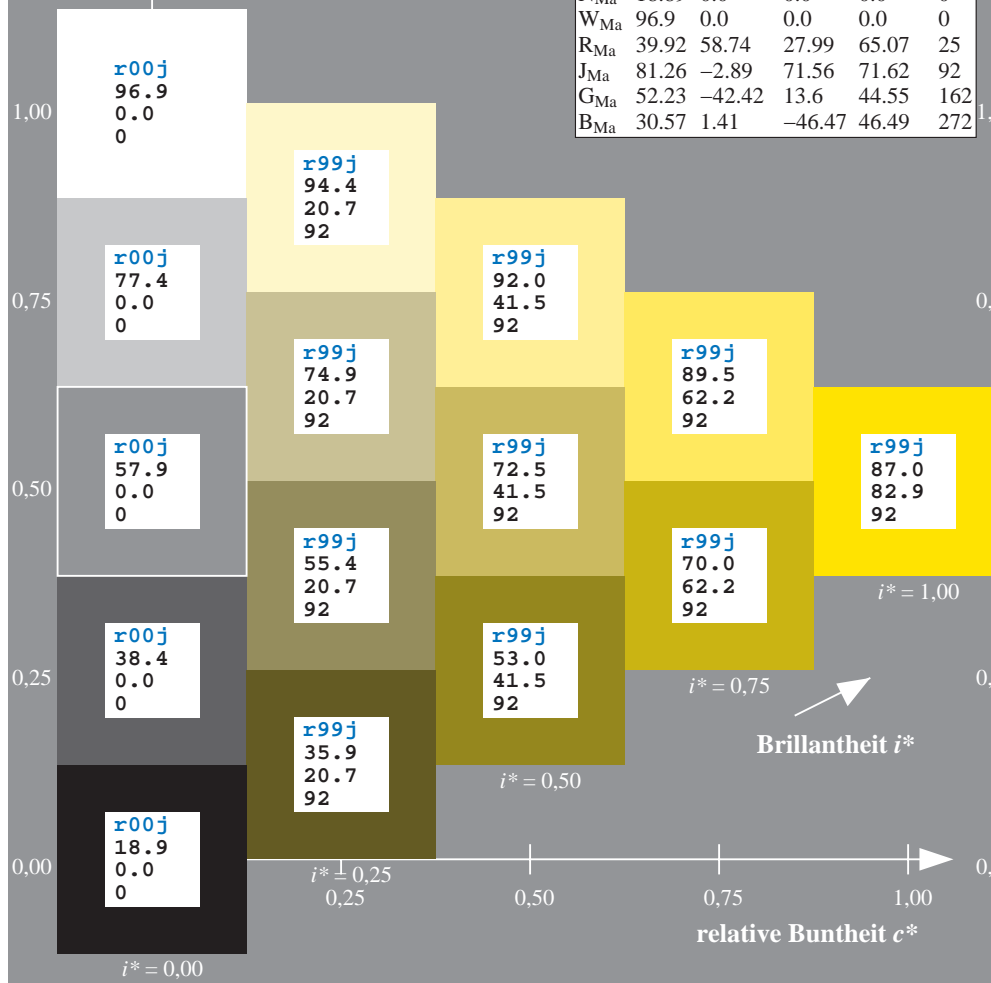
$u^*_{rel} = 89$

%Regularität

$g^*_{H,rel} = 72$

$g^*_{C,rel} = 57$

ORS19_96a; adaptierte CIELAB-Daten									
	u^*_e	$L^*=L^*_a$	a^*_a	b^*_a	$C^*_{ab,a}$	$h^*_{ab,a}$	u^*_d		
r00j	48.88	66.47	31.67	73.63	25		m84o		
r25j	55.85	52.39	47.48	70.7	42		o17y		
r50j	65.45	35.22	58.37	68.17	59		o42y		
r75j	75.19	17.82	69.41	71.66	76		o67y		
j00g	87.03	-3.35	82.83	82.9	92		o92y		
j25g	80.72	-25.01	69.5	73.86	110		y20l		
j50g	70.64	-39.54	51.97	65.3	127		y46l		
j75g	61.93	-52.1	36.83	63.8	145		y72l		
g00b	52.8	-65.28	20.93	68.56	162		y99l		
g25b	55.7	-49.58	-8.39	50.28	190		l36c		
g50b	57.82	-38.4	-28.92	48.07	217		l72c		
g75b	55.5	-22.05	-45.95	50.97	244		c11v		
b00r	41.6	1.37	-45.01	45.03	272		c56v		
b25r	29.0	25.08	-43.13	49.89	300		v04m		
b50r	38.04	46.53	-28.39	54.51	329		v55m		
b75r	49.48	72.88	-3.76	72.98	357		m11o		



Ein und Ausgabe: Farbmetrisches Drucker-Reflektiv-System ORS19_96a für relativen CIELAB-Buntton $h^* = lab^*h^* = h_{ab}/360 = 0.305$

Daten für jede Farbe:

lab^*ch^* und lab^*icu^*

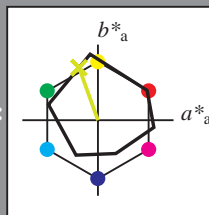
Bunttontexte:

$u^*_e = j25g$ $u^*_d = y20l$

Kontrastreduzierungsfaktor:

$c_R = 1.0$

Dreiecks-Helligkeit i^*



ORS19_96a; adaptierte CIELAB-Daten

u^*_e	$L^*=L^*_a$	a^*_a	b^*_a	$C^*_{ab,a}$	$h^*_{ab,a}$
O _{Ma}	48.75	65.07	39.43	76.08	31
Y _{Ma}	90.92	-10.29	87.24	87.85	97
L _{Ma}	52.69	-65.44	20.75	68.65	162
C _{Ma}	59.61	-28.98	-46.22	54.56	238
V _{Ma}	28.39	23.63	-44.13	50.06	298
M _{Ma}	49.58	73.93	-9.56	74.55	353
N _{Ma}	18.89	0.0	0.0	0.0	0
W _{Ma}	96.9	0.0	0.0	0.0	0
R _{Ma}	39.92	58.74	27.99	65.07	25
J _{Ma}	81.26	-2.89	71.56	71.62	92
G _{Ma}	52.23	-42.42	13.6	44.55	162
B _{Ma}	30.57	1.41	-46.47	46.49	272

Daten für Maximalfarbe (Ma):

$LAB^*LAB^*_{Ma}$: 81 -25 69

$LAB^*LCH^*_{Ma}$: 81 74 109

$lab^*rgb^*_{Ma}$: 0.75 1.0 0.0

$lab^*olv^*_{Ma}$: 0.8 1.0 0.0

Dreiecks-Helligkeit i^*

%Umfang

$u^*_{rel} = 89$

%Regularität

$g^*_{H,rel} = 72$

$g^*_{C,rel} = 57$

ORS19_96a; adaptierte CIELAB-Daten

u^*_e	$L^*=L^*_a$	a^*_a	b^*_a	$C^*_{ab,a}$	$h^*_{ab,a}$	u^*_d
r00j	48.88	66.47	31.67	73.63	25	m84o
r25j	55.85	52.39	47.48	70.7	42	o17y
r50j	65.45	35.22	58.37	68.17	59	o42y
r75j	75.19	17.82	69.41	71.66	76	o67y
j00g	87.03	-3.35	82.83	82.9	92	o92y
j25g	80.72	-25.01	69.5	73.86	110	y20l
j50g	70.64	-39.54	51.97	65.3	127	y46l
j75g	61.93	-52.1	36.83	63.8	145	y72l
g00b	52.8	-65.28	20.93	68.56	162	y99l
g25b	55.7	-49.58	-8.39	50.28	190	l36c
g50b	57.82	-38.4	-28.92	48.07	217	l72c
g75b	55.5	-22.05	-45.95	50.97	244	c11v
b00r	41.6	1.37	-45.01	45.03	272	c56v
b25r	29.0	25.08	-43.13	49.89	300	v04m
b50r	38.04	46.53	-28.39	54.51	329	v55m
b75r	49.48	72.88	-3.76	72.98	357	m11o

$LAB^*LCH^*_{a}$

$i^*=1.00$

Brillantheit i^*

$i^*=0.80$

$i^*=0.60$

$i^*=0.40$

$i^*=0.20$

relative Buntheit c^*

relative Buntheit c^*

Ein und Ausgabe: Farbmetrisches Drucker-Reflektiv-System ORS19_96a für relativen CIELAB-Buntton $h^* = lab^*h^* = h_{ab}/360 = 0.354$

Daten für jede Farbe:

lab^*ch^* und lab^*icu^*

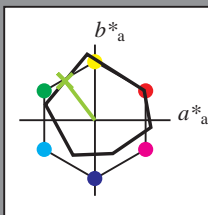
Bunttontexte:

$u^*_e = j50g$ $u^*_d = y46l$

Kontrastreduzierungsfaktor:

$c_R = 1.0$

Dreiecks-Helligkeit i^*



ORS19_96a; adaptierte CIELAB-Daten

	u^*_e	$L^*=L^*_a$	a^*_a	b^*_a	$C^*_{ab,a}$	$h^*_{ab,a}$
O _{Ma}	48.75	65.07	39.43	76.08	31	
Y _{Ma}	90.92	-10.29	87.24	87.85	97	
L _{Ma}	52.69	-65.44	20.75	68.65	162	
C _{Ma}	59.61	-28.98	-46.22	54.56	238	
V _{Ma}	28.39	23.63	-44.13	50.06	298	
M _{Ma}	49.58	73.93	-9.56	74.55	353	
N _{Ma}	18.89	0.0	0.0	0.0	0	
W _{Ma}	96.9	0.0	0.0	0.0	0	
R _{Ma}	39.92	58.74	27.99	65.07	25	
J _{Ma}	81.26	-2.89	71.56	71.62	92	
G _{Ma}	52.23	-42.42	13.6	44.55	162	
B _{Ma}	30.57	1.41	-46.47	46.49	272	

Daten für Maximalfarbe (Ma):

$LAB^*LAB^*_{Ma}$: 71 -40 52

$LAB^*LCH^*_{Ma}$: 71 65 127

$lab^*rgb^*_{Ma}$: 0.5 1.0 0.0

$lab^*olv^*_{Ma}$: 0.54 1.0 0.0

Dreiecks-Helligkeit i^*

%Umfang

$u^*_{rel} = 89$

%Regularität

$g^*_{H,rel} = 72$

$g^*_{C,rel} = 57$

ORS19_96a; adaptierte CIELAB-Daten

	u^*_e	$L^*=L^*_a$	a^*_a	b^*_a	$C^*_{ab,a}$	$h^*_{ab,a}$	u^*_d
r00j	48.88	66.47	31.67	73.63	25	m84o	
r25j	55.85	52.39	47.48	70.7	42	o17y	
r50j	65.45	35.22	58.37	68.17	59	o42y	
r75j	75.19	17.82	69.41	71.66	76	o67y	
j00g	87.03	-3.35	82.83	82.9	92	o92y	
j25g	80.72	-25.01	69.5	73.86	110	y20l	
j50g	70.64	-39.54	51.97	65.3	127	y46l	
j75g	61.93	-52.1	36.83	63.8	145	y72l	
g00b	52.8	-65.28	20.93	68.56	162	y99l	
g25b	55.7	-49.58	-8.39	50.28	190	l36c	
g50b	57.82	-38.4	-28.92	48.07	217	l72c	
g75b	55.5	-22.05	-45.95	50.97	244	c11v	
b00r	41.6	1.37	-45.01	45.03	272	c56v	
b25r	29.0	25.08	-43.13	49.89	300	v04m	
b50r	38.04	46.53	-28.39	54.51	329	v55m	
b75r	49.48	72.88	-3.76	72.98	357	m11o	

$LAB^*LCH^*_{a}$

$i^*=1.00$

Brillantheit i^*

$i^*=0.80$

$i^*=0.60$

$i^*=0.40$

$i^*=0.20$

Ein und Ausgabe: Farbmetrisches Drucker-Reflektiv-System ORS19_96a für relativen CIELAB-Buntton $h^* = lab^*h^* = h_{ab}/360 = 0.402$

Daten für jede Farbe:

lab^*ch^* und lab^*icu^*

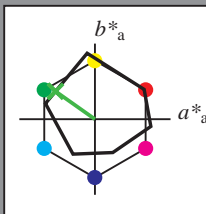
Bunttontexte:

$u^*_e = j75g$ $u^*_d = y72l$

Kontrastreduzierungsfaktor:

$c_R = 1.0$

Dreiecks-Helligkeit i^*



ORS19_96a; adaptierte CIELAB-Daten

u^*_e	$L^*=L^*_a$	a^*_a	b^*_a	$C^*_{ab,a}$	$h^*_{ab,a}$
O _{Ma}	48.75	65.07	39.43	76.08	31
Y _{Ma}	90.92	-10.29	87.24	87.85	97
L _{Ma}	52.69	-65.44	20.75	68.65	162
C _{Ma}	59.61	-28.98	-46.22	54.56	238
V _{Ma}	28.39	23.63	-44.13	50.06	298
M _{Ma}	49.58	73.93	-9.56	74.55	353
N _{Ma}	18.89	0.0	0.0	0.0	0
W _{Ma}	96.9	0.0	0.0	0.0	0
R _{Ma}	39.92	58.74	27.99	65.07	25
J _{Ma}	81.26	-2.89	71.56	71.62	92
G _{Ma}	52.23	-42.42	13.6	44.55	162
B _{Ma}	30.57	1.41	-46.47	46.49	272

Daten für Maximalfarbe (Ma):

$LAB^*LAB^*_{Ma}$: 62 -52 37

$LAB^*LCH^*_{Ma}$: 62 64 144

$lab^*rgb^*_{Ma}$: 0.25 1.0 0.0

$lab^*olv^*_{Ma}$: 0.27 1.0 0.0

Dreiecks-Helligkeit i^*

%Umfang

$u^*_{rel} = 89$

%Regularität

$g^*_{H,rel} = 72$

$g^*_{C,rel} = 57$

ORS19_96a; adaptierte CIELAB-Daten

u^*_e	$L^*=L^*_a$	a^*_a	b^*_a	$C^*_{ab,a}$	$h^*_{ab,a}$	u^*_d
r00j	48.88	66.47	31.67	73.63	25	m84o
r25j	55.85	52.39	47.48	70.7	42	o17y
r50j	65.45	35.22	58.37	68.17	59	o42y
r75j	75.19	17.82	69.41	71.66	76	o67y
j00g	87.03	-3.35	82.83	82.9	92	o92y
j25g	80.72	-25.01	69.5	73.86	110	y20l
j50g	70.64	-39.54	51.97	65.3	127	y46l
j75g	61.93	-52.1	36.83	63.8	145	y72l
g00b	52.8	-65.28	20.93	68.56	162	y99l
g25b	55.7	-49.58	-8.39	50.28	190	l36c
g50b	57.82	-38.4	-28.92	48.07	217	l72c
g75b	55.5	-22.05	-45.95	50.97	244	c11v
b00r	41.6	1.37	-45.01	45.03	272	c56v
b25r	29.0	25.08	-43.13	49.89	300	v04m
b50r	38.04	46.53	-28.39	54.51	329	v55m
b75r	49.48	72.88	-3.76	72.98	357	m11o

$LAB^*LCH^*_{Ma}$

$i^* = 1.00$

Brillantheit i^*

$i^* = 0.80$

$i^* = 0.60$

$i^* = 0.40$

$i^* = 0.20$

$i^* = 0.00$

relative Buntheit c^*

Ein und Ausgabe: Farbmetrisches Drucker-Reflektiv-System ORS19_96a für relativen CIELAB-Buntton $h^* = lab^*h^* = h_{ab}/360 = 0.451$

Daten für jede Farbe:

lab^*ch^* und lab^*icu^*

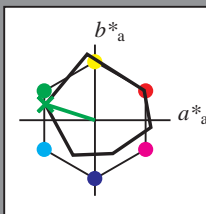
Bunttontexte:

$u^*_e = g00b$ $u^*_d = y99l$

Kontrastreduzierungsfaktor:

$c_R = 1.0$

Dreiecks-Helligkeit i^*



ORS19_96a; adaptierte CIELAB-Daten

u^*_e	$L^*=L^*_a$	a^*_a	b^*_a	$C^*_{ab,a}$	$h^*_{ab,a}$
O _{Ma}	48.75	65.07	39.43	76.08	31
Y _{Ma}	90.92	-10.29	87.24	87.85	97
L _{Ma}	52.69	-65.44	20.75	68.65	162
C _{Ma}	59.61	-28.98	-46.22	54.56	238
V _{Ma}	28.39	23.63	-44.13	50.06	298
M _{Ma}	49.58	73.93	-9.56	74.55	353
N _{Ma}	18.89	0.0	0.0	0.0	0
W _{Ma}	96.9	0.0	0.0	0.0	0
R _{Ma}	39.92	58.74	27.99	65.07	25
J _{Ma}	81.26	-2.89	71.56	71.62	92
G _{Ma}	52.23	-42.42	13.6	44.55	162
B _{Ma}	30.57	1.41	-46.47	46.49	272

Daten für Maximalfarbe (Ma):

$LAB^*LAB^*_{Ma}$: 53 -65 21

$LAB^*LCH^*_{Ma}$: 53 69 162

$lab^*rgb^*_{Ma}$: 0.0 1.0 0.0

$lab^*olv^*_{Ma}$: 0.0 1.0 0.0

Dreiecks-Helligkeit i^*

%Umfang

$u^*_{rel} = 89$

%Regularität

$g^*_{H,rel} = 72$

$g^*_{C,rel} = 57$

ORS19_96a; adaptierte CIELAB-Daten

u^*_e	$L^*=L^*_a$	a^*_a	b^*_a	$C^*_{ab,a}$	$h^*_{ab,a}$	u^*_d
r00j	48.88	66.47	31.67	73.63	25	m84o
r25j	55.85	52.39	47.48	70.7	42	o17y
r50j	65.45	35.22	58.37	68.17	59	o42y
r75j	75.19	17.82	69.41	71.66	76	o67y
j00g	87.03	-3.35	82.83	82.9	92	o92y
j25g	80.72	-25.01	69.5	73.86	110	y20l
j50g	70.64	-39.54	51.97	65.3	127	y46l
j75g	61.93	-52.1	36.83	63.8	145	y72l
g00b	52.8	-65.28	20.93	68.56	162	y99l
g25b	55.7	-49.58	-8.39	50.28	190	l36c
g50b	57.82	-38.4	-28.92	48.07	217	l72c
g75b	55.5	-22.05	-45.95	50.97	244	c11v
b00r	41.6	1.37	-45.01	45.03	272	c56v
b25r	29.0	25.08	-43.13	49.89	300	v04m
b50r	38.04	46.53	-28.39	54.51	329	v55m
b75r	49.48	72.88	-3.76	72.98	357	m11o

$LAB^*LCH^*_{a}$

$i^*=1.00$

Brillantheit i^*

$i^*=0.80$

$i^*=0.60$

$i^*=0.40$

$i^*=0.20$

$i^*=0.00$

relative Buntheit c^*

relative Buntheit c^*

Ein und Ausgabe: Farbmetrisches Drucker-Reflektiv-System ORS19_96a für relativen CIELAB-Buntton $h^* = lab^*h^* = h_{ab}/360 = 0.527$

Daten für jede Farbe:

lab^*ch^* und lab^*icu^*

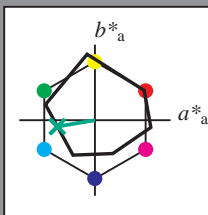
Bunttontexte:

$u^*_e = g25b$ $u^*_d = l36c$

Kontrastreduzierungsfaktor:

$c_R = 1.0$

Dreiecks-Helligkeit i^*



ORS19_96a; adaptierte CIELAB-Daten

u^*_e	$L^*=L^*_a$	a^*_a	b^*_a	$C^*_{ab,a}$	$h^*_{ab,a}$
O _{Ma}	48.75	65.07	39.43	76.08	31
Y _{Ma}	90.92	-10.29	87.24	87.85	97
L _{Ma}	52.69	-65.44	20.75	68.65	162
C _{Ma}	59.61	-28.98	-46.22	54.56	238
V _{Ma}	28.39	23.63	-44.13	50.06	298
M _{Ma}	49.58	73.93	-9.56	74.55	353
N _{Ma}	18.89	0.0	0.0	0.0	0
W _{Ma}	96.9	0.0	0.0	0.0	0
R _{Ma}	39.92	58.74	27.99	65.07	25
J _{Ma}	81.26	-2.89	71.56	71.62	92
G _{Ma}	52.23	-42.42	13.6	44.55	162
B _{Ma}	30.57	1.41	-46.47	46.49	272

Daten für Maximalfarbe (Ma):

$LAB^*LAB^*_{Ma}$: 56 -50 -8

$LAB^*LCH^*_{Ma}$: 56 50 189

$lab^*rgb^*_{Ma}$: 0.0 1.0 0.5

$lab^*olv^*_{Ma}$: 0.0 1.0 0.36

Dreiecks-Helligkeit i^*

%Umfang

$u^*_{rel} = 89$

%Regularität

$g^*_{H,rel} = 72$

$g^*_{C,rel} = 57$

ORS19_96a; adaptierte CIELAB-Daten

u^*_e	$L^*=L^*_a$	a^*_a	b^*_a	$C^*_{ab,a}$	$h^*_{ab,a}$	u^*_d
r00j	48.88	66.47	31.67	73.63	25	m84o
r25j	55.85	52.39	47.48	70.7	42	o17y
r50j	65.45	35.22	58.37	68.17	59	o42y
r75j	75.19	17.82	69.41	71.66	76	o67y
j00g	87.03	-3.35	82.83	82.9	92	o92y
j25g	80.72	-25.01	69.5	73.86	110	y20l
j50g	70.64	-39.54	51.97	65.3	127	y46l
j75g	61.93	-52.1	36.83	63.8	145	y72l
g00b	52.8	-65.28	20.93	68.56	162	y99l
g25b	55.7	-49.58	-8.39	50.28	190	l36c
g50b	57.82	-38.4	-28.92	48.07	217	l72c
g75b	55.5	-22.05	-45.95	50.97	244	c11v
b00r	41.6	1.37	-45.01	45.03	272	c56v
b25r	29.0	25.08	-43.13	49.89	300	v04m
b50r	38.04	46.53	-28.39	54.51	329	v55m
b75r	49.48	72.88	-3.76	72.98	357	m11o

$LAB^*LCH^*_{a}$

$i^* = 1.00$

Brillantheit i^*

$i^* = 0.80$

$i^* = 0.60$

$i^* = 0.40$

$i^* = 0.20$

relative Buntheit c^*

relative Buntheit c^*

Ein und Ausgabe: Farbmetrisches Drucker-Reflektiv-System ORS19_96a für relativen CIELAB-Buntton $h^* = lab^*h^* = h_{ab}/360 = 0.603$

Daten für jede Farbe:
 lab^*ch^* und lab^*icu^*

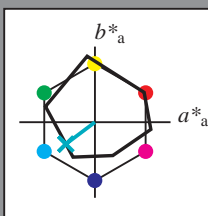
Bunttontexte:

$$u^*_e = g50b \quad u^*_d = l72c$$

Kontrastreduzierungsfaktor:

$$c_R = 1.0$$

Dreiecks-Helligkeit i^*



ORS19_96a; adaptierte CIELAB-Daten

	u^*_e	$L^*=L^*_a$	a^*_a	b^*_a	$C^*_{ab,a}$	$h^*_{ab,a}$
O _{Ma}	48.75	65.07	39.43	76.08	31	
Y _{Ma}	90.92	-10.29	87.24	87.85	97	
L _{Ma}	52.69	-65.44	20.75	68.65	162	
C _{Ma}	59.61	-28.98	-46.22	54.56	238	
V _{Ma}	28.39	23.63	-44.13	50.06	298	
M _{Ma}	49.58	73.93	-9.56	74.55	353	
N _{Ma}	18.89	0.0	0.0	0.0	0	
W _{Ma}	96.9	0.0	0.0	0.0	0	
R _{Ma}	39.92	58.74	27.99	65.07	25	
J _{Ma}	81.26	-2.89	71.56	71.62	92	
G _{Ma}	52.23	-42.42	13.6	44.55	162	
B _{Ma}	30.57	1.41	-46.47	46.49	272	

Daten für Maximalfarbe (Ma):

$LAB^*LAB^*_{Ma}$: 58 -38 -29

$LAB^*LCH^*_{Ma}$: 58 48 216

$lab^*rgb^*_{Ma}$: 0.0 1.0 1.0

$lab^*olv^*_{Ma}$: 0.0 1.0 0.72

Dreiecks-Helligkeit i^*

%Umfang

$u^*_{rel} = 89$

%Regularität

$g^*_{H,rel} = 72$

$g^*_{C,rel} = 57$

ORS19_96a; adaptierte CIELAB-Daten

	u^*_e	$L^*=L^*_a$	a^*_a	b^*_a	$C^*_{ab,a}$	$h^*_{ab,a}$	u^*_d
r00j	48.88	66.47	31.67	73.63	25	m84o	
r25j	55.85	52.39	47.48	70.7	42	o17y	
r50j	65.45	35.22	58.37	68.17	59	o42y	
r75j	75.19	17.82	69.41	71.66	76	o67y	
j00g	87.03	-3.35	82.83	82.9	92	o92y	
j25g	80.72	-25.01	69.5	73.86	110	y20l	
j50g	70.64	-39.54	51.97	65.3	127	y46l	
j75g	61.93	-52.1	36.83	63.8	145	y72l	
g00b	52.8	-65.28	20.93	68.56	162	y99l	
g25b	55.7	-49.58	-8.39	50.28	190	l36c	
g50b	57.82	-38.4	-28.92	48.07	217	l72c	
g75b	55.5	-22.05	-45.95	50.97	244	c11v	
b00r	41.6	1.37	-45.01	45.03	272	c56v	
b25r	29.0	25.08	-43.13	49.89	300	v04m	
b50r	38.04	46.53	-28.39	54.51	329	v55m	
b75r	49.48	72.88	-3.76	72.98	357	m11o	

$LAB^*LCH^*_{a}$

$i^* = 1.00$

Brillantheit i^*

$i^* = 0.80$

$i^* = 0.60$

$i^* = 0.40$

$i^* = 0.20$

Ein und Ausgabe: Farbmetrisches Drucker-Reflektiv-System ORS19_96a für relativen CIELAB-Buntton $h^* = \text{lab}^*h^* = h_{ab}/360 = 0.679$

Daten für jede Farbe:

lab^*tch^* und lab^*icu^*

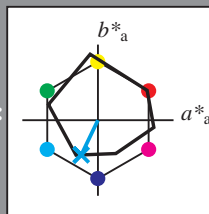
Bunttontexte:

$u^*_e = g75b$ $u^*_d = c11v$

Kontrastreduzierungsfaktor:

$c_R = 1.0$

Dreiecks-Helligkeit i^*



ORS19_96a; adaptierte CIELAB-Daten

	u^*_e	$L^*=L^*_a$	a^*_a	b^*_a	$C^*_{ab,a}$	$h^*_{ab,a}$
O _{Ma}	48.75	65.07	39.43	76.08	31	
Y _{Ma}	90.92	-10.29	87.24	87.85	97	
L _{Ma}	52.69	-65.44	20.75	68.65	162	
C _{Ma}	59.61	-28.98	-46.22	54.56	238	
V _{Ma}	28.39	23.63	-44.13	50.06	298	
M _{Ma}	49.58	73.93	-9.56	74.55	353	
N _{Ma}	18.89	0.0	0.0	0.0	0	
W _{Ma}	96.9	0.0	0.0	0.0	0	
R _{Ma}	39.92	58.74	27.99	65.07	25	
J _{Ma}	81.26	-2.89	71.56	71.62	92	
G _{Ma}	52.23	-42.42	13.6	44.55	162	
B _{Ma}	30.57	1.41	-46.47	46.49	272	

Daten für Maximalfarbe (Ma):

$\text{LAB}^*\text{LAB}^*_{Ma}$: 55 -22 -46

$\text{LAB}^*\text{LCH}^*_{Ma}$: 55 51 244

$\text{lab}^*\text{rgb}^*_{Ma}$: 0.0 0.5 1.0

$\text{lab}^*\text{olv}^*_{Ma}$: 0.0 0.89 1.0

Dreiecks-Helligkeit i^*

%Umfang

$u^*_{rel} = 89$

%Regularität

$g^*_{H,rel} = 72$

$g^*_{C,rel} = 57$

ORS19_96a; adaptierte CIELAB-Daten

	u^*_e	$L^*=L^*_a$	a^*_a	b^*_a	$C^*_{ab,a}$	$h^*_{ab,a}$	u^*_d
r00j	48.88	66.47	31.67	73.63	25	m84o	
r25j	55.85	52.39	47.48	70.7	42	o17y	
r50j	65.45	35.22	58.37	68.17	59	o42y	
r75j	75.19	17.82	69.41	71.66	76	o67y	
j00g	87.03	-3.35	82.83	82.9	92	o92y	
j25g	80.72	-25.01	69.5	73.86	110	y20l	
j50g	70.64	-39.54	51.97	65.3	127	y46l	
j75g	61.93	-52.1	36.83	63.8	145	y72l	
g00b	52.8	-65.28	20.93	68.56	162	y99l	
g25b	55.7	-49.58	-8.39	50.28	190	l36c	
g50b	57.82	-38.4	-28.92	48.07	217	l72c	
g75b	55.5	-22.05	-45.95	50.97	244	c11v	
b00r	41.6	1.37	-45.01	45.03	272	c56v	
b25r	29.0	25.08	-43.13	49.89	300	v04m	
b50r	38.04	46.53	-28.39	54.51	329	v55m	
b75r	49.48	72.88	-3.76	72.98	357	m11o	

$\text{LAB}^*\text{LCH}^*_a$

$i^* = 1.00$

Brillantheit i^*

$i^* = 0.80$

$i^* = 0.60$

$i^* = 0.40$

$i^* = 0.20$

$i^* = 0.00$

relative Buntheit c^*

relative Buntheit c^*

Ein und Ausgabe: Farbmetrisches Drucker-Reflektiv-System ORS19_96a für relativen CIELAB-Buntton $h^* = \text{lab}^*h^* = h_{ab}/360 = 0.755$

Daten für jede Farbe:

lab^*tch^* und lab^*icu^*

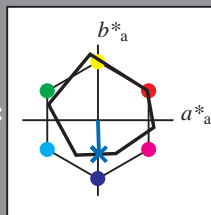
Bunttontexte:

$u^*_e = b00r$ $u^*_d = c56v$

Kontrastreduzierungsfaktor:

$c_R = 1.0$

Dreiecks-Helligkeit i^*



ORS19_96a; adaptierte CIELAB-Daten

u^*_e	$L^*=L^*_a$	a^*_a	b^*_a	$C^*_{ab,a}$	$h^*_{ab,a}$
O _{Ma}	48.75	65.07	39.43	76.08	31
Y _{Ma}	90.92	-10.29	87.24	87.85	97
L _{Ma}	52.69	-65.44	20.75	68.65	162
C _{Ma}	59.61	-28.98	-46.22	54.56	238
V _{Ma}	28.39	23.63	-44.13	50.06	298
M _{Ma}	49.58	73.93	-9.56	74.55	353
N _{Ma}	18.89	0.0	0.0	0.0	0
W _{Ma}	96.9	0.0	0.0	0.0	0
R _{Ma}	39.92	58.74	27.99	65.07	25
J _{Ma}	81.26	-2.89	71.56	71.62	92
G _{Ma}	52.23	-42.42	13.6	44.55	162
B _{Ma}	30.57	1.41	-46.47	46.49	272

Daten für Maximalfarbe (Ma):

$\text{LAB}^*\text{LAB}^*_{Ma}$: 42 1 -45

$\text{LAB}^*\text{LCH}^*_{Ma}$: 42 45 271

$\text{lab}^*\text{rgb}^*_{Ma}$: 0.0 0.0 1.0

$\text{lab}^*\text{olv}^*_{Ma}$: 0.0 0.44 1.0

Dreiecks-Helligkeit i^*

%Umfang

$u^*_{rel} = 89$

%Regularität

$g^*_{H,rel} = 72$

$g^*_{C,rel} = 57$

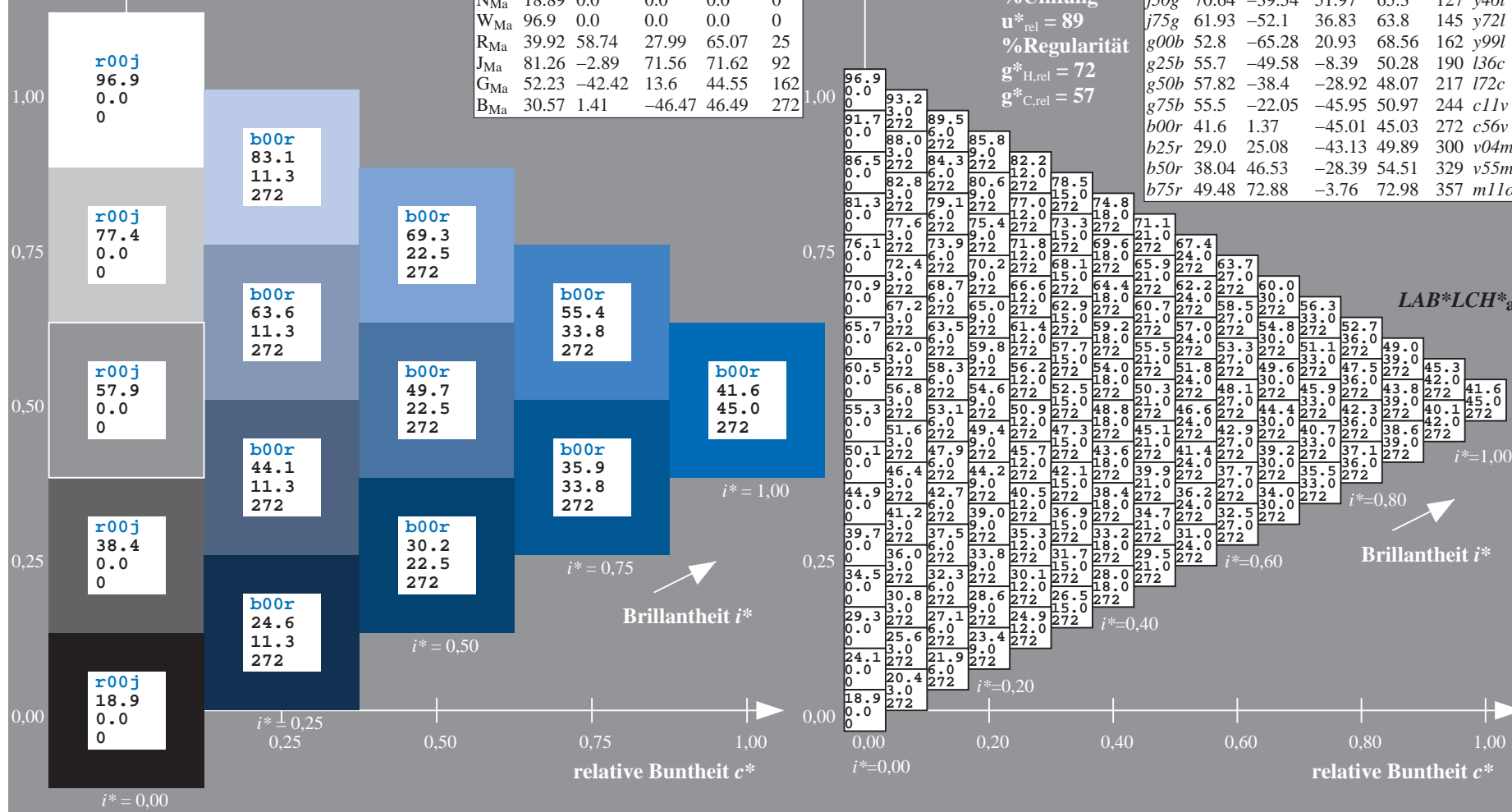
ORS19_96a; adaptierte CIELAB-Daten

u^*_e	$L^*=L^*_a$	a^*_a	b^*_a	$C^*_{ab,a}$	$h^*_{ab,a}$	u^*_d
r00j	48.88	66.47	31.67	73.63	25	m84o
r25j	55.85	52.39	47.48	70.7	42	o17y
r50j	65.45	35.22	58.37	68.17	59	o42y
r75j	75.19	17.82	69.41	71.66	76	o67y
j00g	87.03	-3.35	82.83	82.9	92	o92y
j25g	80.72	-25.01	69.5	73.86	110	y20l
j50g	70.64	-39.54	51.97	65.3	127	y46l
j75g	61.93	-52.1	36.83	63.8	145	y72l
g00b	52.8	-65.28	20.93	68.56	162	y99l
g25b	55.7	-49.58	-8.39	50.28	190	l36c
g50b	57.82	-38.4	-28.92	48.07	217	l72c
g75b	55.5	-22.05	-45.95	50.97	244	c11v
b00r	41.6	1.37	-45.01	45.03	272	c56v
b25r	29.0	25.08	-43.13	49.89	300	v04m
b50r	38.04	46.53	-28.39	54.51	329	v55m
b75r	49.48	72.88	-3.76	72.98	357	m11o

$u^*_e = b00r$
 $\text{LAB}^*\text{LCH}^*_{Ma}$

Siehe ähnliche Dateien: <http://www.ps.bam.de/Eg12/>; www.ps.bam.de/Version2.1,io=1,1,Colspx=1
Technische Information: <http://www.ps.bam.de/Version2.1,io=1,1,Colspx=1>

BAM-Registrierung: 20081001-Eg12/10L/L12G00NA.PS/.TXT BAM-Material: Code=rh4ta
Anwendung für Beurteilung und Messung von Drucker- oder Monitorssystemen



Ein und Ausgabe: Farbmetrisches Drucker-Reflektiv-System ORS19_96a für relativen CIELAB-Buntton $h^* = lab^*h^* = h_{ab}/360 = 0.834$

Daten für jede Farbe:

lab^*ch^* und lab^*icu^*

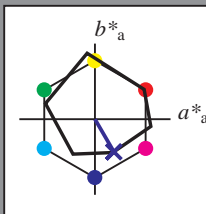
Bunttontexte:

$u^*_e = b25r$ $u^*_d = v04m$

Kontrastreduzierungsfaktor:

$c_R = 1.0$

Dreiecks-Helligkeit i^*



ORS19_96a; adaptierte CIELAB-Daten

	u^*_e	$L^*=L^*_a$	a^*_a	b^*_a	$C^*_{ab,a}$	$h^*_{ab,a}$
O _{Ma}	48.75	65.07	39.43	76.08	31	
Y _{Ma}	90.92	-10.29	87.24	87.85	97	
L _{Ma}	52.69	-65.44	20.75	68.65	162	
C _{Ma}	59.61	-28.98	-46.22	54.56	238	
V _{Ma}	28.39	23.63	-44.13	50.06	298	
M _{Ma}	49.58	73.93	-9.56	74.55	353	
N _{Ma}	18.89	0.0	0.0	0.0	0	
W _{Ma}	96.9	0.0	0.0	0.0	0	
R _{Ma}	39.92	58.74	27.99	65.07	25	
J _{Ma}	81.26	-2.89	71.56	71.62	92	
G _{Ma}	52.23	-42.42	13.6	44.55	162	
B _{Ma}	30.57	1.41	-46.47	46.49	272	

Daten für Maximalfarbe (Ma):

$LAB^*LAB^*_{Ma}$: 29 25 -43

$LAB^*LCH^*_{Ma}$: 29 50 300

$lab^*rgb^*_{Ma}$: 0.5 0.0 1.0

$lab^*olv^*_{Ma}$: 0.04 0.0 1.0

Dreiecks-Helligkeit i^*

%Umfang

$u^*_{rel} = 89$

%Regularität

$g^*_{H,rel} = 72$

$g^*_{C,rel} = 57$

ORS19_96a; adaptierte CIELAB-Daten

	u^*_e	$L^*=L^*_a$	a^*_a	b^*_a	$C^*_{ab,a}$	$h^*_{ab,a}$	u^*_d
r00j	48.88	66.47	31.67	73.63	25	m84o	
r25j	55.85	52.39	47.48	70.7	42	o17y	
r50j	65.45	35.22	58.37	68.17	59	o42y	
r75j	75.19	17.82	69.41	71.66	76	o67y	
j00g	87.03	-3.35	82.83	82.9	92	o92y	
j25g	80.72	-25.01	69.5	73.86	110	y20l	
j50g	70.64	-39.54	51.97	65.3	127	y46l	
j75g	61.93	-52.1	36.83	63.8	145	y72l	
g00b	52.8	-65.28	20.93	68.56	162	y99l	
g25b	55.7	-49.58	-8.39	50.28	190	l36c	
g50b	57.82	-38.4	-28.92	48.07	217	l72c	
g75b	55.5	-22.05	-45.95	50.97	244	c11v	
b00r	41.6	1.37	-45.01	45.03	272	c56v	
b25r	29.0	25.08	-43.13	49.89	300	v04m	
b50r	38.04	46.53	-28.39	54.51	329	v55m	
b75r	49.48	72.88	-3.76	72.98	357	m11o	

$LAB^*LCH^*_{Ma}$

$i^* = 1.00$

Brillantheit i^*

$i^* = 0.80$

$i^* = 0.60$

$i^* = 0.40$

$i^* = 0.20$

$i^* = 0.00$

relative Buntheit c^*

relative Buntheit c^*

Ein und Ausgabe: Farbmetrisches Drucker-Reflektiv-System ORS19_96a für relativen CIELAB-Buntton $h^* = \text{lab}^*h^* = h_{ab}/360 = 0.913$

Daten für jede Farbe:

lab^*ch^* und lab^*icu^*

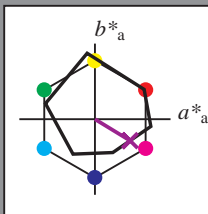
Bunttontexte:

$u^*_e = b50r$ $u^*_d = v55m$

Kontrastreduzierungsfaktor:

$c_R = 1.0$

Dreiecks-Helligkeit i^*



ORS19_96a; adaptierte CIELAB-Daten

	u^*_e	$L^*=L^*_a$	a^*_a	b^*_a	$C^*_{ab,a}$	$h^*_{ab,a}$
O _{Ma}	48.75	65.07	39.43	76.08	31	
Y _{Ma}	90.92	-10.29	87.24	87.85	97	
L _{Ma}	52.69	-65.44	20.75	68.65	162	
C _{Ma}	59.61	-28.98	-46.22	54.56	238	
V _{Ma}	28.39	23.63	-44.13	50.06	298	
M _{Ma}	49.58	73.93	-9.56	74.55	353	
N _{Ma}	18.89	0.0	0.0	0.0	0	
W _{Ma}	96.9	0.0	0.0	0.0	0	
R _{Ma}	39.92	58.74	27.99	65.07	25	
J _{Ma}	81.26	-2.89	71.56	71.62	92	
G _{Ma}	52.23	-42.42	13.6	44.55	162	
B _{Ma}	30.57	1.41	-46.47	46.49	272	

Daten für Maximalfarbe (Ma):

$\text{LAB}^*\text{LAB}^*_{\text{Ma}}$: 38 47 -28

$\text{LAB}^*\text{LCH}^*_{\text{Ma}}$: 38 55 328

$\text{lab}^*\text{rgb}^*_{\text{Ma}}$: 1.0 0.0 1.0

$\text{lab}^*\text{olv}^*_{\text{Ma}}$: 0.56 0.0 1.0

Dreiecks-Helligkeit i^*

%Umfang

$u^*_{\text{rel}} = 89$

%Regularität

$g^*_{H,\text{rel}} = 72$

$g^*_{C,\text{rel}} = 57$

ORS19_96a; adaptierte CIELAB-Daten

	u^*_e	$L^*=L^*_a$	a^*_a	b^*_a	$C^*_{ab,a}$	$h^*_{ab,a}$	u^*_d
r00j	48.88	66.47	31.67	73.63	25	m84o	
r25j	55.85	52.39	47.48	70.7	42	o17y	
r50j	65.45	35.22	58.37	68.17	59	o42y	
r75j	75.19	17.82	69.41	71.66	76	o67y	
j00g	87.03	-3.35	82.83	82.9	92	o92y	
j25g	80.72	-25.01	69.5	73.86	110	y20l	
j50g	70.64	-39.54	51.97	65.3	127	y46l	
j75g	61.93	-52.1	36.83	63.8	145	y72l	
g00b	52.8	-65.28	20.93	68.56	162	y99l	
g25b	55.7	-49.58	-8.39	50.28	190	l36c	
g50b	57.82	-38.4	-28.92	48.07	217	l72c	
g75b	55.5	-22.05	-45.95	50.97	244	c11v	
b00r	41.6	1.37	-45.01	45.03	272	c56v	
b25r	29.0	25.08	-43.13	49.89	300	v04m	
b50r	38.04	46.53	-28.39	54.51	329	v55m	
b75r	49.48	72.88	-3.76	72.98	357	m11o	

$\text{LAB}^*\text{LCH}^*_{\text{Ma}}$

$i^*=1.00$

Brillantheit i^*

$i^*=0.80$

$i^*=0.60$

$i^*=0.40$

$i^*=0.20$

Ein und Ausgabe: Farbmetrisches Drucker-Reflektiv-System ORS19_96a für relativen CIELAB-Buntton $h^* = \text{lab}^*h^* = h_{ab}/360 = 0.992$

Daten für jede Farbe:

lab^*tch^* und lab^*icu^*

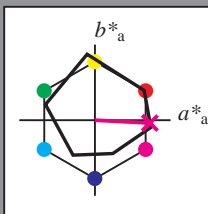
Bunttontexte:

$u^*_e = b75r$ $u^*_d = m11o$

Kontrastreduzierungsfaktor:

$c_R = 1.0$

Dreiecks-Helligkeit i^*



ORS19_96a; adaptierte CIELAB-Daten

u^*_e	$L^*=L^*_a$	a^*_a	b^*_a	$C^*_{ab,a}$	$h^*_{ab,a}$
O _{Ma}	48.75	65.07	39.43	76.08	31
Y _{Ma}	90.92	-10.29	87.24	87.85	97
L _{Ma}	52.69	-65.44	20.75	68.65	162
C _{Ma}	59.61	-28.98	-46.22	54.56	238
V _{Ma}	28.39	23.63	-44.13	50.06	298
M _{Ma}	49.58	73.93	-9.56	74.55	353
N _{Ma}	18.89	0.0	0.0	0.0	0
W _{Ma}	96.9	0.0	0.0	0.0	0
R _{Ma}	39.92	58.74	27.99	65.07	25
J _{Ma}	81.26	-2.89	71.56	71.62	92
G _{Ma}	52.23	-42.42	13.6	44.55	162
B _{Ma}	30.57	1.41	-46.47	46.49	272

Daten für Maximalfarbe (Ma):

$\text{LAB}^*\text{LAB}^*_{\text{Ma}}$: 49 73 -4

$\text{LAB}^*\text{LCH}^*_{\text{Ma}}$: 49 73 357

$\text{lab}^*\text{rgb}^*_{\text{Ma}}$: 1.0 0.0 0.5

$\text{lab}^*\text{olv}^*_{\text{Ma}}$: 1.0 0.0 0.89

Dreiecks-Helligkeit i^*

%Umfang

$u^*_{\text{rel}} = 89$

%Regularität

$g^*_{H,\text{rel}} = 72$

$g^*_{C,\text{rel}} = 57$

ORS19_96a; adaptierte CIELAB-Daten

u^*_e	$L^*=L^*_a$	a^*_a	b^*_a	$C^*_{ab,a}$	$h^*_{ab,a}$	u^*_d
r00j	48.88	66.47	31.67	73.63	25	m84o
r25j	55.85	52.39	47.48	70.7	42	o17y
r50j	65.45	35.22	58.37	68.17	59	o42y
r75j	75.19	17.82	69.41	71.66	76	o67y
j00g	87.03	-3.35	82.83	82.9	92	o92y
j25g	80.72	-25.01	69.5	73.86	110	y20l
j50g	70.64	-39.54	51.97	65.3	127	y46l
j75g	61.93	-52.1	36.83	63.8	145	y72l
g00b	52.8	-65.28	20.93	68.56	162	y99l
g25b	55.7	-49.58	-8.39	50.28	190	l36c
g50b	57.82	-38.4	-28.92	48.07	217	l72c
g75b	55.5	-22.05	-45.95	50.97	244	c11v
b00r	41.6	1.37	-45.01	45.03	272	c56v
b25r	29.0	25.08	-43.13	49.89	300	v04m
b50r	38.04	46.53	-28.39	54.51	329	v55m
b75r	49.48	72.88	-3.76	72.98	357	m11o

$\text{LAB}^*\text{LCH}^*_{\text{Ma}}$

$i^*=1.00$

Brillantheit i^*

$i^*=0.80$

$i^*=0.60$

$i^*=0.40$

$i^*=0.20$

$i^*=0.00$

Siehe ähnliche Dateien: <http://www.ps.bam.de/Eg12/>; www.ps.bam.de/Eg12/10L/L12G00NA.PS/.TXT BAM-Material: Code=rh4ta
Technische Information: <http://www.ps.bam.de> Version 2.1, io=1.1, ColSp=1

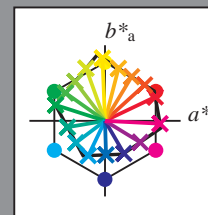
	A	B	C	D	E	F	G	H	I	J	K	L	M	N	O	P	Q	R	S	T	U	V	W	X	Y	Z	a	b	c	d	e	f	g	h	i	j	k	LAB*LCH*a																																																																																																																																																																																																																																																																																																																																																																																																																																																																																																																																																																																																																																																																																																																																																																																																																																																																																																													
01	18.9	23.1	27.3	31.6	35.8	40.0	44.2	48.5	52.7	56.9	61.1	65.4	69.6	73.8	78.0	82.2	86.4	90.6	94.8	99.0	103.2	107.4	111.6	115.8	120.0	124.2	128.4	132.6	136.8	141.0	145.2	149.4	153.6	157.8	162.0	166.2	170.4	174.6	178.8	183.0	187.2	191.4	195.6	199.8	204.0	208.2	212.4	216.6	220.8	225.0	229.2	233.4	237.6	241.8	246.0	250.2	254.4	258.6	262.8	267.0	271.2	275.4	279.6	283.8	288.0	292.2	296.4	300.6	304.8	309.0	313.2	317.4	321.6	325.8	330.0	334.2	338.4	342.6	346.8	351.0	355.2	359.4	363.6	367.8	372.0	376.2	380.4	384.6	388.8	393.0	397.2	401.4	405.6	409.8	414.0	418.2	422.4	426.6	430.8	435.0	439.2	443.4	447.6	451.8	456.0	460.2	464.4	468.6	472.8	477.0	481.2	485.4	489.6	493.8	498.0	502.2	506.4	510.6	514.8	519.0	523.2	527.4	531.6	535.8	540.0	544.2	548.4	552.6	556.8	561.0	565.2	569.4	573.6	577.8	582.0	586.2	590.4	594.6	598.8	603.0	607.2	611.4	615.6	619.8	624.0	628.2	632.4	636.6	640.8	645.0	649.2	653.4	657.6	661.8	666.0	670.2	674.4	678.6	682.8	687.0	691.2	695.4	699.6	703.8	708.0	712.2	716.4	720.6	724.8	729.0	733.2	737.4	741.6	745.8	750.0	754.2	758.4	762.6	766.8	771.0	775.2	779.4	783.6	787.8	792.0	796.2	800.4	804.6	808.8	813.0	817.2	821.4	825.6	829.8	834.0	838.2	842.4	846.6	850.8	855.0	859.2	863.4	867.6	871.8	876.0	880.2	884.4	888.6	892.8	897.0	901.2	905.4	909.6	913.8	918.0	922.2	926.4	930.6	934.8	939.0	943.2	947.4	951.6	955.8	960.0	964.2	968.4	972.6	976.8	981.0	985.2	989.4	993.6	997.8	1002.0	1006.2	1010.4	1014.6	1018.8	1023.0	1027.2	1031.4	1035.6	1039.8	1044.0	1048.2	1052.4	1056.6	1060.8	1065.0	1069.2	1073.4	1077.6	1081.8	1086.0	1090.2	1094.4	1098.6	1102.8	1107.0	1111.2	1115.4	1119.6	1123.8	1128.0	1132.2	1136.4	1140.6	1144.8	1149.0	1153.2	1157.4	1161.6	1165.8	1170.0	1174.2	1178.4	1182.6	1186.8	1191.0	1195.2	1199.4	1203.6	1207.8	1212.0	1216.2	1220.4	1224.6	1228.8	1233.0	1237.2	1241.4	1245.6	1249.8	1254.0	1258.2	1262.4	1266.6	1270.8	1275.0	1279.2	1283.4	1287.6	1291.8	1296.0	1300.2	1304.4	1308.6	1312.8	1317.0	1321.2	1325.4	1329.6	1333.8	1338.0	1342.2	1346.4	1350.6	1354.8	1359.0	1363.2	1367.4	1371.6	1375.8	1380.0	1384.2	1388.4	1392.6	1396.8	1401.0	1405.2	1409.4	1413.6	1417.8	1422.0	1426.2	1430.4	1434.6	1438.8	1443.0	1447.2	1451.4	1455.6	1459.8	1464.0	1468.2	1472.4	1476.6	1480.8	1485.0	1489.2	1493.4	1497.6	1501.8	1506.0	1510.2	1514.4	1518.6	1522.8	1527.0	1531.2	1535.4	1539.6	1543.8	1548.0	1552.2	1556.4	1560.6	1564.8	1569.0	1573.2	1577.4	1581.6	1585.8	1590.0	1594.2	1598.4	1602.6	1606.8	1611.0	1615.2	1619.4	1623.6	1627.8	1632.0	1636.2	1640.4	1644.6	1648.8	1653.0	1657.2	1661.4	1665.6	1669.8	1674.0	1678.2	1682.4	1686.6	1690.8	1695.0	1699.2	1703.4	1707.6	1711.8	1716.0	1720.2	1724.4	1728.6	1732.8	1737.0	1741.2	1745.4	1749.6	1753.8	1758.0	1762.2	1766.4	1770.6	1774.8	1779.0	1783.2	1787.4	1791.6	1795.8	1799.8	1804.0	1808.2	1812.4	1816.6	1820.8	1825.0	1829.2	1833.4	1837.6	1841.8	1846.0	1850.2	1854.4	1858.6	1862.8	1867.0	1871.2	1875.4	1879.6	1883.8	1888.0	1892.2	1896.4	1900.6	1904.8	1909.0	1913.2	1917.4	1921.6	1925.8	1930.0	1934.2	1938.4	1942.6	1946.8	1951.0	1955.2	1959.4	1963.6	1967.8	1972.0	1976.2	1980.4	1984.6	1988.8	1993.0	1997.2	2001.4	2005.6	2009.8	2014.0	2018.2	2022.4	2026.6	2030.8	2035.0	2039.2	2043.4	2047.6	2051.8	2056.0	2060.2	2064.4	2068.6	2072.8	2077.0	2081.2	2085.4	2089.6	2093.8	2098.0	2102.2	2106.4	2110.6	2114.8	2119.0	2123.2	2127.4	2131.6	2135.8	2140.0	2144.2	2148.4	2152.6	2156.8	2161.0	2165.2	2169.4	2173.6	2177.8	2182.0	2186.2	2190.4	2194.6	2198.8	2203.0	2207.2	2211.4	2215.6	2219.8	2224.0	2228.2	2232.4	2236.6	2240.8	2245.0	2249.2	2253.4	2257.6	2261.8	2266.0	2270.2	2274.4	2278.6	2282.8	2287.0	2291.2	2295.4	2299.6	2303.8	2308.0	2312.2	2316.4	2320.6	2324.8	2329.0	2333.2	2337.4	2341.6	2345.8	2350.0	2354.2	2358.4	2362.6	2366.8	2371.0	2375.2	2379.4	2383.6	2387.8	2392.0	2396.2	2400.4	2404.6	2408.8	2413.0	2417.2	2421.4	2425.6	2429.8	2434.0	2438.2	2442.4	2446.6	2450.8	2455.0	2459.2	2463.4	2467.6	2471.8	2476.0	2480.2	2484.4	2488.6	2492.8	2497.0	2501.2	2505.4	2509.6	2513.8	2518.0	2522.2	2526.4	2530.6	2534.8	2539.0	2543.2	2547.4	2551.6	2555.8	2560.0	2564.2	2568.4	2572.6	2576.8	2581.0	2585.2	2589.4	2593.6	2597.8	2602.0	2606.2	2610.4	2614.6	2618.8	2623.0	2627.2	2631.4	2635.6	2639.8	2644.0	2648.2	2652.4	2656.6	2660.8	2665.0	2669.2	2673.4	2677.6	2681.8	2686.0	2690.2	2694.4	2698.6	2702.8	2707.0	2711.2	2715.4	2719.6	2723.8	2728.0	2732.2	2736.4	2740.6	2744.8	2749.0	2753.2	2757.4	2761.6	2765.8	2770.0	2774.2	2778.4	2782.6	2786.8	2791.0	2795.2	2799.4	2803.6	2807.8	2812.0	2816.2	2820.4	2824.6	2828.8	2833.0	2837.2	2841.4	2845.6	2849.8	2854.0	2858.2	2862.4	2866.6	2870.8	2875.0	2879.2	2883.4	2887.6	2891.8	2896.0	2900.2	2904.4	2908.6	2912.8	2917.0	2921.2	2925.4	2929.6	2933.8	2938.0	2942.2	2946.4	2950.6	2954.8	2959.0	2963.2	2967.4	2971.6	2975.8	2980.0	2984.2	2988.4	2992.6	2996.8	3001.0	3005.2	3009.4	3013.6	3017.8	3022.0	3026.2	3030.4	3034.6	3038.8	3043.0	3047.2	3051.4	3055.6	3059.8	3064.0	3068.2	3072.4	3076.6	3080.8	3085.0	3089.2	3093.4	3097.6	3101.8	3106.0	3110.2	3114.4	3118.6	3122.8	3127.0	3131.2	3135.4	3139.6	3143.8	3148.0	3152.2	3156.4	3160.6	3164.8	3169.0	3173.2	3177.4	3181.6	3185.8	3190.0	3194.2	3198.4	3202.6	3206.8	3211.0	3215.2	3219.4	3223.6	3227.8	3232.0	3236.2	3240.4	3244.6	3248.8	3253.0	3257.2	3261.4	3265.6	3269.8	3274.0	3278.2	3282.4	3286.6	3290.8	3295.0	3299.2	3303.4	3307.6	3311.8	3316.0	3320.2	3324.4	3328.6	3332.8	3337.0	3341.2	3345.4	3349.6	3353.8	3358.0	3362.2	3366.4	3370.6	3374.8	3379.0	3383.2	3387.4	3391.6	3395.8	3400.0	3404.2	3408.4	3412.6	3416.8	3421.0	3425.2	3429.4	3433.6	3437.8	3442.0	3446.2	3450.4	3454.6	3458.8	3463.0	3467.2	3471.4	3475.6	3479.8	3484.0	3488.2	3492.4	3496.6	3500.8	3505.0	3509.2	3513.4	3517.6	3521.8	3526.0	3530.2	3534.4	3538.6	3542.8	3547.0	3551.2	3555.4	3559.6	3563.8	3568.0	3572.2	3576.4	3580.6	3584.8	3589.0	3593.2	3597.4	3601.6	3605.8	3610.0	3614.2	3618.4	3622.6	3626.8	3631.0	3635.2	3639.4	3643.6	3647.8	3652.0	3656.2	3660.4	3664.6	3668.8	3673.0	3677.2	3681.4	3685.6	3689.8	3694.0	3698.2	3702.4	3706.6	3710.8	3715.0	3719.2	3723.4	3727.6	3731.8	3736.0	3740.2	3744.4	3748.6	3752.8	3757.0	3761.2	3765.4	3769.6	3773.8	3778.0	3782.2	3786.4	3790.6	3794.8	3799.0	3803.2	3807.4	3811.6	3815.8	3820.0	3824.2	3828.4	3832.6	3836.8	3841.0	3845.2	3849.4	3853.6	38579.

Ein und Ausgabe:
Farbmetrisches Drucker-Reflektiv-System ORS19_96a
Daten für jede Farbe:

u_e^* und Nummer $Nr.$ = 00 .. 15
Elementar-Bunttontext:
 $u_e^* = 16$ Bunttoene $r00j, r25j, \dots, b75r$
Kontrastreduzierungsfaktor:
 $c_R = 1.0$

ORS19_96a; adaptierte CIELAB-Daten

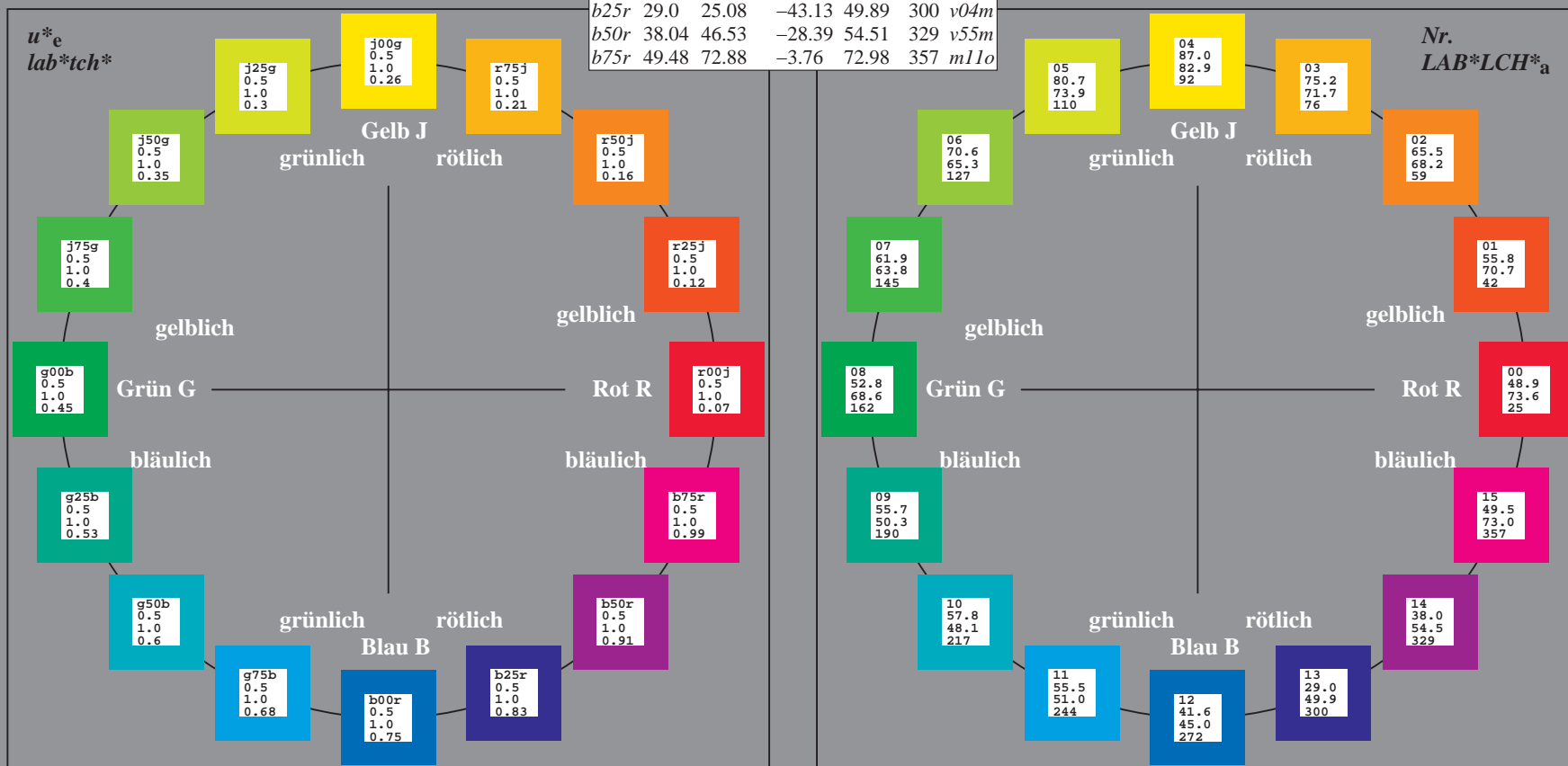
u_e^*	$L^*=L_a^*$	a^*_a	b^*_a	$C^*_{ab,a}$	$h^*_{ab,a}$	u_d^*
$r00j$	48.88	66.47	31.67	73.63	25	$m84o$
$r25j$	55.85	52.39	47.48	70.7	42	$o17y$
$r50j$	65.45	35.22	58.37	68.17	59	$o42y$
$r75j$	75.19	17.82	69.41	71.66	76	$o67y$
$j00g$	87.03	-3.35	82.83	82.9	92	$o92y$
$j25g$	80.72	-25.01	69.5	73.86	110	$y20l$
$j50g$	70.64	-39.54	51.97	65.3	127	$y46l$
$j75g$	61.93	-52.1	36.83	63.8	145	$y72l$
$g00b$	52.8	-65.28	20.93	68.56	162	$y99l$
$g25b$	55.7	-49.58	-8.39	50.28	190	$l36c$
$g50b$	57.82	-38.4	-28.92	48.07	217	$l72c$
$g75b$	55.5	-22.05	-45.95	50.97	244	$c11v$
$b00r$	41.6	1.37	-45.01	45.03	272	$c56v$
$b25r$	29.0	25.08	-43.13	49.89	300	$v04m$
$b50r$	38.04	46.53	-28.39	54.51	329	$v55m$
$b75r$	49.48	72.88	-3.76	72.98	357	$m11o$



%Umfang
 $u_{rel}^* = 89$
%Regularität
 $g_{H,rel}^* = 72$
 $g_{C,rel}^* = 57$

ORS19_96a; adaptierte CIELAB-Daten

Name	$L^*=L_a^*$	a^*_a	b^*_a	$C^*_{ab,a}$	$h^*_{ab,a}$
O_{Ma}	48.75	65.07	39.43	76.08	31
Y_{Ma}	90.92	-10.29	87.24	87.85	97
L_{Ma}	52.69	-65.44	20.75	68.65	162
C_{Ma}	59.61	-28.98	-46.22	54.56	238
V_{Ma}	28.39	23.63	-44.13	50.06	298
M_{Ma}	49.58	73.93	-9.56	74.55	353
N_{Ma}	18.89	0.0	0.0	0.0	0
W_{Ma}	96.9	0.0	0.0	0.0	0
R_{CIE}	39.92	58.74	27.99	65.07	25
J_{CIE}	81.26	-2.89	71.56	71.62	92
G_{CIE}	52.23	-42.42	13.6	44.55	162
B_{CIE}	30.57	1.41	-46.47	46.49	272



Ein und Ausgabe: Farbmimetrisches Drucker-Reflektiv-System ORS19_96a für relativen CIELAB-Buntton $h^* = lab^*h^* = h_{ab}/360 = 0.071$

Daten für jede Farbe:

lab^*tch^* und lab^*icu^*

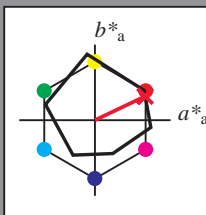
Bunttontexte:

$u^*_e = r00j$ $u^*_d = m84o$

Kontrastreduzierungsfaktor:

$c_R = 1.0$

Dreiecks-Helligkeit t^*



ORS19_96a; adaptierte CIELAB-Daten						
u^*_e	$L^*=L^*_a$	a^*_a	b^*_a	$C^*_{ab,a}$	$h^*_{ab,a}$	u^*_d
O _{Ma}	48.75	65.07	39.43	76.08	31	
Y _{Ma}	90.92	-10.29	87.24	87.85	97	
L _{Ma}	52.69	-65.44	20.75	68.65	162	
C _{Ma}	59.61	-28.98	-46.22	54.56	238	
V _{Ma}	28.39	23.63	-44.13	50.06	298	
M _{Ma}	49.58	73.93	-9.56	74.55	353	
N _{Ma}	18.89	0.0	0.0	0.0	0	
W _{Ma}	96.9	0.0	0.0	0.0	0	
R _{Ma}	39.92	58.74	27.99	65.07	25	
J _{Ma}	81.26	-2.89	71.56	71.62	92	
G _{Ma}	52.23	-42.42	13.6	44.55	162	
B _{Ma}	30.57	1.41	-46.47	46.49	272	

Daten für Maximalfarbe (Ma):

$LAB^*LAB^*_{Ma}$: 49 66 32

$LAB^*LCH^*_{Ma}$: 49 74 25

$lab^*rgb^*_{Ma}$: 1.0 0.0 0.0

$lab^*olv^*_{Ma}$: 1.0 0.0 0.15

Dreiecks-Helligkeit t^*

%Umfang

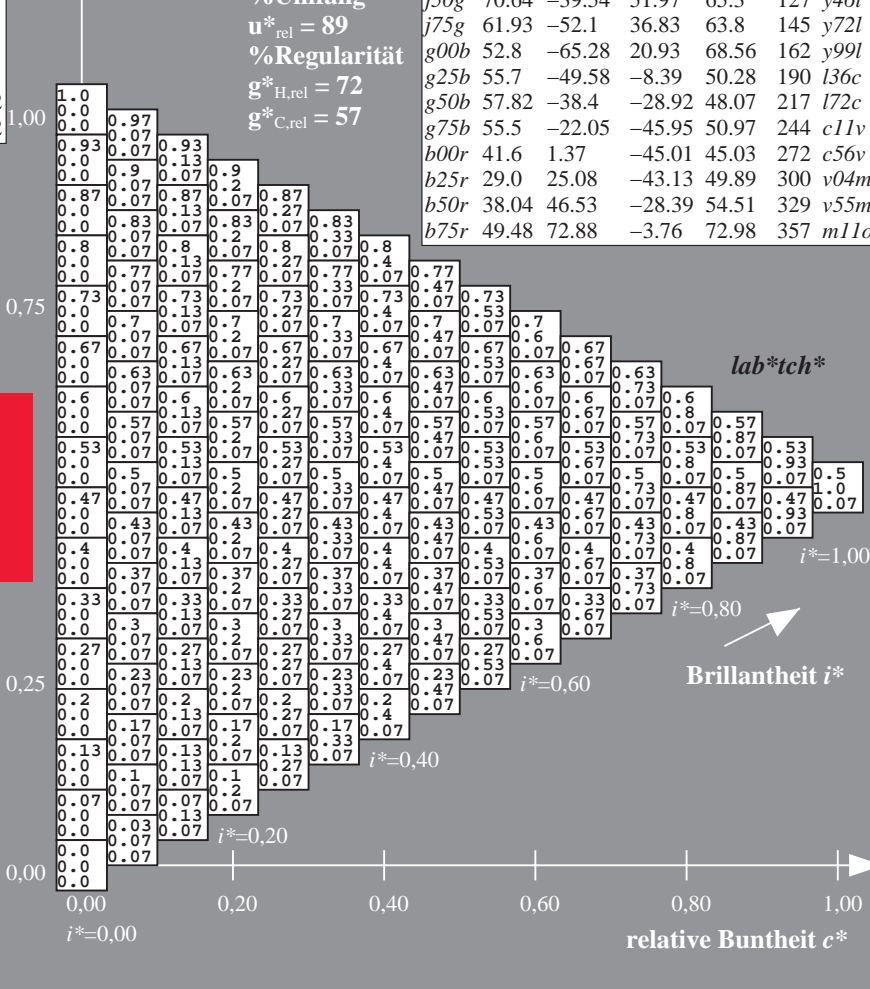
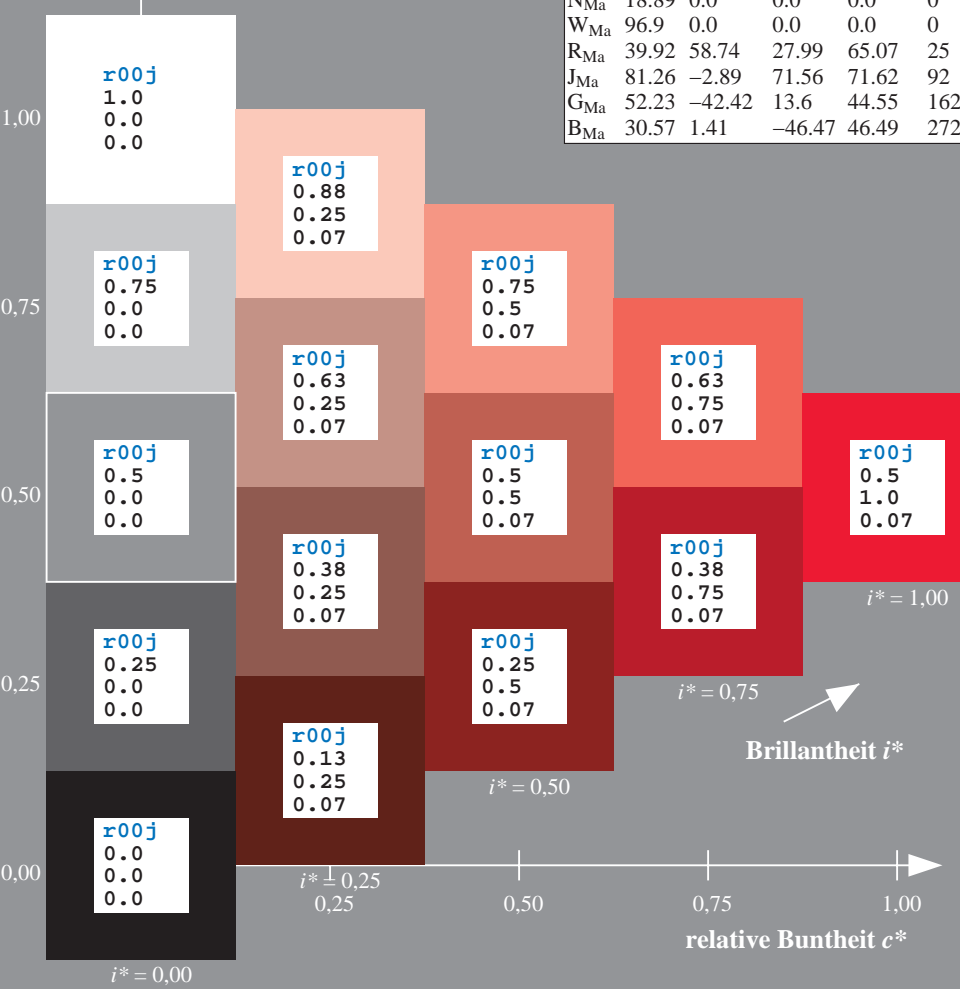
$u^*_{rel} = 89$

%Regularität

$g^*_{H,rel} = 72$

$g^*_{C,rel} = 57$

ORS19_96a; adaptierte CIELAB-Daten						
u^*_e	$L^*=L^*_a$	a^*_a	b^*_a	$C^*_{ab,a}$	$h^*_{ab,a}$	u^*_d
r00j	48.88	66.47	31.67	73.63	25	m84o
r25j	55.85	52.39	47.48	70.7	42	o17y
r50j	65.45	35.22	58.37	68.17	59	o42y
r75j	75.19	17.82	69.41	71.66	76	o67y
j00g	87.03	-3.35	82.83	82.9	92	o92y
j25g	80.72	-25.01	69.5	73.86	110	y20l
j50g	70.64	-39.54	51.97	65.3	127	y46l
j75g	61.93	-52.1	36.83	63.8	145	y72l
g00b	52.8	-65.28	20.93	68.56	162	y99l
g25b	55.7	-49.58	-8.39	50.28	190	l36c
g50b	57.82	-38.4	-28.92	48.07	217	l72c
g75b	55.5	-22.05	-45.95	50.97	244	c11v
b00r	41.6	1.37	-45.01	45.03	272	c56v
b25r	29.0	25.08	-43.13	49.89	300	v04m
b50r	38.04	46.53	-28.39	54.51	329	v55m
b75r	49.48	72.88	-3.76	72.98	357	m11o



Ein und Ausgabe: Farbmetrisches Drucker-Reflektiv-System ORS19_96a für relativen CIELAB-Buntton $h^* = lab^*h^* = h_{ab}/360 = 0.117$

Daten für jede Farbe:

lab^*tch^* und lab^*icu^*

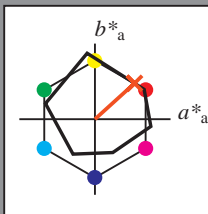
Bunttontexte:

$u^*_e = r25j$ $u^*_d = o17y$

Kontrastreduzierungsfaktor:

$c_R = 1.0$

Dreiecks-Helligkeit i^*



ORS19_96a; adaptierte CIELAB-Daten

u^*_e	$L^*=L^*_a$	a^*_a	b^*_a	$C^*_{ab,a}$	$h^*_{ab,a}$
O _{Ma}	48.75	65.07	39.43	76.08	31
Y _{Ma}	90.92	-10.29	87.24	87.85	97
L _{Ma}	52.69	-65.44	20.75	68.65	162
C _{Ma}	59.61	-28.98	-46.22	54.56	238
V _{Ma}	28.39	23.63	-44.13	50.06	298
M _{Ma}	49.58	73.93	-9.56	74.55	353
N _{Ma}	18.89	0.0	0.0	0.0	0
W _{Ma}	96.9	0.0	0.0	0.0	0
R _{Ma}	39.92	58.74	27.99	65.07	25
J _{Ma}	81.26	-2.89	71.56	71.62	92
G _{Ma}	52.23	-42.42	13.6	44.55	162
B _{Ma}	30.57	1.41	-46.47	46.49	272

Daten für Maximalfarbe (Ma):

$LAB^*LAB^*_{Ma}$: 56 52 47

$LAB^*LCH^*_{Ma}$: 56 71 42

$lab^*rgb^*_{Ma}$: 1.0 0.25 0.0

$lab^*olv^*_{Ma}$: 1.0 0.17 0.0

Dreiecks-Helligkeit i^*

%Umfang

$u^*_{rel} = 89$

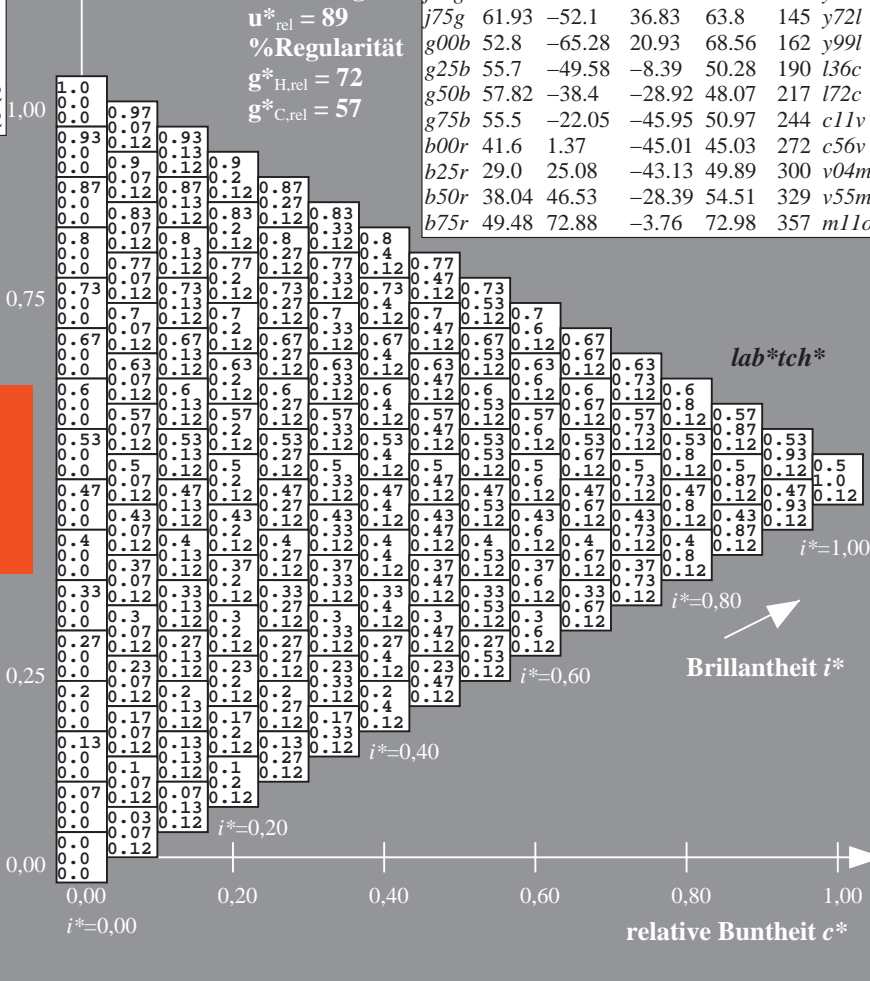
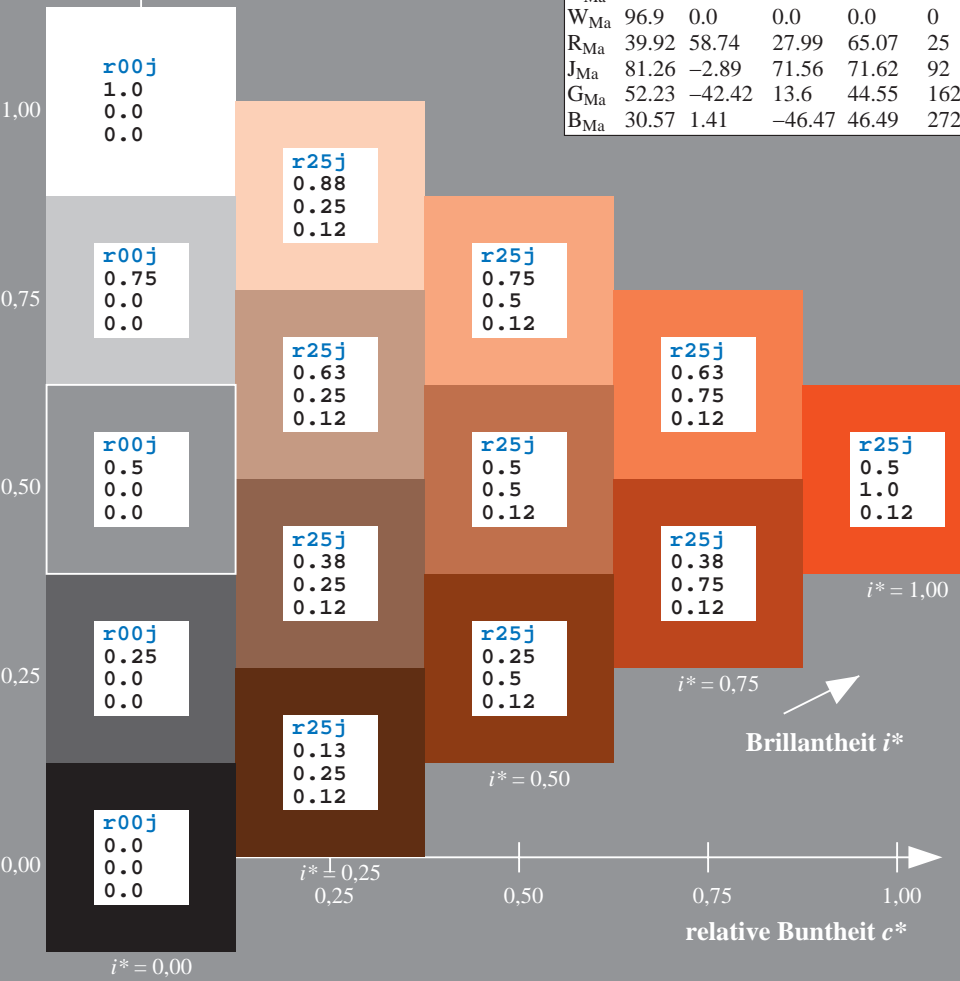
%Regularität

$g^*_{H,rel} = 72$

$g^*_{C,rel} = 57$

ORS19_96a; adaptierte CIELAB-Daten

u^*_e	$L^*=L^*_a$	a^*_a	b^*_a	$C^*_{ab,a}$	$h^*_{ab,a}$	u^*_d
r00j	48.88	66.47	31.67	73.63	25	m84o
r25j	55.85	52.39	47.48	70.7	42	o17y
r50j	65.45	35.22	58.37	68.17	59	o42y
r75j	75.19	17.82	69.41	71.66	76	o67y
j00g	87.03	-3.35	82.83	82.9	92	o92y
j25g	80.72	-25.01	69.5	73.86	110	y20l
j50g	70.64	-39.54	51.97	65.3	127	y46l
j75g	61.93	-52.1	36.83	63.8	145	y72l
g00b	52.8	-65.28	20.93	68.56	162	y99l
g25b	55.7	-49.58	-8.39	50.28	190	l36c
g50b	57.82	-38.4	-28.92	48.07	217	l72c
g75b	55.5	-22.05	-45.95	50.97	244	c11v
b00r	41.6	1.37	-45.01	45.03	272	c56v
b25r	29.0	25.08	-43.13	49.89	300	v04m
b50r	38.04	46.53	-28.39	54.51	329	v55m
b75r	49.48	72.88	-3.76	72.98	357	m11o



Ein und Ausgabe: Farbmimetrisches Drucker-Reflektiv-System ORS19_96a für relativen CIELAB-Buntton $h^* = \text{lab}^*h^* = h_{ab}/360 = 0.164$

Daten für jede Farbe:

lab^*tch^* und lab^*icu^*

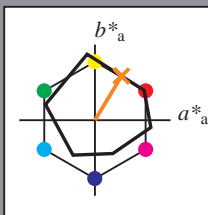
Bunttontexte:

$u^*_e = r50j$ $u^*_d = o42y$

Kontrastreduzierungsfaktor:

$c_R = 1.0$

Dreiecks-Helligkeit t^*



ORS19_96a; adaptierte CIELAB-Daten

	u^*_e	$L^*=L^*_a$	a^*_a	b^*_a	$C^*_{ab,a}$	$h^*_{ab,a}$
O _{Ma}	48.75	65.07	39.43	76.08	31	
Y _{Ma}	90.92	-10.29	87.24	87.85	97	
L _{Ma}	52.69	-65.44	20.75	68.65	162	
C _{Ma}	59.61	-28.98	-46.22	54.56	238	
V _{Ma}	28.39	23.63	-44.13	50.06	298	
M _{Ma}	49.58	73.93	-9.56	74.55	353	
N _{Ma}	18.89	0.0	0.0	0.0	0	
W _{Ma}	96.9	0.0	0.0	0.0	0	
R _{Ma}	39.92	58.74	27.99	65.07	25	
J _{Ma}	81.26	-2.89	71.56	71.62	92	
G _{Ma}	52.23	-42.42	13.6	44.55	162	
B _{Ma}	30.57	1.41	-46.47	46.49	272	

Daten für Maximalfarbe (Ma):

$\text{LAB}^*\text{LAB}^*_{\text{Ma}}$: 65 35 58

$\text{LAB}^*\text{LCH}^*_{\text{Ma}}$: 65 68 58

$\text{lab}^*\text{rgb}^*_{\text{Ma}}$: 1.0 0.5 0.0

$\text{lab}^*\text{olv}^*_{\text{Ma}}$: 1.0 0.42 0.0

Dreiecks-Helligkeit t^*

%Umfang

$u^*_{\text{rel}} = 89$

%Regularität

$g^*_{H,\text{rel}} = 72$

$g^*_{C,\text{rel}} = 57$

ORS19_96a; adaptierte CIELAB-Daten

	u^*_e	$L^*=L^*_a$	a^*_a	b^*_a	$C^*_{ab,a}$	$h^*_{ab,a}$	u^*_d
r00j	48.88	66.47	31.67	73.63	25	m84o	
r25j	55.85	52.39	47.48	70.7	42	o17y	
r50j	65.45	35.22	58.37	68.17	59	o42y	
r75j	75.19	17.82	69.41	71.66	76	o67y	
j00g	87.03	-3.35	82.83	82.9	92	o92y	
j25g	80.72	-25.01	69.5	73.86	110	y20l	
j50g	70.64	-39.54	51.97	65.3	127	y46l	
j75g	61.93	-52.1	36.83	63.8	145	y72l	
g00b	52.8	-65.28	20.93	68.56	162	y99l	
g25b	55.7	-49.58	-8.39	50.28	190	l36c	
g50b	57.82	-38.4	-28.92	48.07	217	l72c	
g75b	55.5	-22.05	-45.95	50.97	244	c11v	
b00r	41.6	1.37	-45.01	45.03	272	c56v	
b25r	29.0	25.08	-43.13	49.89	300	v04m	
b50r	38.04	46.53	-28.39	54.51	329	v55m	
b75r	49.48	72.88	-3.76	72.98	357	m11o	

lab^*tch^*

$i^* = 1.00$

Brillantheit i^*

$i^* = 0.80$

$i^* = 0.60$

$i^* = 0.40$

$i^* = 0.20$

Ein und Ausgabe: Farbmetrisches Drucker-Reflektiv-System ORS19_96a für relativen CIELAB-Buntton $h^* = lab^*h^* = h_{ab}/360 = 0.21$

Daten für jede Farbe:

lab^*tch^* und lab^*icu^*

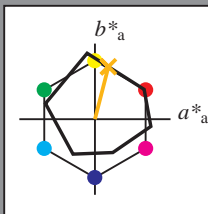
Bunttontexte:

$u^*_e = r75j$ $u^*_d = o67y$

Kontrastreduzierungsfaktor:

$c_R = 1.0$

Dreiecks-Helligkeit i^*



ORS19_96a; adaptierte CIELAB-Daten

u^*_e	$L^*=L^*_a$	a^*_a	b^*_a	$C^*_{ab,a}$	$h^*_{ab,a}$
O _{Ma}	48.75	65.07	39.43	76.08	31
Y _{Ma}	90.92	-10.29	87.24	87.85	97
L _{Ma}	52.69	-65.44	20.75	68.65	162
C _{Ma}	59.61	-28.98	-46.22	54.56	238
V _{Ma}	28.39	23.63	-44.13	50.06	298
M _{Ma}	49.58	73.93	-9.56	74.55	353
N _{Ma}	18.89	0.0	0.0	0.0	0
W _{Ma}	96.9	0.0	0.0	0.0	0
R _{Ma}	39.92	58.74	27.99	65.07	25
J _{Ma}	81.26	-2.89	71.56	71.62	92
G _{Ma}	52.23	-42.42	13.6	44.55	162
B _{Ma}	30.57	1.41	-46.47	46.49	272

Daten für Maximalfarbe (Ma):

$LAB^*LAB^*_{Ma}$: 75 18 69

$LAB^*LCH^*_{Ma}$: 75 72 75

$lab^*rgb^*_{Ma}$: 1.0 0.75 0.0

$lab^*olv^*_{Ma}$: 1.0 0.68 0.0

Dreiecks-Helligkeit i^*

%Umfang

$u^*_{rel} = 89$

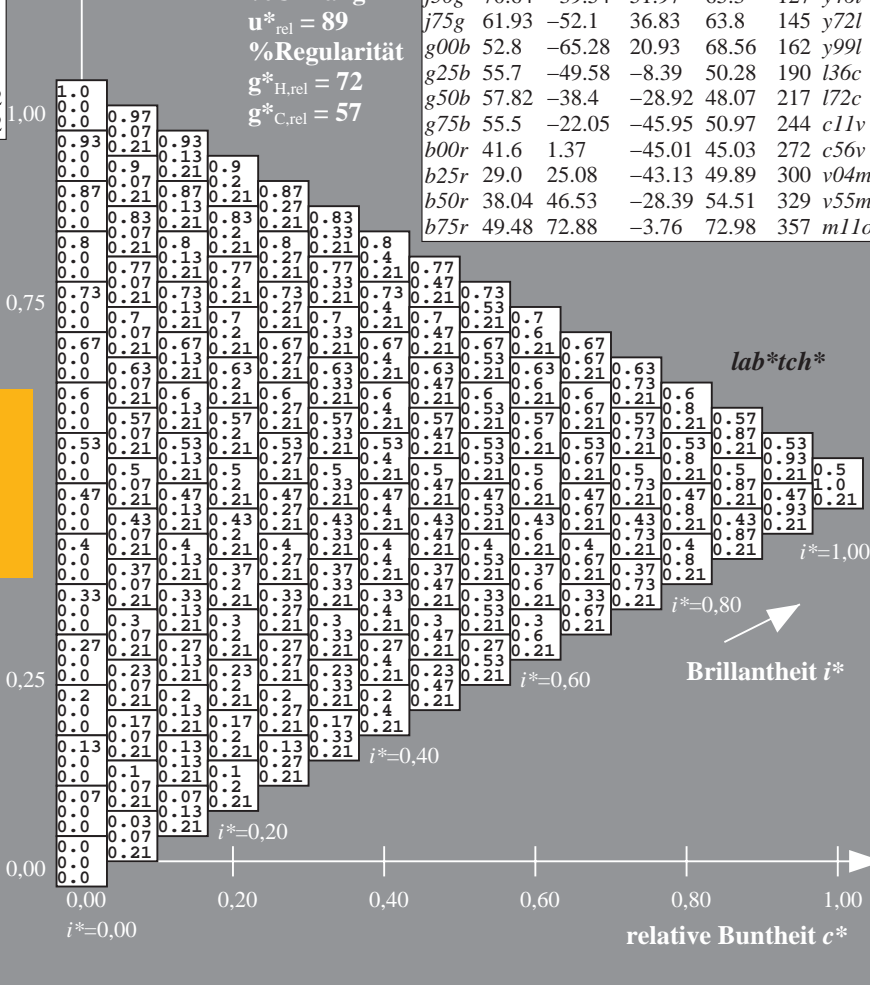
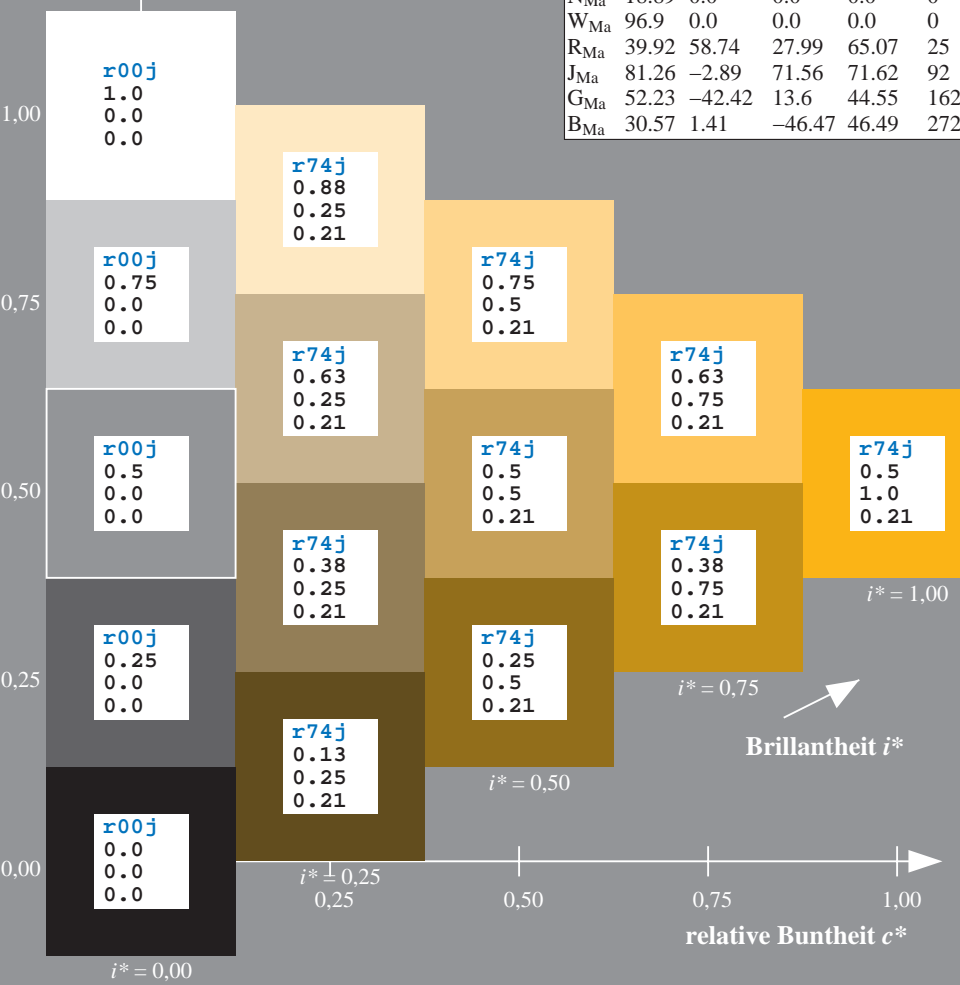
%Regularität

$g^*_{H,rel} = 72$

$g^*_{C,rel} = 57$

ORS19_96a; adaptierte CIELAB-Daten

u^*_e	$L^*=L^*_a$	a^*_a	b^*_a	$C^*_{ab,a}$	$h^*_{ab,a}$	u^*_d
r00j	48.88	66.47	31.67	73.63	25	m84o
r25j	55.85	52.39	47.48	70.7	42	o17y
r50j	65.45	35.22	58.37	68.17	59	o42y
r75j	75.19	17.82	69.41	71.66	76	o67y
j00g	87.03	-3.35	82.83	82.9	92	o92y
j25g	80.72	-25.01	69.5	73.86	110	y20l
j50g	70.64	-39.54	51.97	65.3	127	y46l
j75g	61.93	-52.1	36.83	63.8	145	y72l
g00b	52.8	-65.28	20.93	68.56	162	y99l
g25b	55.7	-49.58	-8.39	50.28	190	l36c
g50b	57.82	-38.4	-28.92	48.07	217	l72c
g75b	55.5	-22.05	-45.95	50.97	244	c11v
b00r	41.6	1.37	-45.01	45.03	272	c56v
b25r	29.0	25.08	-43.13	49.89	300	v04m
b50r	38.04	46.53	-28.39	54.51	329	v55m
b75r	49.48	72.88	-3.76	72.98	357	m11o



Ein und Ausgabe: Farbmetrisches Drucker-Reflektiv-System ORS19_96a für relativen CIELAB-Buntton $h^* = lab^*h^* = h_{ab}/360 = 0.256$

Daten für jede Farbe:

lab^*tch^* und lab^*icu^*

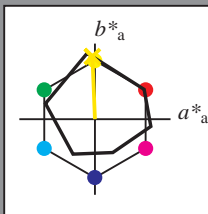
Bunttontexte:

$u^*_e = j00g$ $u^*_d = o92y$

Kontrastreduzierungsfaktor:

$c_R = 1.0$

Dreiecks-Helligkeit i^*



ORS19_96a; adaptierte CIELAB-Daten

u^*_e	$L^*=L^*_a$	a^*_a	b^*_a	$C^*_{ab,a}$	$h^*_{ab,a}$
O _{Ma}	48.75	65.07	39.43	76.08	31
Y _{Ma}	90.92	-10.29	87.24	87.85	97
L _{Ma}	52.69	-65.44	20.75	68.65	162
C _{Ma}	59.61	-28.98	-46.22	54.56	238
V _{Ma}	28.39	23.63	-44.13	50.06	298
M _{Ma}	49.58	73.93	-9.56	74.55	353
N _{Ma}	18.89	0.0	0.0	0.0	0
W _{Ma}	96.9	0.0	0.0	0.0	0
R _{Ma}	39.92	58.74	27.99	65.07	25
J _{Ma}	81.26	-2.89	71.56	71.62	92
G _{Ma}	52.23	-42.42	13.6	44.55	162
B _{Ma}	30.57	1.41	-46.47	46.49	272

Daten für Maximalfarbe (Ma):

$LAB^*LAB^*_{Ma}$: 87 -3 83

$LAB^*LCH^*_{Ma}$: 87 83 92

$lab^*rgb^*_{Ma}$: 1.0 1.0 0.0

$lab^*olv^*_{Ma}$: 1.0 0.93 0.0

Dreiecks-Helligkeit i^*

%Umfang

$u^*_{rel} = 89$

%Regularität

$g^*_{H,rel} = 72$

$g^*_{C,rel} = 57$

ORS19_96a; adaptierte CIELAB-Daten

u^*_e	$L^*=L^*_a$	a^*_a	b^*_a	$C^*_{ab,a}$	$h^*_{ab,a}$	u^*_d
r00j	48.88	66.47	31.67	73.63	25	m84o
r25j	55.85	52.39	47.48	70.7	42	o17y
r50j	65.45	35.22	58.37	68.17	59	o42y
r75j	75.19	17.82	69.41	71.66	76	o67y
j00g	87.03	-3.35	82.83	82.9	92	o92y
j25g	80.72	-25.01	69.5	73.86	110	y20l
j50g	70.64	-39.54	51.97	65.3	127	y46l
j75g	61.93	-52.1	36.83	63.8	145	y72l
g00b	52.8	-65.28	20.93	68.56	162	y99l
g25b	55.7	-49.58	-8.39	50.28	190	l36c
g50b	57.82	-38.4	-28.92	48.07	217	l72c
g75b	55.5	-22.05	-45.95	50.97	244	c11v
b00r	41.6	1.37	-45.01	45.03	272	c56v
b25r	29.0	25.08	-43.13	49.89	300	v04m
b50r	38.04	46.53	-28.39	54.51	329	v55m
b75r	49.48	72.88	-3.76	72.98	357	m11o

lab^*tch^*

$i^* = 1.00$

Brillantheit i^*

$i^* = 0.80$

$i^* = 0.60$

$i^* = 0.40$

$i^* = 0.20$

Ein und Ausgabe: Farbmimetrisches Drucker-Reflektiv-System ORS19_96a für relativen CIELAB-Buntton $h^* = \text{lab}^*h^* = h_{ab}/360 = 0.305$

Daten für jede Farbe:

lab^*tch^* und lab^*icu^*

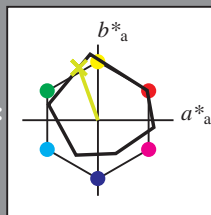
Bunttontexte:

$u^*_e = j25g$ $u^*_d = y20l$

Kontrastreduzierungsfaktor:

$c_R = 1.0$

Dreiecks-Helligkeit i^*



ORS19_96a; adaptierte CIELAB-Daten

	u^*_e	$L^*=L^*_a$	a^*_a	b^*_a	$C^*_{ab,a}$	$h^*_{ab,a}$
O _{Ma}	48.75	65.07	39.43	76.08	31	
Y _{Ma}	90.92	-10.29	87.24	87.85	97	
L _{Ma}	52.69	-65.44	20.75	68.65	162	
C _{Ma}	59.61	-28.98	-46.22	54.56	238	
V _{Ma}	28.39	23.63	-44.13	50.06	298	
M _{Ma}	49.58	73.93	-9.56	74.55	353	
N _{Ma}	18.89	0.0	0.0	0.0	0	
W _{Ma}	96.9	0.0	0.0	0.0	0	
R _{Ma}	39.92	58.74	27.99	65.07	25	
J _{Ma}	81.26	-2.89	71.56	71.62	92	
G _{Ma}	52.23	-42.42	13.6	44.55	162	
B _{Ma}	30.57	1.41	-46.47	46.49	272	

Daten für Maximalfarbe (Ma):

$\text{LAB}^*\text{LAB}^*_{\text{Ma}}$: 81 -25 69

$\text{LAB}^*\text{LCH}^*_{\text{Ma}}$: 81 74 109

$\text{lab}^*\text{rgb}^*_{\text{Ma}}$: 0.75 1.0 0.0

$\text{lab}^*\text{olv}^*_{\text{Ma}}$: 0.8 1.0 0.0

Dreiecks-Helligkeit i^*

%Umfang

$u^*_{\text{rel}} = 89$

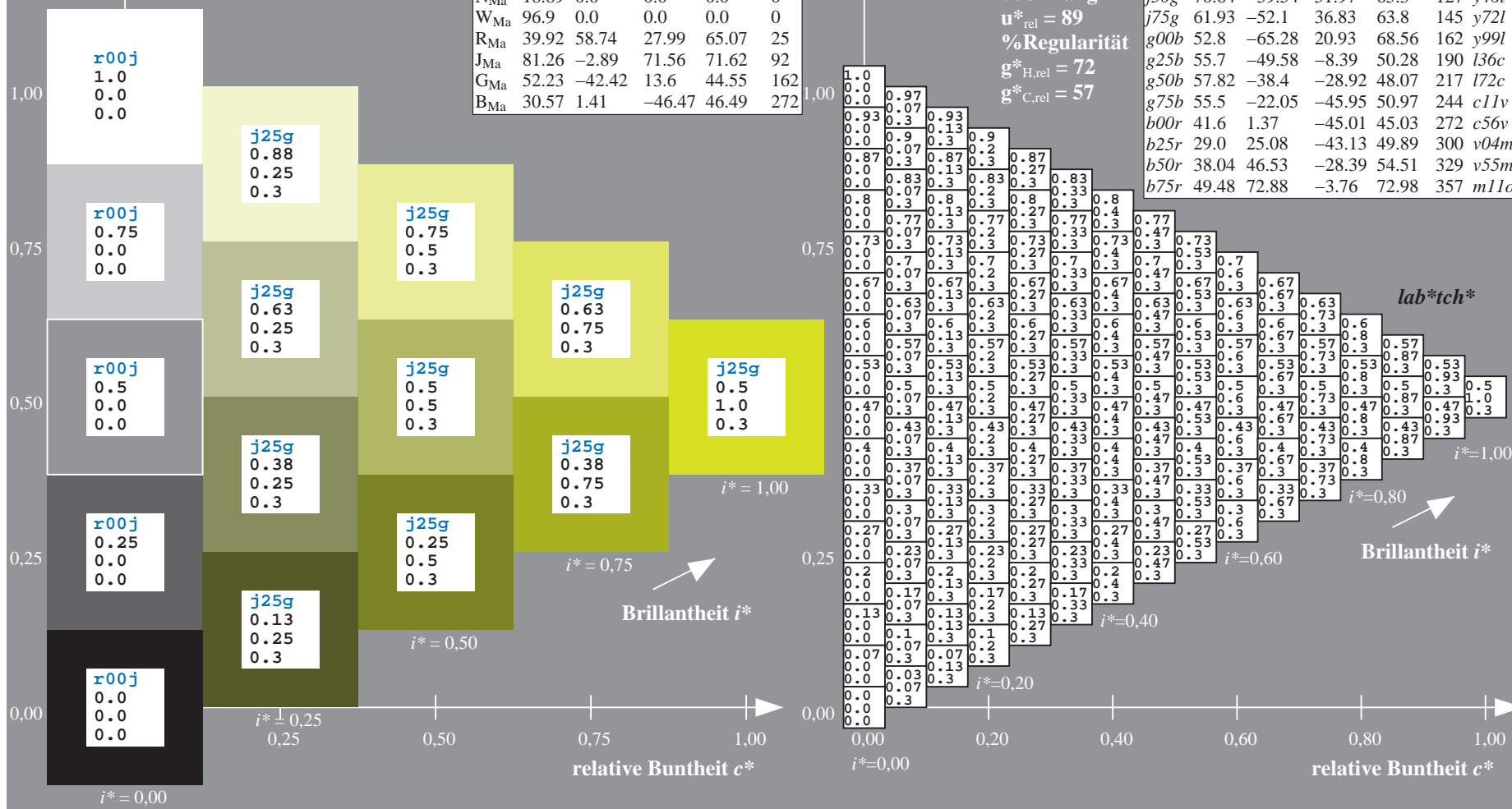
%Regularität

$g^*_{H,\text{rel}} = 72$

$g^*_{C,\text{rel}} = 57$

ORS19_96a; adaptierte CIELAB-Daten

	u^*_e	$L^*=L^*_a$	a^*_a	b^*_a	$C^*_{ab,a}$	$h^*_{ab,a}$	u^*_d
r00j	48.88	66.47	31.67	73.63	25	m84o	
r25j	55.85	52.39	47.48	70.7	42	o17y	
r50j	65.45	35.22	58.37	68.17	59	o42y	
r75j	75.19	17.82	69.41	71.66	76	o67y	
j00g	87.03	-3.35	82.83	82.9	92	o92y	
j25g	80.72	-25.01	69.5	73.86	110	y20l	
j50g	70.64	-39.54	51.97	65.3	127	y46l	
j75g	61.93	-52.1	36.83	63.8	145	y72l	
g00b	52.8	-65.28	20.93	68.56	162	y99l	
g25b	55.7	-49.58	-8.39	50.28	190	l36c	
g50b	57.82	-38.4	-28.92	48.07	217	l72c	
g75b	55.5	-22.05	-45.95	50.97	244	c11v	
b00r	41.6	1.37	-45.01	45.03	272	c56v	
b25r	29.0	25.08	-43.13	49.89	300	v04m	
b50r	38.04	46.53	-28.39	54.51	329	v55m	
b75r	49.48	72.88	-3.76	72.98	357	m11o	



Ein und Ausgabe: Farbmimetrisches Drucker-Reflektiv-System ORS19_96a für relativen CIELAB-Buntton $h^* = \text{lab}^*h^* = h_{ab}/360 = 0.354$

Daten für jede Farbe:

lab^*tch^* und lab^*icu^*

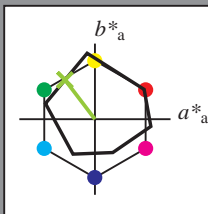
Bunttontexte:

$u^*_e = j50g$ $u^*_d = y46l$

Kontrastreduzierungsfaktor:

$c_R = 1.0$

Dreiecks-Helligkeit i^*



ORS19_96a; adaptierte CIELAB-Daten

	u^*_e	$L^*=L^*_a$	a^*_a	b^*_a	$C^*_{ab,a}$	$h^*_{ab,a}$
O _{Ma}	48.75	65.07	39.43	76.08	31	
Y _{Ma}	90.92	-10.29	87.24	87.85	97	
L _{Ma}	52.69	-65.44	20.75	68.65	162	
C _{Ma}	59.61	-28.98	-46.22	54.56	238	
V _{Ma}	28.39	23.63	-44.13	50.06	298	
M _{Ma}	49.58	73.93	-9.56	74.55	353	
N _{Ma}	18.89	0.0	0.0	0.0	0	
W _{Ma}	96.9	0.0	0.0	0.0	0	
R _{Ma}	39.92	58.74	27.99	65.07	25	
J _{Ma}	81.26	-2.89	71.56	71.62	92	
G _{Ma}	52.23	-42.42	13.6	44.55	162	
B _{Ma}	30.57	1.41	-46.47	46.49	272	

Daten für Maximalfarbe (Ma):

$\text{LAB}^*\text{LAB}^*_{Ma}$: 71 -40 52

$\text{LAB}^*\text{LCH}^*_{Ma}$: 71 65 127

$\text{lab}^*\text{rgb}^*_{Ma}$: 0.5 1.0 0.0

$\text{lab}^*\text{olv}^*_{Ma}$: 0.54 1.0 0.0

Dreiecks-Helligkeit i^*

%Umfang

$u^*_{rel} = 89$

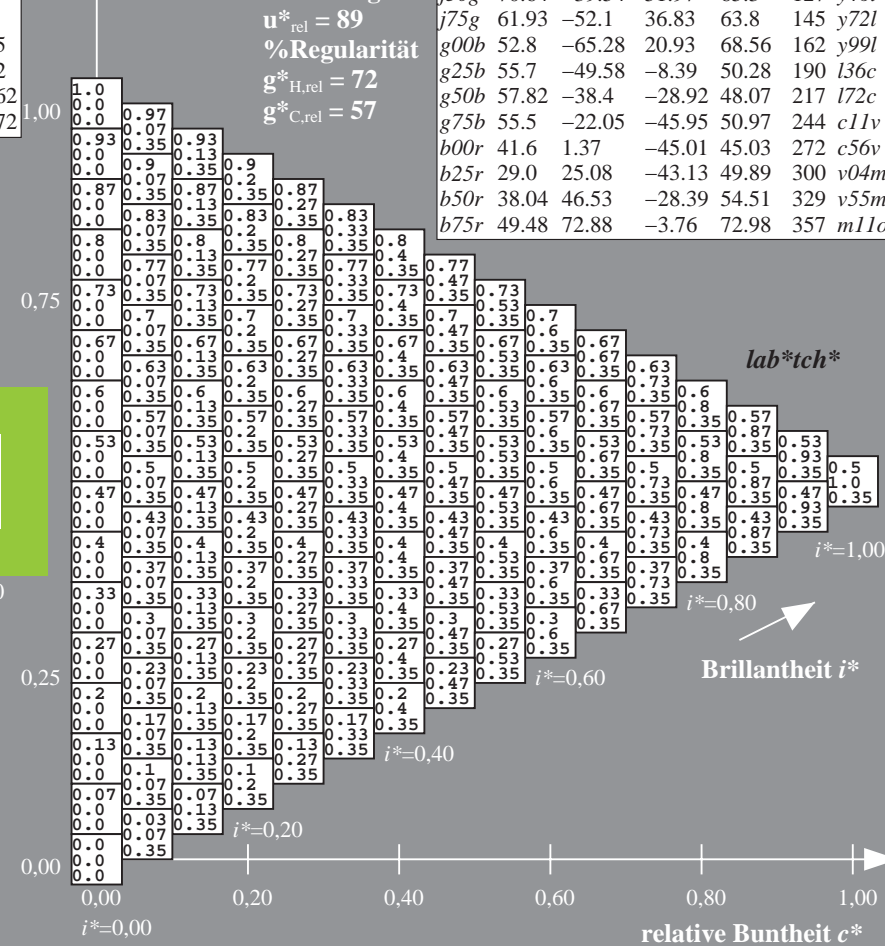
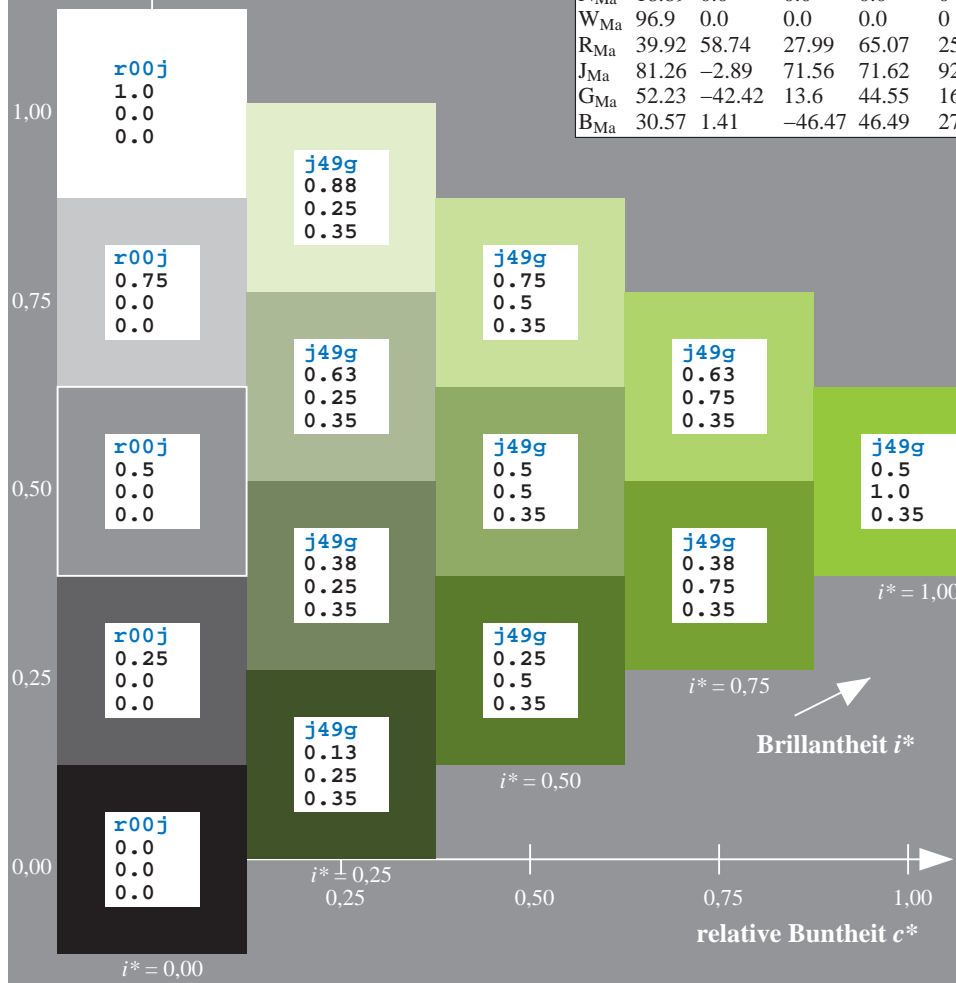
%Regularität

$g^*_{H,rel} = 72$

$g^*_{C,rel} = 57$

ORS19_96a; adaptierte CIELAB-Daten

	u^*_e	$L^*=L^*_a$	a^*_a	b^*_a	$C^*_{ab,a}$	$h^*_{ab,a}$	u^*_d
r00j	48.88	66.47	31.67	73.63	25	m84o	
r25j	55.85	52.39	47.48	70.7	42	o17y	
r50j	65.45	35.22	58.37	68.17	59	o42y	
r75j	75.19	17.82	69.41	71.66	76	o67y	
j00g	87.03	-3.35	82.83	82.9	92	o92y	
j25g	80.72	-25.01	69.5	73.86	110	y20l	
j50g	70.64	-39.54	51.97	65.3	127	y46l	
j75g	61.93	-52.1	36.83	63.8	145	y72l	
g00b	52.8	-65.28	20.93	68.56	162	y99l	
g25b	55.7	-49.58	-8.39	50.28	190	l36c	
g50b	57.82	-38.4	-28.92	48.07	217	l72c	
g75b	55.5	-22.05	-45.95	50.97	244	c11v	
b00r	41.6	1.37	-45.01	45.03	272	c56v	
b25r	29.0	25.08	-43.13	49.89	300	v04m	
b50r	38.04	46.53	-28.39	54.51	329	v55m	
b75r	49.48	72.88	-3.76	72.98	357	m11o	



Ein und Ausgabe: Farbmetrisches Drucker-Reflektiv-System ORS19_96a für relativen CIELAB-Buntton $h^* = lab^*h^* = h_{ab}/360 = 0.402$

Daten für jede Farbe:

lab^*tch^* und lab^*icu^*

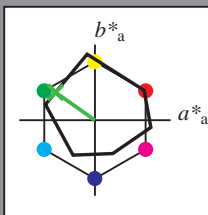
Bunttontexte:

$u^*_e = j75g$ $u^*_d = y72l$

Kontrastreduzierungsfaktor:

$c_R = 1.0$

Dreiecks-Helligkeit i^*



ORS19_96a; adaptierte CIELAB-Daten

	u^*_e	$L^*=L^*_a$	a^*_a	b^*_a	$C^*_{ab,a}$	$h^*_{ab,a}$
O _{Ma}	48.75	65.07	39.43	76.08	31	
Y _{Ma}	90.92	-10.29	87.24	87.85	97	
L _{Ma}	52.69	-65.44	20.75	68.65	162	
C _{Ma}	59.61	-28.98	-46.22	54.56	238	
V _{Ma}	28.39	23.63	-44.13	50.06	298	
M _{Ma}	49.58	73.93	-9.56	74.55	353	
N _{Ma}	18.89	0.0	0.0	0.0	0	
W _{Ma}	96.9	0.0	0.0	0.0	0	
R _{Ma}	39.92	58.74	27.99	65.07	25	
J _{Ma}	81.26	-2.89	71.56	71.62	92	
G _{Ma}	52.23	-42.42	13.6	44.55	162	
B _{Ma}	30.57	1.41	-46.47	46.49	272	

Daten für Maximalfarbe (Ma):

$LAB^*LAB^*_{Ma}$: 62 -52 37

$LAB^*LCH^*_{Ma}$: 62 64 144

$lab^*rgb^*_{Ma}$: 0.25 1.0 0.0

$lab^*olv^*_{Ma}$: 0.27 1.0 0.0

Dreiecks-Helligkeit i^*

%Umfang

$u^*_{rel} = 89$

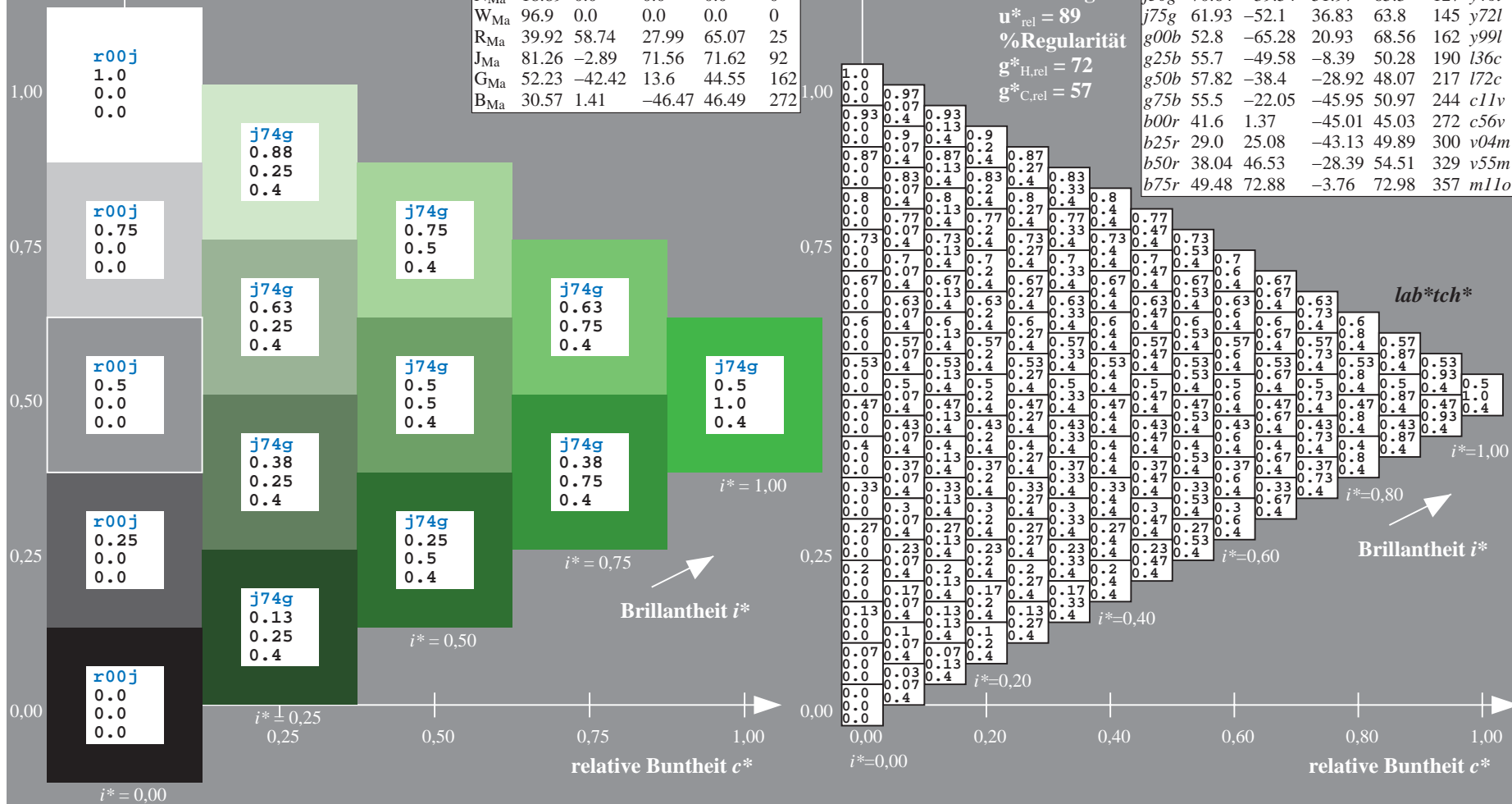
%Regularität

$g^*_{H,rel} = 72$

$g^*_{C,rel} = 57$

ORS19_96a; adaptierte CIELAB-Daten

	u^*_e	$L^*=L^*_a$	a^*_a	b^*_a	$C^*_{ab,a}$	$h^*_{ab,a}$	u^*_d
r00j	48.88	66.47	31.67	73.63	25	m84o	
r25j	55.85	52.39	47.48	70.7	42	o17y	
r50j	65.45	35.22	58.37	68.17	59	o42y	
r75j	75.19	17.82	69.41	71.66	76	o67y	
j00g	87.03	-3.35	82.83	82.9	92	o92y	
j25g	80.72	-25.01	69.5	73.86	110	y20l	
j50g	70.64	-39.54	51.97	65.3	127	y46l	
j75g	61.93	-52.1	36.83	63.8	145	y72l	
g00b	52.8	-65.28	20.93	68.56	162	y99l	
g25b	55.7	-49.58	-8.39	50.28	190	l36c	
g50b	57.82	-38.4	-28.92	48.07	217	l72c	
g75b	55.5	-22.05	-45.95	50.97	244	c11v	
b00r	41.6	1.37	-45.01	45.03	272	c56v	
b25r	29.0	25.08	-43.13	49.89	300	v04m	
b50r	38.04	46.53	-28.39	54.51	329	v55m	
b75r	49.48	72.88	-3.76	72.98	357	m11o	



Ein und Ausgabe: Farbmetrisches Drucker-Reflektiv-System ORS19_96a für relativen CIELAB-Buntton $h^* = lab^*h^* = h_{ab}/360 = 0.451$

Daten für jede Farbe:

lab^*tch^* und lab^*icu^*

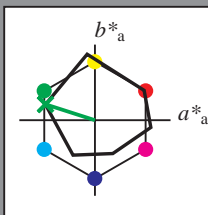
Bunttontexte:

$u^*_e = g00b$ $u^*_d = y99l$

Kontrastreduzierungsfaktor:

$c_R = 1.0$

Dreiecks-Helligkeit i^*



ORS19_96a; adaptierte CIELAB-Daten

	u^*_e	$L^*=L^*_a$	a^*_a	b^*_a	$C^*_{ab,a}$	$h^*_{ab,a}$
O _{Ma}	48.75	65.07	39.43	76.08	31	
Y _{Ma}	90.92	-10.29	87.24	87.85	97	
L _{Ma}	52.69	-65.44	20.75	68.65	162	
C _{Ma}	59.61	-28.98	-46.22	54.56	238	
V _{Ma}	28.39	23.63	-44.13	50.06	298	
M _{Ma}	49.58	73.93	-9.56	74.55	353	
N _{Ma}	18.89	0.0	0.0	0.0	0	
W _{Ma}	96.9	0.0	0.0	0.0	0	
R _{Ma}	39.92	58.74	27.99	65.07	25	
J _{Ma}	81.26	-2.89	71.56	71.62	92	
G _{Ma}	52.23	-42.42	13.6	44.55	162	
B _{Ma}	30.57	1.41	-46.47	46.49	272	

Daten für Maximalfarbe (Ma):

$LAB^*LAB^*_{Ma}$: 53 -65 21

$LAB^*LCH^*_{Ma}$: 53 69 162

$lab^*rgb^*_{Ma}$: 0.0 1.0 0.0

$lab^*olv^*_{Ma}$: 0.0 1.0 0.0

Dreiecks-Helligkeit i^*

%Umfang

$u^*_{rel} = 89$

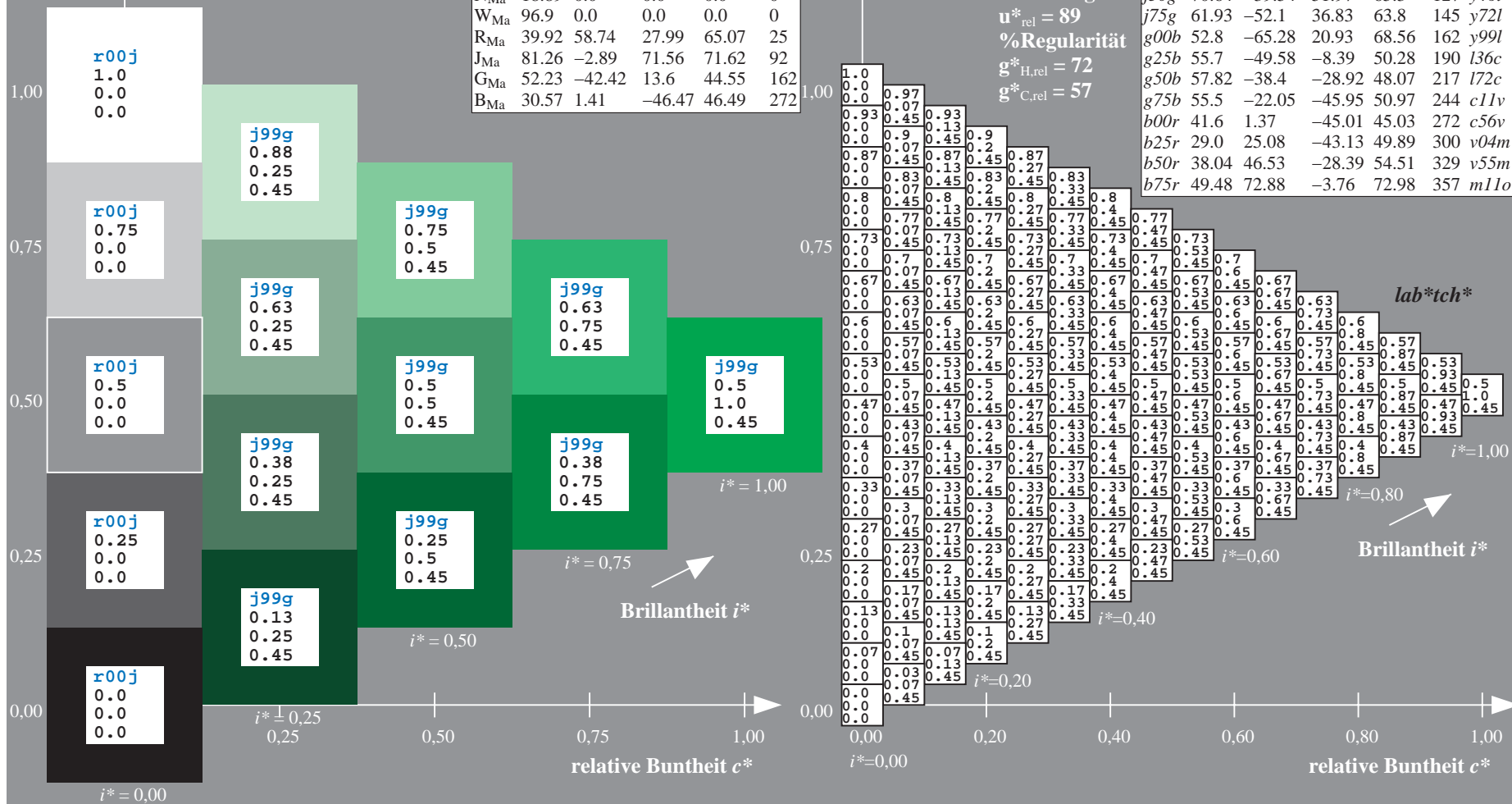
%Regularität

$g^*_{H,rel} = 72$

$g^*_{C,rel} = 57$

ORS19_96a; adaptierte CIELAB-Daten

	u^*_e	$L^*=L^*_a$	a^*_a	b^*_a	$C^*_{ab,a}$	$h^*_{ab,a}$	u^*_d
r00j	48.88	66.47	31.67	73.63	25	m84o	
r25j	55.85	52.39	47.48	70.7	42	o17y	
r50j	65.45	35.22	58.37	68.17	59	o42y	
r75j	75.19	17.82	69.41	71.66	76	o67y	
j00g	87.03	-3.35	82.83	82.9	92	o92y	
j25g	80.72	-25.01	69.5	73.86	110	y20l	
j50g	70.64	-39.54	51.97	65.3	127	y46l	
j75g	61.93	-52.1	36.83	63.8	145	y72l	
g00b	52.8	-65.28	20.93	68.56	162	y99l	
g25b	55.7	-49.58	-8.39	50.28	190	l36c	
g50b	57.82	-38.4	-28.92	48.07	217	l72c	
g75b	55.5	-22.05	-45.95	50.97	244	c11v	
b00r	41.6	1.37	-45.01	45.03	272	c56v	
b25r	29.0	25.08	-43.13	49.89	300	v04m	
b50r	38.04	46.53	-28.39	54.51	329	v55m	
b75r	49.48	72.88	-3.76	72.98	357	m11o	



Ein und Ausgabe: Farbmimetrisches Drucker-Reflektiv-System ORS19_96a für relativen CIELAB-Buntton $h^* = lab^*h^* = h_{ab}/360 = 0.527$

Daten für jede Farbe:

lab^*tch^* und lab^*icu^*

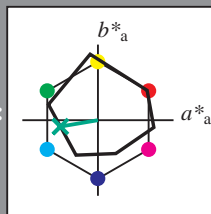
Bunttontexte:

$u^*_e = g25b$ $u^*_d = l36c$

Kontrastreduzierungsfaktor:

$c_R = 1.0$

Dreiecks-Helligkeit i^*



ORS19_96a; adaptierte CIELAB-Daten

u^*_e	$L^*=L^*_a$	a^*_a	b^*_a	$C^*_{ab,a}$	$h^*_{ab,a}$
O _{Ma}	48.75	65.07	39.43	76.08	31
Y _{Ma}	90.92	-10.29	87.24	87.85	97
L _{Ma}	52.69	-65.44	20.75	68.65	162
C _{Ma}	59.61	-28.98	-46.22	54.56	238
V _{Ma}	28.39	23.63	-44.13	50.06	298
M _{Ma}	49.58	73.93	-9.56	74.55	353
N _{Ma}	18.89	0.0	0.0	0.0	0
W _{Ma}	96.9	0.0	0.0	0.0	0
R _{Ma}	39.92	58.74	27.99	65.07	25
J _{Ma}	81.26	-2.89	71.56	71.62	92
G _{Ma}	52.23	-42.42	13.6	44.55	162
B _{Ma}	30.57	1.41	-46.47	46.49	272

Daten für Maximalfarbe (Ma):

$LAB^*LAB^*_{Ma}$: 56 -50 -8

$LAB^*LCH^*_{Ma}$: 56 50 189

$lab^*rgb^*_{Ma}$: 0.0 1.0 0.5

$lab^*olv^*_{Ma}$: 0.0 1.0 0.36

Dreiecks-Helligkeit i^*

%Umfang

$u^*_{rel} = 89$

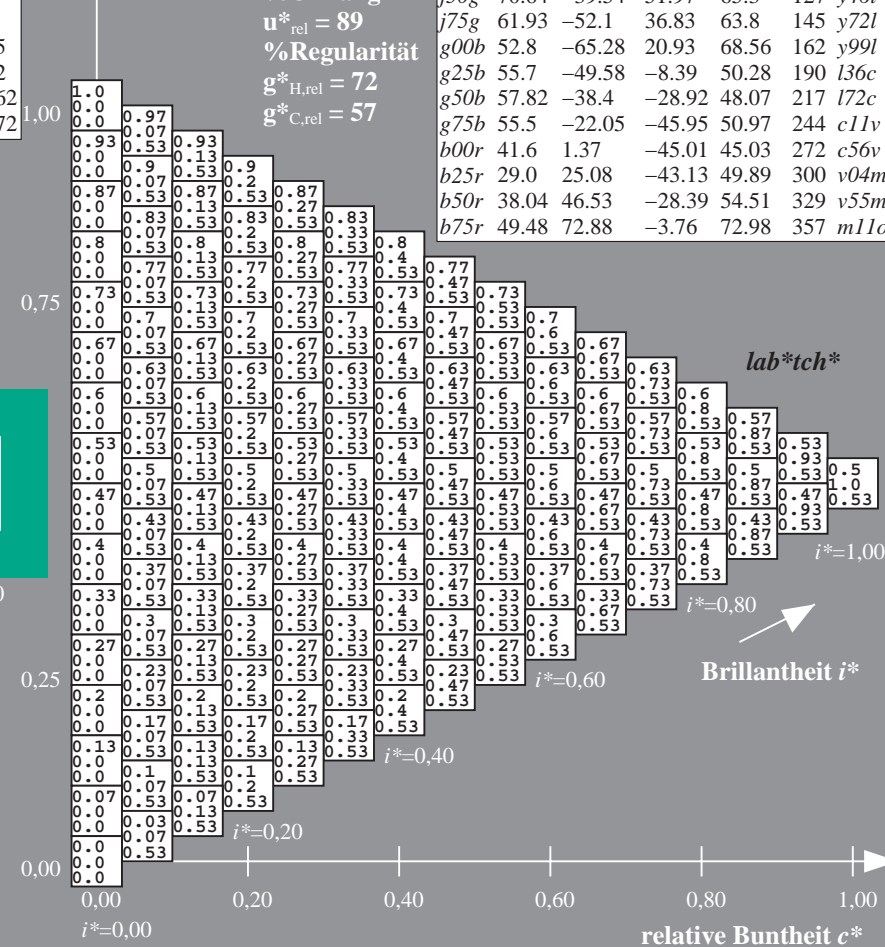
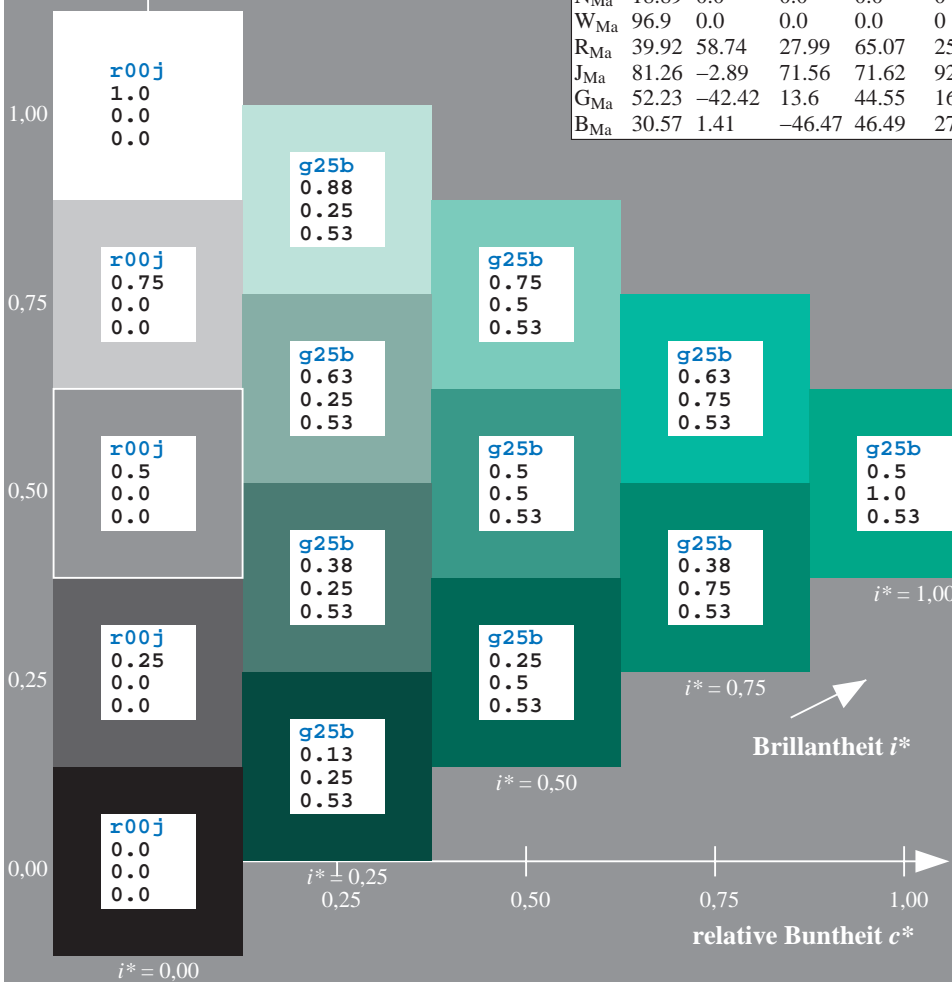
%Regularität

$g^*_{H,rel} = 72$

$g^*_{C,rel} = 57$

ORS19_96a; adaptierte CIELAB-Daten

u^*_e	$L^*=L^*_a$	a^*_a	b^*_a	$C^*_{ab,a}$	$h^*_{ab,a}$	u^*_d
r00j	48.88	66.47	31.67	73.63	25	m84o
r25j	55.85	52.39	47.48	70.7	42	o17y
r50j	65.45	35.22	58.37	68.17	59	o42y
r75j	75.19	17.82	69.41	71.66	76	o67y
j00g	87.03	-3.35	82.83	82.9	92	o92y
j25g	80.72	-25.01	69.5	73.86	110	y20l
j50g	70.64	-39.54	51.97	65.3	127	y46l
j75g	61.93	-52.1	36.83	63.8	145	y72l
g00b	52.8	-65.28	20.93	68.56	162	y99l
g25b	55.7	-49.58	-8.39	50.28	190	l36c
g50b	57.82	-38.4	-28.92	48.07	217	l72c
g75b	55.5	-22.05	-45.95	50.97	244	c11v
b00r	41.6	1.37	-45.01	45.03	272	c56v
b25r	29.0	25.08	-43.13	49.89	300	v04m
b50r	38.04	46.53	-28.39	54.51	329	v55m
b75r	49.48	72.88	-3.76	72.98	357	m11o



Ein und Ausgabe: Farbmimetrisches Drucker-Reflektiv-System ORS19_96a für relativen CIELAB-Buntton $h^* = lab^*h^* = h_{ab}/360 = 0.603$

Daten für jede Farbe:

lab^*tch^* und lab^*icu^*

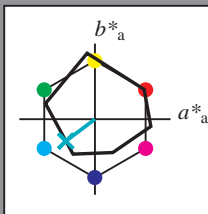
Bunttontexte:

$u^*_e = g50b$ $u^*_d = l72c$

Kontrastreduzierungsfaktor:

$c_R = 1.0$

Dreiecks-Helligkeit i^*



ORS19_96a; adaptierte CIELAB-Daten

	u^*_e	$L^*=L^*_a$	a^*_a	b^*_a	$C^*_{ab,a}$	$h^*_{ab,a}$
O _{Ma}	48.75	65.07	39.43	76.08	31	
Y _{Ma}	90.92	-10.29	87.24	87.85	97	
L _{Ma}	52.69	-65.44	20.75	68.65	162	
C _{Ma}	59.61	-28.98	-46.22	54.56	238	
V _{Ma}	28.39	23.63	-44.13	50.06	298	
M _{Ma}	49.58	73.93	-9.56	74.55	353	
N _{Ma}	18.89	0.0	0.0	0.0	0	
W _{Ma}	96.9	0.0	0.0	0.0	0	
R _{Ma}	39.92	58.74	27.99	65.07	25	
J _{Ma}	81.26	-2.89	71.56	71.62	92	
G _{Ma}	52.23	-42.42	13.6	44.55	162	
B _{Ma}	30.57	1.41	-46.47	46.49	272	

Daten für Maximalfarbe (Ma):

$LAB^*LAB^*_{Ma}$: 58 -38 -29

$LAB^*LCH^*_{Ma}$: 58 48 216

$lab^*rgb^*_{Ma}$: 0.0 1.0 1.0

$lab^*olv^*_{Ma}$: 0.0 1.0 0.72

Dreiecks-Helligkeit i^*

%Umfang

$u^*_{rel} = 89$

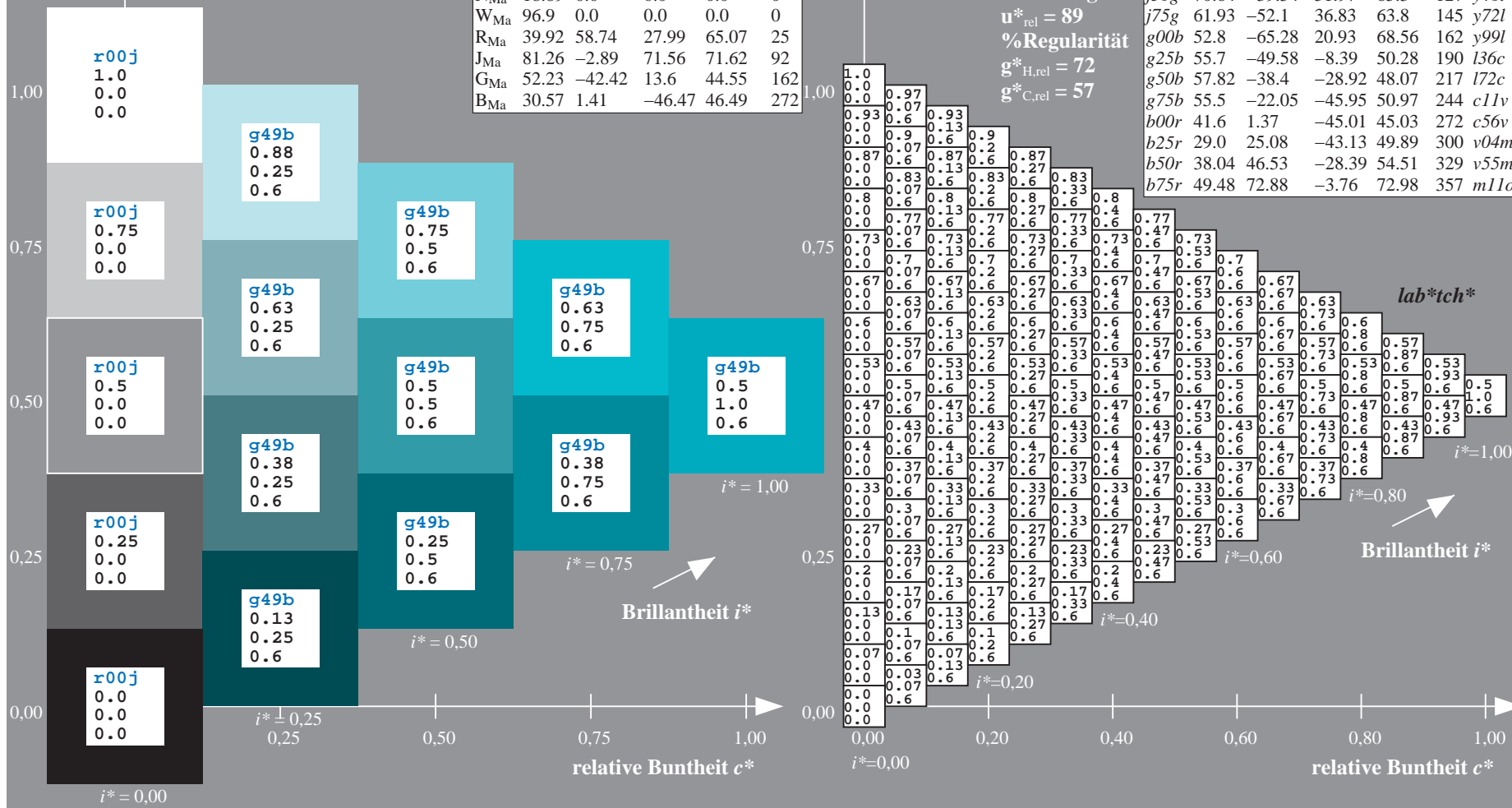
%Regularität

$g^*_{H,rel} = 72$

$g^*_{C,rel} = 57$

ORS19_96a; adaptierte CIELAB-Daten

	u^*_e	$L^*=L^*_a$	a^*_a	b^*_a	$C^*_{ab,a}$	$h^*_{ab,a}$	u^*_d
r00j	48.88	66.47	31.67	73.63	25	m84o	
r25j	55.85	52.39	47.48	70.7	42	o17y	
r50j	65.45	35.22	58.37	68.17	59	o42y	
r75j	75.19	17.82	69.41	71.66	76	o67y	
j00g	87.03	-3.35	82.83	82.9	92	o92y	
j25g	80.72	-25.01	69.5	73.86	110	y20l	
j50g	70.64	-39.54	51.97	65.3	127	y46l	
j75g	61.93	-52.1	36.83	63.8	145	y72l	
g00b	52.8	-65.28	20.93	68.56	162	y99l	
g25b	55.7	-49.58	-8.39	50.28	190	l36c	
g50b	57.82	-38.4	-28.92	48.07	217	l72c	
g75b	55.5	-22.05	-45.95	50.97	244	c11v	
b00r	41.6	1.37	-45.01	45.03	272	c56v	
b25r	29.0	25.08	-43.13	49.89	300	v04m	
b50r	38.04	46.53	-28.39	54.51	329	v55m	
b75r	49.48	72.88	-3.76	72.98	357	m11o	



Ein und Ausgabe: Farbmetrisches Drucker-Reflektiv-System ORS19_96a für relativen CIELAB-Buntton $h^* = lab^*h^* = h_{ab}/360 = 0.679$

Daten für jede Farbe:

lab^*tch^* und lab^*icu^*

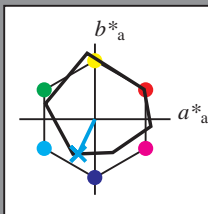
Bunttontexte:

$u^*_e = g75b$ $u^*_d = c11v$

Kontrastreduzierungsfaktor:

$c_R = 1.0$

Dreiecks-Helligkeit i^*



ORS19_96a; adaptierte CIELAB-Daten

	u^*_e	$L^*=L^*_a$	a^*_a	b^*_a	$C^*_{ab,a}$	$h^*_{ab,a}$
O _{Ma}	48.75	65.07	39.43	76.08	31	
Y _{Ma}	90.92	-10.29	87.24	87.85	97	
L _{Ma}	52.69	-65.44	20.75	68.65	162	
C _{Ma}	59.61	-28.98	-46.22	54.56	238	
V _{Ma}	28.39	23.63	-44.13	50.06	298	
M _{Ma}	49.58	73.93	-9.56	74.55	353	
N _{Ma}	18.89	0.0	0.0	0.0	0	
W _{Ma}	96.9	0.0	0.0	0.0	0	
R _{Ma}	39.92	58.74	27.99	65.07	25	
J _{Ma}	81.26	-2.89	71.56	71.62	92	
G _{Ma}	52.23	-42.42	13.6	44.55	162	
B _{Ma}	30.57	1.41	-46.47	46.49	272	

Daten für Maximalfarbe (Ma):

$LAB^*LAB^*_{Ma}$: 55 -22 -46

$LAB^*LCH^*_{Ma}$: 55 51 244

$lab^*rgb^*_{Ma}$: 0.0 0.5 1.0

$lab^*olv^*_{Ma}$: 0.0 0.89 1.0

Dreiecks-Helligkeit i^*

%Umfang

$u^*_{rel} = 89$

%Regularität

$g^*_{H,rel} = 72$

$g^*_{C,rel} = 57$

ORS19_96a; adaptierte CIELAB-Daten

	u^*_e	$L^*=L^*_a$	a^*_a	b^*_a	$C^*_{ab,a}$	$h^*_{ab,a}$	u^*_d
r00j	48.88	66.47	31.67	73.63	25	m84o	
r25j	55.85	52.39	47.48	70.7	42	o17y	
r50j	65.45	35.22	58.37	68.17	59	o42y	
r75j	75.19	17.82	69.41	71.66	76	o67y	
j00g	87.03	-3.35	82.83	82.9	92	o92y	
j25g	80.72	-25.01	69.5	73.86	110	y20l	
j50g	70.64	-39.54	51.97	65.3	127	y46l	
j75g	61.93	-52.1	36.83	63.8	145	y72l	
g00b	52.8	-65.28	20.93	68.56	162	y99l	
g25b	55.7	-49.58	-8.39	50.28	190	l36c	
g50b	57.82	-38.4	-28.92	48.07	217	l72c	
g75b	55.5	-22.05	-45.95	50.97	244	c11v	
b00r	41.6	1.37	-45.01	45.03	272	c56v	
b25r	29.0	25.08	-43.13	49.89	300	v04m	
b50r	38.04	46.53	-28.39	54.51	329	v55m	
b75r	49.48	72.88	-3.76	72.98	357	m11o	

lab^*tch^*

$i^* = 1.00$

Brillantheit i^*

$i^* = 0.80$

$i^* = 0.60$

$i^* = 0.40$

$i^* = 0.20$

$i^* = 0.00$

Ein und Ausgabe: Farbmimetrisches Drucker-Reflektiv-System ORS19_96a für relativen CIELAB-Buntton $h^* = lab^*h^* = h_{ab}/360 = 0.755$

Daten für jede Farbe:

lab^*tch^* und lab^*icu^*

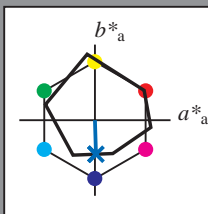
Bunttontexte:

$u^*_e = b00r$ $u^*_d = c56v$

Kontrastreduzierungsfaktor:

$c_R = 1.0$

Dreiecks-Helligkeit i^*



ORS19_96a; adaptierte CIELAB-Daten

	u^*_e	$L^*=L^*_a$	a^*_a	b^*_a	$C^*_{ab,a}$	$h^*_{ab,a}$
O _{Ma}	48.75	65.07	39.43	76.08	31	
Y _{Ma}	90.92	-10.29	87.24	87.85	97	
L _{Ma}	52.69	-65.44	20.75	68.65	162	
C _{Ma}	59.61	-28.98	-46.22	54.56	238	
V _{Ma}	28.39	23.63	-44.13	50.06	298	
M _{Ma}	49.58	73.93	-9.56	74.55	353	
N _{Ma}	18.89	0.0	0.0	0.0	0	
W _{Ma}	96.9	0.0	0.0	0.0	0	
R _{Ma}	39.92	58.74	27.99	65.07	25	
J _{Ma}	81.26	-2.89	71.56	71.62	92	
G _{Ma}	52.23	-42.42	13.6	44.55	162	
B _{Ma}	30.57	1.41	-46.47	46.49	272	

Daten für Maximalfarbe (Ma):

$LAB^*LAB^*_{Ma}$: 42 1 -45

$LAB^*LCH^*_{Ma}$: 42 45 271

$lab^*rgb^*_{Ma}$: 0.0 0.0 1.0

$lab^*olv^*_{Ma}$: 0.0 0.44 1.0

Dreiecks-Helligkeit i^*

%Umfang

$u^*_{rel} = 89$

%Regularität

$g^*_{H,rel} = 72$

$g^*_{C,rel} = 57$

ORS19_96a; adaptierte CIELAB-Daten

	u^*_e	$L^*=L^*_a$	a^*_a	b^*_a	$C^*_{ab,a}$	$h^*_{ab,a}$	u^*_d
r00j	48.88	66.47	31.67	73.63	25	m84o	
r25j	55.85	52.39	47.48	70.7	42	o17y	
r50j	65.45	35.22	58.37	68.17	59	o42y	
r75j	75.19	17.82	69.41	71.66	76	o67y	
j00g	87.03	-3.35	82.83	82.9	92	o92y	
j25g	80.72	-25.01	69.5	73.86	110	y20l	
j50g	70.64	-39.54	51.97	65.3	127	y46l	
j75g	61.93	-52.1	36.83	63.8	145	y72l	
g00b	52.8	-65.28	20.93	68.56	162	y99l	
g25b	55.7	-49.58	-8.39	50.28	190	l36c	
g50b	57.82	-38.4	-28.92	48.07	217	l72c	
g75b	55.5	-22.05	-45.95	50.97	244	c11v	
b00r	41.6	1.37	-45.01	45.03	272	c56v	
b25r	29.0	25.08	-43.13	49.89	300	v04m	
b50r	38.04	46.53	-28.39	54.51	329	v55m	
b75r	49.48	72.88	-3.76	72.98	357	m11o	

lab^*tch^*

$i^* = 1.00$

Brillantheit i^*

$i^* = 0.80$

$i^* = 0.60$

$i^* = 0.40$

$i^* = 0.20$

$i^* = 0.00$

Ein und Ausgabe: Farbmetrisches Drucker-Reflektiv-System ORS19_96a für relativen CIELAB-Buntton $h^* = lab^*h^* = h_{ab}/360 = 0.834$

Daten für jede Farbe:

lab^*tch^* und lab^*icu^*

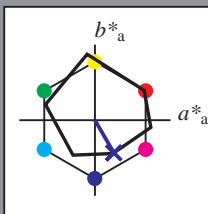
Bunttontexte:

$u^*_e = b25r$ $u^*_d = v04m$

Kontrastreduzierungsfaktor:

$c_R = 1.0$

Dreiecks-Helligkeit i^*



ORS19_96a; adaptierte CIELAB-Daten					
u^*_e	$L^*=L^*_a$	a^*_a	b^*_a	$C^*_{ab,a}$	$h^*_{ab,a}$
O _{Ma}	48.75	65.07	39.43	76.08	31
Y _{Ma}	90.92	-10.29	87.24	87.85	97
L _{Ma}	52.69	-65.44	20.75	68.65	162
C _{Ma}	59.61	-28.98	-46.22	54.56	238
V _{Ma}	28.39	23.63	-44.13	50.06	298
M _{Ma}	49.58	73.93	-9.56	74.55	353
N _{Ma}	18.89	0.0	0.0	0.0	0
W _{Ma}	96.9	0.0	0.0	0.0	0
R _{Ma}	39.92	58.74	27.99	65.07	25
J _{Ma}	81.26	-2.89	71.56	71.62	92
G _{Ma}	52.23	-42.42	13.6	44.55	162
B _{Ma}	30.57	1.41	-46.47	46.49	272

Daten für Maximalfarbe (Ma):

$LAB^*LAB^*_{Ma}$: 29 25 -43

$LAB^*LCH^*_{Ma}$: 29 50 300

$lab^*rgb^*_{Ma}$: 0.5 0.0 1.0

$lab^*olv^*_{Ma}$: 0.04 0.0 1.0

Dreiecks-Helligkeit i^*

%Umfang

$u^*_{rel} = 89$

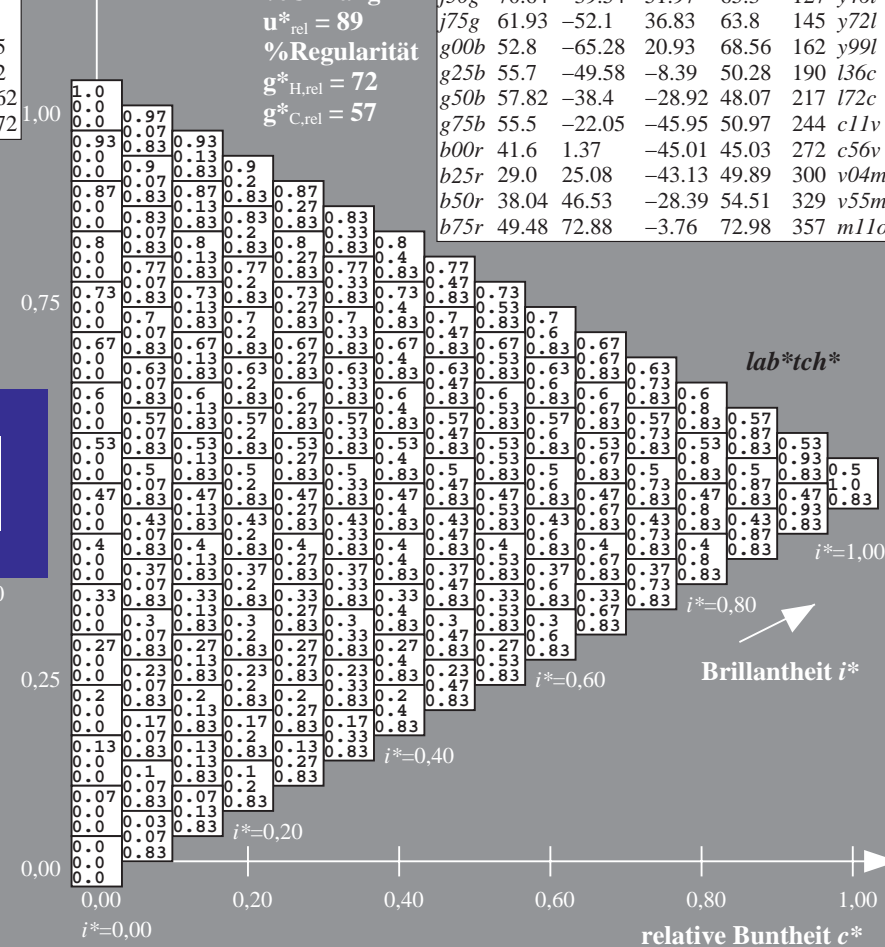
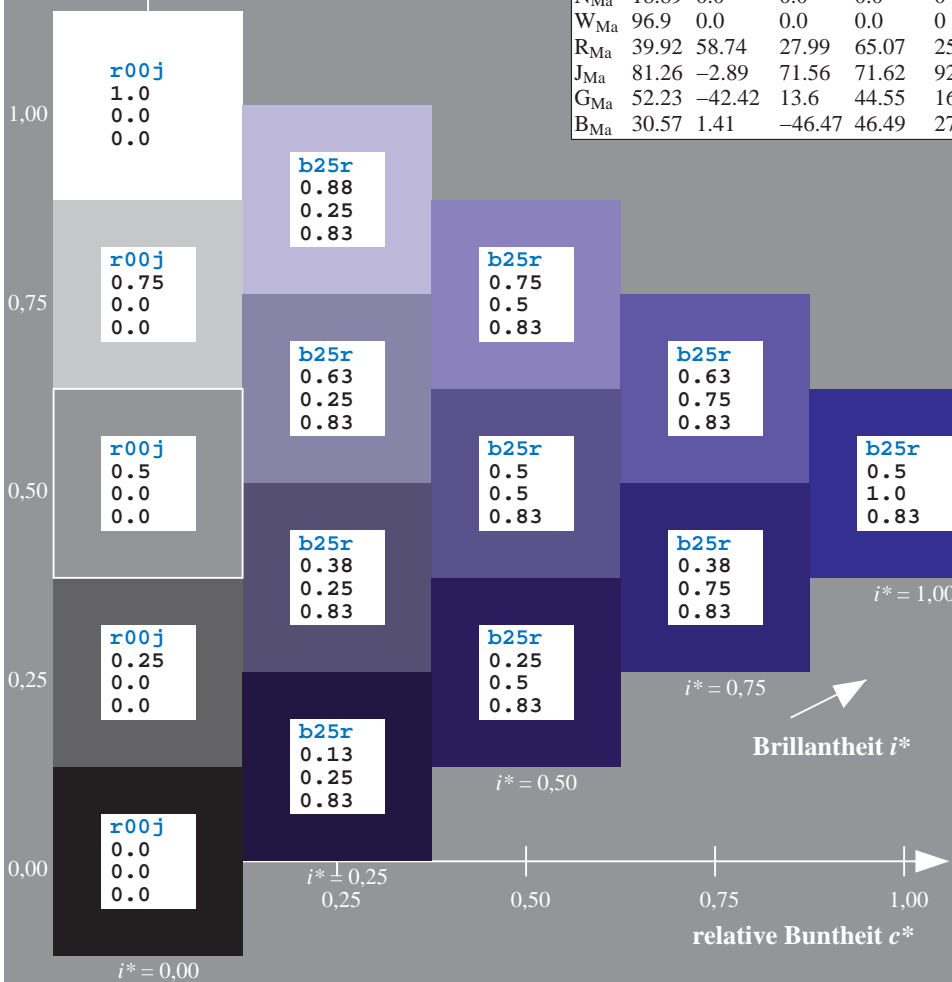
%Regularität

$g^*_{H,rel} = 72$

$g^*_{C,rel} = 57$

ORS19_96a; adaptierte CIELAB-Daten					
u^*_e	$L^*=L^*_a$	a^*_a	b^*_a	$C^*_{ab,a}$	$h^*_{ab,a}$
r00j	48.88	66.47	31.67	73.63	25
r25j	55.85	52.39	47.48	70.7	42
r50j	65.45	35.22	58.37	68.17	59
r75j	75.19	17.82	69.41	71.66	76
j00g	87.03	-3.35	82.83	82.9	92
j25g	80.72	-25.01	69.5	73.86	110
j50g	70.64	-39.54	51.97	65.3	127
j75g	61.93	-52.1	36.83	63.8	145
g00b	52.8	-65.28	20.93	68.56	162
g25b	55.7	-49.58	-8.39	50.28	190
g50b	57.82	-38.4	-28.92	48.07	217
g75b	55.5	-22.05	-45.95	50.97	244
b00r	41.6	1.37	-45.01	45.03	272
b25r	29.0	25.08	-43.13	49.89	300
b50r	38.04	46.53	-28.39	54.51	329
b75r	49.48	72.88	-3.76	72.98	357

lab^*tch^*					
u^*_e	$L^*=L^*_a$	a^*_a	b^*_a	$C^*_{ab,a}$	$h^*_{ab,a}$
r00j	48.88	66.47	31.67	73.63	25
r25j	55.85	52.39	47.48	70.7	42
r50j	65.45	35.22	58.37	68.17	59
r75j	75.19	17.82	69.41	71.66	76
j00g	87.03	-3.35	82.83	82.9	92
j25g	80.72	-25.01	69.5	73.86	110
j50g	70.64	-39.54	51.97	65.3	127
j75g	61.93	-52.1	36.83	63.8	145
g00b	52.8	-65.28	20.93	68.56	162
g25b	55.7	-49.58	-8.39	50.28	190
g50b	57.82	-38.4	-28.92	48.07	217
g75b	55.5	-22.05	-45.95	50.97	244
b00r	41.6	1.37	-45.01	45.03	272
b25r	29.0	25.08	-43.13	49.89	300
b50r	38.04	46.53	-28.39	54.51	329
b75r	49.48	72.88	-3.76	72.98	357



Ein und Ausgabe: Farbmetrisches Drucker-Reflektiv-System ORS19_96a für relativen CIELAB-Buntton $h^* = lab^*h^* = h_{ab}/360 = 0.913$

Daten für jede Farbe:

lab^*tch^* und lab^*icu^*

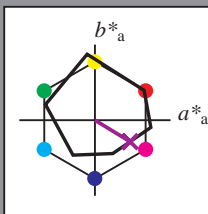
Bunttontexte:

$u^*_e = b50r$ $u^*_d = v55m$

Kontrastreduzierungsfaktor:

$c_R = 1.0$

Dreiecks-Helligkeit i^*



ORS19_96a; adaptierte CIELAB-Daten

	u^*_e	$L^*=L^*_a$	a^*_a	b^*_a	$C^*_{ab,a}$	$h^*_{ab,a}$
O _{Ma}	48.75	65.07	39.43	76.08	31	
Y _{Ma}	90.92	-10.29	87.24	87.85	97	
L _{Ma}	52.69	-65.44	20.75	68.65	162	
C _{Ma}	59.61	-28.98	-46.22	54.56	238	
V _{Ma}	28.39	23.63	-44.13	50.06	298	
M _{Ma}	49.58	73.93	-9.56	74.55	353	
N _{Ma}	18.89	0.0	0.0	0.0	0	
W _{Ma}	96.9	0.0	0.0	0.0	0	
R _{Ma}	39.92	58.74	27.99	65.07	25	
J _{Ma}	81.26	-2.89	71.56	71.62	92	
G _{Ma}	52.23	-42.42	13.6	44.55	162	
B _{Ma}	30.57	1.41	-46.47	46.49	272	

Daten für Maximalfarbe (Ma):

$LAB^*LAB^*_{Ma}$: 38 47 -28

$LAB^*LCH^*_{Ma}$: 38 55 328

$lab^*rgb^*_{Ma}$: 1.0 0.0 1.0

$lab^*olv^*_{Ma}$: 0.56 0.0 1.0

Dreiecks-Helligkeit i^*

%Umfang

$u^*_{rel} = 89$

%Regularität

$g^*_{H,rel} = 72$

$g^*_{C,rel} = 57$

ORS19_96a; adaptierte CIELAB-Daten

	u^*_e	$L^*=L^*_a$	a^*_a	b^*_a	$C^*_{ab,a}$	$h^*_{ab,a}$	u^*_d
r00j	48.88	66.47	31.67	73.63	25	m84o	
r25j	55.85	52.39	47.48	70.7	42	o17y	
r50j	65.45	35.22	58.37	68.17	59	o42y	
r75j	75.19	17.82	69.41	71.66	76	o67y	
j00g	87.03	-3.35	82.83	82.9	92	o92y	
j25g	80.72	-25.01	69.5	73.86	110	y20l	
j50g	70.64	-39.54	51.97	65.3	127	y46l	
j75g	61.93	-52.1	36.83	63.8	145	y72l	
g00b	52.8	-65.28	20.93	68.56	162	y99l	
g25b	55.7	-49.58	-8.39	50.28	190	l36c	
g50b	57.82	-38.4	-28.92	48.07	217	l72c	
g75b	55.5	-22.05	-45.95	50.97	244	c11v	
b00r	41.6	1.37	-45.01	45.03	272	c56v	
b25r	29.0	25.08	-43.13	49.89	300	v04m	
b50r	38.04	46.53	-28.39	54.51	329	v55m	
b75r	49.48	72.88	-3.76	72.98	357	m11o	

lab^*tch^*

$i^* = 1.00$

Brillantheit i^*

$i^* = 0.80$

$i^* = 0.60$

$i^* = 0.40$

$i^* = 0.20$

Ein und Ausgabe: Farbmetrisches Drucker-Reflektiv-System ORS19_96a für relativen CIELAB-Buntton $h^* = lab^*h^* = h_{ab}/360 = 0.992$

Daten für jede Farbe:

lab^*tch^* und lab^*icu^*

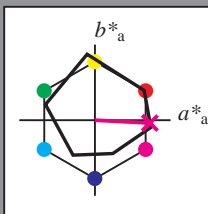
Bunttontexte:

$u^*_e = b75r$ $u^*_d = m11o$

Kontrastreduzierungsfaktor:

$c_R = 1.0$

Dreiecks-Helligkeit i^*



ORS19_96a; adaptierte CIELAB-Daten

u^*_e	$L^*=L^*_a$	a^*_a	b^*_a	$C^*_{ab,a}$	$h^*_{ab,a}$
O _{Ma}	48.75	65.07	39.43	76.08	31
Y _{Ma}	90.92	-10.29	87.24	87.85	97
L _{Ma}	52.69	-65.44	20.75	68.65	162
C _{Ma}	59.61	-28.98	-46.22	54.56	238
V _{Ma}	28.39	23.63	-44.13	50.06	298
M _{Ma}	49.58	73.93	-9.56	74.55	353
N _{Ma}	18.89	0.0	0.0	0.0	0
W _{Ma}	96.9	0.0	0.0	0.0	0
R _{Ma}	39.92	58.74	27.99	65.07	25
J _{Ma}	81.26	-2.89	71.56	71.62	92
G _{Ma}	52.23	-42.42	13.6	44.55	162
B _{Ma}	30.57	1.41	-46.47	46.49	272

Daten für Maximalfarbe (Ma):

$LAB^*LAB^*_{Ma}$: 49 73 -4

$LAB^*LCH^*_{Ma}$: 49 73 357

$lab^*rgb^*_{Ma}$: 1.0 0.0 0.5

$lab^*olv^*_{Ma}$: 1.0 0.0 0.89

Dreiecks-Helligkeit i^*

%Umfang

$u^*_{rel} = 89$

%Regularität

$g^*_{H,rel} = 72$

$g^*_{C,rel} = 57$

ORS19_96a; adaptierte CIELAB-Daten

u^*_e	$L^*=L^*_a$	a^*_a	b^*_a	$C^*_{ab,a}$	$h^*_{ab,a}$	u^*_d
r00j	48.88	66.47	31.67	73.63	25	m84o
r25j	55.85	52.39	47.48	70.7	42	o17y
r50j	65.45	35.22	58.37	68.17	59	o42y
r75j	75.19	17.82	69.41	71.66	76	o67y
j00g	87.03	-3.35	82.83	82.9	92	o92y
j25g	80.72	-25.01	69.5	73.86	110	y20l
j50g	70.64	-39.54	51.97	65.3	127	y46l
j75g	61.93	-52.1	36.83	63.8	145	y72l
g00b	52.8	-65.28	20.93	68.56	162	y99l
g25b	55.7	-49.58	-8.39	50.28	190	l36c
g50b	57.82	-38.4	-28.92	48.07	217	l72c
g75b	55.5	-22.05	-45.95	50.97	244	c11v
b00r	41.6	1.37	-45.01	45.03	272	c56v
b25r	29.0	25.08	-43.13	49.89	300	v04m
b50r	38.04	46.53	-28.39	54.51	329	v55m
b75r	49.48	72.88	-3.76	72.98	357	m11o

lab^*tch^*

$i^*=1.00$

Brillantheit i^*

$i^*=0.80$

$i^*=0.60$

$i^*=0.40$

$i^*=0.20$

Siehe ähnliche Dateien: <http://www.ps.bam.de/Eg12/>; www.ps.bam.de/Eg12/10L/L12G00NA.PS/.TXT BAM-Material: Code=rh4ta
Technische Information: <http://www.ps.bam.de/Version2.1,io=1.1,ColSp=1>

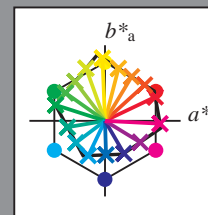
	A	B	C	D	E	F	G	H	I	J	K	L	M	N	O	P	Q	R	S	T	U	V	W	X	Y	Z	a	b	c	d	e	f	g	h	i	j	k	lab*tch*																																																																																																																																																																																																																																																																																																																																																																																																																																																																																																																																																																																																																																																																																																																																																																																																																																																																																																																																																																																																														
01	0.0	0.06	0.13	0.19	0.25	0.31	0.38	0.44	0.5	0.56	0.63	0.69	0.75	0.81	0.88	0.94	1.0	1.06	1.13	1.19	1.25	1.31	1.38	1.44	1.5	1.56	1.63	1.69	1.75	1.81	1.88	1.94	2.0	2.06	2.13	2.19	2.25	2.31	2.38	2.44	2.5	2.56	2.63	2.69	2.75	2.81	2.88	2.94	3.0	3.06	3.13	3.19	3.25	3.31	3.38	3.44	3.5	3.56	3.63	3.69	3.75	3.81	3.88	3.94	4.0	4.06	4.13	4.19	4.25	4.31	4.38	4.44	4.5	4.56	4.63	4.69	4.75	4.81	4.88	4.94	5.0	5.06	5.13	5.19	5.25	5.31	5.38	5.44	5.5	5.56	5.63	5.69	5.75	5.81	5.88	5.94	6.0	6.06	6.13	6.19	6.25	6.31	6.38	6.44	6.5	6.56	6.63	6.69	6.75	6.81	6.88	6.94	7.0	7.06	7.13	7.19	7.25	7.31	7.38	7.44	7.5	7.56	7.63	7.69	7.75	7.81	7.88	7.94	8.0	8.06	8.13	8.19	8.25	8.31	8.38	8.44	8.5	8.56	8.63	8.69	8.75	8.81	8.88	8.94	9.0	9.06	9.13	9.19	9.25	9.31	9.38	9.44	9.5	9.56	9.63	9.69	9.75	9.81	9.88	9.94	10.0	10.06	10.13	10.19	10.25	10.31	10.38	10.44	10.5	10.56	10.63	10.69	10.75	10.81	10.88	10.94	11.0	11.06	11.13	11.19	11.25	11.31	11.38	11.44	11.5	11.56	11.63	11.69	11.75	11.81	11.88	11.94	12.0	12.06	12.13	12.19	12.25	12.31	12.38	12.44	12.5	12.56	12.63	12.69	12.75	12.81	12.88	12.94	13.0	13.06	13.13	13.19	13.25	13.31	13.38	13.44	13.5	13.56	13.63	13.69	13.75	13.81	13.88	13.94	14.0	14.06	14.13	14.19	14.25	14.31	14.38	14.44	14.5	14.56	14.63	14.69	14.75	14.81	14.88	14.94	15.0	15.06	15.13	15.19	15.25	15.31	15.38	15.44	15.5	15.56	15.63	15.69	15.75	15.81	15.88	15.94	16.0	16.06	16.13	16.19	16.25	16.31	16.38	16.44	16.5	16.56	16.63	16.69	16.75	16.81	16.88	16.94	17.0	17.06	17.13	17.19	17.25	17.31	17.38	17.44	17.5	17.56	17.63	17.69	17.75	17.81	17.88	17.94	18.0	18.06	18.13	18.19	18.25	18.31	18.38	18.44	18.5	18.56	18.63	18.69	18.75	18.81	18.88	18.94	19.0	19.06	19.13	19.19	19.25	19.31	19.38	19.44	19.5	19.56	19.63	19.69	19.75	19.81	19.88	19.94	20.0	20.06	20.13	20.19	20.25	20.31	20.38	20.44	20.5	20.56	20.63	20.69	20.75	20.81	20.88	20.94	21.0	21.06	21.13	21.19	21.25	21.31	21.38	21.44	21.5	21.56	21.63	21.69	21.75	21.81	21.88	21.94	22.0	22.06	22.13	22.19	22.25	22.31	22.38	22.44	22.5	22.56	22.63	22.69	22.75	22.81	22.88	22.94	23.0	23.06	23.13	23.19	23.25	23.31	23.38	23.44	23.5	23.56	23.63	23.69	23.75	23.81	23.88	23.94	24.0	24.06	24.13	24.19	24.25	24.31	24.38	24.44	24.5	24.56	24.63	24.69	24.75	24.81	24.88	24.94	25.0	25.06	25.13	25.19	25.25	25.31	25.38	25.44	25.5	25.56	25.63	25.69	25.75	25.81	25.88	25.94	26.0	26.06	26.13	26.19	26.25	26.31	26.38	26.44	26.5	26.56	26.63	26.69	26.75	26.81	26.88	26.94	27.0	27.06	27.13	27.19	27.25	27.31	27.38	27.44	27.5	27.56	27.63	27.69	27.75	27.81	27.88	27.94	28.0	28.06	28.13	28.19	28.25	28.31	28.38	28.44	28.5	28.56	28.63	28.69	28.75	28.81	28.88	28.94	29.0	29.06	29.13	29.19	29.25	29.31	29.38	29.44	29.5	29.56	29.63	29.69	29.75	29.81	29.88	29.94	30.0	30.06	30.13	30.19	30.25	30.31	30.38	30.44	30.5	30.56	30.63	30.69	30.75	30.81	30.88	30.94	31.0	31.06	31.13	31.19	31.25	31.31	31.38	31.44	31.5	31.56	31.63	31.69	31.75	31.81	31.88	31.94	32.0	32.06	32.13	32.19	32.25	32.31	32.38	32.44	32.5	32.56	32.63	32.69	32.75	32.81	32.88	32.94	33.0	33.06	33.13	33.19	33.25	33.31	33.38	33.44	33.5	33.56	33.63	33.69	33.75	33.81	33.88	33.94	34.0	34.06	34.13	34.19	34.25	34.31	34.38	34.44	34.5	34.56	34.63	34.69	34.75	34.81	34.88	34.94	35.0	35.06	35.13	35.19	35.25	35.31	35.38	35.44	35.5	35.56	35.63	35.69	35.75	35.81	35.88	35.94	36.0	36.06	36.13	36.19	36.25	36.31	36.38	36.44	36.5	36.56	36.63	36.69	36.75	36.81	36.88	36.94	37.0	37.06	37.13	37.19	37.25	37.31	37.38	37.44	37.5	37.56	37.63	37.69	37.75	37.81	37.88	37.94	38.0	38.06	38.13	38.19	38.25	38.31	38.38	38.44	38.5	38.56	38.63	38.69	38.75	38.81	38.88	38.94	39.0	39.06	39.13	39.19	39.25	39.31	39.38	39.44	39.5	39.56	39.63	39.69	39.75	39.81	39.88	39.94	40.0	40.06	40.13	40.19	40.25	40.31	40.38	40.44	40.5	40.56	40.63	40.69	40.75	40.81	40.88	40.94	41.0	41.06	41.13	41.19	41.25	41.31	41.38	41.44	41.5	41.56	41.63	41.69	41.75	41.81	41.88	41.94	42.0	42.06	42.13	42.19	42.25	42.31	42.38	42.44	42.5	42.56	42.63	42.69	42.75	42.81	42.88	42.94	43.0	43.06	43.13	43.19	43.25	43.31	43.38	43.44	43.5	43.56	43.63	43.69	43.75	43.81	43.88	43.94	44.0	44.06	44.13	44.19	44.25	44.31	44.38	44.44	44.5	44.56	44.63	44.69	44.75	44.81	44.88	44.94	45.0	45.06	45.13	45.19	45.25	45.31	45.38	45.44	45.5	45.56	45.63	45.69	45.75	45.81	45.88	45.94	46.0	46.06	46.13	46.19	46.25	46.31	46.38	46.44	46.5	46.56	46.63	46.69	46.75	46.81	46.88	46.94	47.0	47.06	47.13	47.19	47.25	47.31	47.38	47.44	47.5	47.56	47.63	47.69	47.75	47.81	47.88	47.94	48.0	48.06	48.13	48.19	48.25	48.31	48.38	48.44	48.5	48.56	48.63	48.69	48.75	48.81	48.88	48.94	49.0	49.06	49.13	49.19	49.25	49.31	49.38	49.44	49.5	49.56	49.63	49.69	49.75	49.81	49.88	49.94	50.0	50.06	50.13	50.19	50.25	50.31	50.38	50.44	50.5	50.56	50.63	50.69	50.75	50.81	50.88	50.94	51.0	51.06	51.13	51.19	51.25	51.31	51.38	51.44	51.5	51.56	51.63	51.69	51.75	51.81	51.88	51.94	52.0	52.06	52.13	52.19	52.25	52.31	52.38	52.44	52.5	52.56	52.63	52.69	52.75	52.81	52.88	52.94	53.0	53.06	53.13	53.19	53.25	53.31	53.38	53.44	53.5	53.56	53.63	53.69	53.75	53.81	53.88	53.94	54.0	54.06	54.13	54.19	54.25	54.31	54.38	54.44	54.5	54.56	54.63	54.69	54.75	54.81	54.88	54.94	55.0	55.06	55.13	55.19	55.25	55.31	55.38	55.44	55.5	55.56	55.63	55.69	55.75	55.81	55.88	55.94	56.0	56.06	56.13	56.19	56.25	56.31	56.38	56.44	56.5	56.56	56.63	56.69	56.75	56.81	56.88	56.94	57.0	57.06	57.13	57.19	57.25	57.31	57.38	57.44	57.5	57.56	57.63	57.69	57.75	57.81	57.88	57.94	58.0	58.06	58.13	58.19	58.25	58.31	58.38	58.44	58.5	58.56	58.63	58.69	58.75	58.81	58.88	58.94	59.0	59.06	59.13	59.19	59.25	59.31	59.38	59.44	59.5	59.56	59.63	59.69	59.75	59.81	59.88	59.94	60.0	60.06	60.13	60.19	60.25	60.31	60.38	60.44	60.5	60.56	60.63	60.69	60.75	60.81	60.88	60.94	61.0	61.06	61.13	61.19	61.25	61.31	61.38	61.44	61.5	61.56	61.63	61.69	61.75	61.81	61.88	61.94	62.0	62.06	62.13	62.19	62.25	62.31	62.38	62.44	62.5	62.56	62.63	62.69	62.75	62.81	62.88	62.94	63.0	63.06	63.13	

Ein und Ausgabe:
Farbmetrisches Drucker-Reflektiv-System ORS19_96a
Daten für jede Farbe:

u^*_e und Nummer $Nr.$ = 00 .. 15
Elementar-Bunttontext:
 $u^*_e = 16$ Bunttoene $r00j, r25j, \dots, b75r$
Kontrastreduzierungsfaktor:
 $c_R = 1.0$

ORS19_96a; adaptierte CIELAB-Daten

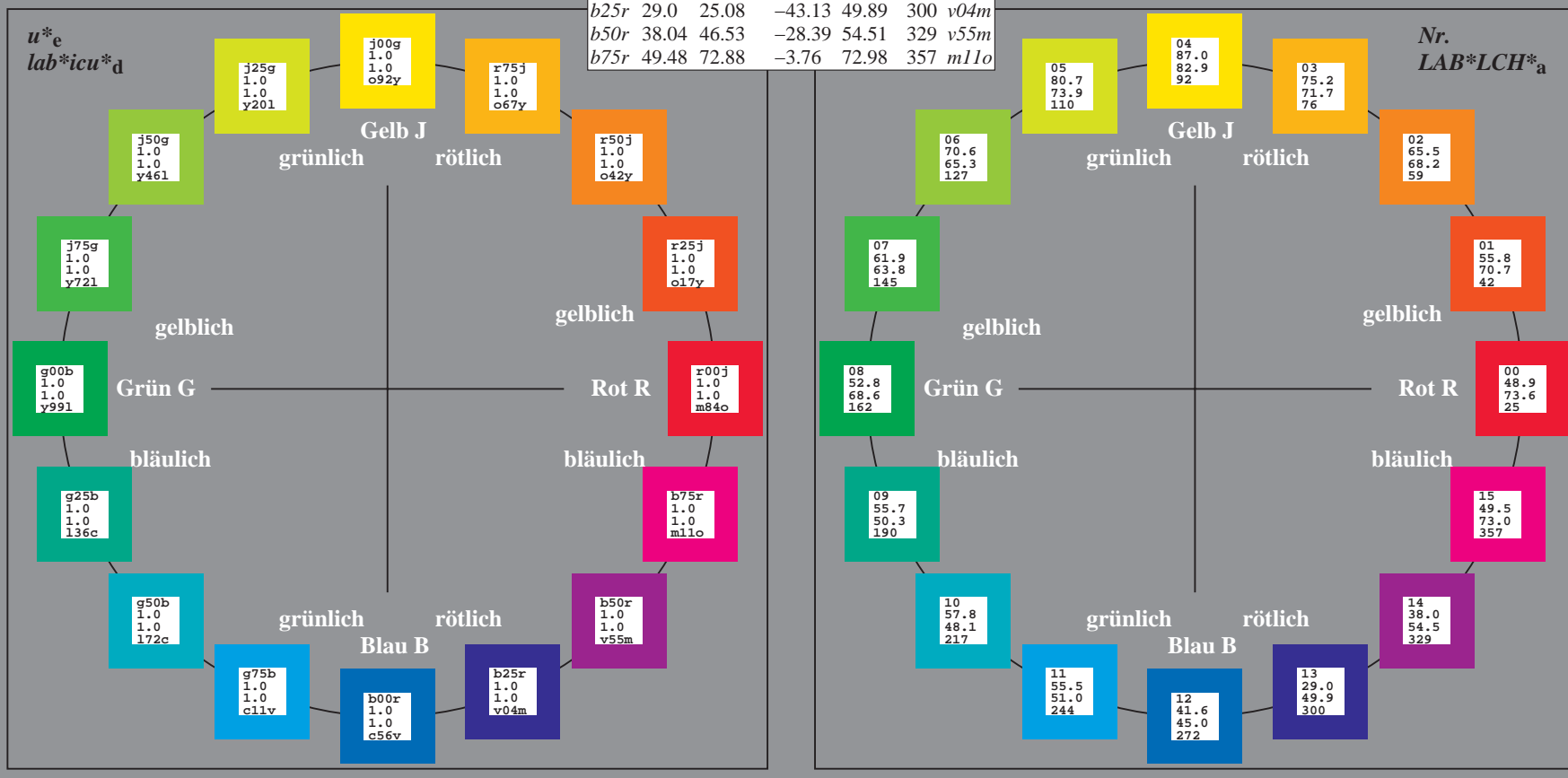
u^*_e	$L^*=L^*_a$	a^*_a	b^*_a	$C^*_{ab,a}$	$h^*_{ab,a}$	u^*_d
$r00j$	48.88	66.47	31.67	73.63	25	$m84o$
$r25j$	55.85	52.39	47.48	70.7	42	$o17y$
$r50j$	65.45	35.22	58.37	68.17	59	$o42y$
$r75j$	75.19	17.82	69.41	71.66	76	$o67y$
$j00g$	87.03	-3.35	82.83	82.9	92	$o92y$
$j25g$	80.72	-25.01	69.5	73.86	110	$y20l$
$j50g$	70.64	-39.54	51.97	65.3	127	$y46l$
$j75g$	61.93	-52.1	36.83	63.8	145	$y72l$
$g00b$	52.8	-65.28	20.93	68.56	162	$y99l$
$g25b$	55.7	-49.58	-8.39	50.28	190	$l36c$
$g50b$	57.82	-38.4	-28.92	48.07	217	$l72c$
$g75b$	55.5	-22.05	-45.95	50.97	244	$c11v$
$b00r$	41.6	1.37	-45.01	45.03	272	$c56v$
$b25r$	29.0	25.08	-43.13	49.89	300	$v04m$
$b50r$	38.04	46.53	-28.39	54.51	329	$v55m$
$b75r$	49.48	72.88	-3.76	72.98	357	$m11o$



%Umfang
 $u^*_{rel} = 89$
%Regularität
 $g^*_{H,rel} = 72$
 $g^*_{C,rel} = 57$

ORS19_96a; adaptierte CIELAB-Daten

Name	$L^*=L^*_a$	a^*_a	b^*_a	$C^*_{ab,a}$	$h^*_{ab,a}$
O_{Ma}	48.75	65.07	39.43	76.08	31
Y_{Ma}	90.92	-10.29	87.24	87.85	97
L_{Ma}	52.69	-65.44	20.75	68.65	162
C_{Ma}	59.61	-28.98	-46.22	54.56	238
V_{Ma}	28.39	23.63	-44.13	50.06	298
M_{Ma}	49.58	73.93	-9.56	74.55	353
N_{Ma}	18.89	0.0	0.0	0.0	0
W_{Ma}	96.9	0.0	0.0	0.0	0
R_{CIE}	39.92	58.74	27.99	65.07	25
J_{CIE}	81.26	-2.89	71.56	71.62	92
G_{CIE}	52.23	-42.42	13.6	44.55	162
B_{CIE}	30.57	1.41	-46.47	46.49	272



Ein und Ausgabe: Farbmetrisches Drucker-Reflektiv-System ORS19_96a für relativen CIELAB-Buntton $h^* = \text{lab}^*h^* = h_{ab}/360 = 0.071$

Daten für jede Farbe:

lab^*tch^* und lab^*icu^*

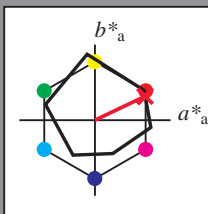
Bunttontexte:

$u^*_e = r00j$ $u^*_d = m84o$

Kontrastreduzierungsfaktor:

$c_R = 1.0$

Dreiecks-Helligkeit i^*



ORS19_96a; adaptierte CIELAB-Daten

u^*_e	$L^*=L^*_a$	a^*_a	b^*_a	$C^*_{ab,a}$	$h^*_{ab,a}$
O _{Ma}	48.75	65.07	39.43	76.08	31
Y _{Ma}	90.92	-10.29	87.24	87.85	97
L _{Ma}	52.69	-65.44	20.75	68.65	162
C _{Ma}	59.61	-28.98	-46.22	54.56	238
V _{Ma}	28.39	23.63	-44.13	50.06	298
M _{Ma}	49.58	73.93	-9.56	74.55	353
N _{Ma}	18.89	0.0	0.0	0.0	0
W _{Ma}	96.9	0.0	0.0	0.0	0
R _{Ma}	39.92	58.74	27.99	65.07	25
J _{Ma}	81.26	-2.89	71.56	71.62	92
G _{Ma}	52.23	-42.42	13.6	44.55	162
B _{Ma}	30.57	1.41	-46.47	46.49	272

Daten für Maximalfarbe (Ma):

$\text{LAB}^*\text{LAB}^*_{\text{Ma}}$: 49 66 32

$\text{LAB}^*\text{LCH}^*_{\text{Ma}}$: 49 74 25

$\text{lab}^*\text{rgb}^*_{\text{Ma}}$: 1.0 0.0 0.0

$\text{lab}^*\text{olv}^*_{\text{Ma}}$: 1.0 0.0 0.15

Dreiecks-Helligkeit i^*

%Umfang

$u^*_{\text{rel}} = 89$

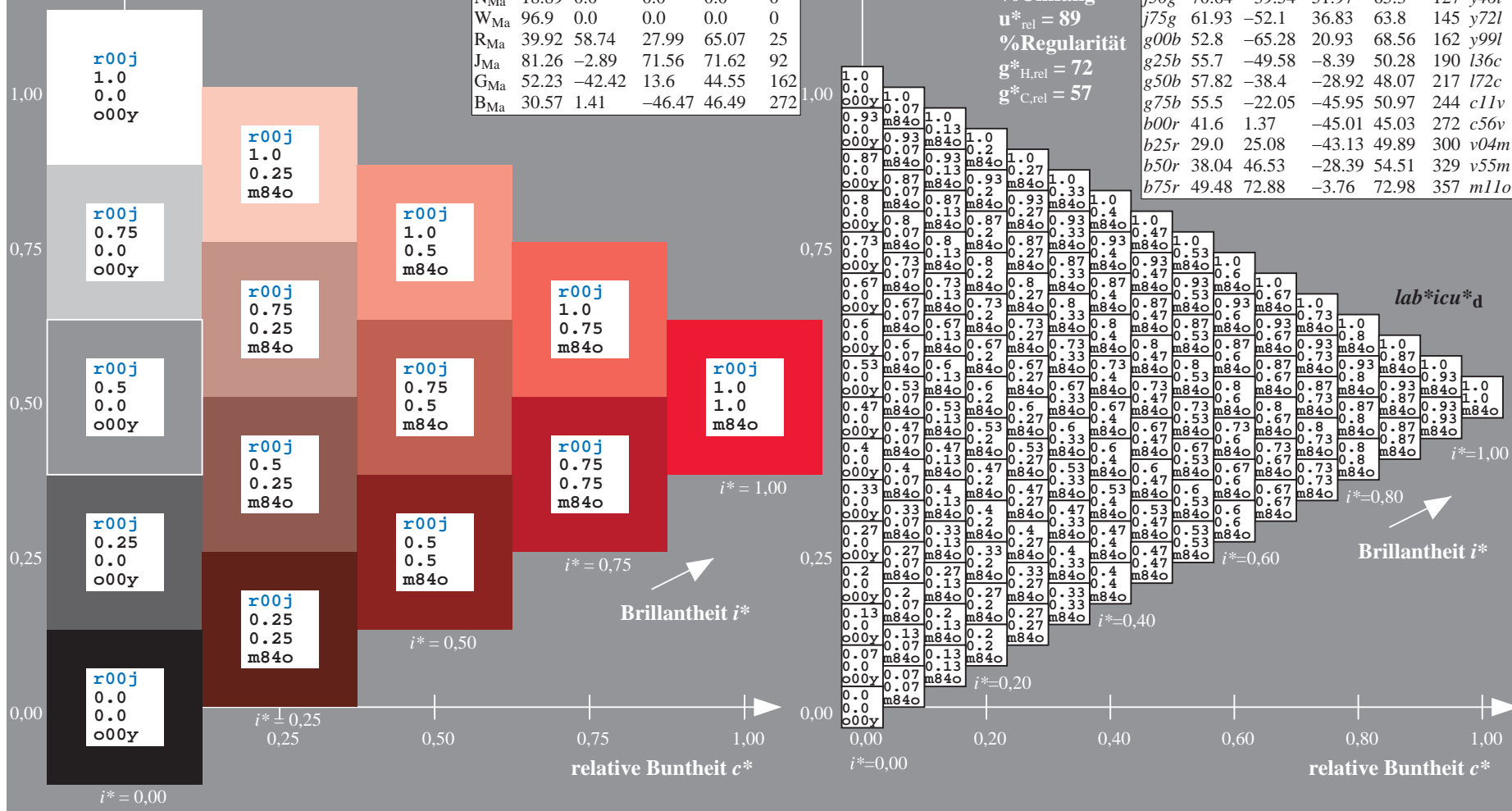
%Regularität

$g^*_{H,\text{rel}} = 72$

$g^*_{C,\text{rel}} = 57$

ORS19_96a; adaptierte CIELAB-Daten

u^*_e	$L^*=L^*_a$	a^*_a	b^*_a	$C^*_{ab,a}$	$h^*_{ab,a}$	u^*_d
r00j	48.88	66.47	31.67	73.63	25	m84o
r25j	55.85	52.39	47.48	70.7	42	o17y
r50j	65.45	35.22	58.37	68.17	59	o42y
r75j	75.19	17.82	69.41	71.66	76	o67y
j00g	87.03	-3.35	82.83	82.9	92	o92y
j25g	80.72	-25.01	69.5	73.86	110	y20l
j50g	70.64	-39.54	51.97	65.3	127	y46l
j75g	61.93	-52.1	36.83	63.8	145	y72l
g00b	52.8	-65.28	20.93	68.56	162	y99l
g25b	55.7	-49.58	-8.39	50.28	190	l36c
g50b	57.82	-38.4	-28.92	48.07	217	l72c
g75b	55.5	-22.05	-45.95	50.97	244	c11v
b00r	41.6	1.37	-45.01	45.03	272	c56v
b25r	29.0	25.08	-43.13	49.89	300	v04m
b50r	38.04	46.53	-28.39	54.51	329	v55m
b75r	49.48	72.88	-3.76	72.98	357	m11o



Ein und Ausgabe: Farbmimetrisches Drucker-Reflektiv-System ORS19_96a für relativen CIELAB-Buntton $h^* = \text{lab}^*h^* = h_{ab}/360 = 0.117$

Daten für jede Farbe:

lab^*tch^* und lab^*icu^*

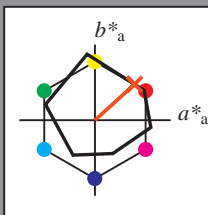
Bunttontexte:

$u^*_e = r25j$ $u^*_d = o17y$

Kontrastreduzierungsfaktor:

$c_R = 1.0$

Dreiecks-Helligkeit i^*



ORS19_96a; adaptierte CIELAB-Daten

u^*_e	$L^*=L^*_a$	a^*_a	b^*_a	$C^*_{ab,a}$	$h^*_{ab,a}$
O _{Ma}	48.75	65.07	39.43	76.08	31
Y _{Ma}	90.92	-10.29	87.24	87.85	97
L _{Ma}	52.69	-65.44	20.75	68.65	162
C _{Ma}	59.61	-28.98	-46.22	54.56	238
V _{Ma}	28.39	23.63	-44.13	50.06	298
M _{Ma}	49.58	73.93	-9.56	74.55	353
N _{Ma}	18.89	0.0	0.0	0.0	0
W _{Ma}	96.9	0.0	0.0	0.0	0
R _{Ma}	39.92	58.74	27.99	65.07	25
J _{Ma}	81.26	-2.89	71.56	71.62	92
G _{Ma}	52.23	-42.42	13.6	44.55	162
B _{Ma}	30.57	1.41	-46.47	46.49	272

Daten für Maximalfarbe (Ma):

$\text{LAB}^*\text{LAB}^*_{\text{Ma}}$: 56 52 47

$\text{LAB}^*\text{LCH}^*_{\text{Ma}}$: 56 71 42

$\text{lab}^*\text{rgb}^*_{\text{Ma}}$: 1.0 0.25 0.0

$\text{lab}^*\text{olv}^*_{\text{Ma}}$: 1.0 0.17 0.0

Dreiecks-Helligkeit i^*

%Umfang

$u^*_{\text{rel}} = 89$

%Regularität

$g^*_{H,\text{rel}} = 72$

$g^*_{C,\text{rel}} = 57$

ORS19_96a; adaptierte CIELAB-Daten

u^*_e	$L^*=L^*_a$	a^*_a	b^*_a	$C^*_{ab,a}$	$h^*_{ab,a}$	u^*_d
r00j	48.88	66.47	31.67	73.63	25	m84o
r25j	55.85	52.39	47.48	70.7	42	o17y
r50j	65.45	35.22	58.37	68.17	59	o42y
r75j	75.19	17.82	69.41	71.66	76	o67y
j00g	87.03	-3.35	82.83	82.9	92	o92y
j25g	80.72	-25.01	69.5	73.86	110	y20l
j50g	70.64	-39.54	51.97	65.3	127	y46l
j75g	61.93	-52.1	36.83	63.8	145	y72l
g00b	52.8	-65.28	20.93	68.56	162	y99l
g25b	55.7	-49.58	-8.39	50.28	190	l36c
g50b	57.82	-38.4	-28.92	48.07	217	l72c
g75b	55.5	-22.05	-45.95	50.97	244	c11v
b00r	41.6	1.37	-45.01	45.03	272	c56v
b25r	29.0	25.08	-43.13	49.89	300	v04m
b50r	38.04	46.53	-28.39	54.51	329	v55m
b75r	49.48	72.88	-3.76	72.98	357	m11o

$\text{lab}^*\text{icu}^*_d$

$i^* = 1.00$

Brillantheit i^*

$i^* = 0.80$

$i^* = 0.60$

$i^* = 0.40$

$i^* = 0.20$

relative Buntheit c^*

relative Buntheit c^*

Ein und Ausgabe: Farbmimetrisches Drucker-Reflektiv-System ORS19_96a für relativen CIELAB-Buntton $h^* = \text{lab}^*h^* = h_{ab}/360 = 0.164$

Daten für jede Farbe:

lab^*tch^* und lab^*icu^*

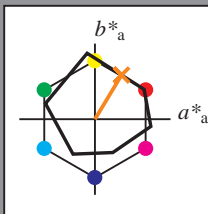
Bunttontexte:

$u^*_e = r50j$ $u^*_d = o42y$

Kontrastreduzierungsfaktor:

$c_R = 1.0$

Dreiecks-Helligkeit t^*



ORS19_96a; adaptierte CIELAB-Daten

u^*_e	$L^*=L^*_a$	a^*_a	b^*_a	$C^*_{ab,a}$	$h^*_{ab,a}$
O _{Ma}	48.75	65.07	39.43	76.08	31
Y _{Ma}	90.92	-10.29	87.24	87.85	97
L _{Ma}	52.69	-65.44	20.75	68.65	162
C _{Ma}	59.61	-28.98	-46.22	54.56	238
V _{Ma}	28.39	23.63	-44.13	50.06	298
M _{Ma}	49.58	73.93	-9.56	74.55	353
N _{Ma}	18.89	0.0	0.0	0.0	0
W _{Ma}	96.9	0.0	0.0	0.0	0
R _{Ma}	39.92	58.74	27.99	65.07	25
J _{Ma}	81.26	-2.89	71.56	71.62	92
G _{Ma}	52.23	-42.42	13.6	44.55	162
B _{Ma}	30.57	1.41	-46.47	46.49	272

Daten für Maximalfarbe (Ma):

$\text{LAB}^*\text{LAB}^*_{\text{Ma}}$: 65 35 58

$\text{LAB}^*\text{LCH}^*_{\text{Ma}}$: 65 68 58

$\text{lab}^*\text{rgb}^*_{\text{Ma}}$: 1.0 0.5 0.0

$\text{lab}^*\text{olv}^*_{\text{Ma}}$: 1.0 0.42 0.0

Dreiecks-Helligkeit t^*

%Umfang

$u^*_{\text{rel}} = 89$

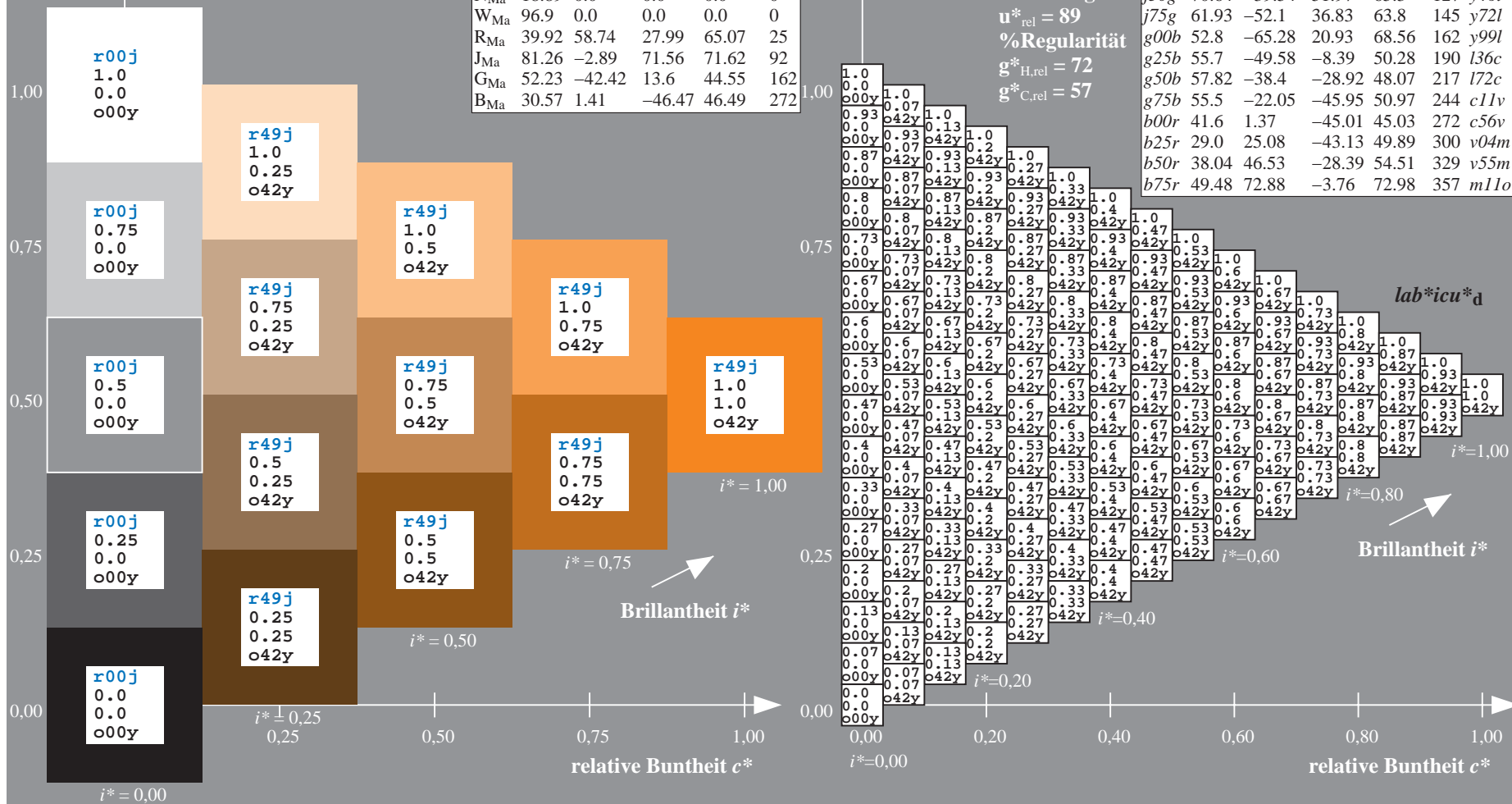
%Regularität

$g^*_{H,\text{rel}} = 72$

$g^*_{C,\text{rel}} = 57$

ORS19_96a; adaptierte CIELAB-Daten

u^*_e	$L^*=L^*_a$	a^*_a	b^*_a	$C^*_{ab,a}$	$h^*_{ab,a}$	u^*_d
r00j	48.88	66.47	31.67	73.63	25	m84o
r25j	55.85	52.39	47.48	70.7	42	o17y
r50j	65.45	35.22	58.37	68.17	59	o42y
r75j	75.19	17.82	69.41	71.66	76	o67y
j00g	87.03	-3.35	82.83	82.9	92	o92y
j25g	80.72	-25.01	69.5	73.86	110	y20l
j50g	70.64	-39.54	51.97	65.3	127	y46l
j75g	61.93	-52.1	36.83	63.8	145	y72l
g00b	52.8	-65.28	20.93	68.56	162	y99l
g25b	55.7	-49.58	-8.39	50.28	190	l36c
g50b	57.82	-38.4	-28.92	48.07	217	l72c
g75b	55.5	-22.05	-45.95	50.97	244	c11v
b00r	41.6	1.37	-45.01	45.03	272	c56v
b25r	29.0	25.08	-43.13	49.89	300	v04m
b50r	38.04	46.53	-28.39	54.51	329	v55m
b75r	49.48	72.88	-3.76	72.98	357	m11o



Ein und Ausgabe: Farbmetrisches Drucker-Reflektiv-System ORS19_96a für relativen CIELAB-Buntton $h^* = lab^*h^* = h_{ab}/360 = 0.21$

Daten für jede Farbe:

lab^*ch^* und lab^*icu^*

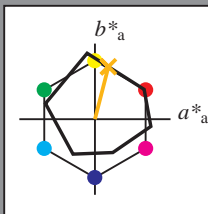
Bunttontexte:

$u^*_e = r75j$ $u^*_d = o67y$

Kontrastreduzierungsfaktor:

$c_R = 1.0$

Dreiecks-Helligkeit i^*



ORS19_96a; adaptierte CIELAB-Daten

u^*_e	$L^*=L^*_a$	a^*_a	b^*_a	$C^*_{ab,a}$	$h^*_{ab,a}$
O _{Ma}	48.75	65.07	39.43	76.08	31
Y _{Ma}	90.92	-10.29	87.24	87.85	97
L _{Ma}	52.69	-65.44	20.75	68.65	162
C _{Ma}	59.61	-28.98	-46.22	54.56	238
V _{Ma}	28.39	23.63	-44.13	50.06	298
M _{Ma}	49.58	73.93	-9.56	74.55	353
N _{Ma}	18.89	0.0	0.0	0.0	0
W _{Ma}	96.9	0.0	0.0	0.0	0
R _{Ma}	39.92	58.74	27.99	65.07	25
J _{Ma}	81.26	-2.89	71.56	71.62	92
G _{Ma}	52.23	-42.42	13.6	44.55	162
B _{Ma}	30.57	1.41	-46.47	46.49	272

Daten für Maximalfarbe (Ma):

$LAB^*LAB^*_{Ma}$: 75 18 69

$LAB^*LCH^*_{Ma}$: 75 72 75

$lab^*rgb^*_{Ma}$: 1.0 0.75 0.0

$lab^*olv^*_{Ma}$: 1.0 0.68 0.0

Dreiecks-Helligkeit i^*

%Umfang

$u^*_{rel} = 89$

%Regularität

$g^*_{H,rel} = 72$

$g^*_{C,rel} = 57$

ORS19_96a; adaptierte CIELAB-Daten

u^*_e	$L^*=L^*_a$	a^*_a	b^*_a	$C^*_{ab,a}$	$h^*_{ab,a}$	u^*_d
r00j	48.88	66.47	31.67	73.63	25	m84o
r25j	55.85	52.39	47.48	70.7	42	o17y
r50j	65.45	35.22	58.37	68.17	59	o42y
r75j	75.19	17.82	69.41	71.66	76	o67y
j00g	87.03	-3.35	82.83	82.9	92	o92y
j25g	80.72	-25.01	69.5	73.86	110	y20l
j50g	70.64	-39.54	51.97	65.3	127	y46l
j75g	61.93	-52.1	36.83	63.8	145	y72l
g00b	52.8	-65.28	20.93	68.56	162	y99l
g25b	55.7	-49.58	-8.39	50.28	190	l36c
g50b	57.82	-38.4	-28.92	48.07	217	l72c
g75b	55.5	-22.05	-45.95	50.97	244	c11v
b00r	41.6	1.37	-45.01	45.03	272	c56v
b25r	29.0	25.08	-43.13	49.89	300	v04m
b50r	38.04	46.53	-28.39	54.51	329	v55m
b75r	49.48	72.88	-3.76	72.98	357	m11o

$lab^*icu^*_d$

$i^* = 1.00$

Brillantheit i^*

$i^* = 0.80$

$i^* = 0.60$

$i^* = 0.40$

$i^* = 0.20$

$i^* = 0.00$

Ein und Ausgabe: Farbmimetrisches Drucker-Reflektiv-System ORS19_96a für relativen CIELAB-Buntton $h^* = \text{lab}^*h^* = h_{ab}/360 = 0.256$

Daten für jede Farbe:

lab^*tch^* und lab^*icu^*

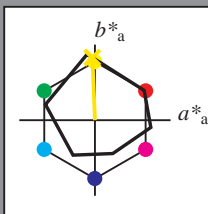
Bunttontexte:

$u^*_e = j00g$ $u^*_d = o92y$

Kontrastreduzierungsfaktor:

$c_R = 1.0$

Dreiecks-Helligkeit i^*



ORS19_96a; adaptierte CIELAB-Daten						
u^*_e	$L^*=L^*_a$	a^*_a	b^*_a	$C^*_{ab,a}$	$h^*_{ab,a}$	
O _{Ma}	48.75	65.07	39.43	76.08	31	
Y _{Ma}	90.92	-10.29	87.24	87.85	97	
L _{Ma}	52.69	-65.44	20.75	68.65	162	
C _{Ma}	59.61	-28.98	-46.22	54.56	238	
V _{Ma}	28.39	23.63	-44.13	50.06	298	
M _{Ma}	49.58	73.93	-9.56	74.55	353	
N _{Ma}	18.89	0.0	0.0	0.0	0	
W _{Ma}	96.9	0.0	0.0	0.0	0	
R _{Ma}	39.92	58.74	27.99	65.07	25	
J _{Ma}	81.26	-2.89	71.56	71.62	92	
G _{Ma}	52.23	-42.42	13.6	44.55	162	
B _{Ma}	30.57	1.41	-46.47	46.49	272	

Daten für Maximalfarbe (Ma):

$\text{LAB}^*\text{LAB}^*_{\text{Ma}}$: 87 -3 83

$\text{LAB}^*\text{LCH}^*_{\text{Ma}}$: 87 83 92

$\text{lab}^*\text{rgb}^*_{\text{Ma}}$: 1.0 1.0 0.0

$\text{lab}^*\text{olv}^*_{\text{Ma}}$: 1.0 0.93 0.0

Dreiecks-Helligkeit i^*

%Umfang

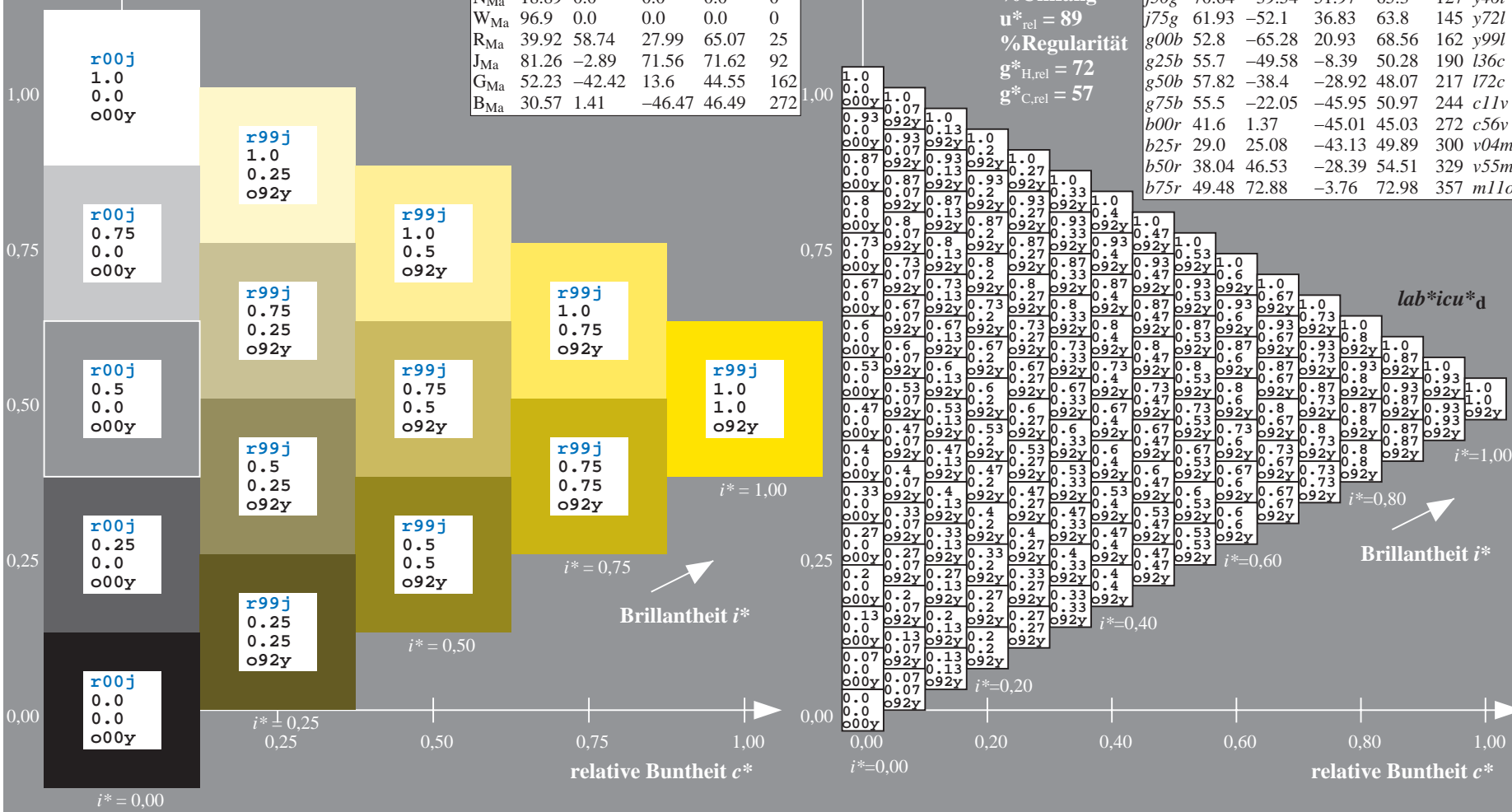
$u^*_{\text{rel}} = 89$

%Regularität

$g^*_{H,\text{rel}} = 72$

$g^*_{C,\text{rel}} = 57$

ORS19_96a; adaptierte CIELAB-Daten							
u^*_e	$L^*=L^*_a$	a^*_a	b^*_a	$C^*_{ab,a}$	$h^*_{ab,a}$	u^*_d	
r00j	48.88	66.47	31.67	73.63	25	m84o	
r25j	55.85	52.39	47.48	70.7	42	o17y	
r50j	65.45	35.22	58.37	68.17	59	o42y	
r75j	75.19	17.82	69.41	71.66	76	o67y	
j00g	87.03	-3.35	82.83	82.9	92	o92y	
j25g	80.72	-25.01	69.5	73.86	110	y20l	
j50g	70.64	-39.54	51.97	65.3	127	y46l	
j75g	61.93	-52.1	36.83	63.8	145	y72l	
g00b	52.8	-65.28	20.93	68.56	162	y99l	
g25b	55.7	-49.58	-8.39	50.28	190	l36c	
g50b	57.82	-38.4	-28.92	48.07	217	l72c	
g75b	55.5	-22.05	-45.95	50.97	244	c11v	
b00r	41.6	1.37	-45.01	45.03	272	c56v	
b25r	29.0	25.08	-43.13	49.89	300	v04m	
b50r	38.04	46.53	-28.39	54.51	329	v55m	
b75r	49.48	72.88	-3.76	72.98	357	m11o	



Ein und Ausgabe: Farbmetrisches Drucker-Reflektiv-System ORS19_96a für relativen CIELAB-Buntton $h^* = \text{lab}^*h^* = h_{ab}/360 = 0.305$

Daten für jede Farbe:

lab^*tch^* und lab^*icu^*

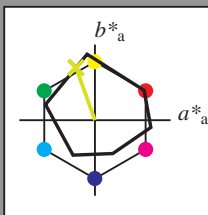
Bunttontexte:

$u^*_e = j25g$ $u^*_d = y20l$

Kontrastreduzierungsfaktor:

$c_R = 1.0$

Dreiecks-Helligkeit i^*



ORS19_96a; adaptierte CIELAB-Daten

u^*_e	$L^*=L^*_a$	a^*_a	b^*_a	$C^*_{ab,a}$	$h^*_{ab,a}$
O _{Ma}	48.75	65.07	39.43	76.08	31
Y _{Ma}	90.92	-10.29	87.24	87.85	97
L _{Ma}	52.69	-65.44	20.75	68.65	162
C _{Ma}	59.61	-28.98	-46.22	54.56	238
V _{Ma}	28.39	23.63	-44.13	50.06	298
M _{Ma}	49.58	73.93	-9.56	74.55	353
N _{Ma}	18.89	0.0	0.0	0.0	0
W _{Ma}	96.9	0.0	0.0	0.0	0
R _{Ma}	39.92	58.74	27.99	65.07	25
J _{Ma}	81.26	-2.89	71.56	71.62	92
G _{Ma}	52.23	-42.42	13.6	44.55	162
B _{Ma}	30.57	1.41	-46.47	46.49	272

Daten für Maximalfarbe (Ma):

$\text{LAB}^*\text{LAB}^*_{\text{Ma}}$: 81 -25 69

$\text{LAB}^*\text{LCH}^*_{\text{Ma}}$: 81 74 109

$\text{lab}^*\text{rgb}^*_{\text{Ma}}$: 0.75 1.0 0.0

$\text{lab}^*\text{olv}^*_{\text{Ma}}$: 0.8 1.0 0.0

Dreiecks-Helligkeit i^*

%Umfang

$u^*_{\text{rel}} = 89$

%Regularität

$g^*_{H,\text{rel}} = 72$

$g^*_{C,\text{rel}} = 57$

ORS19_96a; adaptierte CIELAB-Daten

u^*_e	$L^*=L^*_a$	a^*_a	b^*_a	$C^*_{ab,a}$	$h^*_{ab,a}$	u^*_d
r00j	48.88	66.47	31.67	73.63	25	m84o
r25j	55.85	52.39	47.48	70.7	42	o17y
r50j	65.45	35.22	58.37	68.17	59	o42y
r75j	75.19	17.82	69.41	71.66	76	o67y
j00g	87.03	-3.35	82.83	82.9	92	o92y
j25g	80.72	-25.01	69.5	73.86	110	y20l
j50g	70.64	-39.54	51.97	65.3	127	y46l
j75g	61.93	-52.1	36.83	63.8	145	y72l
g00b	52.8	-65.28	20.93	68.56	162	y99l
g25b	55.7	-49.58	-8.39	50.28	190	l36c
g50b	57.82	-38.4	-28.92	48.07	217	l72c
g75b	55.5	-22.05	-45.95	50.97	244	c11v
b00r	41.6	1.37	-45.01	45.03	272	c56v
b25r	29.0	25.08	-43.13	49.89	300	v04m
b50r	38.04	46.53	-28.39	54.51	329	v55m
b75r	49.48	72.88	-3.76	72.98	357	m11o

$\text{lab}^*\text{icu}^*_d$

$i^* = 1.00$

Brillantheit i^*

$i^* = 0.80$

$i^* = 0.60$

$i^* = 0.40$

$i^* = 0.20$

$i^* = 0.00$

relative Bunttheit c^*

Ein und Ausgabe: Farbmimetrisches Drucker-Reflektiv-System ORS19_96a für relativen CIELAB-Buntton $h^* = \text{lab}^*h^* = h_{ab}/360 = 0.354$

Daten für jede Farbe:

lab^*tch^* und lab^*icu^*

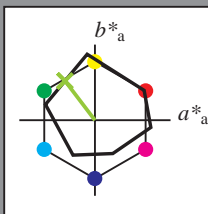
Bunttontexte:

$u^*_e = j50g$ $u^*_d = y46l$

Kontrastreduzierungsfaktor:

$c_R = 1.0$

Dreiecks-Helligkeit i^*



ORS19_96a; adaptierte CIELAB-Daten

	u^*_e	$L^*=L^*_a$	a^*_a	b^*_a	$C^*_{ab,a}$	$h^*_{ab,a}$
O _{Ma}	48.75	65.07	39.43	76.08	31	
Y _{Ma}	90.92	-10.29	87.24	87.85	97	
L _{Ma}	52.69	-65.44	20.75	68.65	162	
C _{Ma}	59.61	-28.98	-46.22	54.56	238	
V _{Ma}	28.39	23.63	-44.13	50.06	298	
M _{Ma}	49.58	73.93	-9.56	74.55	353	
N _{Ma}	18.89	0.0	0.0	0.0	0	
W _{Ma}	96.9	0.0	0.0	0.0	0	
R _{Ma}	39.92	58.74	27.99	65.07	25	
J _{Ma}	81.26	-2.89	71.56	71.62	92	
G _{Ma}	52.23	-42.42	13.6	44.55	162	
B _{Ma}	30.57	1.41	-46.47	46.49	272	

Daten für Maximalfarbe (Ma):

$\text{LAB}^*\text{LAB}^*_{\text{Ma}}$: 71 -40 52

$\text{LAB}^*\text{LCH}^*_{\text{Ma}}$: 71 65 127

$\text{lab}^*\text{rgb}^*_{\text{Ma}}$: 0.5 1.0 0.0

$\text{lab}^*\text{olv}^*_{\text{Ma}}$: 0.54 1.0 0.0

Dreiecks-Helligkeit i^*

%Umfang

$u^*_{\text{rel}} = 89$

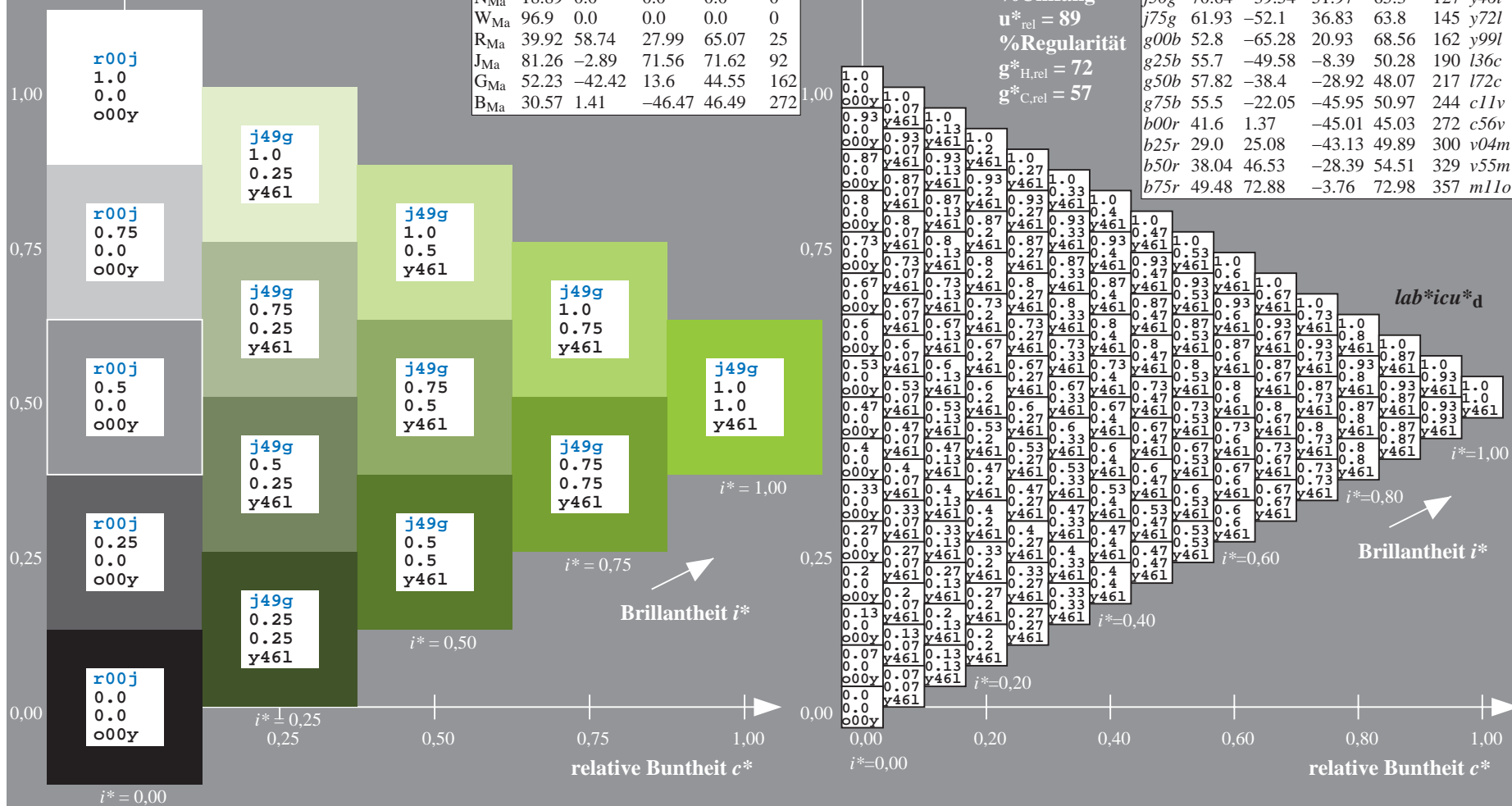
%Regularität

$g^*_{H,\text{rel}} = 72$

$g^*_{C,\text{rel}} = 57$

ORS19_96a; adaptierte CIELAB-Daten

	u^*_e	$L^*=L^*_a$	a^*_a	b^*_a	$C^*_{ab,a}$	$h^*_{ab,a}$	u^*_d
r00j	48.88	66.47	31.67	73.63	25	m84o	
r25j	55.85	52.39	47.48	70.7	42	o17y	
r50j	65.45	35.22	58.37	68.17	59	o42y	
r75j	75.19	17.82	69.41	71.66	76	o67y	
j00g	87.03	-3.35	82.83	82.9	92	o92y	
j25g	80.72	-25.01	69.5	73.86	110	y20l	
j50g	70.64	-39.54	51.97	65.3	127	y46l	
j75g	61.93	-52.1	36.83	63.8	145	y72l	
g00b	52.8	-65.28	20.93	68.56	162	y99l	
g25b	55.7	-49.58	-8.39	50.28	190	l36c	
g50b	57.82	-38.4	-28.92	48.07	217	l72c	
g75b	55.5	-22.05	-45.95	50.97	244	c11v	
b00r	41.6	1.37	-45.01	45.03	272	c56v	
b25r	29.0	25.08	-43.13	49.89	300	v04m	
b50r	38.04	46.53	-28.39	54.51	329	v55m	
b75r	49.48	72.88	-3.76	72.98	357	m11o	



Ein und Ausgabe: Farbmimetrisches Drucker-Reflektiv-System ORS19_96a für relativen CIELAB-Buntton $h^* = lab^*h^* = h_{ab}/360 = 0.402$

Daten für jede Farbe:

lab^*ch^* und lab^*icu^*

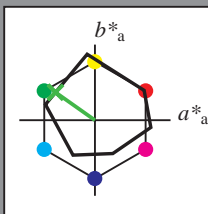
Bunttontexte:

$u^*_e = j75g$ $u^*_d = y72l$

Kontrastreduzierungsfaktor:

$c_R = 1.0$

Dreiecks-Helligkeit i^*



ORS19_96a; adaptierte CIELAB-Daten

u^*_e	$L^*=L^*_a$	a^*_a	b^*_a	$C^*_{ab,a}$	$h^*_{ab,a}$
O _{Ma}	48.75	65.07	39.43	76.08	31
Y _{Ma}	90.92	-10.29	87.24	87.85	97
L _{Ma}	52.69	-65.44	20.75	68.65	162
C _{Ma}	59.61	-28.98	-46.22	54.56	238
V _{Ma}	28.39	23.63	-44.13	50.06	298
M _{Ma}	49.58	73.93	-9.56	74.55	353
N _{Ma}	18.89	0.0	0.0	0.0	0
W _{Ma}	96.9	0.0	0.0	0.0	0
R _{Ma}	39.92	58.74	27.99	65.07	25
J _{Ma}	81.26	-2.89	71.56	71.62	92
G _{Ma}	52.23	-42.42	13.6	44.55	162
B _{Ma}	30.57	1.41	-46.47	46.49	272

Daten für Maximalfarbe (Ma):

$LAB^*LAB^*_{Ma}$: 62 -52 37

$LAB^*LCH^*_{Ma}$: 62 64 144

$lab^*rgb^*_{Ma}$: 0.25 1.0 0.0

$lab^*olv^*_{Ma}$: 0.27 1.0 0.0

Dreiecks-Helligkeit i^*

%Umfang

$u^*_{rel} = 89$

%Regularität

$g^*_{H,rel} = 72$

$g^*_{C,rel} = 57$

ORS19_96a; adaptierte CIELAB-Daten

u^*_e	$L^*=L^*_a$	a^*_a	b^*_a	$C^*_{ab,a}$	$h^*_{ab,a}$	u^*_d
r00j	48.88	66.47	31.67	73.63	25	m84o
r25j	55.85	52.39	47.48	70.7	42	o17y
r50j	65.45	35.22	58.37	68.17	59	o42y
r75j	75.19	17.82	69.41	71.66	76	o67y
j00g	87.03	-3.35	82.83	82.9	92	o92y
j25g	80.72	-25.01	69.5	73.86	110	y20l
j50g	70.64	-39.54	51.97	65.3	127	y46l
j75g	61.93	-52.1	36.83	63.8	145	y72l
g00b	52.8	-65.28	20.93	68.56	162	y99l
g25b	55.7	-49.58	-8.39	50.28	190	l36c
g50b	57.82	-38.4	-28.92	48.07	217	l72c
g75b	55.5	-22.05	-45.95	50.97	244	c11v
b00r	41.6	1.37	-45.01	45.03	272	c56v
b25r	29.0	25.08	-43.13	49.89	300	v04m
b50r	38.04	46.53	-28.39	54.51	329	v55m
b75r	49.48	72.88	-3.76	72.98	357	m11o

$lab^*icu^*_d$

$i^* = 1.00$

Brillantheit i^*

$i^* = 0.80$

$i^* = 0.60$

$i^* = 0.40$

$i^* = 0.20$

$i^* = 0.00$

relative Buntheit c^*

relative Buntheit c^*

Ein und Ausgabe: Farbmimetrisches Drucker-Reflektiv-System ORS19_96a für relativen CIELAB-Buntton $h^* = \text{lab}^*h^* = h_{ab}/360 = 0.451$

Daten für jede Farbe:

lab^*tch^* und lab^*icu^*

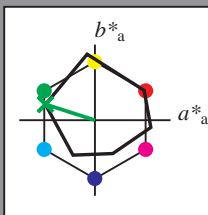
Bunttontexte:

$u^*_e = g00b$ $u^*_d = y99l$

Kontrastreduzierungsfaktor:

$c_R = 1.0$

Dreiecks-Helligkeit i^*



ORS19_96a; adaptierte CIELAB-Daten

u^*_e	$L^*=L^*_a$	a^*_a	b^*_a	$C^*_{ab,a}$	$h^*_{ab,a}$
O _{Ma}	48.75	65.07	39.43	76.08	31
Y _{Ma}	90.92	-10.29	87.24	87.85	97
L _{Ma}	52.69	-65.44	20.75	68.65	162
C _{Ma}	59.61	-28.98	-46.22	54.56	238
V _{Ma}	28.39	23.63	-44.13	50.06	298
M _{Ma}	49.58	73.93	-9.56	74.55	353
N _{Ma}	18.89	0.0	0.0	0.0	0
W _{Ma}	96.9	0.0	0.0	0.0	0
R _{Ma}	39.92	58.74	27.99	65.07	25
J _{Ma}	81.26	-2.89	71.56	71.62	92
G _{Ma}	52.23	-42.42	13.6	44.55	162
B _{Ma}	30.57	1.41	-46.47	46.49	272

Daten für Maximalfarbe (Ma):

$\text{LAB}^*\text{LAB}^*_{\text{Ma}}$: 53 -65 21

$\text{LAB}^*\text{LCH}^*_{\text{Ma}}$: 53 69 162

$\text{lab}^*\text{rgb}^*_{\text{Ma}}$: 0.0 1.0 0.0

$\text{lab}^*\text{olv}^*_{\text{Ma}}$: 0.0 1.0 0.0

Dreiecks-Helligkeit i^*

%Umfang

$u^*_{\text{rel}} = 89$

%Regularität

$g^*_{H,\text{rel}} = 72$

$g^*_{C,\text{rel}} = 57$

ORS19_96a; adaptierte CIELAB-Daten

u^*_e	$L^*=L^*_a$	a^*_a	b^*_a	$C^*_{ab,a}$	$h^*_{ab,a}$	u^*_d
r00j	48.88	66.47	31.67	73.63	25	m84o
r25j	55.85	52.39	47.48	70.7	42	o17y
r50j	65.45	35.22	58.37	68.17	59	o42y
r75j	75.19	17.82	69.41	71.66	76	o67y
j00g	87.03	-3.35	82.83	82.9	92	o92y
j25g	80.72	-25.01	69.5	73.86	110	y20l
j50g	70.64	-39.54	51.97	65.3	127	y46l
j75g	61.93	-52.1	36.83	63.8	145	y72l
g00b	52.8	-65.28	20.93	68.56	162	y99l
g25b	55.7	-49.58	-8.39	50.28	190	l36c
g50b	57.82	-38.4	-28.92	48.07	217	l72c
g75b	55.5	-22.05	-45.95	50.97	244	c11v
b00r	41.6	1.37	-45.01	45.03	272	c56v
b25r	29.0	25.08	-43.13	49.89	300	v04m
b50r	38.04	46.53	-28.39	54.51	329	v55m
b75r	49.48	72.88	-3.76	72.98	357	m11o

$\text{lab}^*\text{icu}^*_d$

$i^* = 1.00$

Brillantheit i^*

$i^* = 0.80$

$i^* = 0.60$

$i^* = 0.40$

$i^* = 0.20$

$i^* = 0.00$

Ein und Ausgabe: Farbmimetrisches Drucker-Reflektiv-System ORS19_96a für relativen CIELAB-Buntton $h^* = lab^*h^* = h_{ab}/360 = 0.527$

Daten für jede Farbe:

lab^*tch^* und lab^*icu^*

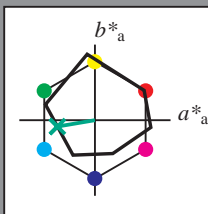
Bunttontexte:

$u^*_e = g25b$ $u^*_d = l36c$

Kontrastreduzierungsfaktor:

$c_R = 1.0$

Dreiecks-Helligkeit i^*



ORS19_96a; adaptierte CIELAB-Daten

u^*_e	$L^*=L^*_a$	a^*_a	b^*_a	$C^*_{ab,a}$	$h^*_{ab,a}$
O _{Ma}	48.75	65.07	39.43	76.08	31
Y _{Ma}	90.92	-10.29	87.24	87.85	97
L _{Ma}	52.69	-65.44	20.75	68.65	162
C _{Ma}	59.61	-28.98	-46.22	54.56	238
V _{Ma}	28.39	23.63	-44.13	50.06	298
M _{Ma}	49.58	73.93	-9.56	74.55	353
N _{Ma}	18.89	0.0	0.0	0.0	0
W _{Ma}	96.9	0.0	0.0	0.0	0
R _{Ma}	39.92	58.74	27.99	65.07	25
J _{Ma}	81.26	-2.89	71.56	71.62	92
G _{Ma}	52.23	-42.42	13.6	44.55	162
B _{Ma}	30.57	1.41	-46.47	46.49	272

Daten für Maximalfarbe (Ma):

$LAB^*LAB^*_{Ma}$: 56 -50 -8

$LAB^*LCH^*_{Ma}$: 56 50 189

$lab^*rgb^*_{Ma}$: 0.0 1.0 0.5

$lab^*olv^*_{Ma}$: 0.0 1.0 0.36

Dreiecks-Helligkeit i^*

%Umfang

$u^*_{rel} = 89$

%Regularität

$g^*_{H,rel} = 72$

$g^*_{C,rel} = 57$

ORS19_96a; adaptierte CIELAB-Daten

u^*_e	$L^*=L^*_a$	a^*_a	b^*_a	$C^*_{ab,a}$	$h^*_{ab,a}$	u^*_d
r00j	48.88	66.47	31.67	73.63	25	m84o
r25j	55.85	52.39	47.48	70.7	42	o17y
r50j	65.45	35.22	58.37	68.17	59	o42y
r75j	75.19	17.82	69.41	71.66	76	o67y
j00g	87.03	-3.35	82.83	82.9	92	o92y
j25g	80.72	-25.01	69.5	73.86	110	y20l
j50g	70.64	-39.54	51.97	65.3	127	y46l
j75g	61.93	-52.1	36.83	63.8	145	y72l
g00b	52.8	-65.28	20.93	68.56	162	y99l
g25b	55.7	-49.58	-8.39	50.28	190	l36c
g50b	57.82	-38.4	-28.92	48.07	217	l72c
g75b	55.5	-22.05	-45.95	50.97	244	c11v
b00r	41.6	1.37	-45.01	45.03	272	c56v
b25r	29.0	25.08	-43.13	49.89	300	v04m
b50r	38.04	46.53	-28.39	54.51	329	v55m
b75r	49.48	72.88	-3.76	72.98	357	m11o

$lab^*icu^*_d$

$i^* = 1.00$

Brillantheit i^*

$i^* = 0.80$

$i^* = 0.60$

$i^* = 0.40$

$i^* = 0.20$

$i^* = 0.00$

Ein und Ausgabe: Farbmimetrisches Drucker-Reflektiv-System ORS19_96a für relativen CIELAB-Buntton $h^* = lab^*h^* = h_{ab}/360 = 0.603$

Daten für jede Farbe:

lab^*ch^* und lab^*icu^*

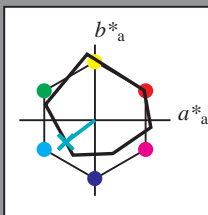
Bunttontexte:

$u^*_e = g50b$ $u^*_d = l72c$

Kontrastreduzierungsfaktor:

$c_R = 1.0$

Dreiecks-Helligkeit i^*



ORS19_96a; adaptierte CIELAB-Daten

	u^*_e	$L^*=L^*_a$	a^*_a	b^*_a	$C^*_{ab,a}$	$h^*_{ab,a}$
O _{Ma}	48.75	65.07	39.43	76.08	31	
Y _{Ma}	90.92	-10.29	87.24	87.85	97	
L _{Ma}	52.69	-65.44	20.75	68.65	162	
C _{Ma}	59.61	-28.98	-46.22	54.56	238	
V _{Ma}	28.39	23.63	-44.13	50.06	298	
M _{Ma}	49.58	73.93	-9.56	74.55	353	
N _{Ma}	18.89	0.0	0.0	0.0	0	
W _{Ma}	96.9	0.0	0.0	0.0	0	
R _{Ma}	39.92	58.74	27.99	65.07	25	
J _{Ma}	81.26	-2.89	71.56	71.62	92	
G _{Ma}	52.23	-42.42	13.6	44.55	162	
B _{Ma}	30.57	1.41	-46.47	46.49	272	

Daten für Maximalfarbe (Ma):

$LAB^*LAB^*_{Ma}$: 58 -38 -29

$LAB^*LCH^*_{Ma}$: 58 48 216

$lab^*rgb^*_{Ma}$: 0.0 1.0 1.0

$lab^*olv^*_{Ma}$: 0.0 1.0 0.72

Dreiecks-Helligkeit i^*

%Umfang

$u^*_{rel} = 89$

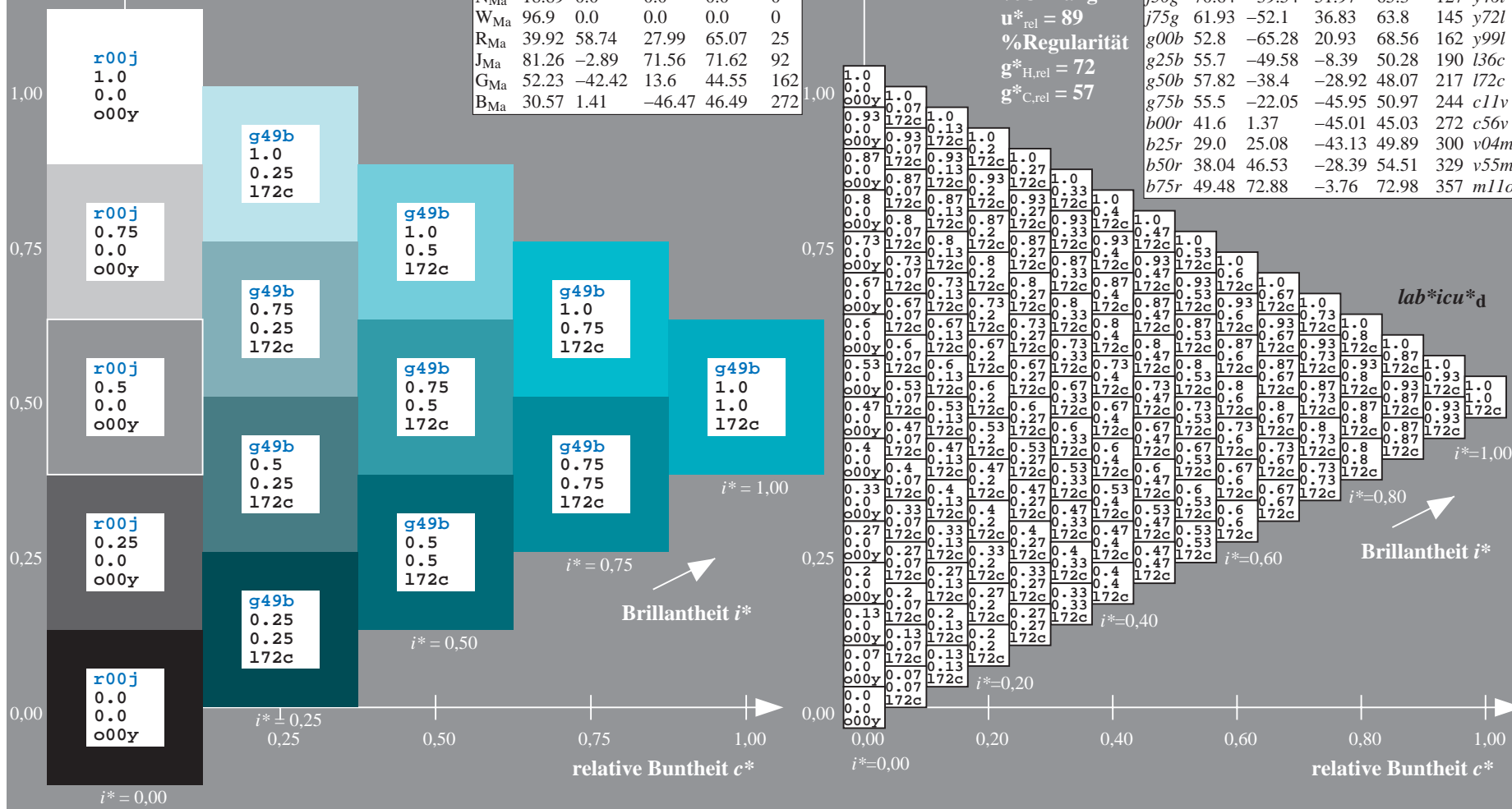
%Regularität

$g^*_{H,rel} = 72$

$g^*_{C,rel} = 57$

ORS19_96a; adaptierte CIELAB-Daten

	u^*_e	$L^*=L^*_a$	a^*_a	b^*_a	$C^*_{ab,a}$	$h^*_{ab,a}$	u^*_d
r00j	48.88	66.47	31.67	73.63	25	m84o	
r25j	55.85	52.39	47.48	70.7	42	o17y	
r50j	65.45	35.22	58.37	68.17	59	o42y	
r75j	75.19	17.82	69.41	71.66	76	o67y	
j00g	87.03	-3.35	82.83	82.9	92	o92y	
j25g	80.72	-25.01	69.5	73.86	110	y20l	
j50g	70.64	-39.54	51.97	65.3	127	y46l	
j75g	61.93	-52.1	36.83	63.8	145	y72l	
g00b	52.8	-65.28	20.93	68.56	162	y99l	
g25b	55.7	-49.58	-8.39	50.28	190	l36c	
g50b	57.82	-38.4	-28.92	48.07	217	l72c	
g75b	55.5	-22.05	-45.95	50.97	244	c11v	
b00r	41.6	1.37	-45.01	45.03	272	c56v	
b25r	29.0	25.08	-43.13	49.89	300	v04m	
b50r	38.04	46.53	-28.39	54.51	329	v55m	
b75r	49.48	72.88	-3.76	72.98	357	m11o	



Daten für jede Farbe:

*lab*tch** und *lab*icu**

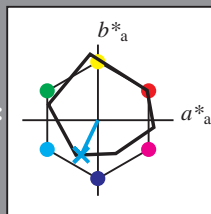
Bunttexte:

$$u^*_e = g75b \quad u^*_d = c11v$$

Kontrastreduzierungsfaktor:

$c_D = 1.0$

K Dreiecks-Helligkeit t^*



ORS19_96a; adaptierte CIELAB-Daten					
u_e^*	$L^*=L_a^*$	a_a^*	b_a^*	$C^*_{ab,a}$	$h^*_{ab,a}$
O _{Ma}	48.75	65.07	39.43	76.08	31
Y _{Ma}	90.92	-10.29	87.24	87.85	97
L _{Ma}	52.69	-65.44	20.75	68.65	162
C _{Ma}	59.61	-28.98	-46.22	54.56	238
V _{Ma}	28.39	23.63	-44.13	50.06	298
M _{Ma}	49.58	73.93	-9.56	74.55	353
N _{Ma}	18.89	0.0	0.0	0.0	0
W _{Ma}	96.9	0.0	0.0	0.0	0
R _{Ma}	39.92	58.74	27.99	65.07	25
J _{Ma}	81.26	-2.89	71.56	71.62	92
G _{Ma}	52.23	-42.42	13.6	44.55	162
B _{Ma}	30.57	1.41	-46.47	46.49	272

Daten für Maximalfarbe (Ma):

*LAB*LAB**M_a: 55 -22 -46

*LAB*LCH**Ma: 55 51 244

*lab*rgb**Ma: 0.0 0.5 1.0

*lab*olv**_{Ma}: 0.0 0.89 1.0

Dreiecks-Helligkeit t^*

100

%Umfang

$$\mathbf{u}_{\text{rel}}^* = 89$$

%Regular:

$$g^*_{H,rel} = 72$$
$$g^*_{C,rel} = 57$$

ORS19_96a; adaptierte CIELAB-Daten							
u_e^*	$L^*=L_a^*$	a_a^*	b_a^*	$C_{ab,a}^*$	$h_{ab,a}^*$	u_d^*	
<i>r00j</i>	48.88	66.47	31.67	73.63	25	<i>m84d</i>	
<i>r25j</i>	55.85	52.39	47.48	70.7	42	<i>o17y</i>	
<i>r50j</i>	65.45	35.22	58.37	68.17	59	<i>o42y</i>	
<i>r75j</i>	75.19	17.82	69.41	71.66	76	<i>o67y</i>	
<i>j00g</i>	87.03	-3.35	82.83	82.9	92	<i>o92y</i>	
<i>j25g</i>	80.72	-25.01	69.5	73.86	110	<i>y20l</i>	
<i>j50g</i>	70.64	-39.54	51.97	65.3	127	<i>y46l</i>	
<i>j75g</i>	61.93	-52.1	36.83	63.8	145	<i>y72l</i>	
<i>g00b</i>	52.8	-65.28	20.93	68.56	162	<i>y99l</i>	
<i>g25b</i>	55.7	-49.58	-8.39	50.28	190	<i>l36c</i>	
<i>g50b</i>	57.82	-38.4	-28.92	48.07	217	<i>l72c</i>	
<i>g75b</i>	55.5	-22.05	-45.95	50.97	244	<i>c11v</i>	
<i>b00r</i>	41.6	1.37	-45.01	45.03	272	<i>c56v</i>	
<i>b25r</i>	29.0	25.08	-43.13	49.89	309	<i>v04m</i>	
<i>b50r</i>	38.04	46.53	-28.39	54.51	329	<i>v55m</i>	
<i>b75r</i>	49.48	72.88	-3.76	72.98	357	<i>m11o</i>	

*lab*icu*d*

$$i^*=1,00$$

Brillantheit i*

BAM-Prüfvorlage Eg12; Farbmatrik-Systeme, Seite 211/270 Eingabe: 000n / w / nnn0 / www set...
4 Separationen, 9 Datentabellen für 16 Bunttöne r00j bis b75r Ausgabe: ->cmyn6* setcmykcolor

Daten für jede Farbe:

Bunttexte:

Kontrastreduzierungsfaktor:

Droickz

Dreiecks-Helligkeit t^*



Daten für Maximalfarbe (Ma):

LAB*LAB*Ma. 42 1-45

*lab*rgb*_{Ma}: 0.0 0.0 1.0

*lab*olv**Ma: 0.0 0.44 1.0

Dreiecks-Helligkeit *

Dreiecks-Helligkeit t^*

%Umfang

$$\mathbf{u}_{\text{rel}}^* = 89$$

%Regularität

$$g^*_{H_{rel}} = 72$$
$$g^*_{C_{rel}} = 57$$

ORS19_96a; adaptierte CIELAB-Daten

*lab*icu*d*

Brillantheit i*

Dr. Michael J. ...

Relative Buntheit c:

Active Bunkbeds

Downloaded from ascelibrary.org by University of California, San Diego on 06/01/15. Copyright ASCE, For All Rights Reserved, No part of this document may be reproduced without written permission from ASCE.



4 Separationen, 9 Datentabellen für 16 Bunttöne *r00j* bis *b75r* Ausgabe: $\Rightarrow cmvyn6^* setcmvycolor$

C	M	Y	O	L	V
---	---	---	---	---	---

Ein und Ausgabe: Farbmetrisches Drucker-Reflektiv-System ORS19_96a für relativen CIELAB-Buntton $h^* = \text{lab}^*h^* = h_{ab}/360 = 0.834$

Daten für jede Farbe:

lab^*ch^* und lab^*icu^*

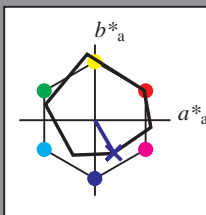
Bunttontexte:

$u^*_e = b25r$ $u^*_d = v04m$

Kontrastreduzierungsfaktor:

$c_R = 1.0$

Dreiecks-Helligkeit i^*



ORS19_96a; adaptierte CIELAB-Daten						
u^*_e	$L^*=L^*_a$	a^*_a	b^*_a	$C^*_{ab,a}$	$h^*_{ab,a}$	u^*_d
O _{Ma}	48.75	65.07	39.43	76.08	31	
Y _{Ma}	90.92	-10.29	87.24	87.85	97	
L _{Ma}	52.69	-65.44	20.75	68.65	162	
C _{Ma}	59.61	-28.98	-46.22	54.56	238	
V _{Ma}	28.39	23.63	-44.13	50.06	298	
M _{Ma}	49.58	73.93	-9.56	74.55	353	
N _{Ma}	18.89	0.0	0.0	0.0	0	
W _{Ma}	96.9	0.0	0.0	0.0	0	
R _{Ma}	39.92	58.74	27.99	65.07	25	
J _{Ma}	81.26	-2.89	71.56	71.62	92	
G _{Ma}	52.23	-42.42	13.6	44.55	162	
B _{Ma}	30.57	1.41	-46.47	46.49	272	

Daten für Maximalfarbe (Ma):

$\text{LAB}^*\text{LAB}^*_{\text{Ma}}$: 29 25 -43

$\text{LAB}^*\text{LCH}^*_{\text{Ma}}$: 29 50 300

$\text{lab}^*\text{rgb}^*_{\text{Ma}}$: 0.5 0.0 1.0

$\text{lab}^*\text{olv}^*_{\text{Ma}}$: 0.04 0.0 1.0

Dreiecks-Helligkeit i^*

%Umfang

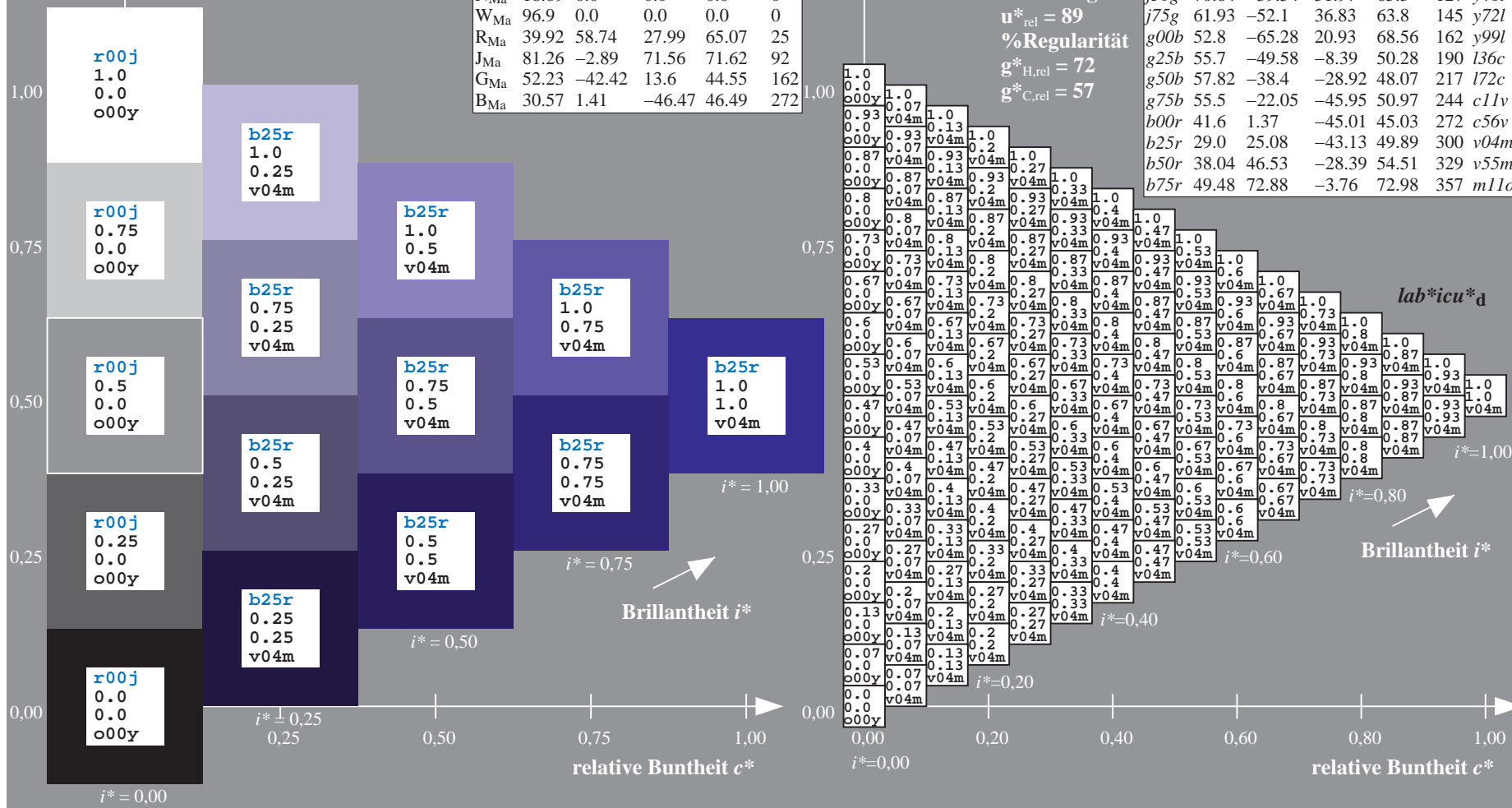
$u^*_{\text{rel}} = 89$

%Regularität

$g^*_{H,\text{rel}} = 72$

$g^*_{C,\text{rel}} = 57$

ORS19_96a; adaptierte CIELAB-Daten						
u^*_e	$L^*=L^*_a$	a^*_a	b^*_a	$C^*_{ab,a}$	$h^*_{ab,a}$	u^*_d
r00j	48.88	66.47	31.67	73.63	25	m84o
r25j	55.85	52.39	47.48	70.7	42	o17y
r50j	65.45	35.22	58.37	68.17	59	o42y
r75j	75.19	17.82	69.41	71.66	76	o67y
j00g	87.03	-3.35	82.83	82.9	92	o92y
j25g	80.72	-25.01	69.5	73.86	110	y20l
j50g	70.64	-39.54	51.97	65.3	127	y46l
j75g	61.93	-52.1	36.83	63.8	145	y72l
g00b	52.8	-65.28	20.93	68.56	162	y99l
g25b	55.7	-49.58	-8.39	50.28	190	l36c
g50b	57.82	-38.4	-28.92	48.07	217	l72c
g75b	55.5	-22.05	-45.95	50.97	244	c11v
b00r	41.6	1.37	-45.01	45.03	272	c56v
b25r	29.0	25.08	-43.13	49.89	300	v04m
b50r	38.04	46.53	-28.39	54.51	329	v55m
b75r	49.48	72.88	-3.76	72.98	357	m11o



Ein und Ausgabe: Farbmetrisches Drucker-Reflektiv-System ORS19_96a für relativen CIELAB-Buntton $h^* = \text{lab}^*h^* = h_{ab}/360 = 0.913$

Daten für jede Farbe:

lab^*ch^* und lab^*icu^*

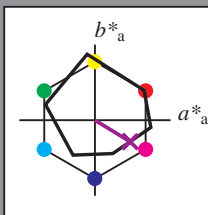
Bunttontexte:

$u^*_e = b50r$ $u^*_d = v55m$

Kontrastreduzierungsfaktor:

$c_R = 1.0$

Dreiecks-Helligkeit i^*



ORS19_96a; adaptierte CIELAB-Daten

u^*_e	$L^*=L^*_a$	a^*_a	b^*_a	$C^*_{ab,a}$	$h^*_{ab,a}$
O _{Ma}	48.75	65.07	39.43	76.08	31
Y _{Ma}	90.92	-10.29	87.24	87.85	97
L _{Ma}	52.69	-65.44	20.75	68.65	162
C _{Ma}	59.61	-28.98	-46.22	54.56	238
V _{Ma}	28.39	23.63	-44.13	50.06	298
M _{Ma}	49.58	73.93	-9.56	74.55	353
N _{Ma}	18.89	0.0	0.0	0.0	0
W _{Ma}	96.9	0.0	0.0	0.0	0
R _{Ma}	39.92	58.74	27.99	65.07	25
J _{Ma}	81.26	-2.89	71.56	71.62	92
G _{Ma}	52.23	-42.42	13.6	44.55	162
B _{Ma}	30.57	1.41	-46.47	46.49	272

Daten für Maximalfarbe (Ma):

$\text{LAB}^*\text{LAB}^*_{\text{Ma}}$: 38 47 -28

$\text{LAB}^*\text{LCH}^*_{\text{Ma}}$: 38 55 328

$\text{lab}^*\text{rgb}^*_{\text{Ma}}$: 1.0 0.0 1.0

$\text{lab}^*\text{olv}^*_{\text{Ma}}$: 0.56 0.0 1.0

Dreiecks-Helligkeit i^*

%Umfang

$u^*_{\text{rel}} = 89$

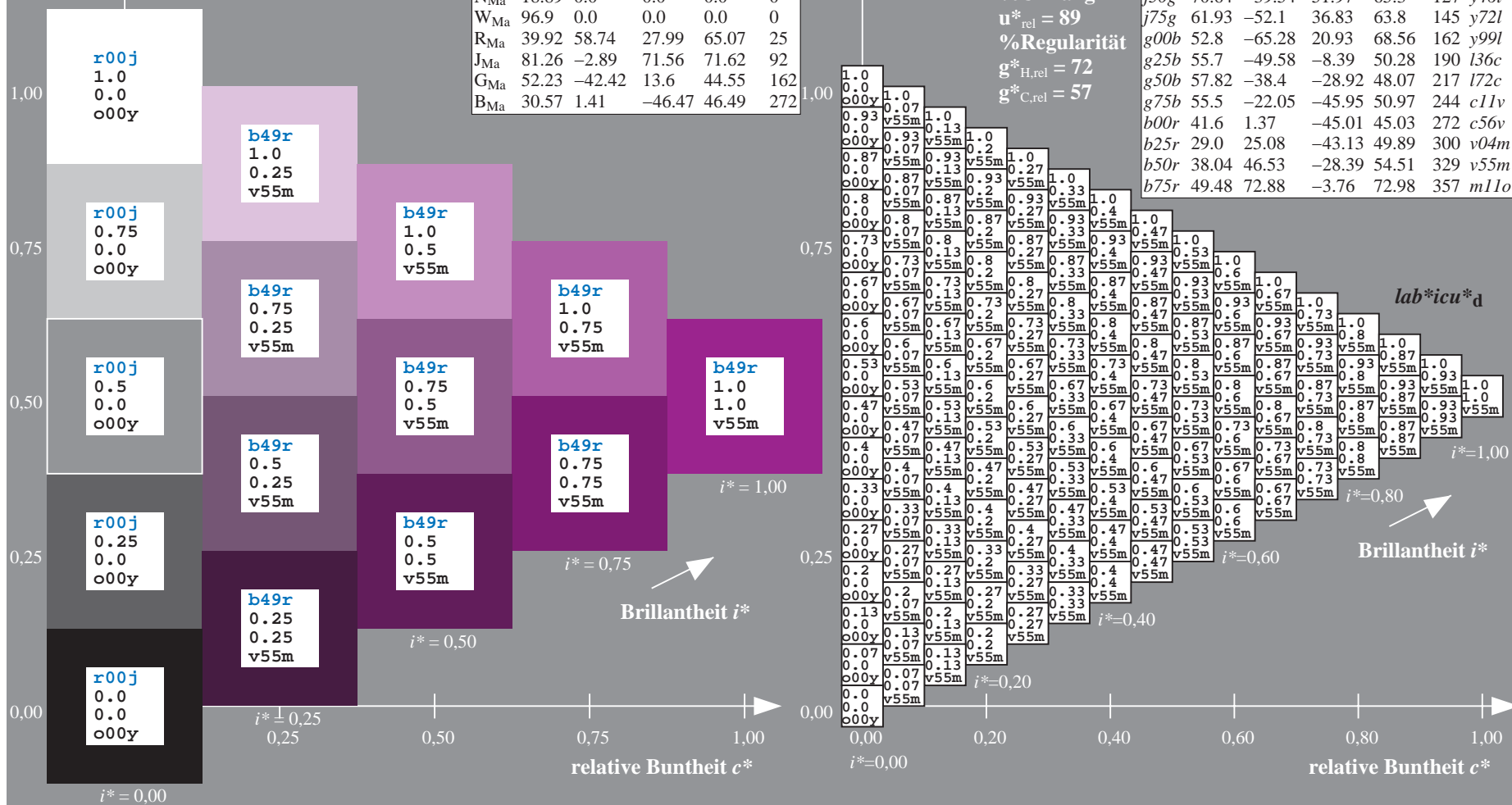
%Regularität

$g^*_{H,\text{rel}} = 72$

$g^*_{C,\text{rel}} = 57$

ORS19_96a; adaptierte CIELAB-Daten

u^*_e	$L^*=L^*_a$	a^*_a	b^*_a	$C^*_{ab,a}$	$h^*_{ab,a}$	u^*_d
r00j	48.88	66.47	31.67	73.63	25	m84o
r25j	55.85	52.39	47.48	70.7	42	o17y
r50j	65.45	35.22	58.37	68.17	59	o42y
r75j	75.19	17.82	69.41	71.66	76	o67y
j00g	87.03	-3.35	82.83	82.9	92	o92y
j25g	80.72	-25.01	69.5	73.86	110	y20l
j50g	70.64	-39.54	51.97	65.3	127	y46l
j75g	61.93	-52.1	36.83	63.8	145	y72l
g00b	52.8	-65.28	20.93	68.56	162	y99l
g25b	55.7	-49.58	-8.39	50.28	190	l36c
g50b	57.82	-38.4	-28.92	48.07	217	l72c
g75b	55.5	-22.05	-45.95	50.97	244	c11v
b00r	41.6	1.37	-45.01	45.03	272	c56v
b25r	29.0	25.08	-43.13	49.89	300	v04m
b50r	38.04	46.53	-28.39	54.51	329	v55m
b75r	49.48	72.88	-3.76	72.98	357	m11o



Ein und Ausgabe: Farbmimetrisches Drucker-Reflektiv-System ORS19_96a für relativen CIELAB-Buntton $h^* = \text{lab}^*h^* = h_{ab}/360 = 0.992$

Daten für jede Farbe:

lab^*tch^* und lab^*icu^*

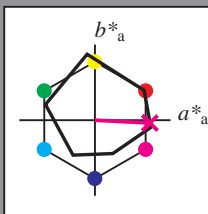
Bunttontexte:

$u^*_e = b75r$ $u^*_d = m11o$

Kontrastreduzierungsfaktor:

$c_R = 1.0$

Dreiecks-Helligkeit t^*



ORS19_96a; adaptierte CIELAB-Daten

u^*_e	$L^*=L^*_a$	a^*_a	b^*_a	$C^*_{ab,a}$	$h^*_{ab,a}$
O _{Ma}	48.75	65.07	39.43	76.08	31
Y _{Ma}	90.92	-10.29	87.24	87.85	97
L _{Ma}	52.69	-65.44	20.75	68.65	162
C _{Ma}	59.61	-28.98	-46.22	54.56	238
V _{Ma}	28.39	23.63	-44.13	50.06	298
M _{Ma}	49.58	73.93	-9.56	74.55	353
N _{Ma}	18.89	0.0	0.0	0.0	0
W _{Ma}	96.9	0.0	0.0	0.0	0
R _{Ma}	39.92	58.74	27.99	65.07	25
J _{Ma}	81.26	-2.89	71.56	71.62	92
G _{Ma}	52.23	-42.42	13.6	44.55	162
B _{Ma}	30.57	1.41	-46.47	46.49	272

Daten für Maximalfarbe (Ma):

$\text{LAB}^*\text{LAB}^*_{Ma}$: 49 73 -4

$\text{LAB}^*\text{LCH}^*_{Ma}$: 49 73 357

$\text{lab}^*\text{rgb}^*_{Ma}$: 1.0 0.0 0.5

$\text{lab}^*\text{olv}^*_{Ma}$: 1.0 0.0 0.89

Dreiecks-Helligkeit t^*

%Umfang

$u^*_{rel} = 89$

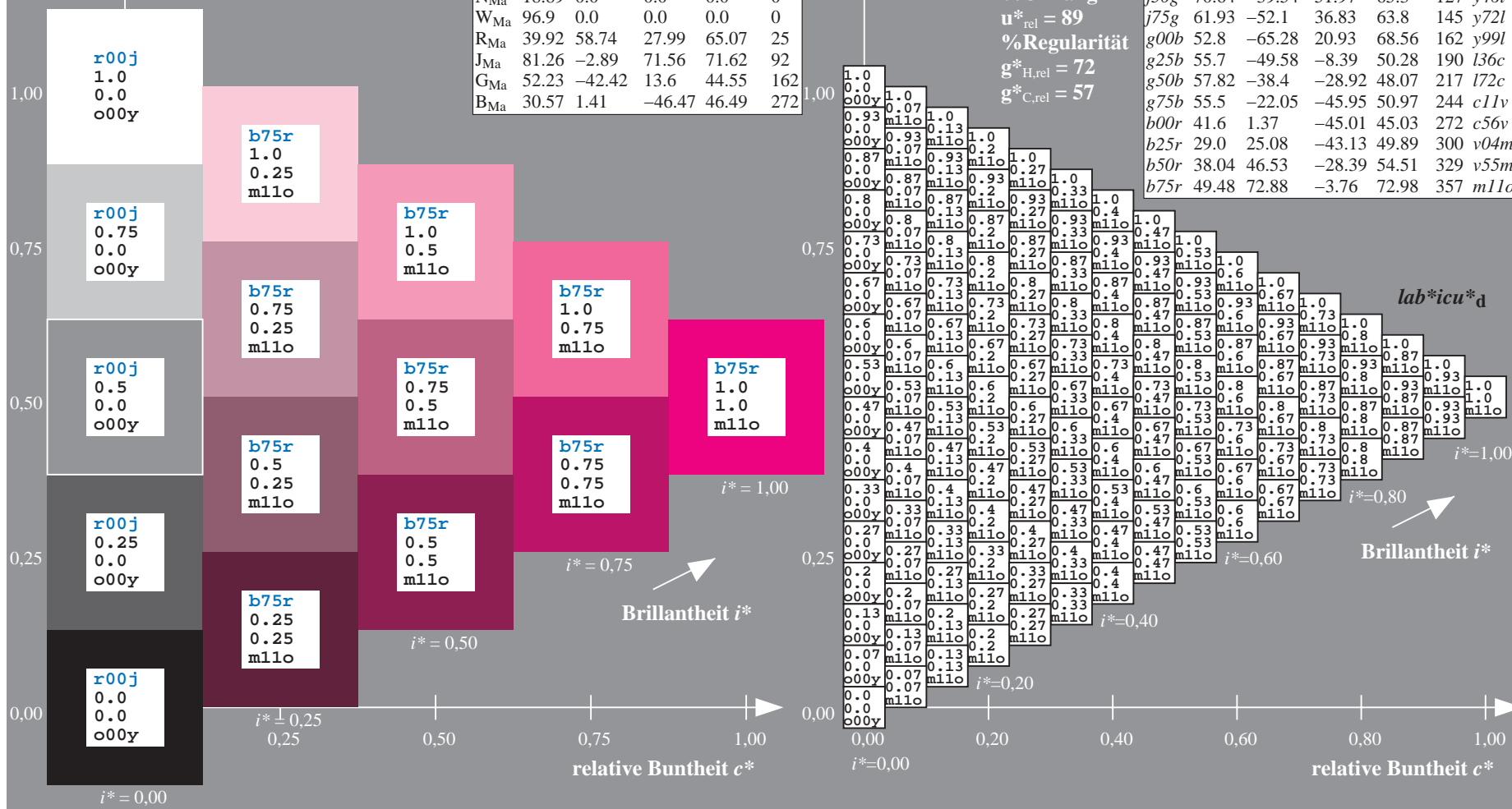
%Regularität

$g^*_{H,rel} = 72$

$g^*_{C,rel} = 57$

ORS19_96a; adaptierte CIELAB-Daten

u^*_e	$L^*=L^*_a$	a^*_a	b^*_a	$C^*_{ab,a}$	$h^*_{ab,a}$	u^*_d
r00j	48.88	66.47	31.67	73.63	25	m84o
r25j	55.85	52.39	47.48	70.7	42	o17y
r50j	65.45	35.22	58.37	68.17	59	o42y
r75j	75.19	17.82	69.41	71.66	76	o67y
j00g	87.03	-3.35	82.83	82.9	92	o92y
j25g	80.72	-25.01	69.5	73.86	110	y20l
j50g	70.64	-39.54	51.97	65.3	127	y46l
j75g	61.93	-52.1	36.83	63.8	145	y72l
g00b	52.8	-65.28	20.93	68.56	162	y99l
g25b	55.7	-49.58	-8.39	50.28	190	l36c
g50b	57.82	-38.4	-28.92	48.07	217	l72c
g75b	55.5	-22.05	-45.95	50.97	244	c11v
b00r	41.6	1.37	-45.01	45.03	272	c56v
b25r	29.0	25.08	-43.13	49.89	300	v04m
b50r	38.04	46.53	-28.39	54.51	329	v55m
b75r	49.48	72.88	-3.76	72.98	357	m11o



Siehe ähnliche Dateien: <http://www.ps.bam.de/Eg12/>; www.ps.bam.de/Eg12/10L/L12G00NA.PS/.TXT BAM-Material: Code=rh4ta
Technische Information: <http://www.ps.bam.de> Version 2.1, io=1,1, ColSp=1

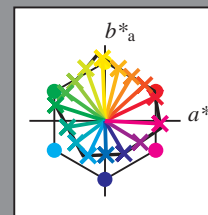
	A	B	C	D	E	F	G	H	I	J	K	L	M	N	O	P	Q	R	S	T	U	V	W	X	Y	Z	a	b	c	d	e	f	g	h	i	j	k	lab*icu*d																																																																																																																																																																																																																																																																																																																																																																																																																																																																																																																																																																																																																																																																																																																																																																																			
0.0	0.0	0.13	0.25	0.38	0.5	0.63	0.75	0.88	1.0	1.13	1.25	1.38	1.5	1.63	0.75	0.88	1.0	1.13	1.25	1.38	1.5	1.63	0.75	0.88	1.0	1.25	1.38	1.5	1.63	0.75	0.88	1.0	1.0	1.0	1.0	1.0	1.0	1.0	0.0	0.0	0.0	0.0																																																																																																																																																																																																																																																																																																																																																																																																																																																																																																																																																																																																																																																																																																																																																																															
0.0	0.0	0.13	0.25	0.38	0.5	0.63	0.75	0.88	1.0	1.13	1.25	1.38	1.5	1.63	0.75	0.88	1.0	1.13	1.25	1.38	1.5	1.63	0.75	0.88	1.0	1.25	1.38	1.5	1.63	0.75	0.88	1.0	1.0	0.13	0.25	0.38	0.5	0.63	0.75	0.88	1.0	0.0	0.0	0.0	0.0																																																																																																																																																																																																																																																																																																																																																																																																																																																																																																																																																																																																																																																																																																																																																																												
0.0	0.0	100c	100c	100c	100c	100c	100c	100c	100c	0.00y	0.00y	0.00y	0.00y	0.00y	0.00y	0.00y	0.00y	0.00y	0.00y	0.00y	0.00y	0.00y	0.00y	0.00y	0.00y	0.00y	0.00y	0.00y	0.00y	0.00y	0.00y	0.00y	0.00y	0.00y	0.00y	0.00y	0.00y	0.00y	0.00y	0.00y	0.00y	0.00y	0.00y	0.00y	0.00y	0.00y	0.00y	0.00y	0.00y	0.00y	0.00y	0.00y	0.00y	0.00y	0.00y	0.00y	0.00y	0.00y	0.00y	0.00y	0.00y	0.00y	0.00y	0.00y	0.00y	0.00y	0.00y	0.00y	0.00y	0.00y	0.00y	0.00y	0.00y	0.00y	0.00y	0.00y	0.00y	0.00y	0.00y	0.00y	0.00y	0.00y	0.00y	0.00y	0.00y	0.00y	0.00y	0.00y	0.00y	0.00y	0.00y	0.00y	0.00y	0.00y	0.00y	0.00y	0.00y	0.00y	0.00y	0.00y	0.00y	0.00y	0.00y	0.00y	0.00y	0.00y	0.00y	0.00y	0.00y	0.00y	0.00y	0.00y	0.00y	0.00y	0.00y	0.00y	0.00y	0.00y	0.00y	0.00y	0.00y	0.00y	0.00y	0.00y	0.00y	0.00y	0.00y	0.00y	0.00y	0.00y	0.00y	0.00y	0.00y	0.00y	0.00y	0.00y	0.00y	0.00y	0.00y	0.00y	0.00y	0.00y	0.00y	0.00y	0.00y	0.00y	0.00y	0.00y	0.00y	0.00y	0.00y	0.00y	0.00y	0.00y	0.00y	0.00y	0.00y	0.00y	0.00y	0.00y	0.00y	0.00y	0.00y	0.00y	0.00y	0.00y	0.00y	0.00y	0.00y	0.00y	0.00y	0.00y	0.00y	0.00y	0.00y	0.00y	0.00y	0.00y	0.00y	0.00y	0.00y	0.00y	0.00y	0.00y	0.00y	0.00y	0.00y	0.00y	0.00y	0.00y	0.00y	0.00y	0.00y	0.00y	0.00y	0.00y	0.00y	0.00y	0.00y	0.00y	0.00y	0.00y	0.00y	0.00y	0.00y	0.00y	0.00y	0.00y	0.00y	0.00y	0.00y	0.00y	0.00y	0.00y	0.00y	0.00y	0.00y	0.00y	0.00y	0.00y	0.00y	0.00y	0.00y	0.00y	0.00y	0.00y	0.00y	0.00y	0.00y	0.00y	0.00y	0.00y	0.00y	0.00y	0.00y	0.00y	0.00y	0.00y	0.00y	0.00y	0.00y	0.00y	0.00y	0.00y	0.00y	0.00y	0.00y	0.00y	0.00y	0.00y	0.00y	0.00y	0.00y	0.00y	0.00y	0.00y	0.00y	0.00y	0.00y	0.00y	0.00y	0.00y	0.00y	0.00y	0.00y	0.00y	0.00y	0.00y	0.00y	0.00y	0.00y	0.00y	0.00y	0.00y	0.00y	0.00y	0.00y	0.00y	0.00y	0.00y	0.00y	0.00y	0.00y	0.00y	0.00y	0.00y	0.00y	0.00y	0.00y	0.00y	0.00y	0.00y	0.00y	0.00y	0.00y	0.00y	0.00y	0.00y	0.00y	0.00y	0.00y	0.00y	0.00y	0.00y	0.00y	0.00y	0.00y	0.00y	0.00y	0.00y	0.00y	0.00y	0.00y	0.00y	0.00y	0.00y	0.00y	0.00y	0.00y	0.00y	0.00y	0.00y	0.00y	0.00y	0.00y	0.00y	0.00y	0.00y	0.00y	0.00y	0.00y	0.00y	0.00y	0.00y	0.00y	0.00y	0.00y	0.00y	0.00y	0.00y	0.00y	0.00y	0.00y	0.00y	0.00y	0.00y	0.00y	0.00y	0.00y	0.00y	0.00y	0.00y	0.00y	0.00y	0.00y	0.00y	0.00y	0.00y	0.00y	0.00y	0.00y	0.00y	0.00y	0.00y	0.00y	0.00y	0.00y	0.00y	0.00y	0.00y	0.00y	0.00y	0.00y	0.00y	0.00y	0.00y	0.00y	0.00y	0.00y	0.00y	0.00y	0.00y	0.00y	0.00y	0.00y	0.00y	0.00y	0.00y	0.00y	0.00y	0.00y	0.00y	0.00y	0.00y	0.00y	0.00y	0.00y	0.00y	0.00y	0.00y	0.00y	0.00y	0.00y	0.00y	0.00y	0.00y	0.00y	0.00y	0.00y	0.00y	0.00y	0.00y	0.00y	0.00y	0.00y	0.00y	0.00y	0.00y	0.00y	0.00y	0.00y	0.00y	0.00y	0.00y	0.00y	0.00y	0.00y	0.00y	0.00y	0.00y	0.00y	0.00y	0.00y	0.00y	0.00y	0.00y	0.00y	0.00y	0.00y	0.00y	0.00y	0.00y	0.00y	0.00y	0.00y	0.00y	0.00y	0.00y	0.00y	0.00y	0.00y	0.00y	0.00y	0.00y	0.00y	0.00y	0.00y	0.00y	0.00y	0.00y	0.00y	0.00y	0.00y	0.00y	0.00y	0.00y	0.00y	0.00y	0.00y	0.00y	0.00y	0.00y	0.00y	0.00y	0.00y	0.00y	0.00y	0.00y	0.00y	0.00y	0.00y	0.00y	0.00y	0.00y	0.00y	0.00y	0.00y	0.00y	0.00y	0.00y	0.00y	0.00y	0.00y	0.00y	0.00y	0.00y	0.00y	0.00y	0.00y	0.00y	0.00y	0.00y	0.00y	0.00y	0.00y	0.00y	0.00y	0.00y	0.00y	0.00y	0.00y	0.00y	0.00y	0.00y	0.00y	0.00y	0.00y	0.00y	0.00y	0.00y	0.00y	0.00y	0.00y	0.00y	0.00y	0.00y	0.00y	0.00y	0.00y	0.00y	0.00y	0.00y	0.00y	0.00y	0.00y	0.00y	0.00y	0.00y	0.00y	0.00y	0.00y	0.00y	0.00y	0.00y	0.00y	0.00y	0.00y	0.00y	0.00y	0.00y	0.00y	0.00y	0.00y	0.00y	0.00y	0.00y	0.00y	0.00y	0.00y	0.00y	0.00y	0.00y	0.00y	0.00y	0.00y	0.00y	0.00y	0.00y	0.00y	0.00y	0.00y	0.00y	0.00y	0.00y	0.00y	0.00y	0.00y	0.00y	0.00y	0.00y	0.00y	0.00y	0.00y	0.00y	0.00y	0.00y	0.00y	0.00y	0.00y	0.00y	0.00y	0.00y	0.00y	0.00y	0.00y	0.00y	0.00y	0.00y	0.00y	0.00y	0.00y	0.00y	0.00y	0.00y	0.00y	0.00y	0.00y	0.00y	0.00y	0.00y	0.00y	0.00y	0.00y	0.00y	0.00y	0.00y	0.00y	0.00y	0.00y	0.00y	0.00y	0.00y	0.00y	0.00y	0.00y	0.00y	0.00y	0.00y	0.00y	0.00y	0.00y	0.00y	0.00y	0.00y	0.00y	0.00y	0.00y	0.00y	0.00y	0.00y	0.00y	0.00y	0.00y	0.00y	0.00y	0.00y	0.00y	0.00y	0.00y	0.00y	0.00y	0.00y	0.00y	0.00y	0.00y	0.00y	0.00y	0.00y	0.00y	0.00y	0.00y	0.00y	0.00y	0.00y	0.00y	0.00y	0.00y	0.00y	0.00y	0.00y	0.00y	0.00y	0.00y	0.00y	0.00y	0.00y	0.00y	0.00y	0.00y	0.00y	0.00y	0.00y	0.00y	0.00y	0.00y	0.00y	0.00y	0.00y	0.00y	0.00y	0.00y	0.00y	0.00y	0.00y	0.00y	0.00y	0.00y	0.00y	0.00y	0.00y	0.00y	0.00y	0.00y	0.00y	0.00y	0.00y	0.00y	0.00y	0.00y	0.00y	0.00y	0.00y	0.00y	0.00y	0.00y	0.00y	0.00y	0.00y	0.00y	0.00y	0.00y	0.00y	0.00y	0.00y	0.00y	0.00y	0.00y	0.00y	0.00y	0.00y	0.00y	0.00y	0.00y	0.00y	0.00y	0.00y	0.00y	0.00y	0.00y	0.00y	0.00y	0.00y	0.00y	0.00y	0.00y	0.00y	0.00y	0.00y	0.00y	0.00y	0.00y	0.00y	0.00y	0.00y	0.00y	0.00y	0.00y	0.00y	0.00y	0.00y	0.00y	0.00y	0.00y	0.00y	0.00y	0.00y	0.00y	0.00y	0.00y	0.00y	0.00y	0.00y	0.00y	0.00y	0.00y	0.00y	0.00y	0.00y	0.00y	0.00y	0.00y	0.00y	0.00y	0.00y	0.00y	0.00y	0.00y	0.00y	0.00y	0.00y	0.00y	0.00y	0.00y

Ein und Ausgabe:
Farbmétrisches Drucker-Reflektiv-System ORS19_96a
Daten für jede Farbe:

u^*_e und Nummer $Nr.$ = 00 .. 15
Elementar-Bunttontext:
 $u^*_e = 16$ Bunttoene $r00j, r25j, \dots, b75r$
Kontrastreduzierungsfaktor:
 $c_R = 1.0$

ORS19_96a; adaptierte CIELAB-Daten

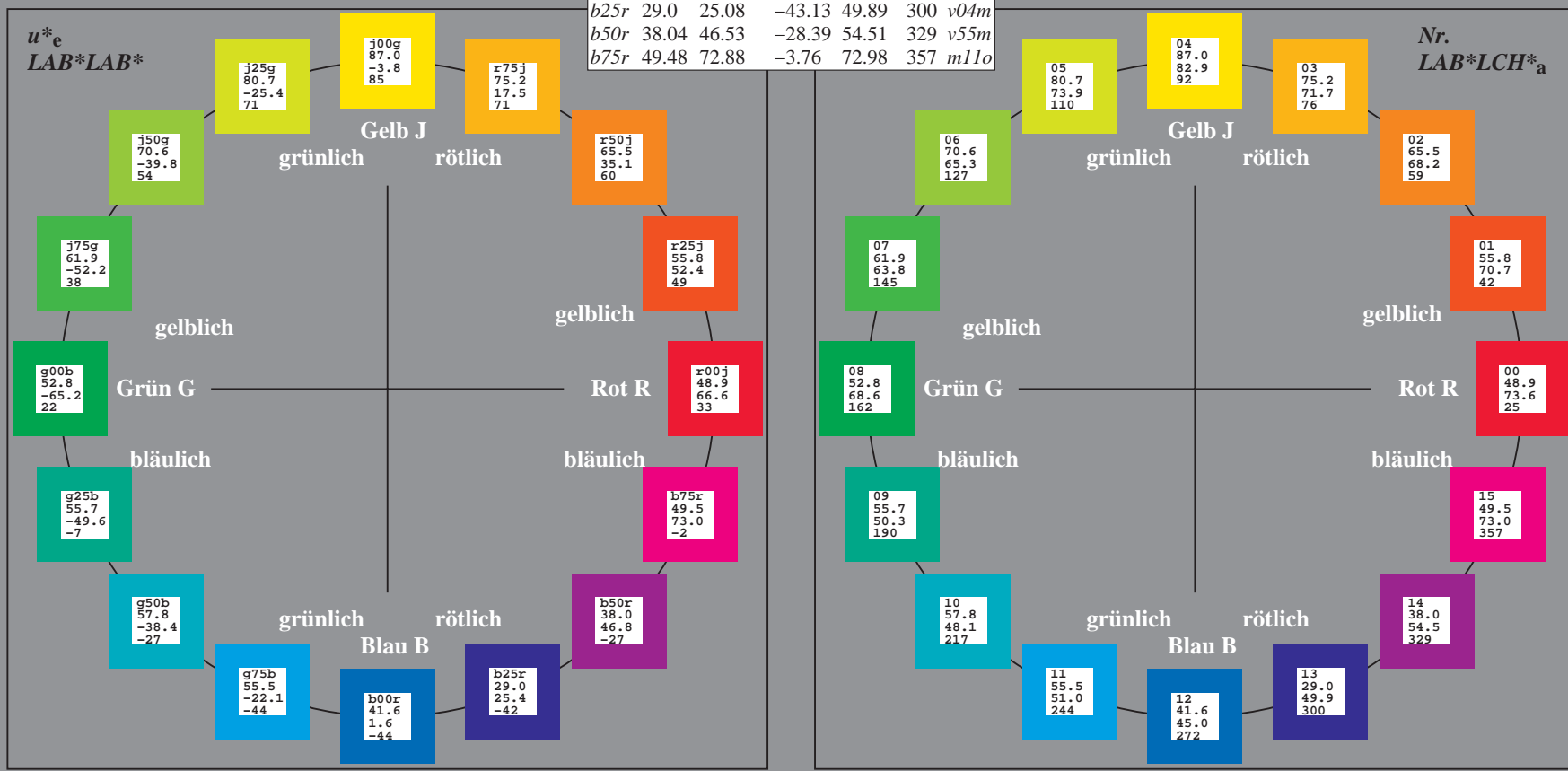
u^*_e	$L^*=L^*_a$	a^*_a	b^*_a	$C^*_{ab,a}$	$h^*_{ab,a}$	u^*_d
$r00j$	48.88	66.47	31.67	73.63	25	$m84o$
$r25j$	55.85	52.39	47.48	70.7	42	$o17y$
$r50j$	65.45	35.22	58.37	68.17	59	$o42y$
$r75j$	75.19	17.82	69.41	71.66	76	$o67y$
$j00g$	87.03	-3.35	82.83	82.9	92	$o92y$
$j25g$	80.72	-25.01	69.5	73.86	110	$y20l$
$j50g$	70.64	-39.54	51.97	65.3	127	$y46l$
$j75g$	61.93	-52.1	36.83	63.8	145	$y72l$
$g00b$	52.8	-65.28	20.93	68.56	162	$y99l$
$g25b$	55.7	-49.58	-8.39	50.28	190	$l36c$
$g50b$	57.82	-38.4	-28.92	48.07	217	$l72c$
$g75b$	55.5	-22.05	-45.95	50.97	244	$c11v$
$b00r$	41.6	1.37	-45.01	45.03	272	$c56v$
$b25r$	29.0	25.08	-43.13	49.89	300	$v04m$
$b50r$	38.04	46.53	-28.39	54.51	329	$v55m$
$b75r$	49.48	72.88	-3.76	72.98	357	$m11o$



%Umfang
 $u^*_{rel} = 89$
%Regularität
 $g^*_{H,rel} = 72$
 $g^*_{C,rel} = 57$

ORS19_96; CIELAB-Daten

Name	$L^*=L^*$	a^*	b^*	C^*_{ab}	h^*_{ab}
O_M	48.75	65.16	40.76	76.86	32
Y_M	90.92	-10.78	89.36	90.01	97
L_M	52.69	-65.4	22.15	69.05	161
C_M	59.61	-29.04	-44.69	53.3	237
V_M	28.39	24.0	-43.18	49.4	299
M_M	49.58	74.01	-8.22	74.47	354
N_M	18.89	0.5	0.77	0.92	57
W_M	96.9	-0.57	2.23	2.3	104
R_{CIE}	39.92	58.74	27.99	65.07	25
J_{CIE}	81.26	-2.89	71.56	71.62	92
G_{CIE}	52.23	-42.42	13.6	44.55	162
B_{CIE}	30.57	1.41	-46.47	46.49	272



Ein und Ausgabe: Farbmetrisches Drucker-Reflektiv-System ORS19_96a für relativen CIELAB-Buntton $h^* = lab^*h^* = h_{ab}/360 = 0.071$

Daten für jede Farbe:

lab^*ch^* und lab^*icu^*

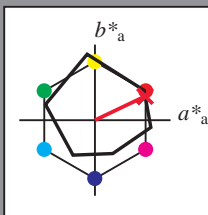
Bunttontexte:

$u^*_e = r00j$ $u^*_d = m84o$

Kontrastreduzierungsfaktor:

$c_R = 1.0$

Dreiecks-Helligkeit t^*



ORS19_96; CIELAB-Daten						
u^*_e	$L^*=L^*_a$	a^*	b^*	C^*_{ab}	h^*_{ab}	
O _M	48.75	65.16	40.76	76.86	32	
Y _M	90.92	-10.78	89.36	90.01	97	
L _M	52.69	-65.4	22.15	69.05	161	
C _M	59.61	-29.04	-44.69	53.3	237	
V _M	28.39	24.0	-43.18	49.4	299	
M _M	49.58	74.01	-8.22	74.47	354	
N _M	18.89	0.5	0.77	0.92	57	
W _M	96.9	-0.57	2.23	2.3	104	
R _M	39.92	58.74	27.99	65.07	25	
J _M	81.26	-2.89	71.56	71.62	92	
G _M	52.23	-42.42	13.6	44.55	162	
B _M	30.57	1.41	-46.47	46.49	272	

Daten für Maximalfarbe (Ma):

$LAB^*LAB^*_{Ma}$: 49 66 32

$LAB^*LCH^*_{Ma}$: 49 74 25

$lab^*rgb^*_{Ma}$: 1.0 0.0 0.0

$lab^*olv^*_{Ma}$: 1.0 0.0 0.15

Dreiecks-Helligkeit t^*

%Umfang

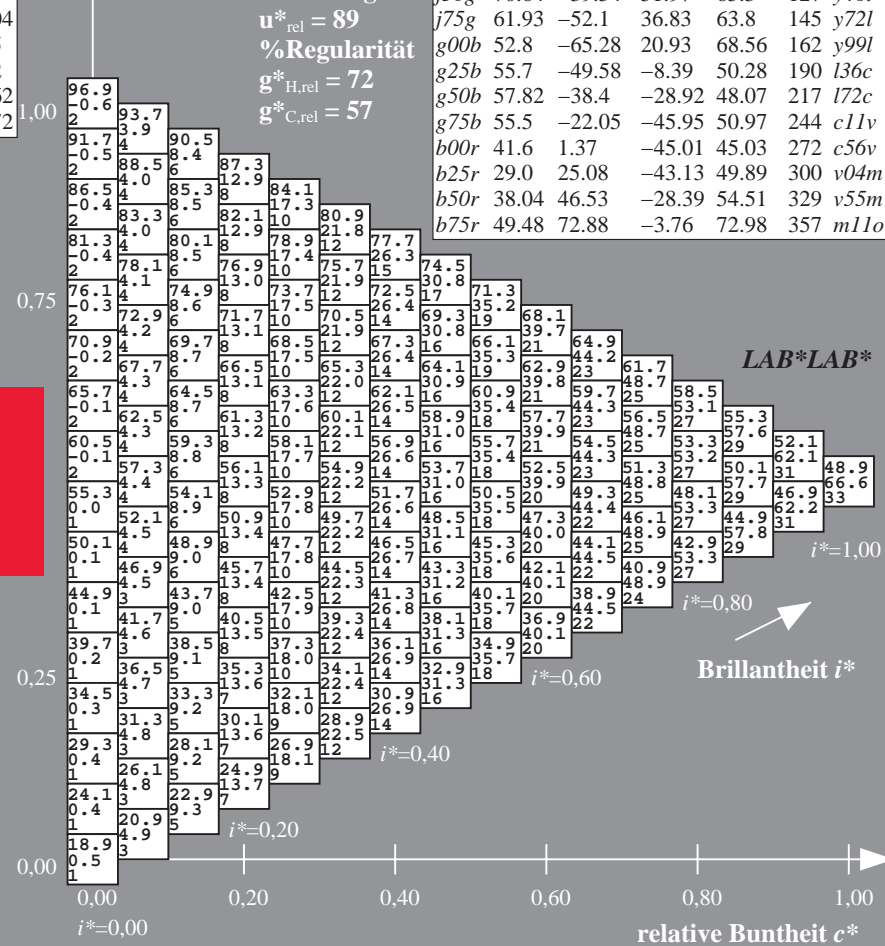
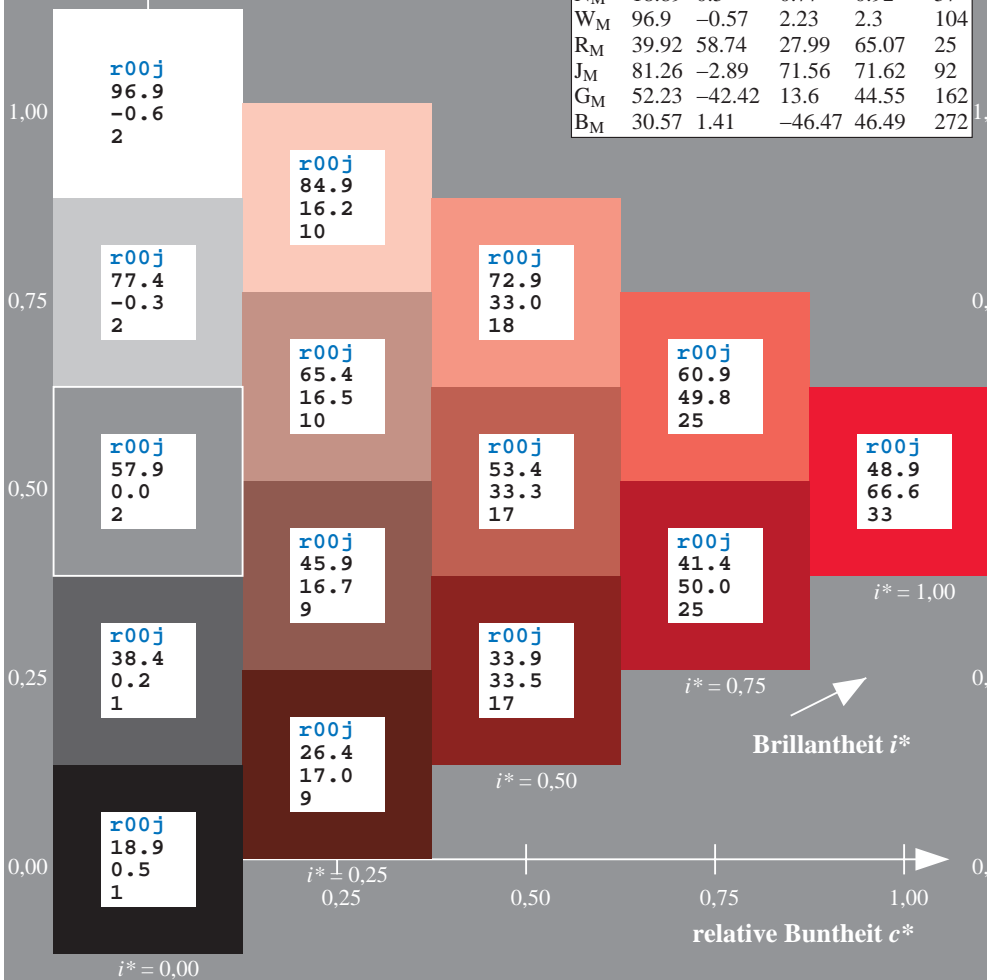
$u^*_{rel} = 89$

%Regularität

$g^*_{H,rel} = 72$

$g^*_{C,rel} = 57$

ORS19_96a; adaptierte CIELAB-Daten									
u^*_e	$L^*=L^*_a$	a^*_a	b^*_a	$C^*_{ab,a}$	$h^*_{ab,a}$	u^*_d			
r00j	48.88	66.47	31.67	73.63	25	m84o			
r25j	55.85	52.39	47.48	70.7	42	o17y			
r50j	65.45	35.22	58.37	68.17	59	o42y			
r75j	75.19	17.82	69.41	71.66	76	o67y			
j00g	87.03	-3.35	82.83	82.9	92	o92y			
j25g	80.72	-25.01	69.5	73.86	110	y20l			
j50g	70.64	-39.54	51.97	65.3	127	y46l			
j75g	61.93	-52.1	36.83	63.8	145	y72l			
g00b	52.8	-65.28	20.93	68.56	162	y99l			
g25b	55.7	-49.58	-8.39	50.28	190	l36c			
g50b	57.82	-38.4	-28.92	48.07	217	l72c			
g75b	55.5	-22.05	-45.95	50.97	244	c11v			
b00r	41.6	1.37	-45.01	45.03	272	c56v			
b25r	29.0	25.08	-43.13	49.89	300	v04m			
b50r	38.04	46.53	-28.39	54.51	329	v55m			
b75r	49.48	72.88	-3.76	72.98	357	m11o			



Ein und Ausgabe: Farbmétrisches Drucker-Reflektiv-System ORS19_96a für relativen CIELAB-Buntton $h^* = lab^*h^* = h_{ab}/360 = 0.117$

Daten für jede Farbe:

lab^*ch^* und lab^*icu^*

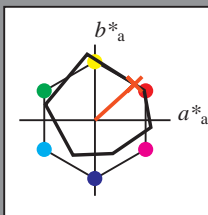
Bunttontexte:

$u^*_e = r25j$ $u^*_d = o17y$

Kontrastreduzierungsfaktor:

$c_R = 1.0$

Dreiecks-Helligkeit i^*



ORS19_96; CIELAB-Daten					
u^*_e	$L^*=L^*$	a^*	b^*	C^*_{ab}	h^*_{ab}
O _M	48.75	65.16	40.76	76.86	32
Y _M	90.92	-10.78	89.36	90.01	97
L _M	52.69	-65.4	22.15	69.05	161
C _M	59.61	-29.04	-44.69	53.3	237
V _M	28.39	24.0	-43.18	49.4	299
M _M	49.58	74.01	-8.22	74.47	354
N _M	18.89	0.5	0.77	0.92	57
W _M	96.9	-0.57	2.23	2.3	104
R _M	39.92	58.74	27.99	65.07	25
J _M	81.26	-2.89	71.56	71.62	92
G _M	52.23	-42.42	13.6	44.55	162
B _M	30.57	1.41	-46.47	46.49	272

Daten für Maximalfarbe (Ma):

LAB^*LAB^*Ma : 56 52 47

LAB^*LCH^*Ma : 56 71 42

lab^*rgb^*Ma : 1.0 0.25 0.0

lab^*olv^*Ma : 1.0 0.17 0.0

Dreiecks-Helligkeit i^*

%Umfang

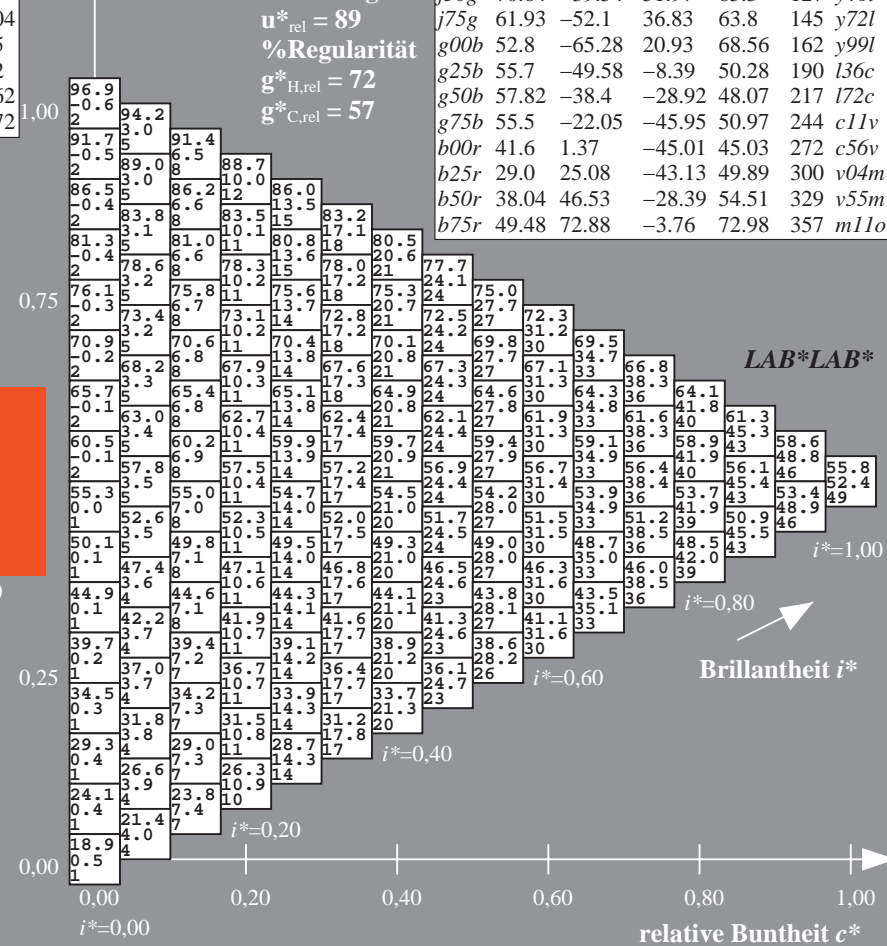
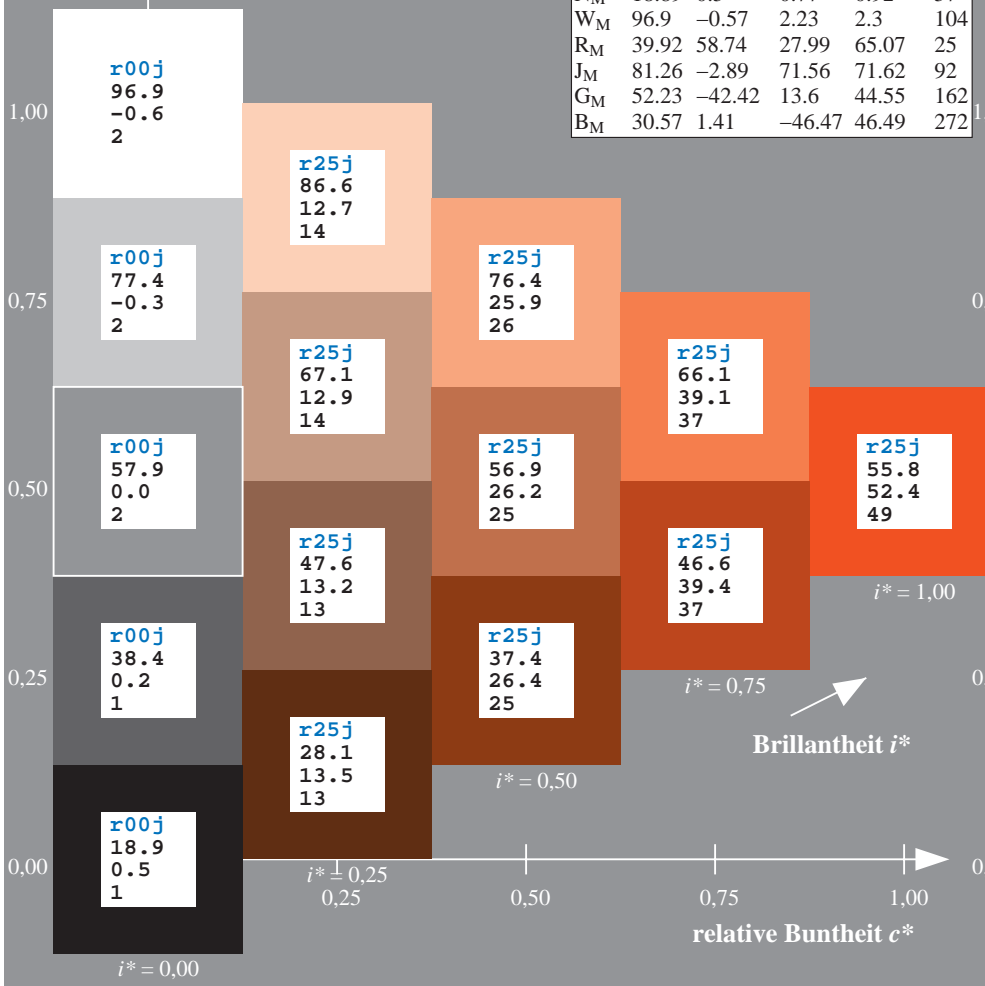
$u^*_{rel} = 89$

%Regularität

$g^*_{H,rel} = 72$

$g^*_{C,rel} = 57$

ORS19_96a; adaptierte CIELAB-Daten							
u^*_e	$L^*=L^*$	a^*_a	b^*_a	$C^*_{ab,a}$	$h^*_{ab,a}$	u^*_d	
r00j	48.88	66.47	31.67	73.63	25	m84o	
r25j	55.85	52.39	47.48	70.7	42	o17y	
r50j	65.45	35.22	58.37	68.17	59	o42y	
r75j	75.19	17.82	69.41	71.66	76	o67y	
j00g	87.03	-3.35	82.83	82.9	92	o92y	
j25g	80.72	-25.01	69.5	73.86	110	y20l	
j50g	70.64	-39.54	51.97	65.3	127	y46l	
j75g	61.93	-52.1	36.83	63.8	145	y72l	
g00b	52.8	-65.28	20.93	68.56	162	y99l	
g25b	55.7	-49.58	-8.39	50.28	190	l36c	
g50b	57.82	-38.4	-28.92	48.07	217	l72c	
g75b	55.5	-22.05	-45.95	50.97	244	c11v	
b00r	41.6	1.37	-45.01	45.03	272	c56v	
b25r	29.0	25.08	-43.13	49.89	300	v04m	
b50r	38.04	46.53	-28.39	54.51	329	v55m	
b75r	49.48	72.88	-3.76	72.98	357	m11o	



metrisches Drucker-Reflektiv-System ORS19_96a für relativen CIELAB-Buntton $h^* = lab^*h^* = h_{ab}/360 = 0.164$

Daten für jede Farbe:

*lab*tch** und *lab*icu**

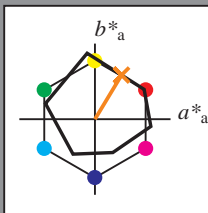
Bunttexte:

$$u_e^* = r50j \quad u_d^* = o42y$$

Kontrastreduzierungsfaktor:

 $c_D = 1.0$

K Dreiecks-Helligkeit t^*



ORS19_96; CIELAB-Daten						
u^*_e	$L^*=L^*$	a^*	b^*	C^*_{ab}	h^*_{ab}	
O _M	48.75	65.16	40.76	76.86	32	
Y _M	90.92	-10.78	89.36	90.01	97	
L _M	52.69	-65.4	22.15	69.05	16	
C _M	59.61	-29.04	-44.69	53.3	23	
V _M	28.39	24.0	-43.18	49.4	29	
M _M	49.58	74.01	-8.22	74.47	35	
N _M	18.89	0.5	0.77	0.92	57	
W _M	96.9	-0.57	2.23	2.3	10	
R _M	39.92	58.74	27.99	65.07	25	
J _M	81.26	-2.89	71.56	71.62	92	
G _M	52.23	-42.42	13.6	44.55	16	
B _M	30.57	1.41	-46.47	46.49	27	

Daten für Maximalfarbe (Ma):

*LAB*LAB*Mo: 65 35 58*

LAD*LGII* 65 69 79

LAB*LCH*Ma: 65 68 5

*lab*rgb*_Ma: 1.0 0.5 0.0*

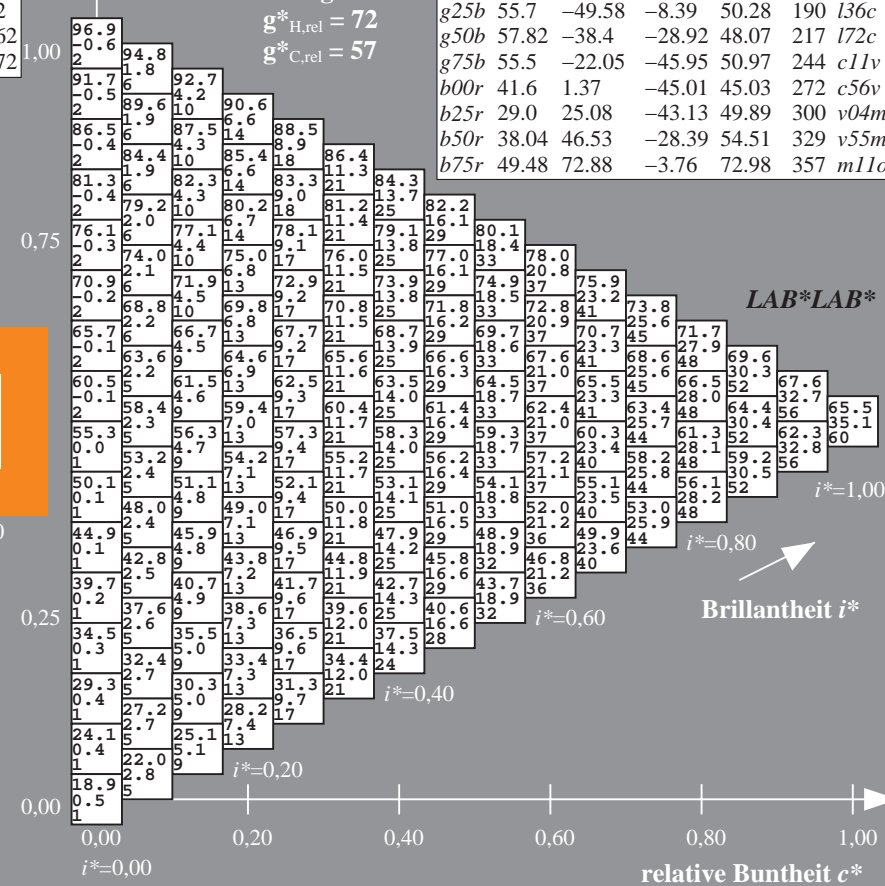
*lab*olv**Ma: 1.0 0.42 0.0

Dreiecks-Helligkeit t^*

%Umfang

$$u_{\text{rel}}^* = 89$$

%Regularität

$$g^*_{H,rel} = 72$$
$$g^*_{C,rel} = 57$$


*LAB*LAB**

Brillantheit i*

BAM-Prüfvorlage Eg12; Farbmimetrik-Systeme, Seite 220/270 Eingabe: 000n / w / nnn0 / www set...
4 Separationen, 9 Datentabellen für 16 Bunttöne r00j bis b75r Ausgabe: ->cmyn6* setcmykcolor

Ein und Ausgabe: Farbmetrisches Drucker-Reflektiv-System ORS19_96a für relativen CIELAB-Buntton $h^* = lab^*h^* = h_{ab}/360 = 0.21$

Daten für jede Farbe:

lab^*ch^* und lab^*icu^*

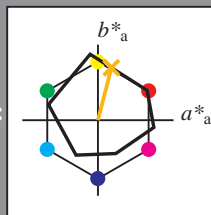
Bunttontexte:

$u^*_e = r75j$ $u^*_d = o67y$

Kontrastreduzierungsfaktor:

$c_R = 1.0$

Dreiecks-Helligkeit i^*



ORS19_96; CIELAB-Daten						
u^*_e	$L^*=L^*$	a^*	b^*	C^*_{ab}	h^*_{ab}	
O _M	48.75	65.16	40.76	76.86	32	
Y _M	90.92	-10.78	89.36	90.01	97	
L _M	52.69	-65.4	22.15	69.05	161	
C _M	59.61	-29.04	-44.69	53.3	237	
V _M	28.39	24.0	-43.18	49.4	299	
M _M	49.58	74.01	-8.22	74.47	354	
N _M	18.89	0.5	0.77	0.92	57	
W _M	96.9	-0.57	2.23	2.3	104	
R _M	39.92	58.74	27.99	65.07	25	
J _M	81.26	-2.89	71.56	71.62	92	
G _M	52.23	-42.42	13.6	44.55	162	
B _M	30.57	1.41	-46.47	46.49	272	

Daten für Maximalfarbe (Ma):

LAB^*LAB^*Ma : 75 18 69

LAB^*LCH^*Ma : 75 72 75

lab^*rgb^*Ma : 1.0 0.75 0.0

lab^*olv^*Ma : 1.0 0.68 0.0

Dreiecks-Helligkeit i^*

%Umfang

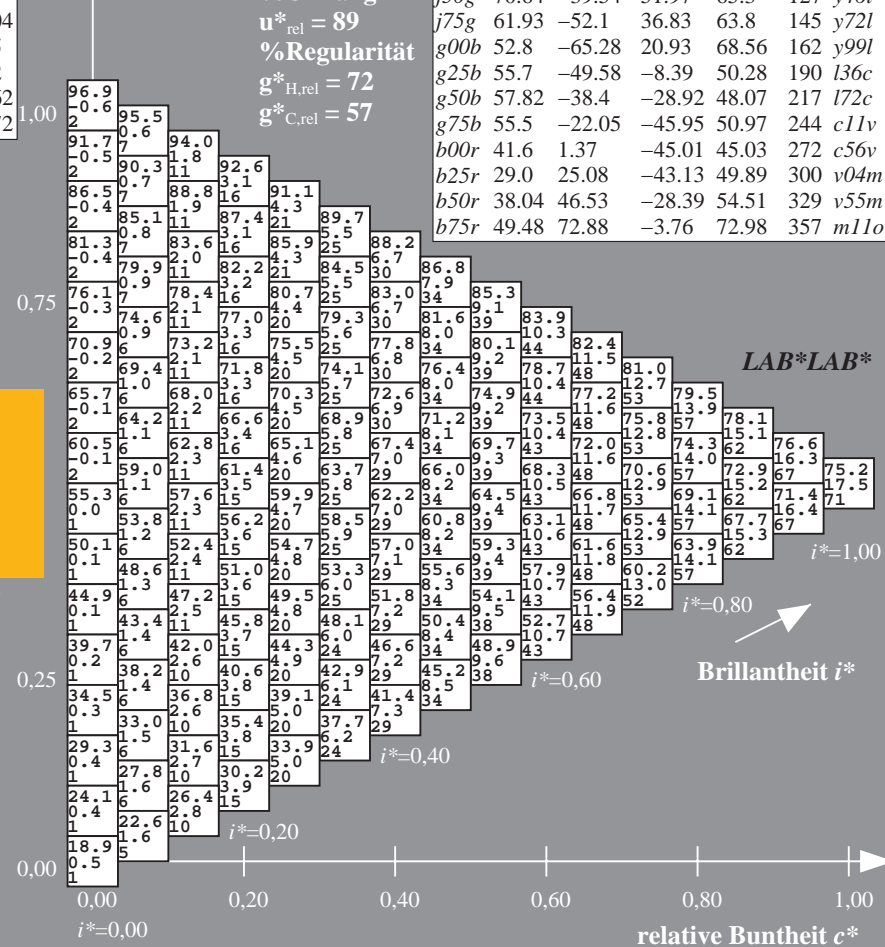
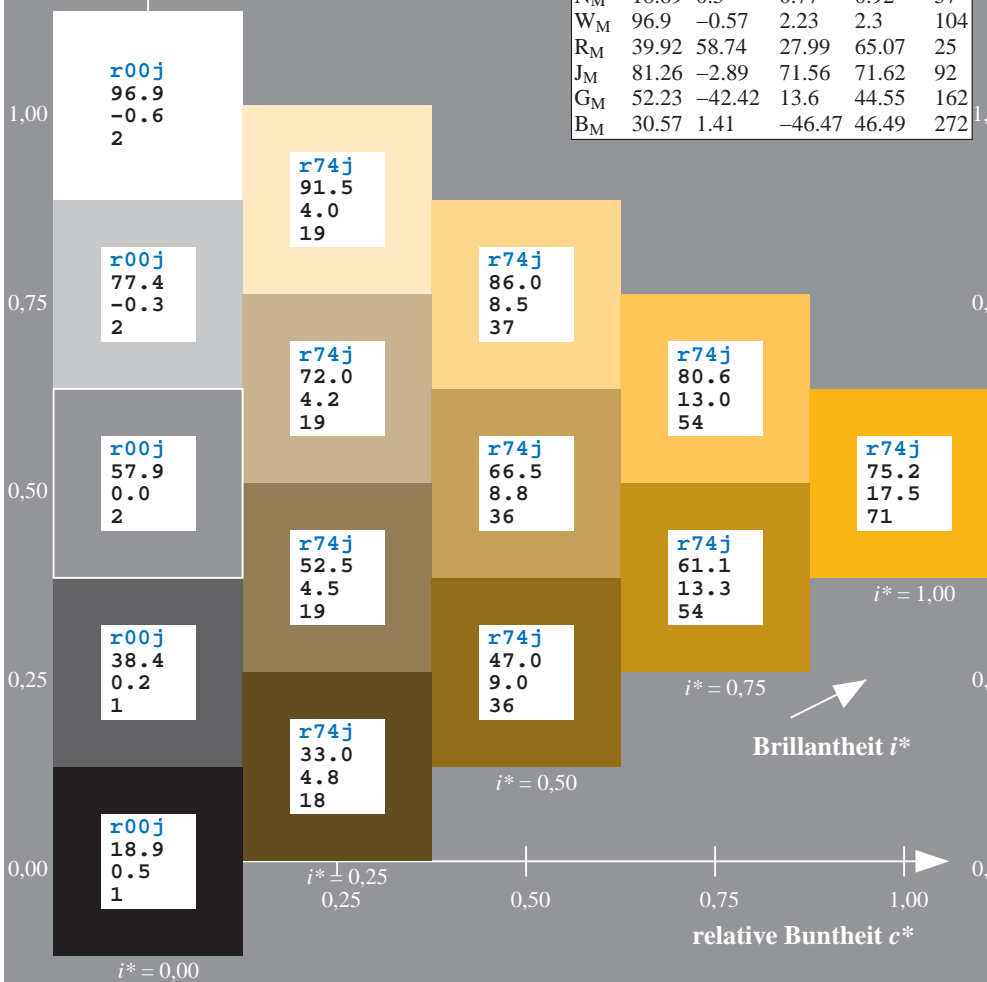
$u^*_{rel} = 89$

%Regularität

$g^*_{H,rel} = 72$

$g^*_{C,rel} = 57$

ORS19_96a; adaptierte CIELAB-Daten									
u^*_e	$L^*=L^*_a$	a^*_a	b^*_a	$C^*_{ab,a}$	$h^*_{ab,a}$	u^*_d			
r00j	48.88	66.47	31.67	73.63	25	m84o			
r25j	55.85	52.39	47.48	70.7	42	o17y			
r50j	65.45	35.22	58.37	68.17	59	o42y			
r75j	75.19	17.82	69.41	71.66	76	o67y			
j00g	87.03	-3.35	82.83	82.9	92	o92y			
j25g	80.72	-25.01	69.5	73.86	110	y20l			
j50g	70.64	-39.54	51.97	65.3	127	y46l			
j75g	61.93	-52.1	36.83	63.8	145	y72l			
g00b	52.8	-65.28	20.93	68.56	162	y99l			
g25b	55.7	-49.58	-8.39	50.28	190	l36c			
g50b	57.82	-38.4	-28.92	48.07	217	l72c			
g75b	55.5	-22.05	-45.95	50.97	244	c11v			
b00r	41.6	1.37	-45.01	45.03	272	c56v			
b25r	29.0	25.08	-43.13	49.89	300	v04m			
b50r	38.04	46.53	-28.39	54.51	329	v55m			
b75r	49.48	72.88	-3.76	72.98	357	m11o			



Ein und Ausgabe: Farbmetrisches Drucker-Reflektiv-System ORS19_96a für relativen CIELAB-Buntton $h^* = lab^*h^* = h_{ab}/360 = 0.256$

Daten für jede Farbe:

lab^*ch^* und lab^*icu^*

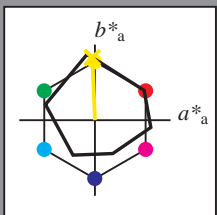
Bunttontexte:

$u^*_e = j00g$ $u^*_d = o92y$

Kontrastreduzierungsfaktor:

$c_R = 1.0$

Dreiecks-Helligkeit i^*



ORS19_96; CIELAB-Daten					
u^*_e	$L^*=L^*$	a^*	b^*	C^*_{ab}	h^*_{ab}
O _M	48.75	65.16	40.76	76.86	32
Y _M	90.92	-10.78	89.36	90.01	97
L _M	52.69	-65.4	22.15	69.05	161
C _M	59.61	-29.04	-44.69	53.3	237
V _M	28.39	24.0	-43.18	49.4	299
M _M	49.58	74.01	-8.22	74.47	354
N _M	18.89	0.5	0.77	0.92	57
W _M	96.9	-0.57	2.23	2.3	104
R _M	39.92	58.74	27.99	65.07	25
J _M	81.26	-2.89	71.56	71.62	92
G _M	52.23	-42.42	13.6	44.55	162
B _M	30.57	1.41	-46.47	46.49	272

Daten für Maximalfarbe (Ma):

LAB^*LAB^*Ma : 87 -3 83

LAB^*LCH^*Ma : 87 83 92

lab^*rgb^*Ma : 1.0 1.0 0.0

lab^*olv^*Ma : 1.0 0.93 0.0

Dreiecks-Helligkeit i^*

%Umfang

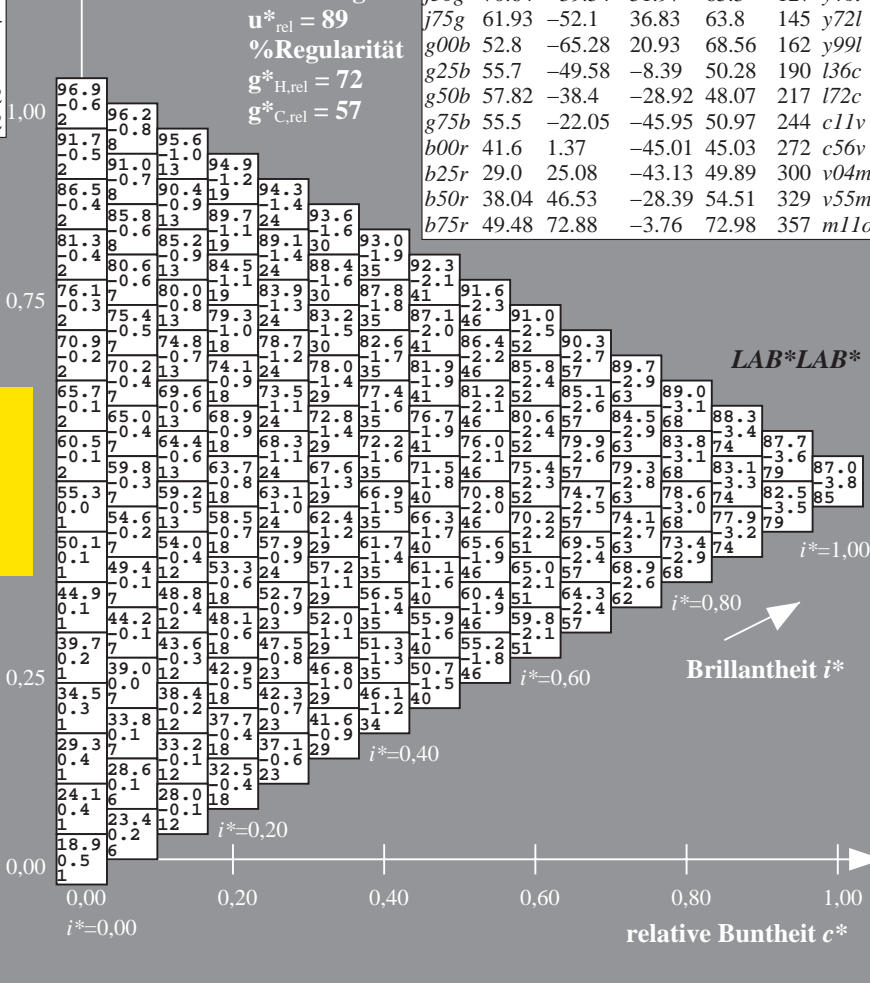
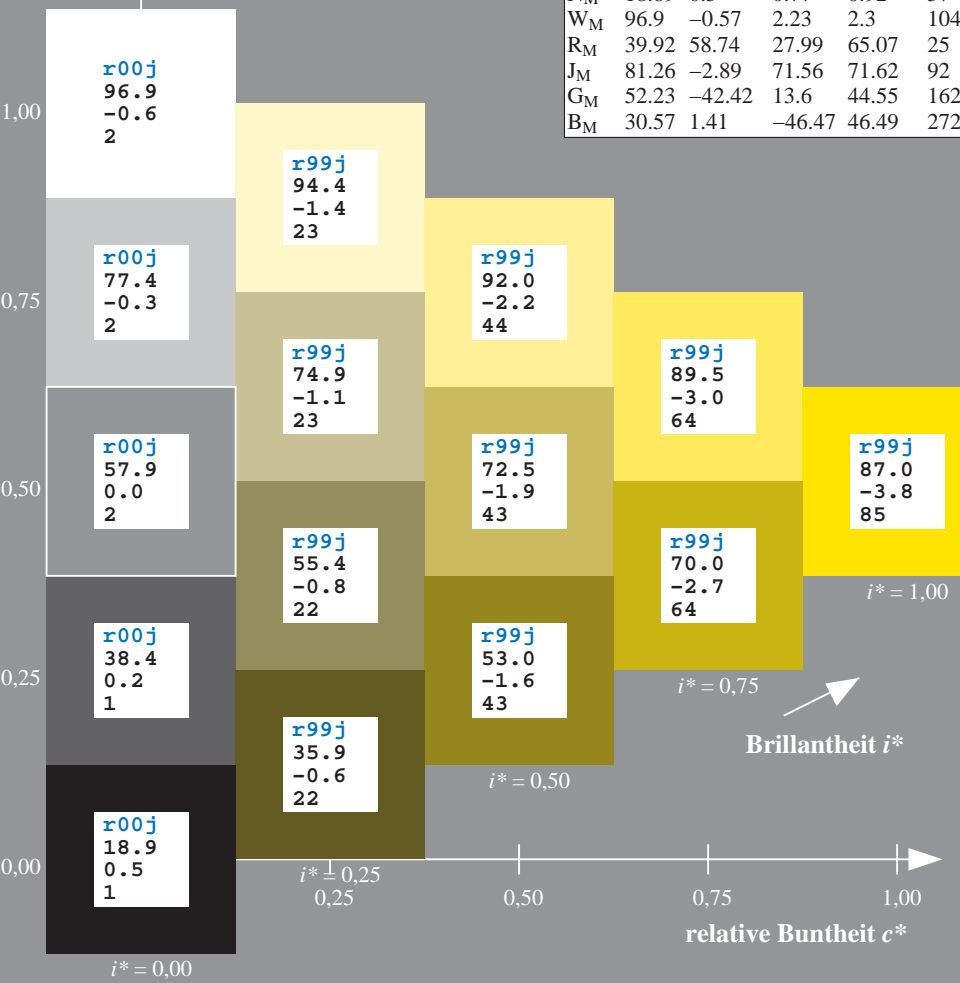
$u^*_{rel} = 89$

%Regularität

$g^*_{H,rel} = 72$

$g^*_{C,rel} = 57$

ORS19_96a; adaptierte CIELAB-Daten							
u^*_e	$L^*=L^*_a$	a^*_a	b^*_a	$C^*_{ab,a}$	$h^*_{ab,a}$	u^*_d	
r00j	48.88	66.47	31.67	73.63	25	m84o	
r25j	55.85	52.39	47.48	70.7	42	o17y	
r50j	65.45	35.22	58.37	68.17	59	o42y	
r75j	75.19	17.82	69.41	71.66	76	o67y	
j00g	87.03	-3.35	82.83	82.9	92	o92y	
j25g	80.72	-25.01	69.5	73.86	110	y20l	
j50g	70.64	-39.54	51.97	65.3	127	y46l	
j75g	61.93	-52.1	36.83	63.8	145	y72l	
g00b	52.8	-65.28	20.93	68.56	162	y99l	
g25b	55.7	-49.58	-8.39	50.28	190	l36c	
g50b	57.82	-38.4	-28.92	48.07	217	l72c	
g75b	55.5	-22.05	-45.95	50.97	244	c11v	
b00r	41.6	1.37	-45.01	45.03	272	c56v	
b25r	29.0	25.08	-43.13	49.89	300	v04m	
b50r	38.04	46.53	-28.39	54.51	329	v55m	
b75r	49.48	72.88	-3.76	72.98	357	m11o	



Ein und Ausgabe: Farbmetrisches Drucker-Reflektiv-System ORS19_96a für relativen CIELAB-Buntton $h^* = lab^*h^* = h_{ab}/360 = 0.305$

Daten für jede Farbe:

lab^*tch^* und lab^*icu^*

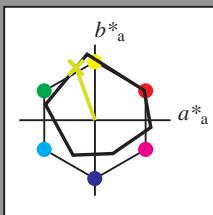
Bunttontexte:

$u^*_e = j25g$ $u^*_d = y20l$

Kontrastreduzierungsfaktor:

$c_R = 1.0$

Dreiecks-Helligkeit i^*



ORS19_96; CIELAB-Daten					
u^*_e	$L^*=L^*$	a^*	b^*	C^*_{ab}	h^*_{ab}
O _M	48.75	65.16	40.76	76.86	32
Y _M	90.92	-10.78	89.36	90.01	97
L _M	52.69	-65.4	22.15	69.05	161
C _M	59.61	-29.04	-44.69	53.3	237
V _M	28.39	24.0	-43.18	49.4	299
M _M	49.58	74.01	-8.22	74.47	354
N _M	18.89	0.5	0.77	0.92	57
W _M	96.9	-0.57	2.23	2.3	104
R _M	39.92	58.74	27.99	65.07	25
J _M	81.26	-2.89	71.56	71.62	92
G _M	52.23	-42.42	13.6	44.55	162
B _M	30.57	1.41	-46.47	46.49	272

Daten für Maximalfarbe (Ma):

LAB^*LAB^*Ma : 81 -25 69

LAB^*LCH^*Ma : 81 74 109

lab^*rgb^*Ma : 0.75 1.0 0.0

lab^*olv^*Ma : 0.8 1.0 0.0

Dreiecks-Helligkeit i^*

%Umfang

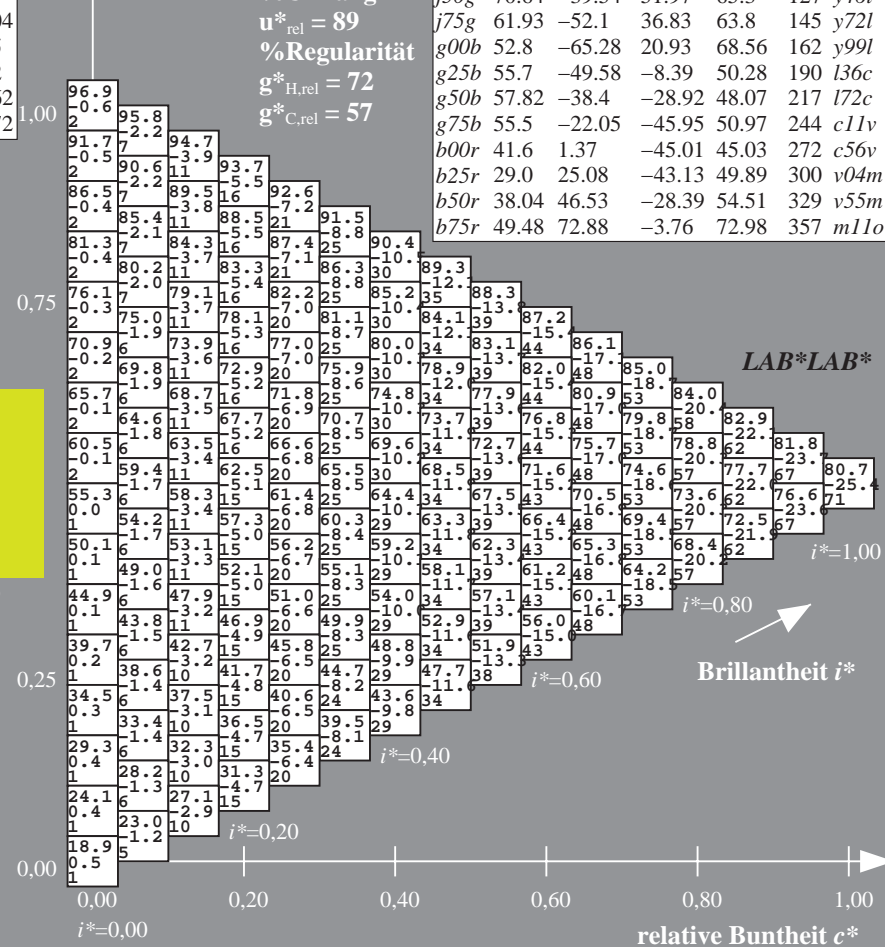
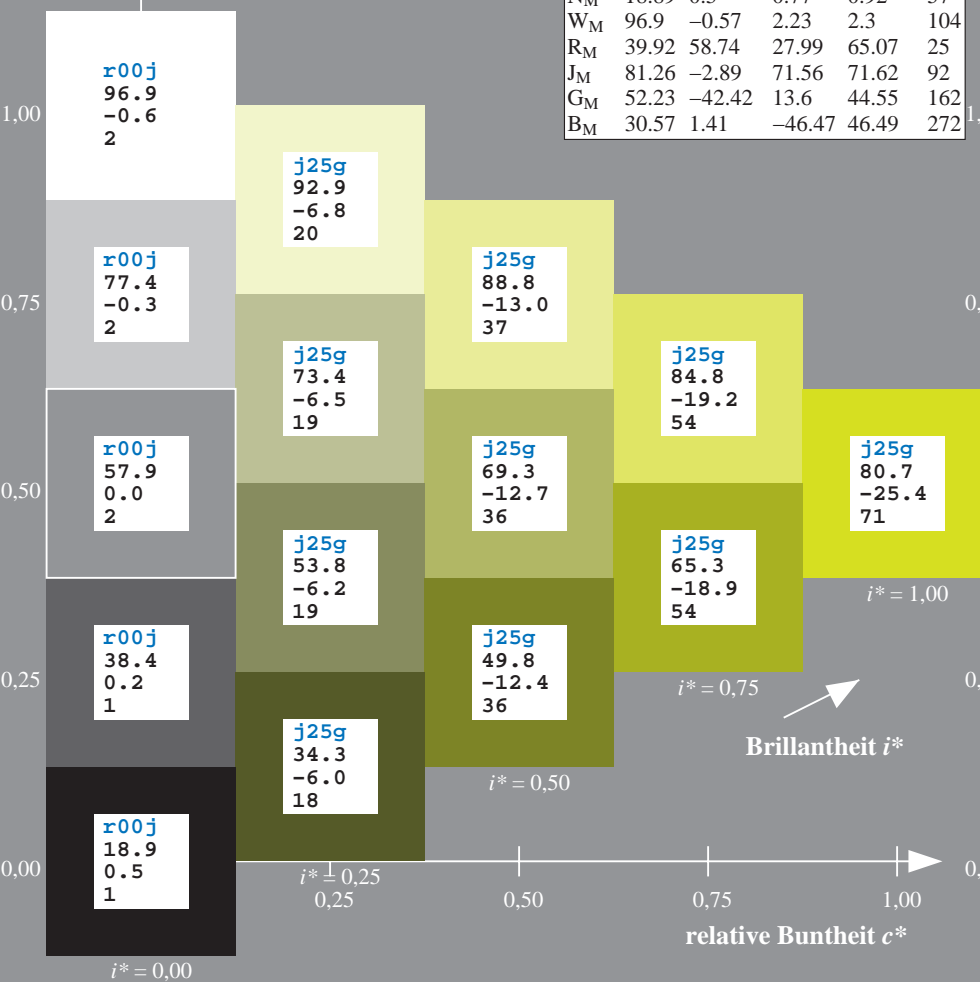
$u^*_{rel} = 89$

%Regularität

$g^*_{H,rel} = 72$

$g^*_{C,rel} = 57$

ORS19_96a; adaptierte CIELAB-Daten							
u^*_e	$L^*=L^*_a$	a^*_a	b^*_a	$C^*_{ab,a}$	$h^*_{ab,a}$	u^*_d	
r00j	48.88	66.47	31.67	73.63	25	m84o	
r25j	55.85	52.39	47.48	70.7	42	o17y	
r50j	65.45	35.22	58.37	68.17	59	o42y	
r75j	75.19	17.82	69.41	71.66	76	o67y	
j00g	87.03	-3.35	82.83	82.9	92	o92y	
j25g	80.72	-25.01	69.5	73.86	110	y20l	
j50g	70.64	-39.54	51.97	65.3	127	y46l	
j75g	61.93	-52.1	36.83	63.8	145	y72l	
g00b	52.8	-65.28	20.93	68.56	162	y99l	
g25b	55.7	-49.58	-8.39	50.28	190	l36c	
g50b	57.82	-38.4	-28.92	48.07	217	l72c	
g75b	55.5	-22.05	-45.95	50.97	244	c11v	
b00r	41.6	1.37	-45.01	45.03	272	c56v	
b25r	29.0	25.08	-43.13	49.89	300	v04m	
b50r	38.04	46.53	-28.39	54.51	329	v55m	
b75r	49.48	72.88	-3.76	72.98	357	m11o	



Ein und Ausgabe: Farbmetrisches Drucker-Reflektiv-System ORS19_96a für relativen CIELAB-Buntton $h^* = lab^*h^* = h_{ab}/360 = 0.354$

Daten für jede Farbe:

lab^*tch^* und lab^*icu^*

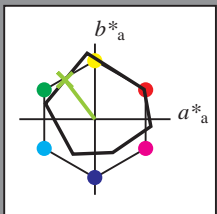
Bunttontexte:

$u^*_e = j50g$ $u^*_d = y46l$

Kontrastreduzierungsfaktor:

$c_R = 1.0$

Dreiecks-Helligkeit i^*



ORS19_96; CIELAB-Daten					
u^*_e	$L^*=L^*$	a^*	b^*	C^*_{ab}	h^*_{ab}
O _M	48.75	65.16	40.76	76.86	32
Y _M	90.92	-10.78	89.36	90.01	97
L _M	52.69	-65.4	22.15	69.05	161
C _M	59.61	-29.04	-44.69	53.3	237
V _M	28.39	24.0	-43.18	49.4	299
M _M	49.58	74.01	-8.22	74.47	354
N _M	18.89	0.5	0.77	0.92	57
W _M	96.9	-0.57	2.23	2.3	104
R _M	39.92	58.74	27.99	65.07	25
J _M	81.26	-2.89	71.56	71.62	92
G _M	52.23	-42.42	13.6	44.55	162
B _M	30.57	1.41	-46.47	46.49	272

Daten für Maximalfarbe (Ma):

$LAB^*LAB^*_{Ma}$: 71 -40 52

$LAB^*LCH^*_{Ma}$: 71 65 127

$lab^*rgb^*_{Ma}$: 0.5 1.0 0.0

$lab^*olv^*_{Ma}$: 0.54 1.0 0.0

Dreiecks-Helligkeit i^*

%Umfang

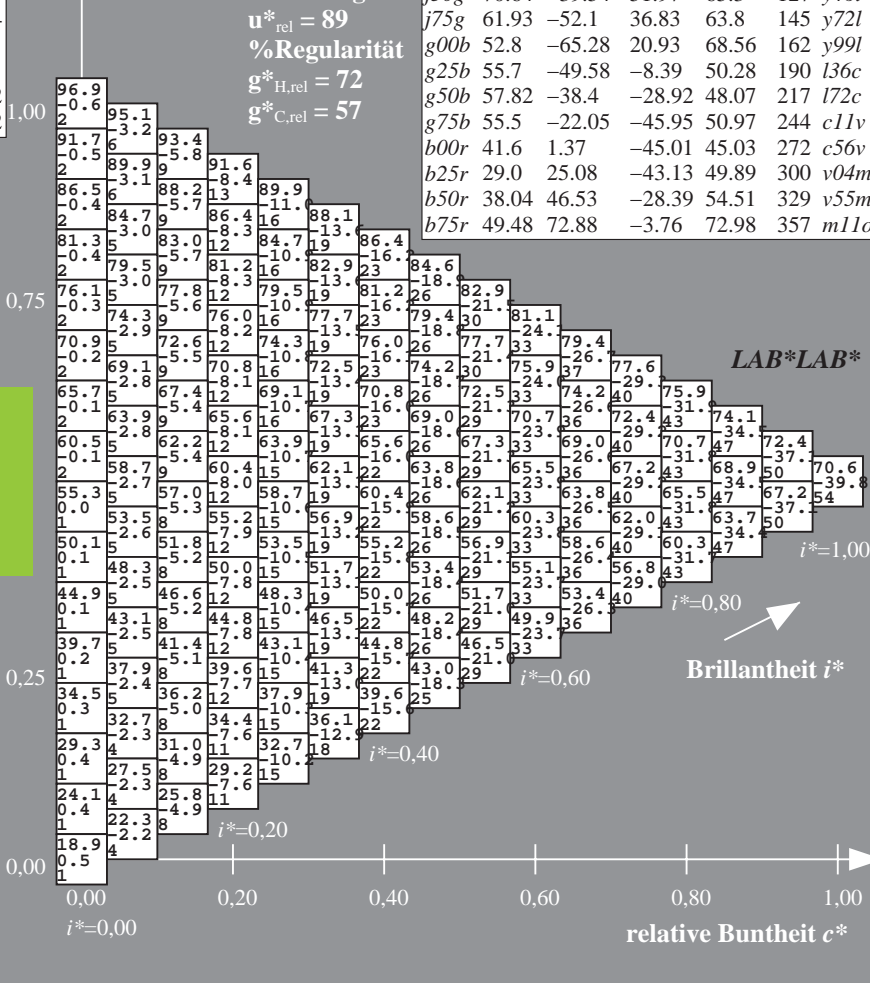
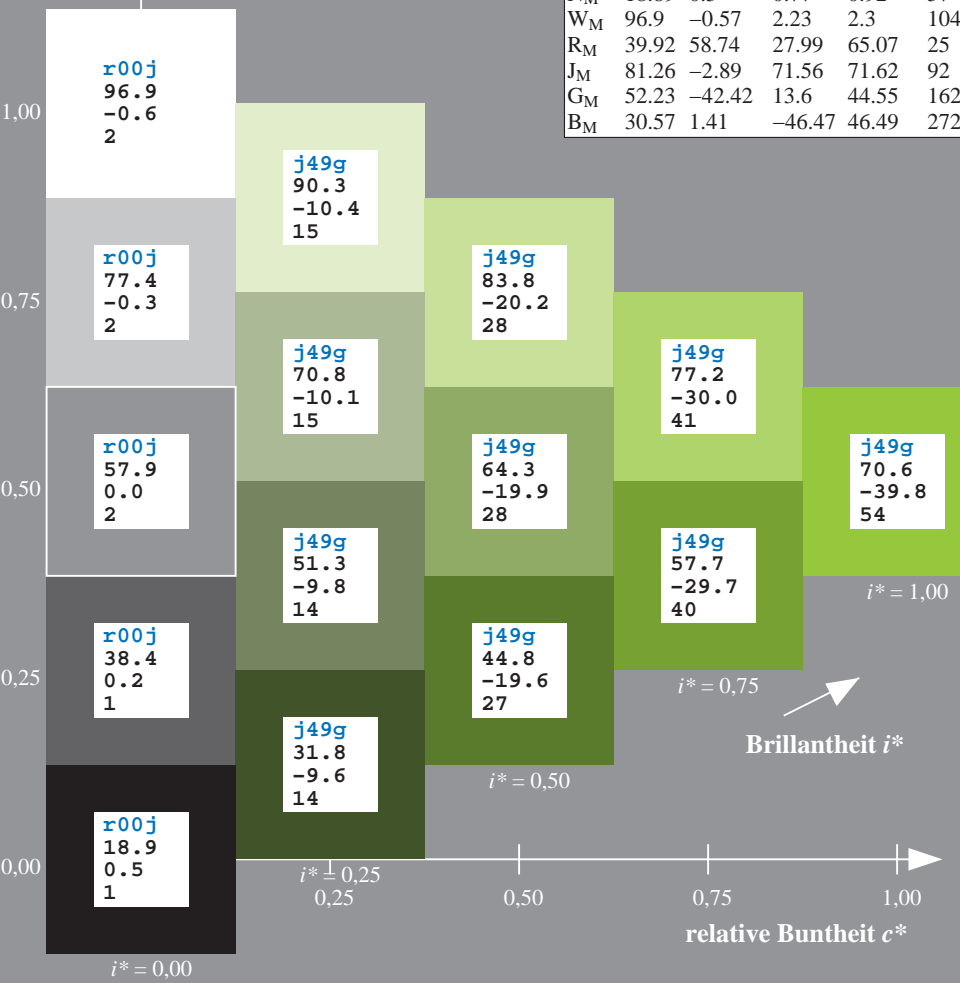
$u^*_{rel} = 89$

%Regularität

$g^*_{H,rel} = 72$

$g^*_{C,rel} = 57$

ORS19_96a; adaptierte CIELAB-Daten							
u^*_e	$L^*=L^*_a$	a^*_a	b^*_a	$C^*_{ab,a}$	$h^*_{ab,a}$	u^*_d	
r00j	48.88	66.47	31.67	73.63	25	m84o	
r25j	55.85	52.39	47.48	70.7	42	o17y	
r50j	65.45	35.22	58.37	68.17	59	o42y	
r75j	75.19	17.82	69.41	71.66	76	o67y	
j00g	87.03	-3.35	82.83	82.9	92	o92y	
j25g	80.72	-25.01	69.5	73.86	110	y20l	
j50g	70.64	-39.54	51.97	65.3	127	y46l	
j75g	61.93	-52.1	36.83	63.8	145	y72l	
g00b	52.8	-65.28	20.93	68.56	162	y99l	
g25b	55.7	-49.58	-8.39	50.28	190	l36c	
g50b	57.82	-38.4	-28.92	48.07	217	l72c	
g75b	55.5	-22.05	-45.95	50.97	244	c11v	
b00r	41.6	1.37	-45.01	45.03	272	c56v	
b25r	29.0	25.08	-43.13	49.89	300	v04m	
b50r	38.04	46.53	-28.39	54.51	329	v55m	
b75r	49.48	72.88	-3.76	72.98	357	m11o	



Ein und Ausgabe: Farbmimetrisches Drucker-Reflektiv-System ORS19_96a für relativen CIELAB-Buntton $h^* = \text{lab}^*h^* = h_{ab}/360 = 0.402$

Daten für jede Farbe:

lab^*tch^* und lab^*icu^*

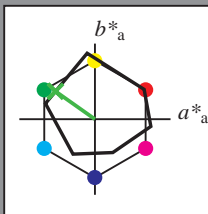
Bunttontexte:

$u^*_e = j75g$ $u^*_d = y72l$

Kontrastreduzierungsfaktor:

$c_R = 1.0$

Dreiecks-Helligkeit i^*



ORS19_96; CIELAB-Daten						
u^*_e	$L^*=L^*_a$	a^*	b^*	C^*_{ab}	h^*_{ab}	
O _M	48.75	65.16	40.76	76.86	32	
Y _M	90.92	-10.78	89.36	90.01	97	
L _M	52.69	-65.4	22.15	69.05	161	
C _M	59.61	-29.04	-44.69	53.3	237	
V _M	28.39	24.0	-43.18	49.4	299	
M _M	49.58	74.01	-8.22	74.47	354	
N _M	18.89	0.5	0.77	0.92	57	
W _M	96.9	-0.57	2.23	2.3	104	
R _M	39.92	58.74	27.99	65.07	25	
J _M	81.26	-2.89	71.56	71.62	92	
G _M	52.23	-42.42	13.6	44.55	162	
B _M	30.57	1.41	-46.47	46.49	272	

Daten für Maximalfarbe (Ma):

$\text{LAB}^*\text{LAB}^*_{\text{Ma}}$: 62 -52 37

$\text{LAB}^*\text{LCH}^*_{\text{Ma}}$: 62 64 144

$\text{lab}^*\text{rgb}^*_{\text{Ma}}$: 0.25 1.0 0.0

$\text{lab}^*\text{olv}^*_{\text{Ma}}$: 0.27 1.0 0.0

Dreiecks-Helligkeit i^*

%Umfang

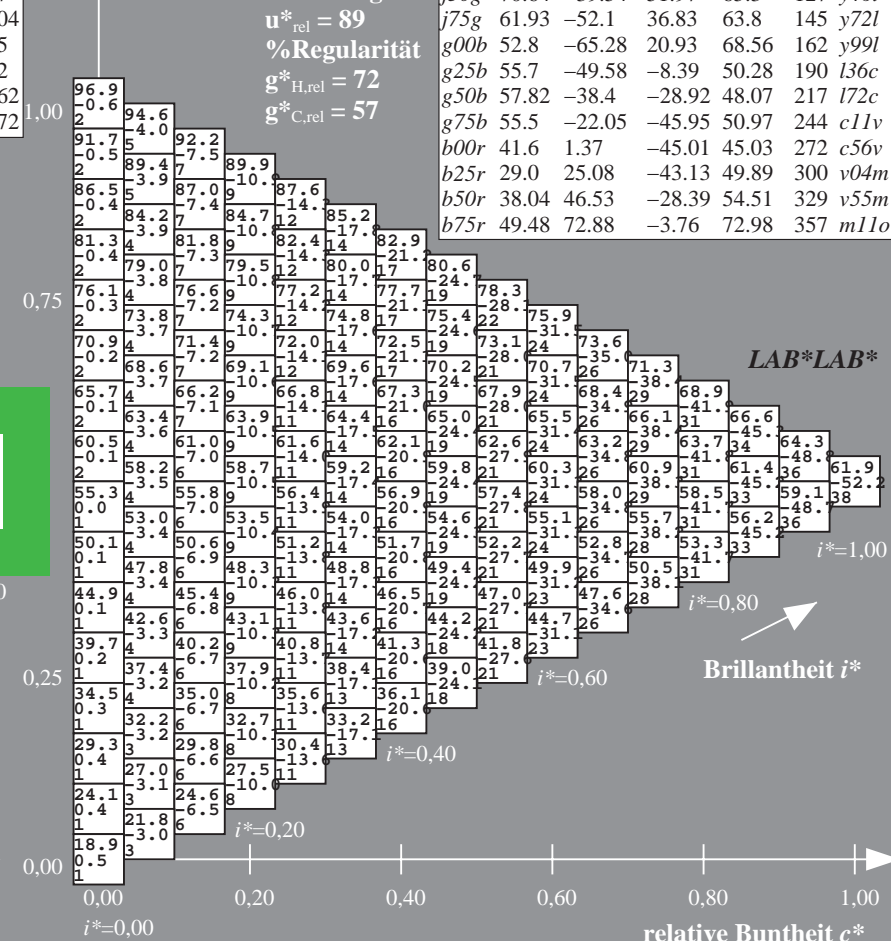
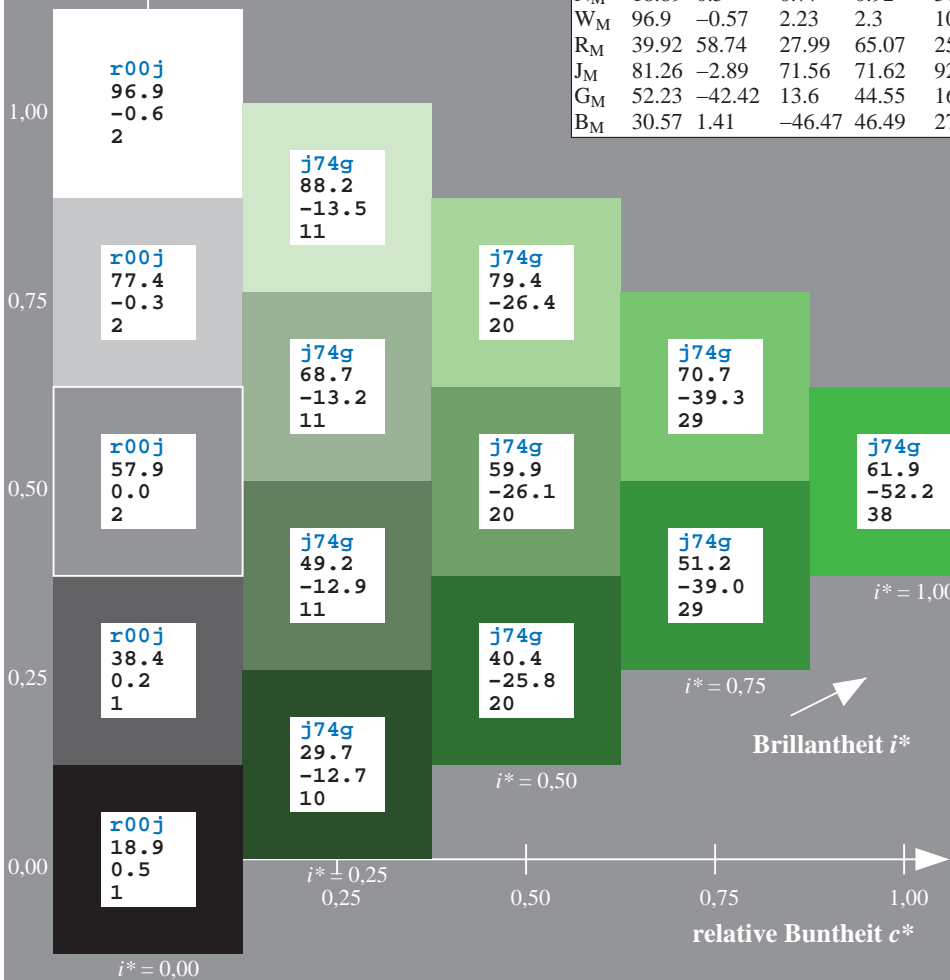
$u^*_{\text{rel}} = 89$

%Regularität

$g^*_{H,\text{rel}} = 72$

$g^*_{C,\text{rel}} = 57$

ORS19_96a; adaptierte CIELAB-Daten									
u^*_e	$L^*=L^*_a$	a^*_a	b^*_a	$C^*_{ab,a}$	$h^*_{ab,a}$	u^*_d			
r00j	48.88	66.47	31.67	73.63	25	m84o			
r25j	55.85	52.39	47.48	70.7	42	o17y			
r50j	65.45	35.22	58.37	68.17	59	o42y			
r75j	75.19	17.82	69.41	71.66	76	o67y			
j00g	87.03	-3.35	82.83	82.9	92	o92y			
j25g	80.72	-25.01	69.5	73.86	110	y20l			
j50g	70.64	-39.54	51.97	65.3	127	y46l			
j75g	61.93	-52.1	36.83	63.8	145	y72l			
g00b	52.8	-65.28	20.93	68.56	162	y99l			
g25b	55.7	-49.58	-8.39	50.28	190	l36c			
g50b	57.82	-38.4	-28.92	48.07	217	l72c			
g75b	55.5	-22.05	-45.95	50.97	244	c11v			
b00r	41.6	1.37	-45.01	45.03	272	c56v			
b25r	29.0	25.08	-43.13	49.89	300	v04m			
b50r	38.04	46.53	-28.39	54.51	329	v55m			
b75r	49.48	72.88	-3.76	72.98	357	m11o			



Ein und Ausgabe: Farbmimetrisches Drucker-Reflektiv-System ORS19_96a für relativen CIELAB-Buntton $h^* = \text{lab}^*h^* = h_{ab}/360 = 0.451$

Daten für jede Farbe:

lab^*ch^* und lab^*icu^*

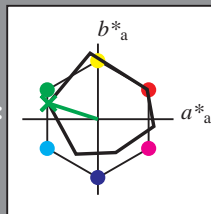
Bunttontexte:

$u^*_e = g00b$ $u^*_d = y99l$

Kontrastreduzierungsfaktor:

$c_R = 1.0$

Dreiecks-Helligkeit i^*



ORS19_96; CIELAB-Daten						
u^*_e	$L^*=L^*_a$	a^*	b^*	C^*_{ab}	h^*_{ab}	
O _M	48.75	65.16	40.76	76.86	32	
Y _M	90.92	-10.78	89.36	90.01	97	
L _M	52.69	-65.4	22.15	69.05	161	
C _M	59.61	-29.04	-44.69	53.3	237	
V _M	28.39	24.0	-43.18	49.4	299	
M _M	49.58	74.01	-8.22	74.47	354	
N _M	18.89	0.5	0.77	0.92	57	
W _M	96.9	-0.57	2.23	2.3	104	
R _M	39.92	58.74	27.99	65.07	25	
J _M	81.26	-2.89	71.56	71.62	92	
G _M	52.23	-42.42	13.6	44.55	162	
B _M	30.57	1.41	-46.47	46.49	272	

Daten für Maximalfarbe (Ma):

$\text{LAB}^*\text{LAB}^*_{\text{Ma}}: 53 -65 21$

$\text{LAB}^*\text{LCH}^*_{\text{Ma}}: 53 69 162$

$\text{lab}^*\text{rgb}^*_{\text{Ma}}: 0.0 1.0 0.0$

$\text{lab}^*\text{olv}^*_{\text{Ma}}: 0.0 1.0 0.0$

Dreiecks-Helligkeit i^*

%Umfang

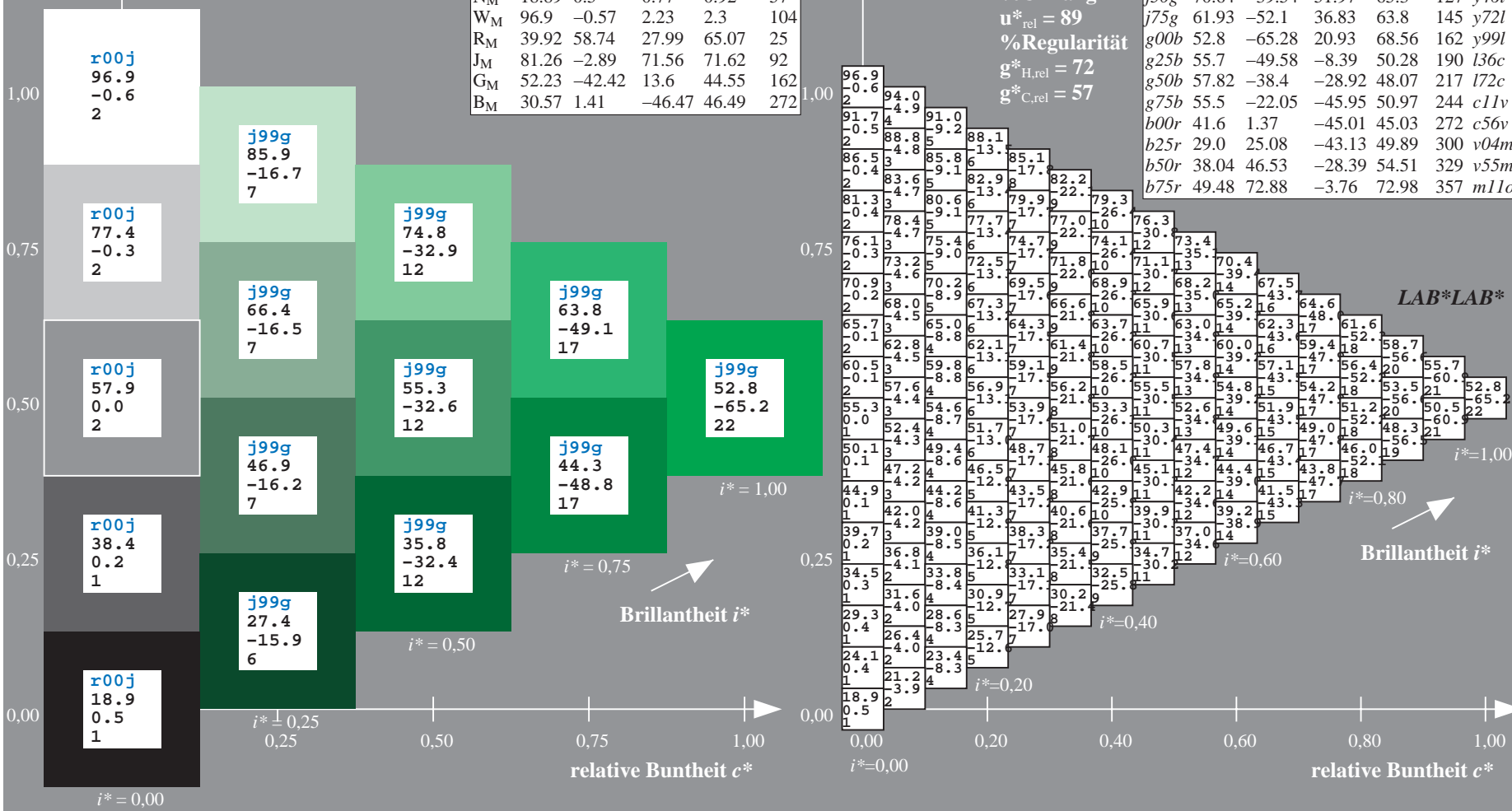
$u^*_{\text{rel}} = 89$

%Regularität

$g^*_{H,\text{rel}} = 72$

$g^*_{C,\text{rel}} = 57$

ORS19_96a; adaptierte CIELAB-Daten									
u^*_e	$L^*=L^*_a$	a^*_a	b^*_a	$C^*_{ab,a}$	$h^*_{ab,a}$	u^*_d			
r00j	48.88	66.47	31.67	73.63	25	m84o			
r25j	55.85	52.39	47.48	70.7	42	o17y			
r50j	65.45	35.22	58.37	68.17	59	o42y			
r75j	75.19	17.82	69.41	71.66	76	o67y			
j00g	87.03	-3.35	82.83	82.9	92	o92y			
j25g	80.72	-25.01	69.5	73.86	110	y20l			
j50g	70.64	-39.54	51.97	65.3	127	y46l			
j75g	61.93	-52.1	36.83	63.8	145	y72l			
g00b	52.8	-65.28	20.93	68.56	162	y99l			
g25b	55.7	-49.58	-8.39	50.28	190	l36c			
g50b	57.82	-38.4	-28.92	48.07	217	l72c			
g75b	55.5	-22.05	-45.95	50.97	244	c11v			
b00r	41.6	1.37	-45.01	45.03	272	c56v			
b25r	29.0	25.08	-43.13	49.89	300	v04m			
b50r	38.04	46.53	-28.39	54.51	329	v55m			
b75r	49.48	72.88	-3.76	72.98	357	m11o			



Ein und Ausgabe: Farbmetrisches Drucker-Reflektiv-System ORS19_96a für relativen CIELAB-Buntton $h^* = lab^*h^* = h_{ab}/360 = 0.527$

Daten für jede Farbe:

lab^*ch^* und lab^*icu^*

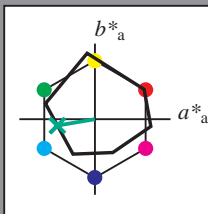
Bunttontexte:

$u^*_e = g25b$ $u^*_d = l36c$

Kontrastreduzierungsfaktor:

$c_R = 1.0$

Dreiecks-Helligkeit i^*



ORS19_96; CIELAB-Daten

u^*_e	$L^*=L^*$	a^*	b^*	C^*_{ab}	h^*_{ab}
O _M	48.75	65.16	40.76	76.86	32
Y _M	90.92	-10.78	89.36	90.01	97
L _M	52.69	-65.4	22.15	69.05	161
C _M	59.61	-29.04	-44.69	53.3	237
V _M	28.39	24.0	-43.18	49.4	299
M _M	49.58	74.01	-8.22	74.47	354
N _M	18.89	0.5	0.77	0.92	57
W _M	96.9	-0.57	2.23	2.3	104
R _M	39.92	58.74	27.99	65.07	25
J _M	81.26	-2.89	71.56	71.62	92
G _M	52.23	-42.42	13.6	44.55	162
B _M	30.57	1.41	-46.47	46.49	272

Daten für Maximalfarbe (Ma):

$LAB^*LAB^*_{Ma}$: 56 -50 -8

$LAB^*LCH^*_{Ma}$: 56 50 189

$lab^*rgb^*_{Ma}$: 0.0 1.0 0.5

$lab^*olv^*_{Ma}$: 0.0 1.0 0.36

Dreiecks-Helligkeit i^*

%Umfang

$u^*_{rel} = 89$

%Regularität

$g^*_{H,rel} = 72$

$g^*_{C,rel} = 57$

ORS19_96a; adaptierte CIELAB-Daten

u^*_e	$L^*=L^*_a$	a^*_a	b^*_a	$C^*_{ab,a}$	$h^*_{ab,a}$	u^*_d
r00j	48.88	66.47	31.67	73.63	25	m84o
r25j	55.85	52.39	47.48	70.7	42	o17y
r50j	65.45	35.22	58.37	68.17	59	o42y
r75j	75.19	17.82	69.41	71.66	76	o67y
j00g	87.03	-3.35	82.83	82.9	92	o92y
j25g	80.72	-25.01	69.5	73.86	110	y20l
j50g	70.64	-39.54	51.97	65.3	127	y46l
j75g	61.93	-52.1	36.83	63.8	145	y72l
g00b	52.8	-65.28	20.93	68.56	162	y99l
g25b	55.7	-49.58	-8.39	50.28	190	l36c
g50b	57.82	-38.4	-28.92	48.07	217	l72c
g75b	55.5	-22.05	-45.95	50.97	244	c11v
b00r	41.6	1.37	-45.01	45.03	272	c56v
b25r	29.0	25.08	-43.13	49.89	300	v04m
b50r	38.04	46.53	-28.39	54.51	329	v55m
b75r	49.48	72.88	-3.76	72.98	357	m11o

LAB^*LAB^*

$i^*=1.00$

Brillantheit i^*

$i^*=0.80$

$i^*=0.60$

$i^*=0.40$

$i^*=0.20$

relative Buntheit c^*

relative Buntheit c^*

Ein und Ausgabe: Farbmimetrisches Drucker-Reflektiv-System ORS19_96a für relativen CIELAB-Buntton $h^* = lab^*h^* = h_{ab}/360 = 0.603$

Daten für jede Farbe:

lab^*ch^* und lab^*icu^*

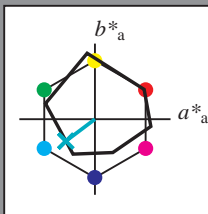
Bunttontexte:

$u^*_e = g50b$ $u^*_d = l72c$

Kontrastreduzierungsfaktor:

$c_R = 1.0$

Dreiecks-Helligkeit i^*



ORS19_96; CIELAB-Daten

u^*_e	$L^*=L^*$	a^*	b^*	C^*_{ab}	h^*_{ab}
O _M	48.75	65.16	40.76	76.86	32
Y _M	90.92	-10.78	89.36	90.01	97
L _M	52.69	-65.4	22.15	69.05	161
C _M	59.61	-29.04	-44.69	53.3	237
V _M	28.39	24.0	-43.18	49.4	299
M _M	49.58	74.01	-8.22	74.47	354
N _M	18.89	0.5	0.77	0.92	57
W _M	96.9	-0.57	2.23	2.3	104
R _M	39.92	58.74	27.99	65.07	25
J _M	81.26	-2.89	71.56	71.62	92
G _M	52.23	-42.42	13.6	44.55	162
B _M	30.57	1.41	-46.47	46.49	272

Daten für Maximalfarbe (Ma):

LAB^*LAB^*Ma : 58 -38 -29

LAB^*LCH^*Ma : 58 48 216

lab^*rgb^*Ma : 0.0 1.0 1.0

lab^*olv^*Ma : 0.0 1.0 0.72

Dreiecks-Helligkeit i^*

%Umfang

$u^*_{rel} = 89$

%Regularität

$g^*_{H,rel} = 72$

$g^*_{C,rel} = 57$

ORS19_96a; adaptierte CIELAB-Daten

u^*_e	$L^*=L^*$	a^*	b^*	$C^*_{ab,a}$	$h^*_{ab,a}$	u^*_d
r00j	48.88	66.47	31.67	73.63	25	m84o
r25j	55.85	52.39	47.48	70.7	42	o17y
r50j	65.45	35.22	58.37	68.17	59	o42y
r75j	75.19	17.82	69.41	71.66	76	o67y
j00g	87.03	-3.35	82.83	82.9	92	o92y
j25g	80.72	-25.01	69.5	73.86	110	y20l
j50g	70.64	-39.54	51.97	65.3	127	y46l
j75g	61.93	-52.1	36.83	63.8	145	y72l
g00b	52.8	-65.28	20.93	68.56	162	y99l
g25b	55.7	-49.58	-8.39	50.28	190	l36c
g50b	57.82	-38.4	-28.92	48.07	217	l72c
g75b	55.5	-22.05	-45.95	50.97	244	c11v
b00r	41.6	1.37	-45.01	45.03	272	c56v
b25r	29.0	25.08	-43.13	49.89	300	v04m
b50r	38.04	46.53	-28.39	54.51	329	v55m
b75r	49.48	72.88	-3.76	72.98	357	m11o

LAB^*LAB^*

$i^*=1.00$

Brillantheit i^*

$i^*=0.80$

$i^*=0.60$

$i^*=0.40$

$i^*=0.20$

Ein und Ausgabe: Farbmatisches Drucker-Reflektiv-System ORS19_96a für relativen CIELAB-Buntton $h^* = lab^*h^* = h_{ab}/360 = 0.679$

Daten für jede Farbe:

lab^*ch^* und lab^*icu^*

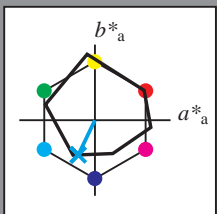
Bunttontexte:

$u^*_e = g75b$ $u^*_d = c11v$

Kontrastreduzierungsfaktor:

$c_R = 1.0$

Dreiecks-Helligkeit i^*



ORS19_96; CIELAB-Daten

u^*_e	$L^*=L^*$	a^*	b^*	C^*_{ab}	h^*_{ab}
O _M	48.75	65.16	40.76	76.86	32
Y _M	90.92	-10.78	89.36	90.01	97
L _M	52.69	-65.4	22.15	69.05	161
C _M	59.61	-29.04	-44.69	53.3	237
V _M	28.39	24.0	-43.18	49.4	299
M _M	49.58	74.01	-8.22	74.47	354
N _M	18.89	0.5	0.77	0.92	57
W _M	96.9	-0.57	2.23	2.3	104
R _M	39.92	58.74	27.99	65.07	25
J _M	81.26	-2.89	71.56	71.62	92
G _M	52.23	-42.42	13.6	44.55	162
B _M	30.57	1.41	-46.47	46.49	272

Daten für Maximalfarbe (Ma):

$LAB^*LAB^*Ma: 55 -22 -46$

$LAB^*LCH^*Ma: 55 51 244$

$lab^*rgb^*Ma: 0.0 0.5 1.0$

$lab^*olv^*Ma: 0.0 0.89 1.0$

Dreiecks-Helligkeit i^*

%Umfang

$u^*_{rel} = 89$

%Regularität

$g^*_{H,rel} = 72$

$g^*_{C,rel} = 57$

ORS19_96a; adaptierte CIELAB-Daten

u^*_e	$L^*=L^*_a$	a^*_a	b^*_a	$C^*_{ab,a}$	$h^*_{ab,a}$	u^*_d
r00j	48.88	66.47	31.67	73.63	25	m84o
r25j	55.85	52.39	47.48	70.7	42	o17y
r50j	65.45	35.22	58.37	68.17	59	o42y
r75j	75.19	17.82	69.41	71.66	76	o67y
j00g	87.03	-3.35	82.83	82.9	92	o92y
j25g	80.72	-25.01	69.5	73.86	110	y20l
j50g	70.64	-39.54	51.97	65.3	127	y46l
j75g	61.93	-52.1	36.83	63.8	145	y72l
g00b	52.8	-65.28	20.93	68.56	162	y99l
g25b	55.7	-49.58	-8.39	50.28	190	l36c
g50b	57.82	-38.4	-28.92	48.07	217	l72c
g75b	55.5	-22.05	-45.95	50.97	244	c11v
b00r	41.6	1.37	-45.01	45.03	272	c56v
b25r	29.0	25.08	-43.13	49.89	300	v04m
b50r	38.04	46.53	-28.39	54.51	329	v55m
b75r	49.48	72.88	-3.76	72.98	357	m11o

LAB^*LAB^*

$i^*=1.00$

Brillantheit i^*

$i^*=0.80$

$i^*=0.60$

$i^*=0.40$

$i^*=0.20$

Ein und Ausgabe: Farbmetrisches Drucker-Reflektiv-System ORS19_96a für relativen CIELAB-Buntton $h^* = lab^*h^* = h_{ab}/360 = 0.755$

Daten für jede Farbe:

lab^*ch^* und lab^*icu^*

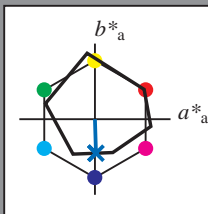
Bunttontexte:

$u^*_e = b00r$ $u^*_d = c56v$

Kontrastreduzierungsfaktor:

$c_R = 1.0$

Dreiecks-Helligkeit i^*



ORS19_96; CIELAB-Daten						
u^*_e	$L^*=L^*$	a^*	b^*	C^*_{ab}	h^*_{ab}	
O _M	48.75	65.16	40.76	76.86	32	
Y _M	90.92	-10.78	89.36	90.01	97	
L _M	52.69	-65.4	22.15	69.05	161	
C _M	59.61	-29.04	-44.69	53.3	237	
V _M	28.39	24.0	-43.18	49.4	299	
M _M	49.58	74.01	-8.22	74.47	354	
N _M	18.89	0.5	0.77	0.92	57	
W _M	96.9	-0.57	2.23	2.3	104	
R _M	39.92	58.74	27.99	65.07	25	
J _M	81.26	-2.89	71.56	71.62	92	
G _M	52.23	-42.42	13.6	44.55	162	
B _M	30.57	1.41	-46.47	46.49	272	

Daten für Maximalfarbe (Ma):

LAB^*LAB^*Ma : 42 1 -45

LAB^*LCH^*Ma : 42 45 271

lab^*rgb^*Ma : 0.0 0.0 1.0

lab^*olv^*Ma : 0.0 0.44 1.0

Dreiecks-Helligkeit i^*

%Umfang

$u^*_{rel} = 89$

%Regularität

$g^*_{H,rel} = 72$

$g^*_{C,rel} = 57$

ORS19_96a; adaptierte CIELAB-Daten									
u^*_e	$L^*=L^*$	a^*_a	b^*_a	$C^*_{ab,a}$	$h^*_{ab,a}$	u^*_d			
r00j	48.88	66.47	31.67	73.63	25	m84o			
r25j	55.85	52.39	47.48	70.7	42	o17y			
r50j	65.45	35.22	58.37	68.17	59	o42y			
r75j	75.19	17.82	69.41	71.66	76	o67y			
j00g	87.03	-3.35	82.83	82.9	92	o92y			
j25g	80.72	-25.01	69.5	73.86	110	y20l			
j50g	70.64	-39.54	51.97	65.3	127	y46l			
j75g	61.93	-52.1	36.83	63.8	145	y72l			
g00b	52.8	-65.28	20.93	68.56	162	y99l			
g25b	55.7	-49.58	-8.39	50.28	190	l36c			
g50b	57.82	-38.4	-28.92	48.07	217	l72c			
g75b	55.5	-22.05	-45.95	50.97	244	c11v			
b00r	41.6	1.37	-45.01	45.03	272	c56v			
b25r	29.0	25.08	-43.13	49.89	300	v04m			
b50r	38.04	46.53	-28.39	54.51	329	v55m			
b75r	49.48	72.88	-3.76	72.98	357	m11o			

LAB^*LAB^*

$i^* = 1.00$

$i^* = 0.80$

$i^* = 0.60$

$i^* = 0.40$

$i^* = 0.20$

$i^* = 0.00$

$i^* = 0.00$

$i^* = 0.00$

$i^* = 0.00$

$i^* = 0.00$

$i^* = 0.00$

$i^* = 0.00$

$i^* = 0.00$

$i^* = 0.00$

$i^* = 0.00$

$i^* = 0.00$

$i^* = 0.00$

$i^* = 0.00$

$i^* = 0.00$

$i^* = 0.00$

$i^* = 0.00$

$i^* = 0.00$

$i^* = 0.00$

$i^* = 0.00$

Ein und Ausgabe: Farbmetrisches Drucker-Reflektiv-System ORS19_96a für relativen CIELAB-Buntton $h^* = lab^*h^* = h_{ab}/360 = 0.834$

Daten für jede Farbe:

lab^*ch^* und lab^*icu^*

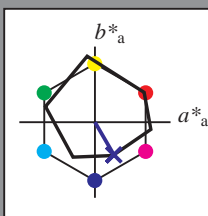
Bunttontexte:

$u^*_e = b25r$ $u^*_d = v04m$

Kontrastreduzierungsfaktor:

$c_R = 1.0$

Dreiecks-Helligkeit i^*



ORS19_96; CIELAB-Daten						
u^*_e	$L^*=L^*$	a^*	b^*	C^*_{ab}	h^*_{ab}	
O _M	48.75	65.16	40.76	76.86	32	
Y _M	90.92	-10.78	89.36	90.01	97	
L _M	52.69	-65.4	22.15	69.05	161	
C _M	59.61	-29.04	-44.69	53.3	237	
V _M	28.39	24.0	-43.18	49.4	299	
M _M	49.58	74.01	-8.22	74.47	354	
N _M	18.89	0.5	0.77	0.92	57	
W _M	96.9	-0.57	2.23	2.3	104	
R _M	39.92	58.74	27.99	65.07	25	
J _M	81.26	-2.89	71.56	71.62	92	
G _M	52.23	-42.42	13.6	44.55	162	
B _M	30.57	1.41	-46.47	46.49	272	

Daten für Maximalfarbe (Ma):

LAB^*LAB^*Ma : 29 25 -43

LAB^*LCH^*Ma : 29 50 300

lab^*rgb^*Ma : 0.5 0.0 1.0

lab^*olv^*Ma : 0.04 0.0 1.0

Dreiecks-Helligkeit i^*

%Umfang

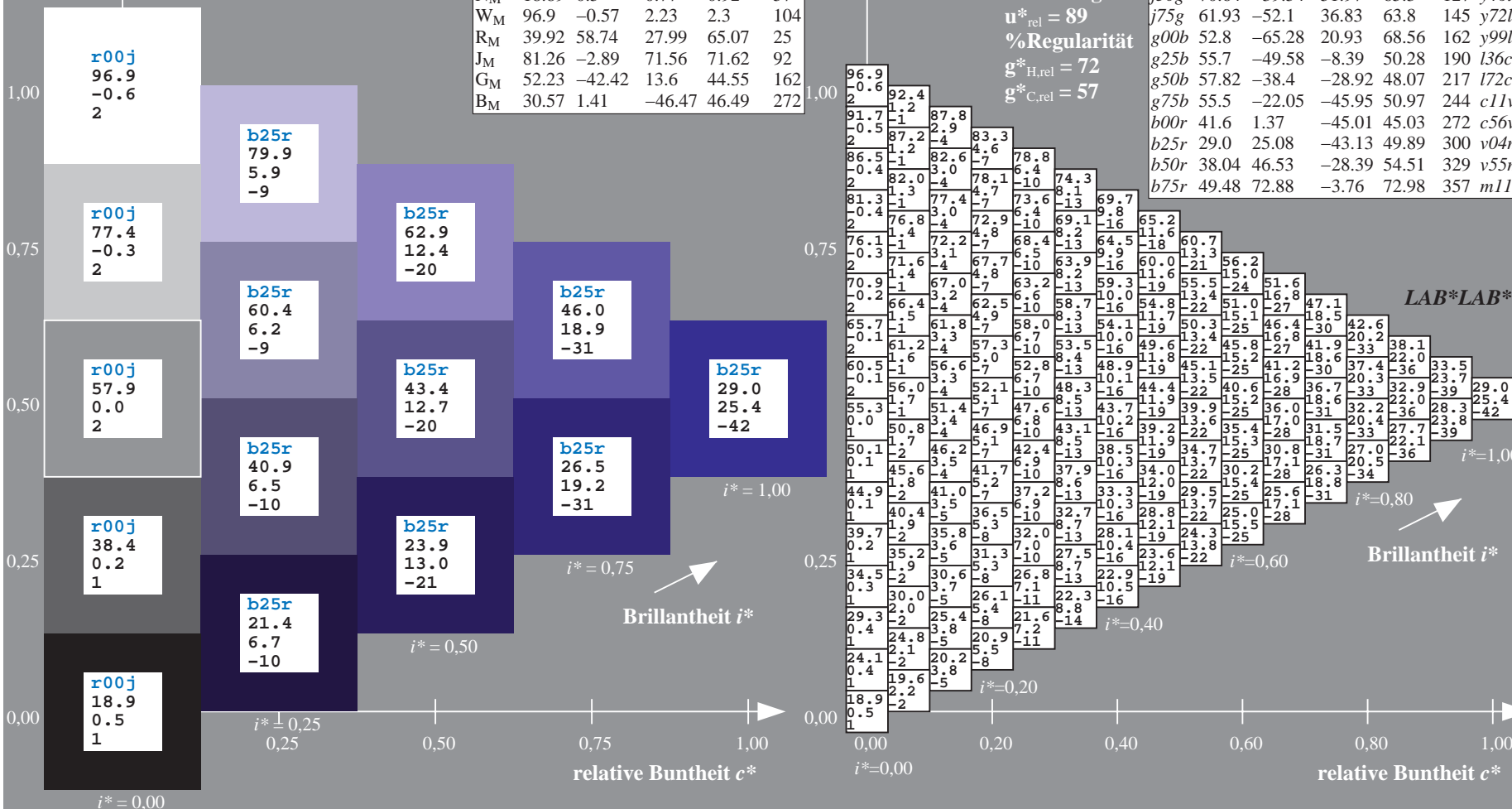
$u^*_{rel} = 89$

%Regularität

$g^*_{H,rel} = 72$

$g^*_{C,rel} = 57$

ORS19_96a; adaptierte CIELAB-Daten									
u^*_e	$L^*=L^*_a$	a^*_a	b^*_a	$C^*_{ab,a}$	$h^*_{ab,a}$	u^*_d			
r00j	48.88	66.47	31.67	73.63	25	m84o			
r25j	55.85	52.39	47.48	70.7	42	o17y			
r50j	65.45	35.22	58.37	68.17	59	o42y			
r75j	75.19	17.82	69.41	71.66	76	o67y			
j00g	87.03	-3.35	82.83	82.9	92	o92y			
j25g	80.72	-25.01	69.5	73.86	110	y20l			
j50g	70.64	-39.54	51.97	65.3	127	y46l			
j75g	61.93	-52.1	36.83	63.8	145	y72l			
g00b	52.8	-65.28	20.93	68.56	162	y99l			
g25b	55.7	-49.58	-8.39	50.28	190	l36c			
g50b	57.82	-38.4	-28.92	48.07	217	l72c			
g75b	55.5	-22.05	-45.95	50.97	244	c11v			
b00r	41.6	1.37	-45.01	45.03	272	c56v			
b25r	29.0	25.08	-43.13	49.89	300	v04m			
b50r	38.04	46.53	-28.39	54.51	329	v55m			
b75r	49.48	72.88	-3.76	72.98	357	m11o			



Ein und Ausgabe: Farbmimetrisches Drucker-Reflektiv-System ORS19_96a für relativen CIELAB-Buntton $h^* = lab^*h^* = h_{ab}/360 = 0.913$

Daten für jede Farbe:

lab^*ch^* und lab^*icu^*

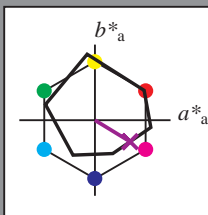
Bunttontexte:

$u^*_e = b50r$ $u^*_d = v55m$

Kontrastreduzierungsfaktor:

$c_R = 1.0$

Dreiecks-Helligkeit i^*



ORS19_96; CIELAB-Daten						
	u^*_e	$L^*=L^*$	a^*	b^*	C^*_{ab}	h^*_{ab}
O _M	48.75	65.16	40.76	76.86	32	
Y _M	90.92	-10.78	89.36	90.01	97	
L _M	52.69	-65.4	22.15	69.05	161	
C _M	59.61	-29.04	-44.69	53.3	237	
V _M	28.39	24.0	-43.18	49.4	299	
M _M	49.58	74.01	-8.22	74.47	354	
N _M	18.89	0.5	0.77	0.92	57	
W _M	96.9	-0.57	2.23	2.3	104	
R _M	39.92	58.74	27.99	65.07	25	
J _M	81.26	-2.89	71.56	71.62	92	
G _M	52.23	-42.42	13.6	44.55	162	
B _M	30.57	1.41	-46.47	46.49	272	

Daten für Maximalfarbe (Ma):

$LAB^*LAB^*_{Ma}$: 38 47 -28

$LAB^*LCH^*_{Ma}$: 38 55 328

$lab^*rgb^*_{Ma}$: 1.0 0.0 1.0

$lab^*olv^*_{Ma}$: 0.56 0.0 1.0

Dreiecks-Helligkeit i^*

%Umfang

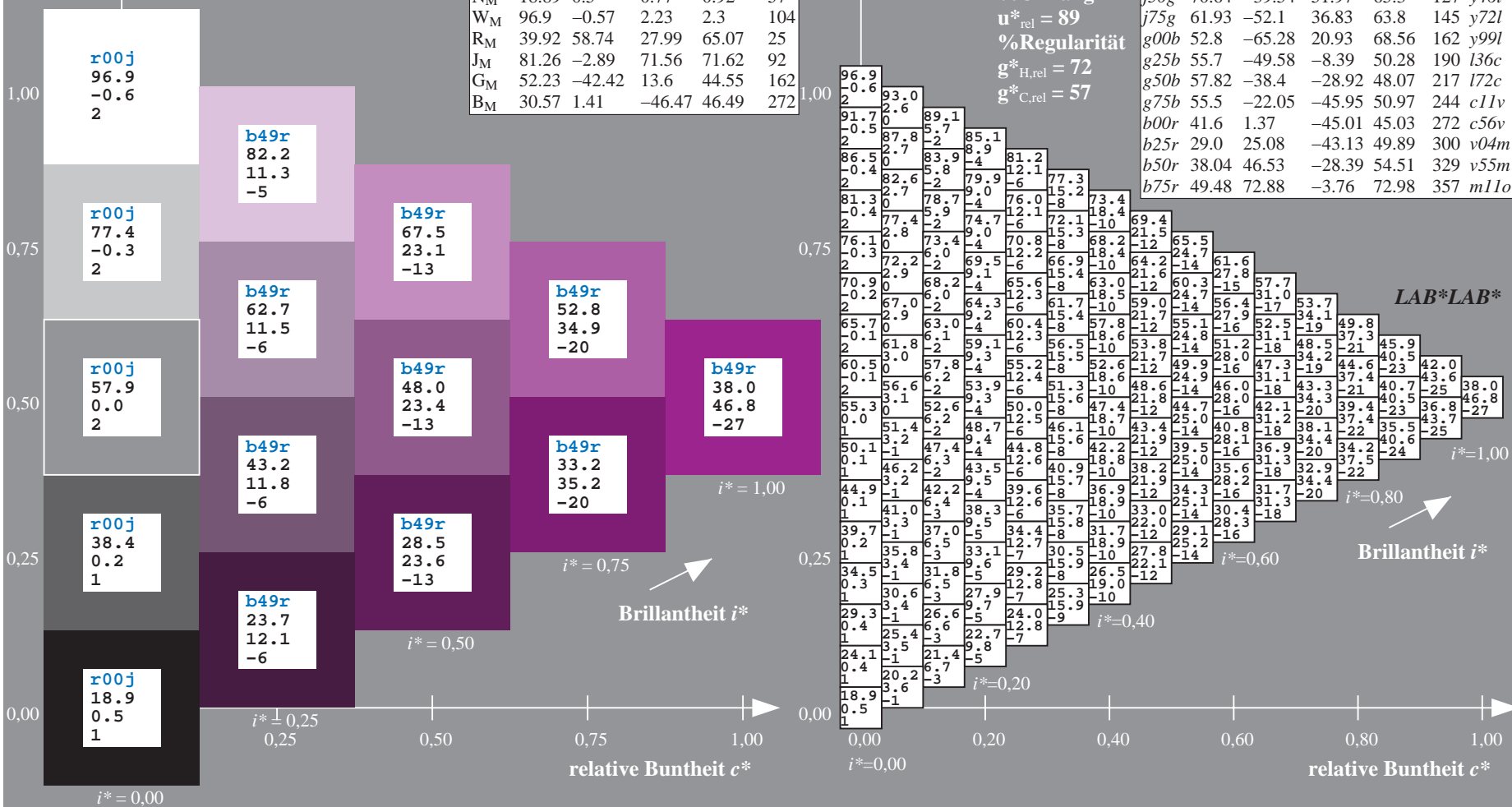
$u^*_{rel} = 89$

%Regularität

$g^*_{H,rel} = 72$

$g^*_{C,rel} = 57$

ORS19_96a; adaptierte CIELAB-Daten									
	u^*_e	$L^*=L^*_a$	a^*_a	b^*_a	$C^*_{ab,a}$	$h^*_{ab,a}$	u^*_d		
r00j	48.88	66.47	31.67	73.63	25		m84o		
r25j	55.85	52.39	47.48	70.7	42		o17y		
r50j	65.45	35.22	58.37	68.17	59		o42y		
r75j	75.19	17.82	69.41	71.66	76		o67y		
j00g	87.03	-3.35	82.83	82.9	92		o92y		
j25g	80.72	-25.01	69.5	73.86	110		y20l		
j50g	70.64	-39.54	51.97	65.3	127		y46l		
j75g	61.93	-52.1	36.83	63.8	145		y72l		
g00b	52.8	-65.28	20.93	68.56	162		y99l		
g25b	55.7	-49.58	-8.39	50.28	190		l36c		
g50b	57.82	-38.4	-28.92	48.07	217		l72c		
g75b	55.5	-22.05	-45.95	50.97	244		c11v		
b00r	41.6	1.37	-45.01	45.03	272		c56v		
b25r	29.0	25.08	-43.13	49.89	300		v04m		
b50r	38.04	46.53	-28.39	54.51	329		v55m		
b75r	49.48	72.88	-3.76	72.98	357		m11o		



Ein und Ausgabe: Farbmetrisches Drucker-Reflektiv-System ORS19_96a für relativen CIELAB-Buntton $h^* = lab^*h^* = h_{ab}/360 = 0.992$

Daten für jede Farbe:

lab^*ch^* und lab^*icu^*

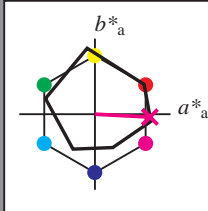
Bunttontexte:

$u^*_e = b75r$ $u^*_d = m11o$

Kontrastreduzierungsfaktor:

$c_R = 1.0$

Dreiecks-Helligkeit i^*



ORS19_96; CIELAB-Daten						
u^*_e	$L^*=L^*$	a^*	b^*	C^*_{ab}	h^*_{ab}	
O _M	48.75	65.16	40.76	76.86	32	
Y _M	90.92	-10.78	89.36	90.01	97	
L _M	52.69	-65.4	22.15	69.05	161	
C _M	59.61	-29.04	-44.69	53.3	237	
V _M	28.39	24.0	-43.18	49.4	299	
M _M	49.58	74.01	-8.22	74.47	354	
N _M	18.89	0.5	0.77	0.92	57	
W _M	96.9	-0.57	2.23	2.3	104	
R _M	39.92	58.74	27.99	65.07	25	
J _M	81.26	-2.89	71.56	71.62	92	
G _M	52.23	-42.42	13.6	44.55	162	
B _M	30.57	1.41	-46.47	46.49	272	

Daten für Maximalfarbe (Ma):

LAB^*LAB^*Ma : 49 73 -4

LAB^*LCH^*Ma : 49 73 357

lab^*rgb^*Ma : 1.0 0.0 0.5

lab^*olv^*Ma : 1.0 0.0 0.89

Dreiecks-Helligkeit i^*

%Umfang

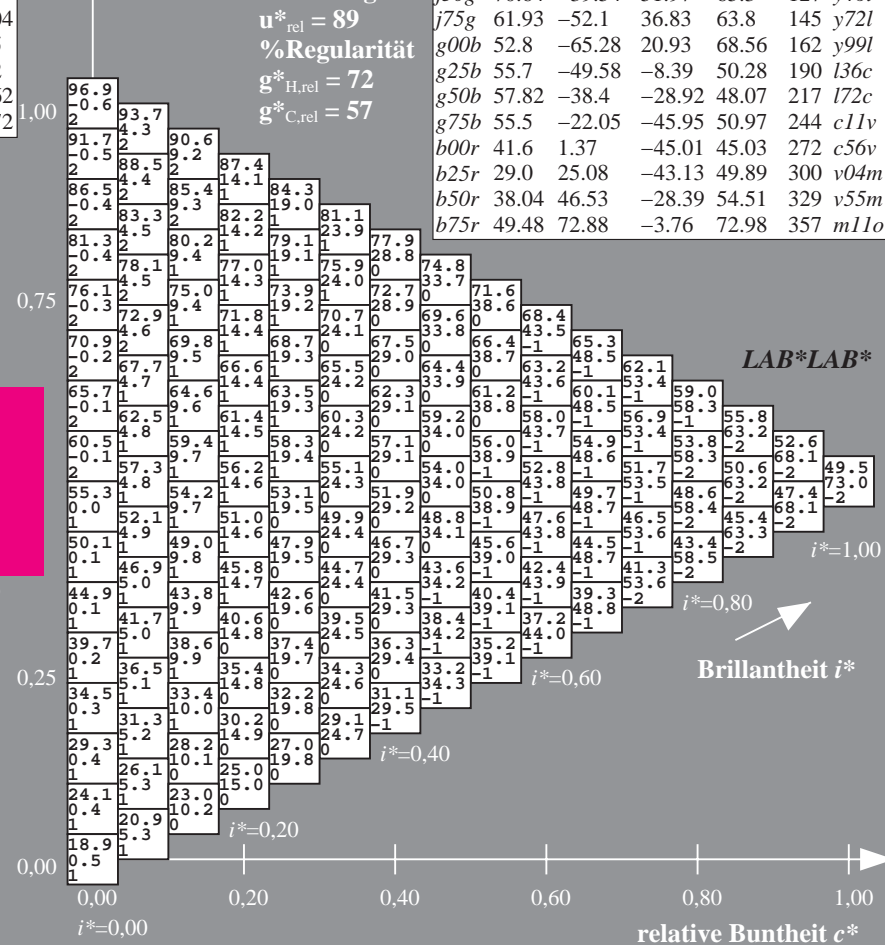
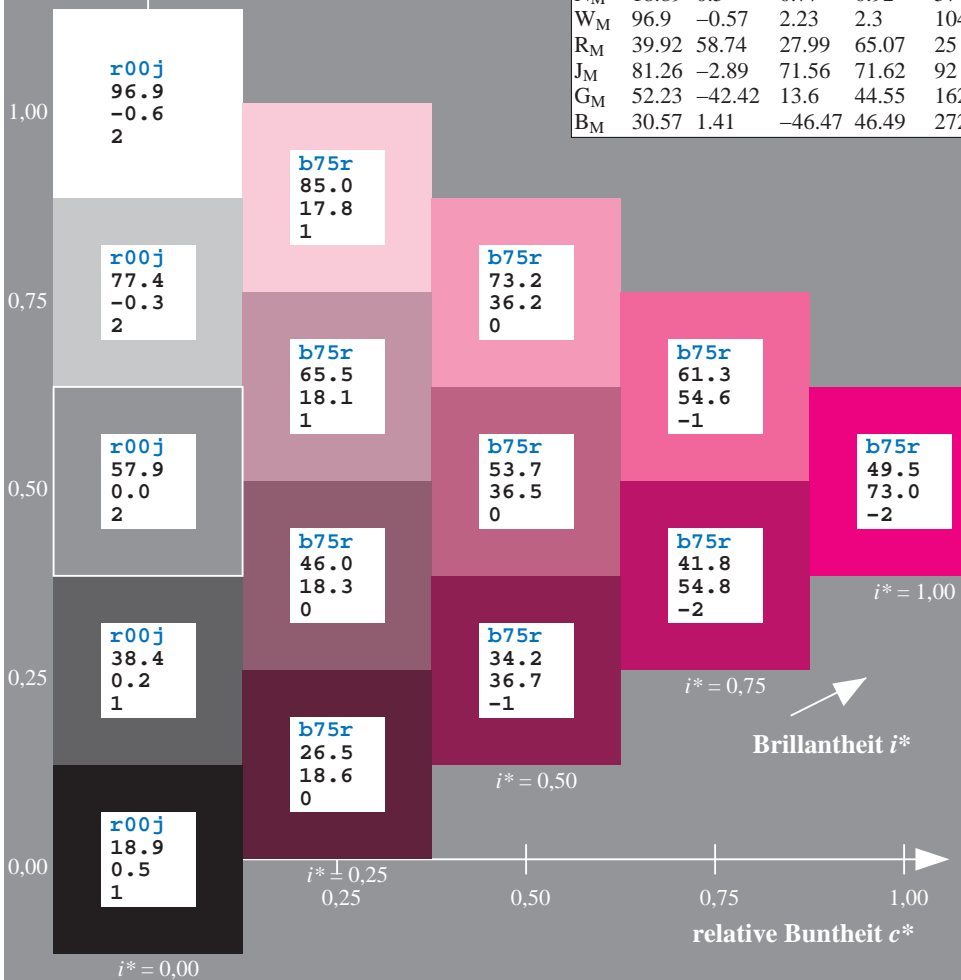
$u^*_{rel} = 89$

%Regularität

$g^*_{H,rel} = 72$

$g^*_{C,rel} = 57$

ORS19_96a; adaptierte CIELAB-Daten							
u^*_e	$L^*=L^*$	a^*	b^*	$C^*_{ab,a}$	$h^*_{ab,a}$	u^*_d	
r00j	48.88	66.47	31.67	73.63	25	m84o	
r25j	55.85	52.39	47.48	70.7	42	o17y	
r50j	65.45	35.22	58.37	68.17	59	o42y	
r75j	75.19	17.82	69.41	71.66	76	o67y	
j00g	87.03	-3.35	82.83	82.9	92	o92y	
j25g	80.72	-25.01	69.5	73.86	110	y20l	
j50g	70.64	-39.54	51.97	65.3	127	y46l	
j75g	61.93	-52.1	36.83	63.8	145	y72l	
g00b	52.8	-65.28	20.93	68.56	162	y99l	
g25b	55.7	-49.58	-8.39	50.28	190	l36c	
g50b	57.82	-38.4	-28.92	48.07	217	l72c	
g75b	55.5	-22.05	-45.95	50.97	244	c11v	
b00r	41.6	1.37	-45.01	45.03	272	c56v	
b25r	29.0	25.08	-43.13	49.89	300	v04m	
b50r	38.04	46.53	-28.39	54.51	329	v55m	
b75r	49.48	72.88	-3.76	72.98	357	m11o	



Siehe ähnliche Dateien: <http://www.ps.bam.de/Eg12/>; www.ps.bam.de/Eg12/10L/L12G00NA.PS/.TXT BAM-Material: Code=rh4ta
Technische Information: <http://www.ps.bam.de/Version 2.1, io=1.1, ColSp=1>

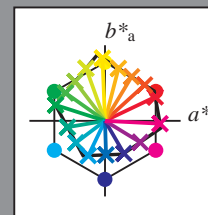
	A	B	C	D	E	F	G	H	I	J	K	L	M	N	O	P	Q	R	S	T	U	V	W	X	Y	Z	a	b	c	d	e	f	g	h	i	j	k	LAB*LAB*																																																																																																																																																																																																																																																																																																																																																																																																																																																																																																																																																																																																																																																																																																																																																																																																																																																																																																																		
01	18.9	23.1	27.3	31.6	35.8	40.0	44.2	48.5	52.7	56.9	61.1	65.3	69.5	73.7	77.9	82.1	86.3	90.5	94.7	98.9	103.1	107.3	111.5	115.7	119.9	124.1	128.3	132.5	136.7	140.9	145.1	149.3	153.5	157.7	161.9	166.1	170.3	174.5	178.7	182.9	187.1	191.3	195.5	199.7	203.9	208.1	212.3	216.5	220.7	224.9	229.1	233.3	237.5	241.7	245.9	250.1	254.3	258.5	262.7	266.9	271.1	275.3	279.5	283.7	287.9	292.1	296.3	300.5	304.7	308.9	313.1	317.3	321.5	325.7	329.9	334.1	338.3	342.5	346.7	350.9	355.1	359.3	363.5	367.7	371.9	376.1	380.3	384.5	388.7	392.9	397.1	401.3	405.5	409.7	413.9	418.1	422.3	426.5	430.7	434.9	439.1	443.3	447.5	451.7	455.9	460.1	464.3	468.5	472.7	476.9	481.1	485.3	489.5	493.7	497.9	502.1	506.3	510.5	514.7	518.9	523.1	527.3	531.5	535.7	539.9	544.1	548.3	552.5	556.7	560.9	565.1	569.3	573.5	577.7	581.9	586.1	590.3	594.5	598.7	602.9	607.1	611.3	615.5	619.7	623.9	628.1	632.3	636.5	640.7	644.9	649.1	653.3	657.5	661.7	665.9	670.1	674.3	678.5	682.7	686.9	691.1	695.3	699.5	703.7	707.9	712.1	716.3	720.5	724.7	728.9	733.1	737.3	741.5	745.7	749.9	754.1	758.3	762.5	766.7	770.9	775.1	779.3	783.5	787.7	791.9	796.1	800.3	804.5	808.7	812.9	817.1	821.3	825.5	829.7	833.9	838.1	842.3	846.5	850.7	854.9	859.1	863.3	867.5	871.7	875.9	880.1	884.3	888.5	892.7	896.9	901.1	905.3	909.5	913.7	917.9	922.1	926.3	930.5	934.7	938.9	943.1	947.3	951.5	955.7	959.9	964.1	968.3	972.5	976.7	980.9	985.1	989.3	993.5	997.7	1001.9	1006.1	1010.3	1014.5	1018.7	1022.9	1027.1	1031.3	1035.5	1039.7	1043.9	1048.1	1052.3	1056.5	1060.7	1064.9	1069.1	1073.3	1077.5	1081.7	1085.9	1090.1	1094.3	1098.5	1102.7	1106.9	1111.1	1115.3	1119.5	1123.7	1127.9	1132.1	1136.3	1140.5	1144.7	1148.9	1153.1	1157.3	1161.5	1165.7	1169.9	1174.1	1178.3	1182.5	1186.7	1190.9	1195.1	1199.3	1203.5	1207.7	1211.9	1216.1	1220.3	1224.5	1228.7	1232.9	1237.1	1241.3	1245.5	1249.7	1253.9	1258.1	1262.3	1266.5	1270.7	1274.9	1279.1	1283.3	1287.5	1291.7	1295.9	1299.9	1304.1	1308.3	1312.5	1316.7	1320.9	1325.1	1329.3	1333.5	1337.7	1341.9	1346.1	1350.3	1354.5	1358.7	1362.9	1367.1	1371.3	1375.5	1379.7	1383.9	1388.1	1392.3	1396.5	1400.7	1404.9	1409.1	1413.3	1417.5	1421.7	1425.9	1430.1	1434.3	1438.5	1442.7	1446.9	1451.1	1455.3	1459.5	1463.7	1467.9	1472.1	1476.3	1480.5	1484.7	1488.9	1493.1	1497.3	1501.5	1505.7	1509.9	1514.1	1518.3	1522.5	1526.7	1530.9	1535.1	1539.3	1543.5	1547.7	1551.9	1556.1	1560.3	1564.5	1568.7	1572.9	1577.1	1581.3	1585.5	1589.7	1593.9	1598.1	1602.3	1606.5	1610.7	1614.9	1619.1	1623.3	1627.5	1631.7	1635.9	1640.1	1644.3	1648.5	1652.7	1656.9	1661.1	1665.3	1669.5	1673.7	1677.9	1682.1	1686.3	1690.5	1694.7	1698.9	1703.1	1707.3	1711.5	1715.7	1719.9	1724.1	1728.3	1732.5	1736.7	1740.9	1745.1	1749.3	1753.5	1757.7	1761.9	1766.1	1770.3	1774.5	1778.7	1782.9	1787.1	1791.3	1795.5	1799.7	1803.9	1808.1	1812.3	1816.5	1820.7	1824.9	1829.1	1833.3	1837.5	1841.7	1845.9	1850.1	1854.3	1858.5	1862.7	1866.9	1871.1	1875.3	1879.5	1883.7	1887.9	1892.1	1896.3	1900.5	1904.7	1908.9	1913.1	1917.3	1921.5	1925.7	1929.9	1934.1	1938.3	1942.5	1946.7	1950.9	1955.1	1959.3	1963.5	1967.7	1971.9	1976.1	1980.3	1984.5	1988.7	1992.9	1997.1	2001.3	2005.5	2009.7	2013.9	2018.1	2022.3	2026.5	2030.7	2034.9	2039.1	2043.3	2047.5	2051.7	2055.9	2060.1	2064.3	2068.5	2072.7	2076.9	2081.1	2085.3	2089.5	2093.7	2097.9	2102.1	2106.3	2110.5	2114.7	2118.9	2123.1	2127.3	2131.5	2135.7	2139.9	2144.1	2148.3	2152.5	2156.7	2160.9	2165.1	2169.3	2173.5	2177.7	2181.9	2186.1	2190.3	2194.5	2198.7	2202.9	2207.1	2211.3	2215.5	2219.7	2223.9	2228.1	2232.3	2236.5	2240.7	2244.9	2249.1	2253.3	2257.5	2261.7	2265.9	2270.1	2274.3	2278.5	2282.7	2286.9	2291.1	2295.3	2299.5	2303.7	2307.9	2312.1	2316.3	2320.5	2324.7	2328.9	2333.1	2337.3	2341.5	2345.7	2349.9	2354.1	2358.3	2362.5	2366.7	2370.9	2375.1	2379.3	2383.5	2387.7	2391.9	2396.1	2400.3	2404.5	2408.7	2412.9	2417.1	2421.3	2425.5	2429.7	2433.9	2438.1	2442.3	2446.5	2450.7	2454.9	2459.1	2463.3	2467.5	2471.7	2475.9	2480.1	2484.3	2488.5	2492.7	2496.9	2501.1	2505.3	2509.5	2513.7	2517.9	2522.1	2526.3	2530.5	2534.7	2538.9	2543.1	2547.3	2551.5	2555.7	2559.9	2564.1	2568.3	2572.5	2576.7	2580.9	2585.1	2589.3	2593.5	2597.7	2601.9	2606.1	2610.3	2614.5	2618.7	2622.9	2627.1	2631.3	2635.5	2639.7	2643.9	2648.1	2652.3	2656.5	2660.7	2664.9	2669.1	2673.3	2677.5	2681.7	2685.9	2690.1	2694.3	2698.5	2702.7	2706.9	2711.1	2715.3	2719.5	2723.7	2727.9	2732.1	2736.3	2740.5	2744.7	2748.9	2753.1	2757.3	2761.5	2765.7	2769.9	2774.1	2778.3	2782.5	2786.7	2790.9	2795.1	2799.3	2803.5	2807.7	2811.9	2816.1	2820.3	2824.5	2828.7	2832.9	2837.1	2841.3	2845.5	2849.7	2853.9	2858.1	2862.3	2866.5	2870.7	2874.9	2879.1	2883.3	2887.5	2891.7	2895.9	2900.1	2904.3	2908.5	2912.7	2916.9	2921.1	2925.3	2929.5	2933.7	2937.9	2942.1	2946.3	2950.5	2954.7	2958.9	2963.1	2967.3	2971.5	2975.7	2979.9	2984.1	2988.3	2992.5	2996.7	3000.9	3005.1	3009.3	3013.5	3017.7	3021.9	3026.1	3030.3	3034.5	3038.7	3042.9	3047.1	3051.3	3055.5	3059.7	3063.9	3068.1	3072.3	3076.5	3080.7	3084.9	3089.1	3093.3	3097.5	3101.7	3105.9	3110.1	3114.3	3118.5	3122.7	3126.9	3131.1	3135.3	3139.5	3143.7	3147.9	3152.1	3156.3	3160.5	3164.7	3168.9	3173.1	3177.3	3181.5	3185.7	3189.9	3194.1	3198.3	3202.5	3206.7	3210.9	3215.1	3219.3	3223.5	3227.7	3231.9	3236.1	3240.3	3244.5	3248.7	3252.9	3257.1	3261.3	3265.5	3269.7	3273.9	3278.1	3282.3	3286.5	3290.7	3294.9	3299.1	3303.3	3307.5	3311.7	3315.9	3320.1	3324.3	3328.5	3332.7	3336.9	3341.1	3345.3	3349.5	3353.7	3357.9	3362.1	3366.3	3370.5	3374.7	3378.9	3383.1	3387.3	3391.5	3395.7	3399.9	3404.1	3408.3	3412.5	3416.7	3420.9	3425.1	3429.3	3433.5	3437.7	3441.9	3446.1	3450.3	3454.5	3458.7	3462.9	3467.1	3471.3	3475.5	3479.7	3483.9	3488.1	3492.3	3496.5	3500.7	3504.9	3509.1	3513.3	3517.5	3521.7	3525.9	3530.1	3534.3	3538.5	3542.7	3546.9	3551.1	3555.3	3559.5	3563.7	3567.9	3572.1	3576.3	3580.5	3584.7	3588.9	3593.1	3597.3	3601.5	3605.7	3609.9	3614.1	3618.3	3622.5	3626.7	3630.9	3635.1	3639.3	3643.5	3647.7	3651.9	3656.1	3660.3	3664.5	3668.7	3672.9	3677.1	3681.3	3685.5	3689.7	3693.9	3698.1	3702.3	3706.5	3710.7	3714.9	3719.1	3723.3	3727.5	3731.7	3735.9	3740.1	3744.3	3748.5	3752.7	3756.9	3761.1	3765.3	3769.5	3773.7	3777.9	3782.1	3786.3	3790.5	3794.7	3798.9	3803.1	3807.3	3811.5	3815.7	3819.9	3824.1	3828.3	3832.5	3836.7	3840.9	3845.1	3849.3	3853.5	3857.7	3861.9	3866.1	3870.3	3874.5	3878.7.9</

Ein und Ausgabe:
Farbmetrisches Drucker-Reflektiv-System ORS19_96a
Daten für jede Farbe:

u^*_e und Nummer $Nr.$ = 00 .. 15
Elementar-Bunttontext:
 $u^*_e = 16$ Bunttoene $r00j, r25j, \dots, b75r$
Kontrastreduzierungsfaktor:
 $c_R = 1.0$

ORS19_96a; adaptierte CIELAB-Daten

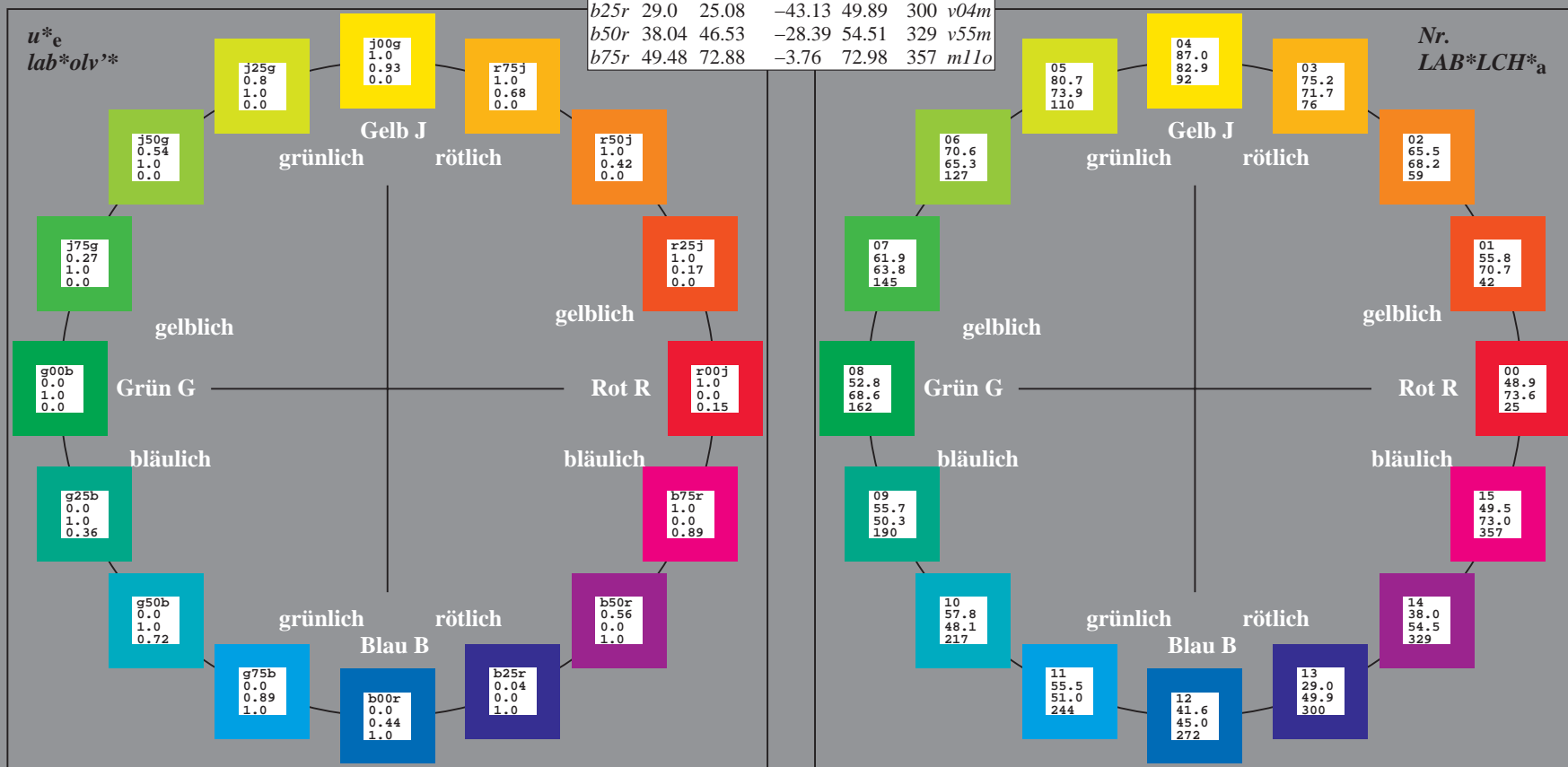
u^*_e	$L^*=L^*_a$	a^*_a	b^*_a	$C^*_{ab,a}$	$h^*_{ab,a}$	u^*_d
$r00j$	48.88	66.47	31.67	73.63	25	$m84o$
$r25j$	55.85	52.39	47.48	70.7	42	$o17y$
$r50j$	65.45	35.22	58.37	68.17	59	$o42y$
$r75j$	75.19	17.82	69.41	71.66	76	$o67y$
$j00g$	87.03	-3.35	82.83	82.9	92	$o92y$
$j25g$	80.72	-25.01	69.5	73.86	110	$y20l$
$j50g$	70.64	-39.54	51.97	65.3	127	$y46l$
$j75g$	61.93	-52.1	36.83	63.8	145	$y72l$
$g00b$	52.8	-65.28	20.93	68.56	162	$y99l$
$g25b$	55.7	-49.58	-8.39	50.28	190	$l36c$
$g50b$	57.82	-38.4	-28.92	48.07	217	$l72c$
$g75b$	55.5	-22.05	-45.95	50.97	244	$c11v$
$b00r$	41.6	1.37	-45.01	45.03	272	$c56v$
$b25r$	29.0	25.08	-43.13	49.89	300	$v04m$
$b50r$	38.04	46.53	-28.39	54.51	329	$v55m$
$b75r$	49.48	72.88	-3.76	72.98	357	$m11o$



%Umfang
 $u^*_{rel} = 89$
%Regularität
 $g^*_{H,rel} = 72$
 $g^*_{C,rel} = 57$

ORS19_96a; CIELAB-Daten

Name	$L^*=L^*$	a^*	b^*	C^*_{ab}	h^*_{ab}
O_M	48.75	65.16	40.76	76.86	32
Y_M	90.92	-10.78	89.36	90.01	97
L_M	52.69	-65.4	22.15	69.05	161
C_M	59.61	-29.04	-44.69	53.3	237
V_M	28.39	24.0	-43.18	49.4	299
M_M	49.58	74.01	-8.22	74.47	354
N_M	18.89	0.5	0.77	0.92	57
W_M	96.9	-0.57	2.23	2.3	104
R_{CIE}	39.92	58.74	27.99	65.07	25
J_{CIE}	81.26	-2.89	71.56	71.62	92
G_{CIE}	52.23	-42.42	13.6	44.55	162
B_{CIE}	30.57	1.41	-46.47	46.49	272



Ein und Ausgabe: Farbmimetrisches Drucker-Reflektiv-System ORS19_96a für relativen CIELAB-Buntton $h^* = lab^*h^* = h_{ab}/360 = 0.071$

Daten für jede Farbe:

lab^*tch^* und lab^*icu^*

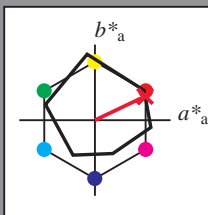
Bunttontexte:

$u^*_e = r00j$ $u^*_d = m84o$

Kontrastreduzierungsfaktor:

$c_R = 1.0$

Dreiecks-Helligkeit t^*



ORS19_96a; CIELAB-Daten						
u^*_e	$L^*=L^*_a$	a^*	b^*	C^*_{ab}	h^*_{ab}	
O _M	48.75	65.16	40.76	76.86	32	
Y _M	90.92	-10.78	89.36	90.01	97	
L _M	52.69	-65.4	22.15	69.05	161	
C _M	59.61	-29.04	-44.69	53.3	237	
V _M	28.39	24.0	-43.18	49.4	299	
M _M	49.58	74.01	-8.22	74.47	354	
N _M	18.89	0.5	0.77	0.92	57	
W _M	96.9	-0.57	2.23	2.3	104	
R _M	39.92	58.74	27.99	65.07	25	
J _M	81.26	-2.89	71.56	71.62	92	
G _M	52.23	-42.42	13.6	44.55	162	
B _M	30.57	1.41	-46.47	46.49	272	

Daten für Maximalfarbe (Ma):

LAB^*LAB^*Ma : 49 66 32

LAB^*LCH^*Ma : 49 74 25

lab^*rgb^*Ma : 1.0 0.0 0.0

lab^*olv^*Ma : 1.0 0.0 0.15

Dreiecks-Helligkeit t^*

%Umfang

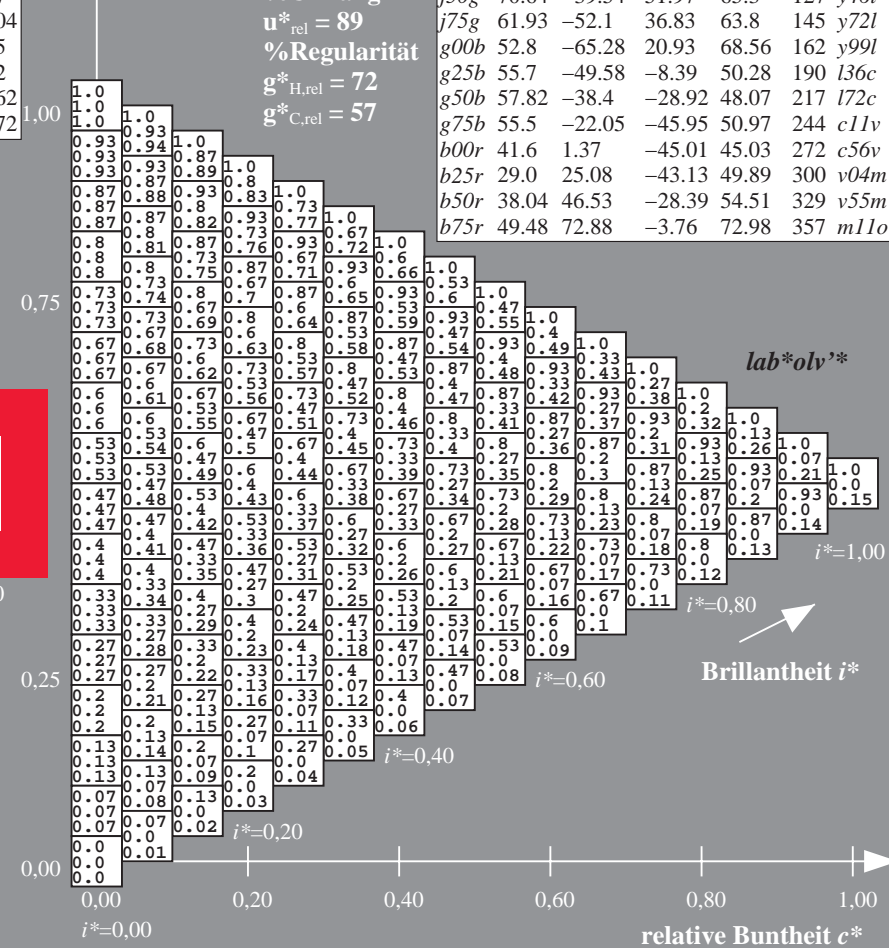
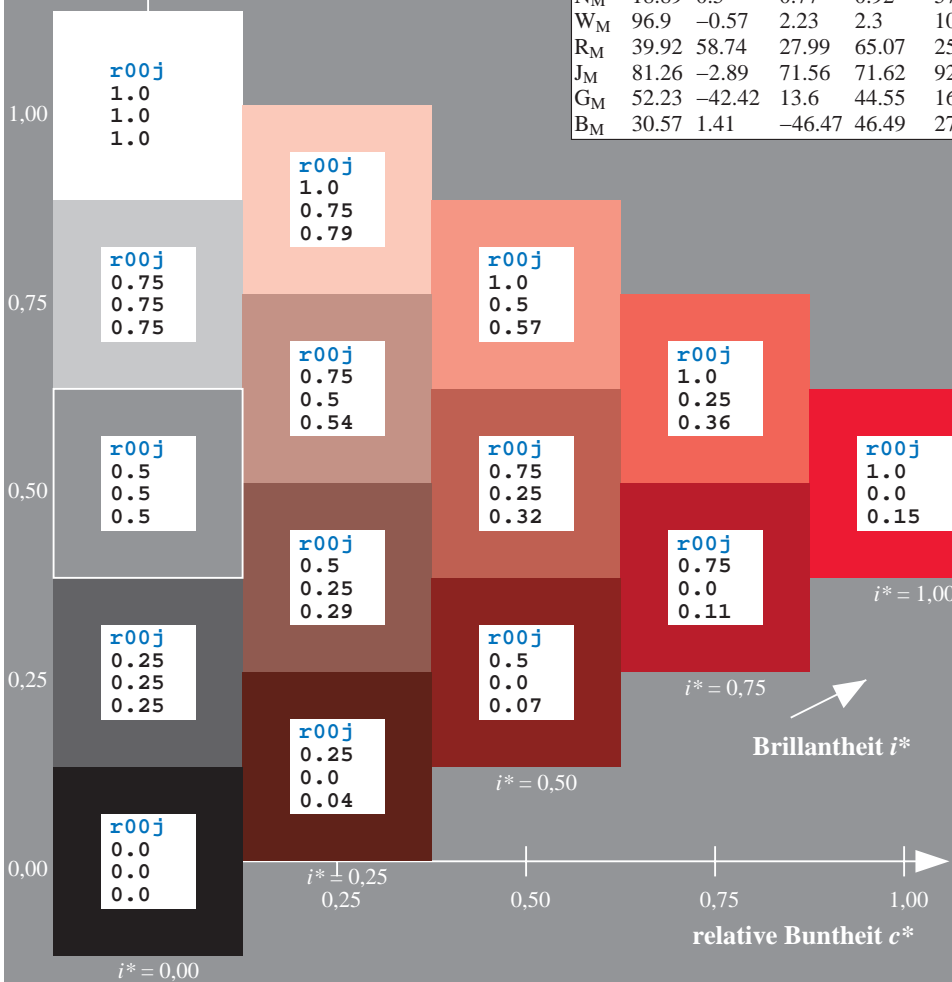
$u^*_{rel} = 89$

%Regularität

$g^*_{H,rel} = 72$

$g^*_{C,rel} = 57$

ORS19_96a; adaptierte CIELAB-Daten							
u^*_e	$L^*=L^*_a$	a^*_a	b^*_a	$C^*_{ab,a}$	$h^*_{ab,a}$	u^*_d	
r00j	48.88	66.47	31.67	73.63	25	m84o	
r25j	55.85	52.39	47.48	70.7	42	o17y	
r50j	65.45	35.22	58.37	68.17	59	o42y	
r75j	75.19	17.82	69.41	71.66	76	o67y	
j00g	87.03	-3.35	82.83	82.9	92	o92y	
j25g	80.72	-25.01	69.5	73.86	110	y20l	
j50g	70.64	-39.54	51.97	65.3	127	y46l	
j75g	61.93	-52.1	36.83	63.8	145	y72l	
g00b	52.8	-65.28	20.93	68.56	162	y99l	
g25b	55.7	-49.58	-8.39	50.28	190	l36c	
g50b	57.82	-38.4	-28.92	48.07	217	l72c	
g75b	55.5	-22.05	-45.95	50.97	244	c11v	
b00r	41.6	1.37	-45.01	45.03	272	c56v	
b25r	29.0	25.08	-43.13	49.89	300	v04m	
b50r	38.04	46.53	-28.39	54.51	329	v55m	
b75r	49.48	72.88	-3.76	72.98	357	m11o	



Ein und Ausgabe: Farbmetrisches Drucker-Reflektiv-System ORS19_96a für relativen CIELAB-Buntton $h^* = lab^*h^* = h_{ab}/360 = 0.117$

Daten für jede Farbe:

lab^*tch^* und lab^*icu^*

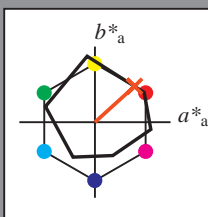
Bunttontexte:

$u^*_e = r25j$ $u^*_d = o17y$

Kontrastreduzierungsfaktor:

$c_R = 1.0$

Dreiecks-Helligkeit t^*



ORS19_96a; CIELAB-Daten						
u^*_e	$L^*=L^*_a$	a^*	b^*	C^*_{ab}	h^*_{ab}	
O _M	48.75	65.16	40.76	76.86	32	
Y _M	90.92	-10.78	89.36	90.01	97	
L _M	52.69	-65.4	22.15	69.05	161	
C _M	59.61	-29.04	-44.69	53.3	237	
V _M	28.39	24.0	-43.18	49.4	299	
M _M	49.58	74.01	-8.22	74.47	354	
N _M	18.89	0.5	0.77	0.92	57	
W _M	96.9	-0.57	2.23	2.3	104	
R _M	39.92	58.74	27.99	65.07	25	
J _M	81.26	-2.89	71.56	71.62	92	
G _M	52.23	-42.42	13.6	44.55	162	
B _M	30.57	1.41	-46.47	46.49	272	

Daten für Maximalfarbe (Ma):

$LAB^*LAB^*_{Ma}$: 56 52 47

$LAB^*LCH^*_{Ma}$: 56 71 42

$lab^*rgb^*_{Ma}$: 1.0 0.25 0.0

$lab^*olv^*_{Ma}$: 1.0 0.17 0.0

Dreiecks-Helligkeit t^*

%Umfang

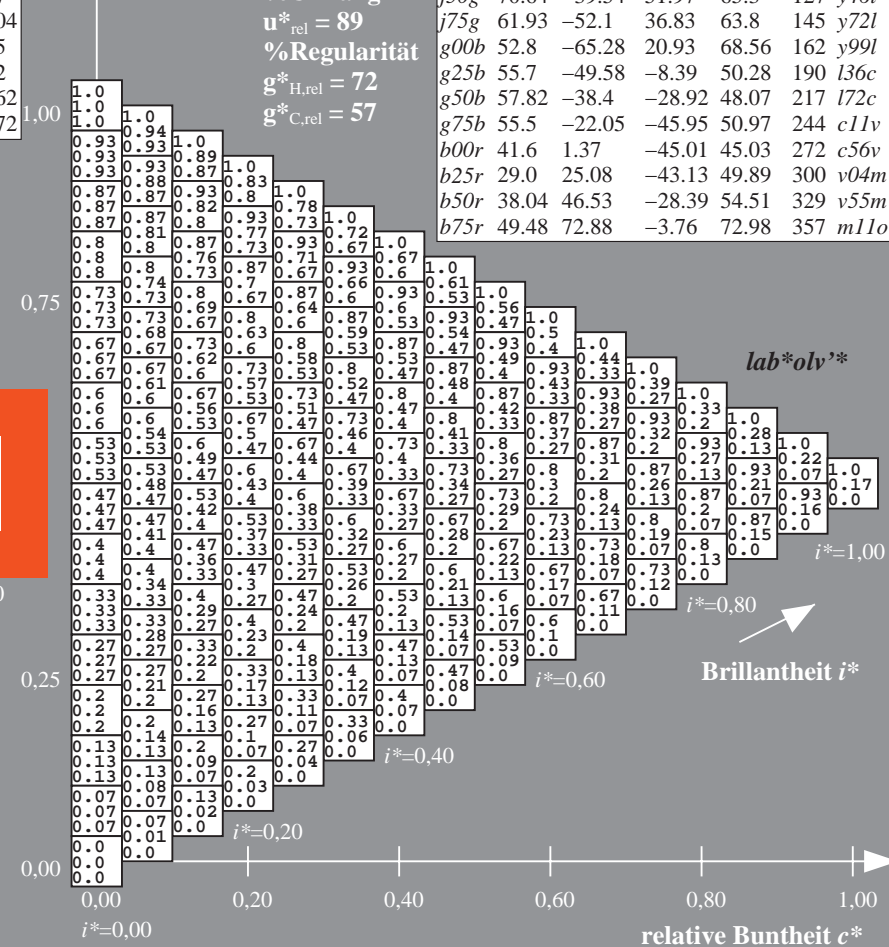
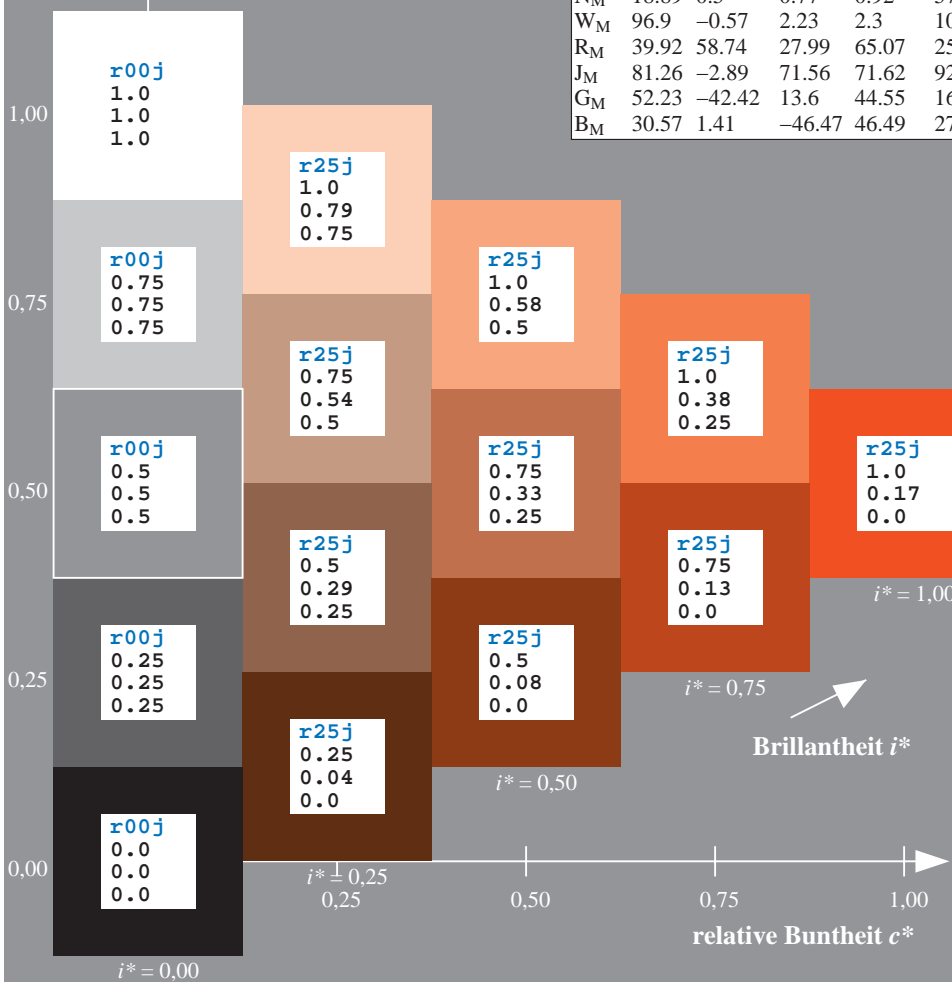
$u^*_{rel} = 89$

%Regularität

$g^*_{H,rel} = 72$

$g^*_{C,rel} = 57$

ORS19_96a; adaptierte CIELAB-Daten									
u^*_e	$L^*=L^*_a$	a^*_a	b^*_a	$C^*_{ab,a}$	$h^*_{ab,a}$	u^*_d			
r00j	48.88	66.47	31.67	73.63	25	m84o			
r25j	55.85	52.39	47.48	70.7	42	o17y			
r50j	65.45	35.22	58.37	68.17	59	o42y			
r75j	75.19	17.82	69.41	71.66	76	o67y			
j00g	87.03	-3.35	82.83	82.9	92	o92y			
j25g	80.72	-25.01	69.5	73.86	110	y20l			
j50g	70.64	-39.54	51.97	65.3	127	y46l			
j75g	61.93	-52.1	36.83	63.8	145	y72l			
g00b	52.8	-65.28	20.93	68.56	162	y99l			
g25b	55.7	-49.58	-8.39	50.28	190	l36c			
g50b	57.82	-38.4	-28.92	48.07	217	l72c			
g75b	55.5	-22.05	-45.95	50.97	244	c11v			
b00r	41.6	1.37	-45.01	45.03	272	c56v			
b25r	29.0	25.08	-43.13	49.89	300	v04m			
b50r	38.04	46.53	-28.39	54.51	329	v55m			
b75r	49.48	72.88	-3.76	72.98	357	m11o			



Ein und Ausgabe: Farbmimetrisches Drucker-Reflektiv-System ORS19_96a für relativen CIELAB-Buntton $h^* = lab^*h^* = h_{ab}/360 = 0.164$

Daten für jede Farbe:

lab^*tch^* und lab^*icu^*

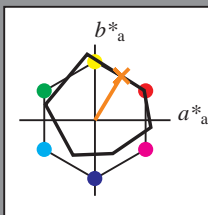
Bunttontexte:

$u^*_e = r50j$ $u^*_d = o42y$

Kontrastreduzierungsfaktor:

$c_R = 1.0$

Dreiecks-Helligkeit t^*



ORS19_96a; CIELAB-Daten

u^*_e	$L^*=L^*$	a^*	b^*	C^*_{ab}	h^*_{ab}
O _M	48.75	65.16	40.76	76.86	32
Y _M	90.92	-10.78	89.36	90.01	97
L _M	52.69	-65.4	22.15	69.05	161
C _M	59.61	-29.04	-44.69	53.3	237
V _M	28.39	24.0	-43.18	49.4	299
M _M	49.58	74.01	-8.22	74.47	354
N _M	18.89	0.5	0.77	0.92	57
W _M	96.9	-0.57	2.23	2.3	104
R _M	39.92	58.74	27.99	65.07	25
J _M	81.26	-2.89	71.56	71.62	92
G _M	52.23	-42.42	13.6	44.55	162
B _M	30.57	1.41	-46.47	46.49	272

Daten für Maximalfarbe (Ma):

$LAB^*LAB^*_{Ma}$: 65 35 58

$LAB^*LCH^*_{Ma}$: 65 68 58

$lab^*rgb^*_{Ma}$: 1.0 0.5 0.0

$lab^*olv^*_{Ma}$: 1.0 0.42 0.0

Dreiecks-Helligkeit t^*

%Umfang

$u^*_{rel} = 89$

%Regularität

$g^*_{H,rel} = 72$

$g^*_{C,rel} = 57$

ORS19_96a; adaptierte CIELAB-Daten

u^*_e	$L^*=L^*$	a^*_a	b^*_a	$C^*_{ab,a}$	$h^*_{ab,a}$	u^*_d
r00j	48.88	66.47	31.67	73.63	25	m84o
r25j	55.85	52.39	47.48	70.7	42	o17y
r50j	65.45	35.22	58.37	68.17	59	o42y
r75j	75.19	17.82	69.41	71.66	76	o67y
j00g	87.03	-3.35	82.83	82.9	92	o92y
j25g	80.72	-25.01	69.5	73.86	110	y20l
j50g	70.64	-39.54	51.97	65.3	127	y46l
j75g	61.93	-52.1	36.83	63.8	145	y72l
g00b	52.8	-65.28	20.93	68.56	162	y99l
g25b	55.7	-49.58	-8.39	50.28	190	l36c
g50b	57.82	-38.4	-28.92	48.07	217	l72c
g75b	55.5	-22.05	-45.95	50.97	244	c11v
b00r	41.6	1.37	-45.01	45.03	272	c56v
b25r	29.0	25.08	-43.13	49.89	300	v04m
b50r	38.04	46.53	-28.39	54.51	329	v55m
b75r	49.48	72.88	-3.76	72.98	357	m11o

lab^*olv^*

$i^* = 1.00$

Brillantheit i^*

$i^* = 0.80$

$i^* = 0.60$

$i^* = 0.40$

$i^* = 0.20$

$i^* = 0.00$

Ein und Ausgabe: Farbmetrisches Drucker-Reflektiv-System ORS19_96a für relativen CIELAB-Buntton $h^* = \text{lab}^*h^* = h_{ab}/360 = 0.21$

Daten für jede Farbe:

lab^*tch^* und lab^*icu^*

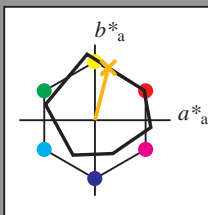
Bunttontexte:

$u^*_e = r75j$ $u^*_d = o67y$

Kontrastreduzierungsfaktor:

$c_R = 1.0$

Dreiecks-Helligkeit i^*



ORS19_96a; CIELAB-Daten						
u^*_e	$L^*=L^*_a$	a^*	b^*	C^*_{ab}	h^*_{ab}	
O _M	48.75	65.16	40.76	76.86	32	
Y _M	90.92	-10.78	89.36	90.01	97	
L _M	52.69	-65.4	22.15	69.05	161	
C _M	59.61	-29.04	-44.69	53.3	237	
V _M	28.39	24.0	-43.18	49.4	299	
M _M	49.58	74.01	-8.22	74.47	354	
N _M	18.89	0.5	0.77	0.92	57	
W _M	96.9	-0.57	2.23	2.3	104	
R _M	39.92	58.74	27.99	65.07	25	
J _M	81.26	-2.89	71.56	71.62	92	
G _M	52.23	-42.42	13.6	44.55	162	
B _M	30.57	1.41	-46.47	46.49	272	

Daten für Maximalfarbe (Ma):

$\text{LAB}^*\text{LAB}^*_{\text{Ma}}$: 75 18 69

$\text{LAB}^*\text{LCH}^*_{\text{Ma}}$: 75 72 75

$\text{lab}^*\text{rgb}^*_{\text{Ma}}$: 1.0 0.75 0.0

$\text{lab}^*\text{olv}^*_{\text{Ma}}$: 1.0 0.68 0.0

Dreiecks-Helligkeit i^*

%Umfang

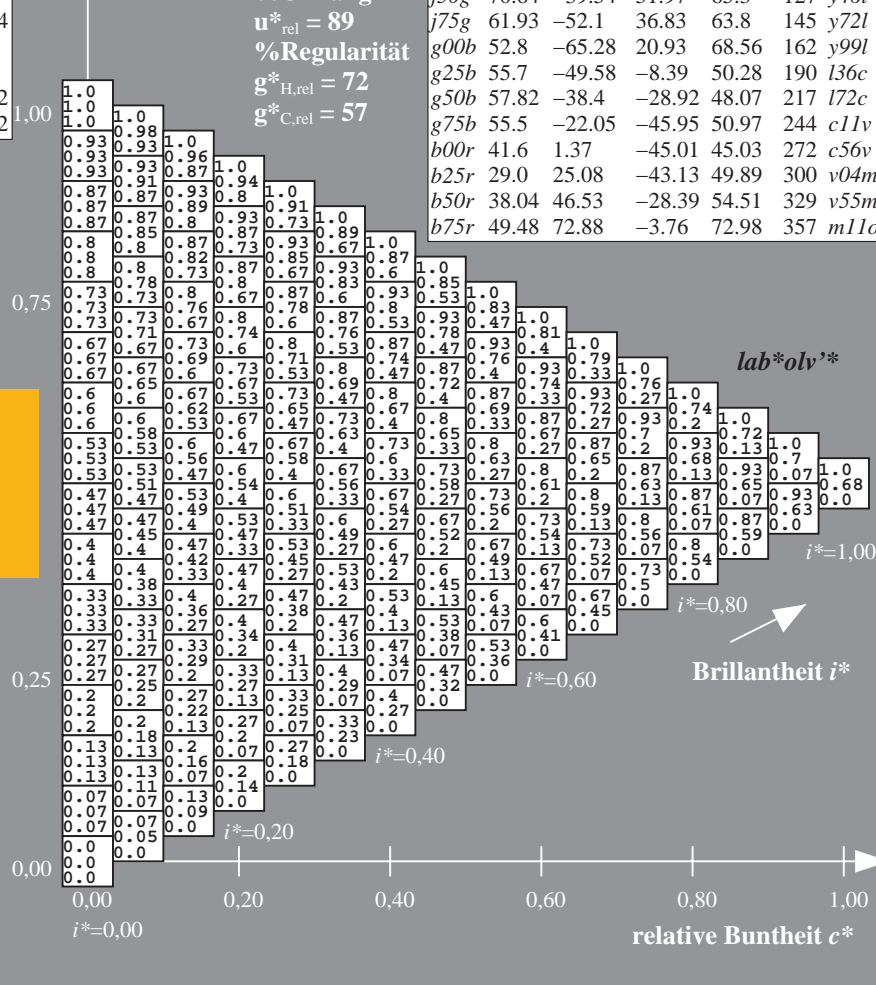
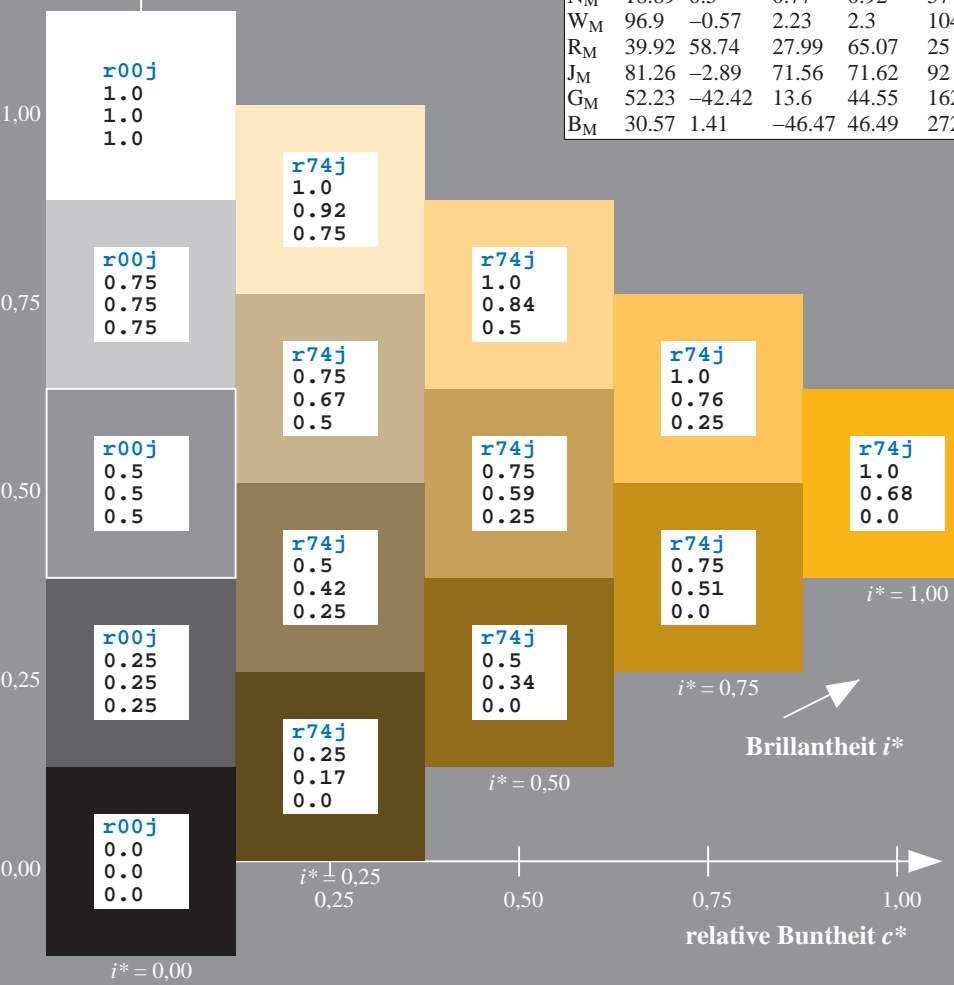
$u^*_{\text{rel}} = 89$

%Regularität

$g^*_{H,\text{rel}} = 72$

$g^*_{C,\text{rel}} = 57$

ORS19_96a; adaptierte CIELAB-Daten									
u^*_e	$L^*=L^*_a$	a^*_a	b^*_a	$C^*_{ab,a}$	$h^*_{ab,a}$	u^*_d			
r00j	48.88	66.47	31.67	73.63	25	m84o			
r25j	55.85	52.39	47.48	70.7	42	o17y			
r50j	65.45	35.22	58.37	68.17	59	o42y			
r75j	75.19	17.82	69.41	71.66	76	o67y			
j00g	87.03	-3.35	82.83	82.9	92	o92y			
j25g	80.72	-25.01	69.5	73.86	110	y20l			
j50g	70.64	-39.54	51.97	65.3	127	y46l			
j75g	61.93	-52.1	36.83	63.8	145	y72l			
g00b	52.8	-65.28	20.93	68.56	162	y99l			
g25b	55.7	-49.58	-8.39	50.28	190	l36c			
g50b	57.82	-38.4	-28.92	48.07	217	l72c			
g75b	55.5	-22.05	-45.95	50.97	244	c11v			
b00r	41.6	1.37	-45.01	45.03	272	c56v			
b25r	29.0	25.08	-43.13	49.89	300	v04m			
b50r	38.04	46.53	-28.39	54.51	329	v55m			
b75r	49.48	72.88	-3.76	72.98	357	m11o			



Ein und Ausgabe: Farbmetrisches Drucker-Reflektiv-System ORS19_96a für relativen CIELAB-Buntton $h^* = lab^*h^* = h_{ab}/360 = 0.256$

Daten für jede Farbe:

lab^*tch^* und lab^*icu^*

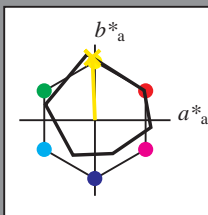
Bunttontexte:

$u^*_e = j00g$ $u^*_d = o92y$

Kontrastreduzierungsfaktor:

$c_R = 1.0$

Dreiecks-Helligkeit t^*



ORS19_96a; CIELAB-Daten

u^*_e	$L^*=L^*_a$	a^*	b^*	C^*_{ab}	h^*_{ab}
O _M	48.75	65.16	40.76	76.86	32
Y _M	90.92	-10.78	89.36	90.01	97
L _M	52.69	-65.4	22.15	69.05	161
C _M	59.61	-29.04	-44.69	53.3	237
V _M	28.39	24.0	-43.18	49.4	299
M _M	49.58	74.01	-8.22	74.47	354
N _M	18.89	0.5	0.77	0.92	57
W _M	96.9	-0.57	2.23	2.3	104
R _M	39.92	58.74	27.99	65.07	25
J _M	81.26	-2.89	71.56	71.62	92
G _M	52.23	-42.42	13.6	44.55	162
B _M	30.57	1.41	-46.47	46.49	272

Daten für Maximalfarbe (Ma):

$LAB^*LAB^*_{Ma}$: 87 -3 83

$LAB^*LCH^*_{Ma}$: 87 83 92

$lab^*rgb^*_{Ma}$: 1.0 1.0 0.0

$lab^*olv^*_{Ma}$: 1.0 0.93 0.0

Dreiecks-Helligkeit t^*

%Umfang

$u^*_{rel} = 89$

%Regularität

$g^*_{H,rel} = 72$

$g^*_{C,rel} = 57$

ORS19_96a; adaptierte CIELAB-Daten

u^*_e	$L^*=L^*_a$	a^*_a	b^*_a	$C^*_{ab,a}$	$h^*_{ab,a}$	u^*_d
r00j	48.88	66.47	31.67	73.63	25	m84o
r25j	55.85	52.39	47.48	70.7	42	o17y
r50j	65.45	35.22	58.37	68.17	59	o42y
r75j	75.19	17.82	69.41	71.66	76	o67y
j00g	87.03	-3.35	82.83	82.9	92	o92y
j25g	80.72	-25.01	69.5	73.86	110	y20l
j50g	70.64	-39.54	51.97	65.3	127	y46l
j75g	61.93	-52.1	36.83	63.8	145	y72l
g00b	52.8	-65.28	20.93	68.56	162	y99l
g25b	55.7	-49.58	-8.39	50.28	190	l36c
g50b	57.82	-38.4	-28.92	48.07	217	l72c
g75b	55.5	-22.05	-45.95	50.97	244	c11v
b00r	41.6	1.37	-45.01	45.03	272	c56v
b25r	29.0	25.08	-43.13	49.89	300	v04m
b50r	38.04	46.53	-28.39	54.51	329	v55m
b75r	49.48	72.88	-3.76	72.98	357	m11o

lab^*olv^*

$i^* = 1.00$

Brillantheit i^*

$i^* = 0.80$

$i^* = 0.60$

$i^* = 0.40$

$i^* = 0.20$

$i^* = 0.00$

Ein und Ausgabe: Farbmetrisches Drucker-Reflektiv-System ORS19_96a für relativen CIELAB-Buntton $h^* = lab^*h^* = h_{ab}/360 = 0.305$

Daten für jede Farbe:

lab^*ch^* und lab^*icu^*

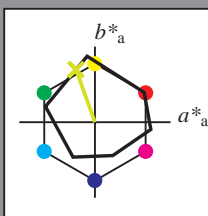
Bunttontexte:

$u^*_e = j25g$ $u^*_d = y20l$

Kontrastreduzierungsfaktor:

$c_R = 1.0$

Dreiecks-Helligkeit i^*



ORS19_96a; CIELAB-Daten					
u^*_e	$L^*=L^*_a$	a^*	b^*	C^*_{ab}	h^*_{ab}
O _M	48.75	65.16	40.76	76.86	32
Y _M	90.92	-10.78	89.36	90.01	97
L _M	52.69	-65.4	22.15	69.05	161
C _M	59.61	-29.04	-44.69	53.3	237
V _M	28.39	24.0	-43.18	49.4	299
M _M	49.58	74.01	-8.22	74.47	354
N _M	18.89	0.5	0.77	0.92	57
W _M	96.9	-0.57	2.23	2.3	104
R _M	39.92	58.74	27.99	65.07	25
J _M	81.26	-2.89	71.56	71.62	92
G _M	52.23	-42.42	13.6	44.55	162
B _M	30.57	1.41	-46.47	46.49	272

Daten für Maximalfarbe (Ma):

$LAB^*LAB^*_{Ma}$: 81 -25 69

$LAB^*LCH^*_{Ma}$: 81 74 109

$lab^*rgb^*_{Ma}$: 0.75 1.0 0.0

$lab^*olv^*_{Ma}$: 0.8 1.0 0.0

Dreiecks-Helligkeit i^*

%Umfang

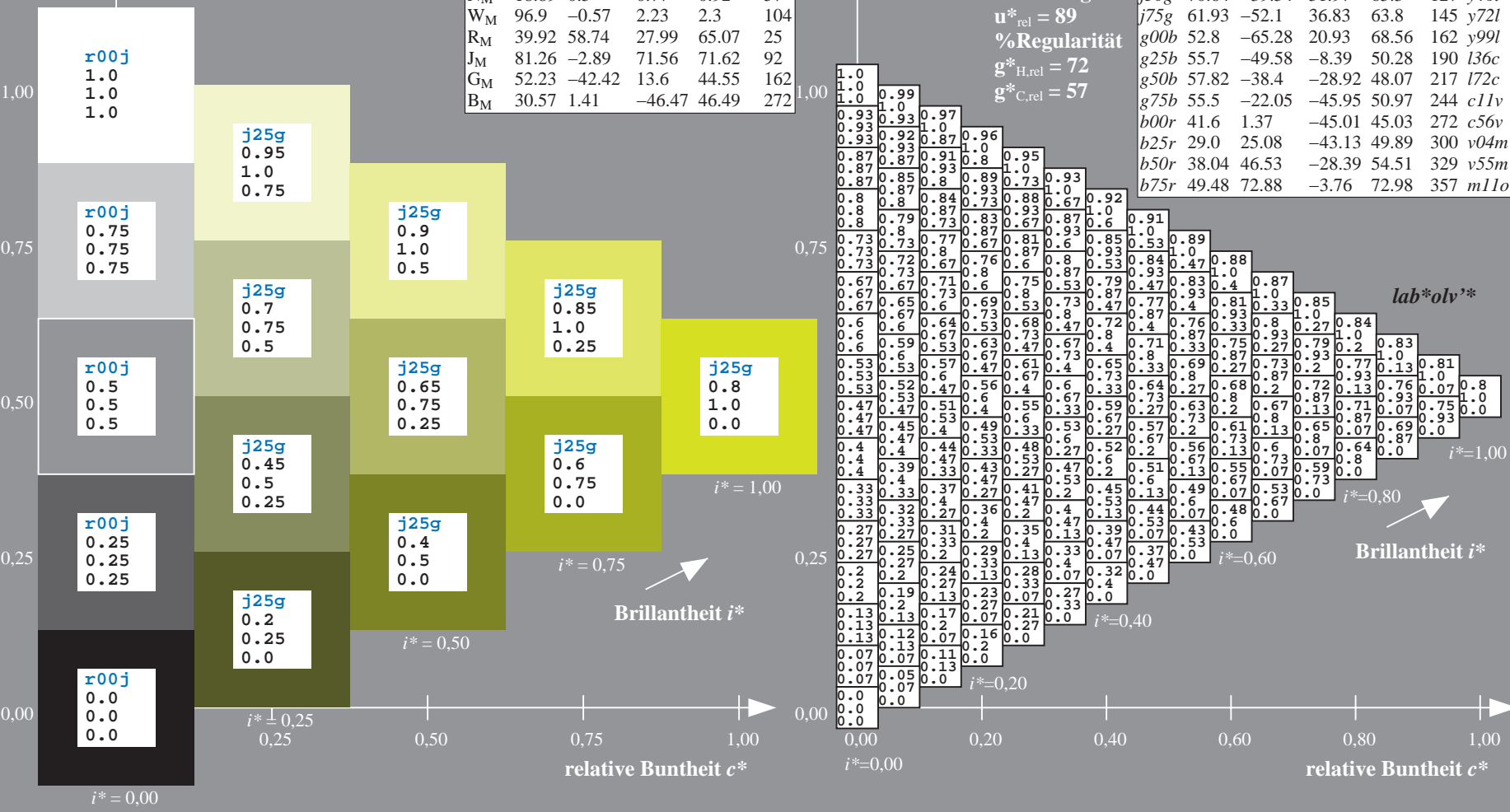
$u^*_{rel} = 89$

%Regularität

$g^*_{H,rel} = 72$

$g^*_{C,rel} = 57$

ORS19_96a; adaptierte CIELAB-Daten					
u^*_e	$L^*=L^*_a$	a^*_a	b^*_a	$C^*_{ab,a}$	$h^*_{ab,a}$
r00j	48.88	66.47	31.67	73.63	25
r25j	55.85	52.39	47.48	70.7	42
r50j	65.45	35.22	58.37	68.17	59
r75j	75.19	17.82	69.41	71.66	76
j00g	87.03	-3.35	82.83	82.9	92
j25g	80.72	-25.01	69.5	73.86	110
j50g	70.64	-39.54	51.97	65.3	127
j75g	61.93	-52.1	36.83	63.8	145
g00b	52.8	-65.28	20.93	68.56	162
g25b	55.7	-49.58	-8.39	50.28	190
g50b	57.82	-38.4	-28.92	48.07	217
g75b	55.5	-22.05	-45.95	50.97	244
b00r	41.6	1.37	-45.01	45.03	272
b25r	29.0	25.08	-43.13	49.89	300
b50r	38.04	46.53	-28.39	54.51	329
b75r	49.48	72.88	-3.76	72.98	357



Ein und Ausgabe: Farbmimetrisches Drucker-Reflektiv-System ORS19_96a für relativen CIELAB-Buntton $h^* = lab^*h^* = h_{ab}/360 = 0.354$

Daten für jede Farbe:

lab^*tch^* und lab^*icu^*

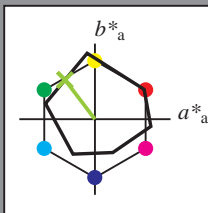
Bunttontexte:

$u^*_e = j50g$ $u^*_d = y46l$

Kontrastreduzierungsfaktor:

$c_R = 1.0$

Dreiecks-Helligkeit i^*



ORS19_96a; CIELAB-Daten					
u^*_e	$L^*=L^*_a$	a^*	b^*	C^*_{ab}	h^*_{ab}
O _M	48.75	65.16	40.76	76.86	32
Y _M	90.92	-10.78	89.36	90.01	97
L _M	52.69	-65.4	22.15	69.05	161
C _M	59.61	-29.04	-44.69	53.3	237
V _M	28.39	24.0	-43.18	49.4	299
M _M	49.58	74.01	-8.22	74.47	354
N _M	18.89	0.5	0.77	0.92	57
W _M	96.9	-0.57	2.23	2.3	104
R _M	39.92	58.74	27.99	65.07	25
J _M	81.26	-2.89	71.56	71.62	92
G _M	52.23	-42.42	13.6	44.55	162
B _M	30.57	1.41	-46.47	46.49	272

Daten für Maximalfarbe (Ma):

$LAB^*LAB^*_{Ma}$: 71 -40 52

$LAB^*LCH^*_{Ma}$: 71 65 127

$lab^*rgb^*_{Ma}$: 0.5 1.0 0.0

$lab^*olv^*_{Ma}$: 0.54 1.0 0.0

Dreiecks-Helligkeit i^*

%Umfang

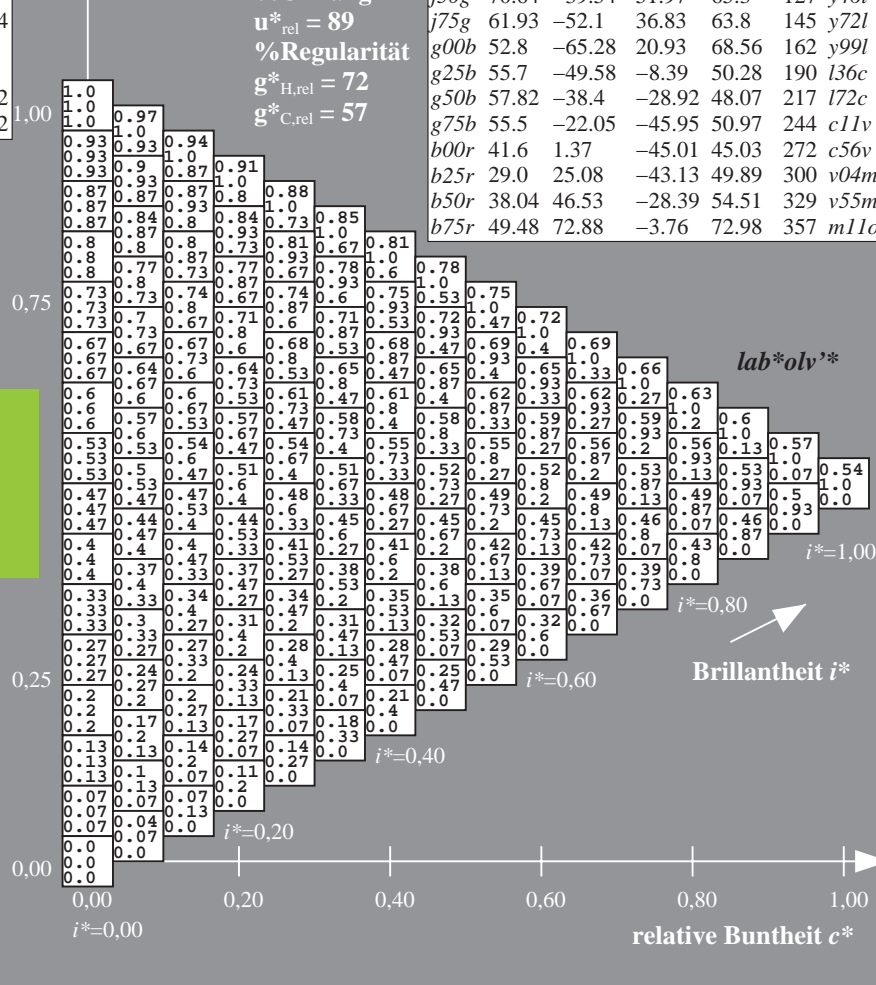
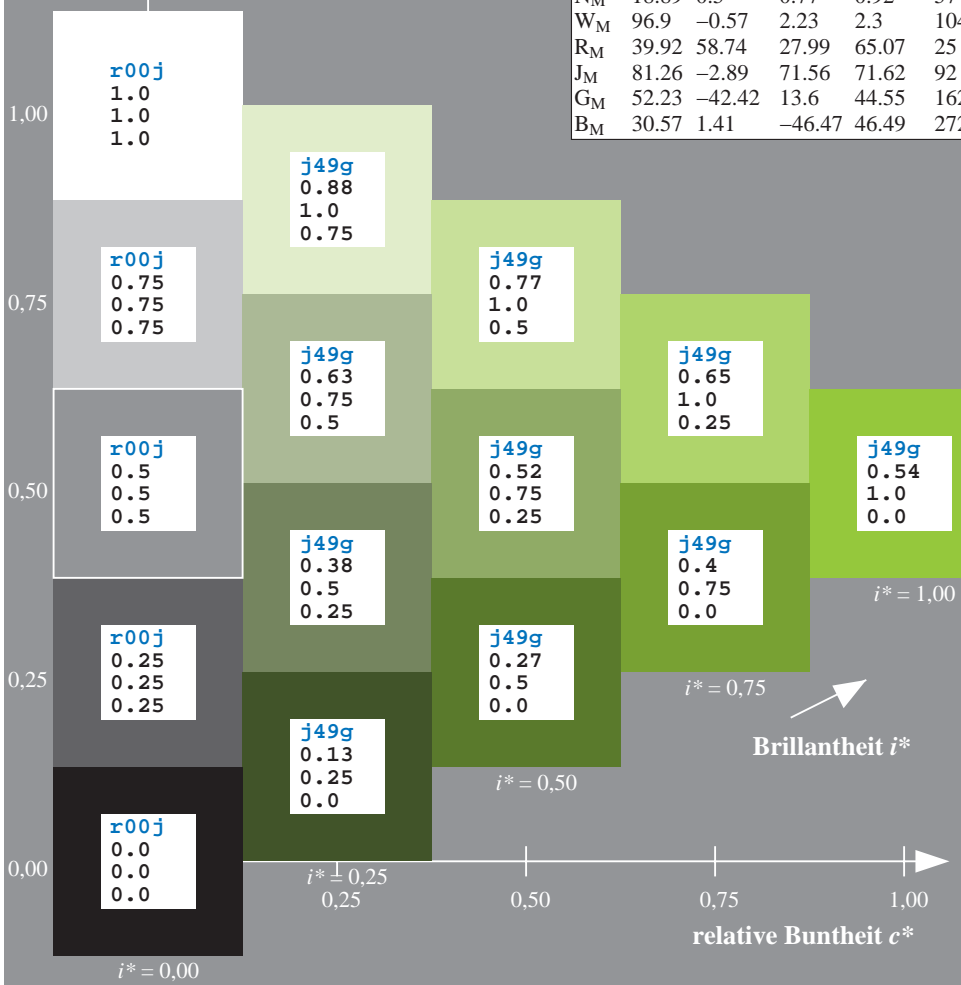
$u^*_{rel} = 89$

%Regularität

$g^*_{H,rel} = 72$

$g^*_{C,rel} = 57$

ORS19_96a; adaptierte CIELAB-Daten					
u^*_e	$L^*=L^*_a$	a^*_a	b^*_a	$C^*_{ab,a}$	$h^*_{ab,a}$
r00j	48.88	66.47	31.67	73.63	25
r25j	55.85	52.39	47.48	70.7	42
r50j	65.45	35.22	58.37	68.17	59
r75j	75.19	17.82	69.41	71.66	76
j00g	87.03	-3.35	82.83	82.9	92
j25g	80.72	-25.01	69.5	73.86	110
j50g	70.64	-39.54	51.97	65.3	127
j75g	61.93	-52.1	36.83	63.8	145
g00b	52.8	-65.28	20.93	68.56	162
g25b	55.7	-49.58	-8.39	50.28	190
g50b	57.82	-38.4	-28.92	48.07	217
g75b	55.5	-22.05	-45.95	50.97	244
b00r	41.6	1.37	-45.01	45.03	272
b25r	29.0	25.08	-43.13	49.89	300
b50r	38.04	46.53	-28.39	54.51	329
b75r	49.48	72.88	-3.76	72.98	357



Ein und Ausgabe: Farbmetrisches Drucker-Reflektiv-System ORS19_96a für relativen CIELAB-Buntton $h^* = lab^*h^* = h_{ab}/360 = 0.402$

Daten für jede Farbe:

lab^*tch^* und lab^*icu^*

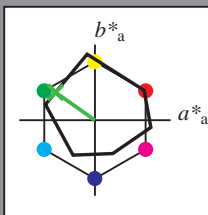
Bunttontexte:

$u^*_e = j75g$ $u^*_d = y72l$

Kontrastreduzierungsfaktor:

$c_R = 1.0$

Dreiecks-Helligkeit i^*



ORS19_96a; CIELAB-Daten						
u^*_e	$L^*=L^*_a$	a^*	b^*	C^*_{ab}	h^*_{ab}	
O _M	48.75	65.16	40.76	76.86	32	
Y _M	90.92	-10.78	89.36	90.01	97	
L _M	52.69	-65.4	22.15	69.05	161	
C _M	59.61	-29.04	-44.69	53.3	237	
V _M	28.39	24.0	-43.18	49.4	299	
M _M	49.58	74.01	-8.22	74.47	354	
N _M	18.89	0.5	0.77	0.92	57	
W _M	96.9	-0.57	2.23	2.3	104	
R _M	39.92	58.74	27.99	65.07	25	
J _M	81.26	-2.89	71.56	71.62	92	
G _M	52.23	-42.42	13.6	44.55	162	
B _M	30.57	1.41	-46.47	46.49	272	

Daten für Maximalfarbe (Ma):

LAB^*LAB^*Ma : 62 -52 37

LAB^*LCH^*Ma : 62 64 144

lab^*rgb^*Ma : 0.25 1.0 0.0

lab^*olv^*Ma : 0.27 1.0 0.0

Dreiecks-Helligkeit i^*

%Umfang

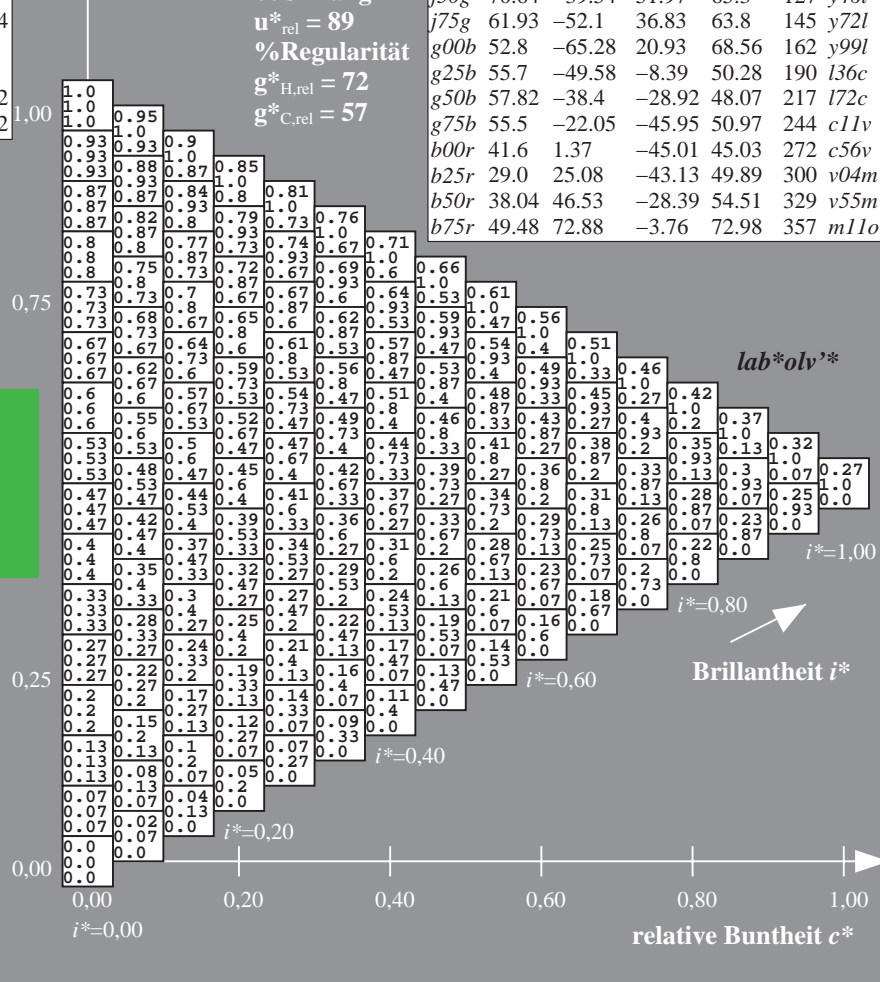
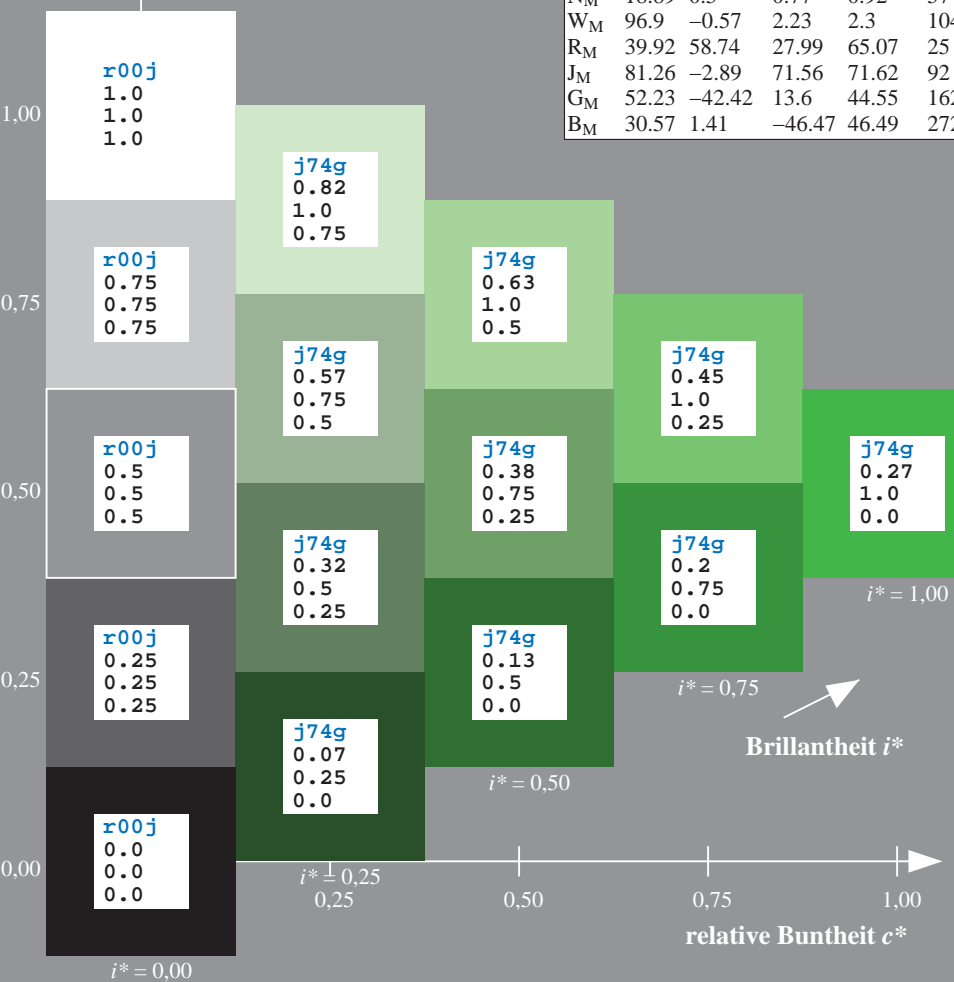
$u^*_{rel} = 89$

%Regularität

$g^*_{H,rel} = 72$

$g^*_{C,rel} = 57$

ORS19_96a; adaptierte CIELAB-Daten							
u^*_e	$L^*=L^*_a$	a^*_a	b^*_a	$C^*_{ab,a}$	$h^*_{ab,a}$	u^*_d	
r00j	48.88	66.47	31.67	73.63	25	m84o	
r25j	55.85	52.39	47.48	70.7	42	o17y	
r50j	65.45	35.22	58.37	68.17	59	o42y	
r75j	75.19	17.82	69.41	71.66	76	o67y	
j00g	87.03	-3.35	82.83	82.9	92	o92y	
j25g	80.72	-25.01	69.5	73.86	110	y20l	
j50g	70.64	-39.54	51.97	65.3	127	y46l	
j75g	61.93	-52.1	36.83	63.8	145	y72l	
g00b	52.8	-65.28	20.93	68.56	162	y99l	
g25b	55.7	-49.58	-8.39	50.28	190	l36c	
g50b	57.82	-38.4	-28.92	48.07	217	l72c	
g75b	55.5	-22.05	-45.95	50.97	244	c11v	
b00r	41.6	1.37	-45.01	45.03	272	c56v	
b25r	29.0	25.08	-43.13	49.89	300	v04m	
b50r	38.04	46.53	-28.39	54.51	329	v55m	
b75r	49.48	72.88	-3.76	72.98	357	m11o	



Ein und Ausgabe: Farbmimetrisches Drucker-Reflektiv-System ORS19_96a für relativen CIELAB-Buntton $h^* = \text{lab}^*h^* = h_{ab}/360 = 0.451$

Daten für jede Farbe:

lab^*tch^* und lab^*icu^*

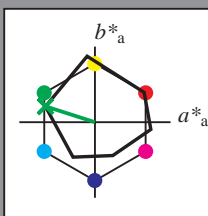
Bunttontexte:

$u^*_e = g00b$ $u^*_d = y99l$

Kontrastreduzierungsfaktor:

$c_R = 1.0$

Dreiecks-Helligkeit i^*



ORS19_96a; CIELAB-Daten						
u^*_e	$L^*=L^*_a$	a^*	b^*	C^*_{ab}	h^*_{ab}	
O _M	48.75	65.16	40.76	76.86	32	
Y _M	90.92	-10.78	89.36	90.01	97	
L _M	52.69	-65.4	22.15	69.05	161	
C _M	59.61	-29.04	-44.69	53.3	237	
V _M	28.39	24.0	-43.18	49.4	299	
M _M	49.58	74.01	-8.22	74.47	354	
N _M	18.89	0.5	0.77	0.92	57	
W _M	96.9	-0.57	2.23	2.3	104	
R _M	39.92	58.74	27.99	65.07	25	
J _M	81.26	-2.89	71.56	71.62	92	
G _M	52.23	-42.42	13.6	44.55	162	
B _M	30.57	1.41	-46.47	46.49	272	

Daten für Maximalfarbe (Ma):

$\text{LAB}^*\text{LAB}^*_{\text{Ma}}$: 53 -65 21

$\text{LAB}^*\text{LCH}^*_{\text{Ma}}$: 53 69 162

$\text{lab}^*\text{rgb}^*_{\text{Ma}}$: 0.0 1.0 0.0

$\text{lab}^*\text{olv}^*_{\text{Ma}}$: 0.0 1.0 0.0

Dreiecks-Helligkeit i^*

%Umfang

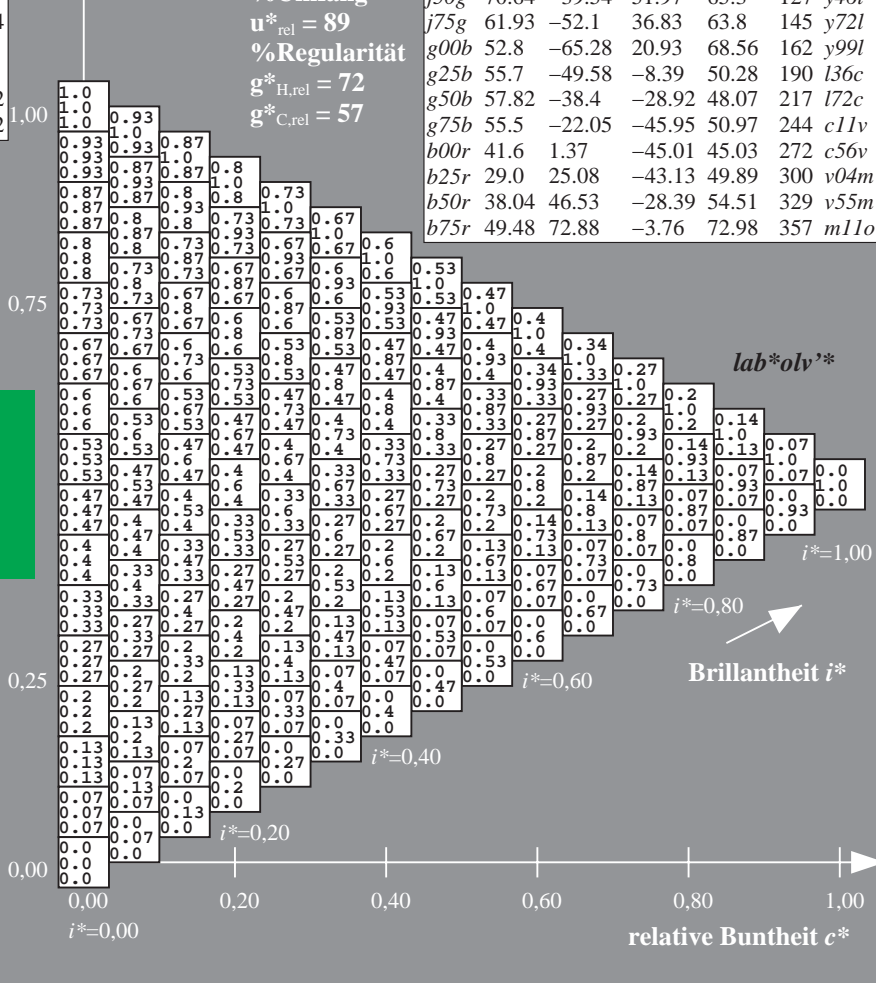
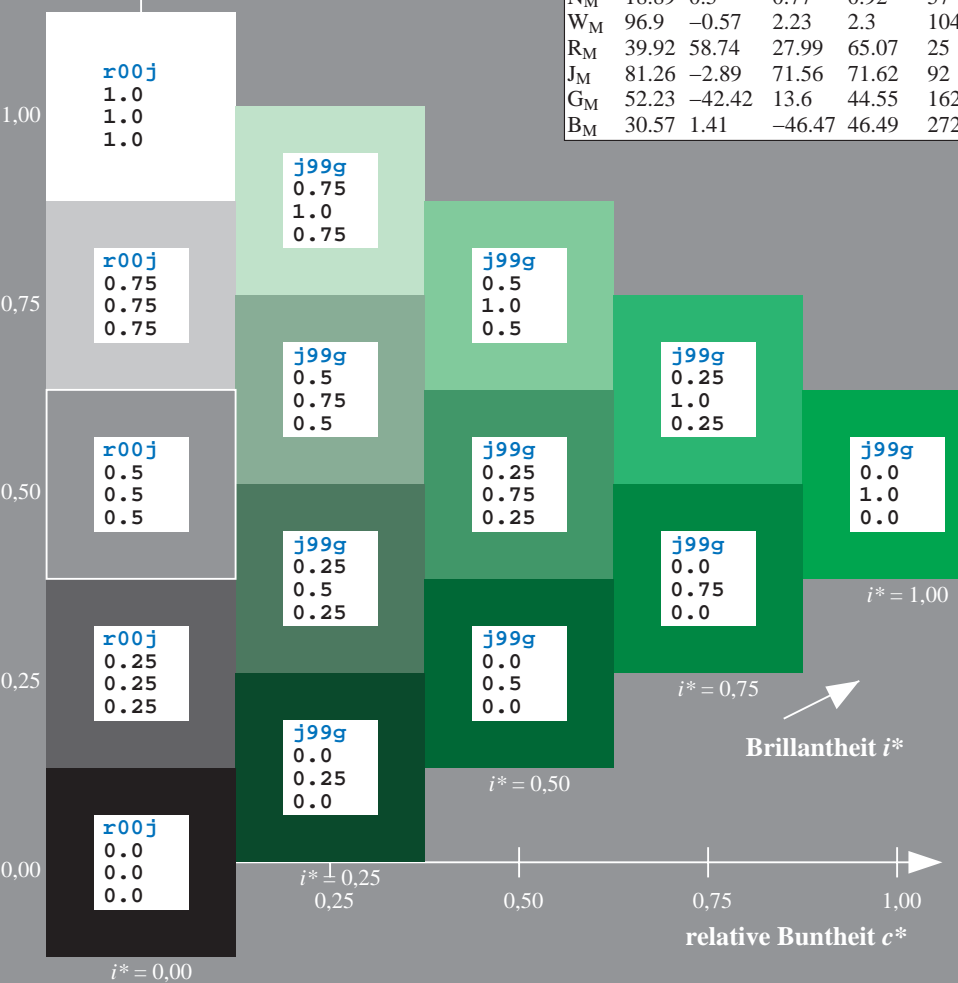
$u^*_{\text{rel}} = 89$

%Regularität

$g^*_{H,\text{rel}} = 72$

$g^*_{C,\text{rel}} = 57$

ORS19_96a; adaptierte CIELAB-Daten						
u^*_e	$L^*=L^*_a$	a^*_a	b^*_a	$C^*_{ab,a}$	$h^*_{ab,a}$	u^*_d
r00j	48.88	66.47	31.67	73.63	25	m84o
r25j	55.85	52.39	47.48	70.7	42	o17y
r50j	65.45	35.22	58.37	68.17	59	o42y
r75j	75.19	17.82	69.41	71.66	76	o67y
j00g	87.03	-3.35	82.83	82.9	92	o92y
j25g	80.72	-25.01	69.5	73.86	110	y20l
j50g	70.64	-39.54	51.97	65.3	127	y46l
j75g	61.93	-52.1	36.83	63.8	145	y72l
g00b	52.8	-65.28	20.93	68.56	162	y99l
g25b	55.7	-49.58	-8.39	50.28	190	l36c
g50b	57.82	-38.4	-28.92	48.07	217	l72c
g75b	55.5	-22.05	-45.95	50.97	244	c11v
b00r	41.6	1.37	-45.01	45.03	272	c56v
b25r	29.0	25.08	-43.13	49.89	300	v04m
b50r	38.04	46.53	-28.39	54.51	329	v55m
b75r	49.48	72.88	-3.76	72.98	357	m11o



Ein und Ausgabe: Farbmetrisches Drucker-Reflektiv-System ORS19_96a für relativen CIELAB-Buntton $h^* = lab^*h^* = h_{ab}/360 = 0.527$

Daten für jede Farbe:

lab^*ch^* und lab^*icu^*

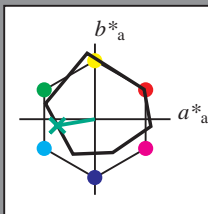
Bunttontexte:

$u^*_e = g25b$ $u^*_d = l36c$

Kontrastreduzierungsfaktor:

$c_R = 1.0$

Dreiecks-Helligkeit i^*



ORS19_96a; CIELAB-Daten

u^*_e	$L^*=L^*_a$	a^*	b^*	C^*_{ab}	h^*_{ab}
O _M	48.75	65.16	40.76	76.86	32
Y _M	90.92	-10.78	89.36	90.01	97
L _M	52.69	-65.4	22.15	69.05	161
C _M	59.61	-29.04	-44.69	53.3	237
V _M	28.39	24.0	-43.18	49.4	299
M _M	49.58	74.01	-8.22	74.47	354
N _M	18.89	0.5	0.77	0.92	57
W _M	96.9	-0.57	2.23	2.3	104
R _M	39.92	58.74	27.99	65.07	25
J _M	81.26	-2.89	71.56	71.62	92
G _M	52.23	-42.42	13.6	44.55	162
B _M	30.57	1.41	-46.47	46.49	272

Daten für Maximalfarbe (Ma):

$LAB^*LAB^*_{Ma}$: 56 -50 -8

$LAB^*LCH^*_{Ma}$: 56 50 189

$lab^*rgb^*_{Ma}$: 0.0 1.0 0.5

$lab^*olv^*_{Ma}$: 0.0 1.0 0.36

Dreiecks-Helligkeit i^*

%Umfang

$u^*_{rel} = 89$

%Regularität

$g^*_{H,rel} = 72$

$g^*_{C,rel} = 57$

ORS19_96a; adaptierte CIELAB-Daten

u^*_e	$L^*=L^*_a$	a^*_a	b^*_a	$C^*_{ab,a}$	$h^*_{ab,a}$	u^*_d
r00j	48.88	66.47	31.67	73.63	25	m84o
r25j	55.85	52.39	47.48	70.7	42	o17y
r50j	65.45	35.22	58.37	68.17	59	o42y
r75j	75.19	17.82	69.41	71.66	76	o67y
j00g	87.03	-3.35	82.83	82.9	92	o92y
j25g	80.72	-25.01	69.5	73.86	110	y20l
j50g	70.64	-39.54	51.97	65.3	127	y46l
j75g	61.93	-52.1	36.83	63.8	145	y72l
g00b	52.8	-65.28	20.93	68.56	162	y99l
g25b	55.7	-49.58	-8.39	50.28	190	l36c
g50b	57.82	-38.4	-28.92	48.07	217	l72c
g75b	55.5	-22.05	-45.95	50.97	244	c11v
b00r	41.6	1.37	-45.01	45.03	272	c56v
b25r	29.0	25.08	-43.13	49.89	300	v04m
b50r	38.04	46.53	-28.39	54.51	329	v55m
b75r	49.48	72.88	-3.76	72.98	357	m11o

lab^*olv^*

$i^* = 1.00$

Brillantheit i^*

$i^* = 0.80$

$i^* = 0.60$

$i^* = 0.40$

$i^* = 0.20$

$i^* = 0.00$

Ein und Ausgabe: Farbmimetrisches Drucker-Reflektiv-System ORS19_96a für relativen CIELAB-Buntton $h^* = \text{lab}^*h^* = h_{ab}/360 = 0.603$

Daten für jede Farbe:

lab^*tch^* und lab^*icu^*

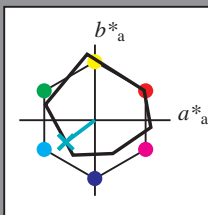
Bunttontexte:

$u^*_e = g50b$ $u^*_d = l72c$

Kontrastreduzierungsfaktor:

$c_R = 1.0$

Dreiecks-Helligkeit i^*



ORS19_96a; CIELAB-Daten						
u^*_e	$L^*=L^*_a$	a^*	b^*	C^*_{ab}	h^*_{ab}	
O _M	48.75	65.16	40.76	76.86	32	
Y _M	90.92	-10.78	89.36	90.01	97	
L _M	52.69	-65.4	22.15	69.05	161	
C _M	59.61	-29.04	-44.69	53.3	237	
V _M	28.39	24.0	-43.18	49.4	299	
M _M	49.58	74.01	-8.22	74.47	354	
N _M	18.89	0.5	0.77	0.92	57	
W _M	96.9	-0.57	2.23	2.3	104	
R _M	39.92	58.74	27.99	65.07	25	
J _M	81.26	-2.89	71.56	71.62	92	
G _M	52.23	-42.42	13.6	44.55	162	
B _M	30.57	1.41	-46.47	46.49	272	

Daten für Maximalfarbe (Ma):

$\text{LAB}^*\text{LAB}^*_{\text{Ma}}$: 58 -38 -29

$\text{LAB}^*\text{LCH}^*_{\text{Ma}}$: 58 48 216

$\text{lab}^*\text{rgb}^*_{\text{Ma}}$: 0.0 1.0 1.0

$\text{lab}^*\text{olv}^*_{\text{Ma}}$: 0.0 1.0 0.72

Dreiecks-Helligkeit i^*

%Umfang

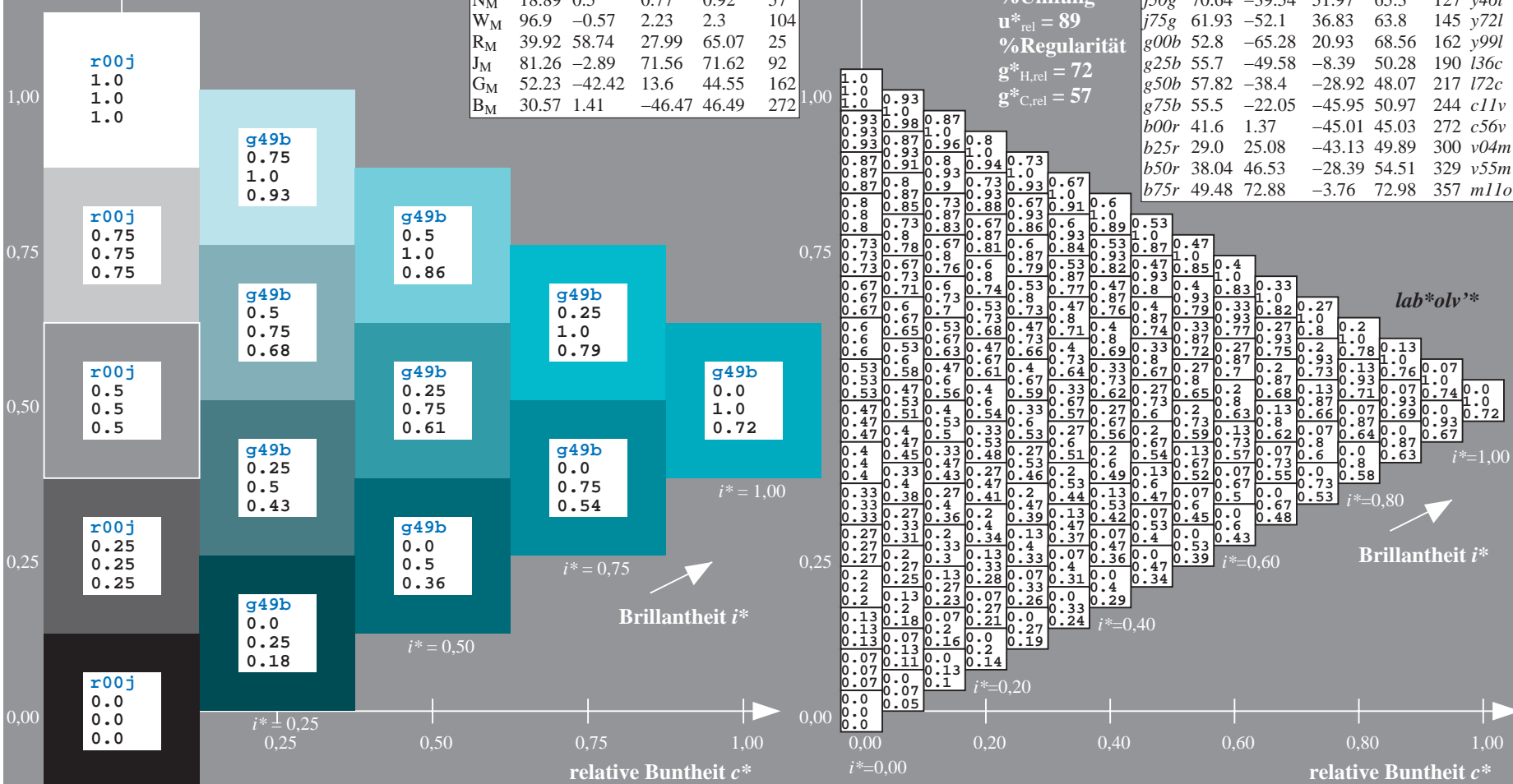
$u^*_{\text{rel}} = 89$

%Regularität

$g^*_{H,\text{rel}} = 72$

$g^*_{C,\text{rel}} = 57$

ORS19_96a; adaptierte CIELAB-Daten									
u^*_e	$L^*=L^*_a$	a^*_a	b^*_a	$C^*_{ab,a}$	$h^*_{ab,a}$	u^*_d			
r00j	48.88	66.47	31.67	73.63	25	m84o			
r25j	55.85	52.39	47.48	70.7	42	o17y			
r50j	65.45	35.22	58.37	68.17	59	o42y			
r75j	75.19	17.82	69.41	71.66	76	o67y			
j00g	87.03	-3.35	82.83	82.9	92	o92y			
j25g	80.72	-25.01	69.5	73.86	110	y20l			
j50g	70.64	-39.54	51.97	65.3	127	y46l			
j75g	61.93	-52.1	36.83	63.8	145	y72l			
g00b	52.8	-65.28	20.93	68.56	162	y99l			
g25b	55.7	-49.58	-8.39	50.28	190	l36c			
g50b	57.82	-38.4	-28.92	48.07	217	l72c			
g75b	55.5	-22.05	-45.95	50.97	244	c11v			
b00r	41.6	1.37	-45.01	45.03	272	c56v			
b25r	29.0	25.08	-43.13	49.89	300	v04m			
b50r	38.04	46.53	-28.39	54.51	329	v55m			
b75r	49.48	72.88	-3.76	72.98	357	m11o			



Ein und Ausgabe: Farbmetrisches Drucker-Reflektiv-System ORS19_96a für relativen CIELAB-Buntton $h^* = lab^*h^* = h_{ab}/360 = 0.679$

Daten für jede Farbe:

lab^*tch^* und lab^*icu^*

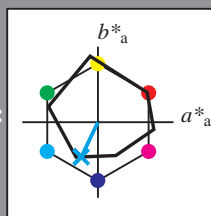
Bunttontexte:

$u^*_e = g75b$ $u^*_d = c11v$

Kontrastreduzierungsfaktor:

$c_R = 1.0$

Dreiecks-Helligkeit i^*



ORS19_96a; CIELAB-Daten						
u^*_e	$L^*=L^*_a$	a^*	b^*	C^*_{ab}	h^*_{ab}	
O _M	48.75	65.16	40.76	76.86	32	
Y _M	90.92	-10.78	89.36	90.01	97	
L _M	52.69	-65.4	22.15	69.05	161	
C _M	59.61	-29.04	-44.69	53.3	237	
V _M	28.39	24.0	-43.18	49.4	299	
M _M	49.58	74.01	-8.22	74.47	354	
N _M	18.89	0.5	0.77	0.92	57	
W _M	96.9	-0.57	2.23	2.3	104	
R _M	39.92	58.74	27.99	65.07	25	
J _M	81.26	-2.89	71.56	71.62	92	
G _M	52.23	-42.42	13.6	44.55	162	
B _M	30.57	1.41	-46.47	46.49	272	

Daten für Maximalfarbe (Ma):

$LAB^*LAB^*_{Ma}$: 55 -22 -46

$LAB^*LCH^*_{Ma}$: 55 51 244

$lab^*rgb^*_{Ma}$: 0.0 0.5 1.0

$lab^*olv^*_{Ma}$: 0.0 0.89 1.0

Dreiecks-Helligkeit i^*

%Umfang

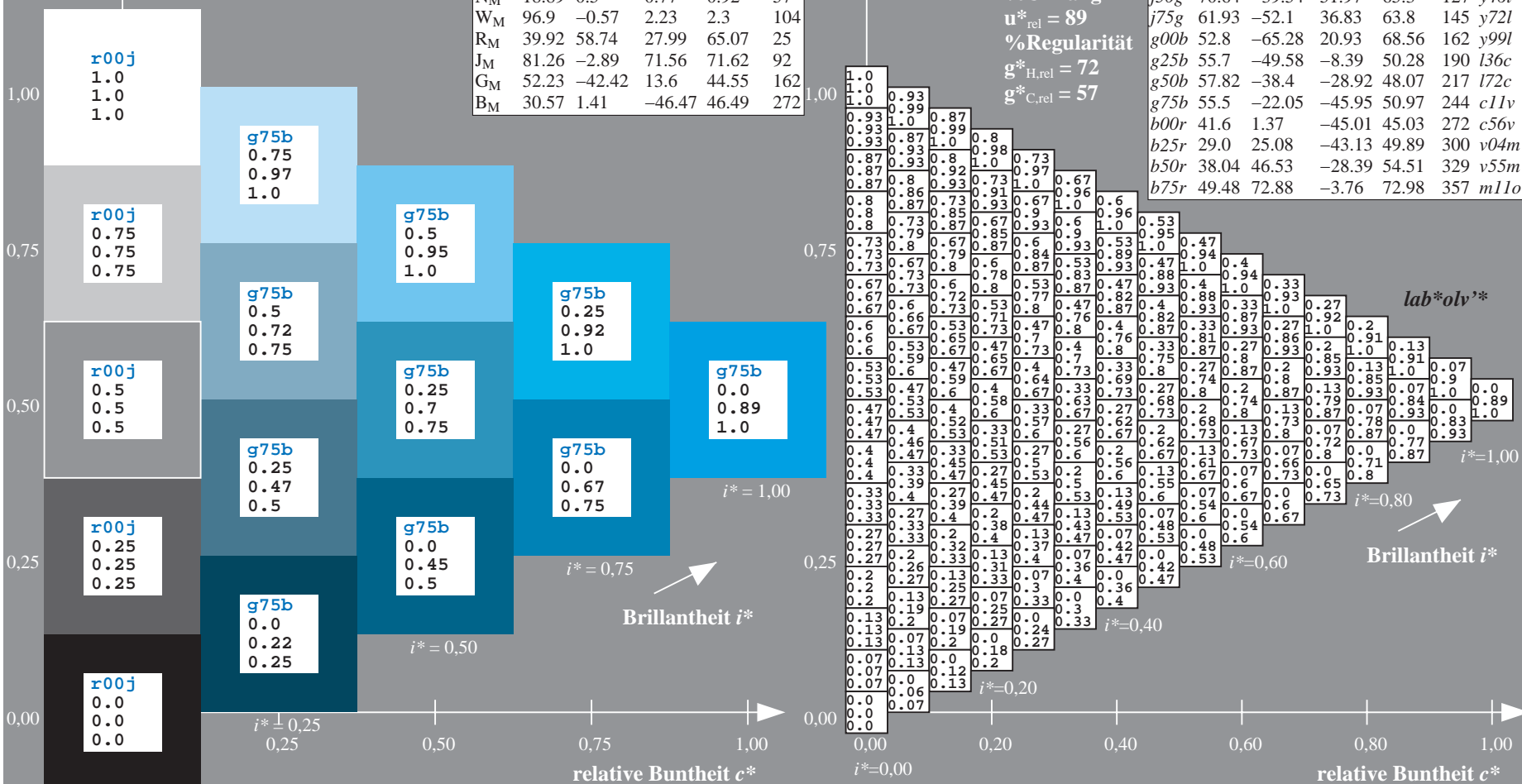
$u^*_{rel} = 89$

%Regularität

$g^*_{H,rel} = 72$

$g^*_{C,rel} = 57$

ORS19_96a; adaptierte CIELAB-Daten							
u^*_e	$L^*=L^*_a$	a^*_a	b^*_a	$C^*_{ab,a}$	$h^*_{ab,a}$	u^*_d	
r00j	48.88	66.47	31.67	73.63	25	m84o	
r25j	55.85	52.39	47.48	70.7	42	o17y	
r50j	65.45	35.22	58.37	68.17	59	o42y	
r75j	75.19	17.82	69.41	71.66	76	o67y	
j00g	87.03	-3.35	82.83	82.9	92	o92y	
j25g	80.72	-25.01	69.5	73.86	110	y20l	
j50g	70.64	-39.54	51.97	65.3	127	y46l	
j75g	61.93	-52.1	36.83	63.8	145	y72l	
g00b	52.8	-65.28	20.93	68.56	162	y99l	
g25b	55.7	-49.58	-8.39	50.28	190	l36c	
g50b	57.82	-38.4	-28.92	48.07	217	l72c	
g75b	55.5	-22.05	-45.95	50.97	244	c11v	
b00r	41.6	1.37	-45.01	45.03	272	c56v	
b25r	29.0	25.08	-43.13	49.89	300	v04m	
b50r	38.04	46.53	-28.39	54.51	329	v55m	
b75r	49.48	72.88	-3.76	72.98	357	m11o	



Ein und Ausgabe: Farbmetrisches Drucker-Reflektiv-System ORS19_96a für relativen CIELAB-Buntton $h^* = lab^*h^* = h_{ab}/360 = 0.755$

Daten für jede Farbe:

lab^*tch^* und lab^*icu^*

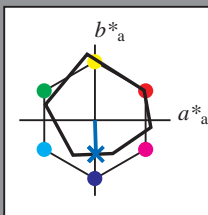
Bunttontexte:

$u^*_e = b00r$ $u^*_d = c56v$

Kontrastreduzierungsfaktor:

$c_R = 1.0$

Dreiecks-Helligkeit i^*



ORS19_96a; CIELAB-Daten						
u^*_e	$L^*=L^*_a$	a^*	b^*	C^*_{ab}	h^*_{ab}	
O _M	48.75	65.16	40.76	76.86	32	
Y _M	90.92	-10.78	89.36	90.01	97	
L _M	52.69	-65.4	22.15	69.05	161	
C _M	59.61	-29.04	-44.69	53.3	237	
V _M	28.39	24.0	-43.18	49.4	299	
M _M	49.58	74.01	-8.22	74.47	354	
N _M	18.89	0.5	0.77	0.92	57	
W _M	96.9	-0.57	2.23	2.3	104	
R _M	39.92	58.74	27.99	65.07	25	
J _M	81.26	-2.89	71.56	71.62	92	
G _M	52.23	-42.42	13.6	44.55	162	
B _M	30.57	1.41	-46.47	46.49	272	

Daten für Maximalfarbe (Ma):

$LAB^*LAB^*_{Ma}$: 42 1 -45

$LAB^*LCH^*_{Ma}$: 42 45 271

$lab^*rgb^*_{Ma}$: 0.0 0.0 1.0

$lab^*olv^*_{Ma}$: 0.0 0.44 1.0

Dreiecks-Helligkeit i^*

%Umfang

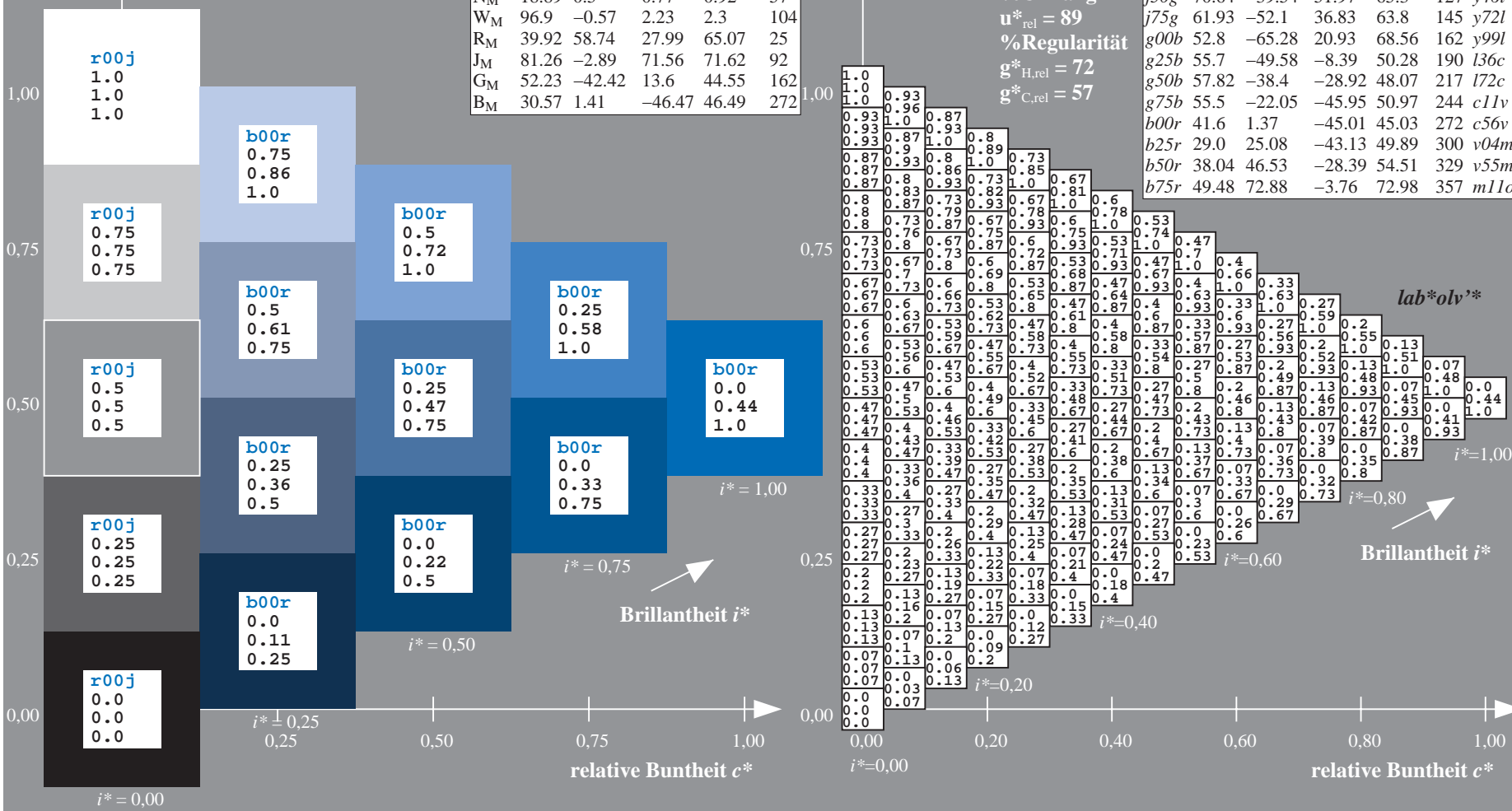
$u^*_{rel} = 89$

%Regularität

$g^*_{H,rel} = 72$

$g^*_{C,rel} = 57$

ORS19_96a; adaptierte CIELAB-Daten							
u^*_e	$L^*=L^*_a$	a^*_a	b^*_a	$C^*_{ab,a}$	$h^*_{ab,a}$	u^*_d	
r00j	48.88	66.47	31.67	73.63	25	m84o	
r25j	55.85	52.39	47.48	70.7	42	o17y	
r50j	65.45	35.22	58.37	68.17	59	o42y	
r75j	75.19	17.82	69.41	71.66	76	o67y	
j00g	87.03	-3.35	82.83	82.9	92	o92y	
j25g	80.72	-25.01	69.5	73.86	110	y20l	
j50g	70.64	-39.54	51.97	65.3	127	y46l	
j75g	61.93	-52.1	36.83	63.8	145	y72l	
g00b	52.8	-65.28	20.93	68.56	162	y99l	
g25b	55.7	-49.58	-8.39	50.28	190	l36c	
g50b	57.82	-38.4	-28.92	48.07	217	l72c	
g75b	55.5	-22.05	-45.95	50.97	244	c11v	
b00r	41.6	1.37	-45.01	45.03	272	c56v	
b25r	29.0	25.08	-43.13	49.89	300	v04m	
b50r	38.04	46.53	-28.39	54.51	329	v55m	
b75r	49.48	72.88	-3.76	72.98	357	m11o	



Ein und Ausgabe: Farbmimetrisches Drucker-Reflektiv-System ORS19_96a für relativen CIELAB-Buntton $h^* = lab^*h^* = h_{ab}/360 = 0.834$

Daten für jede Farbe:

lab^*tch^* und lab^*icu^*

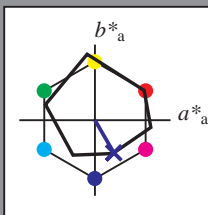
Bunttontexte:

$u^*_e = b25r$ $u^*_d = v04m$

Kontrastreduzierungsfaktor:

$c_R = 1.0$

Dreiecks-Helligkeit i^*



ORS19_96a; CIELAB-Daten					
u^*_e	$L^*=L^*_a$	a^*	b^*	C^*_{ab}	h^*_{ab}
O _M	48.75	65.16	40.76	76.86	32
Y _M	90.92	-10.78	89.36	90.01	97
L _M	52.69	-65.4	22.15	69.05	161
C _M	59.61	-29.04	-44.69	53.3	237
V _M	28.39	24.0	-43.18	49.4	299
M _M	49.58	74.01	-8.22	74.47	354
N _M	18.89	0.5	0.77	0.92	57
W _M	96.9	-0.57	2.23	2.3	104
R _M	39.92	58.74	27.99	65.07	25
J _M	81.26	-2.89	71.56	71.62	92
G _M	52.23	-42.42	13.6	44.55	162
B _M	30.57	1.41	-46.47	46.49	272

Daten für Maximalfarbe (Ma):

LAB^*LAB^*Ma : 29 25 -43

LAB^*LCH^*Ma : 29 50 300

lab^*rgb^*Ma : 0.5 0.0 1.0

lab^*olv^*Ma : 0.04 0.0 1.0

Dreiecks-Helligkeit i^*

%Umfang

$u^*_{rel} = 89$

%Regularität

$g^*_{H,rel} = 72$

$g^*_{C,rel} = 57$

ORS19_96a; adaptierte CIELAB-Daten					
u^*_e	$L^*=L^*_a$	a^*_a	b^*_a	$C^*_{ab,a}$	$h^*_{ab,a}$
r00j	48.88	66.47	31.67	73.63	25
r25j	55.85	52.39	47.48	70.7	42
r50j	65.45	35.22	58.37	68.17	59
r75j	75.19	17.82	69.41	71.66	76
j00g	87.03	-3.35	82.83	82.9	92
j25g	80.72	-25.01	69.5	73.86	110
j50g	70.64	-39.54	51.97	65.3	127
j75g	61.93	-52.1	36.83	63.8	145
g00b	52.8	-65.28	20.93	68.56	162
g25b	55.7	-49.58	-8.39	50.28	190
g50b	57.82	-38.4	-28.92	48.07	217
g75b	55.5	-22.05	-45.95	50.97	244
b00r	41.6	1.37	-45.01	45.03	272
b25r	29.0	25.08	-43.13	49.89	300
b50r	38.04	46.53	-28.39	54.51	329
b75r	49.48	72.88	-3.76	72.98	357

lab^*olv^*

$i^* = 1.00$

Brillantheit i^*

$i^* = 0.80$

$i^* = 0.60$

$i^* = 0.40$

$i^* = 0.20$

$i^* = 0.00$

Ein und Ausgabe: Farbmetrisches Drucker-Reflektiv-System ORS19_96a für relativen CIELAB-Buntton $h^* = lab^*h^* = h_{ab}/360 = 0.913$

Daten für jede Farbe:

lab^*tch^* und lab^*icu^*

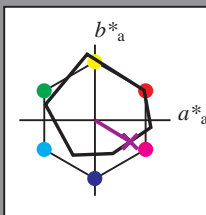
Bunttontexte:

$u^*_e = b50r$ $u^*_d = v55m$

Kontrastreduzierungsfaktor:

$c_R = 1.0$

Dreiecks-Helligkeit i^*



ORS19_96a; CIELAB-Daten						
u^*_e	$L^*=L^*_a$	a^*	b^*	C^*_{ab}	h^*_{ab}	
O _M	48.75	65.16	40.76	76.86	32	
Y _M	90.92	-10.78	89.36	90.01	97	
L _M	52.69	-65.4	22.15	69.05	161	
C _M	59.61	-29.04	-44.69	53.3	237	
V _M	28.39	24.0	-43.18	49.4	299	
M _M	49.58	74.01	-8.22	74.47	354	
N _M	18.89	0.5	0.77	0.92	57	
W _M	96.9	-0.57	2.23	2.3	104	
R _M	39.92	58.74	27.99	65.07	25	
J _M	81.26	-2.89	71.56	71.62	92	
G _M	52.23	-42.42	13.6	44.55	162	
B _M	30.57	1.41	-46.47	46.49	272	

Daten für Maximalfarbe (Ma):

$LAB^*LAB^*_{Ma}$: 38 47 -28

$LAB^*LCH^*_{Ma}$: 38 55 328

$lab^*rgb^*_{Ma}$: 1.0 0.0 1.0

$lab^*olv^*_{Ma}$: 0.56 0.0 1.0

Dreiecks-Helligkeit i^*

%Umfang

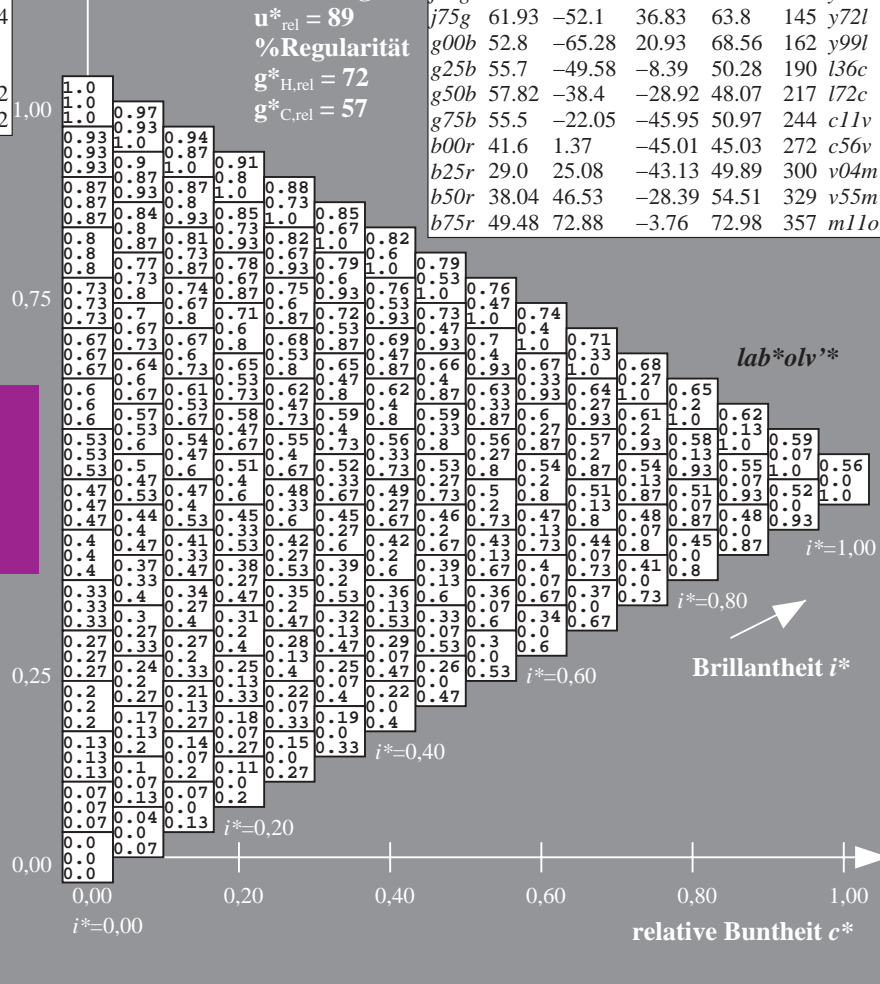
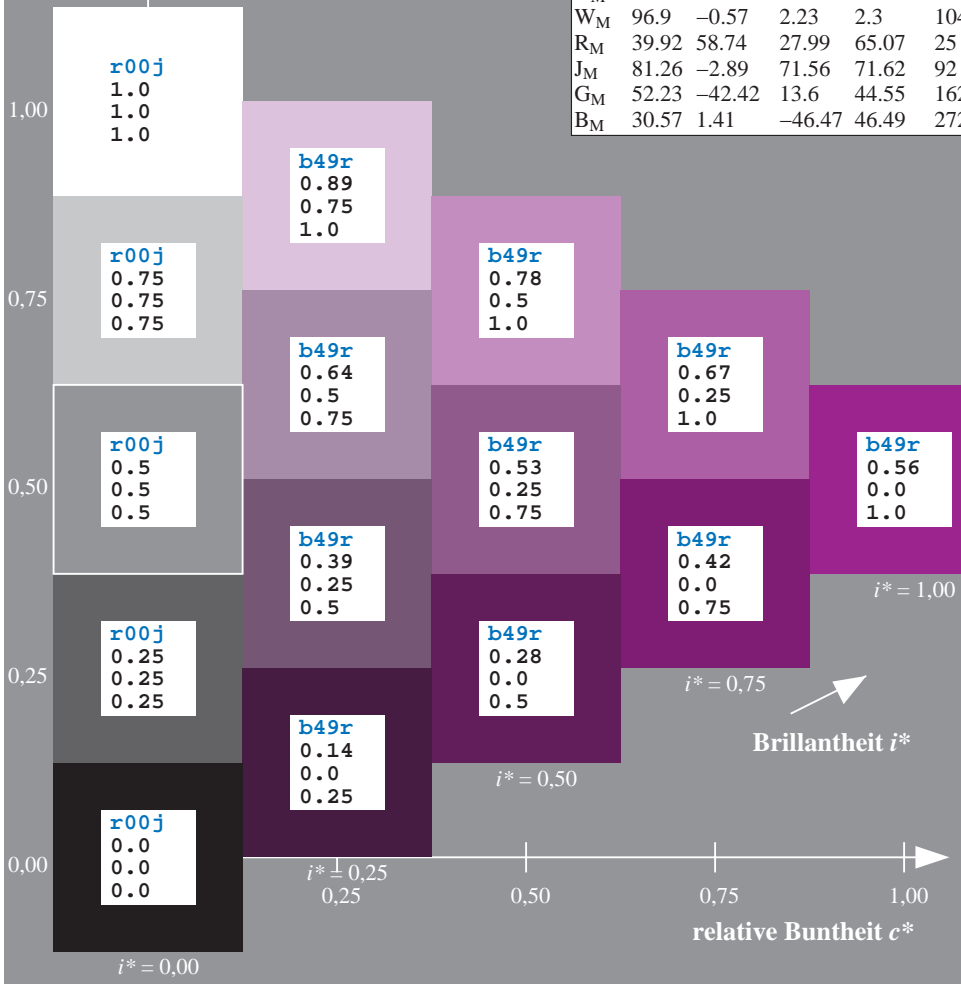
$u^*_{rel} = 89$

%Regularität

$g^*_{H,rel} = 72$

$g^*_{C,rel} = 57$

ORS19_96a; adaptierte CIELAB-Daten							
u^*_e	$L^*=L^*_a$	a^*_a	b^*_a	$C^*_{ab,a}$	$h^*_{ab,a}$	u^*_d	
r00j	48.88	66.47	31.67	73.63	25	m84o	
r25j	55.85	52.39	47.48	70.7	42	o17y	
r50j	65.45	35.22	58.37	68.17	59	o42y	
r75j	75.19	17.82	69.41	71.66	76	o67y	
j00g	87.03	-3.35	82.83	82.9	92	o92y	
j25g	80.72	-25.01	69.5	73.86	110	y20l	
j50g	70.64	-39.54	51.97	65.3	127	y46l	
j75g	61.93	-52.1	36.83	63.8	145	y72l	
g00b	52.8	-65.28	20.93	68.56	162	y99l	
g25b	55.7	-49.58	-8.39	50.28	190	l36c	
g50b	57.82	-38.4	-28.92	48.07	217	l72c	
g75b	55.5	-22.05	-45.95	50.97	244	c11v	
b00r	41.6	1.37	-45.01	45.03	272	c56v	
b25r	29.0	25.08	-43.13	49.89	300	v04m	
b50r	38.04	46.53	-28.39	54.51	329	v55m	
b75r	49.48	72.88	-3.76	72.98	357	m11o	



Ein und Ausgabe: Farbmetrisches Drucker-Reflektiv-System ORS19_96a für relativen CIELAB-Buntton $h^* = \text{lab}^*h^* = h_{ab}/360 = 0.992$

Daten für jede Farbe:

lab^*tch^* und lab^*icu^*

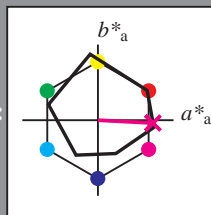
Bunttontexte:

$u^*_e = b75r$ $u^*_d = m11o$

Kontrastreduzierungsfaktor:

$c_R = 1.0$

Dreiecks-Helligkeit i^*



ORS19_96a; CIELAB-Daten						
u^*_e	$L^*=L^*_a$	a^*	b^*	C^*_{ab}	h^*_{ab}	
O _M	48.75	65.16	40.76	76.86	32	
Y _M	90.92	-10.78	89.36	90.01	97	
L _M	52.69	-65.4	22.15	69.05	161	
C _M	59.61	-29.04	-44.69	53.3	237	
V _M	28.39	24.0	-43.18	49.4	299	
M _M	49.58	74.01	-8.22	74.47	354	
N _M	18.89	0.5	0.77	0.92	57	
W _M	96.9	-0.57	2.23	2.3	104	
R _M	39.92	58.74	27.99	65.07	25	
J _M	81.26	-2.89	71.56	71.62	92	
G _M	52.23	-42.42	13.6	44.55	162	
B _M	30.57	1.41	-46.47	46.49	272	

Daten für Maximalfarbe (Ma):

$\text{LAB}^*\text{LAB}^*_{\text{Ma}}$: 49 73 -4

$\text{LAB}^*\text{LCH}^*_{\text{Ma}}$: 49 73 357

$\text{lab}^*\text{rgb}^*_{\text{Ma}}$: 1.0 0.0 0.5

$\text{lab}^*\text{olv}^*_{\text{Ma}}$: 1.0 0.0 0.89

Dreiecks-Helligkeit i^*

%Umfang

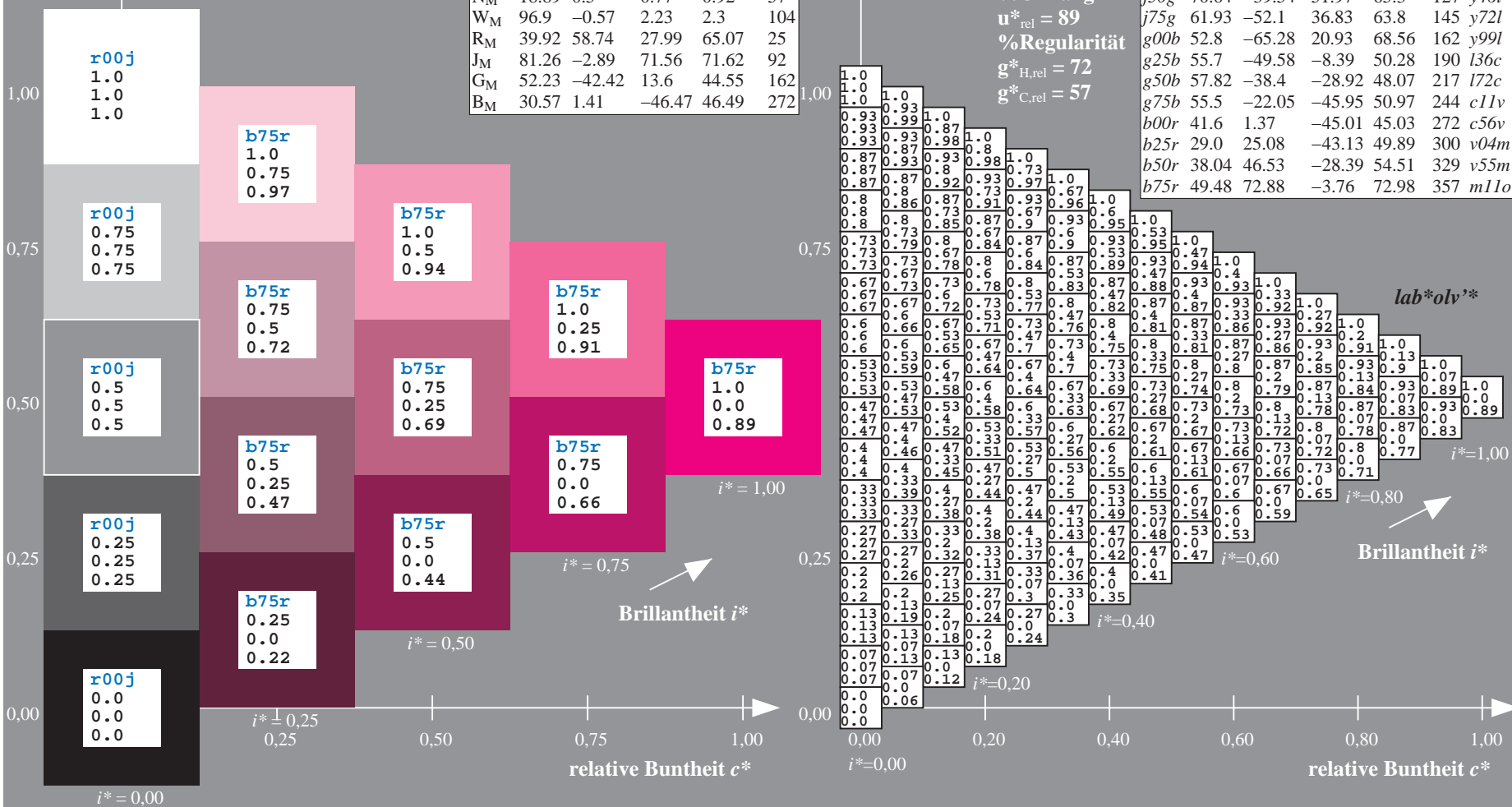
$u^*_{\text{rel}} = 89$

%Regularität

$g^*_{H,\text{rel}} = 72$

$g^*_{C,\text{rel}} = 57$

ORS19_96a; adaptierte CIELAB-Daten							
u^*_e	$L^*=L^*_a$	a^*_a	b^*_a	$C^*_{ab,a}$	$h^*_{ab,a}$	u^*_d	
r00j	48.88	66.47	31.67	73.63	25	m84o	
r25j	55.85	52.39	47.48	70.7	42	o17y	
r50j	65.45	35.22	58.37	68.17	59	o42y	
r75j	75.19	17.82	69.41	71.66	76	o67y	
j00g	87.03	-3.35	82.83	82.9	92	o92y	
j25g	80.72	-25.01	69.5	73.86	110	y20l	
j50g	70.64	-39.54	51.97	65.3	127	y46l	
j75g	61.93	-52.1	36.83	63.8	145	y72l	
g00b	52.8	-65.28	20.93	68.56	162	y99l	
g25b	55.7	-49.58	-8.39	50.28	190	l36c	
g50b	57.82	-38.4	-28.92	48.07	217	l72c	
g75b	55.5	-22.05	-45.95	50.97	244	c11v	
b00r	41.6	1.37	-45.01	45.03	272	c56v	
b25r	29.0	25.08	-43.13	49.89	300	v04m	
b50r	38.04	46.53	-28.39	54.51	329	v55m	
b75r	49.48	72.88	-3.76	72.98	357	m11o	



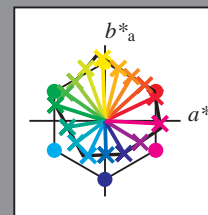
BAM-Prüfvorlage Eg12; Farbmatrik-Systeme, Seite 252/270 Eingabe: 000n / w / nnn0 / www set...
4 Separationen, 9 Datentabellen für 16 Bunttöne r00j bis b75r Ausgabe: ->cmyn6* setcmvkc0lor

Ein und Ausgabe:
Farbmetrisches Drucker-Reflektiv-System ORS19_96a
Daten für jede Farbe:

u^*_e und Nummer $Nr.$ = 00 .. 15
Elementar-Bunttontext:
 $u^*_e = 16$ Bunttoene $r00j, r25j, ..., b75r$
Kontrastreduzierungsfaktor:
 $c_R = 1.0$

ORS19_96a; adaptierte CIELAB-Daten

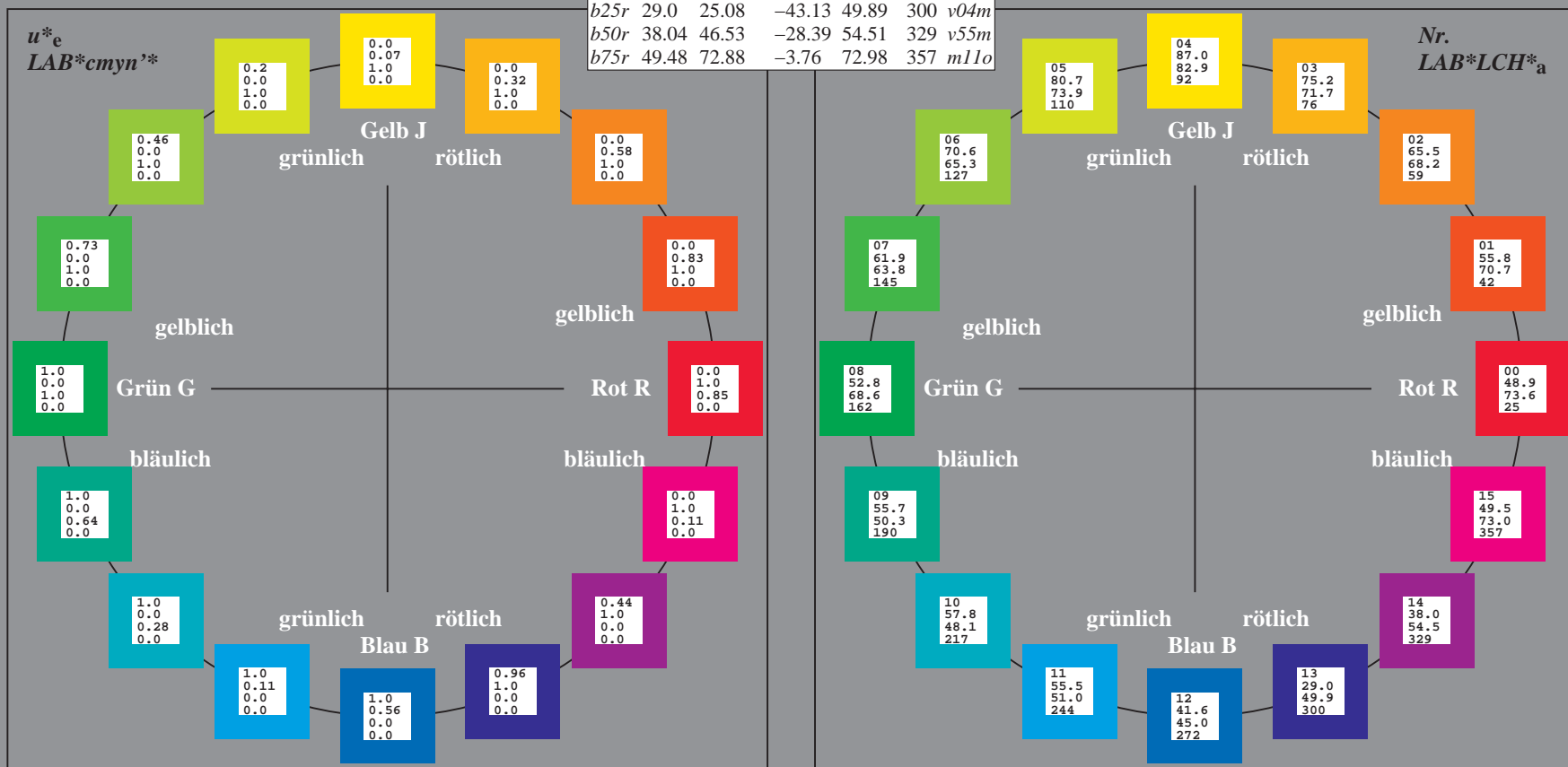
u^*_e	$L^*=L^*_a$	a^*_a	b^*_a	$C^*_{ab,a}$	$h^*_{ab,a}$	u^*_d
$r00j$	48.88	66.47	31.67	73.63	25	$m84o$
$r25j$	55.85	52.39	47.48	70.7	42	$o17y$
$r50j$	65.45	35.22	58.37	68.17	59	$o42y$
$r75j$	75.19	17.82	69.41	71.66	76	$o67y$
$j00g$	87.03	-3.35	82.83	82.9	92	$o92y$
$j25g$	80.72	-25.01	69.5	73.86	110	$y20l$
$j50g$	70.64	-39.54	51.97	65.3	127	$y46l$
$j75g$	61.93	-52.1	36.83	63.8	145	$y72l$
$g00b$	52.8	-65.28	20.93	68.56	162	$y99l$
$g25b$	55.7	-49.58	-8.39	50.28	190	$l36c$
$g50b$	57.82	-38.4	-28.92	48.07	217	$l72c$
$g75b$	55.5	-22.05	-45.95	50.97	244	$c11v$
$b00r$	41.6	1.37	-45.01	45.03	272	$c56v$
$b25r$	29.0	25.08	-43.13	49.89	300	$v04m$
$b50r$	38.04	46.53	-28.39	54.51	329	$v55m$
$b75r$	49.48	72.88	-3.76	72.98	357	$m11o$



%Umfang
 $u^*_{rel} = 89$
%Regularität
 $g^*_{H,rel} = 72$
 $g^*_{C,rel} = 57$

ORS19_96a; CIELAB-Daten

Name	$L^*=L^*$	a^*	b^*	C^*_{ab}	h^*_{ab}
O_M	48.75	65.16	40.76	76.86	32
Y_M	90.92	-10.78	89.36	90.01	97
L_M	52.69	-65.4	22.15	69.05	161
C_M	59.61	-29.04	-44.69	53.3	237
V_M	28.39	24.0	-43.18	49.4	299
M_M	49.58	74.01	-8.22	74.47	354
N_M	18.89	0.5	0.77	0.92	57
W_M	96.9	-0.57	2.23	2.3	104
R_{CIE}	39.92	58.74	27.99	65.07	25
J_{CIE}	81.26	-2.89	71.56	71.62	92
G_{CIE}	52.23	-42.42	13.6	44.55	162
B_{CIE}	30.57	1.41	-46.47	46.49	272



Ein und Ausgabe: Farbmimetrisches Drucker-Reflektiv-System ORS19_96a für relativen CIELAB-Buntton $h^* = lab^*h^* = h_{ab}/360 = 0.071$

Daten für jede Farbe:

lab^*ch^* und lab^*icu^*

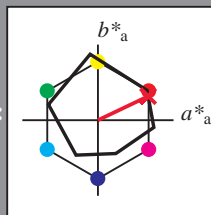
Bunttontexte:

$u^*_e = r00j$ $u^*_d = m84o$

Kontrastreduzierungsfaktor:

$c_R = 1.0$

Dreiecks-Helligkeit t^*



ORS19_96a; CIELAB-Daten						
u^*_e	$L^*=L^*$	a^*	b^*	C^*_{ab}	h^*_{ab}	
O _M	48.75	65.16	40.76	76.86	32	
Y _M	90.92	-10.78	89.36	90.01	97	
L _M	52.69	-65.4	22.15	69.05	161	
C _M	59.61	-29.04	-44.69	53.3	237	
V _M	28.39	24.0	-43.18	49.4	299	
M _M	49.58	74.01	-8.22	74.47	354	
N _M	18.89	0.5	0.77	0.92	57	
W _M	96.9	-0.57	2.23	2.3	104	
R _M	39.92	58.74	27.99	65.07	25	
J _M	81.26	-2.89	71.56	71.62	92	
G _M	52.23	-42.42	13.6	44.55	162	
B _M	30.57	1.41	-46.47	46.49	272	

Daten für Maximalfarbe (Ma):

$LAB^*LAB^*_{Ma}$: 49 66 32

$LAB^*LCH^*_{Ma}$: 49 74 25

$lab^*rgb^*_{Ma}$: 1.0 0.0 0.0

$lab^*olv^*_{Ma}$: 1.0 0.0 0.15

Dreiecks-Helligkeit t^*

%Umfang

$u^*_{rel} = 89$

%Regularität

$g^*_{H,rel} = 72$

$g^*_{C,rel} = 57$

ORS19_96a; adaptierte CIELAB-Daten							
u^*_e	$L^*=L^*_a$	a^*_a	b^*_a	$C^*_{ab,a}$	$h^*_{ab,a}$	u^*_d	
r00j	48.88	66.47	31.67	73.63	25	m84o	
r25j	55.85	52.39	47.48	70.7	42	o17y	
r50j	65.45	35.22	58.37	68.17	59	o42y	
r75j	75.19	17.82	69.41	71.66	76	o67y	
j00g	87.03	-3.35	82.83	82.9	92	o92y	
j25g	80.72	-25.01	69.5	73.86	110	y20l	
j50g	70.64	-39.54	51.97	65.3	127	y46l	
j75g	61.93	-52.1	36.83	63.8	145	y72l	
g00b	52.8	-65.28	20.93	68.56	162	y99l	
g25b	55.7	-49.58	-8.39	50.28	190	l36c	
g50b	57.82	-38.4	-28.92	48.07	217	l72c	
g75b	55.5	-22.05	-45.95	50.97	244	c11v	
b00r	41.6	1.37	-45.01	45.03	272	c56v	
b25r	29.0	25.08	-43.13	49.89	300	v04m	
b50r	38.04	46.53	-28.39	54.51	329	v55m	
b75r	49.48	72.88	-3.76	72.98	357	m11o	

$LAB^*cmy^n^*$

$i^* = 1.00$

Brillantheit i^*

$i^* = 0.80$

$i^* = 0.60$

$i^* = 0.40$

$i^* = 0.20$

$i^* = 0.00$

relative Buntheit c^*

Ein und Ausgabe: Farbmimetrisches Drucker-Reflektiv-System ORS19_96a für relativen CIELAB-Buntton $h^* = lab^*h^* = h_{ab}/360 = 0.117$

Daten für jede Farbe:

lab^*tch^* und lab^*icu^*

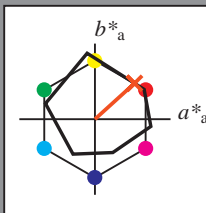
Bunttontexte:

$u^*_e = r25j$ $u^*_d = o17y$

Kontrastreduzierungsfaktor:

$c_R = 1.0$

Dreiecks-Helligkeit t^*



ORS19_96a; CIELAB-Daten					
u^*_e	$L^*=L^*$	a^*	b^*	C^*_{ab}	h^*_{ab}
O _M	48.75	65.16	40.76	76.86	32
Y _M	90.92	-10.78	89.36	90.01	97
L _M	52.69	-65.4	22.15	69.05	161
C _M	59.61	-29.04	-44.69	53.3	237
V _M	28.39	24.0	-43.18	49.4	299
M _M	49.58	74.01	-8.22	74.47	354
N _M	18.89	0.5	0.77	0.92	57
W _M	96.9	-0.57	2.23	2.3	104
R _M	39.92	58.74	27.99	65.07	25
J _M	81.26	-2.89	71.56	71.62	92
G _M	52.23	-42.42	13.6	44.55	162
B _M	30.57	1.41	-46.47	46.49	272

Daten für Maximalfarbe (Ma):

$LAB^*LAB^*_{Ma}$: 56 52 47

$LAB^*LCH^*_{Ma}$: 56 71 42

$lab^*rgb^*_{Ma}$: 1.0 0.25 0.0

$lab^*olv^*_{Ma}$: 1.0 0.17 0.0

Dreiecks-Helligkeit t^*

%Umfang

$u^*_{rel} = 89$

%Regularität

$g^*_{H,rel} = 72$

$g^*_{C,rel} = 57$

ORS19_96a; adaptierte CIELAB-Daten					
u^*_e	$L^*=L^*$	a^*	b^*	$C^*_{ab,a}$	$h^*_{ab,a}$
r00j	48.88	66.47	31.67	73.63	25
r25j	55.85	52.39	47.48	70.7	42
r50j	65.45	35.22	58.37	68.17	59
r75j	75.19	17.82	69.41	71.66	76
j00g	87.03	-3.35	82.83	82.9	92
j25g	80.72	-25.01	69.5	73.86	110
j50g	70.64	-39.54	51.97	65.3	127
j75g	61.93	-52.1	36.83	63.8	145
g00b	52.8	-65.28	20.93	68.56	162
g25b	55.7	-49.58	-8.39	50.28	190
g50b	57.82	-38.4	-28.92	48.07	217
g75b	55.5	-22.05	-45.95	50.97	244
b00r	41.6	1.37	-45.01	45.03	272
b25r	29.0	25.08	-43.13	49.89	300
b50r	38.04	46.53	-28.39	54.51	329
b75r	49.48	72.88	-3.76	72.98	357

$LAB^*cmy^n^*$

$i^*=1.00$

Brillantheit i^*

$i^*=0.80$

$i^*=0.60$

$i^*=0.40$

$i^*=0.20$

$i^*=0.00$

Ein und Ausgabe: Farbmimetrisches Drucker-Reflektiv-System ORS19_96a für relativen CIELAB-Buntton $h^* = lab^*h^* = h_{ab}/360 = 0.164$

Daten für jede Farbe:

lab^*ch^* und lab^*icu^*

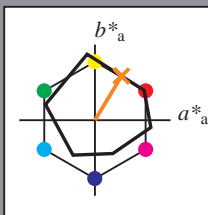
Bunttontexte:

$u^*_e = r50j$ $u^*_d = o42y$

Kontrastreduzierungsfaktor:

$c_R = 1.0$

Dreiecks-Helligkeit i^*



ORS19_96a; CIELAB-Daten					
u^*_e	$L^*=L^*$	a^*	b^*	C^*_{ab}	h^*_{ab}
O _M	48.75	65.16	40.76	76.86	32
Y _M	90.92	-10.78	89.36	90.01	97
L _M	52.69	-65.4	22.15	69.05	161
C _M	59.61	-29.04	-44.69	53.3	237
V _M	28.39	24.0	-43.18	49.4	299
M _M	49.58	74.01	-8.22	74.47	354
N _M	18.89	0.5	0.77	0.92	57
W _M	96.9	-0.57	2.23	2.3	104
R _M	39.92	58.74	27.99	65.07	25
J _M	81.26	-2.89	71.56	71.62	92
G _M	52.23	-42.42	13.6	44.55	162
B _M	30.57	1.41	-46.47	46.49	272

Daten für Maximalfarbe (Ma):

$LAB^*LAB^*_{Ma}$: 65 35 58

$LAB^*LCH^*_{Ma}$: 65 68 58

$lab^*rgb^*_{Ma}$: 1.0 0.5 0.0

$lab^*olv^*_{Ma}$: 1.0 0.42 0.0

Dreiecks-Helligkeit i^*

%Umfang

$u^*_{rel} = 89$

%Regularität

$g^*_{H,rel} = 72$

$g^*_{C,rel} = 57$

ORS19_96a; adaptierte CIELAB-Daten					
u^*_e	$L^*=L^*$	a^*	b^*	$C^*_{ab,a}$	$h^*_{ab,a}$
r00j	48.88	66.47	31.67	73.63	25
r25j	55.85	52.39	47.48	70.7	42
r50j	65.45	35.22	58.37	68.17	59
r75j	75.19	17.82	69.41	71.66	76
j00g	87.03	-3.35	82.83	82.9	92
j25g	80.72	-25.01	69.5	73.86	110
j50g	70.64	-39.54	51.97	65.3	127
j75g	61.93	-52.1	36.83	63.8	145
g00b	52.8	-65.28	20.93	68.56	162
g25b	55.7	-49.58	-8.39	50.28	190
g50b	57.82	-38.4	-28.92	48.07	217
g75b	55.5	-22.05	-45.95	50.97	244
b00r	41.6	1.37	-45.01	45.03	272
b25r	29.0	25.08	-43.13	49.89	300
b50r	38.04	46.53	-28.39	54.51	329
b75r	49.48	72.88	-3.76	72.98	357

LAB^*cmyn^*

$i^*=1.00$

Brillantheit i^*

$i^*=0.80$

$i^*=0.60$

$i^*=0.40$

$i^*=0.20$

$i^*=0.00$

Ein und Ausgabe: Farbmetrisches Drucker-Reflektiv-System ORS19_96a für relativen CIELAB-Buntton $h^* = lab^*h^* = h_{ab}/360 = 0.21$

Daten für jede Farbe:

lab^*ch^* und lab^*icu^*

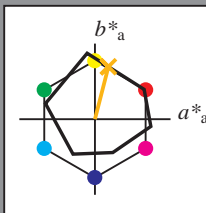
Bunttontexte:

$u^*_e = r75j$ $u^*_d = o67y$

Kontrastreduzierungsfaktor:

$c_R = 1.0$

Dreiecks-Helligkeit i^*



ORS19_96a; CIELAB-Daten

u^*_e	$L^*=L^*$	a^*	b^*	C^*_{ab}	h^*_{ab}
O _M	48.75	65.16	40.76	76.86	32
Y _M	90.92	-10.78	89.36	90.01	97
L _M	52.69	-65.4	22.15	69.05	161
C _M	59.61	-29.04	-44.69	53.3	237
V _M	28.39	24.0	-43.18	49.4	299
M _M	49.58	74.01	-8.22	74.47	354
N _M	18.89	0.5	0.77	0.92	57
W _M	96.9	-0.57	2.23	2.3	104
R _M	39.92	58.74	27.99	65.07	25
J _M	81.26	-2.89	71.56	71.62	92
G _M	52.23	-42.42	13.6	44.55	162
B _M	30.57	1.41	-46.47	46.49	272

Daten für Maximalfarbe (Ma):

LAB^*LAB^*Ma : 75 18 69

LAB^*LCH^*Ma : 75 72 75

lab^*rgb^*Ma : 1.0 0.75 0.0

lab^*olv^*Ma : 1.0 0.68 0.0

Dreiecks-Helligkeit i^*

%Umfang

$u^*_{rel} = 89$

%Regularität

$g^*_{H,rel} = 72$

$g^*_{C,rel} = 57$

ORS19_96a; adaptierte CIELAB-Daten

u^*_e	$L^*=L^*_a$	a^*_a	b^*_a	$C^*_{ab,a}$	$h^*_{ab,a}$	u^*_d
r00j	48.88	66.47	31.67	73.63	25	m84o
r25j	55.85	52.39	47.48	70.7	42	o17y
r50j	65.45	35.22	58.37	68.17	59	o42y
r75j	75.19	17.82	69.41	71.66	76	o67y
j00g	87.03	-3.35	82.83	82.9	92	o92y
j25g	80.72	-25.01	69.5	73.86	110	y20l
j50g	70.64	-39.54	51.97	65.3	127	y46l
j75g	61.93	-52.1	36.83	63.8	145	y72l
g00b	52.8	-65.28	20.93	68.56	162	y99l
g25b	55.7	-49.58	-8.39	50.28	190	l36c
g50b	57.82	-38.4	-28.92	48.07	217	l72c
g75b	55.5	-22.05	-45.95	50.97	244	c11v
b00r	41.6	1.37	-45.01	45.03	272	c56v
b25r	29.0	25.08	-43.13	49.89	300	v04m
b50r	38.04	46.53	-28.39	54.51	329	v55m
b75r	49.48	72.88	-3.76	72.98	357	m11o

LAB^*cmyn^*

$i^* = 1.00$

Brillantheit i^*

$i^* = 0.80$

$i^* = 0.60$

$i^* = 0.40$

$i^* = 0.20$

$i^* = 0.00$

BAM-Registrierung: 20081001-Eg12/10L/L12G00NA.PS/ .TXT BAM-Material: Code=rha4ta
- Anwendung für Beurteilung und Messung von Drucker- oder Monitorsystemen

Ein und Ausgabe: Farbmimetrisches Drucker-Reflektiv-System ORS19_96a für relativen CIELAB-Buntton $h^* = \text{lab}^*h^* = h_{ab}/360 = 0.305$

Daten für jede Farbe:

lab^*tch^* und lab^*icu^*

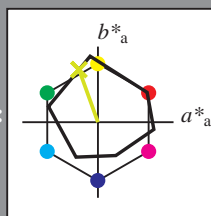
Bunttontexte:

$u^*_e = j25g$ $u^*_d = y20l$

Kontrastreduzierungsfaktor:

$c_R = 1.0$

Dreiecks-Helligkeit t^*



ORS19_96a; CIELAB-Daten					
u^*_e	$L^*=L^*$	a^*	b^*	C^*_{ab}	h^*_{ab}
O _M	48.75	65.16	40.76	76.86	32
Y _M	90.92	-10.78	89.36	90.01	97
L _M	52.69	-65.4	22.15	69.05	161
C _M	59.61	-29.04	-44.69	53.3	237
V _M	28.39	24.0	-43.18	49.4	299
M _M	49.58	74.01	-8.22	74.47	354
N _M	18.89	0.5	0.77	0.92	57
W _M	96.9	-0.57	2.23	2.3	104
R _M	39.92	58.74	27.99	65.07	25
J _M	81.26	-2.89	71.56	71.62	92
G _M	52.23	-42.42	13.6	44.55	162
B _M	30.57	1.41	-46.47	46.49	272

Daten für Maximalfarbe (Ma):

$\text{LAB}^*\text{LAB}^*_{\text{Ma}}$: 81 -25 69

$\text{LAB}^*\text{LCH}^*_{\text{Ma}}$: 81 74 109

$\text{lab}^*\text{rgb}^*_{\text{Ma}}$: 0.75 1.0 0.0

$\text{lab}^*\text{olv}^*_{\text{Ma}}$: 0.8 1.0 0.0

Dreiecks-Helligkeit t^*

%Umfang

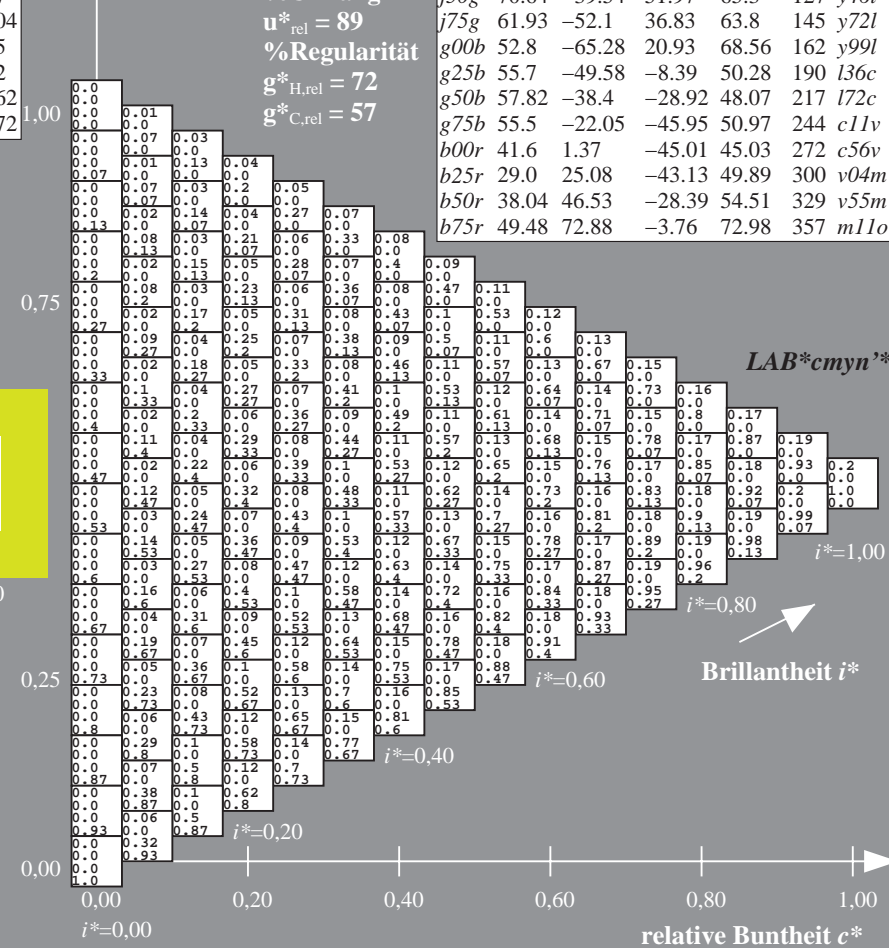
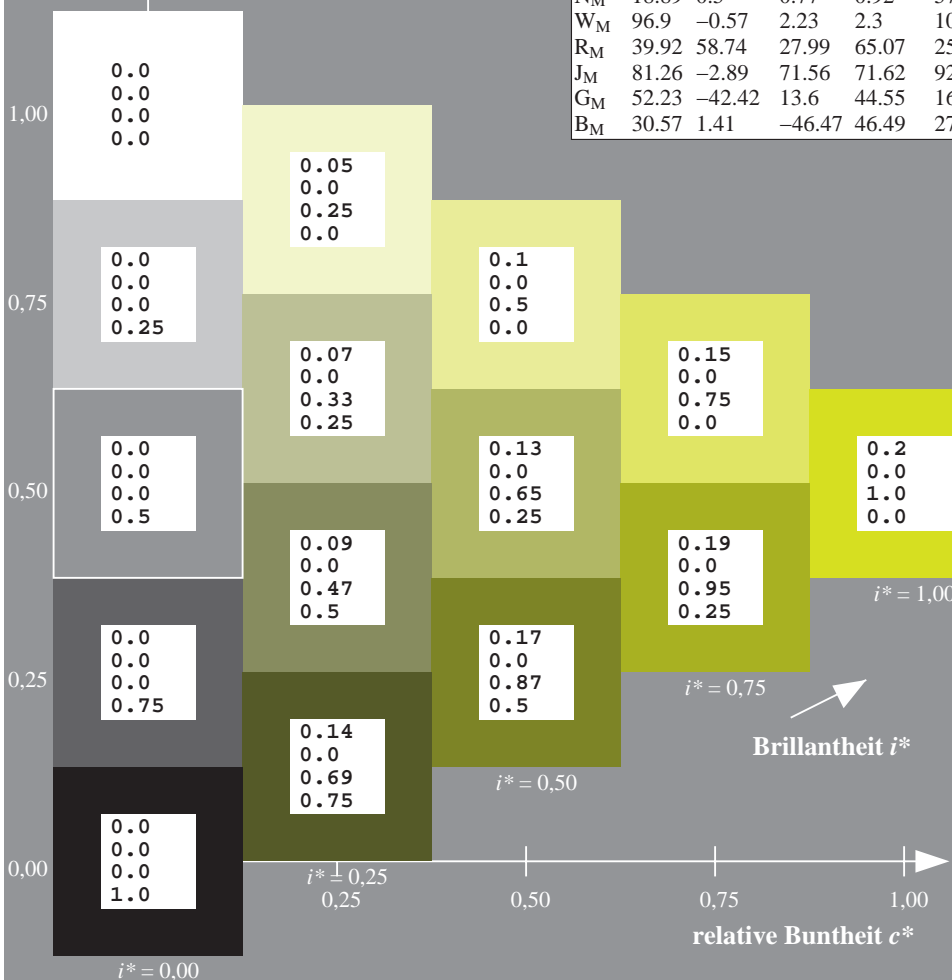
$u^*_{\text{rel}} = 89$

%Regularität

$g^*_{H,\text{rel}} = 72$

$g^*_{C,\text{rel}} = 57$

ORS19_96a; adaptierte CIELAB-Daten							
u^*_e	$L^*=L^*_a$	a^*_a	b^*_a	$C^*_{ab,a}$	$h^*_{ab,a}$	u^*_d	
r00j	48.88	66.47	31.67	73.63	25	m84o	
r25j	55.85	52.39	47.48	70.7	42	o17y	
r50j	65.45	35.22	58.37	68.17	59	o42y	
r75j	75.19	17.82	69.41	71.66	76	o67y	
j00g	87.03	-3.35	82.83	82.9	92	o92y	
j25g	80.72	-25.01	69.5	73.86	110	y20l	
j50g	70.64	-39.54	51.97	65.3	127	y46l	
j75g	61.93	-52.1	36.83	63.8	145	y72l	
g00b	52.8	-65.28	20.93	68.56	162	y99l	
g25b	55.7	-49.58	-8.39	50.28	190	l36c	
g50b	57.82	-38.4	-28.92	48.07	217	l72c	
g75b	55.5	-22.05	-45.95	50.97	244	c11v	
b00r	41.6	1.37	-45.01	45.03	272	c56v	
b25r	29.0	25.08	-43.13	49.89	300	v04m	
b50r	38.04	46.53	-28.39	54.51	329	v55m	
b75r	49.48	72.88	-3.76	72.98	357	m11o	



Ein und Ausgabe: Farbmimetrisches Drucker-Reflektiv-System ORS19_96a für relativen CIELAB-Buntton $h^* = lab^*h^* = h_{ab}/360 = 0.354$

Daten für jede Farbe:

lab^*ch^* und lab^*icu^*

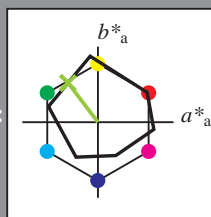
Bunttontexte:

$u^*_e = j50g$ $u^*_d = y46l$

Kontrastreduzierungsfaktor:

$c_R = 1.0$

Dreiecks-Helligkeit i^*



ORS19_96a; CIELAB-Daten						
u^*_e	$L^*=L^*_a$	a^*	b^*	C^*_{ab}	h^*_{ab}	
O _M	48.75	65.16	40.76	76.86	32	
Y _M	90.92	-10.78	89.36	90.01	97	
L _M	52.69	-65.4	22.15	69.05	161	
C _M	59.61	-29.04	-44.69	53.3	237	
V _M	28.39	24.0	-43.18	49.4	299	
M _M	49.58	74.01	-8.22	74.47	354	
N _M	18.89	0.5	0.77	0.92	57	
W _M	96.9	-0.57	2.23	2.3	104	
R _M	39.92	58.74	27.99	65.07	25	
J _M	81.26	-2.89	71.56	71.62	92	
G _M	52.23	-42.42	13.6	44.55	162	
B _M	30.57	1.41	-46.47	46.49	272	

Daten für Maximalfarbe (Ma):

$LAB^*LAB^*_{Ma}$: 71 -40 52

$LAB^*LCH^*_{Ma}$: 71 65 127

$lab^*rgb^*_{Ma}$: 0.5 1.0 0.0

$lab^*olv^*_{Ma}$: 0.54 1.0 0.0

Dreiecks-Helligkeit i^*

%Umfang

$u^*_{rel} = 89$

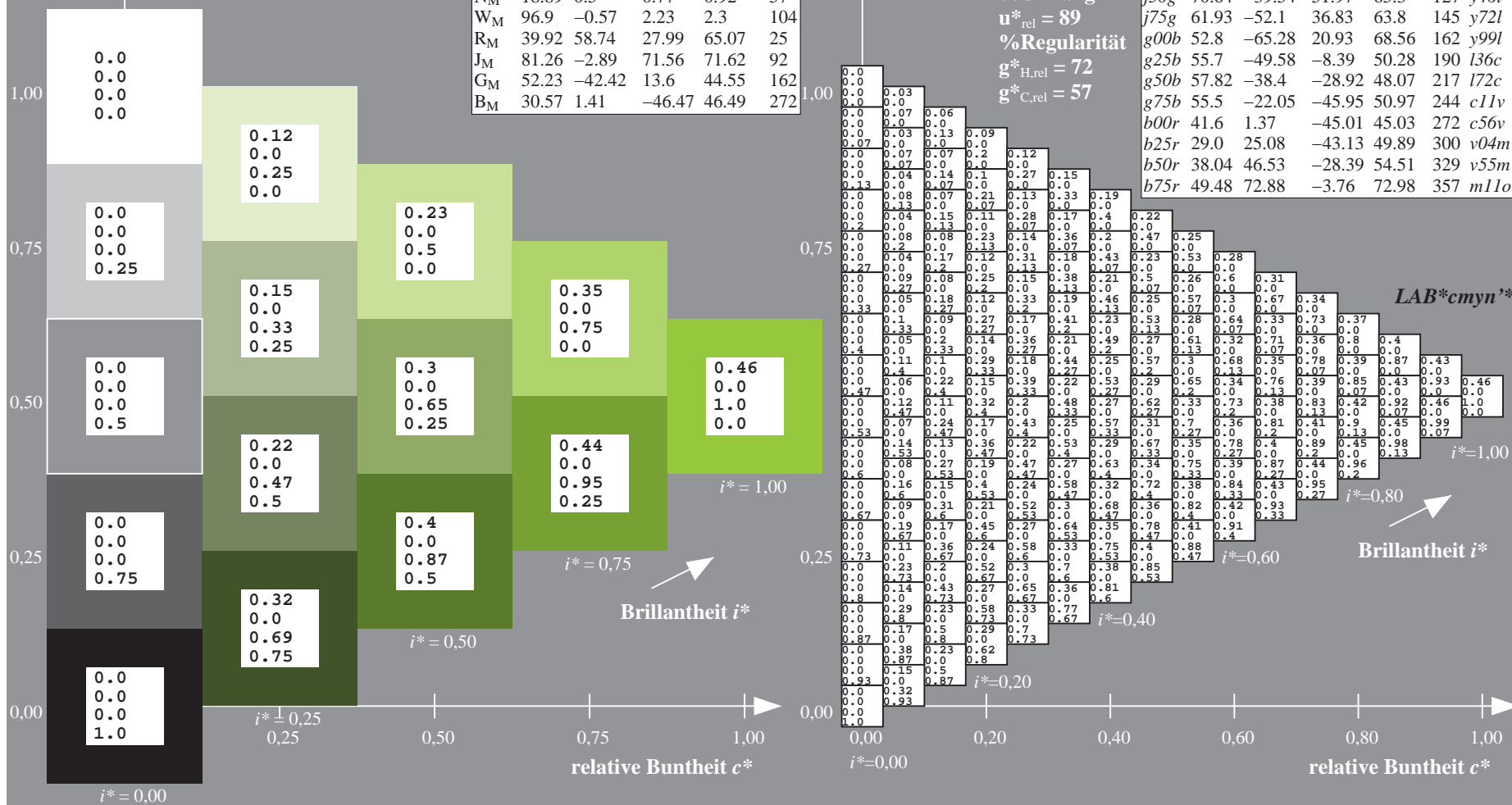
%Regularität

$g^*_{H,rel} = 72$

$g^*_{C,rel} = 57$

$u^*_e = j50g$
 LAB^*cmyn^*

ORS19_96a; adaptierte CIELAB-Daten									
u^*_e	$L^*=L^*_a$	a^*_a	b^*_a	$C^*_{ab,a}$	$h^*_{ab,a}$	u^*_d			
r00j	48.88	66.47	31.67	73.63	25	m84o			
r25j	55.85	52.39	47.48	70.7	42	o17y			
r50j	65.45	35.22	58.37	68.17	59	o42y			
r75j	75.19	17.82	69.41	71.66	76	o67y			
j00g	87.03	-3.35	82.83	82.9	92	o92y			
j25g	80.72	-25.01	69.5	73.86	110	y20l			
j50g	70.64	-39.54	51.97	65.3	127	y46l			
j75g	61.93	-52.1	36.83	63.8	145	y72l			
g00b	52.8	-65.28	20.93	68.56	162	y99l			
g25b	55.7	-49.58	-8.39	50.28	190	l36c			
g50b	57.82	-38.4	-28.92	48.07	217	l72c			
g75b	55.5	-22.05	-45.95	50.97	244	c11v			
b00r	41.6	1.37	-45.01	45.03	272	c56v			
b25r	29.0	25.08	-43.13	49.89	300	v04m			
b50r	38.04	46.53	-28.39	54.51	329	v55m			
b75r	49.48	72.88	-3.76	72.98	357	m11o			



Daten für jede Farbe:

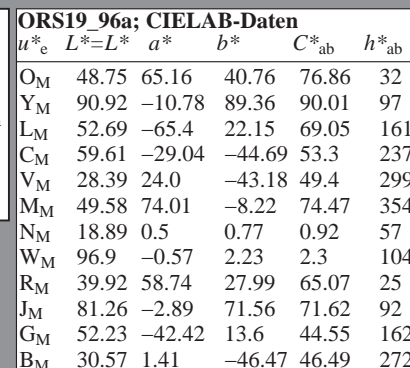
Bunttexte:

$$u^*_e = j75g \quad u^*_d = y72l$$

Kontrastreduzierungsfaktor:

 $c_p = 1.0$

K Dreiecks-Helligkeit t^*



Daten für Maximalfarbe (Ma):

*LAB*LAB**_{Ma}: 62 -52 37

LAD*LCU* = 62, 64, 144

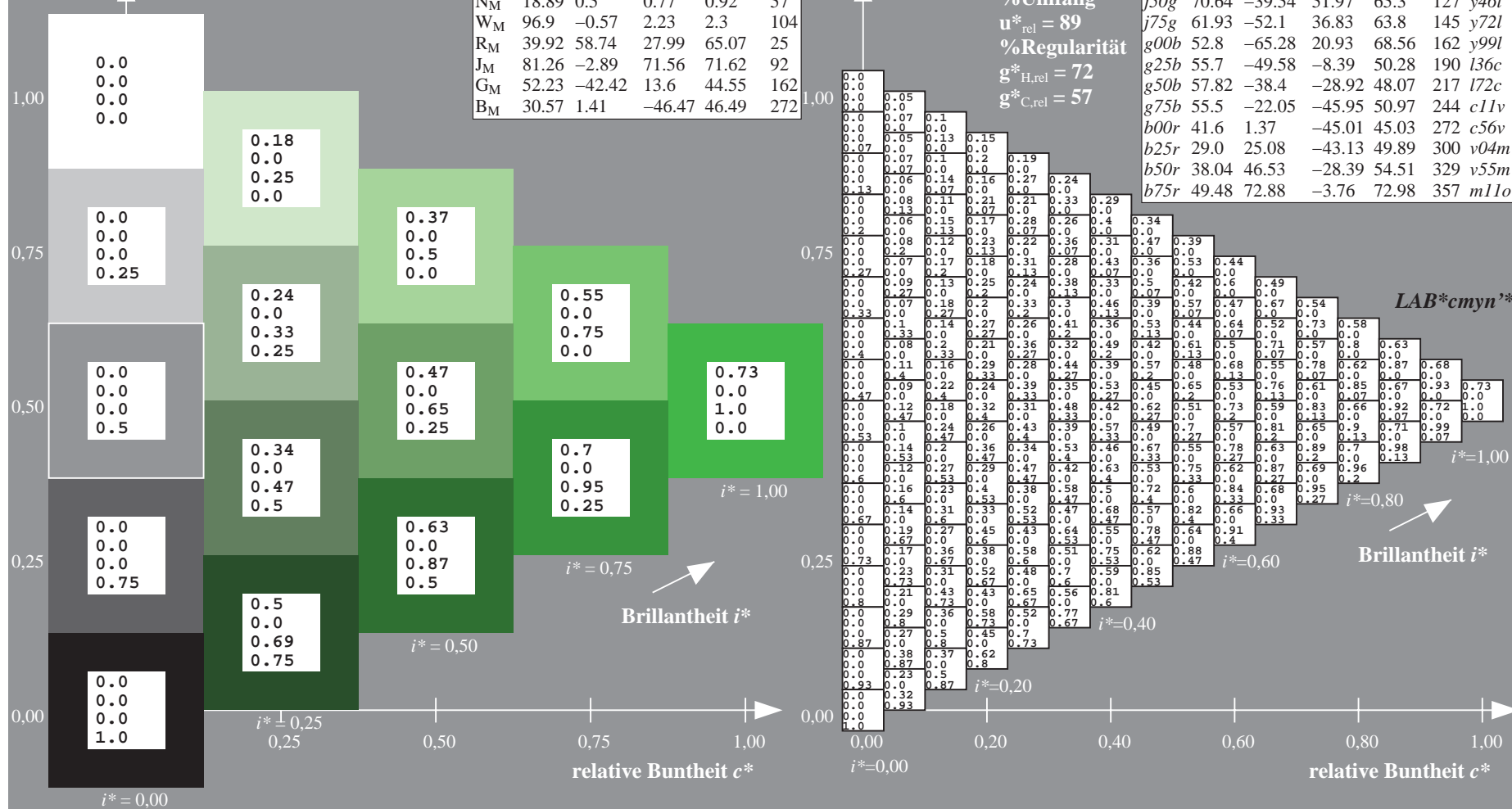
LAB*LCH*Ma: 62 64 14

*lab*rgb*_{Ma}: 0.25 1.0 0.0

lab*olv*_Ma: 0.27 1.0 0.0

Dreiecks-Helligkeit t^*

ORS19_96a; adaptierte CIELAB-Daten							
u_e^*	$L^*=L_a^*$	a_a^*	b_a^*	$C_{ab,a}^*$	$h_{ab,a}^*$	u_d^*	
<i>r00j</i>	48.88	66.47	31.67	73.63	25	<i>m84d</i>	
<i>r25j</i>	55.85	52.39	47.48	70.7	42	<i>o17y</i>	
<i>r50j</i>	65.45	35.22	58.37	68.17	59	<i>o42y</i>	
<i>r75j</i>	75.19	17.82	69.41	71.66	76	<i>o67y</i>	
<i>j00g</i>	87.03	-3.35	82.83	82.9	92	<i>o92y</i>	
<i>j25g</i>	80.72	-25.01	69.5	73.86	110	<i>y20l</i>	
<i>j50g</i>	70.64	-39.54	51.97	65.3	127	<i>y46l</i>	
<i>j75g</i>	61.93	-52.1	36.83	63.8	145	<i>y72l</i>	
<i>g00b</i>	52.8	-65.28	20.93	68.56	162	<i>y99l</i>	
<i>g25b</i>	55.7	-49.58	-8.39	50.28	190	<i>l36c</i>	
<i>g50b</i>	57.82	-38.4	-28.92	48.07	217	<i>l72c</i>	
<i>g75b</i>	55.5	-22.05	-45.95	50.97	244	<i>c11v</i>	
<i>b00r</i>	41.6	1.37	-45.01	45.03	272	<i>c56v</i>	
<i>b25r</i>	29.0	25.08	-43.13	49.89	300	<i>v04m</i>	
<i>b50r</i>	38.04	46.53	-28.39	54.51	329	<i>v55m</i>	
<i>b75r</i>	49.48	72.88	-3.76	72.98	357	<i>m11o</i>	



BAM-Prüfvorlage Eg12; Farbmatrik-Systeme, Seite 261/270 Eingabe: 000n / w / nnn0 / www set...
4 Separationen, 9 Datentabellen für 16 Bunttöne r00j bis b75r Ausgabe: ->cmyn6* setcmykcolor

BAM-Registrierung: 20081001-Eg12/10L/L12G00NA.PS/.TXT BAM-Material: Code=rha4ta
Anwendung für Beurteilung und Messung von Drucker- oder Monitorsystemen

Siehe ähnliche Dateien: <http://www.ps.bam.de/Eg12/>; www.ps.bam.de/Eg.HTM
Technische Information: <http://www.ps.bam.de> Version 2.1, io=1.1, ColSp=1

Ein und Ausgabe: Farbmimetrisches Drucker-Reflektiv-System ORS19_96a für relativen CIELAB-Buntton $h^* = lab^*h^* = h_{ab}/360 = 0.451$

Daten für jede Farbe:

lab^*tch^* und lab^*icu^*

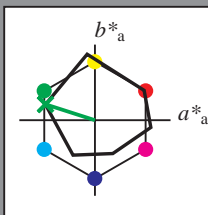
Bunttontexte:

$u^*_e = g00b$ $u^*_d = y99l$

Kontrastreduzierungsfaktor:

$c_R = 1.0$

Dreiecks-Helligkeit i^*



ORS19_96a; CIELAB-Daten						
u^*_e	$L^*=L^*_a$	a^*	b^*	C^*_{ab}	h^*_{ab}	
O _M	48.75	65.16	40.76	76.86	32	
Y _M	90.92	-10.78	89.36	90.01	97	
L _M	52.69	-65.4	22.15	69.05	161	
C _M	59.61	-29.04	-44.69	53.3	237	
V _M	28.39	24.0	-43.18	49.4	299	
M _M	49.58	74.01	-8.22	74.47	354	
N _M	18.89	0.5	0.77	0.92	57	
W _M	96.9	-0.57	2.23	2.3	104	
R _M	39.92	58.74	27.99	65.07	25	
J _M	81.26	-2.89	71.56	71.62	92	
G _M	52.23	-42.42	13.6	44.55	162	
B _M	30.57	1.41	-46.47	46.49	272	

Daten für Maximalfarbe (Ma):

$LAB^*LAB^*_{Ma}$: 53 -65 21

$LAB^*LCH^*_{Ma}$: 53 69 162

$lab^*rgb^*_{Ma}$: 0.0 1.0 0.0

$lab^*olv^*_{Ma}$: 0.0 1.0 0.0

Dreiecks-Helligkeit i^*

%Umfang

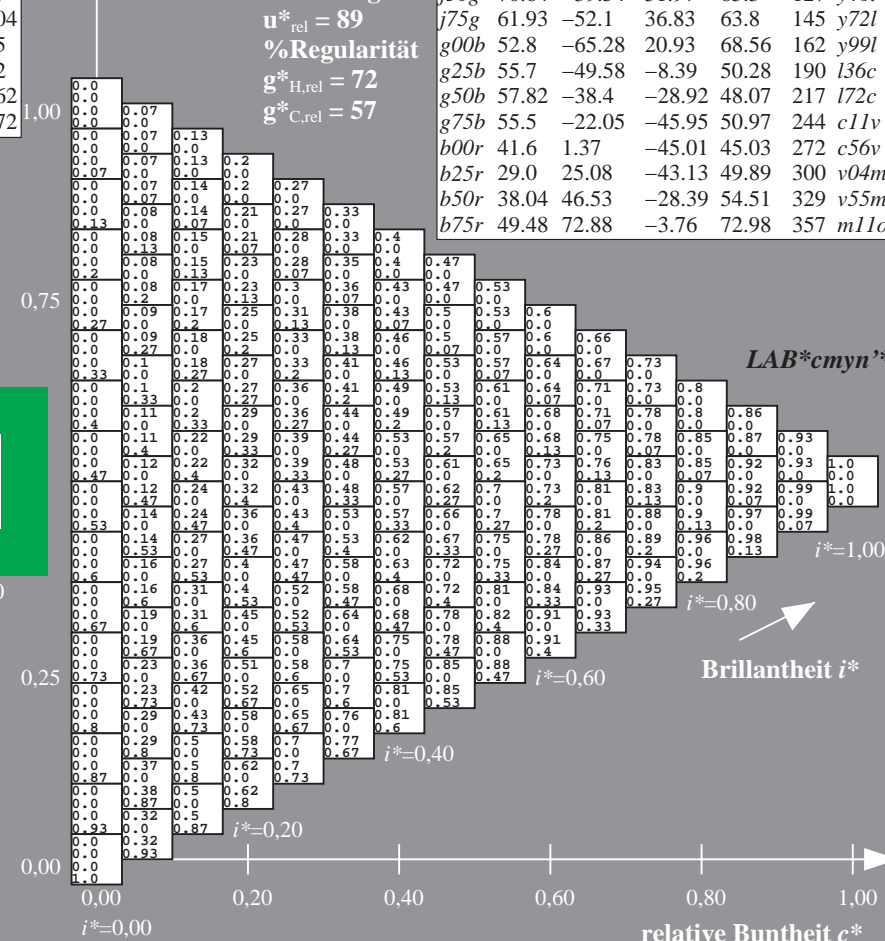
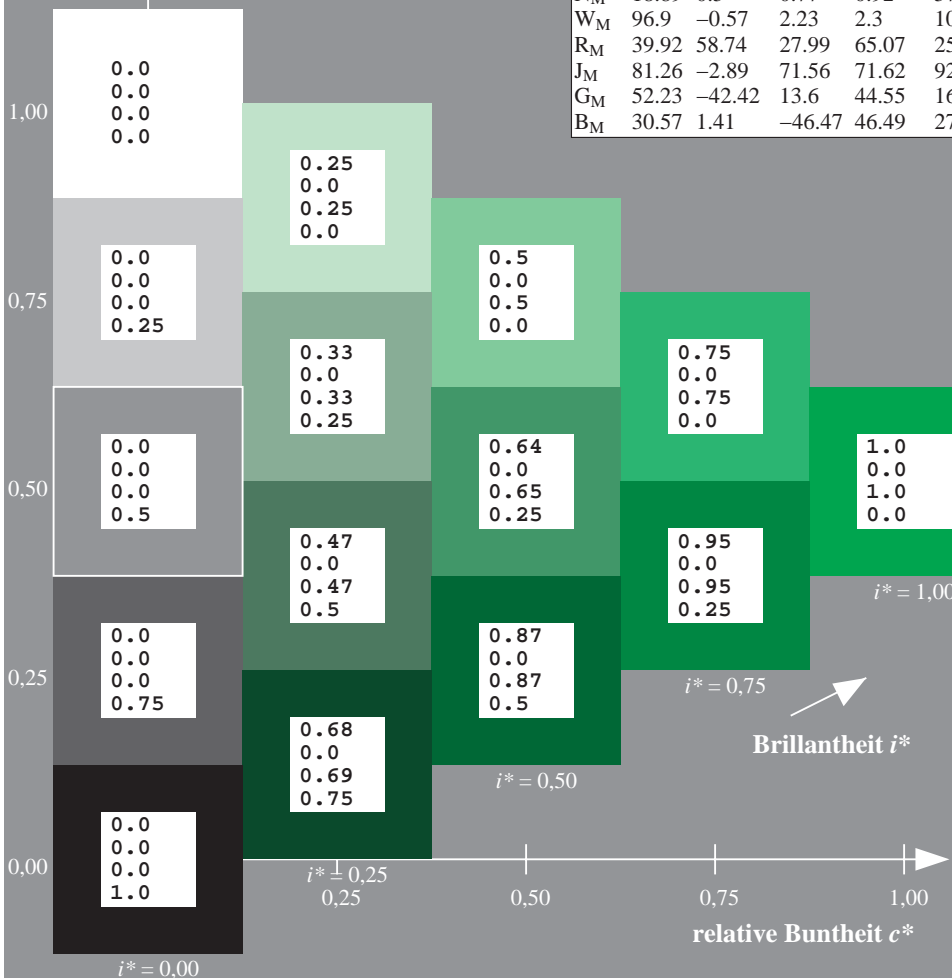
$u^*_{rel} = 89$

%Regularität

$g^*_{H,rel} = 72$

$g^*_{C,rel} = 57$

ORS19_96a; adaptierte CIELAB-Daten									
u^*_e	$L^*=L^*_a$	a^*_a	b^*_a	$C^*_{ab,a}$	$h^*_{ab,a}$	u^*_d			
r00j	48.88	66.47	31.67	73.63	25	m84o			
r25j	55.85	52.39	47.48	70.7	42	o17y			
r50j	65.45	35.22	58.37	68.17	59	o42y			
r75j	75.19	17.82	69.41	71.66	76	o67y			
j00g	87.03	-3.35	82.83	82.9	92	o92y			
j25g	80.72	-25.01	69.5	73.86	110	y20l			
j50g	70.64	-39.54	51.97	65.3	127	y46l			
j75g	61.93	-52.1	36.83	63.8	145	y72l			
g00b	52.8	-65.28	20.93	68.56	162	y99l			
g25b	55.7	-49.58	-8.39	50.28	190	l36c			
g50b	57.82	-38.4	-28.92	48.07	217	l72c			
g75b	55.5	-22.05	-45.95	50.97	244	c11v			
b00r	41.6	1.37	-45.01	45.03	272	c56v			
b25r	29.0	25.08	-43.13	49.89	300	v04m			
b50r	38.04	46.53	-28.39	54.51	329	v55m			
b75r	49.48	72.88	-3.76	72.98	357	m11o			



Ein und Ausgabe: Farbmetrisches Drucker-Reflektiv-System ORS19_96a für relativen CIELAB-Buntton $h^* = lab^*h^* = h_{ab}/360 = 0.527$

Daten für jede Farbe:

lab^*tch^* und lab^*icu^*

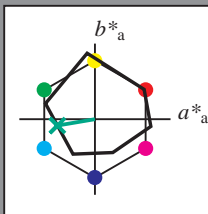
Bunttontexte:

$u^*_e = g25b$ $u^*_d = l36c$

Kontrastreduzierungsfaktor:

$c_R = 1.0$

Dreiecks-Helligkeit i^*



ORS19_96a; CIELAB-Daten						
u^*_e	$L^*=L^*$	a^*	b^*	C^*_{ab}	h^*_{ab}	
O _M	48.75	65.16	40.76	76.86	32	
Y _M	90.92	-10.78	89.36	90.01	97	
L _M	52.69	-65.4	22.15	69.05	161	
C _M	59.61	-29.04	-44.69	53.3	237	
V _M	28.39	24.0	-43.18	49.4	299	
M _M	49.58	74.01	-8.22	74.47	354	
N _M	18.89	0.5	0.77	0.92	57	
W _M	96.9	-0.57	2.23	2.3	104	
R _M	39.92	58.74	27.99	65.07	25	
J _M	81.26	-2.89	71.56	71.62	92	
G _M	52.23	-42.42	13.6	44.55	162	
B _M	30.57	1.41	-46.47	46.49	272	

Daten für Maximalfarbe (Ma):

$LAB^*LAB^*_{Ma}$: 56 -50 -8

$LAB^*LCH^*_{Ma}$: 56 50 189

$lab^*rgb^*_{Ma}$: 0.0 1.0 0.5

$lab^*olv^*_{Ma}$: 0.0 1.0 0.36

Dreiecks-Helligkeit i^*

%Umfang

$u^*_{rel} = 89$

%Regularität

$g^*_{H,rel} = 72$

$g^*_{C,rel} = 57$

ORS19_96a; adaptierte CIELAB-Daten									
u^*_e	$L^*=L^*$	a^*_a	b^*_a	$C^*_{ab,a}$	$h^*_{ab,a}$	u^*_d			
r00j	48.88	66.47	31.67	73.63	25	m84o			
r25j	55.85	52.39	47.48	70.7	42	o17y			
r50j	65.45	35.22	58.37	68.17	59	o42y			
r75j	75.19	17.82	69.41	71.66	76	o67y			
j00g	87.03	-3.35	82.83	82.9	92	o92y			
j25g	80.72	-25.01	69.5	73.86	110	y20l			
j50g	70.64	-39.54	51.97	65.3	127	y46l			
j75g	61.93	-52.1	36.83	63.8	145	y72l			
g00b	52.8	-65.28	20.93	68.56	162	y99l			
g25b	55.7	-49.58	-8.39	50.28	190	l36c			
g50b	57.82	-38.4	-28.92	48.07	217	l72c			
g75b	55.5	-22.05	-45.95	50.97	244	c11v			
b00r	41.6	1.37	-45.01	45.03	272	c56v			
b25r	29.0	25.08	-43.13	49.89	300	v04m			
b50r	38.04	46.53	-28.39	54.51	329	v55m			
b75r	49.48	72.88	-3.76	72.98	357	m11o			

$LAB^*cmy^n^*$

$i^* = 1.00$

Brillantheit i^*

$i^* = 0.80$

$i^* = 0.60$

$i^* = 0.40$

$i^* = 0.20$

$i^* = 0.00$

Ein und Ausgabe: Farbmimetrisches Drucker-Reflektiv-System ORS19_96a für relativen CIELAB-Buntton $h^* = \text{lab}^*h^* = h_{ab}/360 = 0.603$

Daten für jede Farbe:

lab^*tch^* und lab^*icu^*

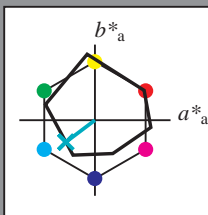
Bunttontexte:

$u^*_e = g50b$ $u^*_d = l72c$

Kontrastreduzierungsfaktor:

$c_R = 1.0$

Dreiecks-Helligkeit t^*



ORS19_96a; CIELAB-Daten

u^*_e	$L^*=L^*$	a^*	b^*	C^*_{ab}	h^*_{ab}
O _M	48.75	65.16	40.76	76.86	32
Y _M	90.92	-10.78	89.36	90.01	97
L _M	52.69	-65.4	22.15	69.05	161
C _M	59.61	-29.04	-44.69	53.3	237
V _M	28.39	24.0	-43.18	49.4	299
M _M	49.58	74.01	-8.22	74.47	354
N _M	18.89	0.5	0.77	0.92	57
W _M	96.9	-0.57	2.23	2.3	104
R _M	39.92	58.74	27.99	65.07	25
J _M	81.26	-2.89	71.56	71.62	92
G _M	52.23	-42.42	13.6	44.55	162
B _M	30.57	1.41	-46.47	46.49	272

Daten für Maximalfarbe (Ma):

$\text{LAB}^*\text{LAB}^*_{\text{Ma}}$: 58 -38 -29

$\text{LAB}^*\text{LCH}^*_{\text{Ma}}$: 58 48 216

$\text{lab}^*\text{rgb}^*_{\text{Ma}}$: 0.0 1.0 1.0

$\text{lab}^*\text{olv}^*_{\text{Ma}}$: 0.0 1.0 0.72

Dreiecks-Helligkeit t^*

%Umfang

$u^*_{\text{rel}} = 89$

%Regularität

$g^*_{H,\text{rel}} = 72$

$g^*_{C,\text{rel}} = 57$

$u^*_e = g50b$
 $\text{LAB}^*\text{cmyn}^*$

ORS19_96a; adaptierte CIELAB-Daten

u^*_e	$L^*=L^*$	a^*	b^*	$C^*_{ab,a}$	$h^*_{ab,a}$	u^*_d
r00j	48.88	66.47	31.67	73.63	25	m84o
r25j	55.85	52.39	47.48	70.7	42	o17y
r50j	65.45	35.22	58.37	68.17	59	o42y
r75j	75.19	17.82	69.41	71.66	76	o67y
j00g	87.03	-3.35	82.83	82.9	92	o92y
j25g	80.72	-25.01	69.5	73.86	110	y20l
j50g	70.64	-39.54	51.97	65.3	127	y46l
j75g	61.93	-52.1	36.83	63.8	145	y72l
g00b	52.8	-65.28	20.93	68.56	162	y99l
g25b	55.7	-49.58	-8.39	50.28	190	l36c
g50b	57.82	-38.4	-28.92	48.07	217	l72c
g75b	55.5	-22.05	-45.95	50.97	244	c11v
b00r	41.6	1.37	-45.01	45.03	272	c56v
b25r	29.0	25.08	-43.13	49.89	300	v04m
b50r	38.04	46.53	-28.39	54.51	329	v55m
b75r	49.48	72.88	-3.76	72.98	357	m11o

$\text{LAB}^*\text{cmyn}^*$

$i^* = 1.00$

$i^* = 0.80$

$i^* = 0.60$

$i^* = 0.40$

$i^* = 0.20$

$i^* = 0.00$

Brillantheit i^*

Brillantheit i^*

Ein und Ausgabe: Farbmimetrisches Drucker-Reflektiv-System ORS19_96a für relativen CIELAB-Buntton $h^* = lab^*h^* = h_{ab}/360 = 0.679$

Daten für jede Farbe:

lab^*tch^* und lab^*icu^*

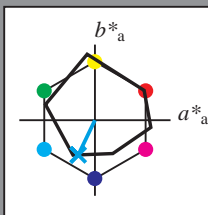
Bunttontexte:

$u^*_e = g75b$ $u^*_d = c11v$

Kontrastreduzierungsfaktor:

$c_R = 1.0$

Dreiecks-Helligkeit t^*



ORS19_96a; CIELAB-Daten

u^*_e	$L^*=L^*$	a^*	b^*	C^*_{ab}	h^*_{ab}
O _M	48.75	65.16	40.76	76.86	32
Y _M	90.92	-10.78	89.36	90.01	97
L _M	52.69	-65.4	22.15	69.05	161
C _M	59.61	-29.04	-44.69	53.3	237
V _M	28.39	24.0	-43.18	49.4	299
M _M	49.58	74.01	-8.22	74.47	354
N _M	18.89	0.5	0.77	0.92	57
W _M	96.9	-0.57	2.23	2.3	104
R _M	39.92	58.74	27.99	65.07	25
J _M	81.26	-2.89	71.56	71.62	92
G _M	52.23	-42.42	13.6	44.55	162
B _M	30.57	1.41	-46.47	46.49	272

Daten für Maximalfarbe (Ma):

$LAB^*LAB^*_{Ma}$: 55 -22 -46

$LAB^*LCH^*_{Ma}$: 55 51 244

$lab^*rgb^*_{Ma}$: 0.0 0.5 1.0

$lab^*olv^*_{Ma}$: 0.0 0.89 1.0

Dreiecks-Helligkeit t^*

%Umfang

$u^*_{rel} = 89$

%Regularität

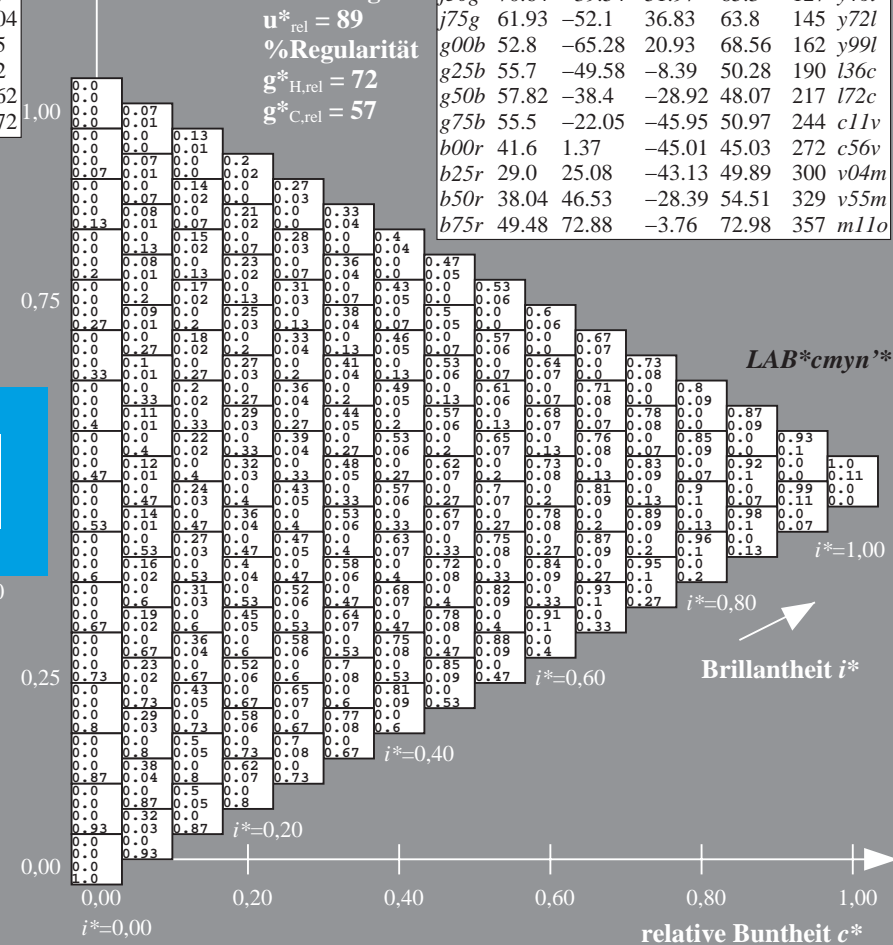
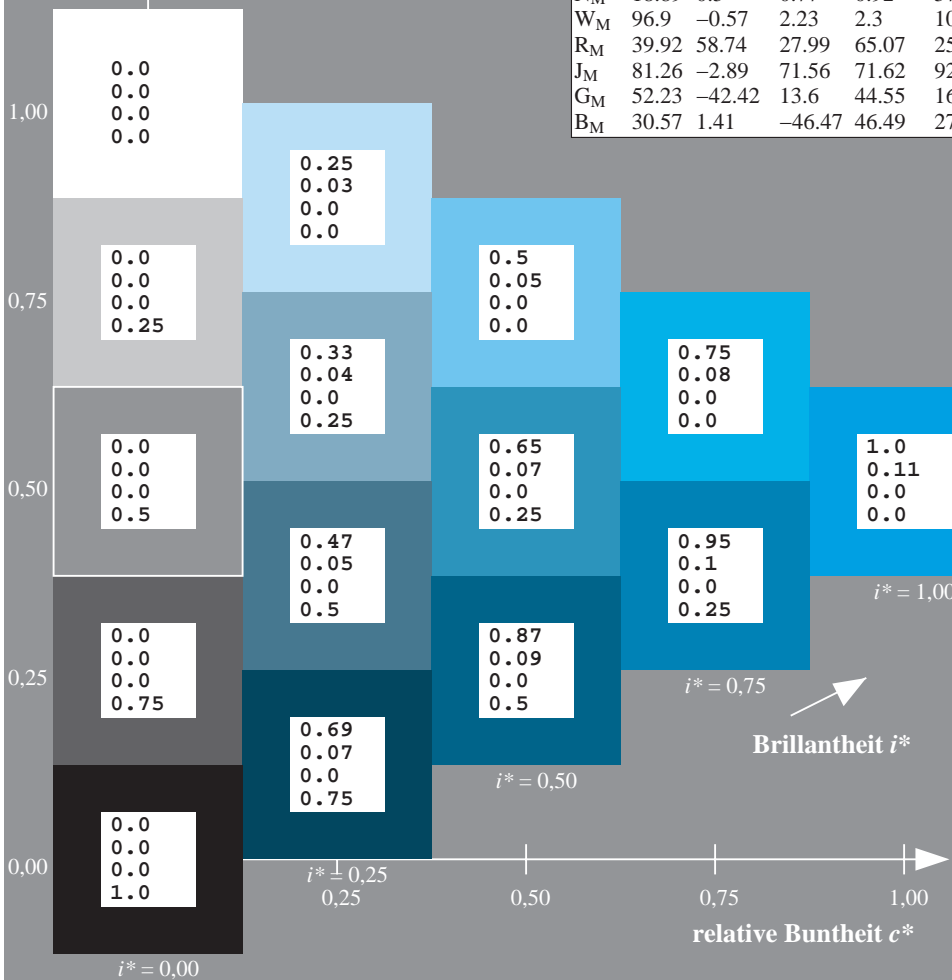
$g^*_{H,rel} = 72$

$g^*_{C,rel} = 57$

$u^*_e = g75b$
 LAB^*cmyn^*

ORS19_96a; adaptierte CIELAB-Daten

u^*_e	$L^*=L^*$	a^*	b^*	$C^*_{ab,a}$	$h^*_{ab,a}$	u^*_d
r00j	48.88	66.47	31.67	73.63	25	m84o
r25j	55.85	52.39	47.48	70.7	42	o17y
r50j	65.45	35.22	58.37	68.17	59	o42y
r75j	75.19	17.82	69.41	71.66	76	o67y
j00g	87.03	-3.35	82.83	82.9	92	o92y
j25g	80.72	-25.01	69.5	73.86	110	y20l
j50g	70.64	-39.54	51.97	65.3	127	y46l
j75g	61.93	-52.1	36.83	63.8	145	y72l
g00b	52.8	-65.28	20.93	68.56	162	y99l
g25b	55.7	-49.58	-8.39	50.28	190	l36c
g50b	57.82	-38.4	-28.92	48.07	217	l72c
g75b	55.5	-22.05	-45.95	50.97	244	c11v
b00r	41.6	1.37	-45.01	45.03	272	c56v
b25r	29.0	25.08	-43.13	49.89	300	v04m
b50r	38.04	46.53	-28.39	54.51	329	v55m
b75r	49.48	72.88	-3.76	72.98	357	m11o



Ein und Ausgabe: Farbmimetrisches Drucker-Reflektiv-System ORS19_96a für relativen CIELAB-Buntton $h^* = \text{lab}^*h^* = h_{ab}/360 = 0.755$

Daten für jede Farbe:

lab^*tch^* und lab^*icu^*

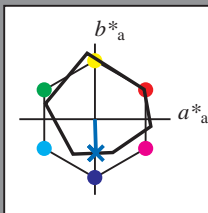
Bunttontexte:

$u^*_e = b00r$ $u^*_d = c56v$

Kontrastreduzierungsfaktor:

$c_R = 1.0$

Dreiecks-Helligkeit i^*



ORS19_96a; CIELAB-Daten						
u^*_e	$L^*=L^*_a$	a^*	b^*	C^*_{ab}	h^*_{ab}	
O _M	48.75	65.16	40.76	76.86	32	
Y _M	90.92	-10.78	89.36	90.01	97	
L _M	52.69	-65.4	22.15	69.05	161	
C _M	59.61	-29.04	-44.69	53.3	237	
V _M	28.39	24.0	-43.18	49.4	299	
M _M	49.58	74.01	-8.22	74.47	354	
N _M	18.89	0.5	0.77	0.92	57	
W _M	96.9	-0.57	2.23	2.3	104	
R _M	39.92	58.74	27.99	65.07	25	
J _M	81.26	-2.89	71.56	71.62	92	
G _M	52.23	-42.42	13.6	44.55	162	
B _M	30.57	1.41	-46.47	46.49	272	

Daten für Maximalfarbe (Ma):

$\text{LAB}^*\text{LAB}^*_{\text{Ma}}$: 42 1 -45

$\text{LAB}^*\text{LCH}^*_{\text{Ma}}$: 42 45 271

$\text{lab}^*\text{rgb}^*_{\text{Ma}}$: 0.0 0.0 1.0

$\text{lab}^*\text{olv}^*_{\text{Ma}}$: 0.0 0.44 1.0

Dreiecks-Helligkeit i^*

%Umfang

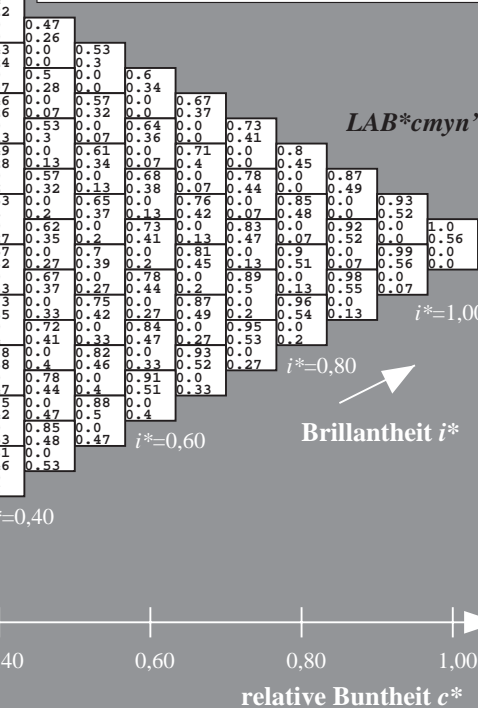
$u^*_{\text{rel}} = 89$

%Regularität

$g^*_{H,\text{rel}} = 72$

$g^*_{C,\text{rel}} = 57$

ORS19_96a; adaptierte CIELAB-Daten									
u^*_e	$L^*=L^*_a$	a^*_a	b^*_a	$C^*_{ab,a}$	$h^*_{ab,a}$	u^*_d			
r00j	48.88	66.47	31.67	73.63	25	m84o			
r25j	55.85	52.39	47.48	70.7	42	o17y			
r50j	65.45	35.22	58.37	68.17	59	o42y			
r75j	75.19	17.82	69.41	71.66	76	o67y			
j00g	87.03	-3.35	82.83	82.9	92	o92y			
j25g	80.72	-25.01	69.5	73.86	110	y20l			
j50g	70.64	-39.54	51.97	65.3	127	y46l			
j75g	61.93	-52.1	36.83	63.8	145	y72l			
g00b	52.8	-65.28	20.93	68.56	162	y99l			
g25b	55.7	-49.58	-8.39	50.28	190	l36c			
g50b	57.82	-38.4	-28.92	48.07	217	l72c			
g75b	55.5	-22.05	-45.95	50.97	244	c11v			
b00r	41.6	1.37	-45.01	45.03	272	c56v			
b25r	29.0	25.08	-43.13	49.89	300	v04m			
b50r	38.04	46.53	-28.39	54.51	329	v55m			
b75r	49.48	72.88	-3.76	72.98	357	m11o			



Brillantheit i^*

Ein und Ausgabe: Farbmetrisches Drucker-Reflektiv-System ORS19_96a für relativen CIELAB-Buntton $h^* = lab^*h^* = h_{ab}/360 = 0.834$

Daten für jede Farbe:

lab^*tch^* und lab^*icu^*

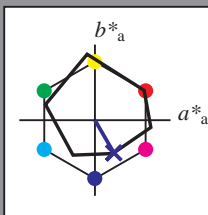
Bunttontexte:

$u^*_e = b25r$ $u^*_d = v04m$

Kontrastreduzierungsfaktor:

$c_R = 1.0$

Dreiecks-Helligkeit t^*



ORS19_96a; CIELAB-Daten						
u^*_e	$L^*=L^*$	a^*	b^*	C^*_{ab}	h^*_{ab}	
O _M	48.75	65.16	40.76	76.86	32	
Y _M	90.92	-10.78	89.36	90.01	97	
L _M	52.69	-65.4	22.15	69.05	161	
C _M	59.61	-29.04	-44.69	53.3	237	
V _M	28.39	24.0	-43.18	49.4	299	
M _M	49.58	74.01	-8.22	74.47	354	
N _M	18.89	0.5	0.77	0.92	57	
W _M	96.9	-0.57	2.23	2.3	104	
R _M	39.92	58.74	27.99	65.07	25	
J _M	81.26	-2.89	71.56	71.62	92	
G _M	52.23	-42.42	13.6	44.55	162	
B _M	30.57	1.41	-46.47	46.49	272	

Daten für Maximalfarbe (Ma):

LAB^*LAB^*Ma : 29 25 -43

LAB^*LCH^*Ma : 29 50 300

lab^*rgb^*Ma : 0.5 0.0 1.0

lab^*olv^*Ma : 0.04 0.0 1.0

Dreiecks-Helligkeit t^*

%Umfang

$u^*_{rel} = 89$

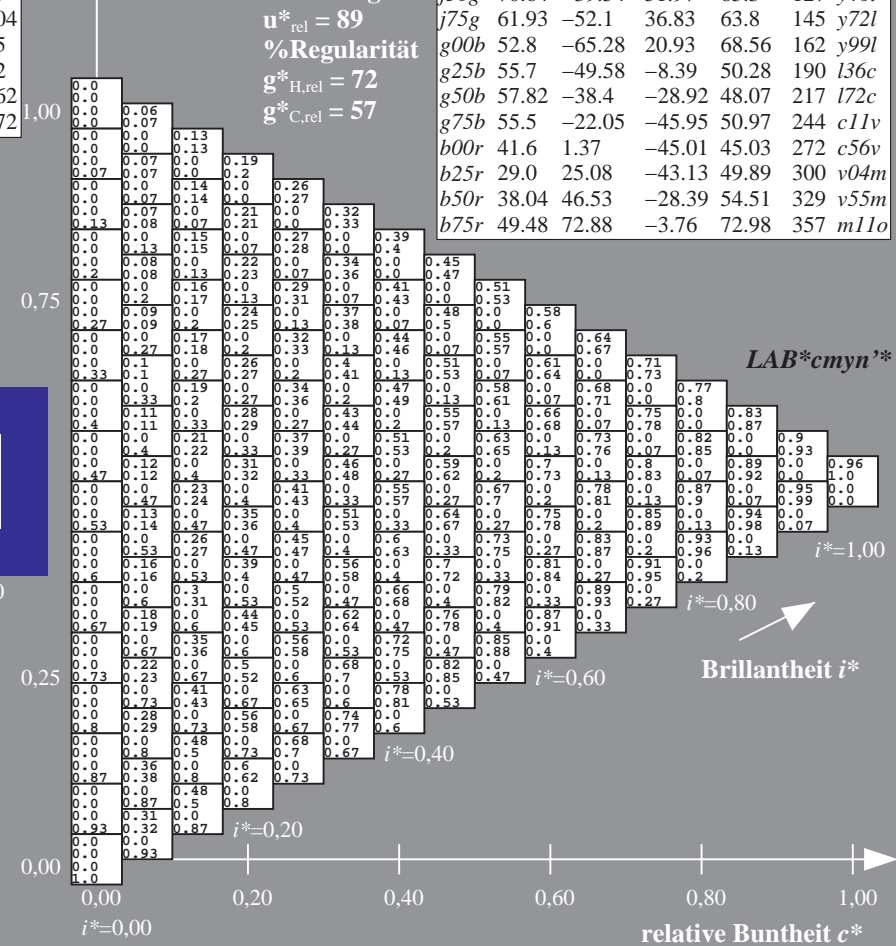
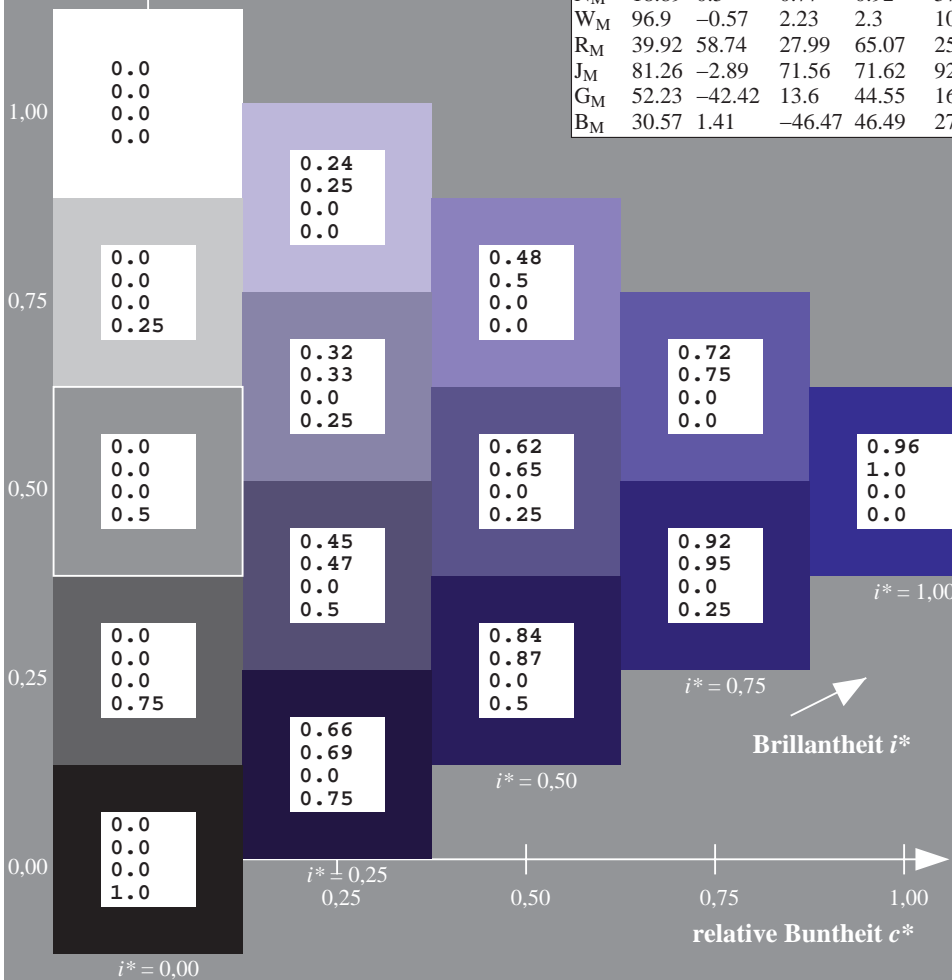
%Regularität

$g^*_{H,rel} = 72$

$g^*_{C,rel} = 57$

$u^*_e = b25r$
 LAB^*cmyn^*

ORS19_96a; adaptierte CIELAB-Daten									
u^*_e	$L^*=L^*_a$	a^*_a	b^*_a	$C^*_{ab,a}$	$h^*_{ab,a}$	u^*_d			
r00j	48.88	66.47	31.67	73.63	25	m84o			
r25j	55.85	52.39	47.48	70.7	42	o17y			
r50j	65.45	35.22	58.37	68.17	59	o42y			
r75j	75.19	17.82	69.41	71.66	76	o67y			
j00g	87.03	-3.35	82.83	82.9	92	o92y			
j25g	80.72	-25.01	69.5	73.86	110	y20l			
j50g	70.64	-39.54	51.97	65.3	127	y46l			
j75g	61.93	-52.1	36.83	63.8	145	y72l			
g00b	52.8	-65.28	20.93	68.56	162	y99l			
g25b	55.7	-49.58	-8.39	50.28	190	l36c			
g50b	57.82	-38.4	-28.92	48.07	217	l72c			
g75b	55.5	-22.05	-45.95	50.97	244	c11v			
b00r	41.6	1.37	-45.01	45.03	272	c56v			
b25r	29.0	25.08	-43.13	49.89	300	v04m			
b50r	38.04	46.53	-28.39	54.51	329	v55m			
b75r	49.48	72.88	-3.76	72.98	357	m11o			



Ein und Ausgabe: Farbmimetrisches Drucker-Reflektiv-System ORS19_96a für relativen CIELAB-Buntton $h^* = lab^*h^* = h_{ab}/360 = 0.913$

Daten für jede Farbe:

lab^*tch^* und lab^*icu^*

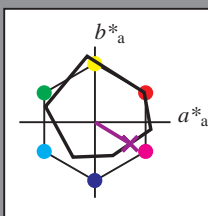
Bunttontexte:

$u^*_e = b50r$ $u^*_d = v55m$

Kontrastreduzierungsfaktor:

$c_R = 1.0$

Dreiecks-Helligkeit t^*



ORS19_96a; CIELAB-Daten						
u^*_e	$L^*=L^*_a$	a^*	b^*	C^*_{ab}	h^*_{ab}	
O _M	48.75	65.16	40.76	76.86	32	
Y _M	90.92	-10.78	89.36	90.01	97	
L _M	52.69	-65.4	22.15	69.05	161	
C _M	59.61	-29.04	-44.69	53.3	237	
V _M	28.39	24.0	-43.18	49.4	299	
M _M	49.58	74.01	-8.22	74.47	354	
N _M	18.89	0.5	0.77	0.92	57	
W _M	96.9	-0.57	2.23	2.3	104	
R _M	39.92	58.74	27.99	65.07	25	
J _M	81.26	-2.89	71.56	71.62	92	
G _M	52.23	-42.42	13.6	44.55	162	
B _M	30.57	1.41	-46.47	46.49	272	

Daten für Maximalfarbe (Ma):

LAB^*LAB^*Ma : 38 47 -28

LAB^*LCH^*Ma : 38 55 328

lab^*rgb^*Ma : 1.0 0.0 1.0

lab^*olv^*Ma : 0.56 0.0 1.0

Dreiecks-Helligkeit t^*

%Umfang

$u^*_{rel} = 89$

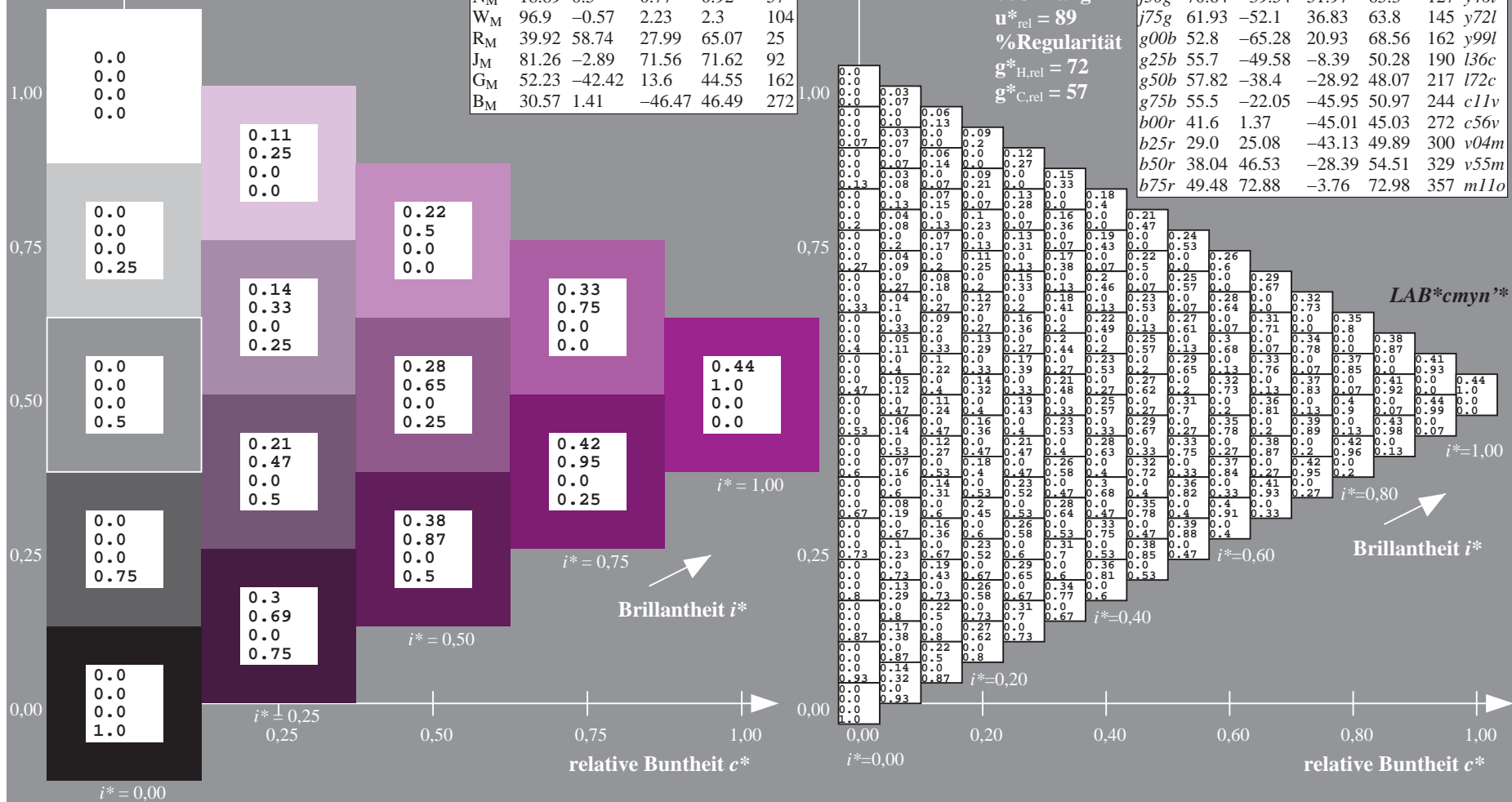
%Regularität

$g^*_{H,rel} = 72$

$g^*_{C,rel} = 57$

$u^*_e = b50r$
 LAB^*cmyn^*

ORS19_96a; adaptierte CIELAB-Daten									
u^*_e	$L^*=L^*_a$	a^*_a	b^*_a	$C^*_{ab,a}$	$h^*_{ab,a}$	u^*_d			
r00j	48.88	66.47	31.67	73.63	25	m84o			
r25j	55.85	52.39	47.48	70.7	42	o17y			
r50j	65.45	35.22	58.37	68.17	59	o42y			
r75j	75.19	17.82	69.41	71.66	76	o67y			
j00g	87.03	-3.35	82.83	82.9	92	o92y			
j25g	80.72	-25.01	69.5	73.86	110	y20l			
j50g	70.64	-39.54	51.97	65.3	127	y46l			
j75g	61.93	-52.1	36.83	63.8	145	y72l			
g00b	52.8	-65.28	20.93	68.56	162	y99l			
g25b	55.7	-49.58	-8.39	50.28	190	l36c			
g50b	57.82	-38.4	-28.92	48.07	217	l72c			
g75b	55.5	-22.05	-45.95	50.97	244	c11v			
b00r	41.6	1.37	-45.01	45.03	272	c56v			
b25r	29.0	25.08	-43.13	49.89	300	v04m			
b50r	38.04	46.53	-28.39	54.51	329	v55m			
b75r	49.48	72.88	-3.76	72.98	357	m11o			



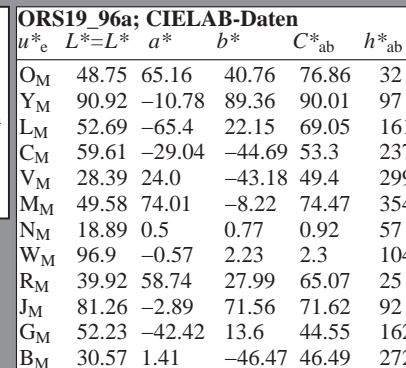
Daten für jede Farbe:

Bunttexte:

Kontrastreduzierungsfaktor:

Dreiecks-Helligkeit t^*

100



LAB*LAB*Mo: 49 73 -4

LAB*LCH*Ma: 49 73 35

Dreiecks-Helligkeit t^*

9/11

$$u_{rel}^* = 89$$
$$g^*_{H_{rel}} = 72$$

*LAB*cmyn'**

ORS19_96a; adaptierte CIELAB-Daten							
u_e^*	$L^*=L_a^*$	a_a^*	b_a^*	$C_{ab,a}^*$	$h_{ab,a}^*$	u_d^*	
<i>r00j</i>	48.88	66.47	31.67	73.63	25	<i>m84d</i>	
<i>r25j</i>	55.85	52.39	47.48	70.7	42	<i>o17y</i>	
<i>r50j</i>	65.45	35.22	58.37	68.17	59	<i>o42y</i>	
<i>r75j</i>	75.19	17.82	69.41	71.66	76	<i>o67y</i>	
<i>j00g</i>	87.03	-3.35	82.83	82.9	92	<i>o92y</i>	
<i>j25g</i>	80.72	-25.01	69.5	73.86	110	<i>y20l</i>	
<i>j50g</i>	70.64	-39.54	51.97	65.3	127	<i>y46l</i>	
<i>j75g</i>	61.93	-52.1	36.83	63.8	145	<i>y72l</i>	
<i>g00b</i>	52.8	-65.28	20.93	68.56	162	<i>y99l</i>	
<i>g25b</i>	55.7	-49.58	-8.39	50.28	190	<i>l36c</i>	
<i>g50b</i>	57.82	-38.4	-28.92	48.07	217	<i>l72c</i>	
<i>g75b</i>	55.5	-22.05	-45.95	50.97	244	<i>c11v</i>	
<i>b00r</i>	41.6	1.37	-45.01	45.03	272	<i>c56v</i>	
<i>b25r</i>	29.0	25.08	-43.13	49.89	300	<i>v04m</i>	
<i>b50r</i>	38.04	46.53	-28.39	54.51	329	<i>v55m</i>	
<i>b75r</i>	49.48	72.88	-3.76	72.98	357	<i>m11o</i>	

1

Dr. Manthert

Executive Summary

ACKNOWLEDGMENTS

[illegible]